

COMMITTENTE:



DIREZIONE LAVORI:



APPALTATORE:



PROGETTAZIONE:	PROGETTISTA:	DIRETTORE DELLA PROGETTAZIONE
RAGGRUPPAMENTO TEMPORANEO PROGETTISTI	Prof. Ing. MARCO PETRANGELI	Ing. PIETRO MAZZOLI Responsabile integrazione fra le varie prestazioni specialistiche

PROGETTO ESECUTIVO

ITINERARIO NAPOLI-BARI RADDOPPIO TRATTA CANCELLO-BENEVENTO I° LOTTO FUNZIONALE CANCELLO-FRASSO TELESINO E VARIANTE ALLA LINEA ROMA-NAPOLI VIA CASSINO NEL COMUNE DI MADDALONI Viadotto dal km 8+639 al km 8+773: Viadotto Rio Secco

Lato Canello - VI05 A – Opera di approccio al Viadotto Rio Secco: Relazione di calcolo

APPALTATORE CONSORZIO CFT IL DIRETTORE TECNICO Geom. C. Bianchi 13/09/2018	SCALA: <div style="border: 1px solid black; width: 100px; height: 20px; margin: 5px auto; text-align: center;">-</div>
--	---

COMMESSA LOTTO FASE ENTE TIPO DOC. OPERA/DISCIPLINA PROGR. REV.

I	F	1	N	0	1	E	Z	Z	C	L	V	I	0	5	2	0	0	0	1	B
---	---	---	---	---	---	---	---	---	---	---	---	---	---	---	---	---	---	---	---	---

Rev.	Descrizione	Redatto	Data	Verificato	Data	Approvato	Data	Autorizzato Data
A	Emissione	F. del Drago	11/07/2018	M. Petrangeli	11/07/2018	P. Mazzoli	11/07/2018	M. Petrangeli
B	Rev. Istruttoria ITF 29/08/2018	F. del Drago	13/09/2018	M. Petrangeli	13/09/2018	P. Mazzoli	13/09/2018	
								13/09/2018

File: IF1N.0.1.E.ZZ.CL.VI.05.2.0.001.B.docx	n. Elab.:
---	-----------

  	ITINERARIO NAPOLI – BARI RADDOPPIO TRATTA CANCELLO – BENEVENTO I° LOTTO FUNZIONALE CANCELLO - FRASSO TELESINO E VARIANTE ALLA LINEA ROMA-NAPOLI VIA CASSINO NEL COMUNE DI MADDALONI – PROGETTO ESECUTIVO												
<i>Viadotto Rio Secco</i> <i>VI05A- Opera di approccio al Viadotto Rio Secco:</i> <i>Relazione di calcolo</i>	<table border="1"> <thead> <tr> <th>COMMESSA</th> <th>LOTTO</th> <th>CODIFICA</th> <th>DOCUMENTO</th> <th>REV.</th> <th>FOGLIO</th> </tr> </thead> <tbody> <tr> <td>IF1N</td> <td>01</td> <td>E ZZ CL</td> <td>VI 05 20 001</td> <td>B</td> <td>2 di 132</td> </tr> </tbody> </table>	COMMESSA	LOTTO	CODIFICA	DOCUMENTO	REV.	FOGLIO	IF1N	01	E ZZ CL	VI 05 20 001	B	2 di 132
COMMESSA	LOTTO	CODIFICA	DOCUMENTO	REV.	FOGLIO								
IF1N	01	E ZZ CL	VI 05 20 001	B	2 di 132								

Indice

1	PREMESSA	4
2	NORMATIVA DI RIFERIMENTO.....	5
3	MATERIALI.....	6
3.1	CALCESTRUZZO PER GETTI IN OPERA PER ELEVAZIONI.....	6
3.2	CALCESTRUZZO PER GETTI IN OPERA PER FONDAZIONI	6
3.3	ACCIAIO PER C.A.	7
4	DESCRIZIONE DELLA STRUTTURA	8
5	ANALISI DEI CARICHI	10
5.1	PESO PROPRIO (G1)	10
5.2	PERMANENTI PORTATI (G2)	10
	MASSICCIATA, ARMAMENTO E IMPERMEABILIZZAZIONE – G _{2,1}	10
	BARRIERE ANTIRUMORE – G _{2,2}	10
	CANALLETTE IMPIANTI E IMPIANTI – G _{2,3}	10
	PORTALI T.E. – G _{2,4}	10
	MURETTI PARA BALLAST- G _{2,5}	12
	SPINTA DELLE TERRE	12
5.3	AZIONI VARIABILI (Q)	13
	TRENI DI CARICO	13
	CARICHI SUI MARCIAPIEDI (Q _{2,1} – Q _{2,2})	16
	AZIONE CENTRIFUGA (Q _{4,1} -Q _{4,2}).....	16
	SERPEGGIO (Q _{4,3} -Q _{4,4})	18
	AVVIAMENTO E FRENATURA (Q _{8,1} -Q _{8,2}).....	18
5.4	AZIONI DINAMICHE	19
5.5	AZIONI DOVUTE AL DERAGLIAMENTO	20
5.6	AZIONI CLIMATICHE.....	21
	VARIAZIONE TERMICA UNIFORME (Q _{5u})	21
	VARIAZIONE TERMICA DIFFERENZIALE (Q _{5D}).....	21
	VENTO (Q _{6,1} -Q _{6,2})	21
5.7	AZIONI INDIRETTE.....	22
	RITIRO E VISCOSITÀ (Q ₇)	22
5.8	AZIONI SISMICHE DA PESO PROPRIO E CARICHI PERMANENTI E VARIABILI	25
	INDIVIDUAZIONE DELLA PERICOLOSITÀ DEL SITO E STRATEGIA DI PROGETTAZIONE	27
6	MODELLAZIONE E ANALISI	31
6.1	CONDIZIONI VINCOLARI	32

  	ITINERARIO NAPOLI – BARI RADDOPPIO TRATTA CANCELLO – BENEVENTO I° LOTTO FUNZIONALE CANCELLO - FRASSO TELESINO E VARIANTE ALLA LINEA ROMA-NAPOLI VIA CASSINO NEL COMUNE DI MADDALONI – PROGETTO ESECUTIVO												
<i>Viadotto Rio Secco</i> <i>VI05A- Opera di approccio al Viadotto Rio Secco:</i> <i>Relazione di calcolo</i>	<table border="1"> <thead> <tr> <th>COMMESSA</th> <th>LOTTO</th> <th>CODIFICA</th> <th>DOCUMENTO</th> <th>REV.</th> <th>FOGLIO</th> </tr> </thead> <tbody> <tr> <td>IF1N</td> <td>01</td> <td>E ZZ CL</td> <td>VI 05 20 001</td> <td>B</td> <td>3 di 132</td> </tr> </tbody> </table>	COMMESSA	LOTTO	CODIFICA	DOCUMENTO	REV.	FOGLIO	IF1N	01	E ZZ CL	VI 05 20 001	B	3 di 132
COMMESSA	LOTTO	CODIFICA	DOCUMENTO	REV.	FOGLIO								
IF1N	01	E ZZ CL	VI 05 20 001	B	3 di 132								

6.2	CARICHI	36
6.3	COMBINAZIONI DI CARICO	49
7	VERIFICHE AGLI SLU.....	50
7.1	SOLETTA	50
7.1.1	SEZIONE MEZZERIA SOLETTA.....	56
7.1.2	SEZIONE INCASTRO SOLETTA	58
7.2	VERIFICHE PALI.....	64
7.2.1	PALI- ELEVAZIONE.....	64
7.2.2	PALI- FONDAZIONE.....	77
8	VERIFICHE AGLI SLE.....	102
8.1	VERIFICHE A FESSURAZIONE.....	102
8.1.1	SOLETTA – MEZZERIA.....	103
8.1.2	SOLETTA - INCASTRO	107
8.1.3	PALI- ELEVAZIONE.....	111
8.1.4	PALI- FONDAZIONE.....	123
8.2	VERIFICHE DI DEFORMABILITÀ DELL'IMPALCATO	124
9	VERIFICHE LOCALI	125
9.1.1	MENSOLA LATERALE.....	125
10	VERIFICHE GEO	130
11	INCIDENZA ARMATURA	131
12	ALLEGATO.....	132

	ITINERARIO NAPOLI – BARI RADDOPPIO TRATTA CANCELLO – BENEVENTO 1° LOTTO FUNZIONALE CANCELLO - FRASSO TELESINO E VARIANTE ALLA LINEA ROMA-NAPOLI VIA CASSINO NEL COMUNE DI MADDALONI – PROGETTO ESECUTIVO												
Viadotto Rio Secco VI05A- Opera di approccio al Viadotto Rio Secco: Relazione di calcolo	<table border="1"> <thead> <tr> <th>COMMESSA</th> <th>LOTTO</th> <th>CODIFICA</th> <th>DOCUMENTO</th> <th>REV.</th> <th>FOGLIO</th> </tr> </thead> <tbody> <tr> <td>IF1N</td> <td>01</td> <td>E ZZ CL</td> <td>VI 05 20 001</td> <td>B</td> <td>4 di 132</td> </tr> </tbody> </table>	COMMESSA	LOTTO	CODIFICA	DOCUMENTO	REV.	FOGLIO	IF1N	01	E ZZ CL	VI 05 20 001	B	4 di 132
COMMESSA	LOTTO	CODIFICA	DOCUMENTO	REV.	FOGLIO								
IF1N	01	E ZZ CL	VI 05 20 001	B	4 di 132								

1 PREMESSA

Nell'ambito dell'itinerario Napoli-Bari si inserisce il *Raddoppio della Tratta Canello-Benevento – 1° Lotto Funzionale Canello-Frasso Telesino e Variante alla Linea Roma-Napoli Via Cassino di Maddaloni* (compreso il *Collegamento Merci con lo scalo di Marcianise – Collegamento Benevento-Marcianise*) ed *Interconnessione Nord su LS Roma-Napoli via Cassino*, oggetto della progettazione esecutiva in esame.

Nella presente relazione, in particolare, vengono riportate le analisi e le verifiche condotte per la struttura palificata di approccio al Viadotto dal km 8+639 al km 8+773: Viadotto Rio Secco individuata come VI05A da km 8+533 a km 8+632.

Tale struttura palificata in c.a., presenta uno sviluppo longitudinale in asse tracciato rispettivamente pari a 99m.

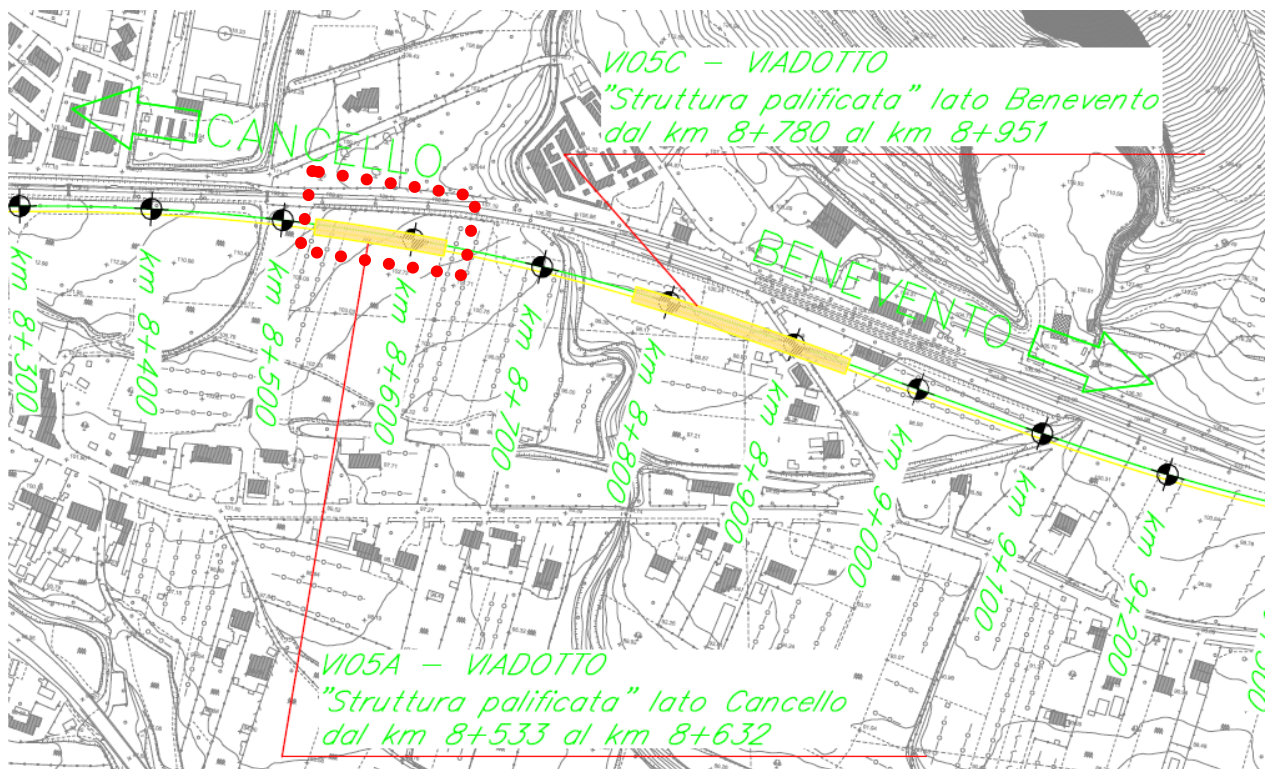


Figura 1 Pianta chiave

   	ITINERARIO NAPOLI – BARI RADDOPPIO TRATTA CANCELLO – BENEVENTO I° LOTTO FUNZIONALE CANCELLO - FRASSO TELESINO E VARIANTE ALLA LINEA ROMA-NAPOLI VIA CASSINO NEL COMUNE DI MADDALONI – PROGETTO ESECUTIVO												
<i>Viadotto Rio Secco</i> <i>VI05A- Opera di approccio al Viadotto Rio Secco:</i> <i>Relazione di calcolo</i>	<table border="1"> <thead> <tr> <th>COMMESSA</th> <th>LOTTO</th> <th>CODIFICA</th> <th>DOCUMENTO</th> <th>REV.</th> <th>FOGLIO</th> </tr> </thead> <tbody> <tr> <td>IF1N</td> <td>01</td> <td>E ZZ CL</td> <td>VI 05 20 001</td> <td>B</td> <td>5 di 132</td> </tr> </tbody> </table>	COMMESSA	LOTTO	CODIFICA	DOCUMENTO	REV.	FOGLIO	IF1N	01	E ZZ CL	VI 05 20 001	B	5 di 132
COMMESSA	LOTTO	CODIFICA	DOCUMENTO	REV.	FOGLIO								
IF1N	01	E ZZ CL	VI 05 20 001	B	5 di 132								

2 NORMATIVA DI RIFERIMENTO

Le principali Normative nazionali ed internazionali vigenti alla data di redazione del presente documento e prese a riferimento sono le seguenti:

- Rif. [1] Ministero delle Infrastrutture, DM 14 gennaio 2008, «Approvazione delle nuove norme tecniche per le costruzioni»
- Rif. [2] Ministero delle Infrastrutture e Trasporti, circolare 2 febbraio 2009, n. 617 C.S.LL.PP., «Istruzioni per l'applicazione delle Nuove norme tecniche per le costruzioni di cui al decreto ministeriale 14 gennaio 2008»
- Rif. [3] Istruzione RFI DTC INC PO SP IFS 001 - Specifica per la progettazione e l'esecuzione dei ponti ferroviari e di altre opere minori sotto binario
- Rif. [4] Istruzione RFI DTC INC CS SP IFS 001 - Specifica per la progettazione geotecnica delle opere civili ferroviarie
- Rif. [5] Istruzione RFI DTC INC PO SP IFS 002 - Specifica per la progettazione e l'esecuzione di cavalcavia e passerelle pedonali sulla sede ferroviaria
- Rif. [6] Istruzione RFI DTC INC PO SP IFS 003 - Specifica per la verifica a fatica dei ponti ferroviari
- Rif. [7] Istruzione RFI DTC INC PO SP IFS 004 - Specifica per la progettazione e l'esecuzione di impalcati ferroviari a travi in ferro a doppio T incorporate nel calcestruzzo
- Rif. [8] Istruzione RFI DTC INC PO SP IFS 005 - Specifica per il progetto, la produzione, il controllo della produzione e la posa in opera dei dispositivi di vincolo e dei coprigiunti degli impalcati ferroviari e dei cavalcavia
- Rif. [9] Eurocodice 1 – Azioni sulle strutture, Parte 1-4: Azioni in generale – Azioni del vento (UNI EN 1991-1-4)
- Rif. [10] Regolamento (UE) N.1299/2014 della Commissione del 18 Novembre 2014 relativo alle specifiche tecniche di interoperabilità per il sottosistema "infrastruttura" del sistema ferroviario dell'Unione europea

  	ITINERARIO NAPOLI – BARI RADDOPPIO TRATTA CANCELLO – BENEVENTO I° LOTTO FUNZIONALE CANCELLO - FRASSO TELESINO E VARIANTE ALLA LINEA ROMA-NAPOLI VIA CASSINO NEL COMUNE DI MADDALONI – PROGETTO ESECUTIVO												
<i>Viadotto Rio Secco</i> <i>VI05A- Opera di approccio al Viadotto Rio Secco:</i> <i>Relazione di calcolo</i>	<table border="1"> <thead> <tr> <th>COMMESSA</th> <th>LOTTO</th> <th>CODIFICA</th> <th>DOCUMENTO</th> <th>REV.</th> <th>FOGLIO</th> </tr> </thead> <tbody> <tr> <td>IF1N</td> <td>01</td> <td>E ZZ CL</td> <td>VI 05 20 001</td> <td>B</td> <td>6 di 132</td> </tr> </tbody> </table>	COMMESSA	LOTTO	CODIFICA	DOCUMENTO	REV.	FOGLIO	IF1N	01	E ZZ CL	VI 05 20 001	B	6 di 132
COMMESSA	LOTTO	CODIFICA	DOCUMENTO	REV.	FOGLIO								
IF1N	01	E ZZ CL	VI 05 20 001	B	6 di 132								

3 MATERIALI

Si riportano di seguito i materiali previsti per la realizzazione delle strutture, suddivisi per elemento costruttivo.

3.1 CALCESTRUZZO PER GETTI IN OPERA PER ELEVAZIONI

Classe C32/40

$R_{ck} =$	40	MPa	resistenza caratteristica cubica
$f_{ck} =$	32	MPa	resistenza caratteristica cilindrica
$f_{cm} =$	40	MPa	valor medio resistenza cilindrica
$\alpha_{cc} =$	0,85		coeff. rid. Per carichi di lunga durata
$\gamma_M =$	1,5	-	coefficiente parziale di sicurezza SLU
$f_{cd} =$	18,13	MPa	resistenza di progetto
$f_{ctm} =$	3,02	MPa	resistenza media a trazione semplice
$f_{ctm} =$	3,63	MPa	resistenza media a trazione per flessione
$f_{ctk} =$	2,12	MPa	valore caratteristico resistenza a trazione
$E_{cm} =$	33346	MPa	Modulo elastico di progetto
$\nu =$	0,2		Coefficiente di Poisson
$G_c =$	13894	MPa	Modulo elastico Tangenziale di progetto

3.2 CALCESTRUZZO PER GETTI IN OPERA PER FONDAZIONI

Classe C25/30

$R_{ck} =$	30.00	MPa	Resistenza caratteristica cubica
$f_{ck} = 0,83 R_{ck} =$	24.90	MPa	Resistenza caratteristica cilindrica
$f_{cm} = f_{ck} + 8 =$	32.90	MPa	Valore medio resistenza cilindrica
$\alpha_{cc} =$	0.85		Coeff. rid. per carichi di lunga durata
$\gamma_M =$	1.50	-	Coefficiente parziale di sicurezza SLU
$f_{cd} = \alpha_{cc} f_{ck} / \gamma_M =$	14.11	MPa	Resistenza di progetto
$f_{ctm} = 0,3 f_{ck}^{(2/3)} =$	2.56	MPa	Resistenza media a trazione semplice
$f_{ctm} = 1,2 f_{ctm} =$	3.07	MPa	Resistenza media a trazione per flessione
$f_{ctk} = 0,7 f_{ctm} =$	1.79	MPa	Valore caratteristico resistenza a trazione (frattile 5%)
$\sigma_c = 0,55 f_{ck} =$	13.70	MPa	Tensione limite in esercizio in comb. Rara (rif. §1.8.3.2.1 [3])

  	ITINERARIO NAPOLI – BARI RADDOPPIO TRATTA CANCELLO – BENEVENTO I° LOTTO FUNZIONALE CANCELLO - FRASSO TELESINO E VARIANTE ALLA LINEA ROMA-NAPOLI VIA CASSINO NEL COMUNE DI MADDALONI – PROGETTO ESECUTIVO												
<i>Viadotto Rio Secco</i> <i>VI05A- Opera di appoggio al Viadotto Rio Secco:</i> <i>Relazione di calcolo</i>	<table border="1"> <thead> <tr> <th>COMMESSA</th> <th>LOTTO</th> <th>CODIFICA</th> <th>DOCUMENTO</th> <th>REV.</th> <th>FOGLIO</th> </tr> </thead> <tbody> <tr> <td>IF1N</td> <td>01</td> <td>E ZZ CL</td> <td>VI 05 20 001</td> <td>B</td> <td>7 di 132</td> </tr> </tbody> </table>	COMMESSA	LOTTO	CODIFICA	DOCUMENTO	REV.	FOGLIO	IF1N	01	E ZZ CL	VI 05 20 001	B	7 di 132
COMMESSA	LOTTO	CODIFICA	DOCUMENTO	REV.	FOGLIO								
IF1N	01	E ZZ CL	VI 05 20 001	B	7 di 132								

$\sigma_c = 0,40 f_{ck} =$	9.96	MPa	Tensione limite in esercizio in comb. quasi perm. (rif. §1.8.3.2.1 [3])
$E_{cm} = 22000 (f_{cm}/10)^{(0,3)} =$	31447.00	MPa	Modulo elastico di progetto
$\nu =$	0.20		Coefficiente di Poisson
$G_c = E_{cm} / (2(1 + \nu)) =$	13103.00	MPa	Modulo elastico tangenziale di progetto
Condizioni ambientali =	Ordinarie		
Classe di esposizione =	XC2		
$c =$	6.00	cm	Copriferro minimo
$w =$	0.30	mm	Apertura massima fessure in esercizio in comb. Rara (rif. §1.8.3.2.4 [3])

3.3 ACCIAIO PER C.A.

B450C

$f_{yk} \geq$	450	MPa	tensione caratteristica di snervamento
$f_{tk} \geq$	540	MPa	tensione caratteristica di rottura
$(f_t/f_y)_k \geq$	1,15		
$(f_t/f_y)_k <$	1,35		
$g_s =$	1,15	-	coefficiente parziale di sicurezza SLU
$f_{yd} =$	391,3	MPa	tensione caratteristica di snervamento
$E_s =$	200000	MPa	Modulo elastico di progetto
$\epsilon_{yd} =$	0,196%		deformazione di progetto a snervamento
$\epsilon_{uk} = (A_{gt})_k$	7,50%		deformazione caratteristica ultima

  	ITINERARIO NAPOLI – BARI RADDOPPIO TRATTA CANCELLO – BENEVENTO I° LOTTO FUNZIONALE CANCELLO - FRASSO TELESINO E VARIANTE ALLA LINEA ROMA-NAPOLI VIA CASSINO NEL COMUNE DI MADDALONI – PROGETTO ESECUTIVO												
<i>Viadotto Rio Secco</i> <i>VI05A- Opera di approccio al Viadotto Rio Secco:</i> <i>Relazione di calcolo</i>	<table border="1"> <tr> <td>COMMESSA</td> <td>LOTTO</td> <td>CODIFICA</td> <td>DOCUMENTO</td> <td>REV.</td> <td>FOGLIO</td> </tr> <tr> <td>IF1N</td> <td>01</td> <td>E ZZ CL</td> <td>VI 05 20 001</td> <td>B</td> <td>8 di 132</td> </tr> </table>	COMMESSA	LOTTO	CODIFICA	DOCUMENTO	REV.	FOGLIO	IF1N	01	E ZZ CL	VI 05 20 001	B	8 di 132
COMMESSA	LOTTO	CODIFICA	DOCUMENTO	REV.	FOGLIO								
IF1N	01	E ZZ CL	VI 05 20 001	B	8 di 132								

4 DESCRIZIONE DELLA STRUTTURA

L'opera palificata è costituita da 4 conci con i seguenti parametri geometrici:

	Numero di pali	Lunghezza
		[m]
CONCIO 1	12	18
CONCIO 2	18	27
CONCIO 3	18	27
CONCIO 4	18	27
TOTALE	66	99

La struttura è composta da una soletta di 1,2 m di spessore con sbalzi laterali ed è sostenuta da una serie di pali. La struttura è stata proposta sulla base di condizioni geologiche sfavorevoli per una struttura scatolare analoga a quelle ricorrente sul tratto Canello-Benevento.

I pali sono lunghi in totale di 33m con una parte interrata di 28m e una parte in elevazione di massimo 5.85m di altezza. I pali sono di diametro 1,5m e sono disposti sia trasversalmente che longitudinalmente con interasse di 4,5m. I pali verranno realizzati come pali di fondazione standard fino al pian terreno. Il proseguimento dei pali in elevazione verrà realizzato con un getto successivo d'un calcestruzzo di classe superiore a quella usata in fondazione (C25/30 in fondazione contro C32/40 in elevazione).

L'elevazione dei pali verrà eseguita tramite un cassero a perdere in cemento.

Tra l'intradosso della struttura e il piano campagna saranno messi in opera blocchi isolanti di elementi EPS. La disposizioni di gabbioni con tasche vegetative costituirà il paramento finale dell'opera per un impatto ambientale minimo.

Viadotto Rio Secco

VI05A- Opera di approccio al Viadotto Rio Secco:
Relazione di calcolo

COMMESSA

LOTTO

CODIFICA

DOCUMENTO

REV.

FOGLIO

IF1N

01

E ZZ CL

VI 05 20 001

B

9 di 132

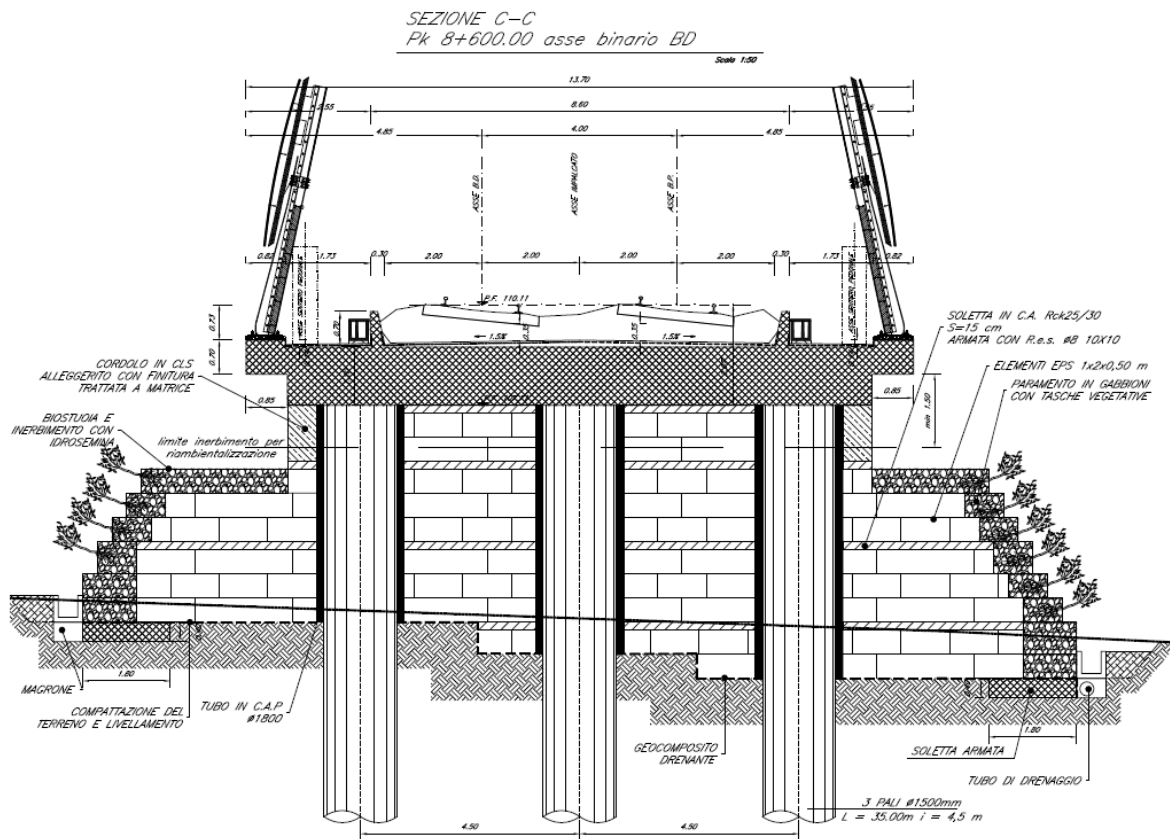


Figura 2 Sezione trasversale tipo

  	ITINERARIO NAPOLI – BARI RADDOPPIO TRATTA CANCELLO – BENEVENTO I° LOTTO FUNZIONALE CANCELLO - FRASSO TELESINO E VARIANTE ALLA LINEA ROMA-NAPOLI VIA CASSINO NEL COMUNE DI MADDALONI – PROGETTO ESECUTIVO												
<i>Viadotto Rio Secco</i> <i>VI05A- Opera di approccio al Viadotto Rio Secco:</i> <i>Relazione di calcolo</i>	<table border="1"> <tr> <td>COMMESSA</td> <td>LOTTO</td> <td>CODIFICA</td> <td>DOCUMENTO</td> <td>REV.</td> <td>FOGLIO</td> </tr> <tr> <td>IF1N</td> <td>01</td> <td>E ZZ CL</td> <td>VI 05 20 001</td> <td>B</td> <td>10 di 132</td> </tr> </table>	COMMESSA	LOTTO	CODIFICA	DOCUMENTO	REV.	FOGLIO	IF1N	01	E ZZ CL	VI 05 20 001	B	10 di 132
COMMESSA	LOTTO	CODIFICA	DOCUMENTO	REV.	FOGLIO								
IF1N	01	E ZZ CL	VI 05 20 001	B	10 di 132								

5 ANALISI DEI CARICHI

5.1 PESO PROPRIO (G1)

Il carico delle strutture in c.a. viene valutato considerando un peso di volume pari a 25 kN/mc.
 Il peso dei differenti elementi strutturali viene calcolato automaticamente dal programma di calcolo utilizzato.

5.2 PERMANENTI PORTATI (G2)

MASSICCIATA, ARMAMENTO E IMPERMEABILIZZAZIONE – G_{2,1}

Si assumono convenzionalmente i seguenti pesi di volume relativi alla massicciata, all'armamento e all'impermeabilizzazione:

Peso di volume in rettilineo:	18.00 kN/mc
Peso di volume in curva:	20.00 kN/mc

Si valuta l'azione sulla soletta di impalcato in riferimento al peso di volume in curva:

$$G_{2,1} = 20.00 \times 0.80 = 16.00 \text{ kN/mq}$$

Tale carico viene applicato per una larghezza pari a 8.6 m della suola superiore.

BARRIERE ANTIRUMORE – G_{2,2}

Si considera un carico relativo alle barriere antirumore pari a 4.0 kN/mq. Considerando cautelativamente un'altezza massima di barriera pari a 5.0 m, si ottiene un carico lineare pari a:

$$G_{2,2} = q_{\text{barriere}} = 4.0 \times 5.0 = 20 \text{ kN/m per ogni lato}$$

Per quanto riguarderà le verifiche della soletta, a vantaggio di sicurezza, si trascurerà il contributo del momento alla base delle barriere. Il peso delle barriere verrà considerato come azione concentrata agente in testa ai pali laterali.

Per sintesi si riportano i carichi al metro lineare considerati in fase di analisi.

$N_{\text{per,BA}} = 20 \text{ kN}$
$M_{\text{per,BA}} = 0 \text{ kN-m}$
$V_{\text{per,BA}} = 0 \text{ kN}$

CANALETTE IMPIANTI E IMPIANTI – G_{2,3}

A ridosso dei muretti para-ballast, sono previste delle canalette impianti sui lati esterni. Si assume un carico lineare uniforme pari a:

$$G_{2,3} = q_{\text{canalette}} = 2.50 \text{ kN/m per ogni lato dell'impalcato}$$

PORTALI T.E. – G_{2,4}

Si ipotizza un collegamento diretto dei portali T.E. alla struttura.

Le sollecitazioni sono state considerate nel verso cautelativo per le verifiche. In altri termini, gli effetti di taglio e momento trasversale sono stati sommati a quelli relativi alle barriere e al peso proprio. Di seguito si riporta la tabella con i carichi considerati.

SOSTEGNO TIPO	CONDIZ. DI CARICO	CARICHI MASSIMI SULLE FONDAZIONI		TIPO DEL	ATTREZZAGGIO TIPICO
		ALLA BASE DEI PALI E PORTALI	ALLA BASE T.T.		

  	ITINERARIO NAPOLI – BARI RADDOPPIO TRATTA CANCELLO – BENEVENTO I° LOTTO FUNZIONALE CANCELLO - FRASSO TELESINO E VARIANTE ALLA LINEA ROMA-NAPOLI VIA CASSINO NEL COMUNE DI MADDALONI – PROGETTO ESECUTIVO												
<i>Viadotto Rio Secco</i> <i>VI05A- Opera di approccio al Viadotto Rio Secco:</i> <i>Relazione di calcolo</i>	<table border="1"> <tr> <td>COMMESSA</td> <td>LOTTO</td> <td>CODIFICA</td> <td>DOCUMENTO</td> <td>REV.</td> <td>FOGLIO</td> </tr> <tr> <td>IF1N</td> <td>01</td> <td>E ZZ CL</td> <td>VI 05 20 001</td> <td>B</td> <td>11 di 132</td> </tr> </table>	COMMESSA	LOTTO	CODIFICA	DOCUMENTO	REV.	FOGLIO	IF1N	01	E ZZ CL	VI 05 20 001	B	11 di 132
COMMESSA	LOTTO	CODIFICA	DOCUMENTO	REV.	FOGLIO								
IF1N	01	E ZZ CL	VI 05 20 001	B	11 di 132								

SIGLA (1)	DESCRIZIONE	presenza tir. a terra	Mt	Tt	V	MI	TI	Vtir	Ttir	T.T.	A	B	C	D	E	F	G
			daNm	daN	daN	daNm	daN	daN	daN	daN	(2)						
PO2 bin	Port. orm. a 2 bin. (incastrato)	senza T.T.	10800	2800	5300	94800	9000	/	/	/	2	2		4			
PO2 tipo...⁽⁵⁾	Port. orm. luce var.(incastrato)	senza T.T.	16700	4300	5500	90000	10900	/	/	/	2	2		4		2	

Di seguito si riporta lo schema di applicazione dei carichi.

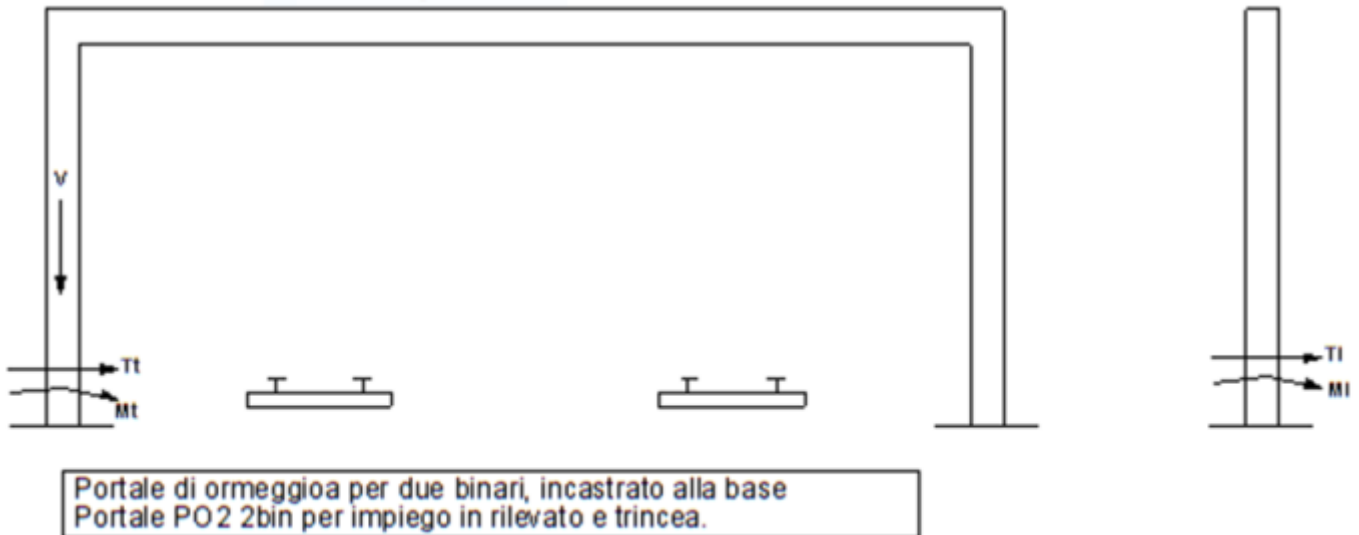


Figura 3 – Schema di applicazione dei carichi T.E.

Per sintesi si riportano i carichi considerati in fase di analisi.

$$N_{per,TE} = 55 \text{ kN}$$

$$M_{per,TE} = 167 \text{ kN-m}$$

$$V_{per,TE} = 43 \text{ kN}$$

   	ITINERARIO NAPOLI – BARI RADDOPPIO TRATTA CANCELLO – BENEVENTO I° LOTTO FUNZIONALE CANCELLO - FRASSO TELESINO E VARIANTE ALLA LINEA ROMA-NAPOLI VIA CASSINO NEL COMUNE DI MADDALONI – PROGETTO ESECUTIVO												
<i>Viadotto Rio Secco</i> <i>VI05A- Opera di appoggio al Viadotto Rio Secco:</i> <i>Relazione di calcolo</i>	<table border="1"> <thead> <tr> <th>COMMESSA</th> <th>LOTTO</th> <th>CODIFICA</th> <th>DOCUMENTO</th> <th>REV.</th> <th>FOGLIO</th> </tr> </thead> <tbody> <tr> <td>IF1N</td> <td>01</td> <td>E ZZ CL</td> <td>VI 05 20 001</td> <td>B</td> <td>12 di 132</td> </tr> </tbody> </table>	COMMESSA	LOTTO	CODIFICA	DOCUMENTO	REV.	FOGLIO	IF1N	01	E ZZ CL	VI 05 20 001	B	12 di 132
COMMESSA	LOTTO	CODIFICA	DOCUMENTO	REV.	FOGLIO								
IF1N	01	E ZZ CL	VI 05 20 001	B	12 di 132								

MURETTI PARA BALLAST- G2,5

Di seguito è riportato il peso al metro lineare dei muretti para-ballast, considerato come carico portato nel programma di calcolo.

G _{2,5}	muretti para ballast		
Larghezza media	b	0.2	m
Altezza	h	0.7	m
Aria sezione	Ac	0.14	m ²
Peso lineare	g _{2,5}	3.5	kN/m

SPINTA DELLE TERRE

La tipologia della struttura non comporta rilevati laterali di terreno.

	ITINERARIO NAPOLI – BARI RADDOPPIO TRATTA CANCELLO – BENEVENTO I° LOTTO FUNZIONALE CANCELLO - FRASSO TELESINO E VARIANTE ALLA LINEA ROMA-NAPOLI VIA CASSINO NEL COMUNE DI MADDALONI – PROGETTO ESECUTIVO												
<i>Viadotto Rio Secco</i> <i>VI05A- Opera di appoggio al Viadotto Rio Secco:</i> <i>Relazione di calcolo</i>	<table border="1"> <tr> <td>COMMESSA</td> <td>LOTTO</td> <td>CODIFICA</td> <td>DOCUMENTO</td> <td>REV.</td> <td>FOGLIO</td> </tr> <tr> <td>IF1N</td> <td>01</td> <td>E ZZ CL</td> <td>VI 05 20 001</td> <td>B</td> <td>13 di 132</td> </tr> </table>	COMMESSA	LOTTO	CODIFICA	DOCUMENTO	REV.	FOGLIO	IF1N	01	E ZZ CL	VI 05 20 001	B	13 di 132
COMMESSA	LOTTO	CODIFICA	DOCUMENTO	REV.	FOGLIO								
IF1N	01	E ZZ CL	VI 05 20 001	B	13 di 132								

5.3 AZIONI VARIABILI (Q)

TRENI DI CARICO

I carichi verticali sono definiti per mezzo dei modelli di carico elencati nella seguente tabella. I valori caratteristici dei carichi attribuiti ai modelli di carico debbono moltiplicarsi per il coefficiente "α" che deve assumersi come da tabella seguente:

MODELLO DI CARICO	COEFFICIENTE "α"
LM71	1.1
SW/0	1.1
SW/2	1.0

Tabella 1 – coefficienti α per modelli di carico

5.3.1.1 TRENO DI CARICO LM71 (Q1,1– Q1,2– Q1,3– Q1,4)

Il treno di carico LM71 è schematizzato nella figura seguente.

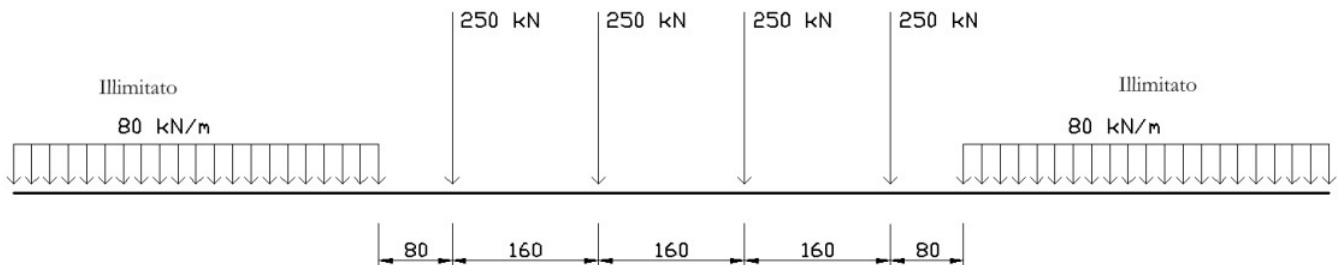


Figura 4 – Treno di carico LM71

Per questo modello di carico è prevista una eccentricità del carico rispetto all'asse del binario pari a $s/18$, con $s=1435$ mm. Quindi, l'eccentricità considerata nel modo più sfavorevole per le strutture è pari a:

$e = \sim 80$ mm.

$q_{LM71} = 1.1 \times 4 \times 250 / (4 \times 1.60) = 172$ kN/m

Il carico relativo al transito del convoglio si ottiene dividendo per la larghezza di diffusione di 3.8 m (vedi §5.3.1.4.2).

$q_{var} = 172 / 3.80 = 45.30$ kN/mq

Il carico relativo al carico distribuito del treno di carico LM71 vale 80kN/m, anche questo viene ripartito trasversalmente per una larghezza di 3,8m.

$q_{var} = 1.1 \times 80 / 3.80 = 23.15$ kN/mq

	ITINERARIO NAPOLI – BARI RADDOPPIO TRATTA CANCELLO – BENEVENTO I° LOTTO FUNZIONALE CANCELLO - FRASSO TELESINO E VARIANTE ALLA LINEA ROMA-NAPOLI VIA CASSINO NEL COMUNE DI MADDALONI – PROGETTO ESECUTIVO												
<i>Viadotto Rio Secco</i> <i>VI05A- Opera di approccio al Viadotto Rio Secco:</i> <i>Relazione di calcolo</i>	<table border="1"> <tr> <td>COMMESSA</td> <td>LOTTO</td> <td>CODIFICA</td> <td>DOCUMENTO</td> <td>REV.</td> <td>FOGLIO</td> </tr> <tr> <td>IF1N</td> <td>01</td> <td>E ZZ CL</td> <td>VI 05 20 001</td> <td>B</td> <td>14 di 132</td> </tr> </table>	COMMESSA	LOTTO	CODIFICA	DOCUMENTO	REV.	FOGLIO	IF1N	01	E ZZ CL	VI 05 20 001	B	14 di 132
COMMESSA	LOTTO	CODIFICA	DOCUMENTO	REV.	FOGLIO								
IF1N	01	E ZZ CL	VI 05 20 001	B	14 di 132								

5.3.1.2 TRENI DI CARICO SW/0- SW/2(Q3,1 – Q3,2 – Q3,3 – Q3,4)

Il Treni di carico SW/0-SW/2 sono schematizzati nella figura seguente.



Figura 5 – Treno di carico SW

Tipo di carico	Qvk [kN/m]	A [m]	C [m]
SW/0	133	15.0	5.3
SW/2	150	25.0	7.0

Tabella 2 – caratterizzazione treni di carico SW

Nel modello è stato considerato il treno di carico SW/2. Il modello SW/0 non va utilizzato in quanto risulterebbe meno gravoso dell' SW/2 e non è verificato il requisito del §5.2.2.3.1.2 [1].

$$q_{var} = 1 \times 150 / 3.80 = 40.00 \text{ kN/mq}$$

5.3.1.3 TRENO SCARICO

Alcuni scenari di carico prevedono l'impiego del treno scarico, convenzionalmente costituito da un carico uniformemente distribuito pari a 10.00 kN/m. Tale carico non è dimensionante per il manufatto in oggetto.

5.3.1.4 RIPARTIZIONE LOCALE DEI CARICHI

5.3.1.4.1 Ripartizione longitudinale

Nelle analisi si sono considerati i seguenti meccanismi di ripartizione longitudinale dei carichi.

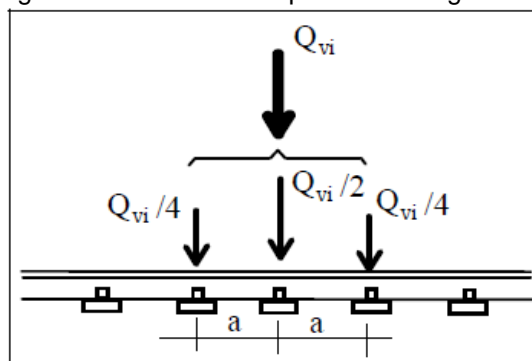


Figura 6 – meccanismo di ripartizione longitudinale per mezzo del binario

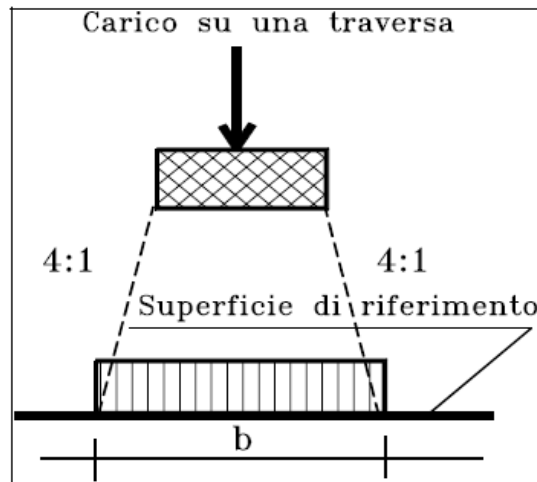


Figura 7 – meccanismo di ripartizione longitudinale per mezzo di traversa e ballast

La superficie di riferimento è la superficie di appoggio del ballast.

Nel caso specifico, la ripartizione viene valutata a partire dai seguenti parametri medi:

Larghezza traversine: $B = 0.26$ m

Interasse traversine: $a = 0.60$ m

Altezza di diffusione: $h = 0.40$ m

Larghezza di diffusione: $b = B + 2 \times h/4 = 0.46$ m < a

5.3.1.4.2 Ripartizione trasversale

Nelle analisi si sono considerati i seguenti meccanismi di ripartizione trasversale dei carichi.

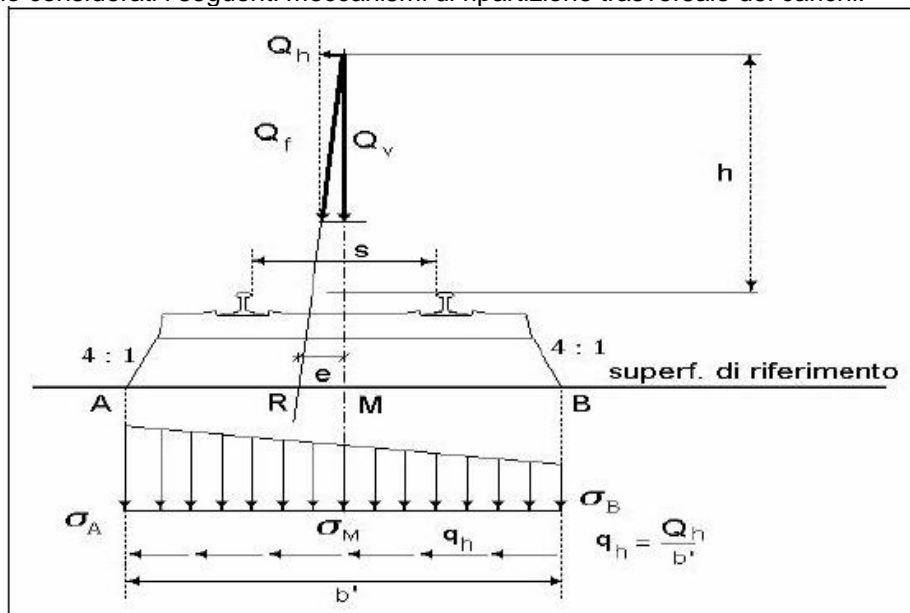


Figura 8 – meccanismo di ripartizione longitudinale per mezzo di traversa e ballast – ponte in rettifilo

	ITINERARIO NAPOLI – BARI RADDOPPIO TRATTA CANCELLO – BENEVENTO I° LOTTO FUNZIONALE CANCELLO - FRASSO TELESINO E VARIANTE ALLA LINEA ROMA-NAPOLI VIA CASSINO NEL COMUNE DI MADDALONI – PROGETTO ESECUTIVO												
<i>Viadotto Rio Secco</i> <i>VI05A- Opera di approccio al Viadotto Rio Secco:</i> <i>Relazione di calcolo</i>	<table border="1"> <thead> <tr> <th>COMMESSA</th> <th>LOTTO</th> <th>CODIFICA</th> <th>DOCUMENTO</th> <th>REV.</th> <th>FOGLIO</th> </tr> </thead> <tbody> <tr> <td>IF1N</td> <td>01</td> <td>E ZZ CL</td> <td>VI 05 20 001</td> <td>B</td> <td>16 di 132</td> </tr> </tbody> </table>	COMMESSA	LOTTO	CODIFICA	DOCUMENTO	REV.	FOGLIO	IF1N	01	E ZZ CL	VI 05 20 001	B	16 di 132
COMMESSA	LOTTO	CODIFICA	DOCUMENTO	REV.	FOGLIO								
IF1N	01	E ZZ CL	VI 05 20 001	B	16 di 132								

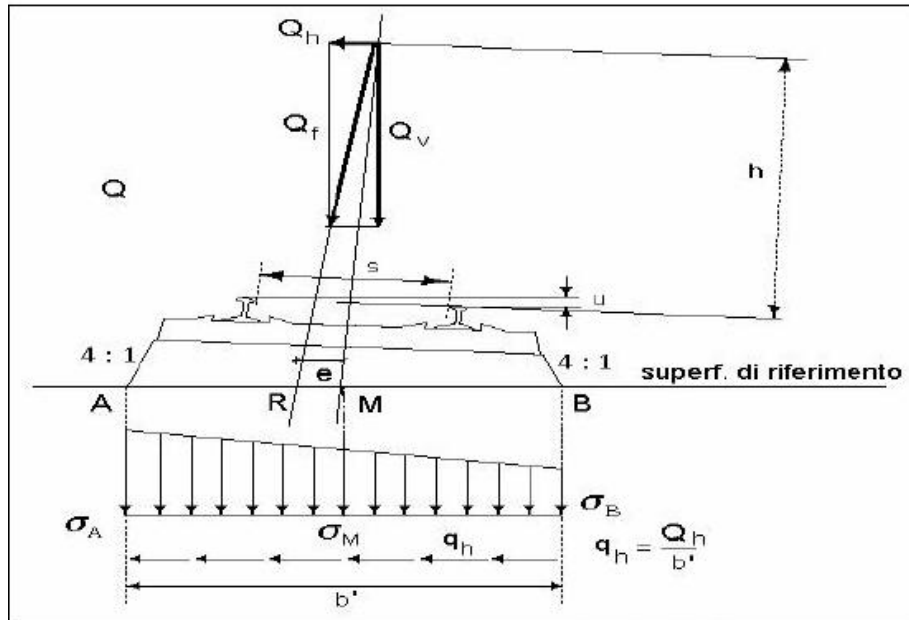


Figura 9 – meccanismo di ripartizione longitudinale per mezzo di traversa e ballast – ponte in curva
 La superficie di riferimento è la superficie di appoggio del ballast.

Nel caso specifico, la ripartizione viene valutata a partire dai seguenti parametri medi. Si adotta lo schema di ponte in curva.

Larghezza traversine: $B = 2.40 \text{ m}$
 Altezza di diffusione: $h = 0.40 \text{ m}$
 Larghezza di diffusione: $b = B + 2 \times h/4 = 2.60 \text{ m}$

Si ripartiranno ulteriormente i carichi all'interno nella soletta con ripartizione a 45° , fino al piano medio della stessa, come indicato al paragrafo 2.5.1.4.1.4 del RFI DTC SI PS MA IFS 001 A.

Altezza soletta: $H = 1.20/2 = 0.6 \text{ m}$
 Altezza di diffusione: $h = 1.20/2 = 0.6 \text{ m}$
 Larghezza diffusione: $B_{TOT} = 2.6 + 2 \times 0.6 = 3.8 \text{ m}$

La larghezza di diffusione è inferiore all'interasse dei binari (4.00 m).

CARICHI SUI MARCIAPIEDI (Q2,1 – Q2,2)

I marciapiedi non aperti al pubblico sono utilizzati solo dal personale autorizzato. I carichi accidentali sono schematizzati da un carico uniformemente ripartito del valore di 10 kN/mq .

Questo carico non deve considerarsi contemporaneo al transito dei convogli ferroviari e deve essere applicato sopra i marciapiedi in modo da dare luogo agli effetti locali più sfavorevoli. Per questo tipo di carico distribuito non deve applicarsi l'incremento dinamico.

AZIONE CENTRIFUGA (Q4,1-Q4,2)

La forza centrifuga si considera agente verso l'esterno della curva, in direzione orizzontale ed applicata alla quota di $1,80 \text{ m}$ al di sopra del P.F.

  	ITINERARIO NAPOLI – BARI RADDOPPIO TRATTA CANCELLO – BENEVENTO 1° LOTTO FUNZIONALE CANCELLO - FRASSO TELESINO E VARIANTE ALLA LINEA ROMA-NAPOLI VIA CASSINO NEL COMUNE DI MADDALONI – PROGETTO ESECUTIVO												
<i>Viadotto Rio Secco</i> <i>VI05A- Opera di approccio al Viadotto Rio Secco:</i> <i>Relazione di calcolo</i>	<table border="1"> <tr> <td>COMMESSA</td> <td>LOTTO</td> <td>CODIFICA</td> <td>DOCUMENTO</td> <td>REV.</td> <td>FOGLIO</td> </tr> <tr> <td>IF1N</td> <td>01</td> <td>E ZZ CL</td> <td>VI 05 20 001</td> <td>B</td> <td>17 di 132</td> </tr> </table>	COMMESSA	LOTTO	CODIFICA	DOCUMENTO	REV.	FOGLIO	IF1N	01	E ZZ CL	VI 05 20 001	B	17 di 132
COMMESSA	LOTTO	CODIFICA	DOCUMENTO	REV.	FOGLIO								
IF1N	01	E ZZ CL	VI 05 20 001	B	17 di 132								

Le azioni centrifughe sono state valutate secondo le seguenti espressioni:

$$Q_{tk} = \frac{V^2}{g \cdot r} (f \cdot Q_{vk}) = \frac{V^2}{127 \cdot r} (f \cdot Q_{vk})$$

$$q_{tk} = \frac{V^2}{g \cdot r} (f \cdot q_{vk}) = \frac{V^2}{127 \cdot r} (f \cdot q_{vk})$$

Le azioni centrifughe sono state valutate secondo quanto riportato nella seguente tabella.

Valore di α	Massima velocità della linea [Km/h]	Azione centrifuga basata su:				traffico verticale associato
		V	α	f		
SW/2	≥ 100	100	1	1	$1 \times 1 \times SW/2$	$\Phi \times 1 \times SW/2$
	< 100	V	1	1	$1 \times 1 \times SW/2$	
LM71 + SW/0	> 120	V	1	f	$1 \times f \times (LM71'' + SW/0)$	$\Phi \times 1 \times 1 \times (LM71'' + SW/0)$
		120	α	1	$\alpha \times 1 \times (LM71'' + SW/0)$	$\Phi \times \alpha \times 1 \times (LM71'' + SW/0)$
	≤ 120	V	α	1	$\alpha \times 1 \times (LM71'' + SW/0)$	

Tabella 3 – Parametri per determinazione della forza centrifuga

A vantaggio di sicurezza si assume un valore di azione centrifuga pari a 15 kN/m, avendo considerato i seguenti parametri di calcolo. Il momento associato alla forza centrifuga non è considerata nel modello per via del suo effetto favorevole sulla flessione della soletta sotto i carichi del traffico ferroviario.

V = 120 km/h velocità di progetto (per LM71)
R = 1745 m raggio di curvatura minimo
f = 1 coeff. di riduzione

	ITINERARIO NAPOLI – BARI RADDOPPIO TRATTA CANCELLO – BENEVENTO I° LOTTO FUNZIONALE CANCELLO - FRASSO TELESINO E VARIANTE ALLA LINEA ROMA-NAPOLI VIA CASSINO NEL COMUNE DI MADDALONI – PROGETTO ESECUTIVO												
<i>Viadotto Rio Secco</i> <i>VI05A- Opera di approccio al Viadotto Rio Secco:</i> <i>Relazione di calcolo</i>	<table border="1"> <thead> <tr> <th>COMMESSA</th> <th>LOTTO</th> <th>CODIFICA</th> <th>DOCUMENTO</th> <th>REV.</th> <th>FOGLIO</th> </tr> </thead> <tbody> <tr> <td>IF1N</td> <td>01</td> <td>E ZZ CL</td> <td>VI 05 20 001</td> <td>B</td> <td>18 di 132</td> </tr> </tbody> </table>	COMMESSA	LOTTO	CODIFICA	DOCUMENTO	REV.	FOGLIO	IF1N	01	E ZZ CL	VI 05 20 001	B	18 di 132
COMMESSA	LOTTO	CODIFICA	DOCUMENTO	REV.	FOGLIO								
IF1N	01	E ZZ CL	VI 05 20 001	B	18 di 132								

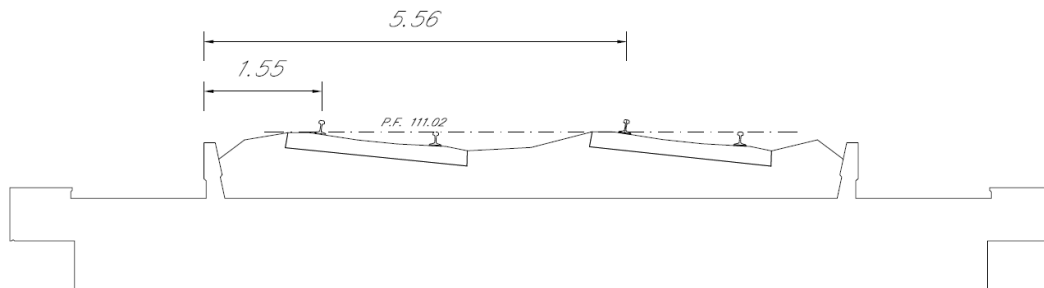
SERPEGGIO (Q4,3-Q4,4)

La forza laterale indotta dal serpeggio si considera come una forza concentrata agente orizzontalmente, applicata alla sommità della rotaia più alta, perpendicolarmente all'asse del binario. Tale azione si applicherà sia in rettilineo che in curva.

Il valore caratteristico di tale forza è stato assunto pari a $Q_{sk}=100$ kN. Tale valore deve essere moltiplicato per α , ma non per il coefficiente di incremento dinamico.

Per la valutazione dei carichi dovuti a serpeggio, si considera la presenza del convoglio su entrambi i binari. Le due azioni di serpeggio vengono ripartite considerando le rispettive distanze dei binari dalla superficie interna del muro. Tali distanze valgono rispettivamente 1.5 e 5.5 m.

La ripartizione è calcolata considerando una diffusione a 45° nel ballast.



AVVIAMENTO E FRENATURA (Q8,1-Q8,2)

Si considerano i seguenti valori caratteristici per le azioni:

$Q_{la,k} = 33$ kN/m avviamento LM71-SW/0-SW/2

$Q_{lb,k} = 20$ kN/m frenatura LM71-SW/0

$Q_{lb,k} = 35$ kN/m per modelli di carico SW/2

Il manufatto standard ha lunghezza=27 m, pertanto tali azioni non subiscono le limitazioni previste dalla normativa. Tenuto conto della divisione in mesh della soletta con maglia 50X50cm, si applicheranno le azioni come carichi nodali longitudinali sull'asse del binario con la seguente entità:

- 16.5 kN per l'azione di avviamento
- 10 kN per l'azione di frenatura
- 17.5 kN per l'azione di frenatura.

  	ITINERARIO NAPOLI – BARI RADDOPPIO TRATTA CANCELLO – BENEVENTO I° LOTTO FUNZIONALE CANCELLO - FRASSO TELESINO E VARIANTE ALLA LINEA ROMA-NAPOLI VIA CASSINO NEL COMUNE DI MADDALONI – PROGETTO ESECUTIVO												
<i>Viadotto Rio Secco</i> <i>VI05A- Opera di approccio al Viadotto Rio Secco:</i> <i>Relazione di calcolo</i>	<table border="1"> <thead> <tr> <th>COMMESSA</th> <th>LOTTO</th> <th>CODIFICA</th> <th>DOCUMENTO</th> <th>REV.</th> <th>FOGLIO</th> </tr> </thead> <tbody> <tr> <td>IF1N</td> <td>01</td> <td>E ZZ CL</td> <td>VI 05 20 001</td> <td>B</td> <td>19 di 132</td> </tr> </tbody> </table>	COMMESSA	LOTTO	CODIFICA	DOCUMENTO	REV.	FOGLIO	IF1N	01	E ZZ CL	VI 05 20 001	B	19 di 132
COMMESSA	LOTTO	CODIFICA	DOCUMENTO	REV.	FOGLIO								
IF1N	01	E ZZ CL	VI 05 20 001	B	19 di 132								

5.4 AZIONI DINAMICHE

Per i veicoli che transitano sopra il manufatto, la struttura risponde al caso 5.3 (portale a luci multiple della tabella 1.4.2.5.3-1 dell'Istruzione RFI DTC INC PO SP IFS 001, che rimanda al caso 5.2. con l'applicazione di un coeff. riduttivo pari a 0.9. Di seguito si riporta la valutazione del coeff. dinamico.

L1	6	m
L2	4.5	m
L3	4.5	m
L4	6	m
n	4	
k	1.4	
Lm	5.25	m
LΦ	7.35	m
Φ2	1.4	
Φ3	1.6	

Nelle analisi è stato considerato il coefficiente ϕ_3 (normale standard manutentivo).

Nel modello di calcolo gli effetti dinamici sono implementati come moltiplicatore dei Load Case Q1,1, Q1,2, Q1,3 e Q1,4 per LM71 e Q3,1, Q3,2, Q3,3 e Q3,4 per SW2.

	ITINERARIO NAPOLI – BARI RADDOPPIO TRATTA CANCELLO – BENEVENTO I° LOTTO FUNZIONALE CANCELLO - FRASSO TELESINO E VARIANTE ALLA LINEA ROMA-NAPOLI VIA CASSINO NEL COMUNE DI MADDALONI – PROGETTO ESECUTIVO												
<i>Viadotto Rio Secco</i> <i>VI05A- Opera di appoggio al Viadotto Rio Secco:</i> <i>Relazione di calcolo</i>	<table border="1"> <thead> <tr> <th>COMMESSA</th> <th>LOTTO</th> <th>CODIFICA</th> <th>DOCUMENTO</th> <th>REV.</th> <th>FOGLIO</th> </tr> </thead> <tbody> <tr> <td>IF1N</td> <td>01</td> <td>E ZZ CL</td> <td>VI 05 20 001</td> <td>B</td> <td>20 di 132</td> </tr> </tbody> </table>	COMMESSA	LOTTO	CODIFICA	DOCUMENTO	REV.	FOGLIO	IF1N	01	E ZZ CL	VI 05 20 001	B	20 di 132
COMMESSA	LOTTO	CODIFICA	DOCUMENTO	REV.	FOGLIO								
IF1N	01	E ZZ CL	VI 05 20 001	B	20 di 132								

5.5 AZIONI DOVUTE AL DERAGLIAMENTO

In alternativa ai modelli di carico verticale da traffico ferroviario, ai fini della verifica della struttura si dovrà tenere conto della possibilità che un locomotore o un carro pesante deragli. La normativa propone due diverse situazioni di progetto;

Caso 1

Si considerano due carichi verticali lineari $q_{A1d} = 60 \text{ kN/m}$ (comprensivo dell'effetto dinamico) ciascuno. Tali carichi saranno posizionati longitudinalmente su una lunghezza di 6.40m. Trasversalmente i carichi distano fra loro di S (scartamento del binario) e possono assumere tutte le posizioni comprese entro i limiti indicati in Fig. 5.2.12.

Per questa condizione sono tollerati danni locali, purché possano essere facilmente riparati, mentre sono da evitare danneggiamenti delle strutture portanti principali.

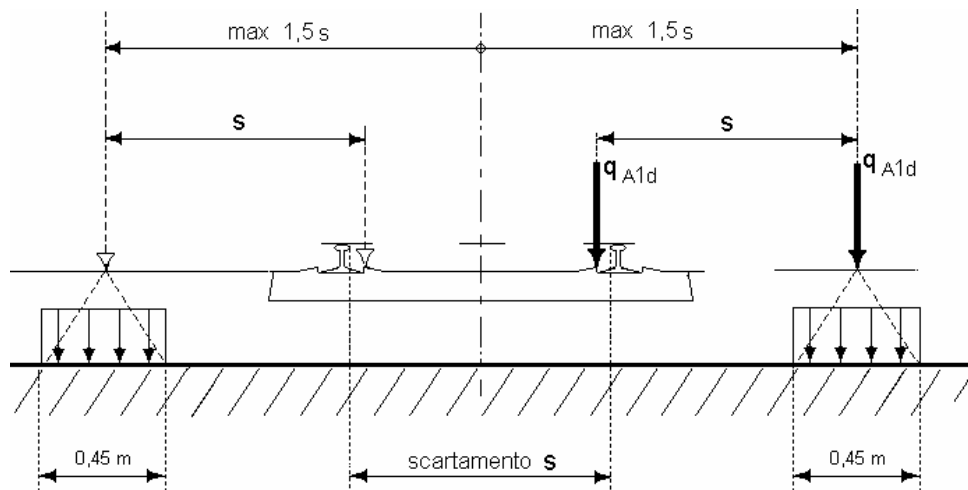


Figura 10 – posizione azioni da deragliamento – caso 1

Caso 2

Si considera un unico carico lineare $q_{A2d} = 80 \times 1.4 \text{ kN/m}$ esteso per 20 m e disposto con una eccentricità massima, lato esterno, di $1.5 s$ rispetto all'asse del binario. Tale caso deve essere applicato solo per effetti globali.

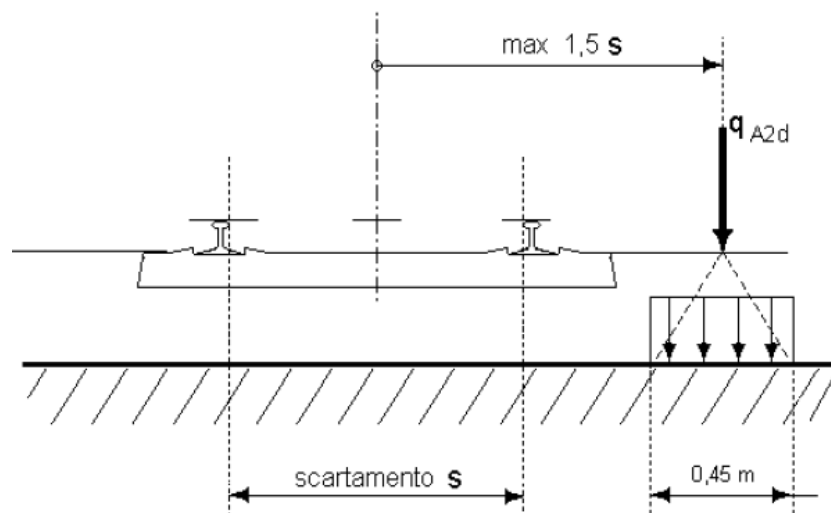


Figura 11 – posizione azioni da deragliamento – caso 2

	ITINERARIO NAPOLI – BARI RADDOPPIO TRATTA CANCELLO – BENEVENTO I° LOTTO FUNZIONALE CANCELLO - FRASSO TELESINO E VARIANTE ALLA LINEA ROMA-NAPOLI VIA CASSINO NEL COMUNE DI MADDALONI – PROGETTO ESECUTIVO												
<i>Viadotto Rio Secco</i> <i>VI05A- Opera di approccio al Viadotto Rio Secco:</i> <i>Relazione di calcolo</i>	<table border="1"> <thead> <tr> <th>COMMESSA</th> <th>LOTTO</th> <th>CODIFICA</th> <th>DOCUMENTO</th> <th>REV.</th> <th>FOGLIO</th> </tr> </thead> <tbody> <tr> <td>IF1N</td> <td>01</td> <td>E ZZ CL</td> <td>VI 05 20 001</td> <td>B</td> <td>21 di 132</td> </tr> </tbody> </table>	COMMESSA	LOTTO	CODIFICA	DOCUMENTO	REV.	FOGLIO	IF1N	01	E ZZ CL	VI 05 20 001	B	21 di 132
COMMESSA	LOTTO	CODIFICA	DOCUMENTO	REV.	FOGLIO								
IF1N	01	E ZZ CL	VI 05 20 001	B	21 di 132								

La posizione dei carichi non determina scenari che vedono coinvolti elementi sensibili a rotture localizzate (mensole, muretti, elementi puntuali, ecc.). Inoltre, sia la posizione che l'entità dei carichi (molto inferiori rispetto ai carichi da traffico considerati in progetto), unitamente al fatto che i relativi effetti devono essere considerati nell'ambito delle combinazioni eccezionali (con valori dei coefficienti parziali sensibilmente meno gravosi di quelli considerate nelle combinazioni caratteristiche) portano a concludere che le azioni da deragliamenti non sono significative per le verifiche degli elementi strutturali del manufatto e non determinano scenari più gravosi di quelli effettivamente considerati nei confronti della stabilità globale del manufatto.

5.6 AZIONI CLIMATICHE

Le azioni termiche sono state considerate come agenti sulla soletta di copertura e sui piedritti laterali visto il ricoprimento di terreno che protegge la platea di fondazione.

VARIAZIONE TERMICA UNIFORME (Q5U)

È stata considerata una variazione termica uniforme della soletta pari a $\pm 15^{\circ}\text{C}$.

VARIAZIONE TERMICA DIFFERENZIALE (Q5D)

È stata considerata una differenza di temperatura tra estradosso e intradosso della soletta pari a $\pm 5^{\circ}\text{C}$, tale azione è stata applicata alla soletta.

VENTO (Q6,1-Q6,2)

L'azione del vento, in accordo con le prescrizioni di Normativa, è stata analizzata mediante un'azione statica equivalente utilizzando le seguenti espressioni:

$$p = q_b \cdot c_e \cdot c_p \cdot c_d$$

L'azione del vento è valutabile come un carico orizzontale uniforme diretto ortogonalmente all'asse longitudinale del ponte, agente sulla proiezione, nel piano verticale, delle superfici direttamente investite dal vento.

Cautelativamente nel calcolo è stato assunto un valore pari a 2.50 KPa.

La pressione del vento si considera agente, sia sulla barriera antirumore che sulla parte di struttura esposta. A vantaggio di sicurezza si assume un'altezza complessiva per la barriera pari a 5.40 m.

$$p_{\text{PRESSIONE}} = 2.5 \text{ kN/mq}$$

$$p_{\text{DEPRESSIONE}} = 2.5 \text{ kN/mq}$$

VENTO IN PRESSIONE/DEPRESSIONE

$$N_{\text{var1}} = 0 \text{ kN/m}$$

$$V_{\text{var1}} = 2.5 \times 5.40 \times 3.00\text{m} = 40.5 \text{ kN/m}$$

$$M_{\text{var1}} = 2.5 \times 5.40^2 \times 3.00\text{m} / 2 = 110 \text{ kN/m}$$

L'azione è considerata agente sulle barriere su i due lati, sia in pressione che in depressione. Il taglio orizzontale ed il momento flettente sono stati assegnati al modello mediante forze e momenti concentrati applicati in nodi corrispondenti ad ogni collegamento tra la B.A. e la struttura, quindi ad interasse 3.00m (vedi **Figura 34** e **Figura 35**).

  	ITINERARIO NAPOLI – BARI RADDOPPIO TRATTA CANCELLO – BENEVENTO I° LOTTO FUNZIONALE CANCELLO - FRASSO TELESINO E VARIANTE ALLA LINEA ROMA-NAPOLI VIA CASSINO NEL COMUNE DI MADDALONI – PROGETTO ESECUTIVO												
<i>Viadotto Rio Secco</i> <i>VI05A- Opera di approccio al Viadotto Rio Secco:</i> <i>Relazione di calcolo</i>	<table border="1"> <thead> <tr> <th>COMMESSA</th> <th>LOTTO</th> <th>CODIFICA</th> <th>DOCUMENTO</th> <th>REV.</th> <th>FOGLIO</th> </tr> </thead> <tbody> <tr> <td>IF1N</td> <td>01</td> <td>E ZZ CL</td> <td>VI 05 20 001</td> <td>B</td> <td>22 di 132</td> </tr> </tbody> </table>	COMMESSA	LOTTO	CODIFICA	DOCUMENTO	REV.	FOGLIO	IF1N	01	E ZZ CL	VI 05 20 001	B	22 di 132
COMMESSA	LOTTO	CODIFICA	DOCUMENTO	REV.	FOGLIO								
IF1N	01	E ZZ CL	VI 05 20 001	B	22 di 132								

5.7 AZIONI INDIRETTE

RITIRO E VISCOSITÀ (Q7)

Di seguito si riporta la valutazione del ritiro sulla struttura. La valutazione tiene conto della riduzione del ritiro per effetto della viscosità. Il ritiro si considera agente solo sulla soletta di copertura e sono stati applicati nel modello come delta di temperatura.

Viscosità (EN1992-1-1 §3.1.4)			
Classe	C32/40		Classe del calcestruzzo
R_{ck} =	40	MPa	resistenza caratteristica cubica
f_{ck} =	32	MPa	resistenza caratteristica cilindrica
f_{cm} =	40	MPa	valor medio resistenza cilindrica
E_{cm} =	33.346	MPa	Modulo elastico di progetto
E_c =	35.013	MPa	Modulo elastico tangente
Cem.Tipo	N	-	CEM 32,5 R, CEM 42,5 N
t_0	7	gg	età di applicazione del carico
t_0^*	7	gg	età di applicazione del carico modif. tipo cem. (S, N o R)
t	10.000	gg	
A_c	11.520.000	mmq	area sez trasversale
u	19200	mm	perimetro a contatto con l'atmosfera
h_0	1200	mm	dimensione fittizia dell'elemento
RH	65	%	Umidità Relativa
$\beta(f_{cm})$	2,66	-	influenza della resistenza del cls
$\beta(t_0)$	0,63	-	influenza del momento di applicazione del carico
φ_{RH}	1,29	-	coeff.influenza dell'umidità relativa
α_1	0,91	-	coeff.influenza della resistenza del cls
α_2	0,97	-	coeff.influenza della resistenza del cls
α_3	0,94	-	coeff.influenza della resistenza del cls
φ_0	2,18	-	coeff. nominale di viscosità
β_H	352,29	-	coeff. per RH e h_0
$\beta_c(t^*, t_0)$	0,99	-	
$\varphi(t^*, t_0)$	2,16	-	Coeff. di viscosità

  	ITINERARIO NAPOLI – BARI RADDOPPIO TRATTA CANCELLO – BENEVENTO I° LOTTO FUNZIONALE CANCELLO - FRASSO TELESINO E VARIANTE ALLA LINEA ROMA-NAPOLI VIA CASSINO NEL COMUNE DI MADDALONI – PROGETTO ESECUTIVO												
<i>Viadotto Rio Secco</i> <i>VI05A- Opera di approccio al Viadotto Rio Secco:</i> <i>Relazione di calcolo</i>	<table border="1"> <thead> <tr> <th>COMMESSA</th> <th>LOTTO</th> <th>CODIFICA</th> <th>DOCUMENTO</th> <th>REV.</th> <th>FOGLIO</th> </tr> </thead> <tbody> <tr> <td>IF1N</td> <td>01</td> <td>E ZZ CL</td> <td>VI 05 20 001</td> <td>B</td> <td>23 di 132</td> </tr> </tbody> </table>	COMMESSA	LOTTO	CODIFICA	DOCUMENTO	REV.	FOGLIO	IF1N	01	E ZZ CL	VI 05 20 001	B	23 di 132
COMMESSA	LOTTO	CODIFICA	DOCUMENTO	REV.	FOGLIO								
IF1N	01	E ZZ CL	VI 05 20 001	B	23 di 132								

$E_{c,R} =$	11.096	MPa	Modulo elastico Ridotto
$E^*_{c,R} =$	12.851	MPa	Modulo elastico Ridotto Modificato

Ritiro (EN1992-1-1 §3.1.4)			
ϵ_{cs}	0,000289	-	Deformazione totale da ritiro $\epsilon_{cs} = \epsilon_{cd} + \epsilon_{ca}$
Ritiro da essiccamento			
Classe	C32/40		Classe del calcestruzzo
$R_{ck} =$	40	MPa	resistenza caratteristica cubica
$f_{ck} =$	32	MPa	resistenza caratteristica cilindrica
$f_{cm} =$	40	MPa	Valor medio resistenza cilindrica
$f_{cm,0} =$	10	MPa	Valor medio resistenza cilindrica
Cem.Tipo	N	-	CEM 32,5 R, CEM 42,5 N
$\alpha_{ds1} =$	4		
$\alpha_{ds2} =$	0,12		
RH =	65	%	Umidità Relativa
$RH_0 =$	100	%	
$\beta_{RH} =$	1,12		Coeff. per umidità relativa
$\epsilon_{cd,0} =$	0,00039	-	Deformazione da ritiro per essiccamento non contrastato
$A_c =$	11.520.000	mmq	Area sez trasversale
U =	19200	mm	Perimetro a contatto con l'atmosfera
$h_0 =$	1200	mm	Dimensione fittizia dell'elemento
$k_h =$	0,7		Coeff. per dimensione fittizia
t =	10.000	gg	Età del calcestruzzo, al momento considerato
$t_s =$	0	gg	Età del calcestruzzo, all'inizio del ritiro per essiccamento
$\beta_{RH}(t,t_s)$	0,86		
$\epsilon_{cd} =$	0,0002343		Deformazione da ritiro per essiccamento
Ritiro autogeno			
$\epsilon_{ca}(\infty) =$	0,000055	-	Deformazione da ritiro autogeno per $t = \infty$
t =	10.000	gg	
$\beta_{as}(t) =$	1,00	-	

  	ITINERARIO NAPOLI – BARI RADDOPPIO TRATTA CANCELLO – BENEVENTO I° LOTTO FUNZIONALE CANCELLO - FRASSO TELESINO E VARIANTE ALLA LINEA ROMA-NAPOLI VIA CASSINO NEL COMUNE DI MADDALONI – PROGETTO ESECUTIVO												
<i>Viadotto Rio Secco</i> <i>VI05A- Opera di approccio al Viadotto Rio Secco:</i> <i>Relazione di calcolo</i>	<table border="1"> <thead> <tr> <th>COMMESSA</th> <th>LOTTO</th> <th>CODIFICA</th> <th>DOCUMENTO</th> <th>REV.</th> <th>FOGLIO</th> </tr> </thead> <tbody> <tr> <td>IF1N</td> <td>01</td> <td>E ZZ CL</td> <td>VI 05 20 001</td> <td>B</td> <td>24 di 132</td> </tr> </tbody> </table>	COMMESSA	LOTTO	CODIFICA	DOCUMENTO	REV.	FOGLIO	IF1N	01	E ZZ CL	VI 05 20 001	B	24 di 132
COMMESSA	LOTTO	CODIFICA	DOCUMENTO	REV.	FOGLIO								
IF1N	01	E ZZ CL	VI 05 20 001	B	24 di 132								

$\epsilon_{ca}(t) =$	0,000055	-	Deformazione da ritiro autogeno
----------------------	-----------------	---	--

La variazione termica equivalente al ritiro viene valutata con l'espressione $\epsilon_s / [(1+f(t^*, t_0)) \times \alpha]$.

<u>Variazione termica equivalente</u>		
ϵ_{cs}	0,000289 -	Deformazione totale da ritiro $\epsilon_{cs} = \epsilon_{cd} + \epsilon_{ca}$
$\varphi(t^*, t_0)$	2,16 -	Coeff. di viscosità
$\alpha =$	1,00E-05 1/°C	Coeff. di dilatazione termica
$\Delta T_{rit} =$	-9,17 °C	Variazione termica equivalente

  	ITINERARIO NAPOLI – BARI RADDOPPIO TRATTA CANCELLO – BENEVENTO I° LOTTO FUNZIONALE CANCELLO - FRASSO TELESINO E VARIANTE ALLA LINEA ROMA-NAPOLI VIA CASSINO NEL COMUNE DI MADDALONI – PROGETTO ESECUTIVO												
<i>Viadotto Rio Secco</i> <i>VI05A- Opera di approccio al Viadotto Rio Secco:</i> <i>Relazione di calcolo</i>	<table border="1"> <thead> <tr> <th>COMMESSA</th> <th>LOTTO</th> <th>CODIFICA</th> <th>DOCUMENTO</th> <th>REV.</th> <th>FOGLIO</th> </tr> </thead> <tbody> <tr> <td>IF1N</td> <td>01</td> <td>E ZZ CL</td> <td>VI 05 20 001</td> <td>B</td> <td>25 di 132</td> </tr> </tbody> </table>	COMMESSA	LOTTO	CODIFICA	DOCUMENTO	REV.	FOGLIO	IF1N	01	E ZZ CL	VI 05 20 001	B	25 di 132
COMMESSA	LOTTO	CODIFICA	DOCUMENTO	REV.	FOGLIO								
IF1N	01	E ZZ CL	VI 05 20 001	B	25 di 132								

5.8 AZIONI SISMICHE DA PESO PROPRIO E CARICHI PERMANENTI E VARIABILI

La definizione dell'azione sismica di progetto per le opere afferenti il tracciato è stata condotta secondo quanto disposto dalle Norme Tecniche in vigore assunte alla base della progettazione in oggetto (DM 14 gennaio 2008. Norme tecniche per le costruzioni. Gazzetta Ufficiale n. 29 del 04.02.2008 – Supplemento Ordinario n. 159).

In particolare, l'azione sismica in base alla quale è stato il rispetto dei diversi stati limite per le strutture in progetto, è stata essere definita a partire dalla "pericolosità sismica di base" del sito di costruzione, a sua volta espressa in termini di accelerazione orizzontale massima attesa a_g in condizioni di campo libero su suolo rigido, con superficie topografica orizzontale.

La definizione dell'azione sismica comprende la determinazione delle ordinate dello spettro di risposta elastica in accelerazione $S_e(T)$ "ancorato" al valore di a_g , facendo riferimento a prefissate probabilità di eccedenza PVR, nel periodo di riferimento VR per la vita utile della struttura.

In particolare si sono considerati una vita nominale dell'opera VN pari a 75 anni ed un coefficiente d'uso pari a 1.5. Pertanto la vita di riferimento dell'opera VR risulta pari a 112.5 anni.

Data la probabilità di superamento nel periodo di riferimento considerato, funzione dello Stato Limite di verifica, la forma spettrale è definita a partire dai valori dei seguenti parametri relativi ad un sito di riferimento rigido e orizzontale:

- a_g accelerazione orizzontale massima su sito rigido e superficie topografica orizzontale;
- F_0 valore massimo del fattore di amplificazione dello spettro in accelerazione orizzontale;
- T_c^* periodo di inizio del tratto a velocità costante dello spettro in accelerazione orizzontale.

Si è quindi proceduto alla definizione del periodo di riferimento per l'azione sismica, sulla base della classificazione delle opere in progetto, e successivamente sono stati definiti gli stati limite di interesse per la verifica strutturale, i periodi di ritorno corrispondenti dell'azione sismica per suolo rigido in corrispondenza dei punti di interesse collocati lungo il tracciato.

La determinazione della categoria di suolo (e topografica) è stata eseguita attraverso l'interpretazione delle indagini geotecniche e geofisiche condotte: sulla base delle informazioni disponibili, ai fini della microzonazione, tutta il tracciato risulta sostanzialmente omogeneo dal punto di vista delle caratteristiche geodinamiche e caratterizzabile, ai fini normativi, come sito di categoria C ossia "Deposito di terreni a grana grossa mediamente addensati o terreni a grana fina mediamente consistenti con spessori superiori a 30 m, caratterizzati da un graduale miglioramento delle proprietà meccaniche con la profondità e da valori di $V_s,30$ compresi tra 180 m/s e 360 m/s (ovvero $15 < NSPT,30 < 50$ nei terreni a grana grossa e $70 < cu,30 < 250$ kPa nei terreni a grana fina)."

  	ITINERARIO NAPOLI – BARI RADDOPPIO TRATTA CANCELLO – BENEVENTO I° LOTTO FUNZIONALE CANCELLO - FRASSO TELESINO E VARIANTE ALLA LINEA ROMA-NAPOLI VIA CASSINO NEL COMUNE DI MADDALONI – PROGETTO ESECUTIVO												
<i>Viadotto Rio Secco</i> <i>VI05A- Opera di approccio al Viadotto Rio Secco:</i> <i>Relazione di calcolo</i>	<table border="1"> <tr> <td>COMMESSA</td> <td>LOTTO</td> <td>CODIFICA</td> <td>DOCUMENTO</td> <td>REV.</td> <td>FOGLIO</td> </tr> <tr> <td>IF1N</td> <td>01</td> <td>E ZZ CL</td> <td>VI 05 20 001</td> <td>B</td> <td>26 di 132</td> </tr> </table>	COMMESSA	LOTTO	CODIFICA	DOCUMENTO	REV.	FOGLIO	IF1N	01	E ZZ CL	VI 05 20 001	B	26 di 132
COMMESSA	LOTTO	CODIFICA	DOCUMENTO	REV.	FOGLIO								
IF1N	01	E ZZ CL	VI 05 20 001	B	26 di 132								

L'amplificazione dell'azione sismica viene determinata, secondo le NTC2008, attraverso l'impiego di un fattore di sito S funzione sia della categoria di sottosuolo (S_s) sopra determinata, sia dell'andamento della superficie topografica (ST):

$$S = S_s \cdot S_T$$

Per la categoria di **sottosuolo C**, il coefficiente S_s si ottiene dall'espressione seguente (vedi Tabella 3.2.V del par. 3.2.3 delle NTC2008):

$$S_s = 1.00 \leq 1.70 - 0.60 \cdot F_0 \cdot \frac{a_g}{g} \leq 1.50$$

Per quanto riguarda l'eventuale amplificazione topografica, considerato che il tracciato attraversa zone in parte pianeggianti e in parte collinari - rilevate, il fattore di amplificazione topografica è stato assunto pari a 1.0.

Nella

Tab. 1 sono riportati i valori del fattore di sito accelerazione a_g [g] attesi in condizioni di campo libero su suolo rigido, con i coefficienti SS ed ST relativi e il corrispondente valore di a_{max} [g] per il Comune di Maddaloni, in corrispondenza dello stato limite di Salvaguardia della Vita (SLV).

Tab. 1: Parametri per la valutazione dell'azione sismica

a_g [g]	S_s	S_t	a_{max} [g]
0.189	1.414	1.0	0.267

   	ITINERARIO NAPOLI – BARI RADDOPPIO TRATTA CANCELLO – BENEVENTO 1° LOTTO FUNZIONALE CANCELLO - FRASSO TELESINO E VARIANTE ALLA LINEA ROMA-NAPOLI VIA CASSINO NEL COMUNE DI MADDALONI – PROGETTO ESECUTIVO												
Viadotto Rio Secco VI05A- Opera di approccio al Viadotto Rio Secco: Relazione di calcolo	<table border="1"> <tr> <td>COMMESSA</td> <td>LOTTO</td> <td>CODIFICA</td> <td>DOCUMENTO</td> <td>REV.</td> <td>FOGLIO</td> </tr> <tr> <td>IF1N</td> <td>01</td> <td>E ZZ CL</td> <td>VI 05 20 001</td> <td>B</td> <td>27 di 132</td> </tr> </table>	COMMESSA	LOTTO	CODIFICA	DOCUMENTO	REV.	FOGLIO	IF1N	01	E ZZ CL	VI 05 20 001	B	27 di 132
COMMESSA	LOTTO	CODIFICA	DOCUMENTO	REV.	FOGLIO								
IF1N	01	E ZZ CL	VI 05 20 001	B	27 di 132								

INDIVIDUAZIONE DELLA PERICOLOSITÀ DEL SITO E STRATEGIA DI PROGETTAZIONE

FASE 1. INDIVIDUAZIONE DELLA PERICOLOSITÀ DEL SITO

Ricerca per coordinate

LONGITUDINE: LATTITUDINE:

Ricerca per comune

REGIONE: PROVINCIA: COMUNE:

Controllo sul reticolo

- Sito esterno al reticolo
- Interpolazione su 3 nodi
- Interpolazione corretta

Interpolazione:

Elaborazioni grafiche

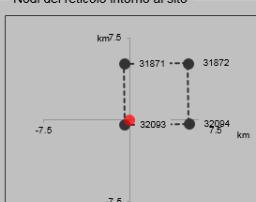
Grafici spettri di risposta

Variabilità dei parametri

Elaborazioni numeriche

Tabella parametri

Nodi del reticolo intorno al sito



Reticolo di riferimento



La "Ricerca per comune" utilizza le coordinate ISTAT del comune per identificare il sito. Si sottolinea che all'interno del territorio comunale le azioni sismiche possono essere significativamente diverse da quelle così individuate e si consiglia, quindi, la "Ricerca per coordinate".

INTRO
FASE 1
FASE 2
FASE 3

FASE 2. SCELTA DELLA STRATEGIA DI PROGETTAZIONE

Vita nominale della costruzione (in anni) - V_N info

Coefficiente d'uso della costruzione - C_U info

Valori di progetto

Periodo di riferimento per la costruzione (in anni) - V_R info

Periodi di ritorno per la definizione dell'azione sismica (in anni) - T_R info

Stati limite di esercizio - SLE	SLO - $P_{VR} = 81\%$	68
	SLD - $P_{VR} = 63\%$	113
Stati limite ultimi - SLU	SLV - $P_{VR} = 10\%$	1068
	SLC - $P_{VR} = 5\%$	2193

Elaborazioni

Grafici parametri azione

Grafici spettri di risposta

Tabella parametri azione

LEGENDA GRAFICO

---□--- Strategia per costruzioni ordinarie

---■--- Strategia scelta

Strategia di progettazione



INTRO
FASE 1
FASE 2
FASE 3

Valori dei parametri a_g , F_o , T_C^* per i periodi di ritorno T_R associati a ciascuno

SLATO LIMITE	T_R [anni]	a_g [g]	F_o [-]	T_C^* [s]
SLO	68	0.069	2.388	0.329
SLD	113	0.085	2.429	0.348
SLV	1068	0.189	2.524	0.435
SLC	2193	0.232	2.609	0.451

	ITINERARIO NAPOLI – BARI RADDOPPIO TRATTA CANCELLO – BENEVENTO I° LOTTO FUNZIONALE CANCELLO - FRASSO TELESINO E VARIANTE ALLA LINEA ROMA-NAPOLI VIA CASSINO NEL COMUNE DI MADDALONI – PROGETTO ESECUTIVO												
<i>Viadotto Rio Secco</i> <i>VI05A- Opera di approccio al Viadotto Rio Secco:</i> <i>Relazione di calcolo</i>	<table border="1"> <thead> <tr> <th>COMMESSA</th> <th>LOTTO</th> <th>CODIFICA</th> <th>DOCUMENTO</th> <th>REV.</th> <th>FOGLIO</th> </tr> </thead> <tbody> <tr> <td>IF1N</td> <td>01</td> <td>E ZZ CL</td> <td>VI 05 20 001</td> <td>B</td> <td>28 di 132</td> </tr> </tbody> </table>	COMMESSA	LOTTO	CODIFICA	DOCUMENTO	REV.	FOGLIO	IF1N	01	E ZZ CL	VI 05 20 001	B	28 di 132
COMMESSA	LOTTO	CODIFICA	DOCUMENTO	REV.	FOGLIO								
IF1N	01	E ZZ CL	VI 05 20 001	B	28 di 132								

Le azioni sismiche da peso proprio e carichi permanenti e variabili vengono valutate mediante analisi pseudostatica, considerando l'accelerazione massima degli spettri di risposta, sia per quanto riguarda la componente orizzontale che per quella verticale.

Gli spettri di progetto utilizzati per la definizione delle azioni sono stati determinati considerando un fattore di struttura pari a 1 data la peculiarità dell'opera. L'accelerazione di progetto è stato inserito nel programma di calcolo sia in direzione orizzontale che verticale.

Di seguito si riportano i parametri considerati e gli spettri di risposta relativi allo SLV.

FASE 3. DETERMINAZIONE DELL'AZIONE DI PROGETTO

Stato Limite
 Stato Limite considerato SLV info

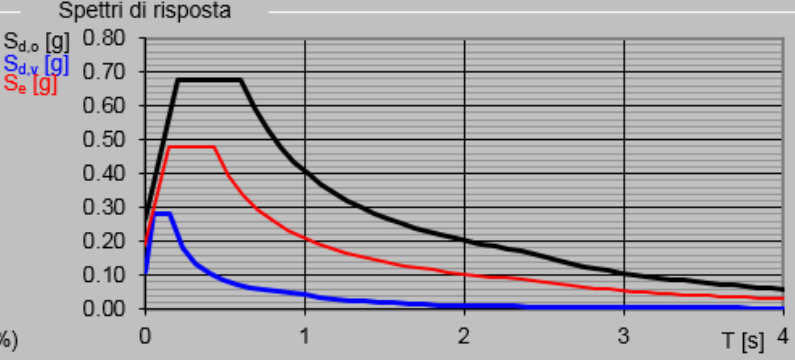
Risposta sismica locale
 Categoria di sottosuolo C info $S_s =$ 1.413 $C_c =$ 1.382 info
 Categoria topografica T1 info $h/H =$ 0.000 $S_T =$ 1.000 info
(h=quota sito, H=altezza rilievo topografico)

Compon. orizzontale
 Spettro di progetto elastico (SLE) Smorzamento ξ (%) 5 $\eta =$ 1.000 info
 Spettro di progetto inelastico (SLU) Fattore q_0 1.5 Regol. in altezza si info

Compon. verticale
 Spettro di progetto Fattore q 1 $\eta =$ 1.000 info

Elaborazioni
 Grafici spettri di risposta info
 Parametri e punti spettri di risposta info

Spettri di risposta



— Spettro di progetto - componente orizzontale
— Spettro di progetto - componente verticale
— Spettro elastico di riferimento (Cat. A-T1, $\xi = 5\%$)

INTRO
FASE 1
FASE 2
FASE 3

Viadotto Rio Secco
VI05A- Opera di approccio al Viadotto Rio Secco:
Relazione di calcolo

COMMESSA	LOTTO	CODIFICA	DOCUMENTO	REV.	FOGLIO
IF1N	01	E ZZ CL	VI 05 20 001	B	29 di 132

Elaborazioni effettuate con "Spettri NTC ver.1.0.2"

Parametri e punti dello spettro di risposta orizzontale per lo stato limite: SLV

Parametri indipendenti

STATO LIMITE	SLV
a_g	0.189 g
F_0	2.524
T_C	0.435 s
S_B	1.413
C_C	1.382
S_T	1.000
q	1.000

Parametri dipendenti

S	1.413
η	1.000
T_B	0.200 s
T_C	0.601 s
T_D	2.358 s

Espressioni dei parametri dipendenti

$$S = S_B \cdot S_T \quad (\text{NTC-08 Eq. 3.2.5})$$

$$\eta = \sqrt{10/(S+2)} \geq 0,55; \quad \eta = 1/q \quad (\text{NTC-08 Eq. 3.2.6; §. 3.2.3.5})$$

$$T_B = T_C / 3 \quad (\text{NTC-07 Eq. 3.2.8})$$

$$T_C = C_C \cdot T_C^* \quad (\text{NTC-07 Eq. 3.2.7})$$

$$T_D = 4,0 \cdot a_g / g + 1,6 \quad (\text{NTC-07 Eq. 3.2.9})$$

Espressioni dello spettro di risposta (NTC-08 Eq. 3.2.4)

$$0 \leq T < T_B \quad S_e(T) = a_g \cdot S \cdot \eta \cdot F_0 \cdot \left[\frac{T}{T_B} + \frac{1}{\eta \cdot F_0} \left(1 - \frac{T}{T_B} \right) \right]$$

$$T_B \leq T < T_C \quad S_e(T) = a_g \cdot S \cdot \eta \cdot F_0$$

$$T_C \leq T < T_D \quad S_e(T) = a_g \cdot S \cdot \eta \cdot F_0 \cdot \left(\frac{T_C}{T} \right)$$

$$T_D \leq T \quad S_e(T) = a_g \cdot S \cdot \eta \cdot F_0 \cdot \left(\frac{T_C T_D}{T^2} \right)$$

Lo spettro di progetto $S_e(T)$ per le verifiche agli Stati Limite Ultimi è ottenuto dalle espressioni dello spettro elastico $S_e(T)$ sostituendo η con $1/q$, dove q è il fattore di struttura. (NTC-08 § 3.2.3.5)

Punti dello spettro di risposta

	T [s]	Se [g]
	0.000	0.268
T_B ←	0.200	0.676
T_C ←	0.601	0.676
	0.685	0.593
	0.768	0.529
	0.852	0.477
	0.938	0.434
	1.019	0.398
	1.103	0.368
	1.187	0.342
	1.270	0.320
	1.354	0.300
	1.438	0.283
	1.521	0.267
	1.605	0.253
	1.689	0.241
	1.772	0.229
	1.856	0.219
	1.940	0.209
	2.023	0.201
	2.107	0.193
	2.191	0.185
	2.274	0.179
T_D ←	2.358	0.172
	2.438	0.161
	2.514	0.152
	2.592	0.143
	2.671	0.134
	2.749	0.127
	2.827	0.120
	2.905	0.113
	2.983	0.108
	3.062	0.102
	3.140	0.097
	3.218	0.092
	3.296	0.088
	3.374	0.084
	3.453	0.080
	3.531	0.077
	3.609	0.074
	3.687	0.070
	3.765	0.068
	3.844	0.065
	3.922	0.062
	4.000	0.060

La verifica dell'idoneità del programma, l'utilizzo dei risultati da esso ottenuti sono onere e responsabilità esclusiva dell'utente. Il Consiglio Superiore dei Lavori Pubblici non potrà essere ritenuto responsabile dei danni risultanti dall'utilizzo dell

Viadotto Rio Secco
VI05A- Opera di approccio al Viadotto Rio Secco:
Relazione di calcolo

COMMESSA	LOTTO	CODIFICA	DOCUMENTO	REV.	FOGLIO
IF1N	01	E ZZ CL	VI 05 20 001	B	30 di 132

Elaborazioni effettuate con "Spettri NTC ver.1.0.2"

Parametri e punti dello spettro di risposta verticale per lo stato limite: SLV**Parametri indipendenti**

STATO LIMITE	SLV
a_{gv}	0.111 g
S_B	1.000
S_T	1.000
q	1.000
T_B	0.050 s
T_C	0.150 s
T_D	1.000 s

Parametri dipendenti

F_v	1.483
S	1.000
η	1.000

Espressioni dei parametri dipendenti

$$S = S_B \cdot S_T \quad (\text{NTC-08 Eq. 3.2.5})$$

$$\eta = 1/q \quad (\text{NTC-08 §. 3.2.3.5})$$

$$F_v = 1,35 \cdot F_0 \cdot \left(\frac{a_g}{g} \right)^{0,5} \quad (\text{NTC-08 Eq. 3.2.11})$$

Espressioni dello spettro di risposta (NTC-08 Eq. 3.2.10)

$$0 \leq T < T_B \quad S_e(T) = a_g \cdot S \cdot \eta \cdot F_v \cdot \left[\frac{T}{T_B} + \frac{1}{\eta \cdot F_0} \left(1 - \frac{T}{T_B} \right) \right]$$

$$T_B \leq T < T_C \quad S_e(T) = a_g \cdot S \cdot \eta \cdot F_v$$

$$T_C \leq T < T_D \quad S_e(T) = a_g \cdot S \cdot \eta \cdot F_v \cdot \left(\frac{T_C}{T} \right)$$

$$T_D \leq T \quad S_e(T) = a_g \cdot S \cdot \eta \cdot F_v \cdot \left(\frac{T_C T_D}{T^2} \right)$$

Punti dello spettro di risposta

	T [s]	Se [g]
	0.000	0.111
T_B ←	0.050	0.281
T_C ←	0.150	0.281
	0.235	0.179
	0.320	0.132
	0.405	0.104
	0.490	0.086
	0.575	0.073
	0.660	0.064
	0.745	0.057
	0.830	0.051
	0.915	0.046
T_D ←	1.000	0.042
	1.094	0.035
	1.188	0.030
	1.281	0.026
	1.375	0.022
	1.469	0.020
	1.563	0.017
	1.656	0.015
	1.750	0.014
	1.844	0.012
	1.938	0.011
	2.031	0.010
	2.125	0.009
	2.219	0.009
	2.313	0.008
	2.408	0.007
	2.500	0.007
	2.594	0.006
	2.688	0.006
	2.781	0.005
	2.875	0.005
	2.969	0.005
	3.063	0.004
	3.156	0.004
	3.250	0.004
	3.344	0.004
	3.438	0.004
	3.531	0.003
	3.625	0.003
	3.719	0.003
	3.813	0.003
	3.908	0.003
	4.000	0.003

La verifica dell'idoneità del programma, l'utilizzo dei risultati da esso ottenuti sono onere e responsabilità esclusiva dell'utente. Il Consiglio Superiore dei Lavori Pubblici non potrà essere ritenuto responsabile dei danni risultanti dall'utilizzo dello stesso.

	ITINERARIO NAPOLI – BARI RADDOPPIO TRATTA CANCELLO – BENEVENTO 1° LOTTO FUNZIONALE CANCELLO - FRASSO TELESINO E VARIANTE ALLA LINEA ROMA-NAPOLI VIA CASSINO NEL COMUNE DI MADDALONI – PROGETTO ESECUTIVO												
<i>Viadotto Rio Secco</i> <i>VI05A- Opera di approccio al Viadotto Rio Secco:</i> <i>Relazione di calcolo</i>	<table border="1"> <thead> <tr> <th>COMMESSA</th> <th>LOTTO</th> <th>CODIFICA</th> <th>DOCUMENTO</th> <th>REV.</th> <th>FOGLIO</th> </tr> </thead> <tbody> <tr> <td>IF1N</td> <td>01</td> <td>E ZZ CL</td> <td>VI 05 20 001</td> <td>B</td> <td>31 di 132</td> </tr> </tbody> </table>	COMMESSA	LOTTO	CODIFICA	DOCUMENTO	REV.	FOGLIO	IF1N	01	E ZZ CL	VI 05 20 001	B	31 di 132
COMMESSA	LOTTO	CODIFICA	DOCUMENTO	REV.	FOGLIO								
IF1N	01	E ZZ CL	VI 05 20 001	B	31 di 132								

6 MODELLAZIONE E ANALISI

L'analisi delle sollecitazioni è stata effettuata mediante modelli FEM realizzati con l'ausilio del software SAP2000 della CSI, ver. 15.1. I modelli riproducono le caratteristiche meccaniche della struttura e sono rappresentativi di un'intero concio (L=27m) dell'approccio VI05A-VI05C. Dal modello sono state dedotte, per le combinazioni di calcolo statiche e sismiche descritte in precedenza, le sollecitazioni complessive agenti sugli elementi strutturali al fine di procedere con le verifiche di sicurezza previste dalle Normative di riferimento.

Modello SLU/SLE

Questo modello è stato considerato per la valutazione delle sollecitazioni e le deformazioni degli elementi strutturali per le combinazioni SLU/SLE. Gli elementi strutturali della soletta sono stati modellati mediante elementi bidimensionali a 4 nodi mentre gli elementi strutturali dei pali sono stati modellati mediante elementi monodimensionali a 2 nodi. E' stata scelta una maglia di 50cmx50cm per ottenere valori con sufficiente precisione. L'altezza dei pali è stata fissata ad un valore cautelativo massimo di 6m. L'interazione tra struttura e terreno di fondazione è stata descritta mediante molle distribuite sull'elemento di base (vedi §6.1). Di seguito si riporta una vista del modello di calcolo.

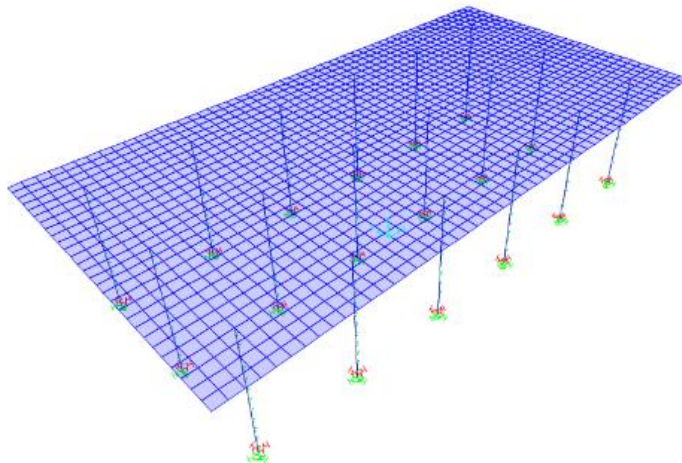


Figura 12 – Prospettiva modello di calcolo SLU/SLE

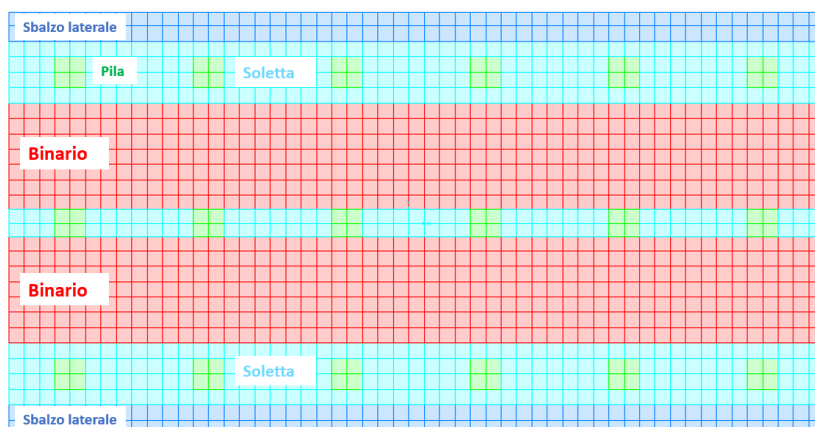


Figura 13 - Vista in pianta del modello con le diverse zone di carico

  	ITINERARIO NAPOLI – BARI RADDOPPIO TRATTA CANCELLO – BENEVENTO I° LOTTO FUNZIONALE CANCELLO - FRASSO TELESINO E VARIANTE ALLA LINEA ROMA-NAPOLI VIA CASSINO NEL COMUNE DI MADDALONI – PROGETTO ESECUTIVO												
<i>Viadotto Rio Secco</i> <i>VI05A- Opera di approccio al Viadotto Rio Secco:</i> <i>Relazione di calcolo</i>	<table border="1"> <thead> <tr> <th>COMMESSA</th> <th>LOTTO</th> <th>CODIFICA</th> <th>DOCUMENTO</th> <th>REV.</th> <th>FOGLIO</th> </tr> </thead> <tbody> <tr> <td>IF1N</td> <td>01</td> <td>E ZZ CL</td> <td>VI 05 20 001</td> <td>B</td> <td>32 di 132</td> </tr> </tbody> </table>	COMMESSA	LOTTO	CODIFICA	DOCUMENTO	REV.	FOGLIO	IF1N	01	E ZZ CL	VI 05 20 001	B	32 di 132
COMMESSA	LOTTO	CODIFICA	DOCUMENTO	REV.	FOGLIO								
IF1N	01	E ZZ CL	VI 05 20 001	B	32 di 132								

6.1 CONDIZIONI VINCOLARI

Per simulare il comportamento in fondazione vengono inserite delle molle sia traslazionale che rotazionale alla base della palificata. Il calcolo delle rigidezze traslazionale e rotazionale è stato effettuato con il metodo di Reese e Matlock. Lo schema usato per valutare le rigidezze è composta da un primo strato fittizio con modulo elastico trascurabile che permette di considerare la parte del palo circondata da blocchi di polistirolo. Questo "strato" è di una profondità massima e cautelativa di 6m in coerenza con il modello ad elementi finiti nel quale verranno inserite le molle. Le costanti elastiche delle molle sono ottenute dividendo la forza unitaria per lo spostamento del palo corrispondente ad una profondità di 6m (piano campagna).

Viadotto Rio Secco

VI05A- Opera di approccio al Viadotto Rio Secco:

Relazione di calcolo

COMMESSA

LOTTO

CODIFICA

DOCUMENTO

REV.

FOGLIO

IF1N

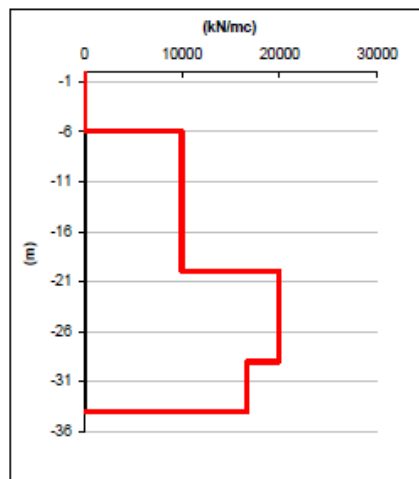
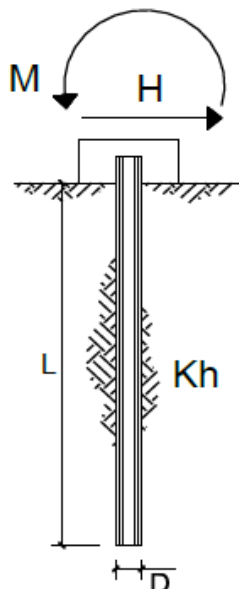
01

E ZZ CL

VI 05 20 001

B

33 di 132



strati terreno	descrizione	quote (m)	k_h (kN/m ³)	n_h (kN/m ³)
p.c.=strato 1		0.00	0.0067	0
<input checked="" type="checkbox"/> strato 2	CCU	-6.00	10000	0
<input checked="" type="checkbox"/> strato	TGCs-I	-9.00	10000	0
<input checked="" type="checkbox"/> strato 4	TGCs	-20.00	20000	0
<input checked="" type="checkbox"/> strato 5	MDLc	-29.00	16667	0
<input type="checkbox"/> strato 6				

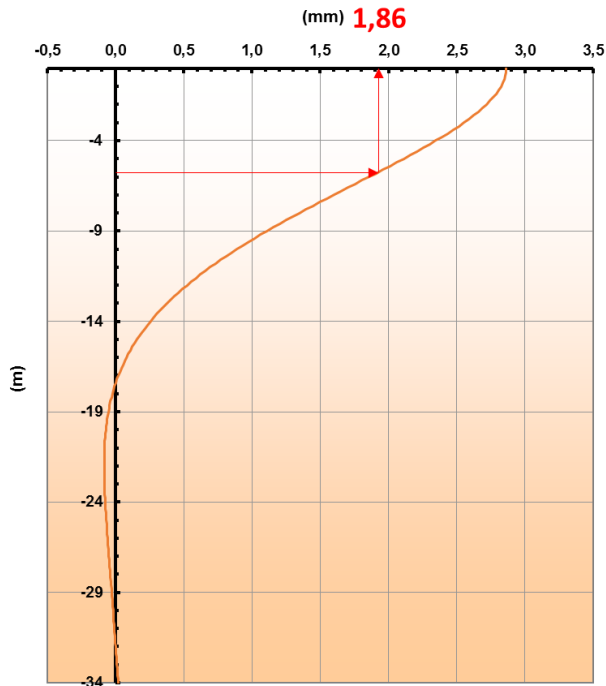
Diametro del palo	1.5	(m)
J palo	0.24850	(m ⁴)
Lunghezza del palo	34	(m)
Forza orizzontale in testa	100	(kN)
Momento in testa	0	(kNm)
E cls	31476	(Mpa)
dimensione elementi	0.2	(m)

- palo impedito di ruotare
 palo impedito di traslare
 palo libero

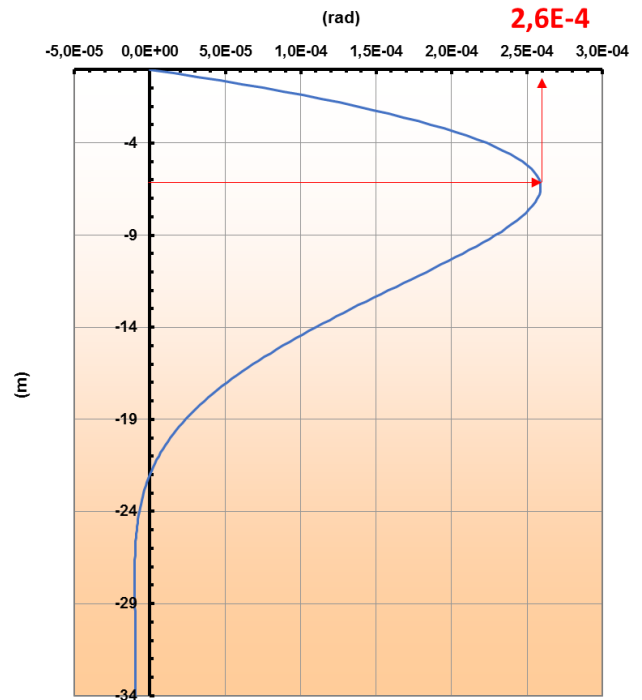
Viadotto Rio Secco
VI05A- Opera di appoggio al Viadotto Rio Secco:
Relazione di calcolo

COMMESSA	LOTTO	CODIFICA	DOCUMENTO	REV.	FOGLIO
IF1N	01	E ZZ CL	VI 05 20 001	B	34 di 132

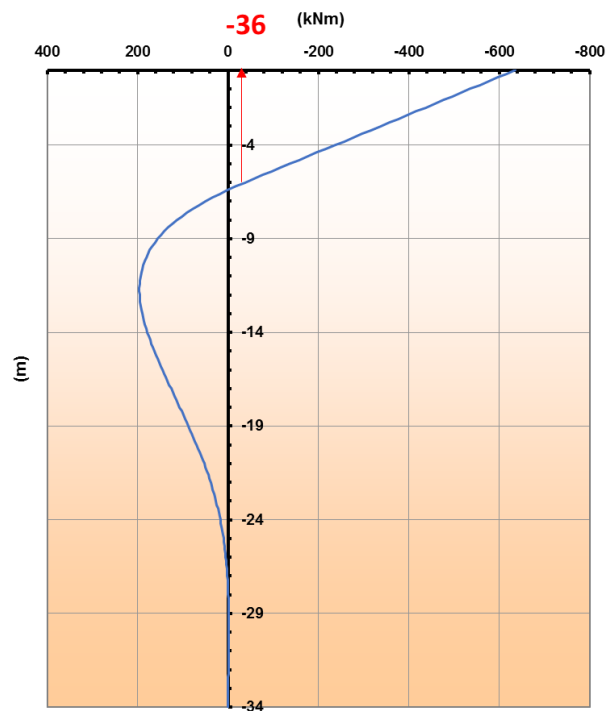
Spostamenti



Rotazioni



Momento



  	ITINERARIO NAPOLI – BARI RADDOPPIO TRATTA CANCELLO – BENEVENTO I° LOTTO FUNZIONALE CANCELLO - FRASSO TELESINO E VARIANTE ALLA LINEA ROMA-NAPOLI VIA CASSINO NEL COMUNE DI MADDALONI – PROGETTO ESECUTIVO												
<i>Viadotto Rio Secco</i> <i>VI05A- Opera di approccio al Viadotto Rio Secco:</i> <i>Relazione di calcolo</i>	<table border="1"> <tr> <td>COMMESSA</td> <td>LOTTO</td> <td>CODIFICA</td> <td>DOCUMENTO</td> <td>REV.</td> <td>FOGLIO</td> </tr> <tr> <td>IF1N</td> <td>01</td> <td>E ZZ CL</td> <td>VI 05 20 001</td> <td>B</td> <td>35 di 132</td> </tr> </table>	COMMESSA	LOTTO	CODIFICA	DOCUMENTO	REV.	FOGLIO	IF1N	01	E ZZ CL	VI 05 20 001	B	35 di 132
COMMESSA	LOTTO	CODIFICA	DOCUMENTO	REV.	FOGLIO								
IF1N	01	E ZZ CL	VI 05 20 001	B	35 di 132								

Rigidità traslazionale:

$$K_x = K_y = 100 \text{ kN} / 1.86 \text{ mm} = 53'000 \text{ kN/m}$$

Rigidità rotazionale:

$$C_{xx} = C_{yy} = 36 \text{ kNm} / 0.00026 \text{ rad} = 1.4 \text{ e}5 \text{ kNm}$$

Per la rigidità verticale, un modulo elastico medio è calcolato usando il metodo della media ponderata.

stratigrafia	E	h	
	kPa	m	
CCU	15000	3	45000
TGCs-I	15000	11	2E+05
TGCs	30000	9	3E+05
MDLc	25000	5	1E+05

6E+05

21.61

OPERA: VI05 - MANUFATTO D'APPROCCIO

DATI DI INPUT:

	Fine costr.
	SLE-QP
Diametro del Palo (D):	1.50 (m)
Carico sul palo (P):	100 (kN)
Lunghezza del Palo (L):	28.0 (m)
Lunghezza Utile del Palo (Lu):	28.0 (m)
Peso del Palo (P _{palo}):	452 (kN)
Carico base palo (P _{base}):	552 (kN)
Modulo di Deformazione (E):	20.0 (MPa)
Numero di pali della Palificata (n):	1 (-)
Spaziatura dei pali (s)	4.5 (m)

CEDIMENTO DEL PALO SINGOLO:

$$\delta = \beta * P / E * L_{\text{utile}}$$

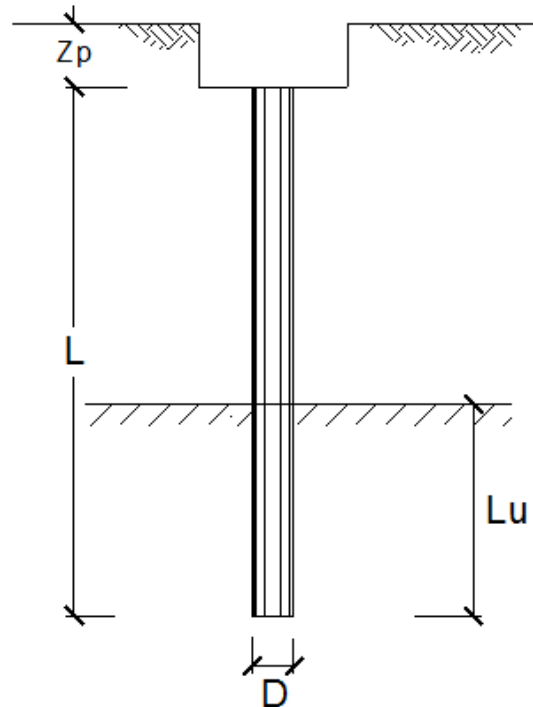
Coefficiente di forma

$$\beta = 0.5 + \text{Log}(L_{\text{utile}} / D):$$

Cedimento del palo

$$\delta = \beta * P / E * L_{\text{utile}}$$

	SLE-QP
	1.77 (-)
	1.75 (mm)



Rigidità verticale:

$$K_z = 100 \text{ kN} / 1.75 \text{ mm} = 57'000 \text{ kN/m}$$

	ITINERARIO NAPOLI – BARI RADDOPPIO TRATTA CANCELLO – BENEVENTO I° LOTTO FUNZIONALE CANCELLO - FRASSO TELESINO E VARIANTE ALLA LINEA ROMA-NAPOLI VIA CASSINO NEL COMUNE DI MADDALONI – PROGETTO ESECUTIVO												
<i>Viadotto Rio Secco</i> <i>VI05A- Opera di appoggio al Viadotto Rio Secco:</i> <i>Relazione di calcolo</i>	<table border="1"> <thead> <tr> <th>COMMESSA</th> <th>LOTTO</th> <th>CODIFICA</th> <th>DOCUMENTO</th> <th>REV.</th> <th>FOGLIO</th> </tr> </thead> <tbody> <tr> <td>IF1N</td> <td>01</td> <td>E ZZ CL</td> <td>VI 05 20 001</td> <td>B</td> <td>36 di 132</td> </tr> </tbody> </table>	COMMESSA	LOTTO	CODIFICA	DOCUMENTO	REV.	FOGLIO	IF1N	01	E ZZ CL	VI 05 20 001	B	36 di 132
COMMESSA	LOTTO	CODIFICA	DOCUMENTO	REV.	FOGLIO								
IF1N	01	E ZZ CL	VI 05 20 001	B	36 di 132								

6.2 CARICHI

Di seguito si riportano i carichi definiti nei modelli di calcolo, valutati a partire dall'analisi precedentemente riportata. Il peso proprio degli elementi viene valutato automaticamente dal software.

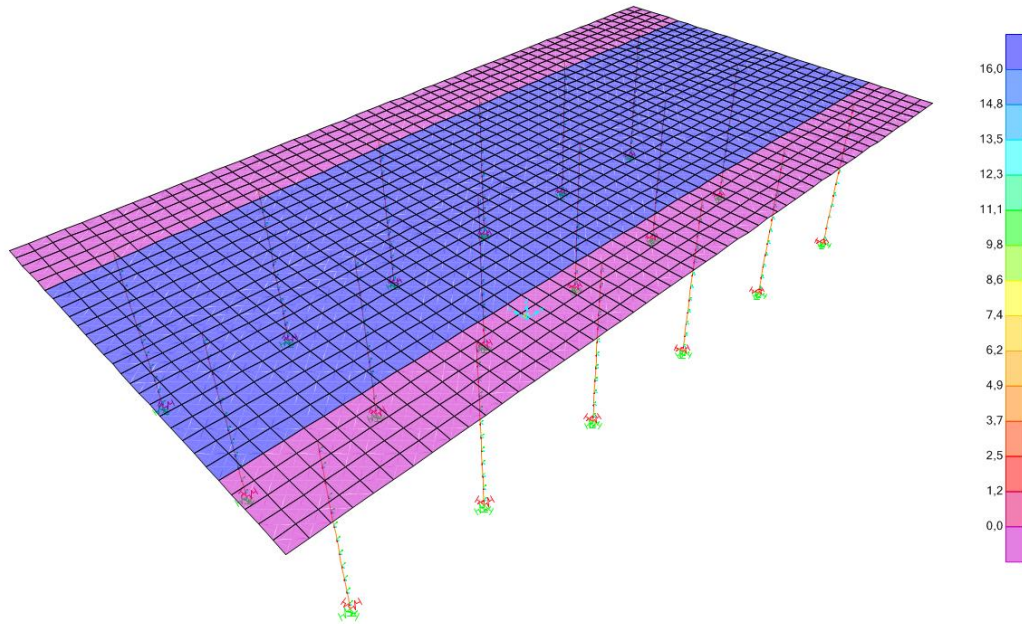


Figura 14 - G2,1 – Ballast

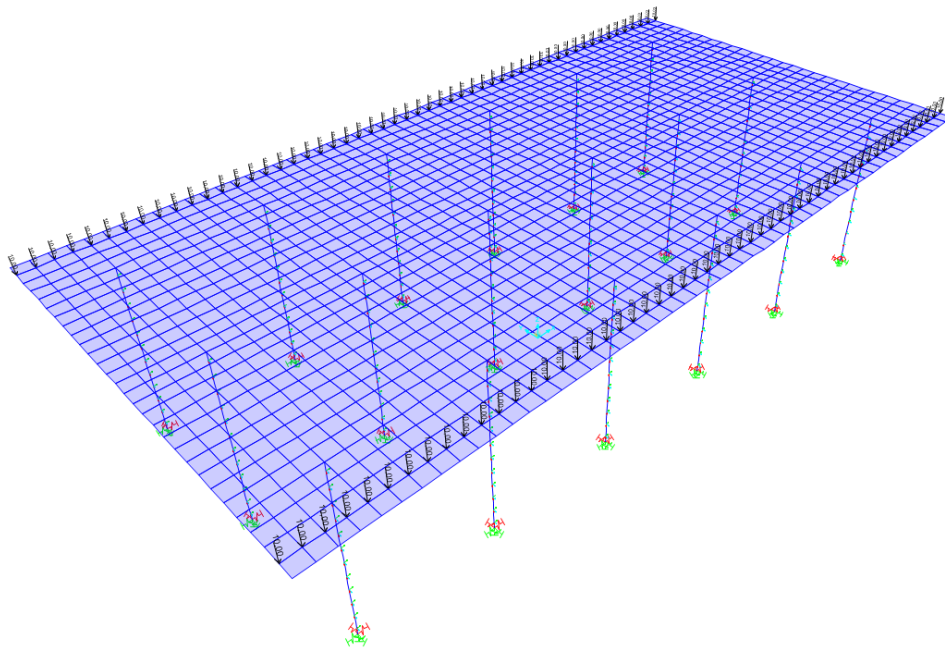


Figura 15 - G2,2 – B.A.

Viadotto Rio Secco

VI05A- Opera di approccio al Viadotto Rio Secco:
Relazione di calcolo

COMMESSA	LOTTO	CODIFICA	DOCUMENTO	REV.	FOGLIO
IF1N	01	E ZZ CL	VI 05 20 001	B	37 di 132

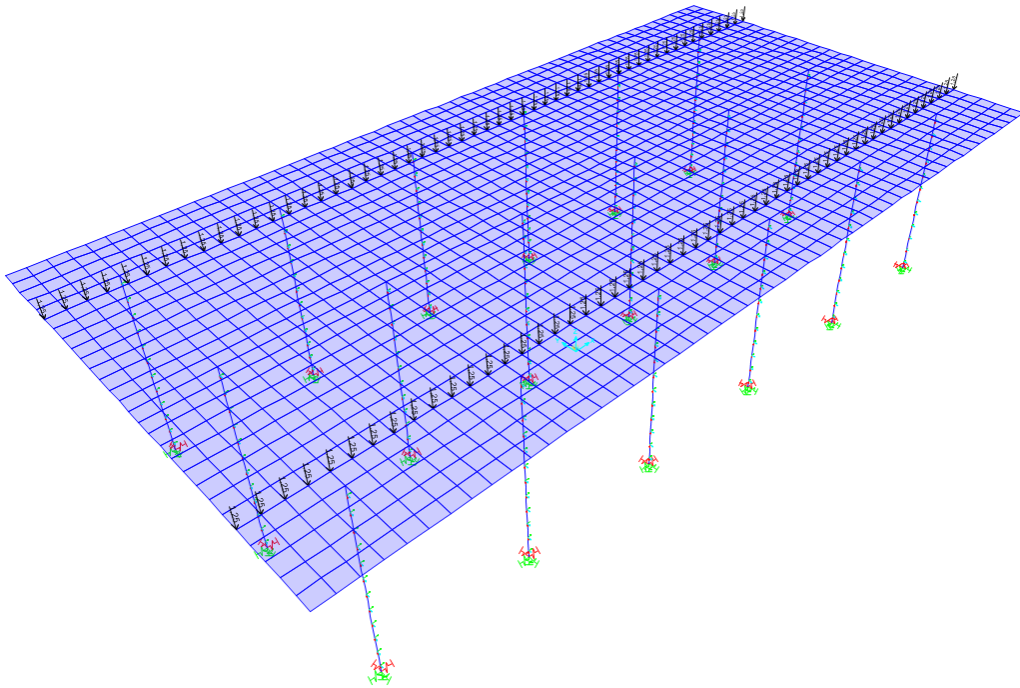


Figura 16 - G2,3 – Canalette

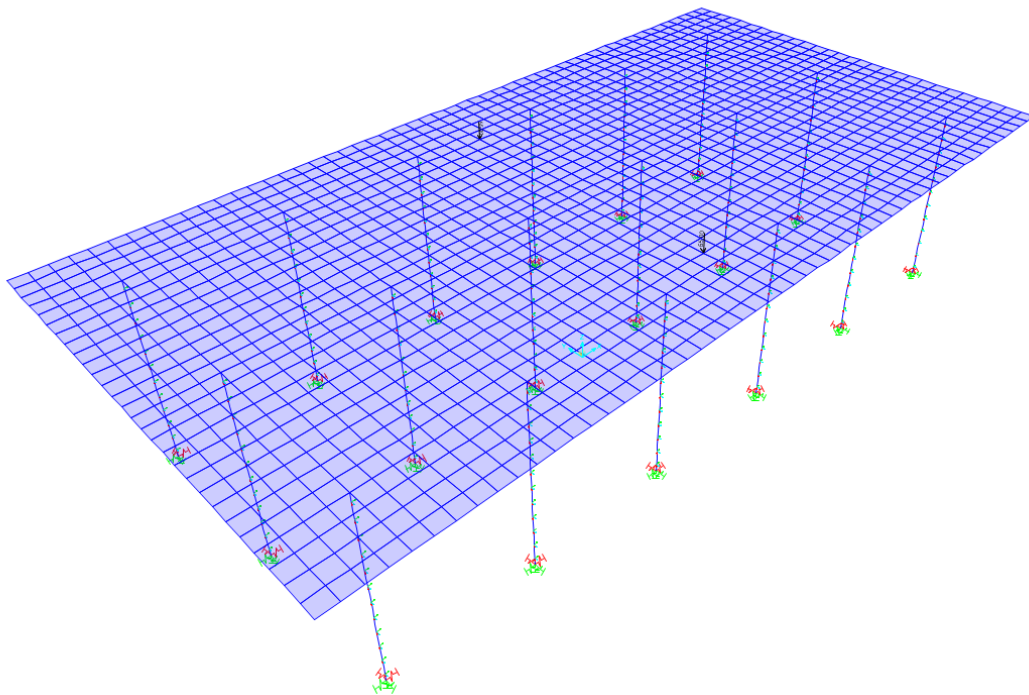


Figura 17 - G2,4 – Portali T.E.

Viadotto Rio Secco

VI05A- Opera di approccio al Viadotto Rio Secco:
Relazione di calcolo

COMMESSA

LOTTO

CODIFICA

DOCUMENTO

REV.

FOGLIO

IF1N

01

E ZZ CL

VI 05 20 001

B

38 di 132

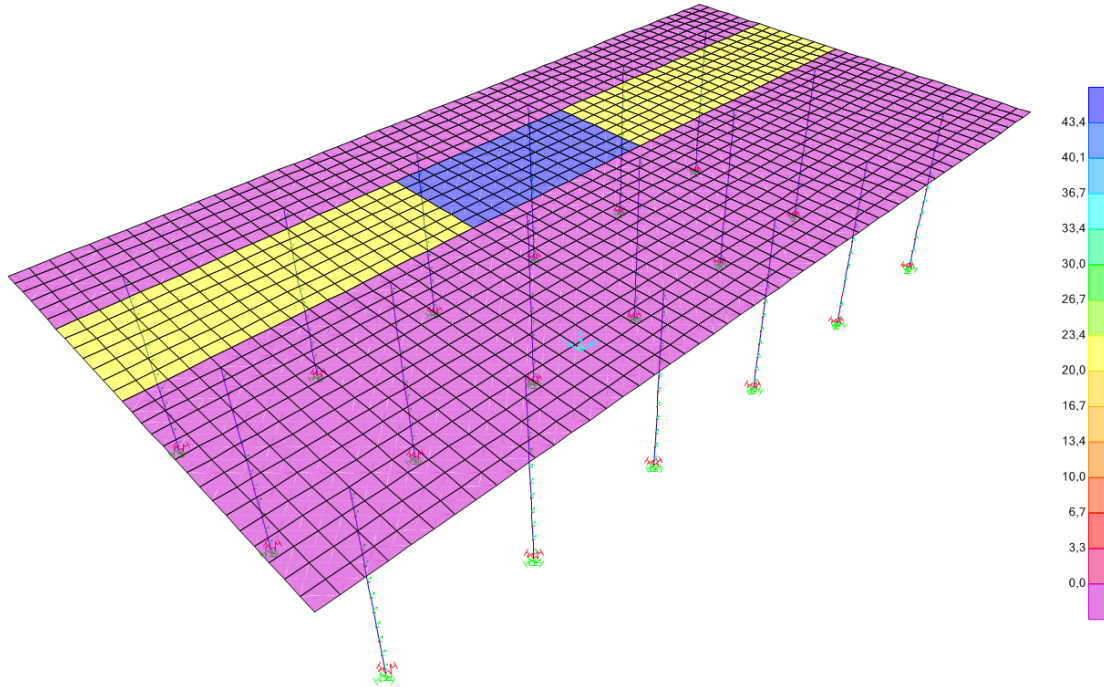


Figura 18 – Q1,1 – carichi LM71

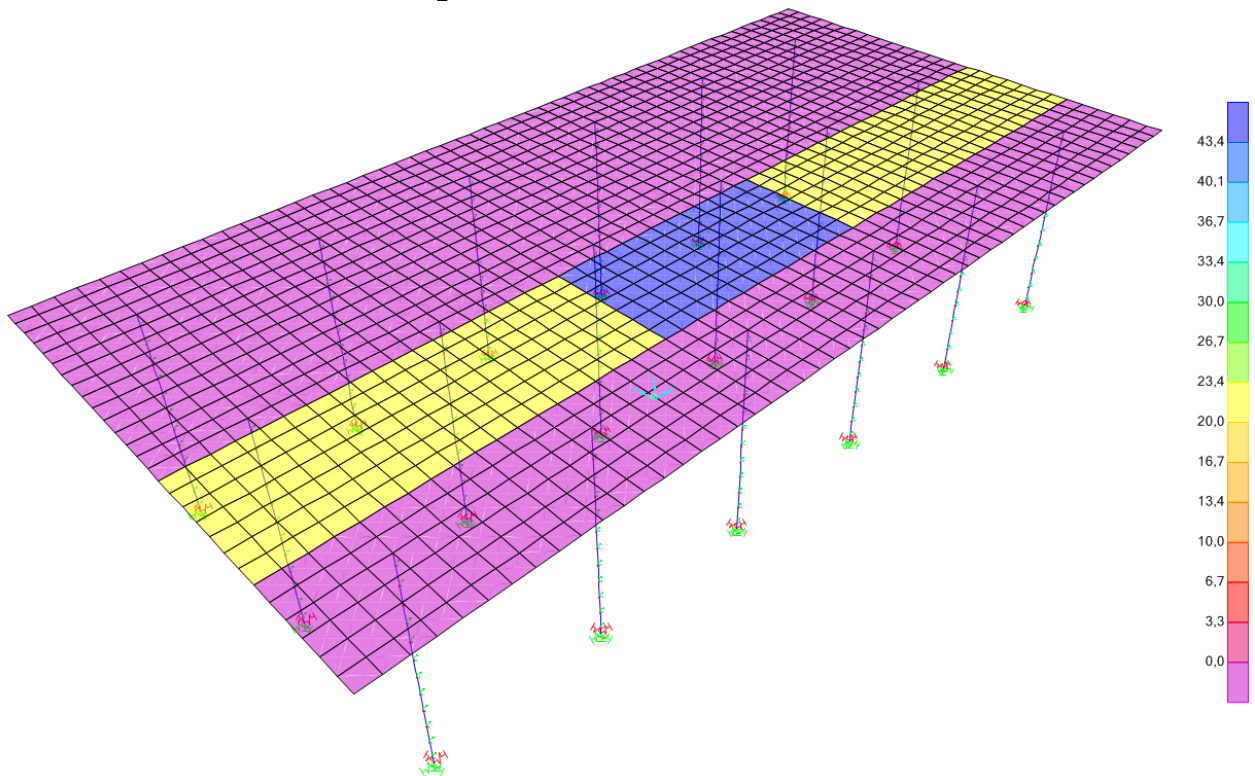


Figura 19 – Q1,2 – carichi LM71

Viadotto Rio Secco
VI05A- Opera di approccio al Viadotto Rio Secco:
Relazione di calcolo

COMMESSA	LOTTO	CODIFICA	DOCUMENTO	REV.	FOGLIO
IF1N	01	E ZZ CL	VI 05 20 001	B	39 di 132

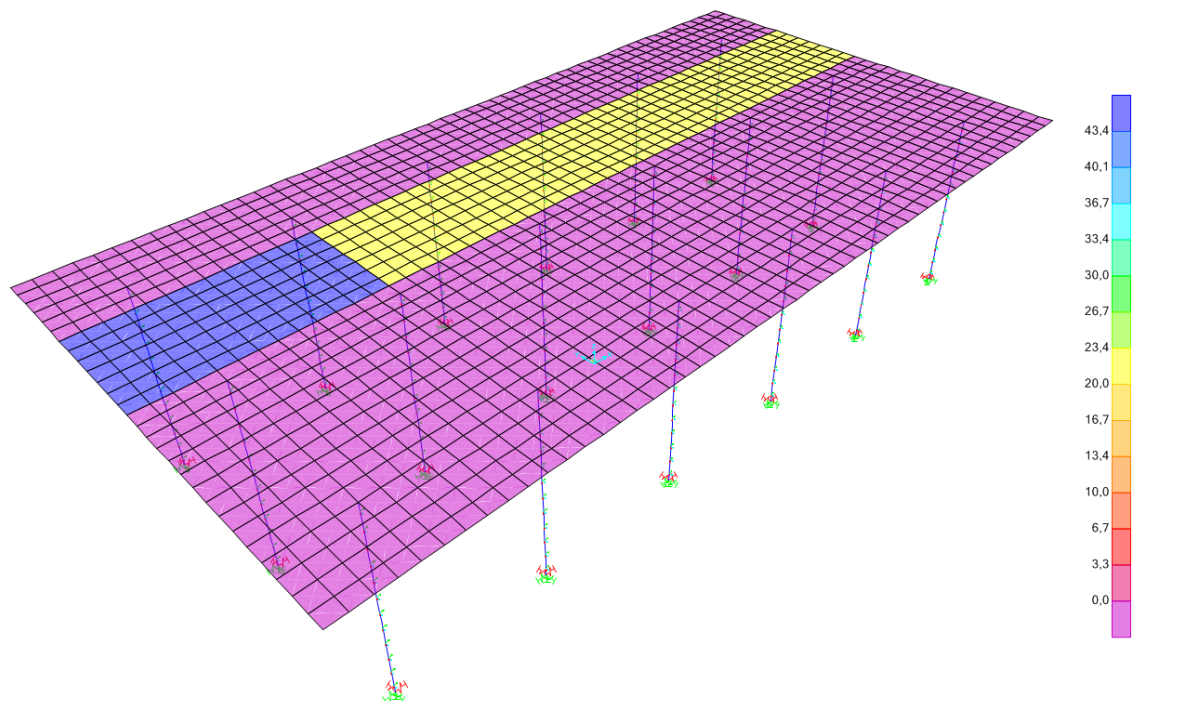


Figura 20 – Q1,3 – carichi LM71

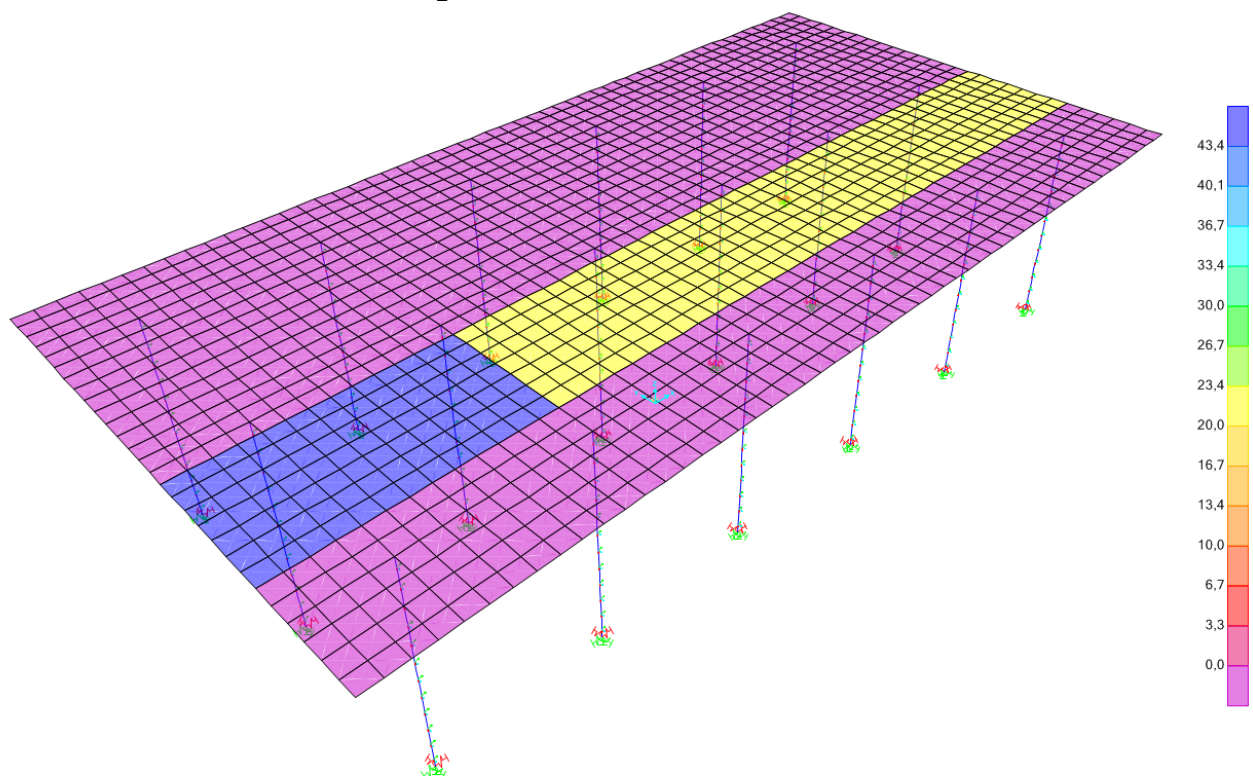


Figura 21 – Q1,4 – carichi LM71

Viadotto Rio Secco

VI05A- Opera di approccio al Viadotto Rio Secco:
Relazione di calcolo

COMMESSA

LOTTO

CODIFICA

DOCUMENTO

REV.

FOGLIO

IF1N

01

E ZZ CL

VI 05 20 001

B

40 di 132

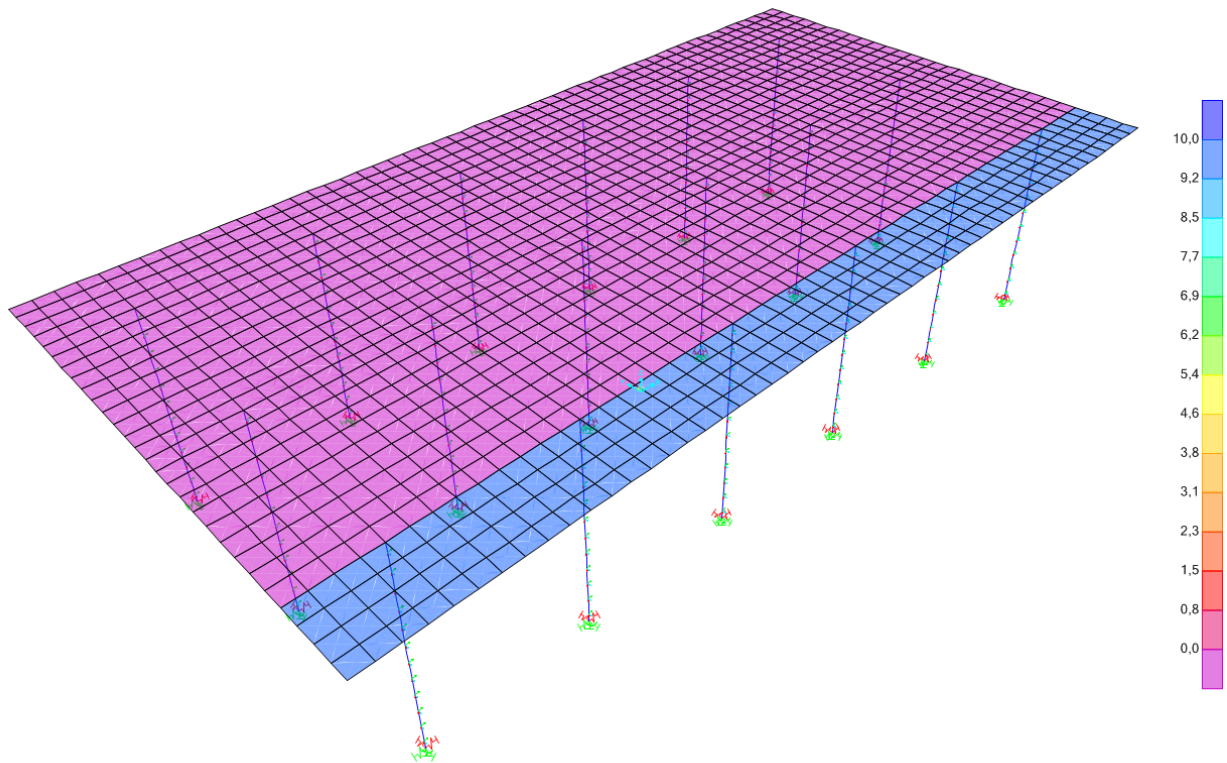


Figura 22 – Q2,1 – carichi sul marciapiede dx

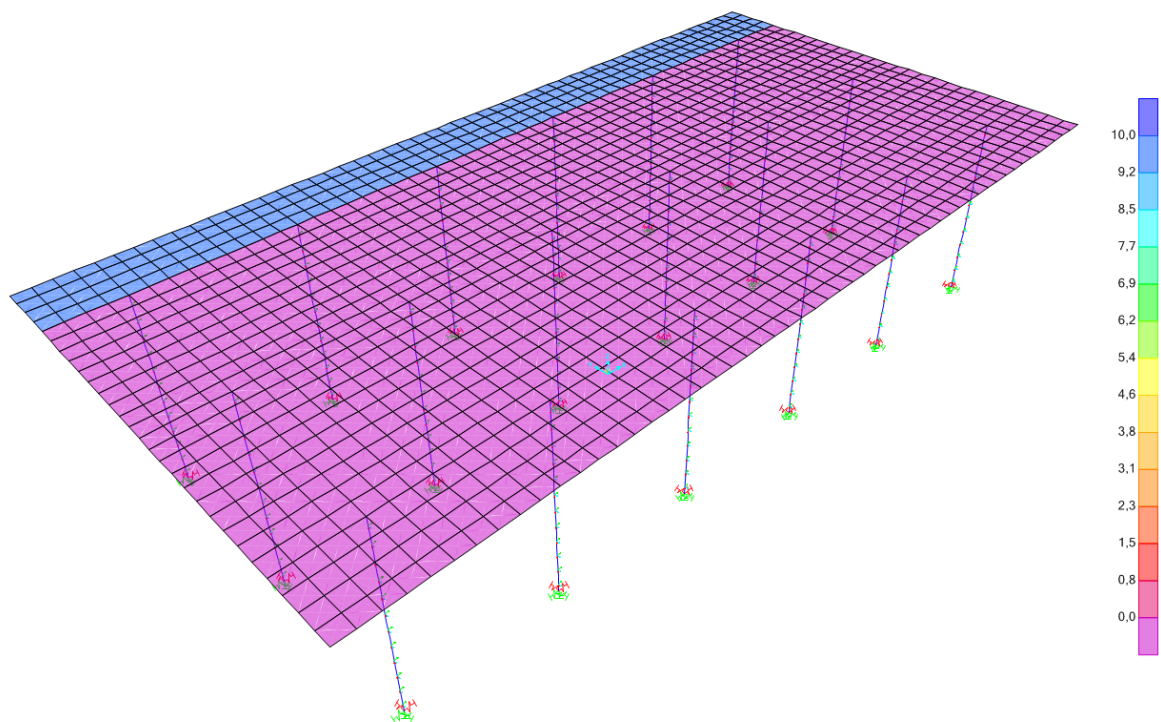


Figura 23 – Q2,2 – carichi sul marciapiede sx

Viadotto Rio Secco

VI05A- Opera di approccio al Viadotto Rio Secco:
Relazione di calcolo

COMMESSA

LOTTO

CODIFICA

DOCUMENTO

REV.

FOGLIO

IF1N

01

E ZZ CL

VI 05 20 001

B

41 di 132

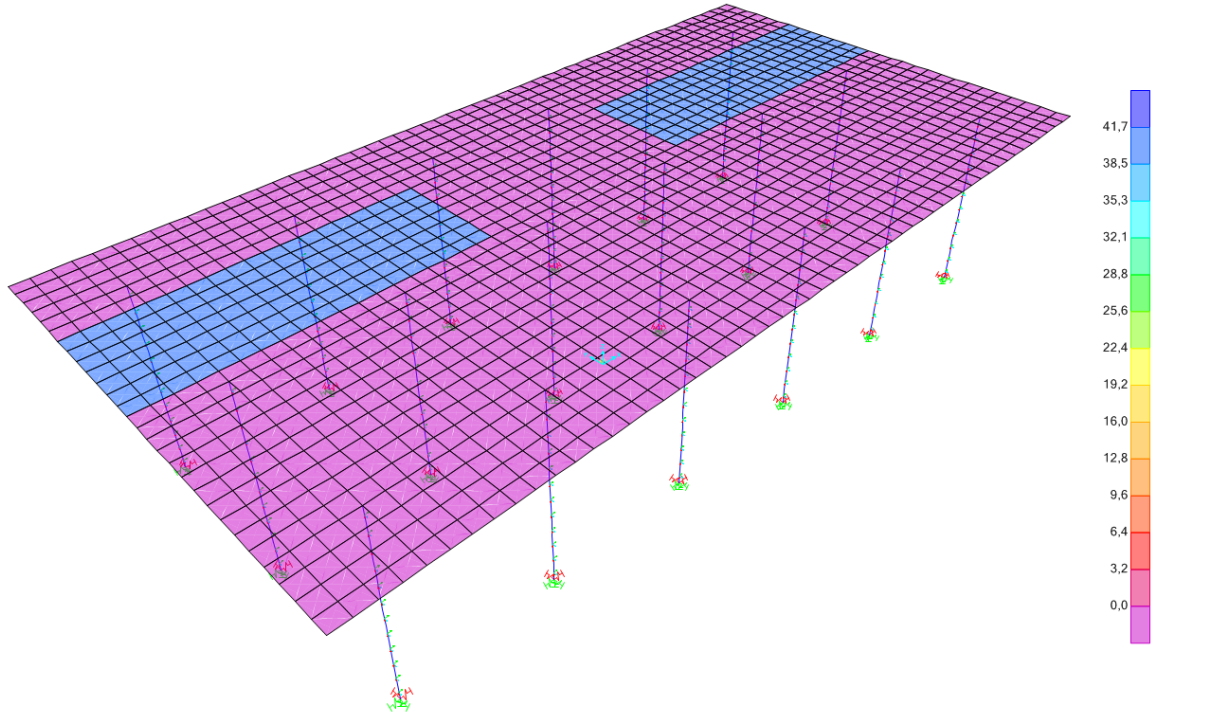


Figura 24 – Q3,1 – Carichi SW

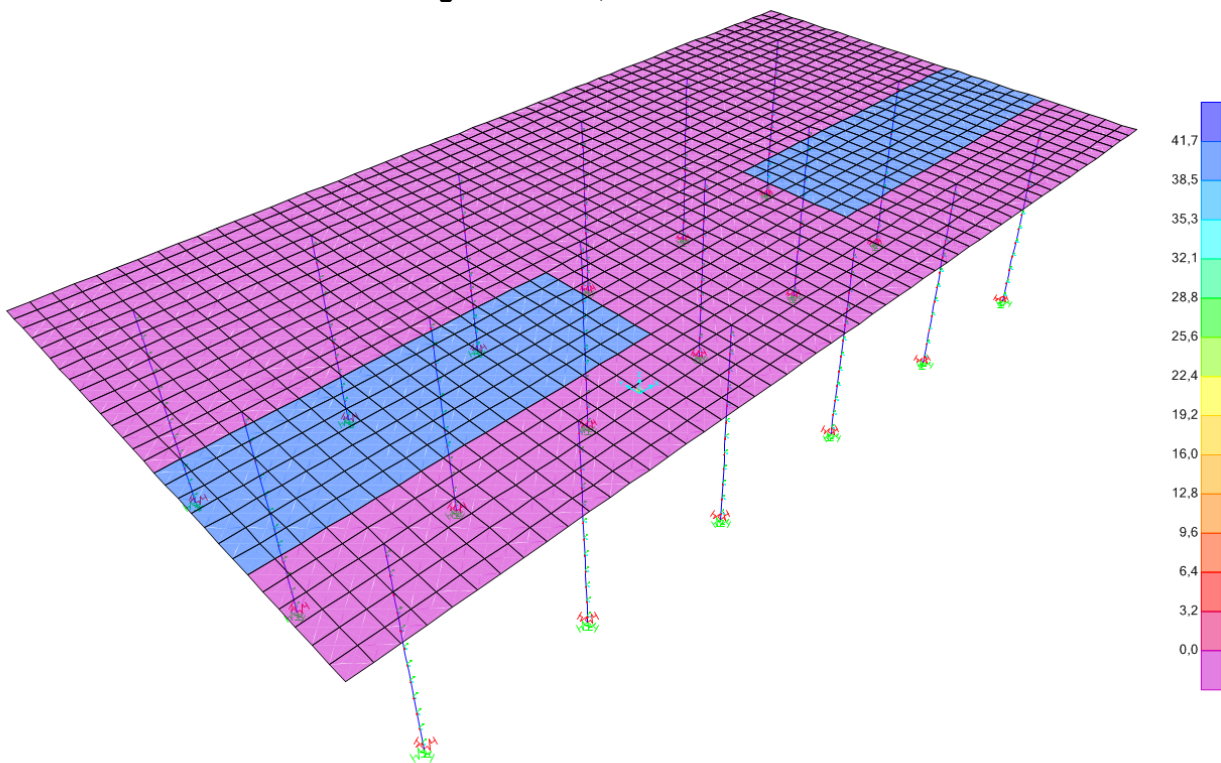


Figura 25 – Q3,2 – Carichi SW

Viadotto Rio Secco

VI05A- Opera di approccio al Viadotto Rio Secco:

Relazione di calcolo

COMMESSA

LOTTO

CODIFICA

DOCUMENTO

REV.

FOGLIO

IF1N

01

E ZZ CL

VI 05 20 001

B

42 di 132

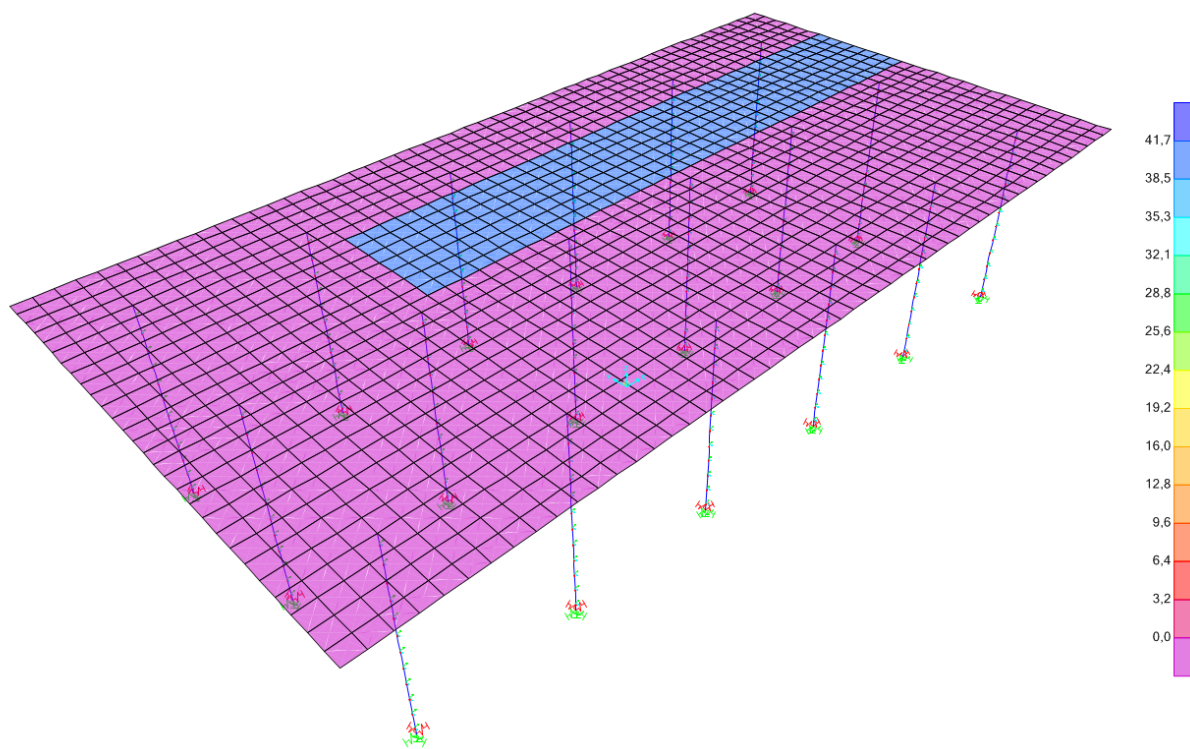


Figura 26 – Q3,3 – Carichi SW

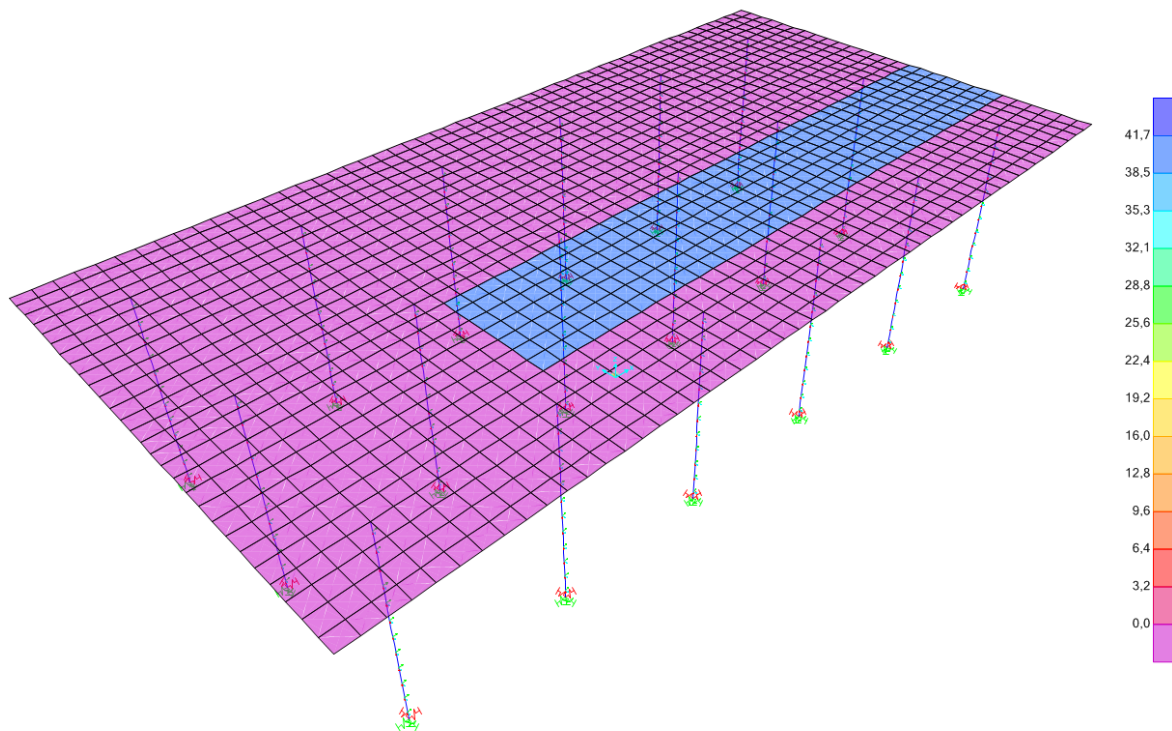


Figura 27 – Q3,4 – Carichi SW

Viadotto Rio Secco
VI05A- Opera di appoggio al Viadotto Rio Secco:
Relazione di calcolo

COMMESSA	LOTTO	CODIFICA	DOCUMENTO	REV.	FOGLIO
IF1N	01	E ZZ CL	VI 05 20 001	B	43 di 132

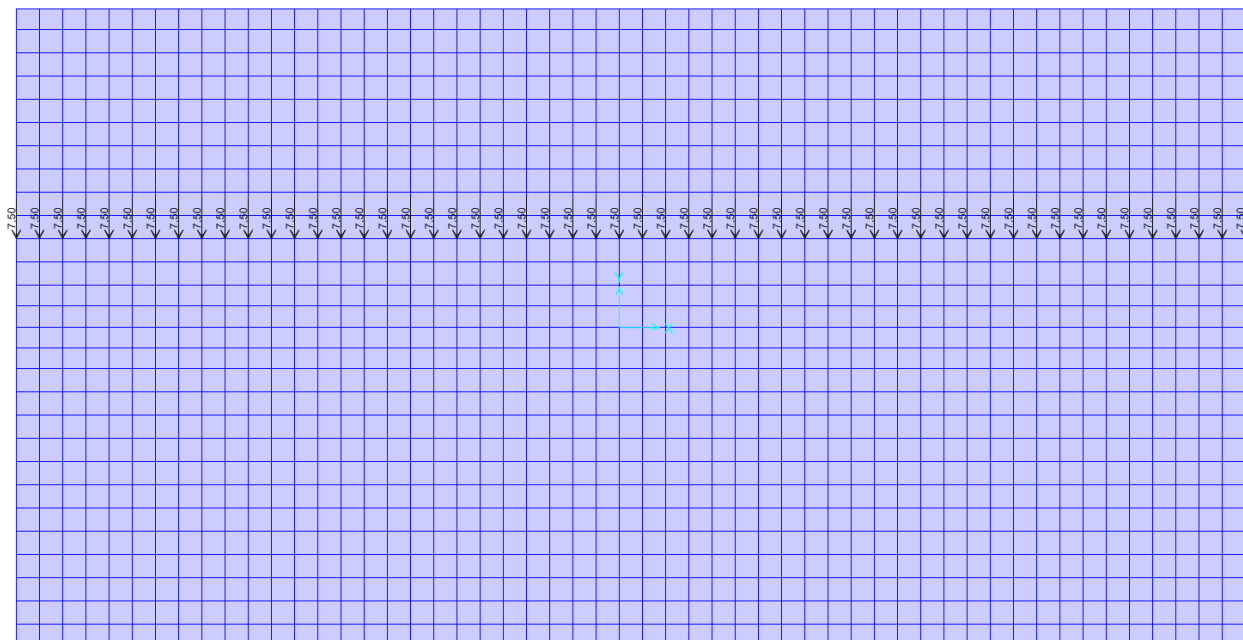


Figura 28 – Q4,1 – Forza centrifuga-sx (nell'immagine – pianta della soletta superiore)

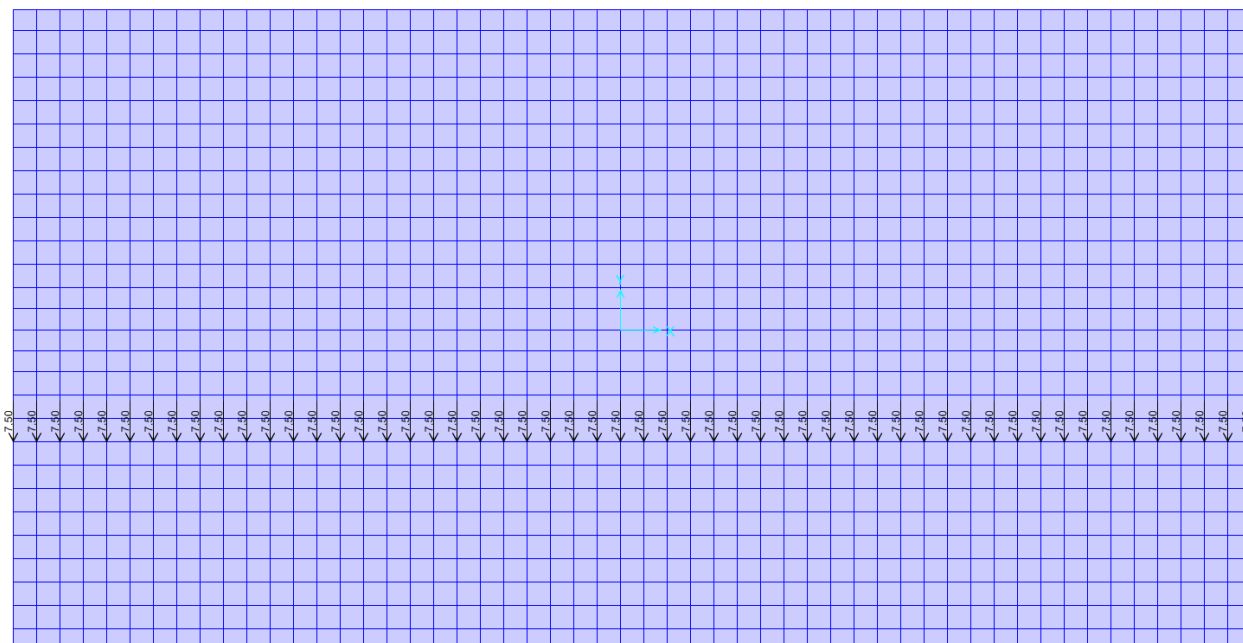


Figura 29 – Q4,2 – Forza centrifuga (nell'immagine – pianta della soletta superiore)

Viadotto Rio Secco
VI05A- Opera di approccio al Viadotto Rio Secco:
Relazione di calcolo

COMMESSA	LOTTO	CODIFICA	DOCUMENTO	REV.	FOGLIO
IF1N	01	E ZZ CL	VI 05 20 001	B	44 di 132

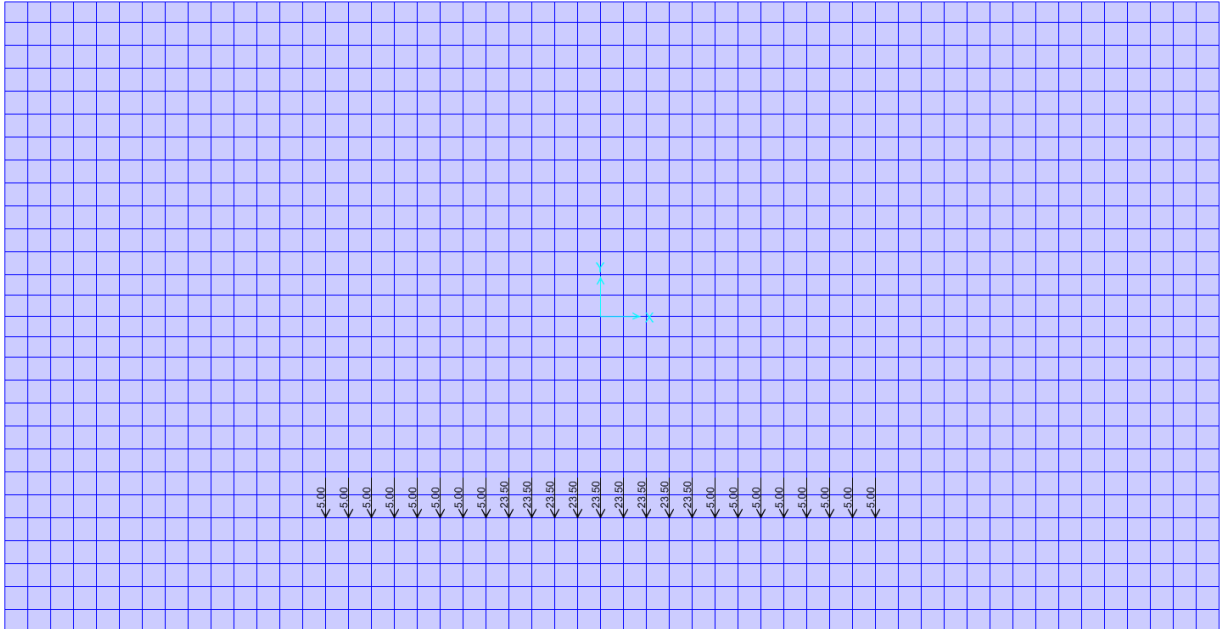


Figura 30 – Q4,3 – Serpeggio (nell'immagine – pianta della soletta superiore)

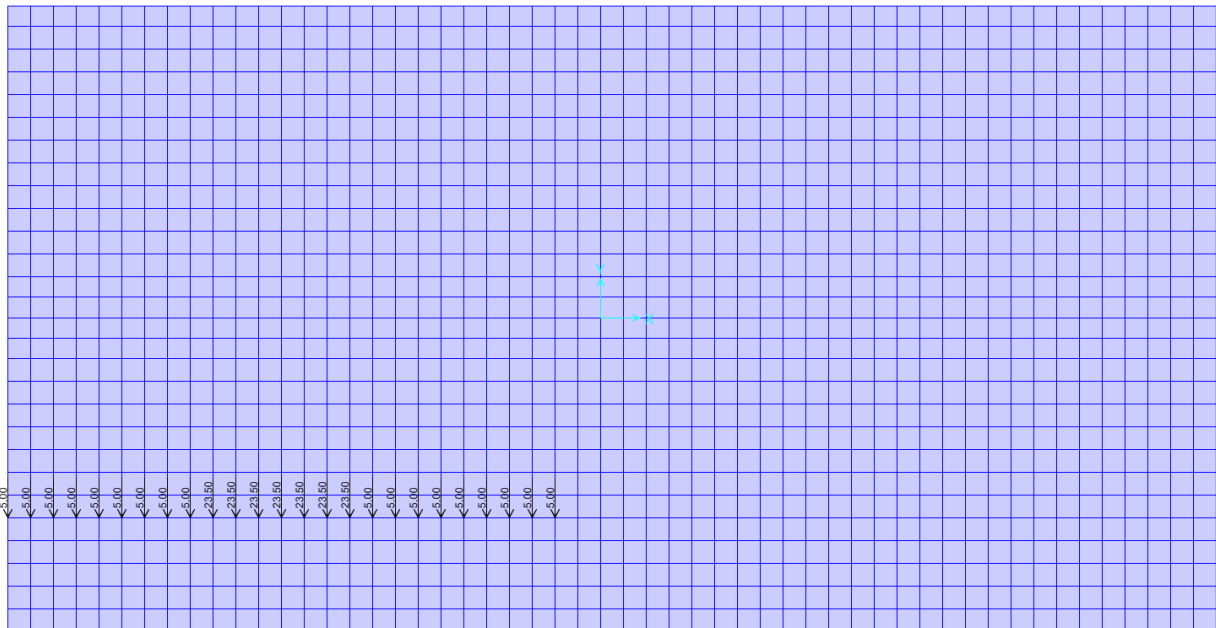


Figura 31 – Q4,4 – Serpeggio (nell'immagine – pianta della soletta superiore)

Viadotto Rio Secco

VI05A- Opera di approccio al Viadotto Rio Secco:

Relazione di calcolo

COMMESSA

LOTTO

CODIFICA

DOCUMENTO

REV.

FOGLIO

IF1N

01

E ZZ CL

VI 05 20 001

B

45 di 132

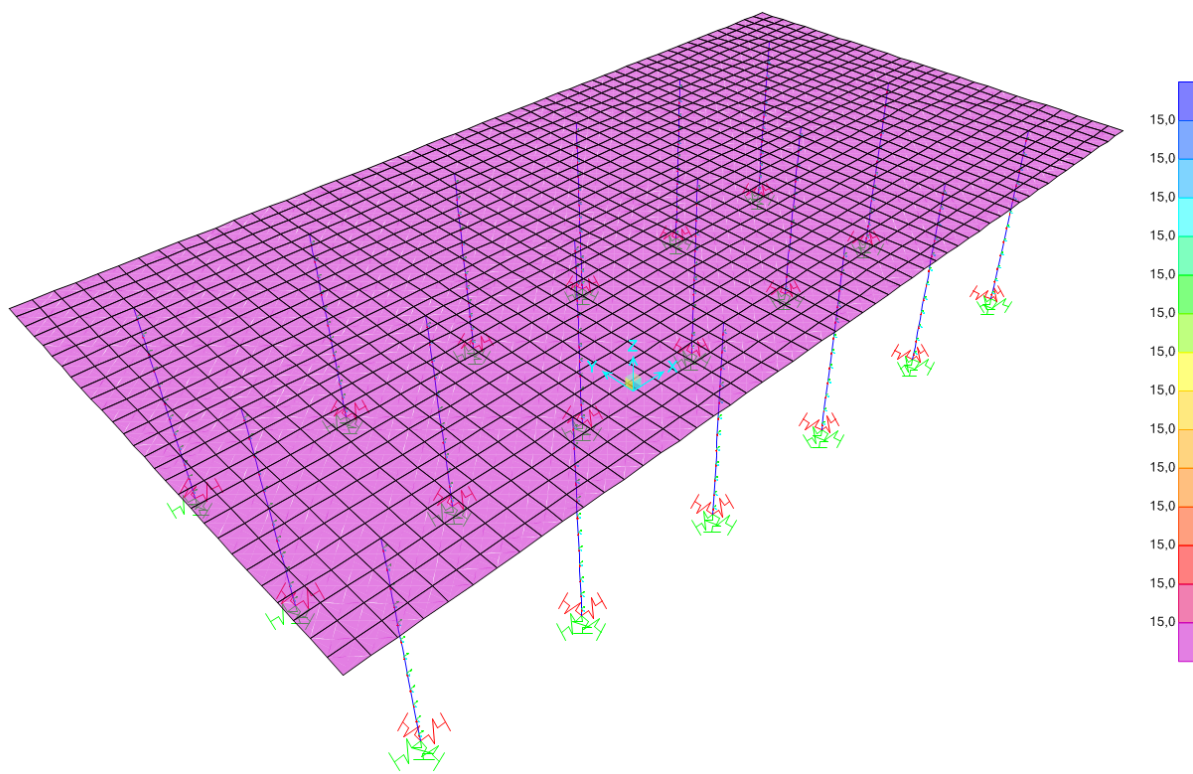


Figura 32 – Q5u – Termica uniforme

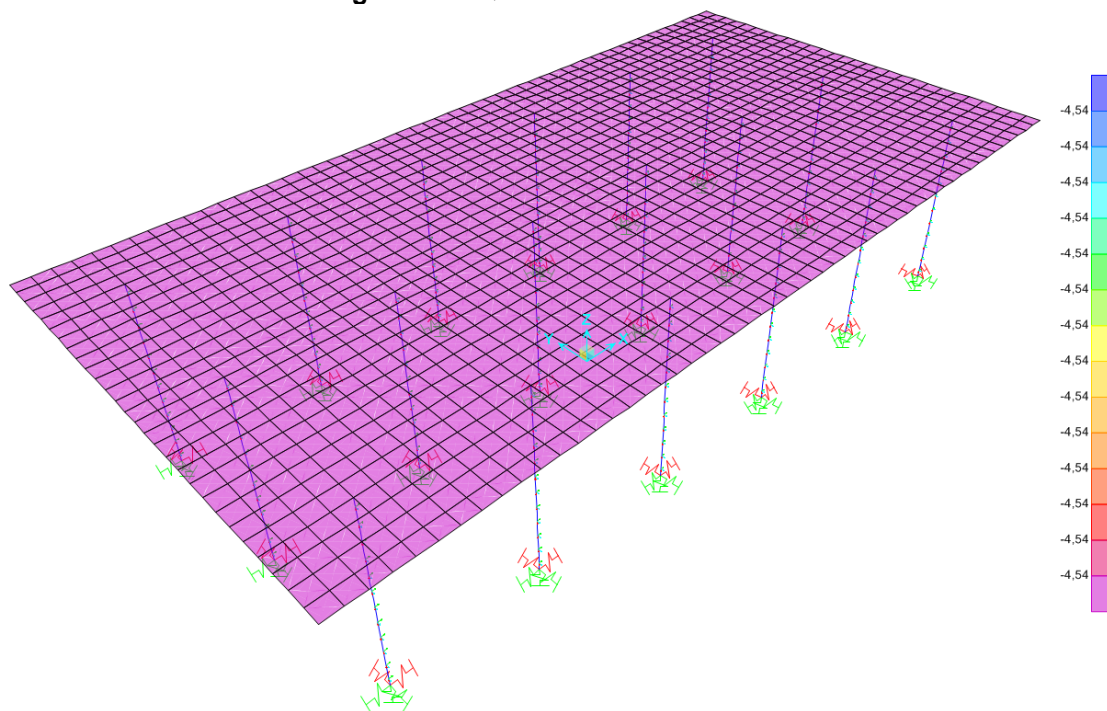


Figura 33 – Q5d – Termica differenziale

Viadotto Rio Secco
VI05A- Opera di approccio al Viadotto Rio Secco:
Relazione di calcolo

COMMESSA	LOTTO	CODIFICA	DOCUMENTO	REV.	FOGLIO
IF1N	01	E ZZ CL	VI 05 20 001	B	46 di 132

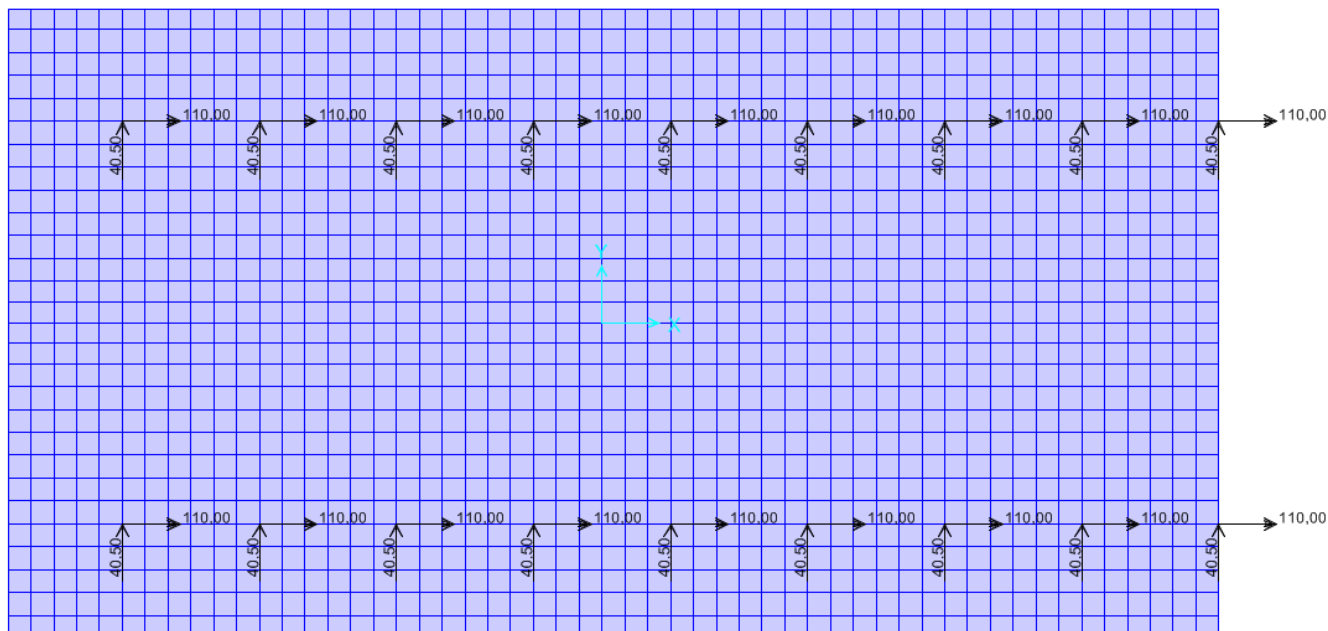


Figura 34 – Q6,1 – Vento Y

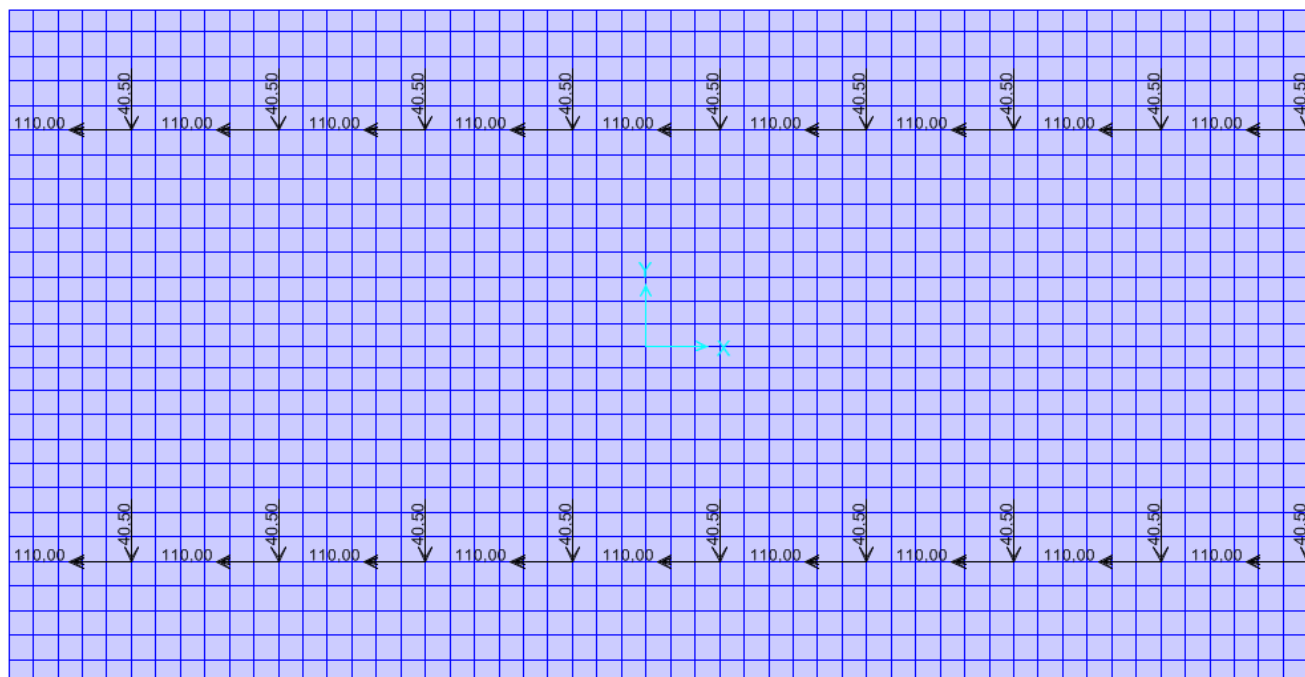


Figura 35 – Q6,2 – Vento -Y

Viadotto Rio Secco
VI05A- Opera di approccio al Viadotto Rio Secco:
Relazione di calcolo

COMMESSA	LOTTO	CODIFICA	DOCUMENTO	REV.	FOGLIO
IF1N	01	E ZZ CL	VI 05 20 001	B	47 di 132

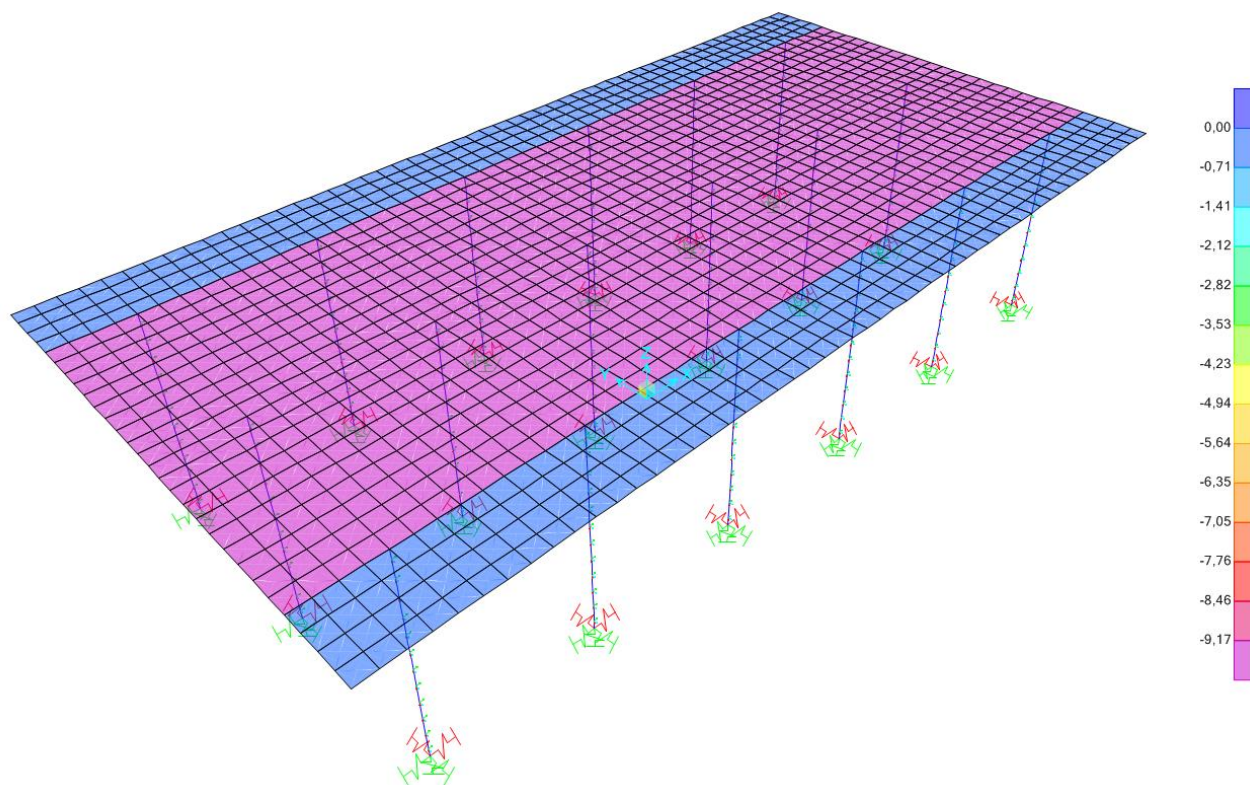


Figura 36 – Q7 – Ritiro

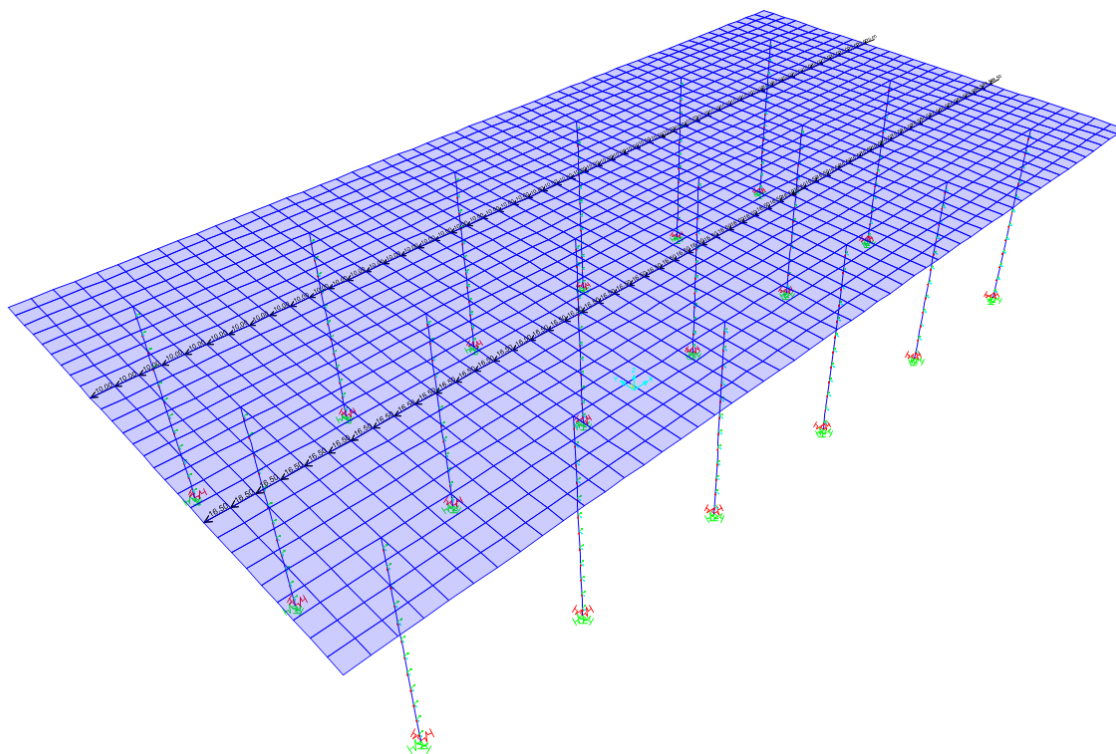


Figura 37 – Q8,1 – Frenatura, Avviamento 1

	ITINERARIO NAPOLI – BARI RADDOPPIO TRATTA CANCELLO – BENEVENTO I° LOTTO FUNZIONALE CANCELLO - FRASSO TELESINO E VARIANTE ALLA LINEA ROMA-NAPOLI VIA CASSINO NEL COMUNE DI MADDALONI – PROGETTO ESECUTIVO												
<i>Viadotto Rio Secco</i> <i>VI05A- Opera di approccio al Viadotto Rio Secco:</i> <i>Relazione di calcolo</i>	<table border="1"> <tr> <td>COMMESSA</td> <td>LOTTO</td> <td>CODIFICA</td> <td>DOCUMENTO</td> <td>REV.</td> <td>FOGLIO</td> </tr> <tr> <td>IF1N</td> <td>01</td> <td>E ZZ CL</td> <td>VI 05 20 001</td> <td>B</td> <td>48 di 132</td> </tr> </table>	COMMESSA	LOTTO	CODIFICA	DOCUMENTO	REV.	FOGLIO	IF1N	01	E ZZ CL	VI 05 20 001	B	48 di 132
COMMESSA	LOTTO	CODIFICA	DOCUMENTO	REV.	FOGLIO								
IF1N	01	E ZZ CL	VI 05 20 001	B	48 di 132								

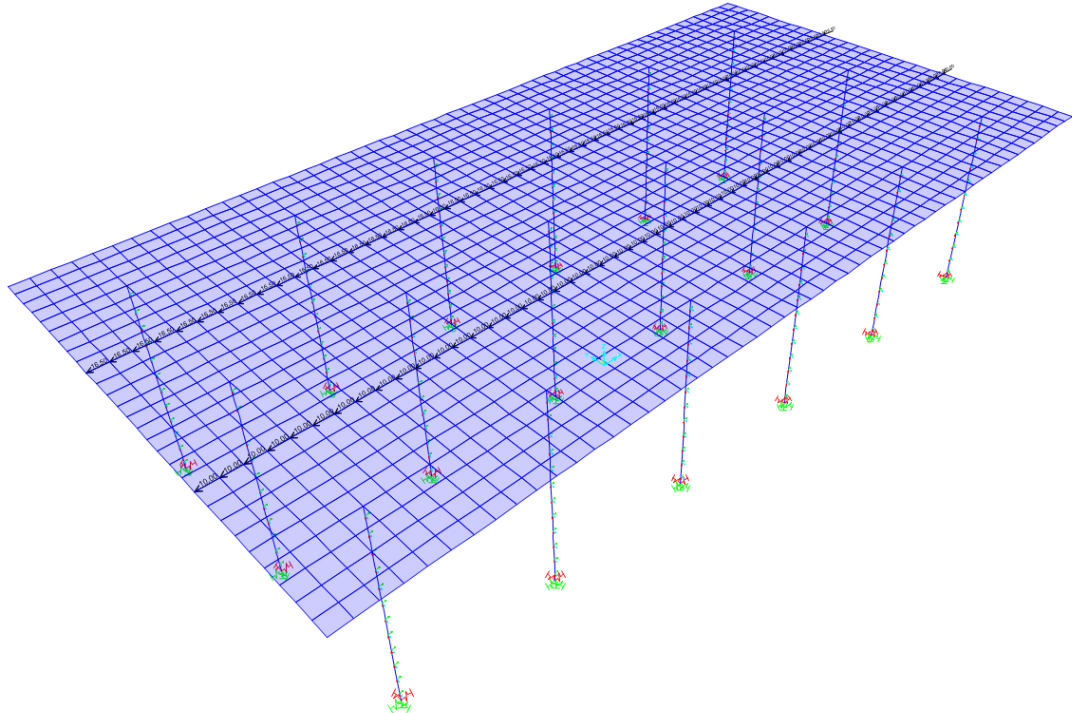


Figura 38 – Q8,2 – Frenatura, Avviamento 2

L'azione sismica è stata inserita come accelerazione degli elementi nelle direzioni X, Y e Z con un valore pari al massimo valore spettrale (plateau).

Tabella 4- Accelerazione sismiche

TABLE: Case - Static 1 - Load Assignments				
Case	LoadType	LoadName	LoadSF	TransAccSF
Text	Text	Text	Unitless	m/sec2
Ex	Accel	Accel UX		-6.76
Ey	Accel	Accel UY		-6.76
Ez	Accel	Accel UZ		2.8

  	ITINERARIO NAPOLI – BARI RADDOPPIO TRATTA CANCELLO – BENEVENTO I° LOTTO FUNZIONALE CANCELLO - FRASSO TELESINO E VARIANTE ALLA LINEA ROMA-NAPOLI VIA CASSINO NEL COMUNE DI MADDALONI – PROGETTO ESECUTIVO												
<i>Viadotto Rio Secco</i> <i>VI05A- Opera di approccio al Viadotto Rio Secco:</i> <i>Relazione di calcolo</i>	<table border="1"> <thead> <tr> <th>COMMESSA</th> <th>LOTTO</th> <th>CODIFICA</th> <th>DOCUMENTO</th> <th>REV.</th> <th>FOGLIO</th> </tr> </thead> <tbody> <tr> <td>IF1N</td> <td>01</td> <td>E ZZ CL</td> <td>VI 05 20 001</td> <td>B</td> <td>49 di 132</td> </tr> </tbody> </table>	COMMESSA	LOTTO	CODIFICA	DOCUMENTO	REV.	FOGLIO	IF1N	01	E ZZ CL	VI 05 20 001	B	49 di 132
COMMESSA	LOTTO	CODIFICA	DOCUMENTO	REV.	FOGLIO								
IF1N	01	E ZZ CL	VI 05 20 001	B	49 di 132								

6.3 COMBINAZIONI DI CARICO

Le azioni descritte nei paragrafi precedenti sono combinate tra loro, al fine di ottenere le sollecitazioni di progetto relative agli elementi strutturali di volta in volta considerati in base a quanto prescritto dal D.M. 14 Gennaio 2008.

- Combinazione fondamentale, generalmente impiegata per gli stati limite ultimi (SLU):

$$\gamma_{G1} \cdot G_1 + \gamma_{G2} \cdot G_2 + \gamma_P \cdot P + \gamma_{Q1} \cdot Q_{k1} + \gamma_{Q2} \cdot \psi_{02} \cdot Q_{k2} + \gamma_{Q3} \cdot \psi_{03} \cdot Q_{k3} + \dots \quad (2.5.1)$$

- Combinazione caratteristica (rara), generalmente impiegata per gli stati limite di esercizio (SLE) irreversibili, da utilizzarsi nelle verifiche alle tensioni ammissibili di cui al § 2.7:

$$G_1 + G_2 + P + Q_{k1} + \psi_{02} \cdot Q_{k2} + \psi_{03} \cdot Q_{k3} + \dots \quad (2.5.2)$$

- Combinazione frequente, generalmente impiegata per gli stati limite di esercizio (SLE) reversibili:

$$G_1 + G_2 + P + \psi_{11} \cdot Q_{k1} + \psi_{22} \cdot Q_{k2} + \psi_{23} \cdot Q_{k3} + \dots \quad (2.5.3)$$

- Combinazione quasi permanente (SLE), generalmente impiegata per gli effetti a lungo termine:

$$G_1 + G_2 + P + \psi_{21} \cdot Q_{k1} + \psi_{22} \cdot Q_{k2} + \psi_{23} \cdot Q_{k3} + \dots \quad (2.5.4)$$

- Combinazione sismica, impiegata per gli stati limite ultimi e di esercizio connessi all'azione sismica E (v. § 3.2):

$$E + G_1 + G_2 + P + \psi_{21} \cdot Q_{k1} + \psi_{22} \cdot Q_{k2} + \dots \quad (2.5.5)$$

- Combinazione eccezionale, impiegata per gli stati limite ultimi connessi alle azioni eccezionali di progetto A_d (v. § 3.6):

$$G_1 + G_2 + P + A_d + \psi_{21} \cdot Q_{k1} + \psi_{22} \cdot Q_{k2} + \dots \quad (2.5.6)$$

Nella valutazione dell'azione sismica sono state combinate le azioni sismiche dovute al peso proprio e ai carichi variabili, combinati come segue:

$$- E1 = E_x \pm 0.3 E_z$$

$$- E2 = 0.3 E_x \pm E_z$$

Con E_x , E_y e E_z rappresentative rispettivamente dell'azione sismica orizzontale in direzione x, orizzontale in direzione y e verticale.

Per la valutazione delle masse e della spinta dovuta ai sovraccarichi da traffico si è considerato un coefficiente $\psi=0.2$.

I coefficienti di combinazione considerati sono riportati in allegato.

	ITINERARIO NAPOLI – BARI RADDOPPIO TRATTA CANCELLO – BENEVENTO I° LOTTO FUNZIONALE CANCELLO - FRASSO TELESINO E VARIANTE ALLA LINEA ROMA-NAPOLI VIA CASSINO NEL COMUNE DI MADDALONI – PROGETTO ESECUTIVO												
<i>Viadotto Rio Secco</i> <i>VI05A- Opera di approccio al Viadotto Rio Secco:</i> <i>Relazione di calcolo</i>	<table border="1"> <thead> <tr> <th>COMMESSA</th> <th>LOTTO</th> <th>CODIFICA</th> <th>DOCUMENTO</th> <th>REV.</th> <th>FOGLIO</th> </tr> </thead> <tbody> <tr> <td>IF1N</td> <td>01</td> <td>E ZZ CL</td> <td>VI 05 20 001</td> <td>B</td> <td>50 di 132</td> </tr> </tbody> </table>	COMMESSA	LOTTO	CODIFICA	DOCUMENTO	REV.	FOGLIO	IF1N	01	E ZZ CL	VI 05 20 001	B	50 di 132
COMMESSA	LOTTO	CODIFICA	DOCUMENTO	REV.	FOGLIO								
IF1N	01	E ZZ CL	VI 05 20 001	B	50 di 132								

7 VERIFICHE AGLI SLU

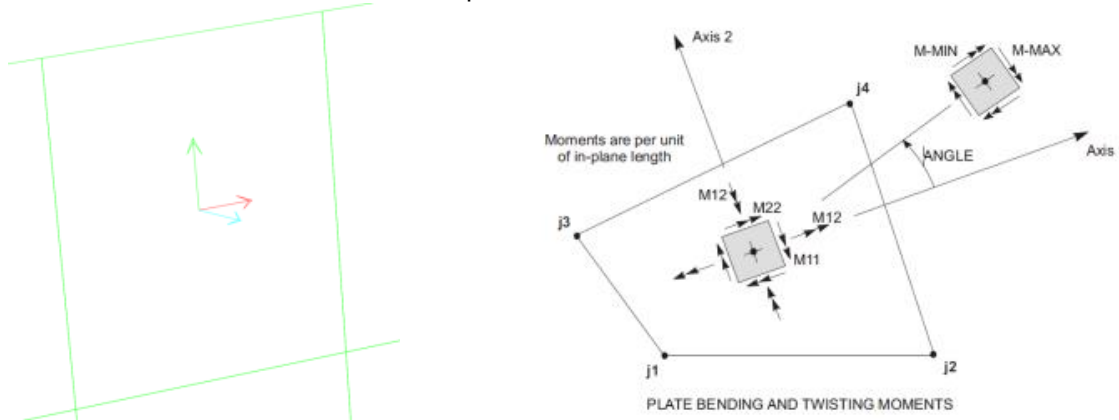
7.1 SOLETTA

Si riportano di seguito le verifiche a presso-flessione e taglio della struttura nelle sezioni considerate.

Le sollecitazioni considerate in verifica sono state ottenute a partire dall'involuppo delle sollecitazioni di progetto per le combinazioni SLU/SLV.

Di seguito si riportano i diagrammi dei principali casi di carico e gli involuppi delle combinazioni SLU, SLV e SLE, a partire dalle quali sono state ricavate le sollecitazioni di verifica, considerando se opportuno la riduzione delle sollecitazioni di picco derivate dalle modalità di modellazione.

Per agevolare la comprensione dei grafici si riportano di seguito gli assi locali degli elementi bidimensionali e uno stralcio del manuale del SAP2000 che presenta le convenzioni adottate.



Di seguito si riportano le principale sezioni oggetto di verifica:

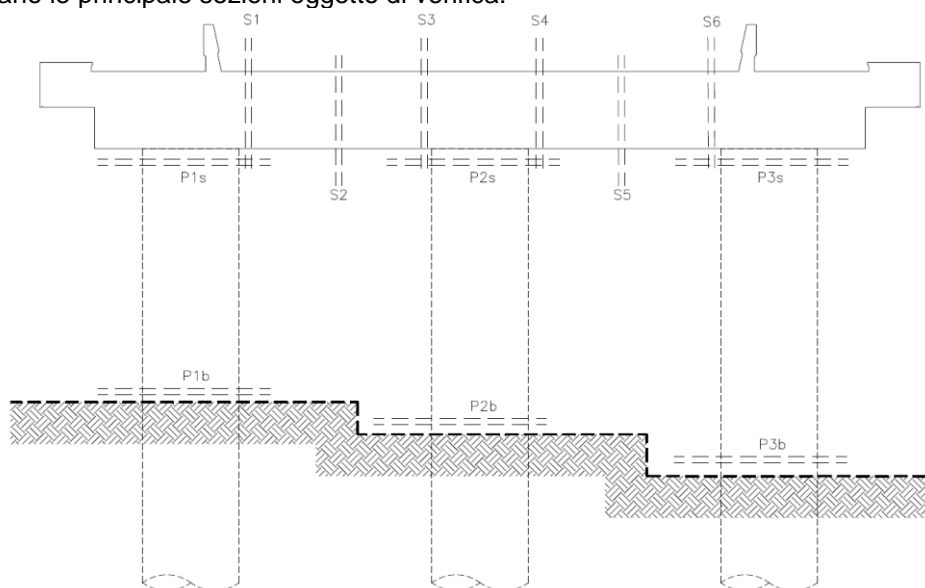


Figura 39 - Sezione trasversale - con indicazioni delle sezioni di verifica

Per agevolare la comprensione della posizione delle verifiche i riferimenti ai pali sono definiti come indicato nello schema seguente:

	ITINERARIO NAPOLI – BARI RADDOPPIO TRATTA CANCELLO – BENEVENTO I° LOTTO FUNZIONALE CANCELLO - FRASSO TELESINO E VARIANTE ALLA LINEA ROMA-NAPOLI VIA CASSINO NEL COMUNE DI MADDALONI – PROGETTO ESECUTIVO												
<i>Viadotto Rio Secco</i> <i>VI05A- Opera di approccio al Viadotto Rio Secco:</i> <i>Relazione di calcolo</i>	<table border="1"> <thead> <tr> <th>COMMESSA</th> <th>LOTTO</th> <th>CODIFICA</th> <th>DOCUMENTO</th> <th>REV.</th> <th>FOGLIO</th> </tr> </thead> <tbody> <tr> <td>IF1N</td> <td>01</td> <td>E ZZ CL</td> <td>VI 05 20 001</td> <td>B</td> <td>51 di 132</td> </tr> </tbody> </table>	COMMESSA	LOTTO	CODIFICA	DOCUMENTO	REV.	FOGLIO	IF1N	01	E ZZ CL	VI 05 20 001	B	51 di 132
COMMESSA	LOTTO	CODIFICA	DOCUMENTO	REV.	FOGLIO								
IF1N	01	E ZZ CL	VI 05 20 001	B	51 di 132								

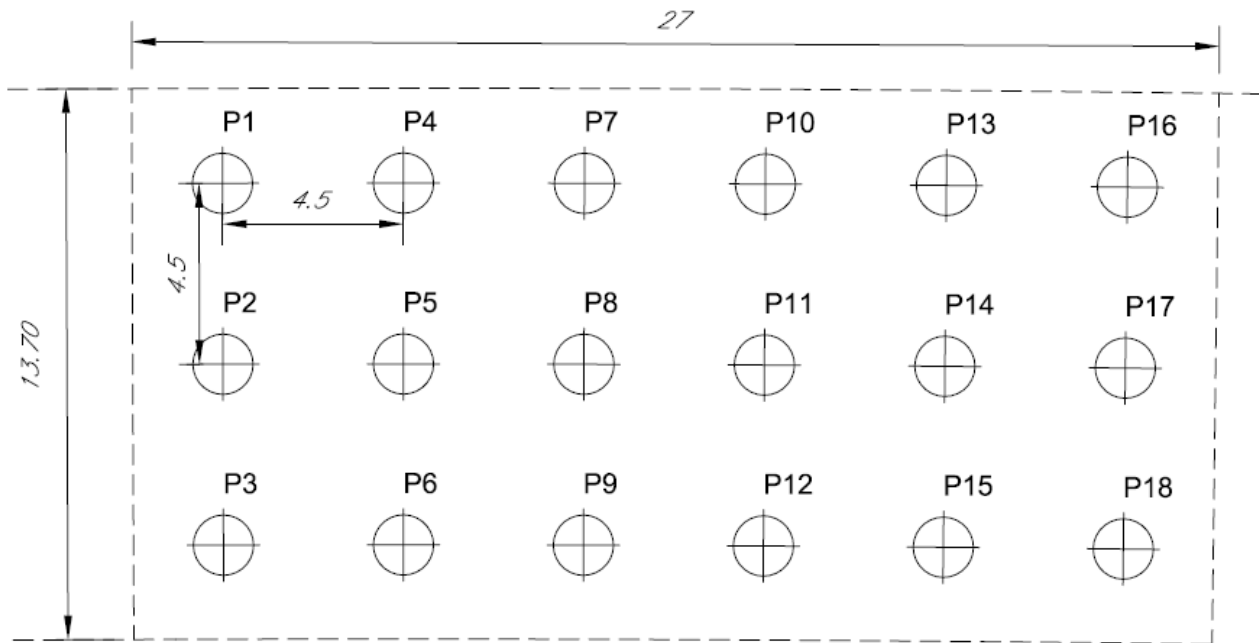


Figura 40- Nomenclatura pali del concio modellato

A fine di analisi dei dati nel programma di calcolo sono stati assegnati della sezioni di verifiche della soletta in vicinanza ai pali che sono riportate di seguito:

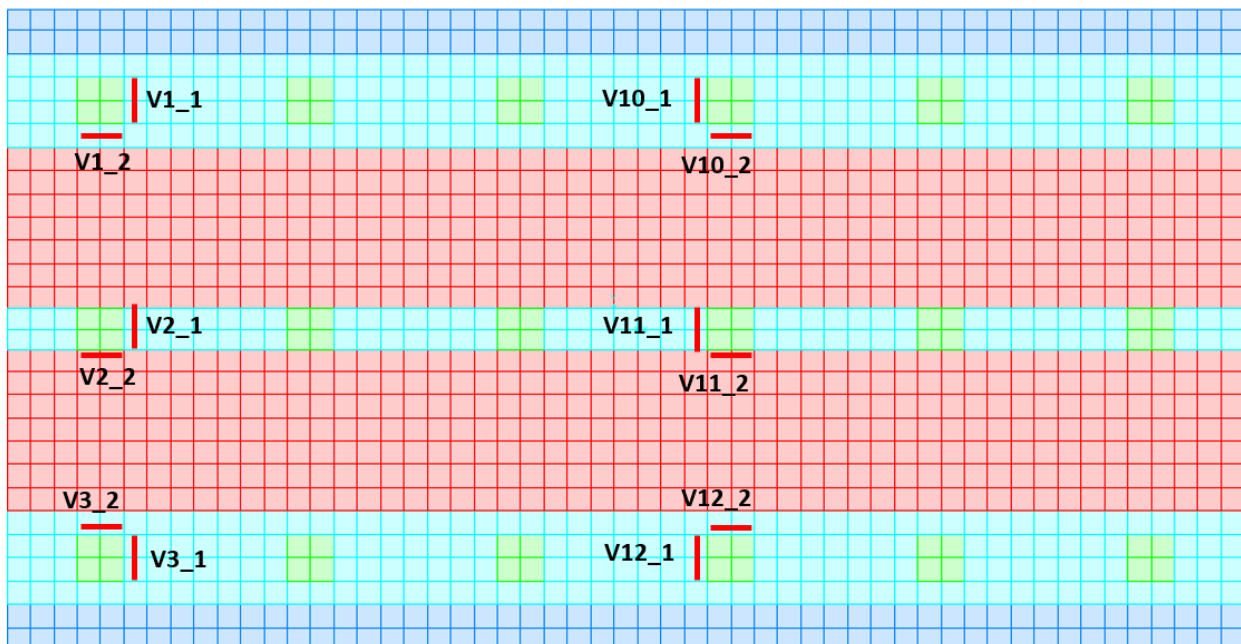


Figura 41- "Section cuts" (Lunghezza "section cut" =1m)

Viadotto Rio Secco
VI05A- Opera di approccio al Viadotto Rio Secco:
Relazione di calcolo

COMMESSA	LOTTO	CODIFICA	DOCUMENTO	REV.	FOGLIO
IF1N	01	E ZZ CL	VI 05 20 001	B	52 di 132

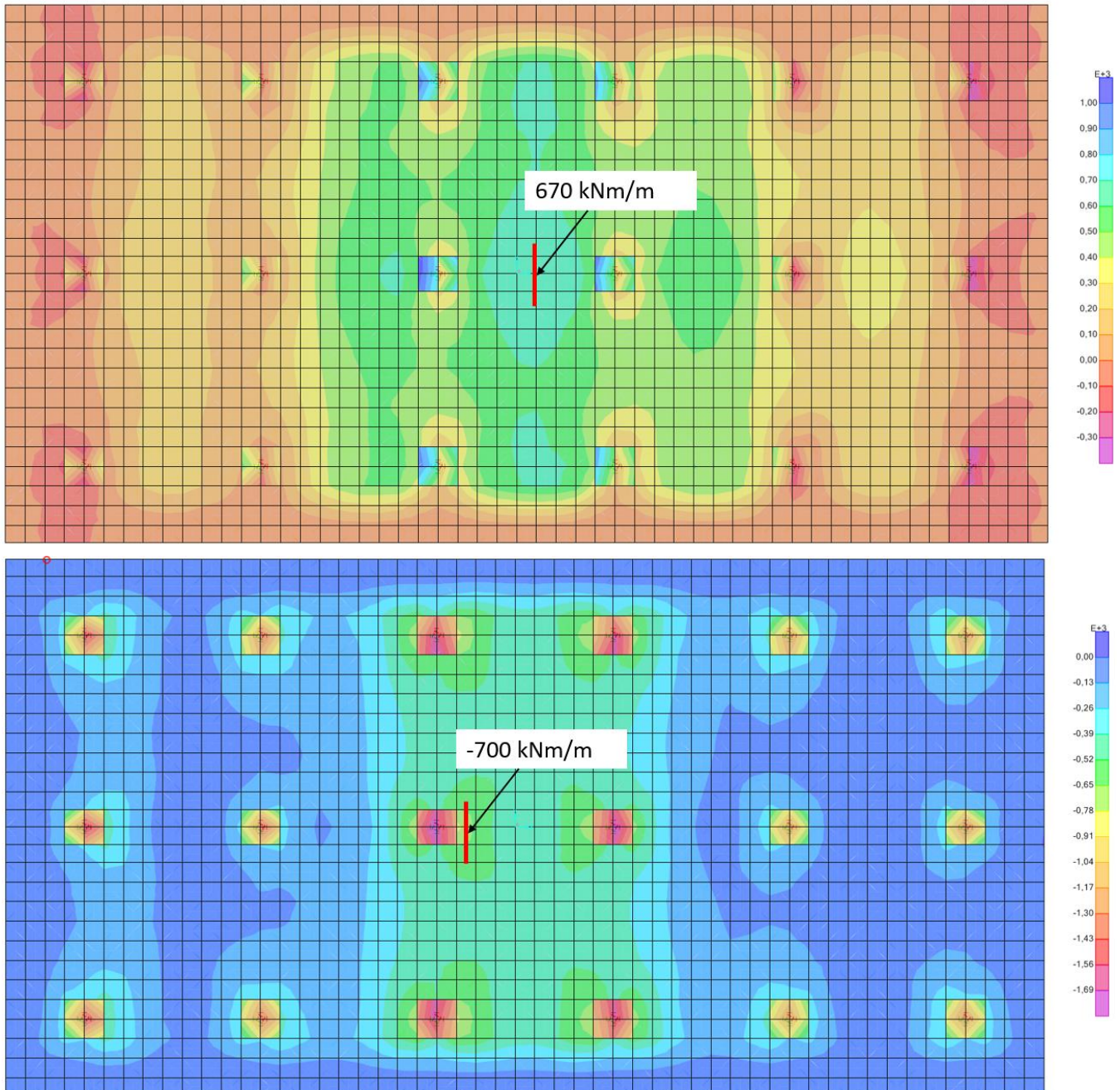


Figura 42 – involucro M11 – SLU (min e max)

Viadotto Rio Secco
VI05A- Opera di appoggio al Viadotto Rio Secco:
Relazione di calcolo

COMMESSA	LOTTO	CODIFICA	DOCUMENTO	REV.	FOGLIO
IF1N	01	E ZZ CL	VI 05 20 001	B	53 di 132

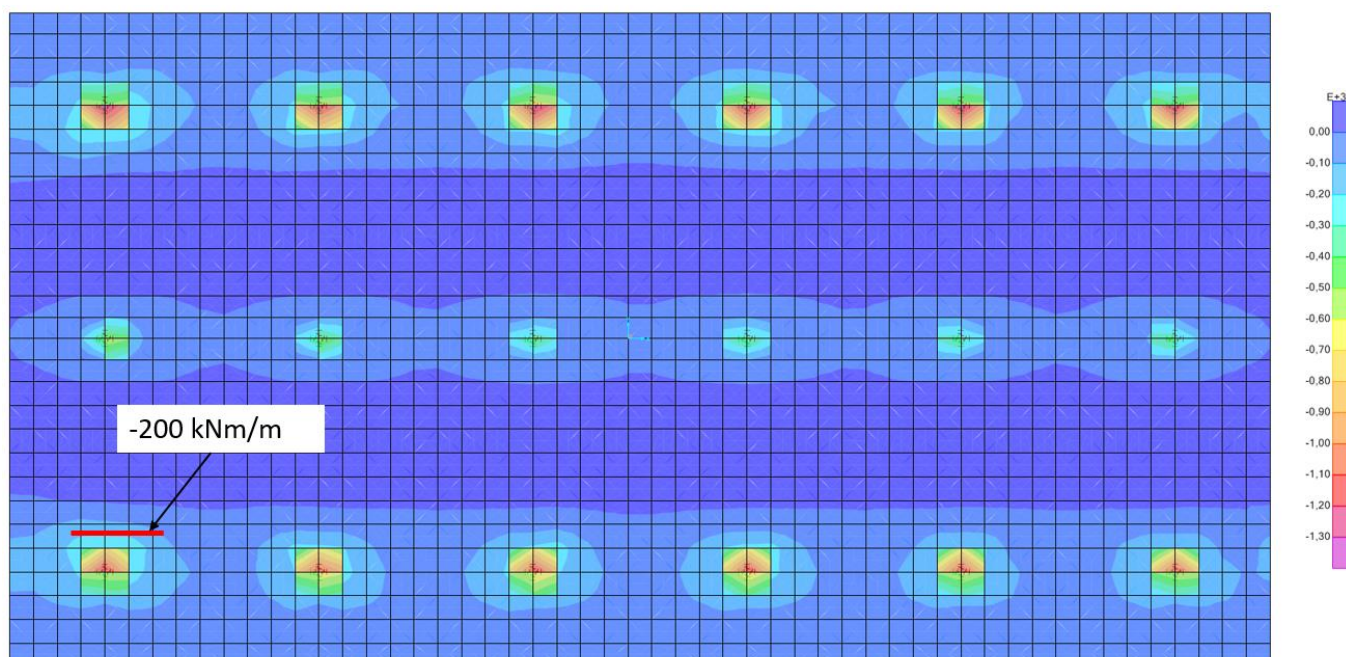
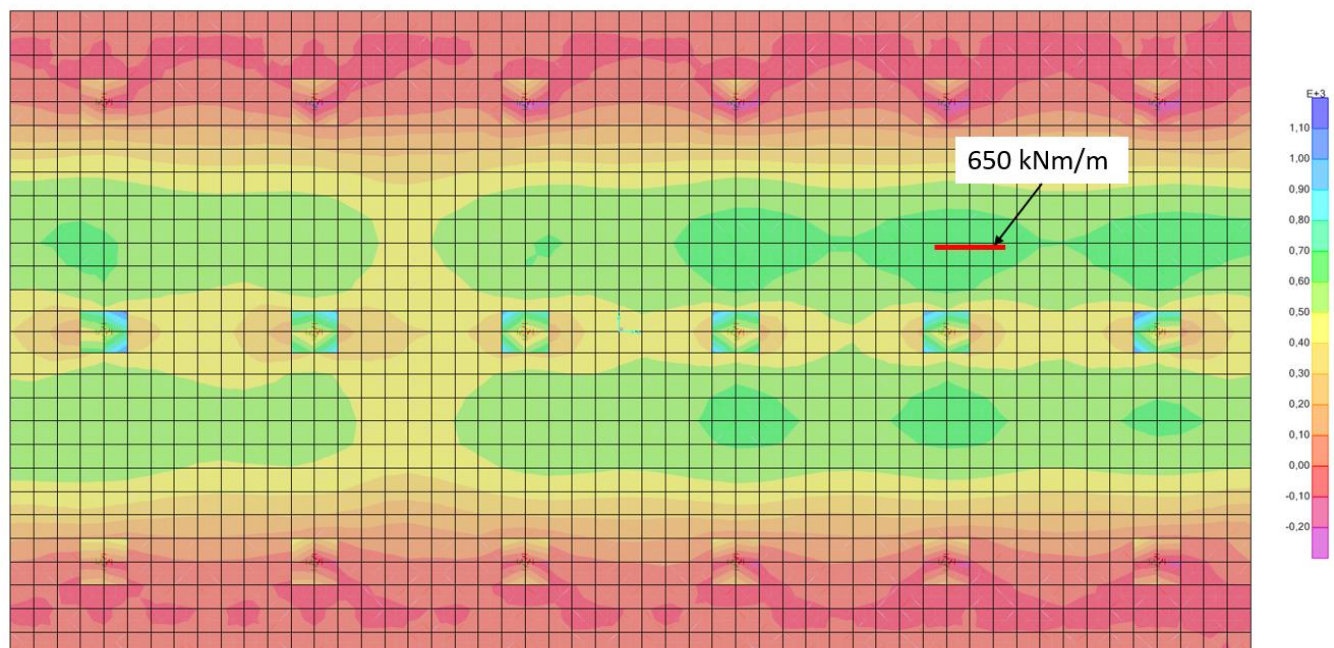


Figura 43 – involucro M22 – SLU (min e max)

Viadotto Rio Secco
VI05A- Opera di approccio al Viadotto Rio Secco:
Relazione di calcolo

COMMESSA	LOTTO	CODIFICA	DOCUMENTO	REV.	FOGLIO
IF1N	01	E ZZ CL	VI 05 20 001	B	54 di 132

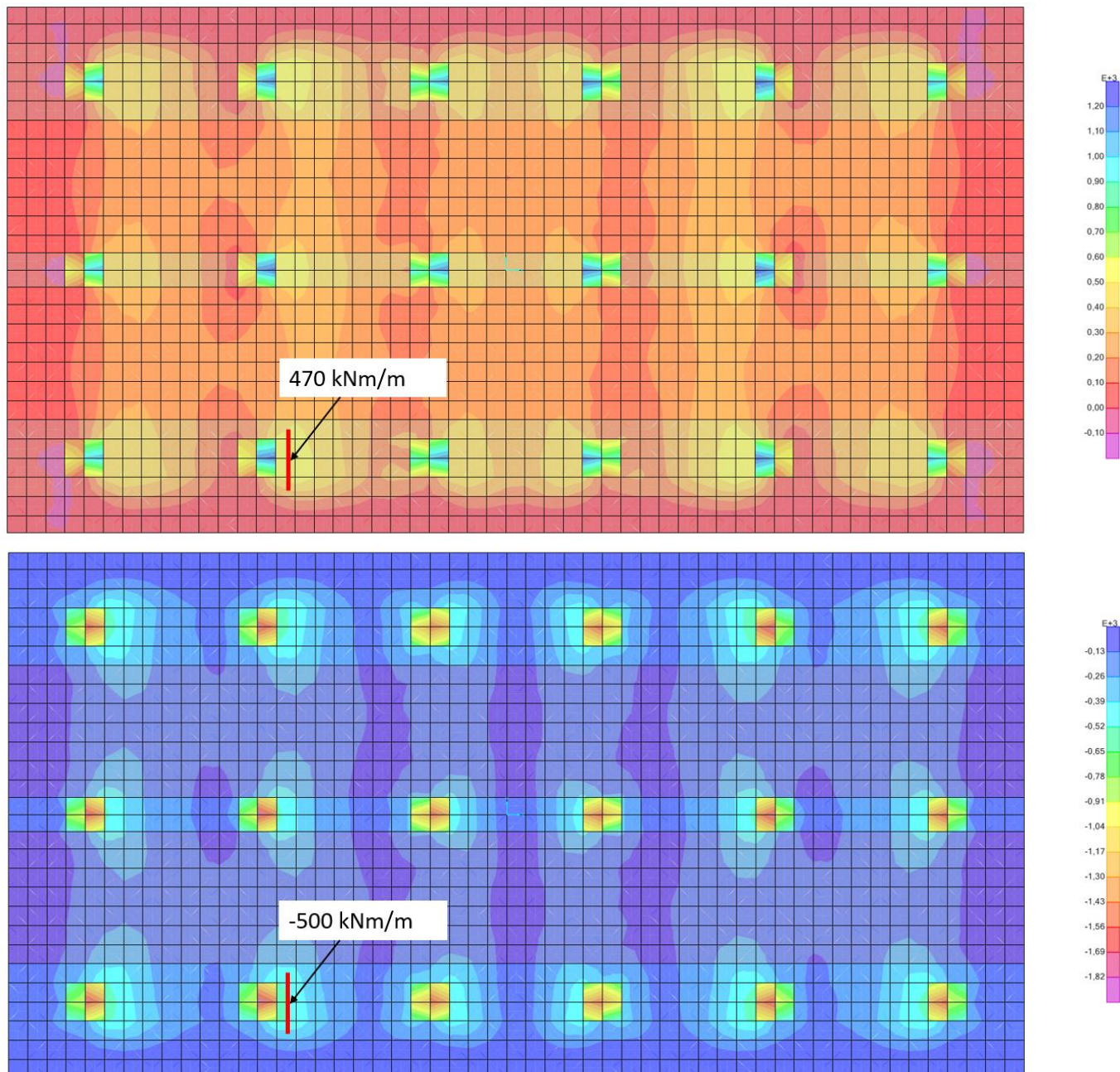


Figura 44 – involucro M11 – SLV (min e max)

Viadotto Rio Secco
VI05A- Opera di appoggio al Viadotto Rio Secco:
Relazione di calcolo

COMMESSA	LOTTO	CODIFICA	DOCUMENTO	REV.	FOGLIO
IF1N	01	E ZZ CL	VI 05 20 001	B	55 di 132

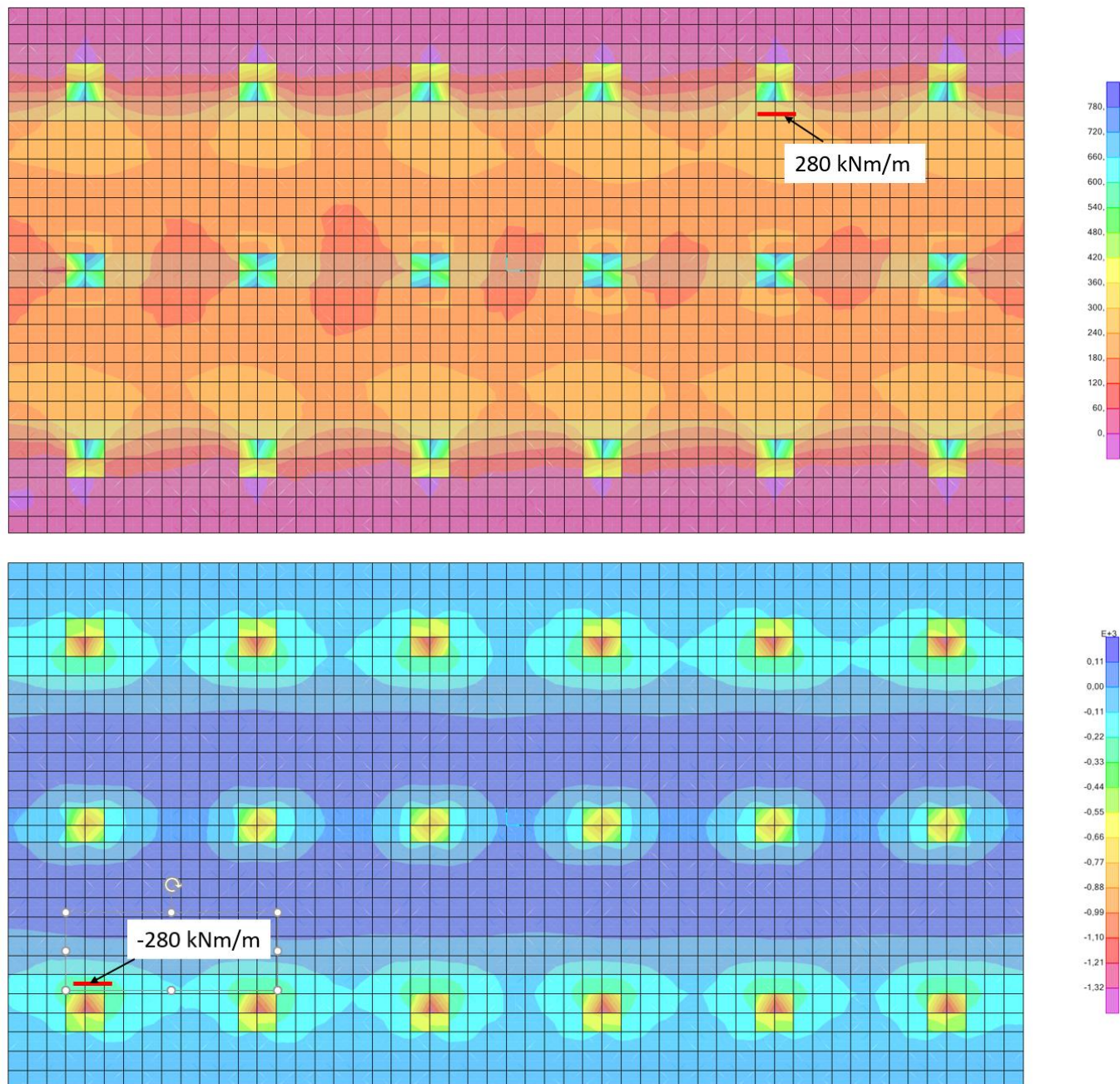


Figura 45 – involucro M22 – SLV (min e max)

	ITINERARIO NAPOLI – BARI RADDOPPIO TRATTA CANCELLO – BENEVENTO I° LOTTO FUNZIONALE CANCELLO - FRASSO TELESINO E VARIANTE ALLA LINEA ROMA-NAPOLI VIA CASSINO NEL COMUNE DI MADDALONI – PROGETTO ESECUTIVO												
<i>Viadotto Rio Secco</i> <i>VI05A- Opera di approccio al Viadotto Rio Secco:</i> <i>Relazione di calcolo</i>	<table border="1"> <tr> <td>COMMESSA</td> <td>LOTTO</td> <td>CODIFICA</td> <td>DOCUMENTO</td> <td>REV.</td> <td>FOGLIO</td> </tr> <tr> <td>IF1N</td> <td>01</td> <td>E ZZ CL</td> <td>VI 05 20 001</td> <td>B</td> <td>56 di 132</td> </tr> </table>	COMMESSA	LOTTO	CODIFICA	DOCUMENTO	REV.	FOGLIO	IF1N	01	E ZZ CL	VI 05 20 001	B	56 di 132
COMMESSA	LOTTO	CODIFICA	DOCUMENTO	REV.	FOGLIO								
IF1N	01	E ZZ CL	VI 05 20 001	B	56 di 132								

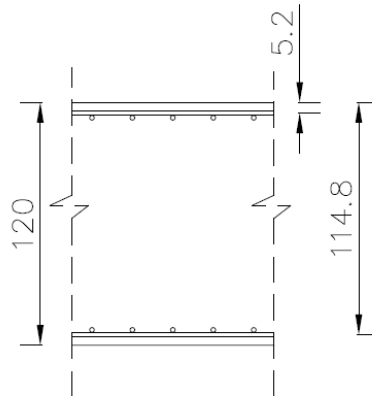
7.1.1 SEZIONE MEZZERIA SOLETTA

Le analisi svolte portano a considerare le seguenti sollecitazioni:

VERIFICA A FLESSIONE - DIREZIONE TRASVERSALE

$M = 650 \text{ kNm}$

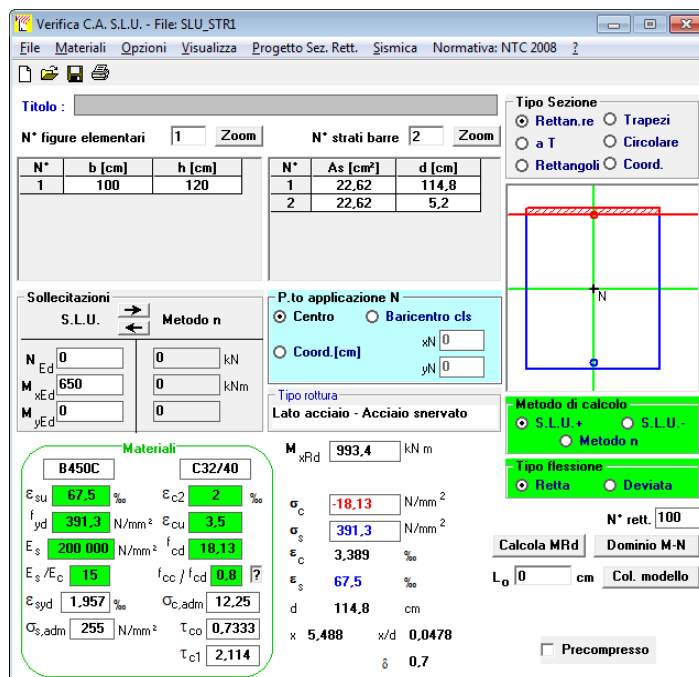
$N = 0 \text{ kN}$



La sezione è armata con 1 strato di $\varnothing 24/20\text{cm}$ inferiori e 1 strato di $\varnothing 24/20\text{cm}$ superiori.

Si omette la verifica a SLV in quanto le sollecitazioni risultano inferiori rispetto a quelle SLU riportate in alto.

Combinazione per momento positivo:	MEd	MRd
	kNm/m	kNm/m
Inviluppo-M22max	650	993
Fattore Sicurezza		1.5



Verifica C.A. S.L.U. - File: SLU_STR1

File Materiali Opzioni Visualizza Progetto Sez. Rett. Sismica Normativa: NTC 2008

Titolo: _____

N° figure elementari 1 Zoom N° strati barre 2 Zoom

N°	b [cm]	h [cm]	N°	As [cm²]	d [cm]
1	100	120	1	22,62	114,8
			2	22,62	5,2

Sollecitazioni S.L.U. Metodo n

N_{Ed} 0 kN
M_{xEd} 650 kNm
M_{yEd} 0 kNm

P.to applicazione N: Centro

Lato acciaio - Acciaio snervato

M_{xRd} 993,4 kNm

Materiali: B450C, C32/40

ε_{su} 67,5 ‰ ε_{c2} 2 ‰
f_{yd} 391,3 N/mm² ε_{cu} 3,5 ‰
E_s 200 000 N/mm² f_{cd} 18,13 ‰
E_s/E_c 15 f_{cc}/f_{cd} 0,8
ε_{syd} 1,957 ‰ σ_{c,adm} 12,25
σ_{s,adm} 255 N/mm² τ_{co} 0,7333
τ_{c1} 2,114

σ_c -18,13 N/mm²
σ_s 391,3 N/mm²
ε_c 3,389 ‰
ε_s 67,5 ‰
d 114,8 cm
x 5,488 x/d 0,0478
δ 0,7

Metodo di calcolo: S.L.U. + S.L.U. - Metodo n

Tipo flessione: Retta Deviata

N° rett. 100

Calcola MRd Dominio M-N

L_o 0 cm Col. modello

Precompresso

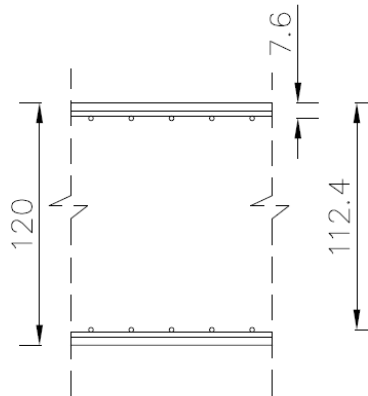
La verifica risulta soddisfatta

  	ITINERARIO NAPOLI – BARI RADDOPPIO TRATTA CANCELLO – BENEVENTO I° LOTTO FUNZIONALE CANCELLO - FRASSO TELESINO E VARIANTE ALLA LINEA ROMA-NAPOLI VIA CASSINO NEL COMUNE DI MADDALONI – PROGETTO ESECUTIVO												
Viadotto Rio Secco VI05A- Opera di approccio al Viadotto Rio Secco: Relazione di calcolo	<table border="1"> <tr> <td>COMMESSA</td> <td>LOTTO</td> <td>CODIFICA</td> <td>DOCUMENTO</td> <td>REV.</td> <td>FOGLIO</td> </tr> <tr> <td>IF1N</td> <td>01</td> <td>E ZZ CL</td> <td>VI 05 20 001</td> <td>B</td> <td>57 di 132</td> </tr> </table>	COMMESSA	LOTTO	CODIFICA	DOCUMENTO	REV.	FOGLIO	IF1N	01	E ZZ CL	VI 05 20 001	B	57 di 132
COMMESSA	LOTTO	CODIFICA	DOCUMENTO	REV.	FOGLIO								
IF1N	01	E ZZ CL	VI 05 20 001	B	57 di 132								

VERIFICA A FLESSIONE - DIREZIONE LONGITUDINALE

M = 670 kNm

N = 0 kN



La sezione è armata con 1 strato di $\varnothing 24/20\text{cm}$ inferiori e 1 strato di $\varnothing 24/20\text{cm}$ superiori.
 Si omette la verifica a SLV in quanto le sollecitazioni risultano inferiori rispetto a quelle SLU riportate in alto.

Combinazione per momento positivo:	Med	MRd
	kNm/m	kNm/m
Inviluppo-M11max	670	975
Fattore Sicurezza		1.5

La verifica risulta soddisfatta

  	ITINERARIO NAPOLI – BARI RADDOPPIO TRATTA CANCELLO – BENEVENTO I° LOTTO FUNZIONALE CANCELLO - FRASSO TELESINO E VARIANTE ALLA LINEA ROMA-NAPOLI VIA CASSINO NEL COMUNE DI MADDALONI – PROGETTO ESECUTIVO												
Viadotto Rio Secco VI05A- Opera di approccio al Viadotto Rio Secco: Relazione di calcolo	<table border="1"> <tr> <td>COMMESSA</td> <td>LOTTO</td> <td>CODIFICA</td> <td>DOCUMENTO</td> <td>REV.</td> <td>FOGLIO</td> </tr> <tr> <td>IF1N</td> <td>01</td> <td>E ZZ CL</td> <td>VI 05 20 001</td> <td>B</td> <td>58 di 132</td> </tr> </table>	COMMESSA	LOTTO	CODIFICA	DOCUMENTO	REV.	FOGLIO	IF1N	01	E ZZ CL	VI 05 20 001	B	58 di 132
COMMESSA	LOTTO	CODIFICA	DOCUMENTO	REV.	FOGLIO								
IF1N	01	E ZZ CL	VI 05 20 001	B	58 di 132								

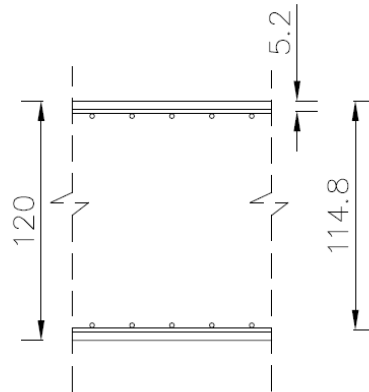
7.1.2 SEZIONE INCASTRO SOLETTA

Le analisi svolte portano a considerare le seguenti sollecitazioni:

VERIFICA A FLESSIONE - DIREZIONE TRASVERSALE – IN CORRISPONDENZA DELLE COLONNE

$M = -200 \text{ kNm}$

$N = 0 \text{ kN}$



La sezione è armata con 1 strato di $\varnothing 24/20\text{cm}$ inferiori e 1 strato di $\varnothing 24/20\text{cm}$ superiori.

Si omette la verifica a SLV in quanto le sollecitazioni risultano inferiori rispetto a quelle SLU riportate in alto.

Combinazione per momento negativo:	MEd	MRd
	kNm/m	kNm/m
Inviluppo-M22min	-200	-993
Fattore Sicurezza		5.0

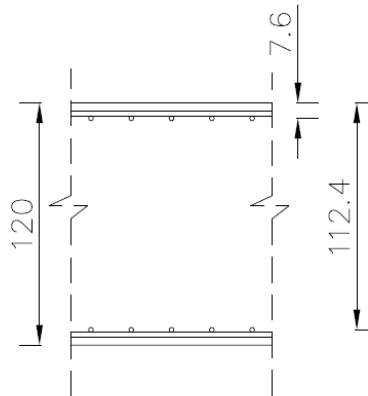
La verifica risulta soddisfatta

  	ITINERARIO NAPOLI – BARI RADDOPPIO TRATTA CANCELLO – BENEVENTO I° LOTTO FUNZIONALE CANCELLO - FRASSO TELESINO E VARIANTE ALLA LINEA ROMA-NAPOLI VIA CASSINO NEL COMUNE DI MADDALONI – PROGETTO ESECUTIVO												
<i>Viadotto Rio Secco</i> <i>VI05A- Opera di appoggio al Viadotto Rio Secco:</i> <i>Relazione di calcolo</i>	<table border="1"> <tr> <td>COMMESSA</td> <td>LOTTO</td> <td>CODIFICA</td> <td>DOCUMENTO</td> <td>REV.</td> <td>FOGLIO</td> </tr> <tr> <td>IF1N</td> <td>01</td> <td>E ZZ CL</td> <td>VI 05 20 001</td> <td>B</td> <td>59 di 132</td> </tr> </table>	COMMESSA	LOTTO	CODIFICA	DOCUMENTO	REV.	FOGLIO	IF1N	01	E ZZ CL	VI 05 20 001	B	59 di 132
COMMESSA	LOTTO	CODIFICA	DOCUMENTO	REV.	FOGLIO								
IF1N	01	E ZZ CL	VI 05 20 001	B	59 di 132								

VERIFICA A FLESSIONE - DIREZIONE LONGITUDINALE – IN CORRISPONDENZA DELLE COLONNE

M = -700 kNm

N = 0 kN



La sezione è armata con 1 strato di $\varnothing 24/20\text{cm}$ inferiori e 1 strato di $\varnothing 24/20\text{cm}$ superiori.

Si omette la verifica a SLV in quanto le sollecitazioni risultano inferiori rispetto a quelle SLU riportate in alto.

Combinazione per momento negativo:	Med	MRd
	kNm/m	kNm/m
Inviluppo-M11min	-700	-975
Fattore Sicurezza		1.4

La verifica risulta soddisfatta

  	ITINERARIO NAPOLI – BARI RADDOPPIO TRATTA CANCELLO – BENEVENTO I° LOTTO FUNZIONALE CANCELLO - FRASSO TELESINO E VARIANTE ALLA LINEA ROMA-NAPOLI VIA CASSINO NEL COMUNE DI MADDALONI – PROGETTO ESECUTIVO												
<i>Viadotto Rio Secco</i> <i>VI05A- Opera di approccio al Viadotto Rio Secco:</i> <i>Relazione di calcolo</i>	<table border="1"> <tr> <td>COMMESSA</td> <td>LOTTO</td> <td>CODIFICA</td> <td>DOCUMENTO</td> <td>REV.</td> <td>FOGLIO</td> </tr> <tr> <td>IF1N</td> <td>01</td> <td>E ZZ CL</td> <td>VI 05 20 001</td> <td>B</td> <td>60 di 132</td> </tr> </table>	COMMESSA	LOTTO	CODIFICA	DOCUMENTO	REV.	FOGLIO	IF1N	01	E ZZ CL	VI 05 20 001	B	60 di 132
COMMESSA	LOTTO	CODIFICA	DOCUMENTO	REV.	FOGLIO								
IF1N	01	E ZZ CL	VI 05 20 001	B	60 di 132								

7.1.2.1 VERIFICA A TAGLIO

La verifica a taglio della soletta verrà condotta con le sollecitazioni massime ottenute in corrispondenza delle sezioni indicate nella figura 40 le quale sono riportate nella tabella seguente:

Section Cut	Combo.	F1	F2	F3	M1	M2	M3
		kN	kN	kN	kNm	kNm	kNm
V1_1	SLU_STR_076	-184	-322	-388	35	81	333
V1_2	SLU_STR_077	337	60	-586	-149	-180	-97
V2_1	SLU_STR_077	28	24	-314	112	-91	-8
V2_2	SLU_STR_094	-34	311	-459	-422	-133	-15
V3_1	SLU_STR_074	-186	313	-383	-7	64	-333
V3_2	SLU_STR_073	349	-36	-578	149	-138	93
V10_1	SLU_STR_051	659	24	-398	203	137	-293
V10_2	SLU_STR_069	-10	55	-567	-82	38	0
V11_1	SLU_STR_047	-422	-7	-347	-13	209	-3
V11_2	SLU_STR_068	40	-6	-457	-417	-32	-12
V12_1	SLU_STR_047	658	-8	-395	-71	140	298
V12_2	SLU_STR_028	-18	-44	-562	96	41	-3

L'armatura specifica a taglio sarà composta da una maglia 40x40 di spille $\varnothing 14$.

T= 586 kN

N= 0 kN

  	ITINERARIO NAPOLI – BARI RADDOPPIO TRATTA CANCELLO – BENEVENTO I° LOTTO FUNZIONALE CANCELLO - FRASSO TELESINO E VARIANTE ALLA LINEA ROMA-NAPOLI VIA CASSINO NEL COMUNE DI MADDALONI – PROGETTO ESECUTIVO												
<i>Viadotto Rio Secco</i> <i>VI05A- Opera di approccio al Viadotto Rio Secco:</i> <i>Relazione di calcolo</i>	<table border="1" style="width: 100%; border-collapse: collapse;"> <tr> <td style="text-align: center;">COMMESSA</td> <td style="text-align: center;">LOTTO</td> <td style="text-align: center;">CODIFICA</td> <td style="text-align: center;">DOCUMENTO</td> <td style="text-align: center;">REV.</td> <td style="text-align: center;">FOGLIO</td> </tr> <tr> <td style="text-align: center;">IF1N</td> <td style="text-align: center;">01</td> <td style="text-align: center;">E ZZ CL</td> <td style="text-align: center;">VI 05 20 001</td> <td style="text-align: center;">B</td> <td style="text-align: center;">61 di 132</td> </tr> </table>	COMMESSA	LOTTO	CODIFICA	DOCUMENTO	REV.	FOGLIO	IF1N	01	E ZZ CL	VI 05 20 001	B	61 di 132
COMMESSA	LOTTO	CODIFICA	DOCUMENTO	REV.	FOGLIO								
IF1N	01	E ZZ CL	VI 05 20 001	B	61 di 132								

Verifica a taglio per sezioni rettangolari armate a taglio (D.M. 14/01/2008)

classe cls	R_{ck}	40	N/mm ²
resist. Caratteristica cilindrica	f_{ck}	33	N/mm ²
	f_{cd}	19	
coeff. parziale	γ_c	1.5	
larghezza membratura resistente a V	b_w	1000	mm
altezza membratura resistente a V	H	1200	mm
altezza utile	d	1148	mm
area della sezione	A_s	1200000	mm ²
sforzo assiale dovuto ai carichi o precompressione	N	0.00E+00	N
	σ_{cp}	0.00	N/mm ²
	α_c	1.00	
Acciaio	f_{yk}	450	N/mm ²
Feb44k	f_{yd}	391	N/mm ²
diametro staffe	\varnothing_w	14	mm
Area staffa	$A_{\varnothing w}$	154	mm ²
0.9 d	z	1033	mm
passo delle staffe (spille)	s_w	400	mm
	n°	2	
	bracci		
angolo di inclinazione	θ	21.8	°
deve essere compreso tra 1 e 2.5	$\cot(\theta)$	2.50	
angolo di inclinazione armatura rispetto asse palo	α	90	°
	$\cot(\alpha)$	0.00	
	A_{sw} / s_w	0.77	mm ² /mm

Taglio resistente per "taglio trazione"	V_{Rsd}	778	kN
Taglio resistente per "taglio compressione"	V_{Rcd}	3351	kN

taglio sollecitante	V_{Ed}	586	kN
fattore di sicurezza per GR (par. 7.9.5.2.2)	γ_{Bd}	1.00	
taglio resistente	V_{Rd}	778	kN

$$V_{Ed} < V_{Rd}$$

La verifica è soddisfatta.

FS 1.33

	ITINERARIO NAPOLI – BARI RADDOPPIO TRATTA CANCELLO – BENEVENTO I° LOTTO FUNZIONALE CANCELLO - FRASSO TELESINO E VARIANTE ALLA LINEA ROMA-NAPOLI VIA CASSINO NEL COMUNE DI MADDALONI – PROGETTO ESECUTIVO												
<i>Viadotto Rio Secco</i> <i>VI05A- Opera di approccio al Viadotto Rio Secco:</i> <i>Relazione di calcolo</i>	<table border="1"> <thead> <tr> <th>COMMESSA</th> <th>LOTTO</th> <th>CODIFICA</th> <th>DOCUMENTO</th> <th>REV.</th> <th>FOGLIO</th> </tr> </thead> <tbody> <tr> <td>IF1N</td> <td>01</td> <td>E ZZ CL</td> <td>VI 05 20 001</td> <td>B</td> <td>62 di 132</td> </tr> </tbody> </table>	COMMESSA	LOTTO	CODIFICA	DOCUMENTO	REV.	FOGLIO	IF1N	01	E ZZ CL	VI 05 20 001	B	62 di 132
COMMESSA	LOTTO	CODIFICA	DOCUMENTO	REV.	FOGLIO								
IF1N	01	E ZZ CL	VI 05 20 001	B	62 di 132								

7.1.2.2 VERIFICA A PUNZONAMENTO

La verifica a punzonamento si effettua con lo sforzo normale massimo osservato nei pali.
 Il calcolo del perimetro di verifica è stato effettuato secondo il seguente schema geometrico:

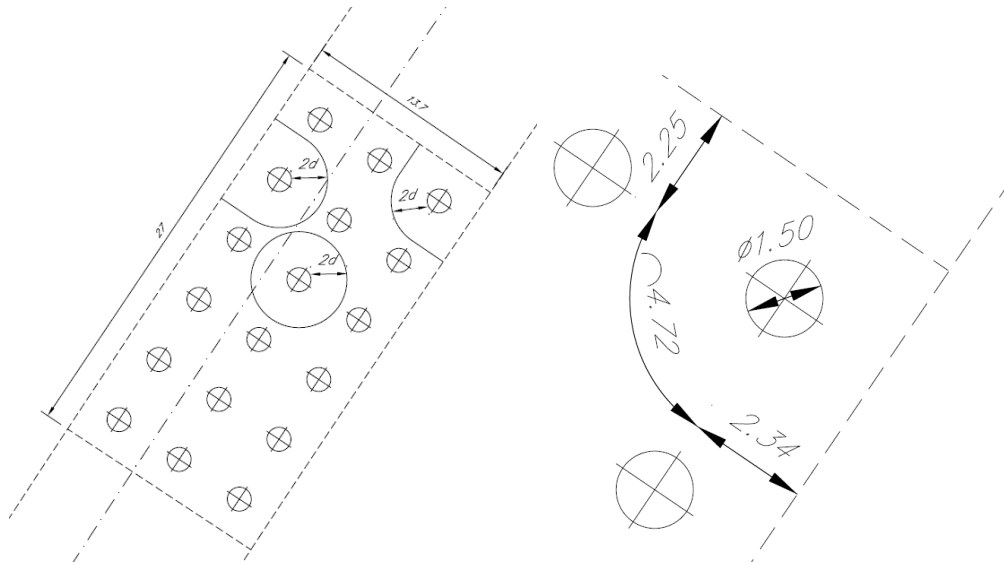


Figura 46- Schemi del perimetro di controllo per verifica a punzonamento della solletta

  	ITINERARIO NAPOLI – BARI RADDOPPIO TRATTA CANCELLO – BENEVENTO I° LOTTO FUNZIONALE CANCELLO - FRASSO TELESINO E VARIANTE ALLA LINEA ROMA-NAPOLI VIA CASSINO NEL COMUNE DI MADDALONI – PROGETTO ESECUTIVO												
<i>Viadotto Rio Secco</i> <i>VI05A- Opera di appoggio al Viadotto Rio Secco:</i> <i>Relazione di calcolo</i>	<table border="1"> <tr> <td>COMMESSA</td> <td>LOTTO</td> <td>CODIFICA</td> <td>DOCUMENTO</td> <td>REV.</td> <td>FOGLIO</td> </tr> <tr> <td>IF1N</td> <td>01</td> <td>E ZZ CL</td> <td>VI 05 20 001</td> <td>B</td> <td>63 di 132</td> </tr> </table>	COMMESSA	LOTTO	CODIFICA	DOCUMENTO	REV.	FOGLIO	IF1N	01	E ZZ CL	VI 05 20 001	B	63 di 132
COMMESSA	LOTTO	CODIFICA	DOCUMENTO	REV.	FOGLIO								
IF1N	01	E ZZ CL	VI 05 20 001	B	63 di 132								

Verifica a punzonamento per sezioni rettangolari SENZA armatura a taglio (NTC08 - EC2-rev05)			
classe cls	C	40	Mpa
coeff. parziale	γ_c	1.5	
perimetro di verifica	u1	9310	mm
altezza soletta	H	1200	mm
altezza utile	d	1148	mm
diametro ferro longitudinale teso	ϕ_{lon}	24	mm
	strati	1	
	passo	200	mm
percentuale di armatura trasversale teso	ρ_{ix}	0.20%	
diametro ferro trasversale	ϕ_{tra}	24	mm
	strati	1	
	passo	200	mm
percentuale di armatura trasv	ρ_{ix}	0.20%	
percentuale di armatura totale	ρ_l	0.20%	
Eventuale compressione long	σ_{c_lon}	0	Mpa
Eventuale compressione trasv	σ_{c_tra}	0	Mpa
	σ_c	0.00	N/mm ²
	k1	0.10	
	$C_{r,dc}$	0.12	
	k	1.42	
	v min	0.37	Mpa
	V_{rd_c}	0.338	Mpa
	$V_{min+k1\sigma_{cp}}$	0.374	Mpa
Tensione resistente taglio-punzonamento	V_{rd_c}	0.374	N/mm ²
taglio sollecitante	V_{Ed}	2286	kN
	v_{ed}	0.214	Mpa
La verifica è soddisfatta	V_{rd_c}	>	V_{ed}

FS 1.75

  	ITINERARIO NAPOLI – BARI RADDOPPIO TRATTA CANCELLO – BENEVENTO I° LOTTO FUNZIONALE CANCELLO - FRASSO TELESINO E VARIANTE ALLA LINEA ROMA-NAPOLI VIA CASSINO NEL COMUNE DI MADDALONI – PROGETTO ESECUTIVO												
Viadotto Rio Secco VI05A- Opera di approccio al Viadotto Rio Secco: Relazione di calcolo	<table border="1"> <thead> <tr> <th>COMMESSA</th> <th>LOTTO</th> <th>CODIFICA</th> <th>DOCUMENTO</th> <th>REV.</th> <th>FOGLIO</th> </tr> </thead> <tbody> <tr> <td>IF1N</td> <td>01</td> <td>E ZZ CL</td> <td>VI 05 20 001</td> <td>B</td> <td>64 di 132</td> </tr> </tbody> </table>	COMMESSA	LOTTO	CODIFICA	DOCUMENTO	REV.	FOGLIO	IF1N	01	E ZZ CL	VI 05 20 001	B	64 di 132
COMMESSA	LOTTO	CODIFICA	DOCUMENTO	REV.	FOGLIO								
IF1N	01	E ZZ CL	VI 05 20 001	B	64 di 132								

7.2 VERIFICHE PALI

La verifica dei pali è stata effettuata per 2 posizione lungo il concio studiato a secondo delle posizioni estremi dei carichi ferroviari. La prima posizione è in punta e la secondo al centro del concio. Per la verifica dei pali è stata usata i criteri della gerarchia delle resistenze. Per via delle condizioni di bordo dei pali- incastro in sommità nella soletta e confinato da terreno alla base- le sollecitazioni flettenti sono maggiori in sommità. La sezione in sommità è quindi determinante per le verifiche dei pali.

7.2.1 PALI- ELEVAZIONE

7.2.1.1 ARMATURA MINIMA

Verifica armatura minima longitudinale secondo §2.2.6 [3]

$\rho_{min} =$	0.60%
$A_c =$	1767146 mm ²
$A_{s,min} =$	10603 mm ²
n barre (1° str.)	24
fi barre (1° str.)	24 mm
n barre (2° str.)	24
fi barre (2° str.)	24 mm
A_s	21704 mm ²
ρ	1.23% <i>requisito soddisfatto</i>

Verifica armatura minima trasversale secondo §2.2.6 [3]

$a_g =$	0.189 g
$\zeta =$	0.04
$\omega_{wd,r min} =$	0.04
$f_{yd} =$	391 MPa
$f_{cd} =$	18.13 MPa
d_{cc}	1304 mm
A_{cc}	1.34E+06 mm ²
V_{cc}	2.00E+08 mm ³
n	1
A_{sw}	154 mm ²
V_{sct}	6.37E+05 mm ³
ρ_w	0.003
ω_{wdc}	0.069
$1.4*\zeta$	0.056

ok

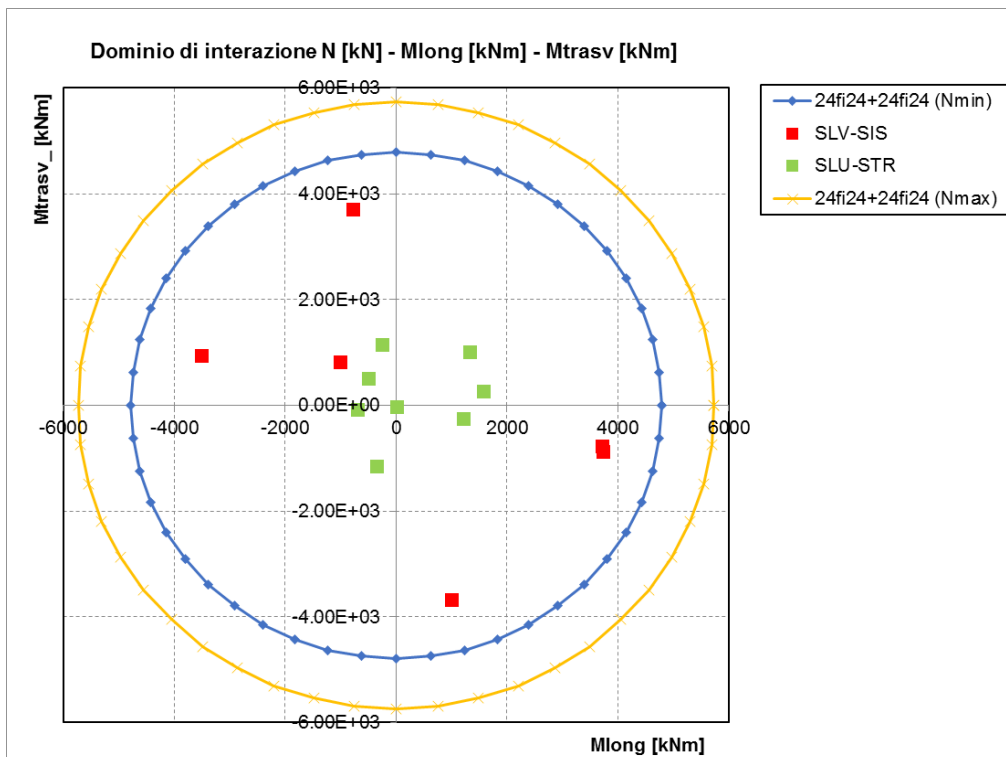
  	ITINERARIO NAPOLI – BARI RADDOPPIO TRATTA CANCELLO – BENEVENTO I° LOTTO FUNZIONALE CANCELLO - FRASSO TELESINO E VARIANTE ALLA LINEA ROMA-NAPOLI VIA CASSINO NEL COMUNE DI MADDALONI – PROGETTO ESECUTIVO												
<i>Viadotto Rio Secco</i> <i>VI05A- Opera di approccio al Viadotto Rio Secco:</i> <i>Relazione di calcolo</i>	<table border="1"> <thead> <tr> <th>COMMESSA</th> <th>LOTTO</th> <th>CODIFICA</th> <th>DOCUMENTO</th> <th>REV.</th> <th>FOGLIO</th> </tr> </thead> <tbody> <tr> <td>IF1N</td> <td>01</td> <td>E ZZ CL</td> <td>VI 05 20 001</td> <td>B</td> <td>65 di 132</td> </tr> </tbody> </table>	COMMESSA	LOTTO	CODIFICA	DOCUMENTO	REV.	FOGLIO	IF1N	01	E ZZ CL	VI 05 20 001	B	65 di 132
COMMESSA	LOTTO	CODIFICA	DOCUMENTO	REV.	FOGLIO								
IF1N	01	E ZZ CL	VI 05 20 001	B	65 di 132								

7.2.1.2 ESTREMITÀ CONCIO

La prima fila di verifica si trova in punta del concio ed è costituita dalla fila di Pali P1, P2 e P3. In questo capitolo sono riportati i domini di resistenza e il fattore di sicurezza per la combinazione di carico più gravosa. I risultati dettagliati delle analisi sono riportati nell'allegato di questa relazione.

7.2.1.2.1 Verifica a Presso-Flessione

Palo P1



Fattore di sicurezza minimo

Combinazione

SLV_SIS_039

pm **0.76**

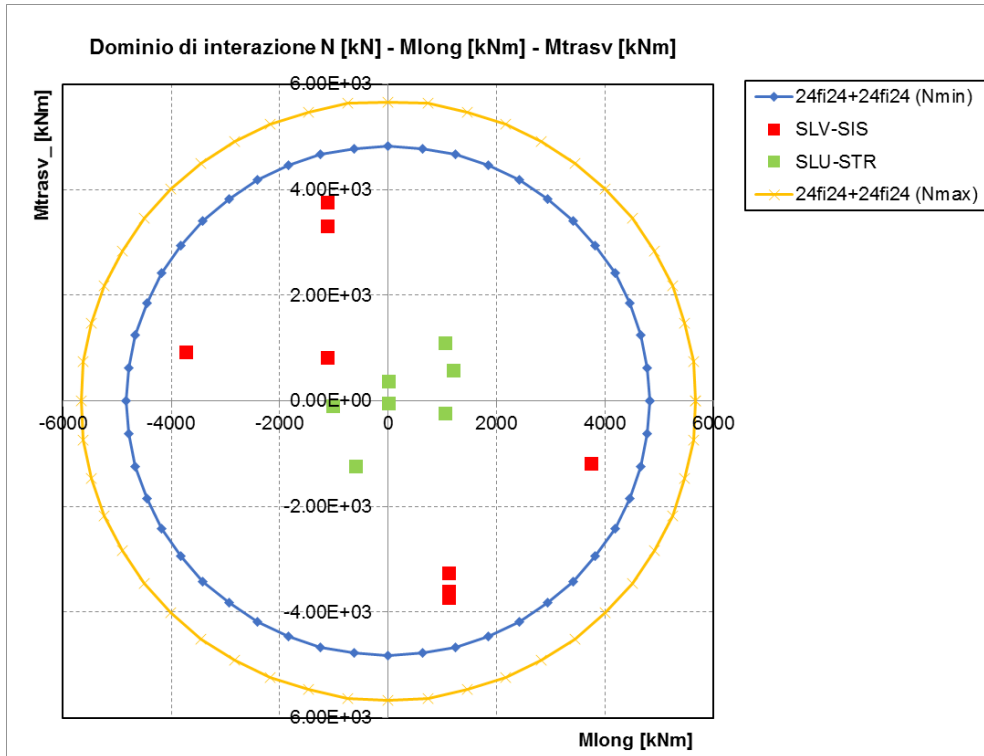
FS **1.32**

La verifica risulta soddisfatta.

Viadotto Rio Secco
VI05A- Opera di approccio al Viadotto Rio Secco:
Relazione di calcolo

COMMESSA	LOTTO	CODIFICA	DOCUMENTO	REV.	FOGLIO
IF1N	01	E ZZ CL	VI 05 20 001	B	66 di 132

Palo 2



Fattore di sicurezza minimo

Combinazione

SLV_SIS_032

pm **0.80**

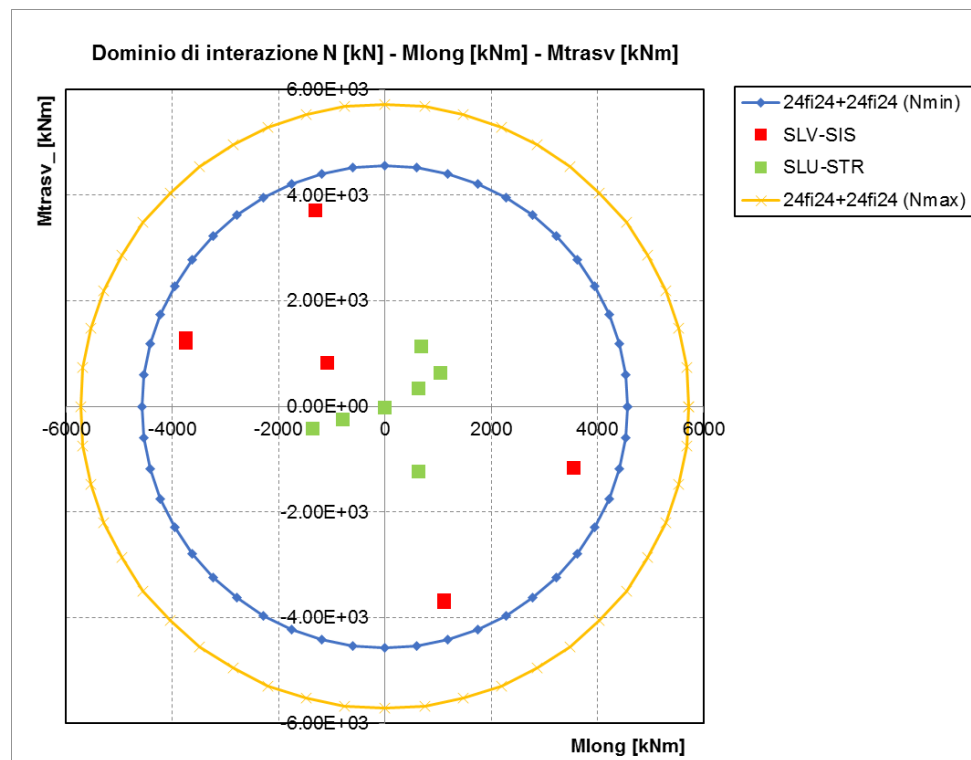
FS **1.25**

La verifica risulta soddisfatta.

Viadotto Rio Secco
VI05A- Opera di approccio al Viadotto Rio Secco:
Relazione di calcolo

COMMESSA	LOTTO	CODIFICA	DOCUMENTO	REV.	FOGLIO
IF1N	01	E ZZ CL	VI 05 20 001	B	67 di 132

Palo 3



Fattore di sicurezza minimo

Combinazione

SLV_SIS_015

rom **0.82**

FS **1.23**

La verifica risulta soddisfatta.

  	ITINERARIO NAPOLI – BARI RADDOPPIO TRATTA CANCELLO – BENEVENTO I° LOTTO FUNZIONALE CANCELLO - FRASSO TELESINO E VARIANTE ALLA LINEA ROMA-NAPOLI VIA CASSINO NEL COMUNE DI MADDALONI – PROGETTO ESECUTIVO												
<i>Viadotto Rio Secco</i> <i>VI05A- Opera di appoggio al Viadotto Rio Secco:</i> <i>Relazione di calcolo</i>	<table border="1"> <tr> <td>COMMESSA</td> <td>LOTTO</td> <td>CODIFICA</td> <td>DOCUMENTO</td> <td>REV.</td> <td>FOGLIO</td> </tr> <tr> <td>IF1N</td> <td>01</td> <td>E ZZ CL</td> <td>VI 05 20 001</td> <td>B</td> <td>68 di 132</td> </tr> </table>	COMMESSA	LOTTO	CODIFICA	DOCUMENTO	REV.	FOGLIO	IF1N	01	E ZZ CL	VI 05 20 001	B	68 di 132
COMMESSA	LOTTO	CODIFICA	DOCUMENTO	REV.	FOGLIO								
IF1N	01	E ZZ CL	VI 05 20 001	B	68 di 132								

7.2.1.2.2 Verifica a taglio

Palo 1

Verifica a taglio per sezioni circolari armate a taglio (D.M. 14/01/2008)

classe cls	R_{ck}	40	N/mm ²
resist. Caratteristica cilindrica	f_{ck}	33	N/mm ²
	f_{cd}	19	N/mm ²
diametro	Φ	1500	mm
Area sezione	A	1767146	mm ²
copriferro	c	60	mm
Area sezione rettangolare equivalente	A_{eq}	1502578	mm ²
altezza utile equivalente	d	1189	mm
larghezza equivalente	b_w	1263	mm
altezza equivalente	h_{eq}	1399	mm
sforzo assiale dovuto ai carichi o precompressione	N	1899629	N
	σ_{cp}	1.075	N/mm ²
	α_{cp}	1.06	

Acciaio	f_{yk}	450	N/mm ²
B450C	f_{yd}	391	N/mm ²
diametro staffe (spille)	\varnothing_w	14	mm
Area staffa (spilla)	A_{\varnothing_w}	154	mm ²
0.9 d	z	1070	mm
passo spirale	s_w	100	mm
	n° bracci	2	
angolo di inclinazione biella compressa	θ	45.0	°
deve essere compreso tra 1 e 2.5	$\cot(\theta)$	1.00	
angolo di inclinazione armatura rispetto asse palo	α	90	°
	$\cot(\alpha)$	0.00	
	A_{sw} / s_w	3.08	mm ² /mm

Taglio resistente per "taglio trazione"	V_{Rsd}	1289	kN
Taglio resistente per "taglio compressione"	V_{Rcd}	6724	kN

taglio sollecitante	V_{Ed}	668	kN
fattore di sicurezza per GR (par. 7.9.5.2.2)	γ_{Rd}	1.25	
taglio resistente	V_{Rd}	1032	kN

$$V_{Ed} < V_{Rd}$$

verifica

$$FS \quad 1.54$$

  	ITINERARIO NAPOLI – BARI RADDOPPIO TRATTA CANCELLO – BENEVENTO I° LOTTO FUNZIONALE CANCELLO - FRASSO TELESINO E VARIANTE ALLA LINEA ROMA-NAPOLI VIA CASSINO NEL COMUNE DI MADDALONI – PROGETTO ESECUTIVO												
Viadotto Rio Secco VI05A- Opera di appoggio al Viadotto Rio Secco: Relazione di calcolo	<table border="1"> <tr> <td>COMMESSA</td> <td>LOTTO</td> <td>CODIFICA</td> <td>DOCUMENTO</td> <td>REV.</td> <td>FOGLIO</td> </tr> <tr> <td>IF1N</td> <td>01</td> <td>E ZZ CL</td> <td>VI 05 20 001</td> <td>B</td> <td>69 di 132</td> </tr> </table>	COMMESSA	LOTTO	CODIFICA	DOCUMENTO	REV.	FOGLIO	IF1N	01	E ZZ CL	VI 05 20 001	B	69 di 132
COMMESSA	LOTTO	CODIFICA	DOCUMENTO	REV.	FOGLIO								
IF1N	01	E ZZ CL	VI 05 20 001	B	69 di 132								

Palo 2

Verifica a taglio per sezioni circolari armate a taglio (D.M. 14/01/2008)

classe cls	R_{ck}	40	N/mm ²
resist. Caratteristica cilindrica	f_{ck}	33	N/mm ²
	f_{cd}	19	N/mm ²
	diametro	Φ	1500
Area sezione	A	1767146	mm ²
copriferro	c	60	mm
Area sezione rettangolare equivalente	A_{eq}	1502578	mm ²
altezza utile equivalente	d	1189	mm
larghezza equivalente	b_w	1263	mm
altezza equivalente	h_{eq}	1399	mm
sforzo assiale dovuto ai carichi o precompressione	N	784801	N
	σ_{cp}	0.444	N/mm ²
	α_{cp}	1.02	

Acciaio	f_{yk}	450	N/mm ²
B450C	f_{yd}	391	N/mm ²
diametro staffe (spille)	\varnothing_w	14	mm
Area staffa (spilla)	A_{\varnothing_w}	154	mm ²
0.9 d	z	1070	mm
passo spirale	s_w	100	mm
	n° bracci	2	
angolo di inclinazione biella compressa	θ	45.0	°
deve essere compreso tra 1 e 2.5	$\cot(\theta)$	1.00	
angolo di inclinazione armatura rispetto asse palo	α	90	°
	$\cot(\alpha)$	0.00	
	A_{s_w} / s_w	3.08	mm ² /mm

Taglio resistente per "taglio trazione"	V_{Rsd}	1289	kN
Taglio resistente per "taglio compressione"	V_{Rcd}	6511	kN

taglio sollecitante	V_{Ed}	682	kN
fattore di sicurezza per GR (par. 7.9.5.2.2)	γ_{Rd}	1.25	
taglio resistente	V_{Rd}	1032	kN

$$V_{Ed} < V_{Rd}$$

verifica

FS 1.51

  	ITINERARIO NAPOLI – BARI RADDOPPIO TRATTA CANCELLO – BENEVENTO I° LOTTO FUNZIONALE CANCELLO - FRASSO TELESINO E VARIANTE ALLA LINEA ROMA-NAPOLI VIA CASSINO NEL COMUNE DI MADDALONI – PROGETTO ESECUTIVO												
Viadotto Rio Secco VI05A- Opera di appoggio al Viadotto Rio Secco: Relazione di calcolo	<table border="1"> <tr> <td>COMMESSA</td> <td>LOTTO</td> <td>CODIFICA</td> <td>DOCUMENTO</td> <td>REV.</td> <td>FOGLIO</td> </tr> <tr> <td>IF1N</td> <td>01</td> <td>E ZZ CL</td> <td>VI 05 20 001</td> <td>B</td> <td>70 di 132</td> </tr> </table>	COMMESSA	LOTTO	CODIFICA	DOCUMENTO	REV.	FOGLIO	IF1N	01	E ZZ CL	VI 05 20 001	B	70 di 132
COMMESSA	LOTTO	CODIFICA	DOCUMENTO	REV.	FOGLIO								
IF1N	01	E ZZ CL	VI 05 20 001	B	70 di 132								

Palo 3

Verifica a taglio per sezioni circolari armate a taglio (D.M. 14/01/2008)

classe cls	R_{ck}	40	N/mm ²
resist. Caratteristica cilindrica	f_{ck}	33	N/mm ²
	f_{cd}	19	N/mm ²
	diametro	Φ	1500
Area sezione	A	1767146	mm ²
copriferro	c	40	mm
Area sezione rettangolare equivalente	A_{eq}	1517939	mm ²
altezza utile equivalente	d	1202	mm
larghezza equivalente	b_w	1263	mm
altezza equivalente	h_{eq}	1399	mm
sforzo assiale dovuto ai carichi o precompressione	N	2452766	N
	σ_{cp}	1.388	N/mm ²
	α_{cp}	1.07	

Acciaio	f_{yk}	450	N/mm ²
B450C	f_{yd}	391	N/mm ²
diametro staffe (spille)	\varnothing_w	14	mm
Area staffa (spilla)	A_{\varnothing_w}	154	mm ²
0.9 d	z	1082	mm
passo spirale	s_w	100	mm
	n° bracci	2	
angolo di inclinazione biella compressa	θ	45.0	°
deve essere compreso tra 1 e 2.5	$\cot(\theta)$	1.00	
angolo di inclinazione armatura rispetto asse palo	α	90	°
	$\cot(\alpha)$	0.00	
	A_{s_w} / s_w	3.08	mm ² /mm

Taglio resistente per "taglio trazione"	V_{Rsd}	1303	kN
Taglio resistente per "taglio compressione"	V_{Rcd}	6899	kN

taglio sollecitante	V_{Ed}	690	kN
fattore di sicurezza per GR (par. 7.9.5.2.2)	γ_{Rd}	1.25	
taglio resistente	V_{Rd}	1043	kN

$$V_{Ed} < V_{Rd}$$

verifica

FS 1.51

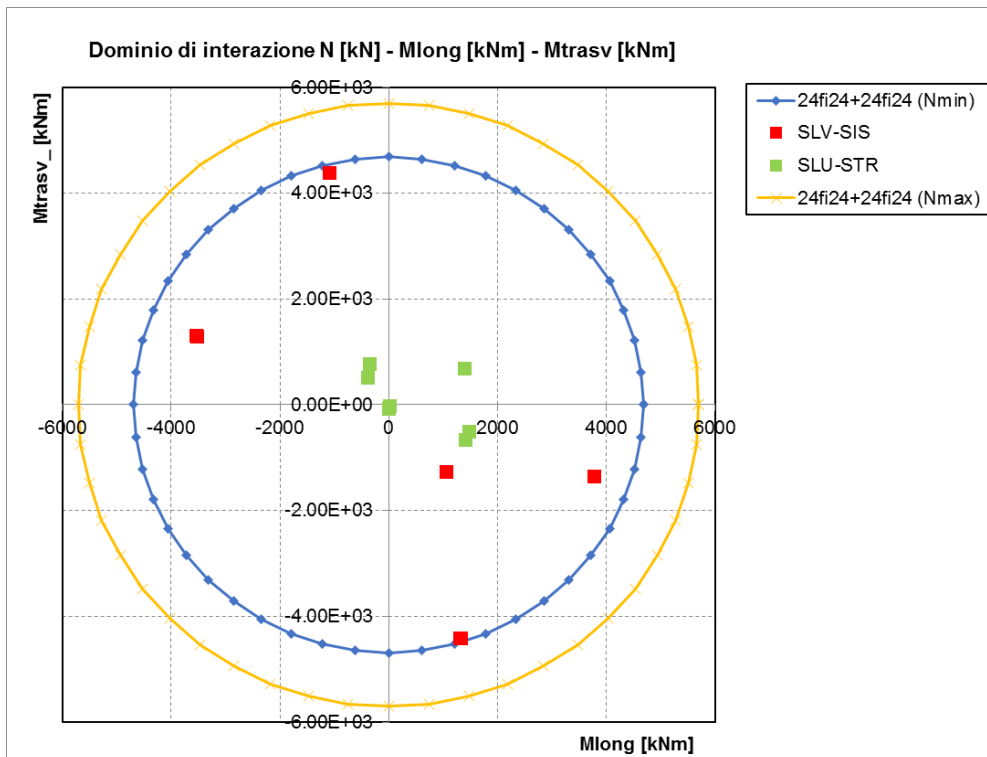
  	ITINERARIO NAPOLI – BARI RADDOPPIO TRATTA CANCELLO – BENEVENTO I° LOTTO FUNZIONALE CANCELLO - FRASSO TELESINO E VARIANTE ALLA LINEA ROMA-NAPOLI VIA CASSINO NEL COMUNE DI MADDALONI – PROGETTO ESECUTIVO												
<i>Viadotto Rio Secco</i> <i>VI05A- Opera di approccio al Viadotto Rio Secco:</i> <i>Relazione di calcolo</i>	<table border="1"> <thead> <tr> <th>COMMESSA</th> <th>LOTTO</th> <th>CODIFICA</th> <th>DOCUMENTO</th> <th>REV.</th> <th>FOGLIO</th> </tr> </thead> <tbody> <tr> <td>IF1N</td> <td>01</td> <td>E ZZ CL</td> <td>VI 05 20 001</td> <td>B</td> <td>71 di 132</td> </tr> </tbody> </table>	COMMESSA	LOTTO	CODIFICA	DOCUMENTO	REV.	FOGLIO	IF1N	01	E ZZ CL	VI 05 20 001	B	71 di 132
COMMESSA	LOTTO	CODIFICA	DOCUMENTO	REV.	FOGLIO								
IF1N	01	E ZZ CL	VI 05 20 001	B	71 di 132								

7.2.1.3 MEZZERIA CONCIO

La seconda fila di verifica si trova in mezzeria del concio ed è costituita dalla fila dei Pali P10, P11 e P12. In questo capitolo sono riportati i domini di resistenza e il fattore di sicurezza per la combinazione di carico più gravosa. I risultati dettagliati delle analisi sono riprodotti nell'allegato di questa relazione.

7.2.1.3.1 Verifica a presso-flessione

Palo 10



Fattore di sicurezza minimo

Combinazione

SLV_SIS_027

ρ_m **0.90**

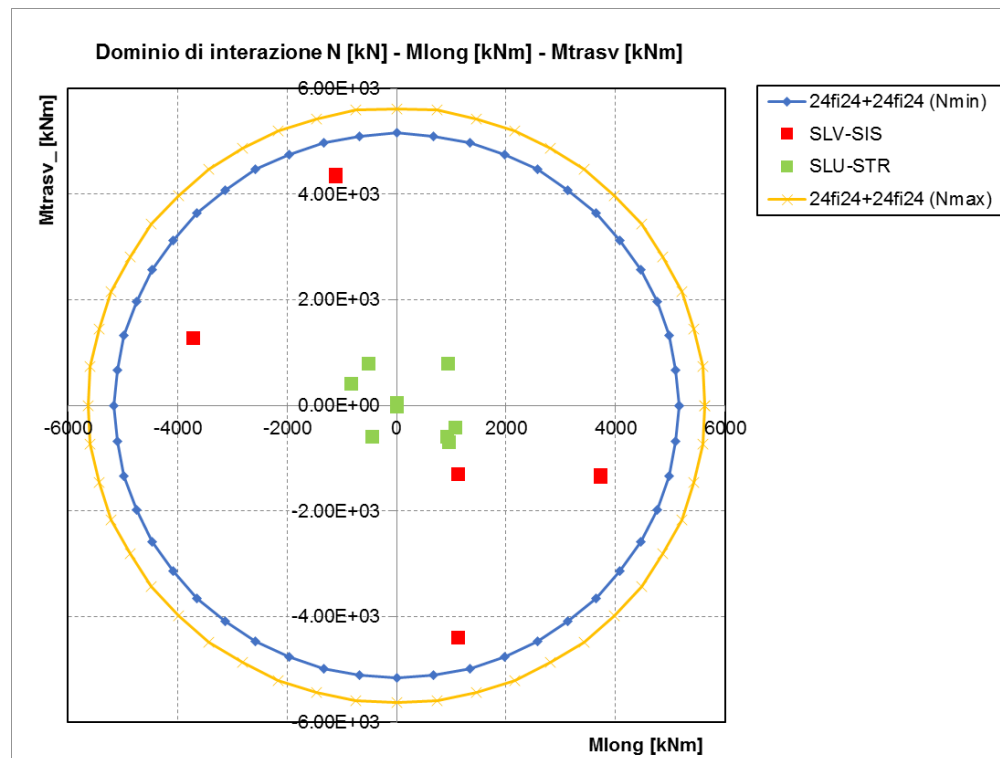
FS **1.11**

La verifica risulta soddisfatta.

Viadotto Rio Secco
VI05A- Opera di approccio al Viadotto Rio Secco:
Relazione di calcolo

COMMESSA	LOTTO	CODIFICA	DOCUMENTO	REV.	FOGLIO
IF1N	01	E ZZ CL	VI 05 20 001	B	72 di 132

Palo 11



Fattore di sicurezza minimo

Combinazione

SLV_SIS_027

pm **0.88**

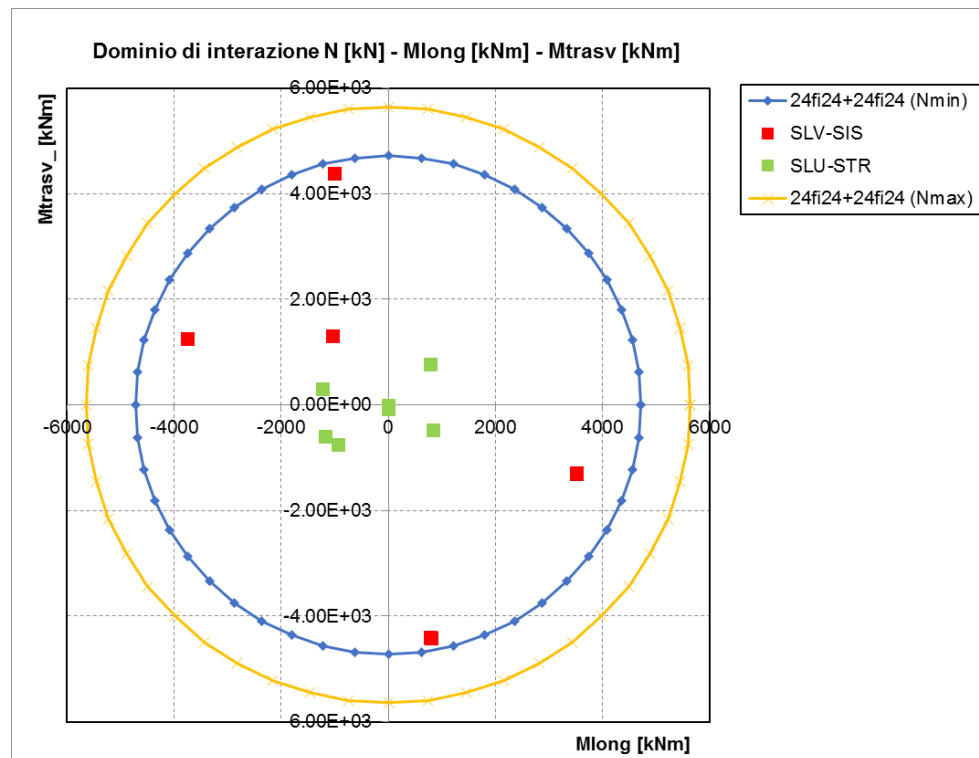
FS **1.14**

La verifica risulta soddisfatta.

Viadotto Rio Secco
VI05A- Opera di approccio al Viadotto Rio Secco:
Relazione di calcolo

COMMESSA	LOTTO	CODIFICA	DOCUMENTO	REV.	FOGLIO
IF1N	01	E ZZ CL	VI 05 20 001	B	73 di 132

Palo 12



Fattore di sicurezza minimo

Combinazione

SLV_SIS_027

pm **0.85**

FS **1.17**

La verifica risulta soddisfatta.

  	ITINERARIO NAPOLI – BARI RADDOPPIO TRATTA CANCELLO – BENEVENTO I° LOTTO FUNZIONALE CANCELLO - FRASSO TELESINO E VARIANTE ALLA LINEA ROMA-NAPOLI VIA CASSINO NEL COMUNE DI MADDALONI – PROGETTO ESECUTIVO												
<i>Viadotto Rio Secco</i> <i>VI05A- Opera di approccio al Viadotto Rio Secco:</i> <i>Relazione di calcolo</i>	<table border="1" style="width: 100%; border-collapse: collapse;"> <tr> <td>COMMESSA</td> <td>LOTTO</td> <td>CODIFICA</td> <td>DOCUMENTO</td> <td>REV.</td> <td>FOGLIO</td> </tr> <tr> <td style="text-align: center;">IF1N</td> <td style="text-align: center;">01</td> <td style="text-align: center;">E ZZ CL</td> <td style="text-align: center;">VI 05 20 001</td> <td style="text-align: center;">B</td> <td style="text-align: center;">74 di 132</td> </tr> </table>	COMMESSA	LOTTO	CODIFICA	DOCUMENTO	REV.	FOGLIO	IF1N	01	E ZZ CL	VI 05 20 001	B	74 di 132
COMMESSA	LOTTO	CODIFICA	DOCUMENTO	REV.	FOGLIO								
IF1N	01	E ZZ CL	VI 05 20 001	B	74 di 132								

7.2.1.3.2 Verifica a taglio

Palo 10

Verifica a taglio per sezioni circolari armate a taglio (D.M. 14/01/2008)

classe cls	R_{ck}	40	N/mm ²
resist. Caratteristica cilindrica	f _{ck}	33	N/mm ²
	f _{cd}	19	N/mm ²
diametro	Φ	1500	mm
Area sezione	A	1767146	mm ²
copriferro	c	40	mm
Area sezione rettangolare equivalente	A _{eq}	1517939	mm ²
altezza utile equivalente	d	1202	mm
larghezza equivalente	b _w	1263	mm
altezza equivalente	h _{eq}	1399	mm
sforzo assiale dovuto ai carichi o precompressione	N	1502682	N
	σ _{cp}	0.850	N/mm ²
	α _{cp}	1.05	

Acciaio	f _{yk}	450	N/mm ²
B450C	f _{yd}	391	N/mm ²
diametro staffe (spille)	ø _w	14	mm
Area staffa (spilla)	A _{ø_w}	154	mm ²
0.9 d	z	1082	mm
passo spirale	s _w	100	mm
	n° bracci	2	
angolo di inclinazione biella compressa	θ	45.0	°
deve essere compreso tra 1 e 2.5	cot(θ)	1.00	
angolo di inclinazione armatura rispetto asse palo	α	90	°
	cot(α)	0.00	
	A _{sw} / s _w	3.08	mm ² /mm

Taglio resistente per "taglio trazione"	V _{Rsd}	1303	kN
Taglio resistente per "taglio compressione"	V _{Rcd}	6716	kN

taglio sollecitante	V_{Ed}	743	kN
fattore di sicurezza per GR (par. 7.9.5.2.2)	γ_{Rd}	1.25	
taglio resistente	V_{Rd}	1043	kN

$$V_{Ed} < V_{Rd}$$

verifica

FS 1.40

  	ITINERARIO NAPOLI – BARI RADDOPPIO TRATTA CANCELLO – BENEVENTO I° LOTTO FUNZIONALE CANCELLO - FRASSO TELESINO E VARIANTE ALLA LINEA ROMA-NAPOLI VIA CASSINO NEL COMUNE DI MADDALONI – PROGETTO ESECUTIVO												
Viadotto Rio Secco VI05A- Opera di approccio al Viadotto Rio Secco: Relazione di calcolo	<table border="1"> <tr> <td>COMMESSA</td> <td>LOTTO</td> <td>CODIFICA</td> <td>DOCUMENTO</td> <td>REV.</td> <td>FOGLIO</td> </tr> <tr> <td>IF1N</td> <td>01</td> <td>E ZZ CL</td> <td>VI 05 20 001</td> <td>B</td> <td>75 di 132</td> </tr> </table>	COMMESSA	LOTTO	CODIFICA	DOCUMENTO	REV.	FOGLIO	IF1N	01	E ZZ CL	VI 05 20 001	B	75 di 132
COMMESSA	LOTTO	CODIFICA	DOCUMENTO	REV.	FOGLIO								
IF1N	01	E ZZ CL	VI 05 20 001	B	75 di 132								

Palo 11

Verifica a taglio per sezioni circolari armate a taglio (D.M. 14/01/2008)

classe cls	R_{ck}	40	N/mm ²
resist. Caratteristica cilindrica	f_{ck}	33	N/mm ²
	f_{cd}	19	N/mm ²
	diametro	Φ	1500
Area sezione	A	1767146	mm ²
copriferro	c	40	mm
Area sezione rettangolare equivalente	A_{eq}	1517939	mm ²
altezza utile equivalente	d	1202	mm
larghezza equivalente	b_w	1263	mm
altezza equivalente	h_{eq}	1399	mm
sforzo assiale dovuto ai carichi o precompressione	N	1171894	N
	σ_{cp}	0.663	N/mm ²
	α_{cp}	1.04	

Acciaio	f_{yk}	450	N/mm ²
B450C	f_{yd}	391	N/mm ²
diametro staffe (spille)	\varnothing_w	14	mm
Area staffa (spilla)	A_{\varnothing_w}	154	mm ²
0.9 d	z	1082	mm
passo spirale	s_w	100	mm
n° bracci		2	
angolo di inclinazione biella compressa	θ	45.0	°
deve essere compreso tra 1 e 2.5	$\cot(\theta)$	1.00	
angolo di inclinazione armatura rispetto asse palo	α	90	°
	$\cot(\alpha)$	0.00	
	A_{s_w} / s_w	3.08	mm ² /mm

Taglio resistente per "taglio trazione"	V_{Rsd}	1303	kN
Taglio resistente per "taglio compressione"	V_{Rcd}	6652	kN

taglio sollecitante	V_{Ed}	730	kN
fattore di sicurezza per GR (par. 7.9.5.2.2)	γ_{Rd}	1.25	
taglio resistente	V_{Rd}	1043	kN

$$V_{Ed} < V_{Rd}$$

verifica

$$FS \quad 1.43$$

  	ITINERARIO NAPOLI – BARI RADDOPPIO TRATTA CANCELLO – BENEVENTO I° LOTTO FUNZIONALE CANCELLO - FRASSO TELESINO E VARIANTE ALLA LINEA ROMA-NAPOLI VIA CASSINO NEL COMUNE DI MADDALONI – PROGETTO ESECUTIVO												
Viadotto Rio Secco VI05A- Opera di approccio al Viadotto Rio Secco: Relazione di calcolo	<table border="1"> <tr> <td>COMMESSA</td> <td>LOTTO</td> <td>CODIFICA</td> <td>DOCUMENTO</td> <td>REV.</td> <td>FOGLIO</td> </tr> <tr> <td>IF1N</td> <td>01</td> <td>E ZZ CL</td> <td>VI 05 20 001</td> <td>B</td> <td>76 di 132</td> </tr> </table>	COMMESSA	LOTTO	CODIFICA	DOCUMENTO	REV.	FOGLIO	IF1N	01	E ZZ CL	VI 05 20 001	B	76 di 132
COMMESSA	LOTTO	CODIFICA	DOCUMENTO	REV.	FOGLIO								
IF1N	01	E ZZ CL	VI 05 20 001	B	76 di 132								

Palo 12

Verifica a taglio per sezioni circolari armate a taglio (D.M. 14/01/2008)

classe cls	R_{ck}	40	N/mm ²
resist. Caratteristica cilindrica	f_{ck}	33	N/mm ²
	f_{cd}	19	N/mm ²
	diametro	Φ	1500
Area sezione	A	1767146	mm ²
copriferro	c	40	mm
Area sezione rettangolare equivalente	A_{eq}	1517939	mm ²
altezza utile equivalente	d	1202	mm
larghezza equivalente	b_w	1263	mm
altezza equivalente	h_{eq}	1399	mm
sforzo assiale dovuto ai carichi o precompressione	N	1226606	N
	σ_{cp}	0.694	N/mm ²
	α_{cp}	1.04	

Acciaio	f_{yk}	450	N/mm ²
B450C	f_{yd}	391	N/mm ²
diametro staffe (spille)	\varnothing_w	14	mm
Area staffa (spilla)	A_{\varnothing_w}	154	mm ²
0.9 d	z	1082	mm
passo spirale	s_w	100	mm
n° bracci		2	
angolo di inclinazione biella compressa	θ	45.0	°
deve essere compreso tra 1 e 2.5	$\cot(\theta)$	1.00	
angolo di inclinazione armatura rispetto asse palo	α	90	°
	$\cot(\alpha)$	0.00	
	A_{s_w} / s_w	3.08	mm ² /mm

Taglio resistente per "taglio trazione"	V_{Rsd}	1303	kN
Taglio resistente per "taglio compressione"	V_{Rcd}	6663	kN

taglio sollecitante	V_{Ed}	725	kN
fattore di sicurezza per GR (par. 7.9.5.2.2)	γ_{Rd}	1.25	
taglio resistente	V_{Rd}	1043	kN

$$V_{Ed} < V_{Rd}$$

verifica

$$FS \quad 1.44$$

  	ITINERARIO NAPOLI – BARI RADDOPPIO TRATTA CANCELLO – BENEVENTO I° LOTTO FUNZIONALE CANCELLO - FRASSO TELESINO E VARIANTE ALLA LINEA ROMA-NAPOLI VIA CASSINO NEL COMUNE DI MADDALONI – PROGETTO ESECUTIVO												
<i>Viadotto Rio Secco</i> <i>VI05A- Opera di approccio al Viadotto Rio Secco:</i> <i>Relazione di calcolo</i>	<table border="1"> <thead> <tr> <th>COMMESSA</th> <th>LOTTO</th> <th>CODIFICA</th> <th>DOCUMENTO</th> <th>REV.</th> <th>FOGLIO</th> </tr> </thead> <tbody> <tr> <td>IF1N</td> <td>01</td> <td>E ZZ CL</td> <td>VI 05 20 001</td> <td>B</td> <td>77 di 132</td> </tr> </tbody> </table>	COMMESSA	LOTTO	CODIFICA	DOCUMENTO	REV.	FOGLIO	IF1N	01	E ZZ CL	VI 05 20 001	B	77 di 132
COMMESSA	LOTTO	CODIFICA	DOCUMENTO	REV.	FOGLIO								
IF1N	01	E ZZ CL	VI 05 20 001	B	77 di 132								

7.2.2 PALI- FONDAZIONE

7.2.2.1 ARMATURA MINIMA

<u>GEOMETRIA DELLA SEZIONE</u>		
Diametro del palo =	1500	mm
Copriferro netto c =	60	mm
Classe di resistenza calcestruzzo =	C25/30	Mpa
Classe di resistenza delle barre =	B450C	Mpa

<u>ARMATURA</u>		
<i>1° strato di armatura longitudinale</i>		
Numero barre long.	24	-
Diametro barre long.	24	mm
Copriferro baricentrico arm. long. c' =	86	mm
<i>2° strato di armatura longitudinale</i>		
Numero barre long.	24	-
Diametro barre long.	24	mm
Copriferro baricentrico arm. long. c' =	140	mm
<i>Armatura trasversale</i>		
Diametro barre trasv.	14	mm
Passo arm. trasv.	100	mm
Diametro corona esterna =	1366	mm
<u>VERIFICA ARMATURA MINIMA LONG.</u>		
$\rho_{min} =$	1.00%	
$A_c =$	1767146	mm ²
$A_{s,min} =$	17671	mm ²
Armatura long. tot $A_{sd,tot} =$	21715	mm ²
$\rho_l =$	1.23%	
	ok	

  	ITINERARIO NAPOLI – BARI RADDOPPIO TRATTA CANCELLO – BENEVENTO I° LOTTO FUNZIONALE CANCELLO - FRASSO TELESINO E VARIANTE ALLA LINEA ROMA-NAPOLI VIA CASSINO NEL COMUNE DI MADDALONI – PROGETTO ESECUTIVO												
<i>Viadotto Rio Secco</i> <i>VI05A- Opera di approccio al Viadotto Rio Secco:</i> <i>Relazione di calcolo</i>	<table border="1"> <tr> <td>COMMESSA</td> <td>LOTTO</td> <td>CODIFICA</td> <td>DOCUMENTO</td> <td>REV.</td> <td>FOGLIO</td> </tr> <tr> <td>IF1N</td> <td>01</td> <td>E ZZ CL</td> <td>VI 05 20 001</td> <td>B</td> <td>78 di 132</td> </tr> </table>	COMMESSA	LOTTO	CODIFICA	DOCUMENTO	REV.	FOGLIO	IF1N	01	E ZZ CL	VI 05 20 001	B	78 di 132
COMMESSA	LOTTO	CODIFICA	DOCUMENTO	REV.	FOGLIO								
IF1N	01	E ZZ CL	VI 05 20 001	B	78 di 132								

7.2.2.2 ESTREMITÀ CONCIO

La prima fila di verifica si trova in punta del concio ed è costituita dalla fila di Pali P1, P2 e P3. In questo capitolo sono riportati i domini di resistenza e il fattore di sicurezza per la combinazione di carico più gravosa. I risultati dettagliati delle analisi sono riportati nell'allegato di questa relazione.

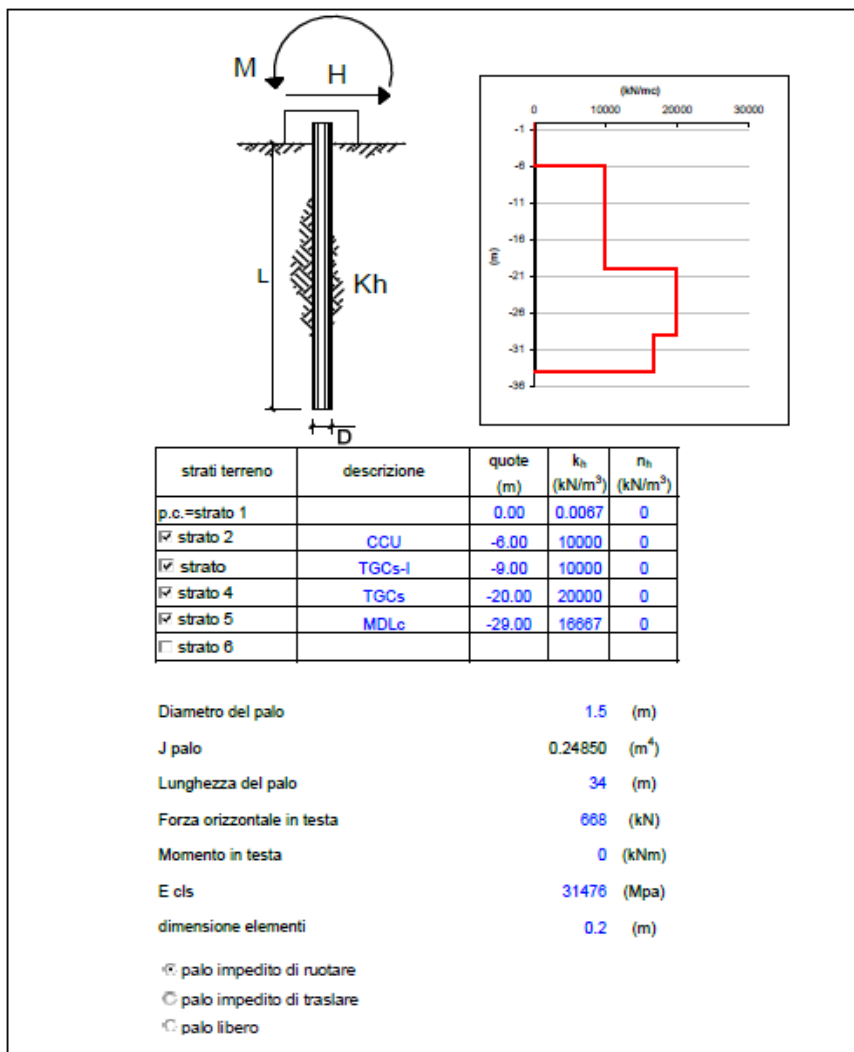
7.2.2.2.1 Verifica a Presso-Flessione

La verifica a presso-flessione viene effettuata per la sezione maggiormente sollecitata del palo. Le sollecitazioni in fondazione sono ottenute con il metodo di Reese e Matlock.

Palo 1

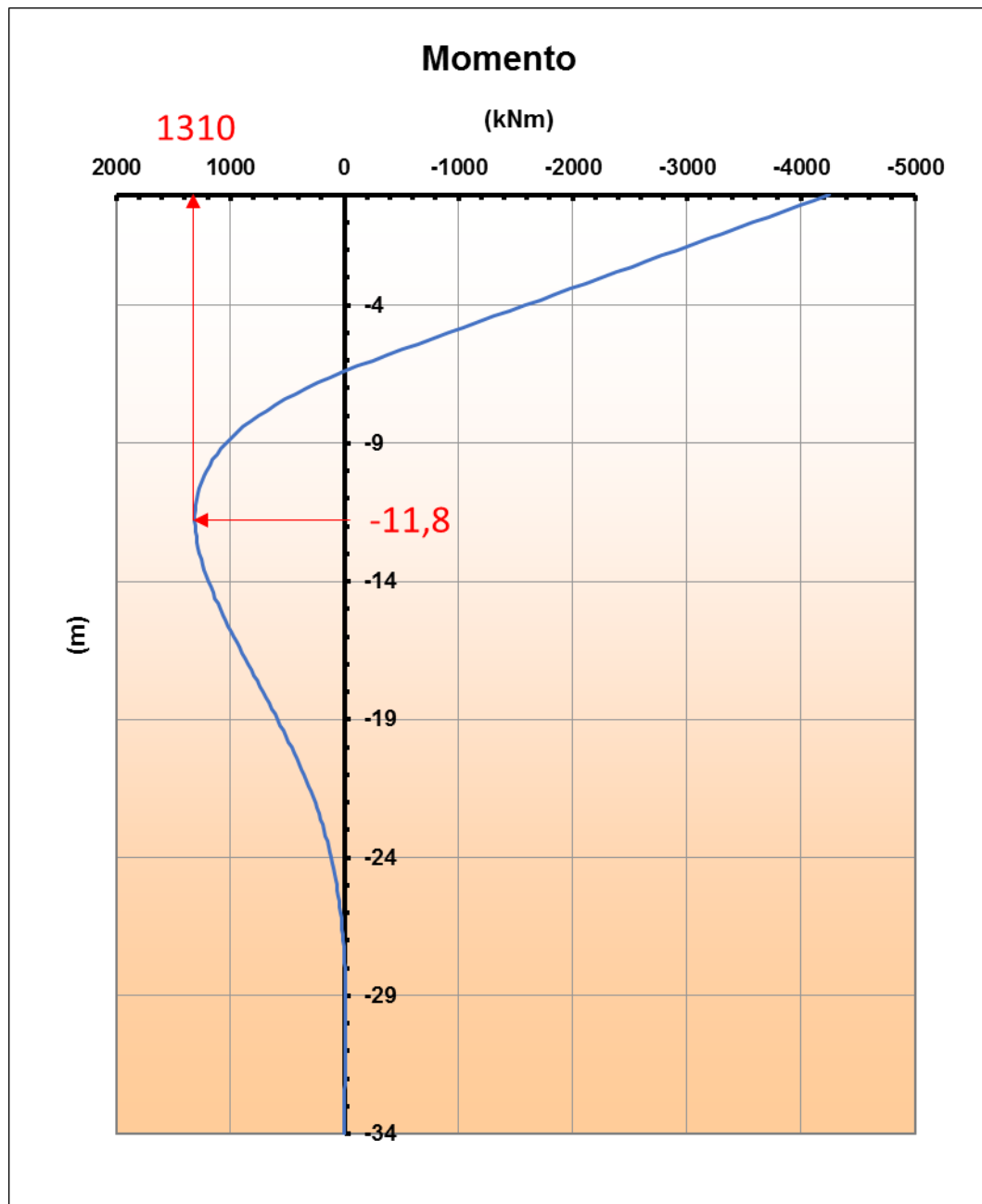
Il taglio massimo in sommità è ottenuto per la seguente combinazione di carico:

Comb.
SLV_SIS_014



Viadotto Rio Secco
VI05A- Opera di approccio al Viadotto Rio Secco:
Relazione di calcolo

COMMESSA	LOTTO	CODIFICA	DOCUMENTO	REV.	FOGLIO
IF1N	01	E ZZ CL	VI 05 20 001	B	79 di 132



Sollecitazioni

Comb.	T	Mmax	quota z	N
	kN	kNm	m	kN
SLV_SIS_014	668	1310	-11.80	-2400

Viadotto Rio Secco
VI05A- Opera di appoggio al Viadotto Rio Secco:
Relazione di calcolo

COMMESSA	LOTTO	CODIFICA	DOCUMENTO	REV.	FOGLIO
IF1N	01	E ZZ CL	VI 05 20 001	B	80 di 132

Verifica C.A. S.L.U. - File: palo1500_24fi24+24fi24_SIS1_b

File Materiali Opzioni Visualizza Progetto Sez. Rett. Sismica Normativa: DM1996 ?

Titolo: _____

Sezione circolare cava

Raggio esterno: 750 [mm]
Raggio interno: 0 [mm]
N° barre uguali: 0
Diametro barre: 0 [mm]
Copriferro (baric.): 0 [mm]

N° barre: 48 Zoom

N°	As [mm²]	x [mm]	y [mm]
1	452	0	664
2	452	172	641
3	452	332	575
4	452	470	470
5	452	575	332
6	452	641	172

Tipologia sezione:
 Rettan.re Trapezi
 a T Circolare
 Rettangoli Coord.

Diagramma della sezione circolare con barre distribuite.

Sollecitazioni: S.L.U. Metodo n

N_{Ed}: 2400 kN
M_{xEd}: 1310 kNm
M_{yEd}: 0

P.to applicazione N:
 Centro Baricentro cls
 Coord.[mm] xN: 0 yN: 0

Tipologia rottura: Lato calcestruzzo - Acciaio snervato

M_{xRd}: 5469 kNm

Materiali:

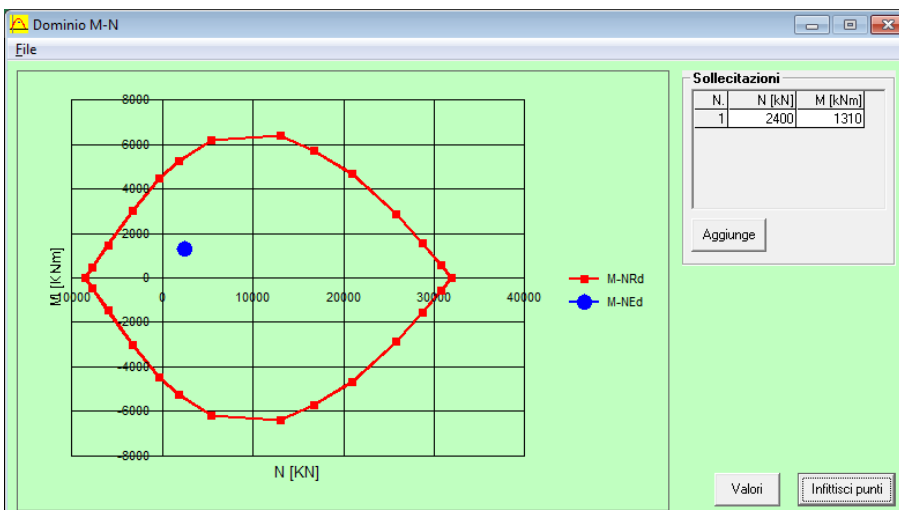
Proprietà	B450C	C25/30
ε _{su} [%]	10	2
f _{yd} [N/mm²]	391,3	3,5
E _s [N/mm²]	200 000	13,28
E _s /E _c	15	0,8
ε _{syd} [%]	1,957	9,75
σ _{s,adm} [N/mm²]	255	0,6
τ _{c1}		1,829

σ_c: -13,28 N/mm²
σ_s: 391,3 N/mm²
ε_c: 3,5 ‰
ε_s: 6,747 ‰
d: 1414 mm
x: 483 mm x/d: 0,3416
δ: 0,867

Metodo di calcolo:
 S.L.U.+ S.L.U.-
 Metodo n

Tipologia flessione:
 Retta Deviate

Vertici: 50 N° rett.: 100
Calcola MRd Dominio M-N
L₀: 0 mm Col. modello
 Precompresso



FS 4.04

La verifica risulta soddisfatta.

Viadotto Rio Secco
VI05A- Opera di approccio al Viadotto Rio Secco:
Relazione di calcolo

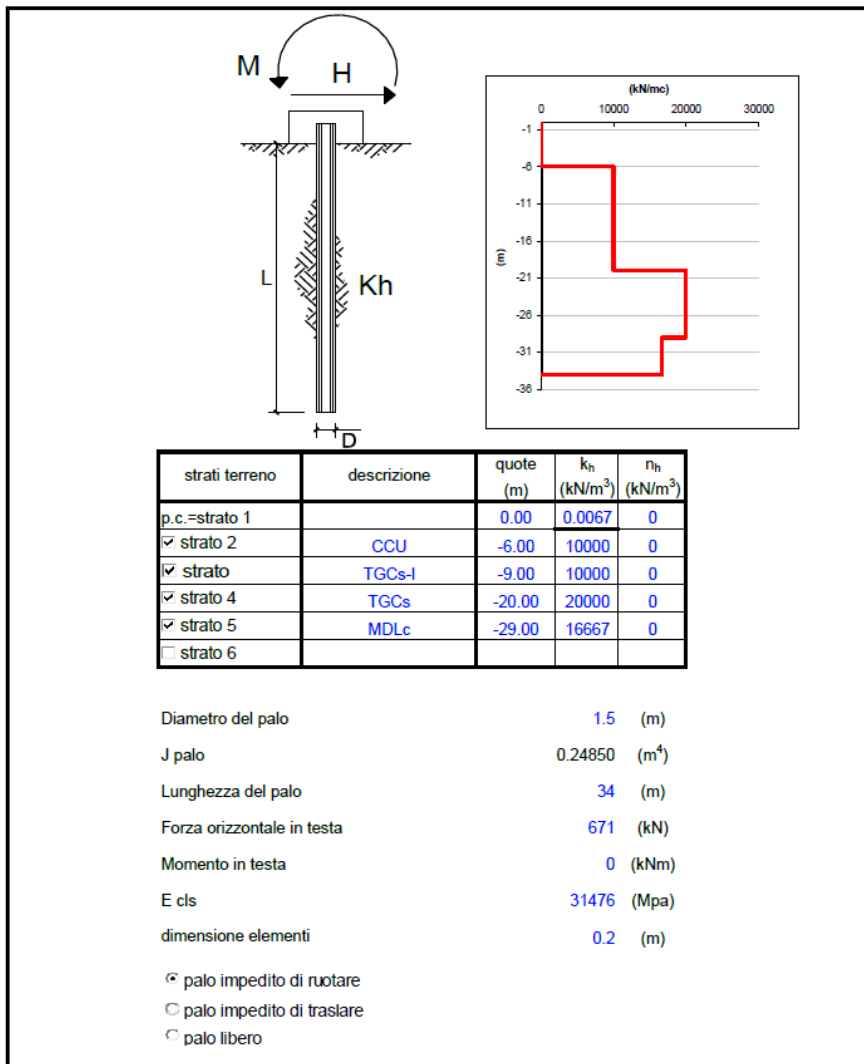
COMMESSA	LOTTO	CODIFICA	DOCUMENTO	REV.	FOGLIO
IF1N	01	E ZZ CL	VI 05 20 001	B	81 di 132

Palo 2

Il taglio massimo in sommità è ottenuto per la seguente combinazione di carico:

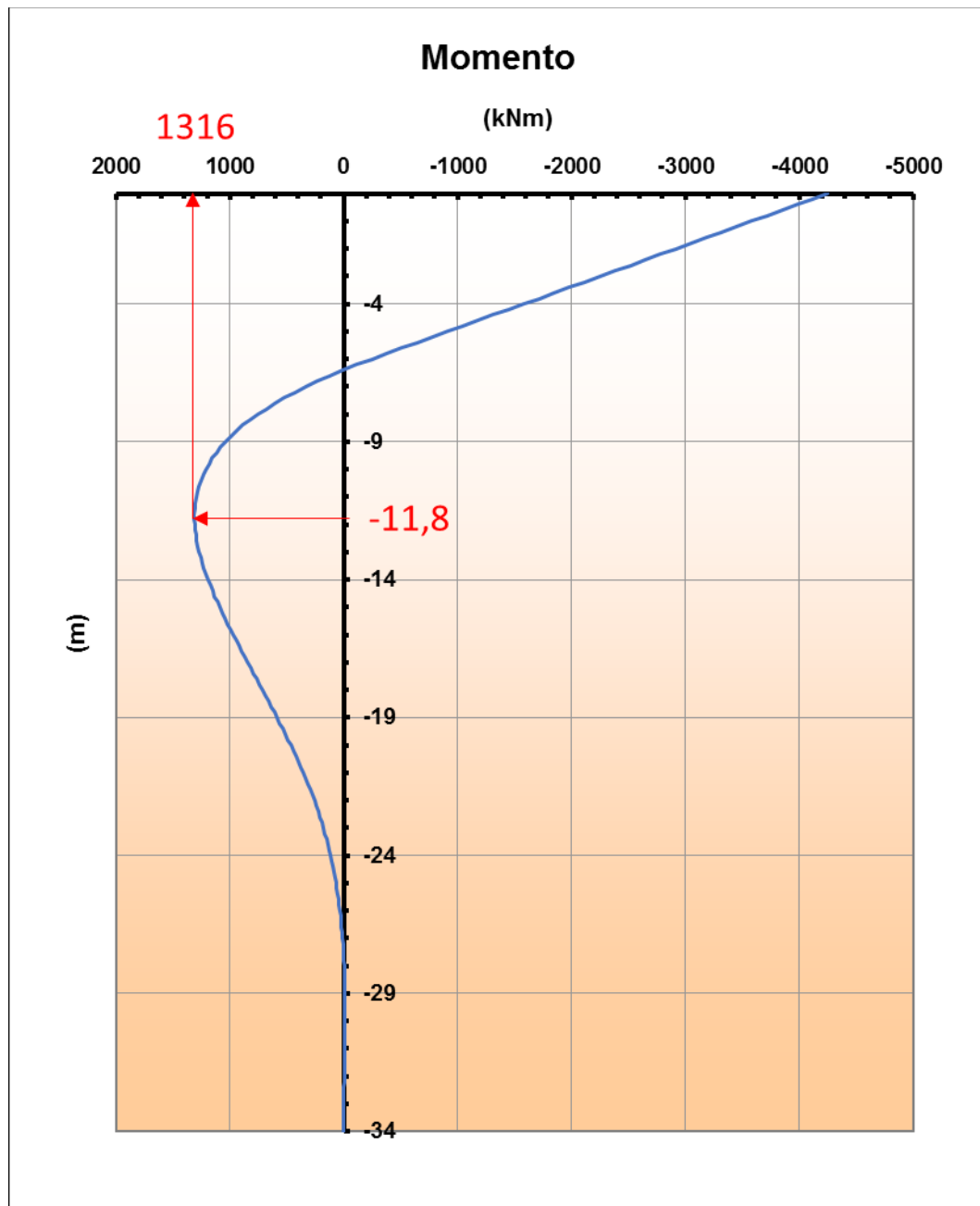
Comb.

SLV_SIS_033



Viadotto Rio Secco
VI05A- Opera di appoggio al Viadotto Rio Secco:
Relazione di calcolo

COMMESSA	LOTTO	CODIFICA	DOCUMENTO	REV.	FOGLIO
IF1N	01	E ZZ CL	VI 05 20 001	B	82 di 132



Comb.	T	Mmax	quota z	N
	kN	kNm	m	kN
SLV_SIS_033	671	1316	-11.80	-1756

Viadotto Rio Secco
VI05A- Opera di approccio al Viadotto Rio Secco:
Relazione di calcolo

COMMESSA	LOTTO	CODIFICA	DOCUMENTO	REV.	FOGLIO
IF1N	01	E ZZ CL	VI 05 20 001	B	83 di 132

Verifica C.A. S.L.U. - File: palo1500_24fi24+24fi24_SIS2_b

File Materiali Opzioni Visualizza Progetto Sez. Rett. Sismica Normativa: DM1996 ?

Titolo: _____

Sezione circolare cava

Raggio esterno: 750 [mm]
Raggio interno: 0 [mm]
N° barre uguali: 0
Diametro barre: 0 [mm]
Copriferro (baric.): 0 [mm]

N° barre: 48 Zoom

N°	As [mm²]	x [mm]	y [mm]
1	452	0	664
2	452	172	641
3	452	332	575
4	452	470	470
5	452	575	332
6	452	641	172

Tipologia sezione:
 Rettan.re Trapezi
 a T Circolare
 Rettangoli Coord.

Diagramma sezione:

Sollecitazioni: S.L.U. Metodo n

N_{Ed}: 1756 kN
M_{xEd}: 1316 kNm
M_{yEd}: 0

P.to applicazione N:
 Centro Baricentro cls
 Coord.[mm] xN: 0 yN: 0

Tipologia rottura: Lato calcestruzzo - Acciaio snervato

M_{xRd}: 5468 kNm

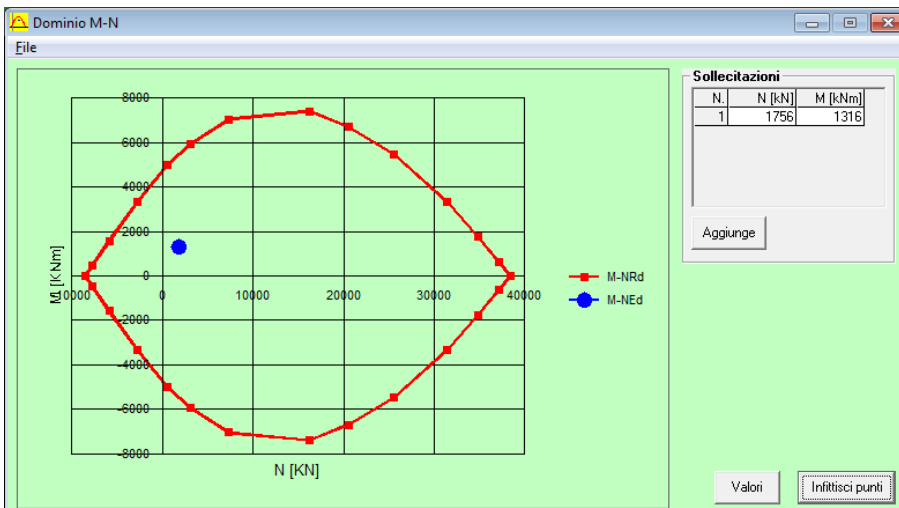
Materiali:
B450C: ε_{su} 10‰, f_{yd} 391,3 N/mm², E_s 200000 N/mm², E_s/E_c 15, ε_{syd} 1,957‰, σ_{s,adm} 255 N/mm²
C32/40: ε_{c2} 2‰, ε_{cu} 3,5‰, f_{cd} 17 N/mm², f_{cc}/f_{cd} 0,8, σ_{c,adm} 12,25 N/mm², τ_{co} 0,7333, τ_{c1} 2,114

σ_c: -17 N/mm²
σ_s: 391,3 N/mm²
ε_c: 3,5‰
ε_s: 8,622‰
d: 1414 mm
x: 408,3 mm, x/d: 0,2887
δ: 0,8009

Metodo di calcolo:
 S.L.U.+ S.L.U.-
 Metodo n

Tipologia flessione:
 Retta Deviate

Vertici: 50 N° rett.: 100
Calcola MRd Dominio M-N
L₀: 0 mm Col. modello
 Precompresso



FS 4.16

La verifica risulta soddisfatta.

Viadotto Rio Secco
VI05A- Opera di approccio al Viadotto Rio Secco:
Relazione di calcolo

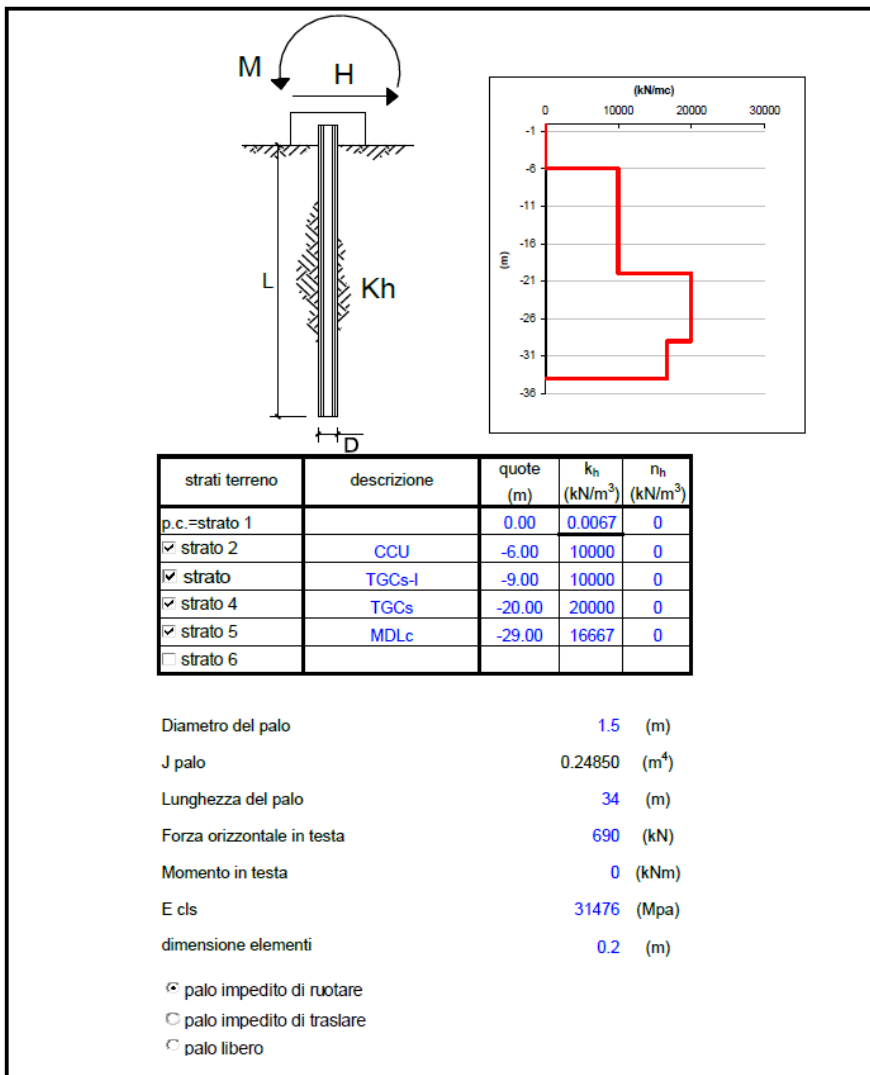
COMMESSA	LOTTO	CODIFICA	DOCUMENTO	REV.	FOGLIO
IF1N	01	E ZZ CL	VI 05 20 001	B	84 di 132

Palo 3

Il taglio massimo in sommità è ottenuto per la seguente combinazione di carico:

Comb.

SLV_SIS_040



Viadotto Rio Secco

VI05A- Opera di approccio al Viadotto Rio Secco:
Relazione di calcolo

COMMESSA

LOTTO

CODIFICA

DOCUMENTO

REV.

FOGLIO

IF1N

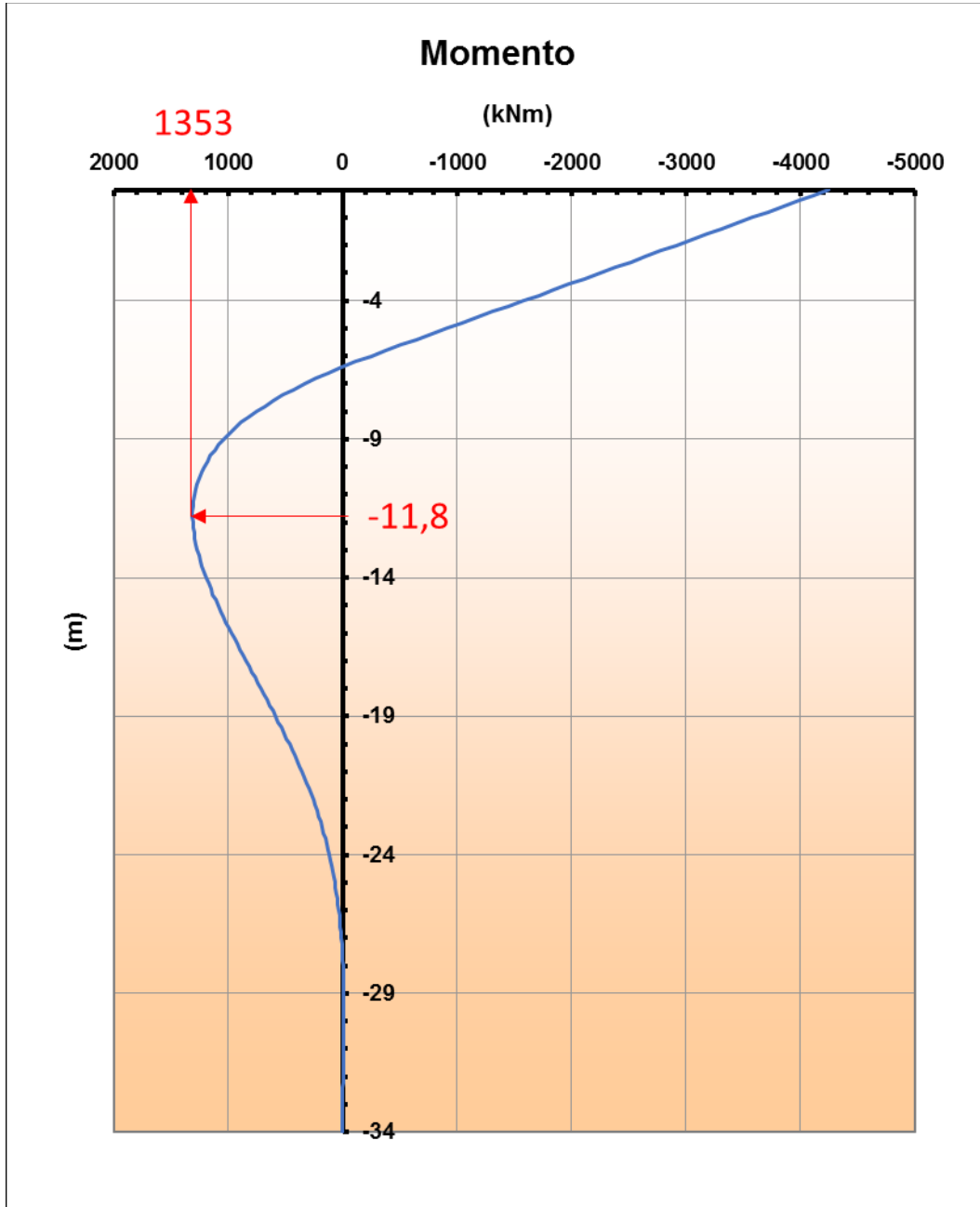
01

E ZZ CL

VI 05 20 001

B

85 di 132

*Sollecitazioni*

Comb.	T	Mmax	quota z	N
	kN	kNm	m	kN
SLV_SIS_040	690	1353	-11.80	-2953

Viadotto Rio Secco
VI05A- Opera di approccio al Viadotto Rio Secco:
Relazione di calcolo

COMMESSA	LOTTO	CODIFICA	DOCUMENTO	REV.	FOGLIO
IF1N	01	E ZZ CL	VI 05 20 001	B	86 di 132

Verifica C.A. S.L.U. - File: palo1500_24fi24+24fi24_SIS3_b

File Materiali Opzioni Visualizza Progetto Sez. Rett. Sismica Normativa: DM1996 ?

Titolo :

Sezione circolare cava

Raggio esterno: 750 [mm]
Raggio interno: 0 [mm]
N° barre uguali: 0
Diametro barre: 0 [mm]
Copriferro (baric.): 0 [mm]

N° barre: 48 Zoom

N°	As [mm²]	x [mm]	y [mm]
1	452	0	664
2	452	172	641
3	452	332	575
4	452	470	470
5	452	575	332
6	452	641	172

Tipologia sezione:
 Rettan.re Trapezi
 a T Circolare
 Rettangoli Coord.

Diagramma sezione:

Sollecitazioni: S.L.U. Metodo n

N_{Ed}: 2953 kN
M_{xEd}: 1353 kNm
M_{yEd}: 0

P.to applicazione N:
 Centro Baricentro cls
 Coord.[mm] xN: 0 yN: 0

Tipologia rottura: Lato calcestruzzo - Acciaio snervato

Metodo di calcolo:
 S.L.U.+ S.L.U.-
 Metodo n

Tipologia flessione:
 Retta Deviata

Vertici: 50 N° rett.: 100
Calcola MRd Dominio M-N
L₀: 0 mm Col. modello

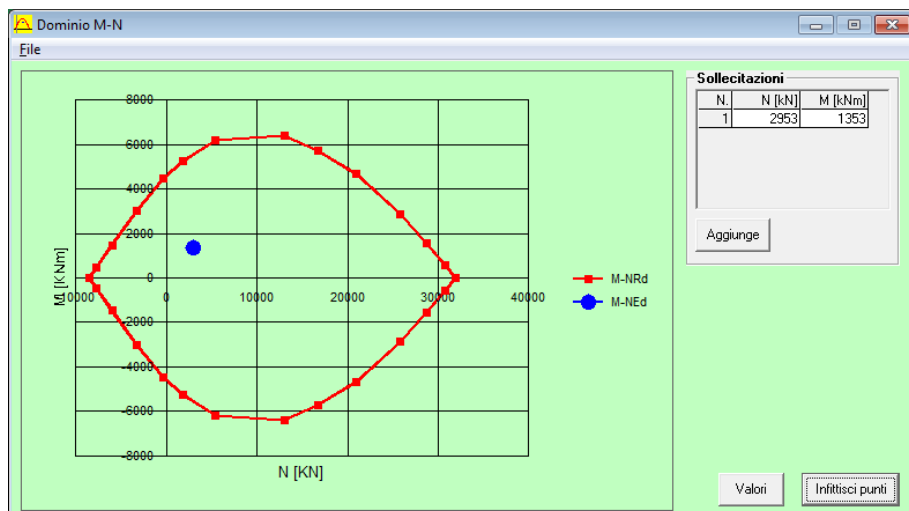
Precompresso:

Materiali:

B450C	C25/30
ε _{su} : 10 ‰	ε _{c2} : 2 ‰
f _{yd} : 391.3 N/mm²	ε _{cu} : 3.5 ‰
E _s : 200 000 N/mm²	f _{cd} : 13.28
E _s /E _c : 15	f _{cc} /f _{cd} : 0.8
ε _{syd} : 1.957 ‰	σ _{c,adm} : 9.75
σ _{s,adm} : 255 N/mm²	τ _{co} : 0.6
	τ _{c1} : 1.829

M_{xRd}: 5 621 kN m

σ_c: -13.28 N/mm²
σ_s: 391.3 N/mm²
ε_s: 3.5 ‰
ε_s: 6.307 ‰
d: 1 414 mm
x: 504.6 x/d: 0.3569
δ: 0.8861



FS 4.15

La verifica risulta soddisfatta.

  	ITINERARIO NAPOLI – BARI RADDOPPIO TRATTA CANCELLO – BENEVENTO I° LOTTO FUNZIONALE CANCELLO - FRASSO TELESINO E VARIANTE ALLA LINEA ROMA-NAPOLI VIA CASSINO NEL COMUNE DI MADDALONI – PROGETTO ESECUTIVO												
<i>Viadotto Rio Secco</i> <i>VI05A- Opera di approccio al Viadotto Rio Secco:</i> <i>Relazione di calcolo</i>	<table border="1"> <tr> <td>COMMESSA</td> <td>LOTTO</td> <td>CODIFICA</td> <td>DOCUMENTO</td> <td>REV.</td> <td>FOGLIO</td> </tr> <tr> <td>IF1N</td> <td>01</td> <td>E ZZ CL</td> <td>VI 05 20 001</td> <td>B</td> <td>87 di 132</td> </tr> </table>	COMMESSA	LOTTO	CODIFICA	DOCUMENTO	REV.	FOGLIO	IF1N	01	E ZZ CL	VI 05 20 001	B	87 di 132
COMMESSA	LOTTO	CODIFICA	DOCUMENTO	REV.	FOGLIO								
IF1N	01	E ZZ CL	VI 05 20 001	B	87 di 132								

7.2.2.2.2 Verifica a taglio

Palo 1

Verifica a taglio per sezioni circolari armate a taglio (D.M. 14/01/2008)

classe cls	R_{ck}	30	N/mm ²
resist. Caratteristica cilindrica	f_{ck}	25	N/mm ²
	f_{cd}	14	N/mm ²
	diametro	Φ	1500
Area sezione	A	1767146	mm ²
copriferro	c	60	mm
Area sezione rettangolare equivalente	A_{eq}	1502578	mm ²
altezza utile equivalente	d	1189	mm
larghezza equivalente	b_w	1263	mm
altezza equivalente	h_{eq}	1399	mm
sforzo assiale dovuto ai carichi o precompressione	N	2187406	N
	σ_{cp}	1.238	N/mm ²
	α_{cp}	1.09	

Acciaio	f_{yk}	450	N/mm ²
B450C	f_{yd}	391	N/mm ²
diametro staffe (spille)	\varnothing_w	14	mm
Area staffa (spilla)	A_{\varnothing_w}	154	mm ²
0.9 d	z	1070	mm
passo spirale	s_w	100	mm
n° bracci		2	
angolo di inclinazione biella compressa	θ	45.0	°
deve essere compreso tra 1 e 2.5	$\cot(\theta)$	1.00	
angolo di inclinazione armatura rispetto asse palo	α	90	°
	$\cot(\alpha)$	0.00	
	A_{s_w} / s_w	3.08	mm ² /mm

Taglio resistente per "taglio trazione"	V_{Rsd}	1289	kN
Taglio resistente per "taglio compressione"	V_{Rcd}	5189	kN

taglio sollecitante	V_{Ed}	859	kN
fattore di sicurezza per GR (par. 7.9.5.2.2)	γ_{Rd}	1.25	
taglio resistente	V_{Rd}	1032	kN

$$V_{Ed} < V_{Rd}$$

verifica

$$FS \quad 1.20$$

  	ITINERARIO NAPOLI – BARI RADDOPPIO TRATTA CANCELLO – BENEVENTO I° LOTTO FUNZIONALE CANCELLO - FRASSO TELESINO E VARIANTE ALLA LINEA ROMA-NAPOLI VIA CASSINO NEL COMUNE DI MADDALONI – PROGETTO ESECUTIVO												
Viadotto Rio Secco VI05A- Opera di approccio al Viadotto Rio Secco: Relazione di calcolo	<table border="1"> <tr> <td>COMMESSA</td> <td>LOTTO</td> <td>CODIFICA</td> <td>DOCUMENTO</td> <td>REV.</td> <td>FOGLIO</td> </tr> <tr> <td>IF1N</td> <td>01</td> <td>E ZZ CL</td> <td>VI 05 20 001</td> <td>B</td> <td>88 di 132</td> </tr> </table>	COMMESSA	LOTTO	CODIFICA	DOCUMENTO	REV.	FOGLIO	IF1N	01	E ZZ CL	VI 05 20 001	B	88 di 132
COMMESSA	LOTTO	CODIFICA	DOCUMENTO	REV.	FOGLIO								
IF1N	01	E ZZ CL	VI 05 20 001	B	88 di 132								

Palo 2

Verifica a taglio per sezioni circolari armate a taglio (D.M. 14/01/2008)

classe cls	R_{ck}	30	N/mm ²
resist. Caratteristica cilindrica	f_{ck}	25	N/mm ²
	f_{cd}	14	N/mm ²
	diametro	Φ	1500
Area sezione	A	1767146	mm ²
copriferro	c	60	mm
Area sezione rettangolare equivalente	A_{eq}	1502578	mm ²
altezza utile equivalente	d	1189	mm
larghezza equivalente	b_w	1263	mm
altezza equivalente	h_{eq}	1399	mm
sforzo assiale dovuto ai carichi o precompressione	N	1072578	N
	σ_{cp}	0.607	N/mm ²
	α_{cp}	1.04	

Acciaio	f_{yk}	450	N/mm ²
B450C	f_{yd}	391	N/mm ²
diametro staffe (spille)	\varnothing_w	14	mm
Area staffa (spilla)	A_{\varnothing_w}	154	mm ²
0.9 d	z	1070	mm
passo spirale	s_w	100	mm
n° bracci		2	
angolo di inclinazione biella compressa	θ	45.0	°
deve essere compreso tra 1 e 2.5	$\cot(\theta)$	1.00	
angolo di inclinazione armatura rispetto asse palo	α	90	°
	$\cot(\alpha)$	0.00	
	A_{s_w} / s_w	3.08	mm ² /mm

Taglio resistente per "taglio trazione"	V_{Rsd}	1289	kN
Taglio resistente per "taglio compressione"	V_{Rcd}	4976	kN

taglio sollecitante	V_{Ed}	873	kN
fattore di sicurezza per GR (par. 7.9.5.2.2)	γ_{Rd}	1.25	
taglio resistente	V_{Rd}	1032	kN

$$V_{Ed} < V_{Rd}$$

verifica

$$FS \quad 1.18$$

  	ITINERARIO NAPOLI – BARI RADDOPPIO TRATTA CANCELLO – BENEVENTO I° LOTTO FUNZIONALE CANCELLO - FRASSO TELESINO E VARIANTE ALLA LINEA ROMA-NAPOLI VIA CASSINO NEL COMUNE DI MADDALONI – PROGETTO ESECUTIVO												
Viadotto Rio Secco VI05A- Opera di approccio al Viadotto Rio Secco: Relazione di calcolo	<table border="1"> <tr> <td>COMMESSA</td> <td>LOTTO</td> <td>CODIFICA</td> <td>DOCUMENTO</td> <td>REV.</td> <td>FOGLIO</td> </tr> <tr> <td>IF1N</td> <td>01</td> <td>E ZZ CL</td> <td>VI 05 20 001</td> <td>B</td> <td>89 di 132</td> </tr> </table>	COMMESSA	LOTTO	CODIFICA	DOCUMENTO	REV.	FOGLIO	IF1N	01	E ZZ CL	VI 05 20 001	B	89 di 132
COMMESSA	LOTTO	CODIFICA	DOCUMENTO	REV.	FOGLIO								
IF1N	01	E ZZ CL	VI 05 20 001	B	89 di 132								

Palo 3

Verifica a taglio per sezioni circolari armate a taglio (D.M. 14/01/2008)

classe cls	R_{ck}	30	N/mm ²
resist. Caratteristica cilindrica	f_{ck}	25	N/mm ²
	f_{cd}	14	N/mm ²
	diametro	Φ	1500
Area sezione	A	1767146	mm ²
copriferro	c	40	mm
Area sezione rettangolare equivalente	A_{eq}	1517939	mm ²
altezza utile equivalente	d	1202	mm
larghezza equivalente	b_w	1263	mm
altezza equivalente	h_{eq}	1399	mm
sforzo assiale dovuto ai carichi o precompressione	N	2793521	N
	σ_{cp}	1.581	N/mm ²
	α_{cp}	1.11	

Acciaio	f_{yk}	450	N/mm ²
B450C	f_{yd}	391	N/mm ²
diametro staffe (spille)	\varnothing_w	14	mm
Area staffa (spilla)	A_{\varnothing_w}	154	mm ²
0.9 d	z	1082	mm
passo spirale	s_w	100	mm
n° bracci		2	
angolo di inclinazione biella compressa	θ	45.0	°
deve essere compreso tra 1 e 2.5	$\cot(\theta)$	1.00	
angolo di inclinazione armatura rispetto asse palo	α	90	°
	$\cot(\alpha)$	0.00	
	A_{s_w} / s_w	3.08	mm ² /mm

Taglio resistente per "taglio trazione"	V_{Rsd}	1303	kN
Taglio resistente per "taglio compressione"	V_{Rcd}	5359	kN

taglio sollecitante	V_{Ed}	881	kN
fattore di sicurezza per GR (par. 7.9.5.2.2)	γ_{Rd}	1.25	
taglio resistente	V_{Rd}	1043	kN

$$V_{Ed} < V_{Rd}$$

verifica

$$FS \quad 1.18$$

	ITINERARIO NAPOLI – BARI RADDOPPIO TRATTA CANCELLO – BENEVENTO I° LOTTO FUNZIONALE CANCELLO - FRASSO TELESINO E VARIANTE ALLA LINEA ROMA-NAPOLI VIA CASSINO NEL COMUNE DI MADDALONI – PROGETTO ESECUTIVO												
<i>Viadotto Rio Secco</i> <i>VI05A- Opera di approccio al Viadotto Rio Secco:</i> <i>Relazione di calcolo</i>	<table border="1"> <tr> <td>COMMESSA</td> <td>LOTTO</td> <td>CODIFICA</td> <td>DOCUMENTO</td> <td>REV.</td> <td>FOGLIO</td> </tr> <tr> <td>IF1N</td> <td>01</td> <td>E ZZ CL</td> <td>VI 05 20 001</td> <td>B</td> <td>90 di 132</td> </tr> </table>	COMMESSA	LOTTO	CODIFICA	DOCUMENTO	REV.	FOGLIO	IF1N	01	E ZZ CL	VI 05 20 001	B	90 di 132
COMMESSA	LOTTO	CODIFICA	DOCUMENTO	REV.	FOGLIO								
IF1N	01	E ZZ CL	VI 05 20 001	B	90 di 132								

7.2.2.3 MEZZERIA CONCIO

La seconda fila di verifica si trova in mezzeria del concio ed è costituita dalla fila dei Pali P10, P11 e P12. In questo capitolo sono riportati i domini di resistenza e il fattore di sicurezza per la combinazione di carico più gravosa. I risultati dettagliati delle analisi sono riprodotti nell'allegato di questa relazione.

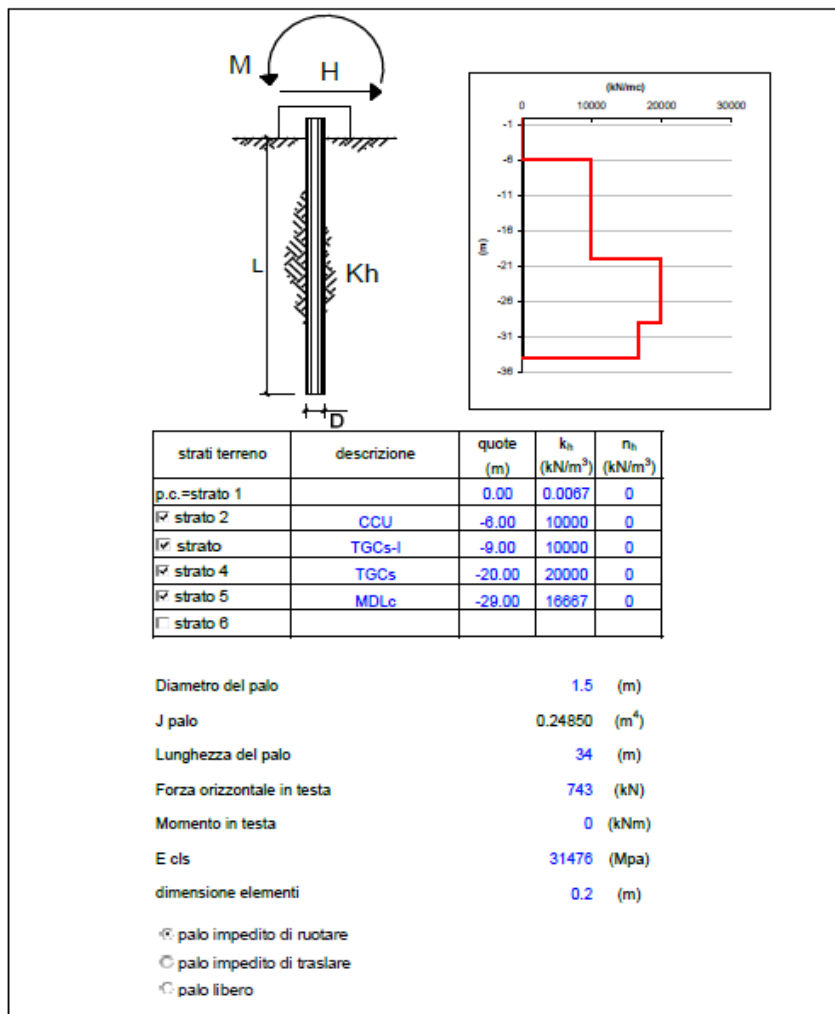
7.2.2.3.1 Verifica a presso-flessione

La verifica a presso-flessione viene effettuata per la sezione maggiormente sollecitata del palo. Le sollecitazioni in fondazione sono ottenute con il metodo di Reese e Matlock.

Palo 10

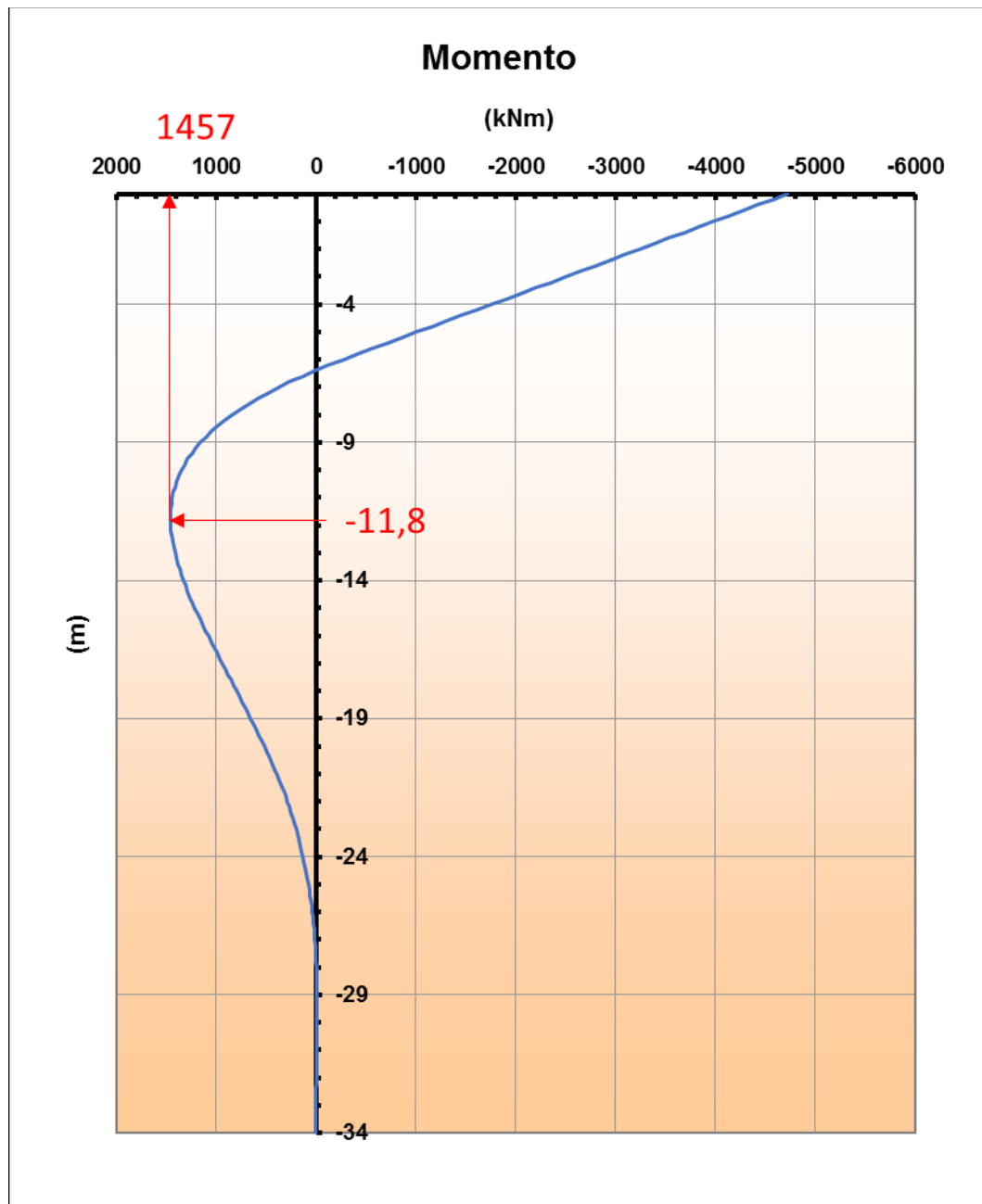
Il taglio massimo in sommità è ottenuto per la seguente combinazione di carico:

Comb.
SLV_SIS_008



Viadotto Rio Secco
VI05A- Opera di appoggio al Viadotto Rio Secco:
Relazione di calcolo

COMMESSA	LOTTO	CODIFICA	DOCUMENTO	REV.	FOGLIO
IF1N	01	E ZZ CL	VI 05 20 001	B	91 di 132



Sollecitazioni

Comb.	T	Mmax	quota z	N
	kN	kNm	m	kN
SLV_SIS_008	743	1457	-11.80	-2003

Viadotto Rio Secco
VI05A- Opera di approccio al Viadotto Rio Secco:
Relazione di calcolo

COMMESSA	LOTTO	CODIFICA	DOCUMENTO	REV.	FOGLIO
IF1N	01	E ZZ CL	VI 05 20 001	B	92 di 132

Verifica C.A. S.L.U. - File: palo1500_24fi24+24fi24_SIS10_b

File Materiali Opzioni Visualizza Progetto Sez. Rett. Sismica Normativa: DM1996 ?

Titolo :

Sezione circolare cava

Raggio esterno 750 [mm]
Raggio interno 0 [mm]
N° barre uguali 0
Diametro barre 0 [mm]
Copriferro (baric.) 0 [mm]

N° barre 48 Zoom

N°	As [mm²]	x [mm]	y [mm]
1	452	0	664
2	452	172	641
3	452	332	575
4	452	470	470
5	452	575	332
6	452	641	172

Tipo Sezione
 Rettan.re Trapezi
 a T Circolare
 Rettangoli Coord.

Sollecitazioni
S.L.U. Metodo n

N_{Ed} 2003 0 kN
M_{xEd} 1457 0 kNm
M_{yEd} 0 0

P.to applicazione N
 Centro Baricentro cls
 Coord.[mm] xN 0 yN 0

Tipo rottura
Lato calcestruzzo - Acciaio snervato

Metodo di calcolo
 S.L.U.+ S.L.U.-
 Metodo n

Tipo flessione
 Retta Deviata

Vertici: 50 N° rett. 100
Calcola MRd Dominio M-N
L₀ 0 mm Col. modello

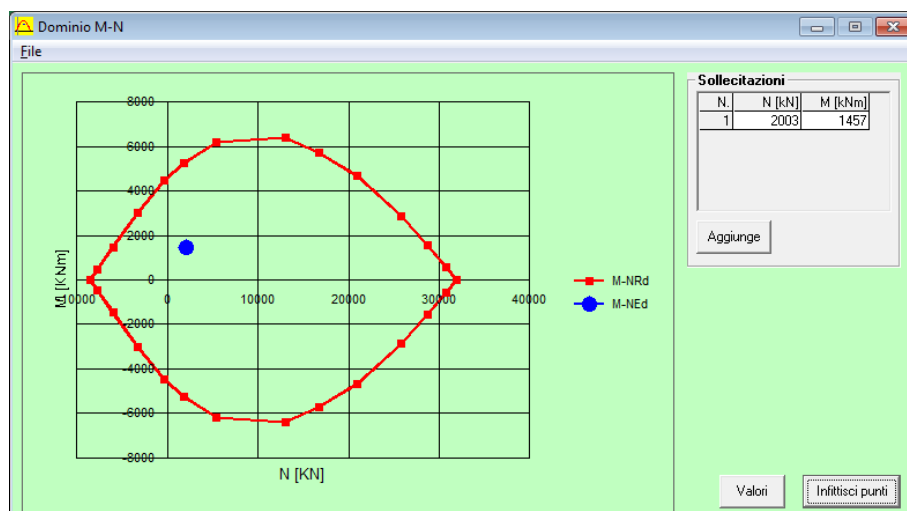
Precompresso

Materiali

B450C C25/30

ε_{su} 10 ‰ ε_{c2} 2 ‰
f_{yd} 391,3 N/mm² ε_{cu} 3,5 ‰
E_s 200 000 N/mm² f_{cd} 13,28
E_s/E_c 15 f_{cc}/f_{cd} 0,8 ?
ε_{syd} 1,957 ‰ σ_{c,adm} 9,75
σ_{s,adm} 255 N/mm² τ_{co} 0,6
τ_{c1} 1,829

M_{xRd} 5 340 kN m
σ_c -13,28 N/mm²
σ_s 391,3 N/mm²
ε_s 3,5 ‰
ε_s 7,134 ‰
d 1 414 mm
x 465,4 x/d 0,3291
δ 0,8514



FS

3.66

La verifica risulta soddisfatta.

Viadotto Rio Secco
VI05A- Opera di approccio al Viadotto Rio Secco:
Relazione di calcolo

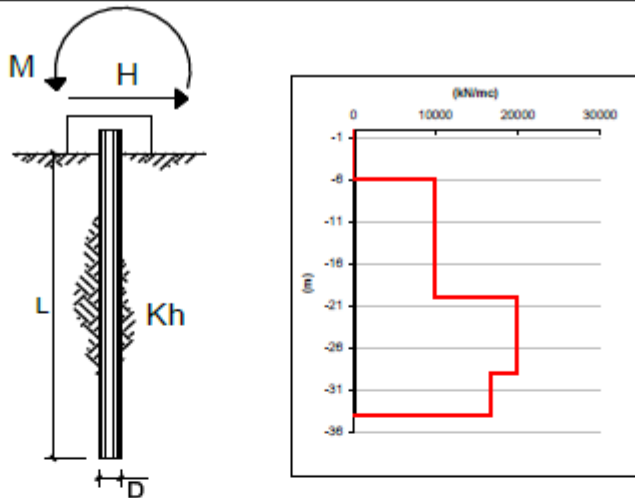
COMMESSA	LOTTO	CODIFICA	DOCUMENTO	REV.	FOGLIO
IF1N	01	E ZZ CL	VI 05 20 001	B	93 di 132

Palo 11

Il taglio massimo in sommità è ottenuto per la seguente combinazione di carico:

Comb.

SLV_SIS_008



strati terreno	descrizione	quote (m)	k_h (kN/m ³)	n_h (kN/m ³)
p.c.=strato 1		0.00	0.0067	0
<input checked="" type="checkbox"/> strato 2	CCU	-6.00	10000	0
<input checked="" type="checkbox"/> strato	TGCs-I	-9.00	10000	0
<input checked="" type="checkbox"/> strato 4	TGCs	-20.00	20000	0
<input checked="" type="checkbox"/> strato 5	MDLc	-29.00	16667	0
<input type="checkbox"/> strato 8				

Diametro del palo 1.5 (m)

J palo 0.24850 (m⁴)

Lunghezza del palo 34 (m)

Forza orizzontale in testa 730 (kN)

Momento in testa 0 (kNm)

E cls 31476 (Mpa)

dimensione elementi 0.2 (m)

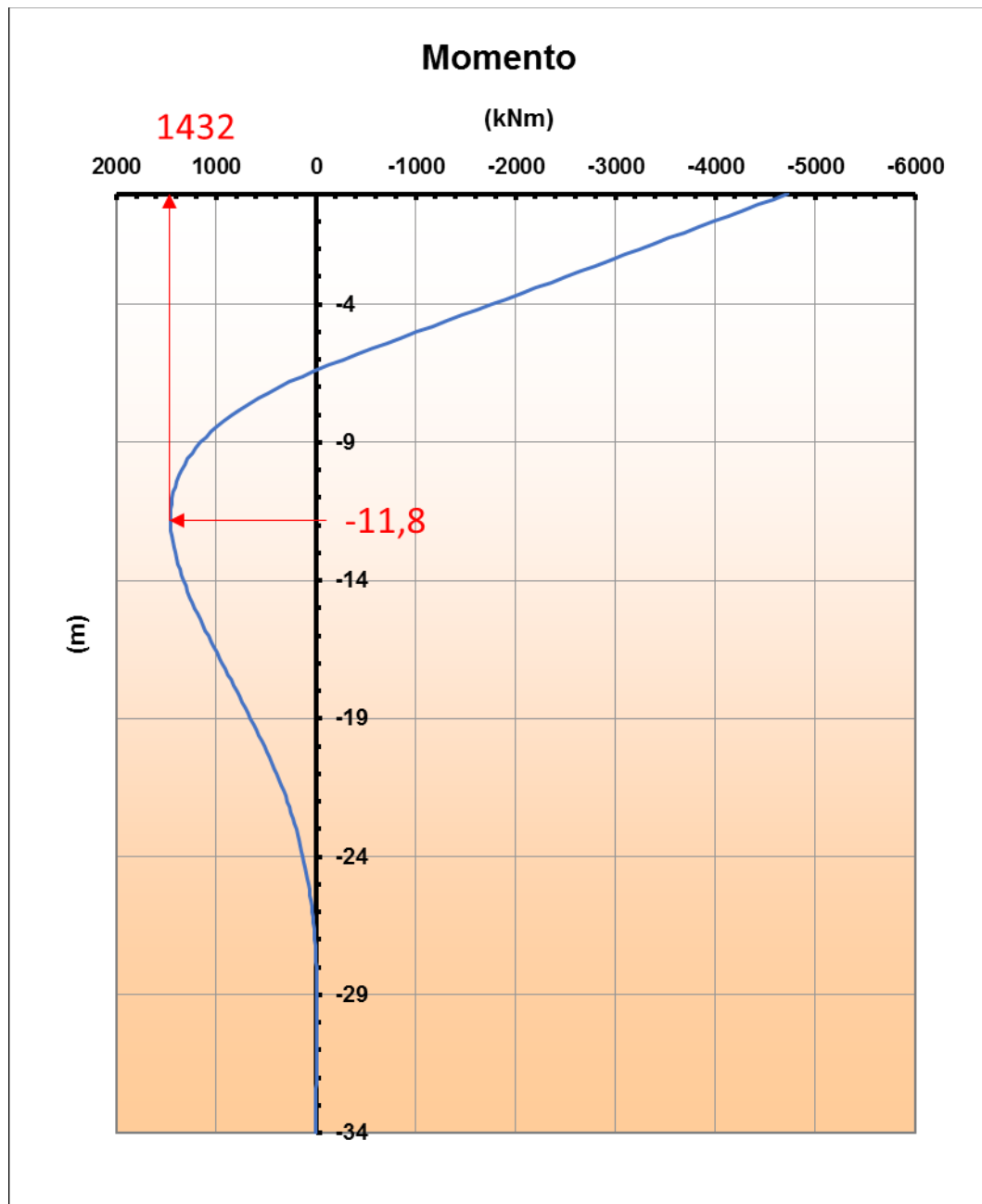
palo impedito di ruotare

palo impedito di traslare

palo libero

Viadotto Rio Secco
VI05A- Opera di approccio al Viadotto Rio Secco:
Relazione di calcolo

COMMESSA	LOTTO	CODIFICA	DOCUMENTO	REV.	FOGLIO
IF1N	01	E ZZ CL	VI 05 20 001	B	94 di 132



Sollecitazioni

Comb.	T	Mmax	quota z	N
	kN	kNm	m	kN
SLV_SIS_008	730	1432	-11.80	-1698

Viadotto Rio Secco
VI05A- Opera di approccio al Viadotto Rio Secco:
Relazione di calcolo

COMMESSA	LOTTO	CODIFICA	DOCUMENTO	REV.	FOGLIO
IF1N	01	E ZZ CL	VI 05 20 001	B	95 di 132

Verifica C.A. S.L.U. - File: palo1500_24fi24+24fi24_SIS11_b

File Materiali Opzioni Visualizza Progetto Sez. Rett. Sismica Normativa: DM1996 ?

Titolo: _____

Sezione circolare cava

Raggio esterno: 750 [mm]
Raggio interno: 0 [mm]
N° barre uguali: 0
Diametro barre: 0 [mm]
Copriferro (baric.): 0 [mm]

N° barre: 48 Zoom

N°	As [mm²]	x [mm]	y [mm]
1	452	0	664
2	452	172	641
3	452	332	575
4	452	470	470
5	452	575	332
6	452	641	172

Tipologia Sezione:
 Rettan.re Trapezi
 a T Circolare
 Rettangoli Coord.

Diagramma della sezione circolare con barre distribuite.

Sollecitazioni: S.L.U. Metodo n

N_{Ed}: 1698 kN
M_{xEd}: 1432 kNm
M_{yEd}: 0

P.to applicazione N:
 Centro Baricentro cls
 Coord.[mm] xN: 0 yN: 0

Tipologia rottura: Lato calcestruzzo - Acciaio snervato

Materiali:

B450C	C25/30
ε _{su} : 10 ‰	ε _{c2} : 2 ‰
f _{yd} : 391,3 N/mm²	ε _{cu} : 3,5 ‰
E _s : 200 000 N/mm²	f _{cd} : 13,28
E _s /E _c : 15	f _{cc} /f _{cd} : 0,8
ε _{syd} : 1,957 ‰	σ _{c,adm} : 9,75
σ _{s,adm} : 255 N/mm²	τ _{co} : 0,6
	τ _{c1} : 1,829

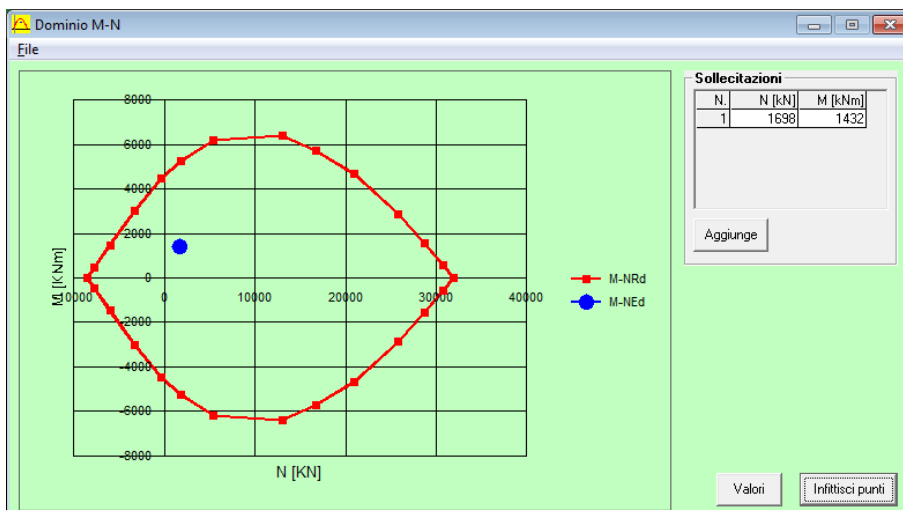
M_{xRd}: 5 236 kN m

σ_c: -13,28 N/mm²
σ_s: 391,3 N/mm²
ε_c: 3,5 ‰
ε_s: 7,453 ‰
d: 1 414 mm
x: 451,8 x/d: 0,3196
δ: 0,8394

Metodo di calcolo:
 S.L.U.+ S.L.U.-
 Metodo n

Tipologia flessione:
 Retta Deviate

Vertici: 50 N° rett.: 100
Calcola MRd Dominio M-N
L₀: 0 mm Col. modello
 Precompresso



FS 3.66

La verifica risulta soddisfatta.

Viadotto Rio Secco
 VI05A- Opera di approccio al Viadotto Rio Secco:
 Relazione di calcolo

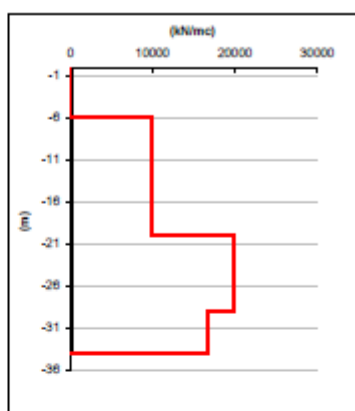
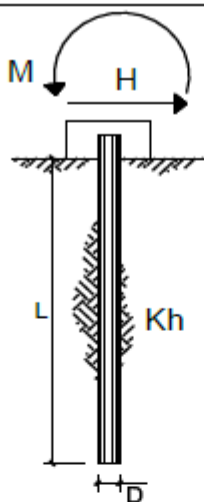
COMMESSA	LOTTO	CODIFICA	DOCUMENTO	REV.	FOGLIO
IF1N	01	E ZZ CL	VI 05 20 001	B	96 di 132

Palo 12

Il taglio massimo in sommità è ottenuto per la seguente combinazione di carico:

Comb.

SLV_SIS_027



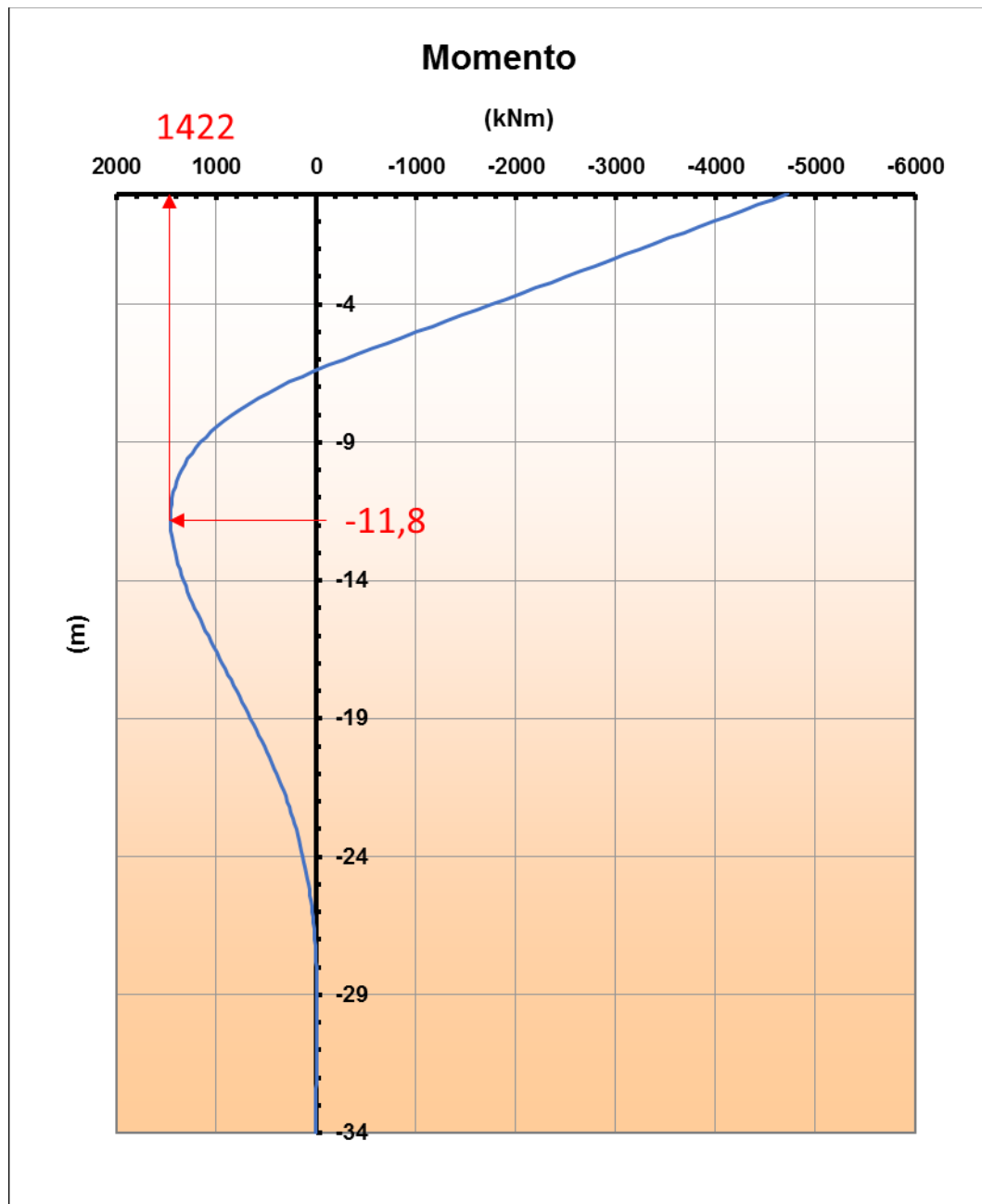
strati terreno	descrizione	quote (m)	k_h (kN/m ³)	n_h (kN/m ³)
p.c.=strato 1		0.00	0.0067	0
<input checked="" type="checkbox"/> strato 2	CCU	-6.00	10000	0
<input checked="" type="checkbox"/> strato	TGCs-I	-9.00	10000	0
<input checked="" type="checkbox"/> strato 4	TGCs	-20.00	20000	0
<input checked="" type="checkbox"/> strato 5	MDLc	-29.00	16667	0
<input type="checkbox"/> strato 6				

Diametro del palo	1.5 (m)
J palo	0.24850 (m ⁴)
Lunghezza del palo	34 (m)
Forza orizzontale in testa	725 (kN)
Momento in testa	0 (kNm)
E cls	31476 (Mpa)
dimensione elementi	0.2 (m)

- palo impedito di ruotare
- palo impedito di traslare
- palo libero

Viadotto Rio Secco
VI05A- Opera di approccio al Viadotto Rio Secco:
Relazione di calcolo

COMMESSA	LOTTO	CODIFICA	DOCUMENTO	REV.	FOGLIO
IF1N	01	E ZZ CL	VI 05 20 001	B	97 di 132



Sollecitazioni

Comb.	T	Mmax	quota z	N
	kN	kNm	m	kN
SLV_SIS_027	725	1422	-11.80	-1727

Viadotto Rio Secco

VI05A- Opera di appoggio al Viadotto Rio Secco:
Relazione di calcolo

COMMESSA	LOTTO	CODIFICA	DOCUMENTO	REV.	FOGLIO
IF1N	01	E ZZ CL	VI 05 20 001	B	98 di 132

Verifica C.A. S.L.U. - File: palo1500_24fi24+24fi24_SIS12_b

File Materiali Opzioni Visualizza Progetto Sez. Rett. Sismica Normativa: DM1996 ?

Titolo: _____

Sezione circolare cava

Raggio esterno: 750 [mm]

Raggio interno: 0 [mm]

N° barre uguali: 0

Diametro barre: 0 [mm]

Copriferro (baric.): 0 [mm]

N° barre: 48 Zoom

N°	As [mm²]	x [mm]	y [mm]
1	452	0	664
2	452	172	641
3	452	332	575
4	452	470	470
5	452	575	332
6	452	641	172

Tipologia sezione:
 Rettan.re Trapezi
 a T Circolare
 Rettangoli Coord.

Diagramma della sezione circolare cava con 48 barre distribuite.

Sollecitazioni: S.L.U. Metodo n

N_{Ed}: 1727 kN
M_{xEd}: 1422 kNm
M_{yEd}: 0

P.to applicazione N:
 Centro Baricentro cls
 Coord.[mm] xN: 0 yN: 0

Tipologia rottura: Lato calcestruzzo - Acciaio snervato

M_{xRd}: 5246 kNm

Materiali:

Proprietà	B450C	C25/30
ε _{su} [‰]	10	2
f _{yd} [N/mm²]	391,3	3,5
E _s [N/mm²]	200 000	13,28
E _s /E _c	15	0,8
ε _{syd} [‰]	1,957	9,75
σ _{s,adm} [N/mm²]	255	0,6
τ _{co}	0,6	1,829

σ_c: -13,28 N/mm²
σ_s: 391,3 N/mm²
ε_c: 3,5 ‰
ε_s: 7,422 ‰
d: 1414 mm
x: 453,1 mm x/d: 0,3205
δ: 0,8406

Metodo di calcolo:
 S.L.U.+ S.L.U.-
 Metodo n

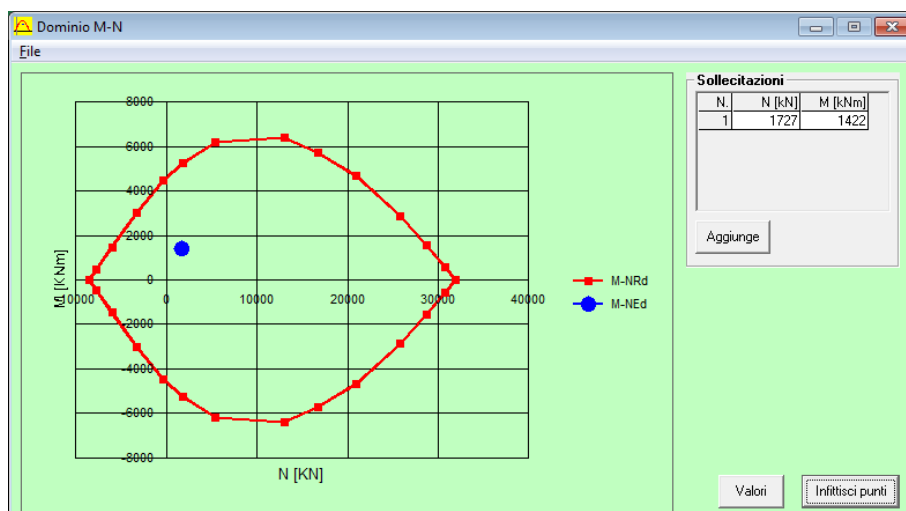
Tipologia flessione:
 Retta Deviata

Vertici: 50 N° rett.: 100

Calcola MRd Dominio M-N

L₀: 0 mm Col. modello

Precompresso



FS

3.69

La verifica risulta soddisfatta.

  	ITINERARIO NAPOLI – BARI RADDOPPIO TRATTA CANCELLO – BENEVENTO I° LOTTO FUNZIONALE CANCELLO - FRASSO TELESINO E VARIANTE ALLA LINEA ROMA-NAPOLI VIA CASSINO NEL COMUNE DI MADDALONI – PROGETTO ESECUTIVO												
Viadotto Rio Secco VI05A- Opera di approccio al Viadotto Rio Secco: Relazione di calcolo	<table border="1"> <tr> <td>COMMESSA</td> <td>LOTTO</td> <td>CODIFICA</td> <td>DOCUMENTO</td> <td>REV.</td> <td>FOGLIO</td> </tr> <tr> <td>IF1N</td> <td>01</td> <td>E ZZ CL</td> <td>VI 05 20 001</td> <td>B</td> <td>99 di 132</td> </tr> </table>	COMMESSA	LOTTO	CODIFICA	DOCUMENTO	REV.	FOGLIO	IF1N	01	E ZZ CL	VI 05 20 001	B	99 di 132
COMMESSA	LOTTO	CODIFICA	DOCUMENTO	REV.	FOGLIO								
IF1N	01	E ZZ CL	VI 05 20 001	B	99 di 132								

7.2.2.3.2 Verifica a taglio

La verifica a taglio del palo è effettuata nella sezione in testa al palo in corrispondenza del valore di taglio massimo.

Palo 10

Verifica a taglio per sezioni circolari armate a taglio (D.M. 14/01/2008)

classe cls	R_{ck}	30	N/mm ²
resist. Caratteristica cilindrica	f_{ck}	25	N/mm ²
	f_{cd}	14	N/mm ²
diametro	Φ	1500	mm
Area sezione	A	1767146	mm ²
copriferro	c	40	mm
Area sezione rettangolare equivalente	A_{eq}	1517939	mm ²
altezza utile equivalente	d	1202	mm
larghezza equivalente	b_w	1263	mm
altezza equivalente	h_{eq}	1399	mm
sforzo assiale dovuto ai carichi o precompressione	N	1790459	N
	σ_{cp}	1.013	N/mm ²
	α_{cp}	1.07	

Acciaio	f_{yk}	450	N/mm ²
B450C	f_{yd}	391	N/mm ²
diametro staffe (spille)	\varnothing_w	14	mm
Area staffa (spilla)	A_{\varnothing_w}	154	mm ²
0.9 d	z	1082	mm
passo spirale	s_w	100	mm
	n° bracci	2	
angolo di inclinazione biella compressa deve essere compreso tra 1 e 2.5	θ	45.0	°
	$\cot(\theta)$	1.00	
angolo di inclinazione armatura rispetto asse palo	α	90	°
	$\cot(\alpha)$	0.00	
	A_{sw} / s_w	3.08	mm ² /mm

Taglio resistente per "taglio trazione"	V_{Rsd}	1303	kN
Taglio resistente per "taglio compressione"	V_{Rcd}	5165	kN

taglio sollecitante	V_{Ed}	933	kN
fattore di sicurezza per GR (par. 7.9.5.2.2)	γ_{Rd}	1.25	
taglio resistente	V_{Rd}	1043	kN

$$V_{Ed} < V_{Rd}$$

verifica

$$FS \quad 1.12$$

  	ITINERARIO NAPOLI – BARI RADDOPPIO TRATTA CANCELLO – BENEVENTO I° LOTTO FUNZIONALE CANCELLO - FRASSO TELESINO E VARIANTE ALLA LINEA ROMA-NAPOLI VIA CASSINO NEL COMUNE DI MADDALONI – PROGETTO ESECUTIVO												
Viadotto Rio Secco VI05A- Opera di approccio al Viadotto Rio Secco: Relazione di calcolo	<table border="1"> <tr> <td>COMMESSA</td> <td>LOTTO</td> <td>CODIFICA</td> <td>DOCUMENTO</td> <td>REV.</td> <td>FOGLIO</td> </tr> <tr> <td>IF1N</td> <td>01</td> <td>E ZZ CL</td> <td>VI 05 20 001</td> <td>B</td> <td>100 di 132</td> </tr> </table>	COMMESSA	LOTTO	CODIFICA	DOCUMENTO	REV.	FOGLIO	IF1N	01	E ZZ CL	VI 05 20 001	B	100 di 132
COMMESSA	LOTTO	CODIFICA	DOCUMENTO	REV.	FOGLIO								
IF1N	01	E ZZ CL	VI 05 20 001	B	100 di 132								

Palo 11

Verifica a taglio per sezioni circolari armate a taglio (D.M. 14/01/2008)

classe cls	R_{ck}	30	N/mm ²
resist. Caratteristica cilindrica	f_{ck}	25	N/mm ²
	f_{cd}	14	N/mm ²
	diametro	Φ	1500
Area sezione	A	1767146	mm ²
copriferro	c	40	mm
Area sezione rettangolare equivalente	A_{eq}	1517939	mm ²
altezza utile equivalente	d	1202	mm
larghezza equivalente	b_w	1263	mm
altezza equivalente	h_{eq}	1399	mm
sforzo assiale dovuto ai carichi o precompressione	N	1486232	N
	σ_{cp}	0.841	N/mm ²
	α_{cp}	1.06	

Acciaio	f_{yk}	450	N/mm ²
B450C	f_{yd}	391	N/mm ²
diametro staffe (spille)	\varnothing_w	14	mm
Area staffa (spilla)	A_{\varnothing_w}	154	mm ²
0.9 d	z	1082	mm
passo spirale	s_w	100	mm
n° bracci		2	
angolo di inclinazione biella compressa	θ	45.0	°
deve essere compreso tra 1 e 2.5	$\cot(\theta)$	1.00	
angolo di inclinazione armatura rispetto asse palo	α	90	°
	$\cot(\alpha)$	0.00	
	A_{s_w} / s_w	3.08	mm ² /mm

Taglio resistente per "taglio trazione"	V_{Rsd}	1303	kN
Taglio resistente per "taglio compressione"	V_{Rcd}	5106	kN

taglio sollecitante	V_{Ed}	921	kN
fattore di sicurezza per GR (par. 7.9.5.2.2)	γ_{Rd}	1.25	
taglio resistente	V_{Rd}	1043	kN

$$V_{Ed} < V_{Rd}$$

verifica

$$FS \quad 1.13$$

  	ITINERARIO NAPOLI – BARI RADDOPPIO TRATTA CANCELLO – BENEVENTO I° LOTTO FUNZIONALE CANCELLO - FRASSO TELESINO E VARIANTE ALLA LINEA ROMA-NAPOLI VIA CASSINO NEL COMUNE DI MADDALONI – PROGETTO ESECUTIVO												
Viadotto Rio Secco VI05A- Opera di approccio al Viadotto Rio Secco: Relazione di calcolo	<table border="1"> <tr> <td>COMMESSA</td> <td>LOTTO</td> <td>CODIFICA</td> <td>DOCUMENTO</td> <td>REV.</td> <td>FOGLIO</td> </tr> <tr> <td>IF1N</td> <td>01</td> <td>E ZZ CL</td> <td>VI 05 20 001</td> <td>B</td> <td>101 di 132</td> </tr> </table>	COMMESSA	LOTTO	CODIFICA	DOCUMENTO	REV.	FOGLIO	IF1N	01	E ZZ CL	VI 05 20 001	B	101 di 132
COMMESSA	LOTTO	CODIFICA	DOCUMENTO	REV.	FOGLIO								
IF1N	01	E ZZ CL	VI 05 20 001	B	101 di 132								

Palo 12

Verifica a taglio per sezioni circolari armate a taglio (D.M. 14/01/2008)

classe cls	R_{ck}	30	N/mm ²
resist. Caratteristica cilindrica	f_{ck}	25	N/mm ²
	f_{cd}	14	N/mm ²
	diametro	Φ	1500
Area sezione	A	1767146	mm ²
copriferro	c	40	mm
Area sezione rettangolare equivalente	A_{eq}	1517939	mm ²
altezza utile equivalente	d	1202	mm
larghezza equivalente	b_w	1263	mm
altezza equivalente	h_{eq}	1399	mm
sforzo assiale dovuto ai carichi o precompressione	N	1514383	N
	σ_{cp}	0.857	N/mm ²
	α_{cp}	1.06	

Acciaio	f_{yk}	450	N/mm ²
B450C	f_{yd}	391	N/mm ²
diametro staffe (spille)	\varnothing_w	14	mm
Area staffa (spilla)	A_{\varnothing_w}	154	mm ²
0.9 d	z	1082	mm
passo spirale	s_w	100	mm
n° bracci		2	
angolo di inclinazione biella compressa	θ	45.0	°
deve essere compreso tra 1 e 2.5	$\cot(\theta)$	1.00	
angolo di inclinazione armatura rispetto asse palo	α	90	°
	$\cot(\alpha)$	0.00	
	A_{s_w} / s_w	3.08	mm ² /mm

Taglio resistente per "taglio trazione"	V_{Rsd}	1303	kN
Taglio resistente per "taglio compressione"	V_{Rcd}	5112	kN

taglio sollecitante	V_{Ed}	916	kN
fattore di sicurezza per GR (par. 7.9.5.2.2)	γ_{Rd}	1.25	
taglio resistente	V_{Rd}	1043	kN

$$V_{Ed} < V_{Rd}$$

verifica

$$FS \quad 1.14$$

  	ITINERARIO NAPOLI – BARI RADDOPPIO TRATTA CANCELLO – BENEVENTO I° LOTTO FUNZIONALE CANCELLO - FRASSO TELESINO E VARIANTE ALLA LINEA ROMA-NAPOLI VIA CASSINO NEL COMUNE DI MADDALONI – PROGETTO ESECUTIVO												
<i>Viadotto Rio Secco</i> <i>VI05A- Opera di approccio al Viadotto Rio Secco:</i> <i>Relazione di calcolo</i>	<table border="1"> <tr> <td>COMMESSA</td> <td>LOTTO</td> <td>CODIFICA</td> <td>DOCUMENTO</td> <td>REV.</td> <td>FOGLIO</td> </tr> <tr> <td>IF1N</td> <td>01</td> <td>E ZZ CL</td> <td>VI 05 20 001</td> <td>B</td> <td>102 di 132</td> </tr> </table>	COMMESSA	LOTTO	CODIFICA	DOCUMENTO	REV.	FOGLIO	IF1N	01	E ZZ CL	VI 05 20 001	B	102 di 132
COMMESSA	LOTTO	CODIFICA	DOCUMENTO	REV.	FOGLIO								
IF1N	01	E ZZ CL	VI 05 20 001	B	102 di 132								

8 VERIFICHE AGLI SLE

8.1 VERIFICHE A FESSURAZIONE

Si riportano di seguito le verifiche a fessurazione della struttura nelle sezioni considerate per le verifiche agli SLU. In riferimento a quanto indicato nella EN206, per il caso in esame si identifica una classe di esposizione XC4, che corrisponde a condizioni ambientali aggressive.

4 Corrosione indotta da cloruri presenti nell'acqua di mare		
XS1	Esposto a nebbia salina ma non in contatto diretto con acqua di mare	Strutture prossime oppure sulla costa
XS2	Permanentemente sommerso	Parti di strutture marine
XS3	Zone esposte alle onde, agli spruzzi oppure alle maree	Parti di strutture marine
5 Attacco di cicli gelo/disgelo		
XF1	Moderata saturazione d'acqua, senza impiego di agente antigelo	Superfici verticali di calcestruzzo esposte alla pioggia e al gelo
XF2	Moderata saturazione d'acqua, con uso di agente antigelo	Superfici verticali di calcestruzzo di strutture stradali esposte al gelo e ad agenti antigelo
XF3	Elevata saturazione d'acqua, senza antigelo	Superfici orizzontali di calcestruzzo esposte alla pioggia e al gelo
XF4	Elevata saturazione d'acqua, con antigelo oppure acqua di mare	Strade e impalcati da ponte esposti agli agenti antigelo Superfici di calcestruzzo esposte direttamente ad agenti antigelo e al gelo Zone di strutture marine soggette a spruzzi ed esposte al gelo
6 Attacco chimico		
XA1	Ambiente chimico debolmente aggressivo secondo il prospetto 2 della EN 206-1	Suoli naturali e acqua del terreno
XA2	Ambiente chimico moderatamente aggressivo secondo il prospetto 2 della EN 206-1	Suoli naturali e acqua del terreno
XA3	Ambiente chimico fortemente aggressivo secondo il prospetto 2 della EN 206-1	Suoli naturali e acqua del terreno

Tabella 4.1.III – Descrizione delle condizioni ambientali

CONDIZIONI AMBIENTALI	CLASSE DI ESPOSIZIONE
Ordinarie	X0, XC1, XC2, XC3, XF1
Aggressive	XC4, XD1, XS1, XA1, XA2, XF2, XF3
Molto aggressive	XD2, XD3, XS2, XS3, XA3, XF4

Si effettuano le verifiche ponendo come limite d'apertura delle fessure il valore $w_1=0.2\text{mm}$.

	ITINERARIO NAPOLI – BARI RADDOPPIO TRATTA CANCELLO – BENEVENTO I° LOTTO FUNZIONALE CANCELLO - FRASSO TELESINO E VARIANTE ALLA LINEA ROMA-NAPOLI VIA CASSINO NEL COMUNE DI MADDALONI – PROGETTO ESECUTIVO												
<i>Viadotto Rio Secco</i> <i>VI05A- Opera di approccio al Viadotto Rio Secco:</i> <i>Relazione di calcolo</i>	<table border="1"> <tr> <td>COMMESSA</td> <td>LOTTO</td> <td>CODIFICA</td> <td>DOCUMENTO</td> <td>REV.</td> <td>FOGLIO</td> </tr> <tr> <td>IF1N</td> <td>01</td> <td>E ZZ CL</td> <td>VI 05 20 001</td> <td>B</td> <td>103 di 132</td> </tr> </table>	COMMESSA	LOTTO	CODIFICA	DOCUMENTO	REV.	FOGLIO	IF1N	01	E ZZ CL	VI 05 20 001	B	103 di 132
COMMESSA	LOTTO	CODIFICA	DOCUMENTO	REV.	FOGLIO								
IF1N	01	E ZZ CL	VI 05 20 001	B	103 di 132								

8.1.1 SOLETTA – MEZZERIA

VERIFICA A FESSURAZIONE - TRASVERSALE

La verifica a fessurazione in mezzeria della soletta verrà condotta con le sollecitazioni massime, dedotte dall'involuppo delle combinazioni SLE riportate in allegato.

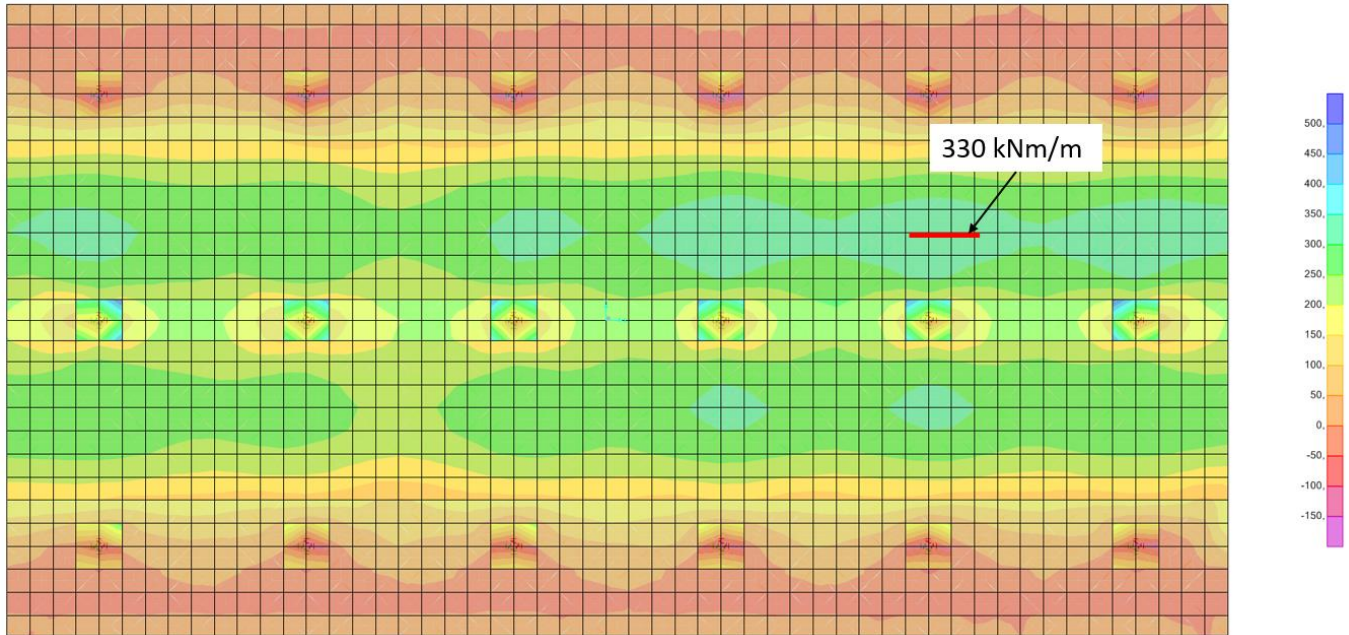


Figura 47 - Involuppo SLE - M22 max

Verifica C.A. S.L.U. - File: SLE_STR1

File | Materiali | Opzioni | Visualizza | Progetto Sez. Rett. | Sismica | Normativa: NTC 2008

Titolo: _____

N° figure elementari: 1 | Zoom | N° strati barre: 2 | Zoom

N°	b [cm]	h [cm]	N°	As [cm²]	d [cm]
1	100	120	1	45,24	114,8
			2	45,24	5,2

Tipo Sezione: Rettan.re Trapezi
 a T Circolare
 Rettangoli Coord.

Sollecitazioni: S.L.U. | Metodo n

N_{Ed}: 0 kN
M_{xEd}: 0 kNm
M_{yEd}: 0 kNm

P.to applicazione N: Centro Baricentro cls
 Coord.[cm] xN: 0 yN: 0

Metodo di calcolo: S.L.U.+ S.L.U.- Metodo n

Materiali: B450C | C32/40

ε_{su}: 67,5 ‰ | ε_{c2}: 2 ‰
f_{yd}: 391,3 N/mm² | ε_{cu}: 3,5 ‰
E_s: 200 000 N/mm² | f_{cd}: 18,13 N/mm²
E_s/E_c: 15 | f_{cc}/f_{cd}: 0,8
ε_{syd}: 1,957 ‰ | σ_{c,adm}: 12,25 N/mm²
σ_{s,adm}: 255 N/mm² | τ_{co}: 0,7333 N/mm²
τ_{c1}: 2,114 N/mm²

σ_c: -1,546 N/mm²
σ_s: 68,58 N/mm²

Verifica: N° iterazioni: 4

Precompresso:

ε_s: 0,3429 ‰
d: 114,8 cm
x: 29,01 | x/d: 0,2527
δ: 0,7558

   	ITINERARIO NAPOLI – BARI RADDOPPIO TRATTA CANCELLO – BENEVENTO I° LOTTO FUNZIONALE CANCELLO - FRASSO TELESINO E VARIANTE ALLA LINEA ROMA-NAPOLI VIA CASSINO NEL COMUNE DI MADDALONI – PROGETTO ESECUTIVO												
<i>Viadotto Rio Secco</i> <i>VI05A- Opera di approccio al Viadotto Rio Secco:</i> <i>Relazione di calcolo</i>	<table border="1"> <tr> <td>COMMESSA</td> <td>LOTTO</td> <td>CODIFICA</td> <td>DOCUMENTO</td> <td>REV.</td> <td>FOGLIO</td> </tr> <tr> <td>IF1N</td> <td>01</td> <td>E ZZ CL</td> <td>VI 05 20 001</td> <td>B</td> <td>104 di 132</td> </tr> </table>	COMMESSA	LOTTO	CODIFICA	DOCUMENTO	REV.	FOGLIO	IF1N	01	E ZZ CL	VI 05 20 001	B	104 di 132
COMMESSA	LOTTO	CODIFICA	DOCUMENTO	REV.	FOGLIO								
IF1N	01	E ZZ CL	VI 05 20 001	B	104 di 132								

		INPUT			OUTPUT		
		R_{ck}	40	Mpa	diff. def. armature-cls		
	dimensione	h	1200	mm	ε_{sm} - ε_{cm}	2.00E-04	-
	pos. baric. 1° strato	c₁	52	mm	distanza max fessure		
	diametro barre 1° strato	∅₁	24	mm	S_{r,max}	370	mm
	numero barre 1° strato	n₁	5.000		ampiezza fessure:		
	pos. baric. 2° strato	c₂		mm	w_k	0.074	mm
	diametro barre 2° strato	∅₂		mm	w_{lim}	0.200	mm
	numero barre 2° strato	n₂	5.000		La verifica è soddisfatta.		
	distanza lembo compresso-lembo teso della sezione	d	1148	mm			
		b_{eff}	200	mm			
	posizione asse neutro da lembo compresso	x	290	mm			
	Tensione massima barre 1° strato	σ_{s,max1}	68.6	Mpa			
	Tensione massima barre 2° strato	σ_{s,max2}		Mpa			
	altezza efficace	h_{c,eff}	130.0	mm			
	area efficace relativamente ad una singola barre	A_{c,eff}	26000	mm ²			
	percentuale di armatura relativa a A _{c,eff}	ρ_{p,eff}	0.017				
	(0.6 carichi brevi; 0.4 lunga durata)	k_t	0.6				
	(0.8 barre ad. migliorata; 1.6 lisce)	k₁	0.8				
	(0.5 per flessione; 1 trazione)	k₂	0.5				
		k₃	3.4				
		k₄	0.425				

Le aperture delle fessure rientrano nei limiti stabiliti per condizioni ambientali aggressive ($w_1=0.2\text{mm}$).

  	ITINERARIO NAPOLI – BARI RADDOPPIO TRATTA CANCELLO – BENEVENTO I° LOTTO FUNZIONALE CANCELLO - FRASSO TELESINO E VARIANTE ALLA LINEA ROMA-NAPOLI VIA CASSINO NEL COMUNE DI MADDALONI – PROGETTO ESECUTIVO												
Viadotto Rio Secco VI05A- Opera di approccio al Viadotto Rio Secco: Relazione di calcolo	<table border="1"> <tr> <td>COMMESSA</td> <td>LOTTO</td> <td>CODIFICA</td> <td>DOCUMENTO</td> <td>REV.</td> <td>FOGLIO</td> </tr> <tr> <td>IF1N</td> <td>01</td> <td>E ZZ CL</td> <td>VI 05 20 001</td> <td>B</td> <td>105 di 132</td> </tr> </table>	COMMESSA	LOTTO	CODIFICA	DOCUMENTO	REV.	FOGLIO	IF1N	01	E ZZ CL	VI 05 20 001	B	105 di 132
COMMESSA	LOTTO	CODIFICA	DOCUMENTO	REV.	FOGLIO								
IF1N	01	E ZZ CL	VI 05 20 001	B	105 di 132								

VERIFICA A FESSURAZIONE - LONGITUDINALE

La verifica a fessurazione in mezzeria della soletta verrà condotta con le sollecitazioni massime, dedotte dall'involuppo delle combinazioni SLE riportate in allegato.

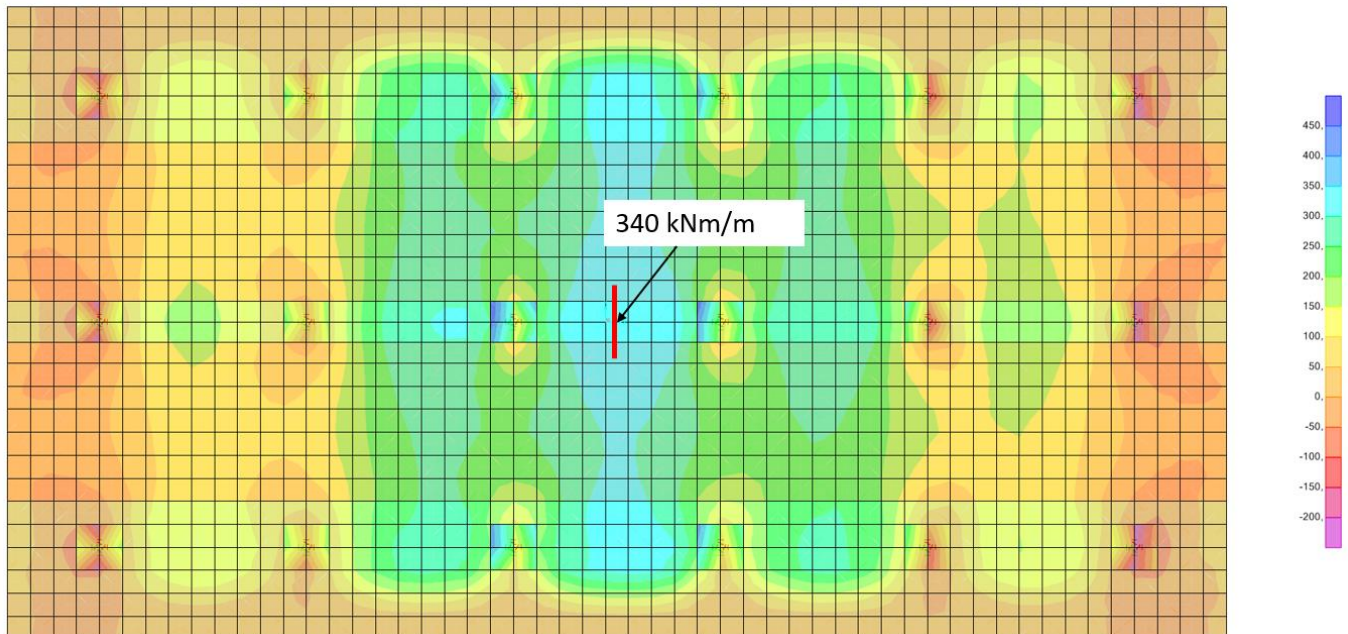


Figura 48- Involuppo SLE - M11 max

Verifica C.A. S.L.U. - File: SLE_STR3

File | Materiali | Opzioni | Visualizza | Progetto Sez. Rett. | Sismica | Normativa: NTC 2008

Titolo: _____

N° figure elementari: 1 | Zoom | N° strati barre: 2 | Zoom

N°	b [cm]	h [cm]	N°	As [cm²]	d [cm]
1	100	120	1	45,24	112,4
			2	45,24	7,6

Tipo Sezione: Rettan.re Trapezi
 a T Circolare
 Rettangoli Coord.

Sollecitazioni: S.L.U. | Metodo n

N_{Ed}: 0 kN | M_{xEd}: 0 kNm | M_{yEd}: 0 kNm

P.to applicazione N: Centro Baricentro cls
 Coord.[cm] | xN: 0 | yN: 0

Metodo di calcolo: S.L.U.+ S.L.U.- Metodo n

Materiali: B450C | C32/40

ϵ_{su} : 67,5 ‰	ϵ_{c2} : 2 ‰	σ_c : -1,688 N/mm ²
f_{yd} : 391,3 N/mm ²	ϵ_{cu} : 3,5 ‰	σ_s : 72,78 N/mm ²
E_s : 200 000 N/mm ²	f_{cd} : 18,13	ϵ_s : 0,3639 ‰
E_s/E_c : 15	f_{cc}/f_{cd} : 0,8	d: 112,4 cm
ϵ_{syd} : 1,957 ‰	$\sigma_{c,adm}$: 12,25	x: 29,01 x/d: 0,2581
$\sigma_{s,adm}$: 255 N/mm ²	τ_{co} : 0,7333	δ : 0,7626
	τ_{c1} : 2,114	

Verifica | N° iterazioni: 4 | Precompresso

   	ITINERARIO NAPOLI – BARI RADDOPPIO TRATTA CANCELLO – BENEVENTO I° LOTTO FUNZIONALE CANCELLO - FRASSO TELESINO E VARIANTE ALLA LINEA ROMA-NAPOLI VIA CASSINO NEL COMUNE DI MADDALONI – PROGETTO ESECUTIVO												
<i>Viadotto Rio Secco</i> <i>VI05A- Opera di approccio al Viadotto Rio Secco:</i> <i>Relazione di calcolo</i>	<table border="1"> <tr> <td>COMMESSA</td> <td>LOTTO</td> <td>CODIFICA</td> <td>DOCUMENTO</td> <td>REV.</td> <td>FOGLIO</td> </tr> <tr> <td>IF1N</td> <td>01</td> <td>E ZZ CL</td> <td>VI 05 20 001</td> <td>B</td> <td>106 di 132</td> </tr> </table>	COMMESSA	LOTTO	CODIFICA	DOCUMENTO	REV.	FOGLIO	IF1N	01	E ZZ CL	VI 05 20 001	B	106 di 132
COMMESSA	LOTTO	CODIFICA	DOCUMENTO	REV.	FOGLIO								
IF1N	01	E ZZ CL	VI 05 20 001	B	106 di 132								

INPUT		
R_{ck}	40	Mpa
h	1200	mm
c_1	76	mm
\varnothing_1	24	mm
n_1	5.000	
c_2		mm
\varnothing_2		mm
n_2	5.000	
d	1124	mm
b_{eff}	200	mm
x	290	mm
σ_{s_max1}	73	Mpa
σ_{s_max2}		Mpa
$h_{c,eff}$	190.0	mm
$A_{c,eff}$	38000	mm ²
$\rho_{p,eff}$	0.012	
k_t	0.6	
k_1	0.8	
k_2	0.5	
k_3	3.4	
k_4	0.425	

OUTPUT	
diff. def. armature-clc	
$\epsilon_{sm} - \epsilon_{cm}$	2.13E-04 -
distanza max fessure	
$s_{r,max}$	560 mm
ampiezza fessure:	
w_k	0.119 mm
w_{lim}	0.200 mm
La verifica è soddisfatta.	

Le aperture delle fessure rientrano nei limiti stabiliti per condizioni ambientali aggressive ($w_1=0.2\text{mm}$).

	ITINERARIO NAPOLI – BARI RADDOPPIO TRATTA CANCELLO – BENEVENTO I° LOTTO FUNZIONALE CANCELLO - FRASSO TELESINO E VARIANTE ALLA LINEA ROMA-NAPOLI VIA CASSINO NEL COMUNE DI MADDALONI – PROGETTO ESECUTIVO												
Viadotto Rio Secco VI05A- Opera di approccio al Viadotto Rio Secco: Relazione di calcolo	<table border="1"> <tr> <td>COMMESSA</td> <td>LOTTO</td> <td>CODIFICA</td> <td>DOCUMENTO</td> <td>REV.</td> <td>FOGLIO</td> </tr> <tr> <td>IF1N</td> <td>01</td> <td>E ZZ CL</td> <td>VI 05 20 001</td> <td>B</td> <td>107 di 132</td> </tr> </table>	COMMESSA	LOTTO	CODIFICA	DOCUMENTO	REV.	FOGLIO	IF1N	01	E ZZ CL	VI 05 20 001	B	107 di 132
COMMESSA	LOTTO	CODIFICA	DOCUMENTO	REV.	FOGLIO								
IF1N	01	E ZZ CL	VI 05 20 001	B	107 di 132								

8.1.2 SOLETTA - INCASTRO

VERIFICA A FESSURAZIONE – TRASVERSALE

La verifica a fessurazione all'incastro della soletta verrà condotta con le sollecitazioni massime, dedotte dall'involuppo delle combinazioni SLE riportate in allegato.

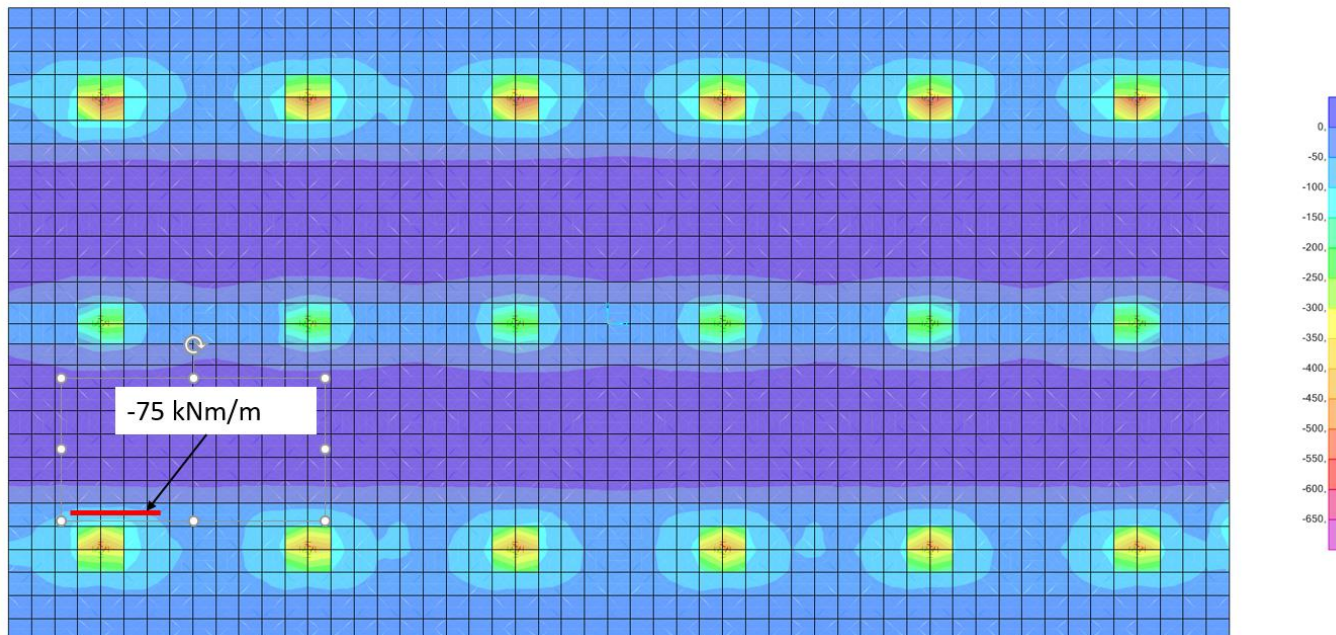


Figura 49 - Involuppo SLE - M22 min

Verifica C.A. S.L.U. - File: SLE_STR2

File Materiali Opzioni Visualizza Progetto Sez. Rett. Sismica Normativa: NTC 2008

Titolo: _____

N° figure elementari 1 Zoom N° strati barre 2 Zoom

N°	b [cm]	h [cm]	N°	As [cm²]	d [cm]
1	100	120	1	45,24	114,8
			2	45,24	5,2

Tipo Sezione
 Rettan.re Trapezi
 a T Circolare
 Rettangoli Coord.

Sollecitazioni
 S.L.U. Metodo n

N_{Ed} 0 0 kN
 M_{xEd} 0 -75 kNm
 M_{yEd} 0 0

P.to applicazione N
 Centro Baricentro cls
 Coord.[cm] xN 0 yN 0

Metodo di calcolo
 S.L.U.+ S.L.U.-
 Metodo n

Materiali

B450C	C32/40
ϵ_{su} 67,5 ‰	ϵ_{c2} 2 ‰
f_{yd} 391,3 N/mm ²	ϵ_{cu} 3,5 ‰
E_s 200 000 N/mm ²	f_{cd} 18,13
E_g/E_c 15	f_{oc}/f_{od} 0,8
ϵ_{syd} 1,957 ‰	$\sigma_{c,adm}$ 12,25
$\sigma_{s,adm}$ 255 N/mm ²	τ_{co} 0,7333
	τ_{c1} 2,114

σ_c -0,3513 N/mm²
 σ_s 15,59 N/mm²
 ϵ_s 0,07793 ‰
 d 114,8 cm
 x 29,01 x/d 0,2527
 δ 0,7558

Verifica N° iterazioni: 4

Precompresso

  	ITINERARIO NAPOLI – BARI RADDOPPIO TRATTA CANCELLO – BENEVENTO 1° LOTTO FUNZIONALE CANCELLO - FRASSO TELESINO E VARIANTE ALLA LINEA ROMA-NAPOLI VIA CASSINO NEL COMUNE DI MADDALONI – PROGETTO ESECUTIVO												
<i>Viadotto Rio Secco</i> <i>VI05A- Opera di approccio al Viadotto Rio Secco:</i> <i>Relazione di calcolo</i>	<table border="1"> <tr> <td>COMMESSA</td> <td>LOTTO</td> <td>CODIFICA</td> <td>DOCUMENTO</td> <td>REV.</td> <td>FOGLIO</td> </tr> <tr> <td>IF1N</td> <td>01</td> <td>E ZZ CL</td> <td>VI 05 20 001</td> <td>B</td> <td>108 di 132</td> </tr> </table>	COMMESSA	LOTTO	CODIFICA	DOCUMENTO	REV.	FOGLIO	IF1N	01	E ZZ CL	VI 05 20 001	B	108 di 132
COMMESSA	LOTTO	CODIFICA	DOCUMENTO	REV.	FOGLIO								
IF1N	01	E ZZ CL	VI 05 20 001	B	108 di 132								

		INPUT			OUTPUT		
	R_{ck}	40	Mpa	diff. def. armature-cls			
dimensione	h	1200	mm	$\epsilon_{sm} - \epsilon_{cm}$	4.54E-05	-	
pos. baric. 1° strato	c_1	52	mm	distanza max fessure			
diametro barre 1° strato	ϕ_1	24	mm	$S_{r,max}$	370	mm	
numero barre 1° strato	n_1	5.000		ampiezza fessure:			
pos. baric. 2° strato	c_2		mm	w_k	0.017	mm	
diametro barre 2° strato	ϕ_2		mm	w_{lim}	0.200	mm	
numero barre 2° strato	n_2	5.000		La verifica è soddisfatta.			
distanza lembo compresso-lembo teso della sezione	d	1148	mm				
	b_{eff}	200	mm				
posizione asse neutro da lembo compresso	x	290	mm				
Tensione massima barre 1° strato	$\sigma_{s,max1}$	15.6	Mpa				
Tensione massima barre 2° strato	$\sigma_{s,max2}$		Mpa				
altezza efficace	$h_{c,eff}$	130.0	mm				
area efficace relativamente ad una singola barre	$A_{c,eff}$	26000	mm ²				
percentuale di armatura relativa a $A_{c,eff}$	$\rho_{p,eff}$	0.017					
(0.6 carichi brevi; 0.4 lunga durata)	k_t	0.6					
(0.8 barre ad. migliorata; 1.6 lisce)	k_1	0.8					
(0.5 per flessione; 1 trazione)	k_2	0.5					
	k_3	3.4					
	k_4	0.425					

Le aperture delle fessure rientrano nei limiti stabiliti per condizioni ambientali aggressive ($w_1=0.2\text{mm}$).

  	ITINERARIO NAPOLI – BARI RADDOPPIO TRATTA CANCELLO – BENEVENTO I° LOTTO FUNZIONALE CANCELLO - FRASSO TELESINO E VARIANTE ALLA LINEA ROMA-NAPOLI VIA CASSINO NEL COMUNE DI MADDALONI – PROGETTO ESECUTIVO												
Viadotto Rio Secco VI05A- Opera di approccio al Viadotto Rio Secco: Relazione di calcolo	<table border="1"> <tr> <td>COMMESSA</td> <td>LOTTO</td> <td>CODIFICA</td> <td>DOCUMENTO</td> <td>REV.</td> <td>FOGLIO</td> </tr> <tr> <td>IF1N</td> <td>01</td> <td>E ZZ CL</td> <td>VI 05 20 001</td> <td>B</td> <td>109 di 132</td> </tr> </table>	COMMESSA	LOTTO	CODIFICA	DOCUMENTO	REV.	FOGLIO	IF1N	01	E ZZ CL	VI 05 20 001	B	109 di 132
COMMESSA	LOTTO	CODIFICA	DOCUMENTO	REV.	FOGLIO								
IF1N	01	E ZZ CL	VI 05 20 001	B	109 di 132								

VERIFICA A FESSURAZIONE – LONGITUDINALE

La verifica a fessurazione all'incastro della soletta verrà condotta con le sollecitazioni massime, dedotte dall'involuppo delle combinazioni SLE riportate in allegato.

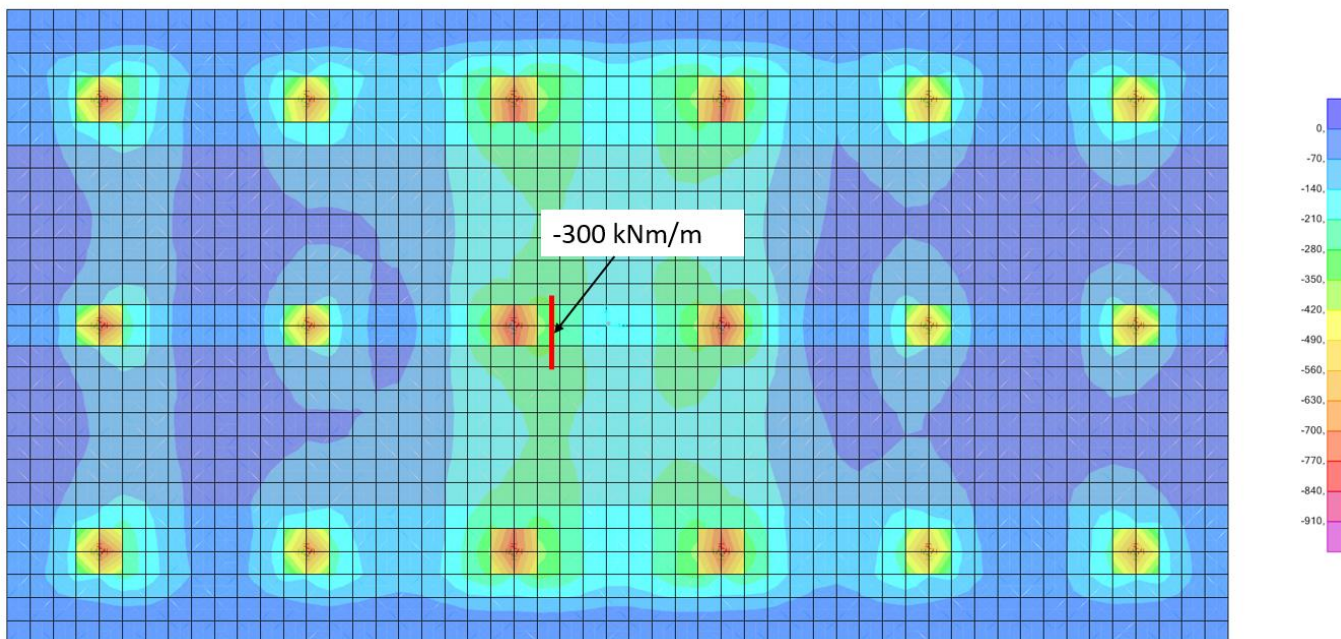


Figura 50- Involuppo SLE- M11 min

Verifica C.A. S.L.U. - File: SLE_STR4

File Materiali Opzioni Visualizza Progetto Sez. Rett. Sismica Normativa: NTC 2008

Titolo: _____

N° figure elementari: 1 Zoom N° strati barre: 2 Zoom

N°	b [cm]	h [cm]	N°	As [cm²]	d [cm]
1	100	120	1	45,24	112,4
			2	45,24	7,6

Tipo Sezione: Rettan.re Trapezi
 a T Circolare
 Rettangoli Coord.

Sollecitazioni: S.L.U. Metodo n

N_{Ed}: 0 kN
M_{xEd}: 0 kNm
M_{yEd}: 0 kNm

P.to applicazione N: Centro Baricentro cls
 Coord.[cm] xN: 0 yN: 0

Metodo di calcolo: S.L.U.+ S.L.U.- Metodo n

Materiali: B450C C32/40

ε _{su} : 67,5 ‰	ε _{c2} : 2 ‰	σ _c : -1,489 N/mm²
f _{yd} : 391,3 N/mm²	ε _{cu} : 3,5 ‰	σ _s : 64,22 N/mm²
E _s : 200 000 N/mm²	f _{cd} : 18,13	ε _s : 0,3211 ‰
E _s /E _c : 15	f _{cc} /f _{cd} : 0,8	d: 112,4 cm
ε _{syd} : 1,957 ‰	σ _{c,adm} : 12,25	x: 29,01 x/d: 0,2581
σ _{s,adm} : 255 N/mm²	τ _{co} : 0,7333	δ: 0,7626
	τ _{c1} : 2,114	

Verifica N° iterazioni: 4

Precompresso

  	ITINERARIO NAPOLI – BARI RADDOPPIO TRATTA CANCELLO – BENEVENTO I° LOTTO FUNZIONALE CANCELLO - FRASSO TELESINO E VARIANTE ALLA LINEA ROMA-NAPOLI VIA CASSINO NEL COMUNE DI MADDALONI – PROGETTO ESECUTIVO												
<i>Viadotto Rio Secco</i> <i>VI05A- Opera di approccio al Viadotto Rio Secco:</i> <i>Relazione di calcolo</i>	<table border="1"> <tr> <td>COMMESSA</td> <td>LOTTO</td> <td>CODIFICA</td> <td>DOCUMENTO</td> <td>REV.</td> <td>FOGLIO</td> </tr> <tr> <td>IF1N</td> <td>01</td> <td>E ZZ CL</td> <td>VI 05 20 001</td> <td>B</td> <td>110 di 132</td> </tr> </table>	COMMESSA	LOTTO	CODIFICA	DOCUMENTO	REV.	FOGLIO	IF1N	01	E ZZ CL	VI 05 20 001	B	110 di 132
COMMESSA	LOTTO	CODIFICA	DOCUMENTO	REV.	FOGLIO								
IF1N	01	E ZZ CL	VI 05 20 001	B	110 di 132								

INPUT		
R_{ck}	40	Mpa
h	1200	mm
c_1	76	mm
\varnothing_1	24	mm
n_1	5.000	
c_2		mm
\varnothing_2		mm
n_2	5.000	
d	1124	mm
b_{eff}	200	mm
x	290	mm
σ_{s_max1}	64	Mpa
σ_{s_max2}		Mpa
$h_{c,eff}$	190.0	mm
$A_{c,eff}$	38000	mm ²
$\rho_{p,eff}$	0.012	
k_t	0.6	
k_1	0.8	
k_2	0.5	
k_3	3.4	
k_4	0.425	

OUTPUT	
diff. def. armature-cls	
$\epsilon_{sm} - \epsilon_{cm}$	1.86E-04 -
distanza max fessure	
$s_{r,max}$	560 mm
ampiezza fessure:	
w_k	0.104 mm
w_{lim}	0.200 mm
La verifica è soddisfatta.	

	ITINERARIO NAPOLI – BARI RADDOPPIO TRATTA CANCELLO – BENEVENTO 1° LOTTO FUNZIONALE CANCELLO - FRASSO TELESINO E VARIANTE ALLA LINEA ROMA-NAPOLI VIA CASSINO NEL COMUNE DI MADDALONI – PROGETTO ESECUTIVO												
<i>Viadotto Rio Secco</i> <i>VI05A- Opera di approccio al Viadotto Rio Secco:</i> <i>Relazione di calcolo</i>	<table border="1"> <tr> <td>COMMESSA</td> <td>LOTTO</td> <td>CODIFICA</td> <td>DOCUMENTO</td> <td>REV.</td> <td>FOGLIO</td> </tr> <tr> <td>IF1N</td> <td>01</td> <td>E ZZ CL</td> <td>VI 05 20 001</td> <td>B</td> <td>111 di 132</td> </tr> </table>	COMMESSA	LOTTO	CODIFICA	DOCUMENTO	REV.	FOGLIO	IF1N	01	E ZZ CL	VI 05 20 001	B	111 di 132
COMMESSA	LOTTO	CODIFICA	DOCUMENTO	REV.	FOGLIO								
IF1N	01	E ZZ CL	VI 05 20 001	B	111 di 132								

8.1.3 PALI- ELEVAZIONE

La verifica a fessurazione dei pali è effettuata con la combinazione dei carichi in condizione di esercizio che risulta la più gravosa. Sono riportati di seguito soltanto i valori per queste combinazioni. I risultati sono dati con maggiori dettagli nell'allegato a questa relazione di calcolo.

Palo 1

Combinazione determinante:

SLE_STR_061

Verifica C.A. S.L.U. - File: palo1500_24fi24+24fi24_fess1

File Materiali Opzioni Visualizza Progetto Sez. Rett. Sismica Normativa: DM 1996 ?

Titolo :

Sezione circolare cava

Raggio esterno: 750 [mm]
 Raggio interno: 0 [mm]
 N° barre uguali: 0
 Diametro barre: 0 [mm]
 Copriferro (baric.): 0 [mm]

N° barre: 48 Zoom

N°	As [mm²]	x [mm]	y [mm]
1	452	0	664
2	452	172	641
3	452	332	575
4	452	470	470
5	452	575	332
6	452	641	172

Tipo Sezione:
 Rettan.re Trapezi
 a T Circolare
 Rettangoli Coord.

Sollecitazioni: S.L.U. Metodo n

N_{Ed}: 0 1027 kN
 M_{xEd}: 0 482 kNm
 M_{yEd}: 0 566

P.to applicazione N:
 Centro Baricentro cls
 Coord.[mm] xN: 0 yN: 0

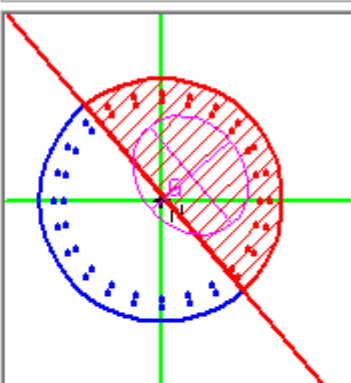
Metodo di calcolo:
 S.L.U.+ S.L.U.-
 Metodo n

Materiali: B450C C32/40

ε_{su}: 10 ‰ ε_{c2}: 2 ‰
 f_{yd}: 391.3 N/mm² ε_{cu}: 3.5
 E_s: 200 000 N/mm² f_{cd}: 17
 E_s/E_c: 15 f_{cc}/f_{cd}: 0.8
 ε_{syd}: 1.957 ‰ σ_{c,adm}: 12.25
 σ_{s,adm}: 255 N/mm² τ_{co}: 0.7333
 τ_{c1}: 2.114

σ_c: -2,948 N/mm²
 σ_s: 41,65 N/mm²
 ε_s: 0,2082 ‰
 d: 1 412 mm
 x: 727.4 x/d: 0,515
 δ: 1

Vertici: 50
 Verifica
 N° iterazioni: 4
 Precompresso



Viadotto Rio Secco
VI05A- Opera di approccio al Viadotto Rio Secco:
Relazione di calcolo

COMMESSA	LOTTO	CODIFICA	DOCUMENTO	REV.	FOGLIO
IF1N	01	E ZZ CL	VI 05 20 001	B	112 di 132

INPUT		
R_{ck}	40	Mpa
h	1500	mm
c_1	72	mm
\varnothing_1	24	mm
n_1	5.999	
c_2	140	mm
\varnothing_2	24	mm
n_2	5.999	
d	1394	mm
b_{eff}	167	mm
x	727	mm
σ_{s_max1}	42	Mpa
σ_{s_max2}	42	Mpa
$h_{c,eff}$	258	mm
$A_{c,eff}$	42948	mm ²
$\rho_{p,eff}$	0.021	
k_t	0.6	
k_1	0.8	
k_2	0.5	
k_3	3.4	
k_4	0.425	

OUTPUT		
diff. def. armature-cls		
$\epsilon_{sm} - \epsilon_{cm}$	1.22E-04	-
distanza max fessure		
$s_{r,max}$	577	mm
ampiezza fessure:		
w_k	0.071	mm
w_{lim}	0.200	mm
La verifica è soddisfatta.		

  	ITINERARIO NAPOLI – BARI RADDOPPIO TRATTA CANCELLO – BENEVENTO 1° LOTTO FUNZIONALE CANCELLO - FRASSO TELESINO E VARIANTE ALLA LINEA ROMA-NAPOLI VIA CASSINO NEL COMUNE DI MADDALONI – PROGETTO ESECUTIVO												
<i>Viadotto Rio Secco</i> <i>VI05A- Opera di approccio al Viadotto Rio Secco:</i> <i>Relazione di calcolo</i>	<table border="1"> <tr> <td>COMMESSA</td> <td>LOTTO</td> <td>CODIFICA</td> <td>DOCUMENTO</td> <td>REV.</td> <td>FOGLIO</td> </tr> <tr> <td>IF1N</td> <td>01</td> <td>E ZZ CL</td> <td>VI 05 20 001</td> <td>B</td> <td>113 di 132</td> </tr> </table>	COMMESSA	LOTTO	CODIFICA	DOCUMENTO	REV.	FOGLIO	IF1N	01	E ZZ CL	VI 05 20 001	B	113 di 132
COMMESSA	LOTTO	CODIFICA	DOCUMENTO	REV.	FOGLIO								
IF1N	01	E ZZ CL	VI 05 20 001	B	113 di 132								

Palo 2

Combinazione determinante:
SLE_STR_061

Verifica C.A. S.L.U. - File: palo1500_24fi24+24fi24_fess2

File Materiali Opzioni Visualizza Progetto Sez. Rett. Sismica Normativa: DM 1996 ?

Titolo : _____

Sezione circolare cava

Raggio esterno: 750 [mm]
Raggio interno: 0 [mm]
N° barre uguali: 0
Diametro barre: 0 [mm]
Copriferro (baric.): 0 [mm]

N° barre: 48 Zoom

N°	As [mm²]	x [mm]	y [mm]
1	452	0	664
2	452	172	641
3	452	332	575
4	452	470	470
5	452	575	332
6	452	641	172

Tipo Sezione

Rettan.re Trapezi
 a T Circolare
 Rettangoli Coord.

Sollecitazioni

S.L.U. Metodo n

N_{Ed}: 0 999 kN
M_{xEd}: 0 298 kNm
M_{yEd}: 0 588

P.to applicazione N

Centro Baricentro cls
 Coord.[mm] xN: 0 yN: 0

Metodo di calcolo

S.L.U.+ S.L.U.-
 Metodo n

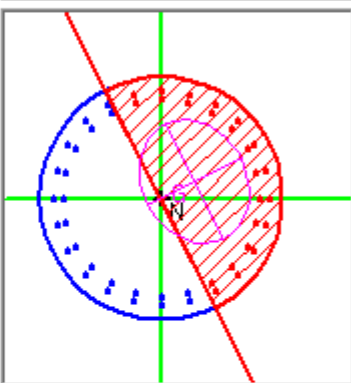
Materiali

B450C C32/40

ε_{su}: 10 ‰ ε_{c2}: 2 ‰
f_{yd}: 391,3 N/mm² ε_{cu}: 3,5 ‰
E_s: 200 000 N/mm² f_{cd}: 17
E_s/E_c: 15 f_{cc}/f_{cd}: 0,8
ε_{syd}: 1,957 ‰ σ_{c,adm}: 12,25
σ_{s,adm}: 255 N/mm² τ_{co}: 0,7333
τ_{c1}: 2,114

σ_c: -2,601 N/mm²
σ_s: 33,6 N/mm²
ε_s: 0,168 ‰
d: 1 413 mm
x: 759 x/d: 0,5373
δ: 1

Vertici: 50
Verifica
N° iterazioni: 4
 Precompresso



Viadotto Rio Secco
VI05A- Opera di approccio al Viadotto Rio Secco:
Relazione di calcolo

COMMESSA	LOTTO	CODIFICA	DOCUMENTO	REV.	FOGLIO
IF1N	01	E ZZ CL	VI 05 20 001	B	114 di 132

INPUT		
R_{ck}	40	Mpa
h	1500	mm
c_1	72	mm
\varnothing_1	24	mm
n_1	5.999	
c_2	140	mm
\varnothing_2	24	mm
n_2	5.999	
d	1394	mm
b_{eff}	167	mm
x	759	mm
σ_{s_max1}	34	Mpa
σ_{s_max2}	34	Mpa
$h_{c,eff}$	247	mm
$A_{c,eff}$	41170	mm ²
$\rho_{p,eff}$	0.022	
k_t	0.6	
k_1	0.8	
k_2	0.5	
k_3	3.4	
k_4	0.425	

OUTPUT	
diff. def. armature-cls	
$\epsilon_{sm} - \epsilon_{cm}$	9.79E-05 -
distanza max fessure	
$s_{r,max}$	565 mm
ampiezza fessure:	
w_k	0.055 mm
w_{lim}	0.200 mm
La verifica è soddisfatta.	

  	ITINERARIO NAPOLI – BARI RADDOPPIO TRATTA CANCELLO – BENEVENTO I° LOTTO FUNZIONALE CANCELLO - FRASSO TELESINO E VARIANTE ALLA LINEA ROMA-NAPOLI VIA CASSINO NEL COMUNE DI MADDALONI – PROGETTO ESECUTIVO												
Viadotto Rio Secco VI05A- Opera di approccio al Viadotto Rio Secco: Relazione di calcolo	<table border="1"> <tr> <td>COMMESSA</td> <td>LOTTO</td> <td>CODIFICA</td> <td>DOCUMENTO</td> <td>REV.</td> <td>FOGLIO</td> </tr> <tr> <td>IF1N</td> <td>01</td> <td>E ZZ CL</td> <td>VI 05 20 001</td> <td>B</td> <td>115 di 132</td> </tr> </table>	COMMESSA	LOTTO	CODIFICA	DOCUMENTO	REV.	FOGLIO	IF1N	01	E ZZ CL	VI 05 20 001	B	115 di 132
COMMESSA	LOTTO	CODIFICA	DOCUMENTO	REV.	FOGLIO								
IF1N	01	E ZZ CL	VI 05 20 001	B	115 di 132								

Palo 3

Combinazione determinante:

SLE_STR_024

Verifica C.A. S.L.U. - File: palo1500_24fi24+24fi24_fess3

File Materiali Opzioni Visualizza Progetto Sez. Rett. Sismica Normativa: DM 1996

Titolo : _____

Sezione circolare cava

Raggio esterno: 750 [mm]

Raggio interno: 0 [mm]

N° barre uguali: 0

Diametro barre: 0 [mm]

Copriferro (baric.): 0 [mm]

N° barre: Zoom

N°	As [mm²]	x [mm]	y [mm]
1	452	0	664
2	452	172	641
3	452	332	575
4	452	470	470
5	452	575	332
6	452	641	172

Sollecitazioni

S.L.U. Metodo n

N _{Ed}	<input type="text" value="0"/>	<input type="text" value="959"/> kN
M _{xEd}	<input type="text" value="0"/>	<input type="text" value="-67"/> kNm
M _{yEd}	<input type="text" value="0"/>	<input type="text" value="635"/>

P.to applicazione N

Centro Baricentro cls

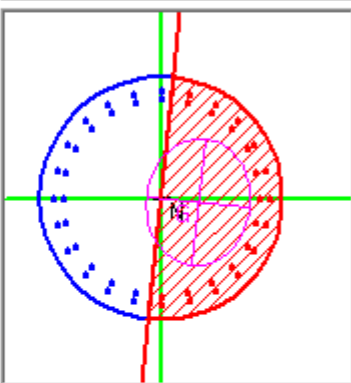
Coord.[mm] xN: yN:

Tipo Sezione

Rettan.re Trapezi

a T Circolare

Rettangoli Coord.



Materiali

B450C	C32/40
ϵ_{su} 10 ‰	ϵ_{c2} 2 ‰
f_{yd} 391,3 N/mm²	ϵ_{cu} 3,5 ‰
E_s 200 000 N/mm²	f_{cd} 17
E_s/E_c 15	f_{cc}/f_{cd} 0,8
ϵ_{syd} 1,957 ‰	$\sigma_{c,adm}$ 12,25
$\sigma_{s,adm}$ 255 N/mm²	τ_{co} 0,7333
	τ_{c1} 2,114

σ_c N/mm²

σ_s N/mm²

ϵ_s ‰

d mm

x x/d

δ

Metodo di calcolo

S.L.U.+ S.L.U.-

Metodo n

Vertici:

Verifica

N° iterazioni:

Precompresso

ITINERARIO NAPOLI – BARI

RADDOPPIO TRATTA CANCELLO – BENEVENTO

I° LOTTO FUNZIONALE CANCELLO - FRASSO TELESINO E
VARIANTE ALLA LINEA ROMA-NAPOLI VIA CASSINO NEL
COMUNE DI MADDALONI – PROGETTO ESECUTIVO

Viadotto Rio Secco
VI05A- Opera di approccio al Viadotto Rio Secco:
Relazione di calcolo

COMMESSA	LOTTO	CODIFICA	DOCUMENTO	REV.	FOGLIO
IF1N	01	E ZZ CL	VI 05 20 001	B	116 di 132

INPUT		
R_{ck}	40	Mpa
h	1500	mm
c_1	72	mm
\varnothing_1	24	mm
n_1	5.999	
c_2	140	mm
\varnothing_2	24	mm
n_2	5.999	
d	1394	mm
b_{eff}	167	mm
x	755	mm
$\sigma_{s,max1}$	33	Mpa
$\sigma_{s,max2}$	33	Mpa
$h_{c,eff}$	248	mm
$A_{c,eff}$	41393	mm ²
$\rho_{p,eff}$	0.022	
k_t	0.6	
k_1	0.8	
k_2	0.5	
k_3	3.4	
k_4	0.425	

OUTPUT	
diff. def. armature-clc	
$\epsilon_{sm} - \epsilon_{cm}$	9.61E-05 -
distanza max fessure	
$s_{r,max}$	567 mm
ampiezza fessure:	
w_k	0.054 mm
w_{lim}	0.200 mm
La verifica è soddisfatta.	

  	ITINERARIO NAPOLI – BARI RADDOPPIO TRATTA CANCELLO – BENEVENTO I° LOTTO FUNZIONALE CANCELLO - FRASSO TELESINO E VARIANTE ALLA LINEA ROMA-NAPOLI VIA CASSINO NEL COMUNE DI MADDALONI – PROGETTO ESECUTIVO												
<i>Viadotto Rio Secco</i> <i>VI05A- Opera di approccio al Viadotto Rio Secco:</i> <i>Relazione di calcolo</i>	<table border="1"> <tr> <td>COMMESSA</td> <td>LOTTO</td> <td>CODIFICA</td> <td>DOCUMENTO</td> <td>REV.</td> <td>FOGLIO</td> </tr> <tr> <td>IF1N</td> <td>01</td> <td>E ZZ CL</td> <td>VI 05 20 001</td> <td>B</td> <td>117 di 132</td> </tr> </table>	COMMESSA	LOTTO	CODIFICA	DOCUMENTO	REV.	FOGLIO	IF1N	01	E ZZ CL	VI 05 20 001	B	117 di 132
COMMESSA	LOTTO	CODIFICA	DOCUMENTO	REV.	FOGLIO								
IF1N	01	E ZZ CL	VI 05 20 001	B	117 di 132								

Palo 10

Combinazione determinante:
SLE_STR_068

Verifica C.A. S.L.U. - File: palo1500_24fi24+24fi24_fess10

File Materiali Opzioni Visualizza Progetto Sez. Rett. Sismica Normativa: DM 1996 ?

Titolo : _____

Sezione circolare cava

Raggio esterno: 750 [mm]
Raggio interno: 0 [mm]
N° barre uguali: 0
Diametro barre: 0 [mm]
Copriferro (baric.): 0 [mm]

N° barre: 48 Zoom

N°	As [mm²]	x [mm]	y [mm]
1	452	0	664
2	452	172	641
3	452	332	575
4	452	470	470
5	452	575	332
6	452	641	172

Tipo Sezione

Rettan.re Trapezi
 a T Circolare
 Rettangoli Coord.

Sollecitazioni

S.L.U. Metodo n

N_{Ed}: 0 1245 kN
M_{xEd}: 0 565 kNm
M_{yEd}: 0 -316

P.to applicazione N

Centro Baricentro cls
 Coord.[mm] xN: 0 yN: 0

Metodo di calcolo

S.L.U.+ S.L.U.-
 Metodo n

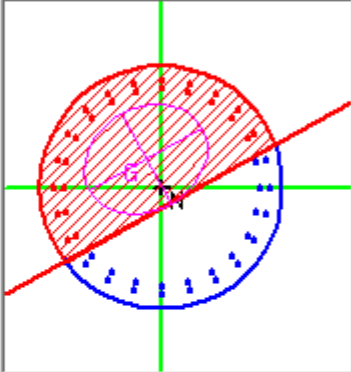
Materiali

B450C C32/40

ε_{su}: 10 ‰ ε_{c2}: 2 ‰
f_{yd}: 391,3 N/mm² ε_{cu}: 3,5 ‰
E_s: 200 000 N/mm² f_{cd}: 17
E_s/E_c: 15 f_{cc}/f_{cd}: 0,8
ε_{syd}: 1,957 ‰ σ_{c,adm}: 12,25
σ_{s,adm}: 255 N/mm² τ_{co}: 0,7333
τ_{c1}: 2,114

σ_c: -2,528 N/mm²
σ_s: 24,29 N/mm²
ε_s: 0,1214 ‰
d: 1 414 mm
x: 861,8 x/d: 0,6095
δ: 1

Vertici: 50
Verifica
N° iterazioni: 4
 Precompresso



  	ITINERARIO NAPOLI – BARI RADDOPPIO TRATTA CANCELLO – BENEVENTO I° LOTTO FUNZIONALE CANCELLO - FRASSO TELESINO E VARIANTE ALLA LINEA ROMA-NAPOLI VIA CASSINO NEL COMUNE DI MADDALONI – PROGETTO ESECUTIVO												
<i>Viadotto Rio Secco</i> <i>VI05A- Opera di approccio al Viadotto Rio Secco:</i> <i>Relazione di calcolo</i>	<table border="1"> <tr> <td>COMMESSA</td> <td>LOTTO</td> <td>CODIFICA</td> <td>DOCUMENTO</td> <td>REV.</td> <td>FOGLIO</td> </tr> <tr> <td>IF1N</td> <td>01</td> <td>E ZZ CL</td> <td>VI 05 20 001</td> <td>B</td> <td>118 di 132</td> </tr> </table>	COMMESSA	LOTTO	CODIFICA	DOCUMENTO	REV.	FOGLIO	IF1N	01	E ZZ CL	VI 05 20 001	B	118 di 132
COMMESSA	LOTTO	CODIFICA	DOCUMENTO	REV.	FOGLIO								
IF1N	01	E ZZ CL	VI 05 20 001	B	118 di 132								

INPUT		
R_{ck}	40	Mpa
h	1500	mm
c_1	72	mm
\varnothing_1	24	mm
n_1	5.999	
c_2	140	mm
\varnothing_2	24	mm
n_2	5.999	
d	1394	mm
b_{eff}	167	mm
x	862	mm
$\sigma_{s,max1}$	24	Mpa
$\sigma_{s,max2}$	24	Mpa
$h_{c,eff}$	213	mm
$A_{c,eff}$	35448	mm ²
$\rho_{p,eff}$	0.026	
k_t	0.6	
k_1	0.8	
k_2	0.5	
k_3	3.4	
k_4	0.425	

OUTPUT	
diff. def. armature-clc	
$\epsilon_{sm} - \epsilon_{cm}$	7.08E-05 -
distanza max fessure	
$S_{r,max}$	529 mm
ampiezza fessure:	
w_k	0.037 mm
w_{lim}	0.200 mm
La verifica è soddisfatta.	

   	ITINERARIO NAPOLI – BARI RADDOPPIO TRATTA CANCELLO – BENEVENTO I° LOTTO FUNZIONALE CANCELLO - FRASSO TELESINO E VARIANTE ALLA LINEA ROMA-NAPOLI VIA CASSINO NEL COMUNE DI MADDALONI – PROGETTO ESECUTIVO												
<i>Viadotto Rio Secco</i> <i>VI05A- Opera di approccio al Viadotto Rio Secco:</i> <i>Relazione di calcolo</i>	<table border="1"> <tr> <td>COMMESSA</td> <td>LOTTO</td> <td>CODIFICA</td> <td>DOCUMENTO</td> <td>REV.</td> <td>FOGLIO</td> </tr> <tr> <td>IF1N</td> <td>01</td> <td>E ZZ CL</td> <td>VI 05 20 001</td> <td>B</td> <td>119 di 132</td> </tr> </table>	COMMESSA	LOTTO	CODIFICA	DOCUMENTO	REV.	FOGLIO	IF1N	01	E ZZ CL	VI 05 20 001	B	119 di 132
COMMESSA	LOTTO	CODIFICA	DOCUMENTO	REV.	FOGLIO								
IF1N	01	E ZZ CL	VI 05 20 001	B	119 di 132								

Palo 11

Combinazione determinante:

SLE_STR_091

Verifica C.A. S.L.U. - File: palo1500_24fi24+24fi24_fess11

File Materiali Opzioni Visualizza Progetto Sez. Rett. Sismica Normativa: DM1996 ?

Titolo : _____

Sezione circolare cava

Raggio esterno: 750 [mm]
 Raggio interno: 0 [mm]
 N° barre uguali: 0
 Diametro barre: 0 [mm]
 Copriferro (baric.): 0 [mm]

N° barre: 48 Zoom

N°	As [mm²]	x [mm]	y [mm]
1	452	0	664
2	452	172	641
3	452	332	575
4	452	470	470
5	452	575	332
6	452	641	172

Tipo Sezione

Rettan.re Trapezi
 a T Circolare
 Rettangoli Coord.

Sollecitazioni

S.L.U. → Metodo n

N_{Ed}: 0 1153 kN
 M_{xEd}: 0 271 kNm
 M_{yEd}: 0 461

P.to applicazione N

Centro Baricentro cls
 Coord.[mm] xN: 0 yN: 0

Metodo di calcolo

S.L.U.+ S.L.U.-
 Metodo n

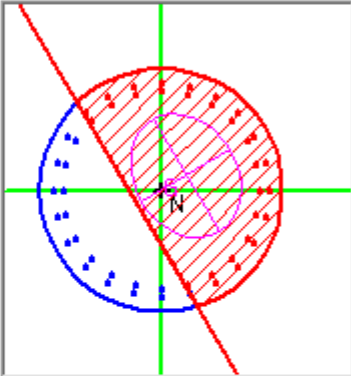
Materiali

B450C C32/40

ε_{su}: 10 ‰ ε_{c2}: 2 ‰
 f_{yd}: 391,3 N/mm² ε_{cu}: 3,5
 E_s: 200 000 N/mm² f_{cd}: 17
 E_s/E_c: 15 f_{cc}/f_{cd}: 0,8
 ε_{syd}: 1,957 ‰ σ_{c,adm}: 12,25
 σ_{s,adm}: 255 N/mm² τ_{co}: 0,7333
 τ_{c1}: 2,114

σ_c: -2,082 N/mm²
 σ_s: 16,65 N/mm²
 ε_s: 0,08323 ‰
 d: 1 414 mm
 x: 922,1 x/d: 0,6524
 δ: 1

Vertici: 50
 Verifica
 N° iterazioni: 4
 Precompresso



Viadotto Rio Secco
VI05A- Opera di approccio al Viadotto Rio Secco:
Relazione di calcolo

COMMESSA	LOTTO	CODIFICA	DOCUMENTO	REV.	FOGLIO
IF1N	01	E ZZ CL	VI 05 20 001	B	120 di 132

INPUT		
R_{ck}	40	Mpa
h	1500	mm
c_1	72	mm
\varnothing_1	24	mm
n_1	5.999	
c_2	140	mm
\varnothing_2	24	mm
n_2	5.999	
d	1394	mm
b_{eff}	167	mm
x	922	mm
$\sigma_{s,max1}$	17	Mpa
$\sigma_{s,max2}$	17	Mpa
$h_{c,eff}$	193	mm
$A_{c,eff}$	32114	mm ²
$\rho_{p,eff}$	0.028	
k_t	0.6	
k_1	0.8	
k_2	0.5	
k_3	3.4	
k_4	0.425	

OUTPUT		
diff. def. armature-clc		
$\epsilon_{sm} - \epsilon_{cm}$	4.95E-05	-
distanza max fessure		
$s_{r,max}$	507	mm
ampiezza fessure:		
w_k	0.025	mm
w_{lim}	0.200	mm
La verifica è soddisfatta.		

   	ITINERARIO NAPOLI – BARI RADDOPPIO TRATTA CANCELLO – BENEVENTO I° LOTTO FUNZIONALE CANCELLO - FRASSO TELESINO E VARIANTE ALLA LINEA ROMA-NAPOLI VIA CASSINO NEL COMUNE DI MADDALONI – PROGETTO ESECUTIVO												
<i>Viadotto Rio Secco</i> <i>VI05A- Opera di approccio al Viadotto Rio Secco:</i> <i>Relazione di calcolo</i>	<table border="1"> <tr> <td>COMMESSA</td> <td>LOTTO</td> <td>CODIFICA</td> <td>DOCUMENTO</td> <td>REV.</td> <td>FOGLIO</td> </tr> <tr> <td>IF1N</td> <td>01</td> <td>E ZZ CL</td> <td>VI 05 20 001</td> <td>B</td> <td>121 di 132</td> </tr> </table>	COMMESSA	LOTTO	CODIFICA	DOCUMENTO	REV.	FOGLIO	IF1N	01	E ZZ CL	VI 05 20 001	B	121 di 132
COMMESSA	LOTTO	CODIFICA	DOCUMENTO	REV.	FOGLIO								
IF1N	01	E ZZ CL	VI 05 20 001	B	121 di 132								

Palo 12

Combinazione determinante:

SLE_STR_028

Verifica C.A. S.L.U. - File: palo1500_24fi24+24fi24_fess12

File Materiali Opzioni Visualizza Progetto Sez. Rett. Sismica Normativa: DM1996 ?

Titolo: _____

Sezione circolare cava

Raggio esterno: 750 [mm]
Raggio interno: 0 [mm]
N° barre uguali: 0
Diametro barre: 0 [mm]
Copriferro (baric.): 0 [mm]

N° barre: 48 Zoom

N°	As [mm²]	x [mm]	y [mm]
1	452	0	664
2	452	172	641
3	452	332	575
4	452	470	470
5	452	575	332
6	452	641	172

Tipo Sezione

Rettan.re Trapezi
 a T Circolare
 Rettangoli Coord.

Sollecitazioni

S.L.U. Metodo n

N _{Ed}	0	1271	kN
M _{xEd}	0	-307	kNm
M _{yEd}	0	-438	

P.to applicazione N

Centro Baricentro cls
 Coord.[mm] xN 0 yN 0

Metodo di calcolo

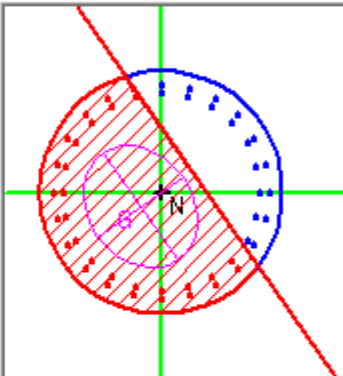
S.L.U.+ S.L.U.-
 Metodo n

Materiali

B450C	C32/40
ϵ_{su} 10 ‰	ϵ_{c2} 2 ‰
f_{yd} 391.3 N/mm²	ϵ_{cu} 3.5
E_s 200 000 N/mm²	f_{cd} 17
E_s/E_c 15	f_{cc}/f_{cd} 0.8 ?
ϵ_{syd} 1.957 ‰	$\sigma_{c,adm}$ 12,25
$\sigma_{s,adm}$ 255 N/mm²	τ_{co} 0,7333
	τ_{c1} 2,114

σ_c -2,085 N/mm²
 σ_s 13,79 N/mm²
 ϵ_s 0,06894 ‰
d 1 411 mm
x 979 x/d 0,694
 δ 1

Vertici: 50
Verifica
N° iterazioni: 4
 Precompresso



Viadotto Rio Secco
VI05A- Opera di approccio al Viadotto Rio Secco:
Relazione di calcolo

COMMESSA	LOTTO	CODIFICA	DOCUMENTO	REV.	FOGLIO
IF1N	01	E ZZ CL	VI 05 20 001	B	122 di 132

INPUT		
R_{ck}	40	Mpa
h	1500	mm
c_1	72	mm
\varnothing_1	24	mm
n_1	5.999	
c_2	140	mm
\varnothing_2	24	mm
n_2	5.999	
d	1394	mm
b_{eff}	167	mm
x	979	mm
$\sigma_{s,max1}$	14	Mpa
$\sigma_{s,max2}$	14	Mpa
$h_{c,eff}$	174	mm
$A_{c,eff}$	28947	mm ²
$\rho_{p,eff}$	0.031	
k_t	0.6	
k_1	0.8	
k_2	0.5	
k_3	3.4	
k_4	0.425	

OUTPUT		
diff. def. armature-clc		
$\epsilon_{sm} - \epsilon_{cm}$	4.08E-05	-
distanza max fessure		
$s_{r,max}$	487	mm
ampiezza fessure:		
w_k	0.020	mm
w_{lim}	0.200	mm
La verifica è soddisfatta.		

  	ITINERARIO NAPOLI – BARI RADDOPPIO TRATTA CANCELLO – BENEVENTO I° LOTTO FUNZIONALE CANCELLO - FRASSO TELESINO E VARIANTE ALLA LINEA ROMA-NAPOLI VIA CASSINO NEL COMUNE DI MADDALONI – PROGETTO ESECUTIVO												
<i>Viadotto Rio Secco</i> <i>VI05A- Opera di appoggio al Viadotto Rio Secco:</i> <i>Relazione di calcolo</i>	<table border="1"> <thead> <tr> <th>COMMESSA</th> <th>LOTTO</th> <th>CODIFICA</th> <th>DOCUMENTO</th> <th>REV.</th> <th>FOGLIO</th> </tr> </thead> <tbody> <tr> <td>IF1N</td> <td>01</td> <td>E ZZ CL</td> <td>VI 05 20 001</td> <td>B</td> <td>123 di 132</td> </tr> </tbody> </table>	COMMESSA	LOTTO	CODIFICA	DOCUMENTO	REV.	FOGLIO	IF1N	01	E ZZ CL	VI 05 20 001	B	123 di 132
COMMESSA	LOTTO	CODIFICA	DOCUMENTO	REV.	FOGLIO								
IF1N	01	E ZZ CL	VI 05 20 001	B	123 di 132								

8.1.4 PALI- FONDAZIONE

La verifica a fessurazione dei pali in fondazione viene effettuata con la combinazione dei carichi in condizione di esercizio che risulta la più gravosa. Sono riportati di seguito soltanto i valori per queste combinazioni. I risultati sono dati con maggiori dettagli nell'allegato a questa relazione di calcolo.

Palo 1

La sezione di verifica risulta essere interamente compressa per la combinazione di carico di esercizio più gravosa.

Palo 2

La sezione di verifica risulta essere interamente compressa per la combinazione di carico di esercizio più gravosa.

Palo 3

La sezione di verifica risulta essere interamente compressa per la combinazione di carico di esercizio più gravosa.

Palo 10

La sezione di verifica risulta essere interamente compressa per la combinazione di carico di esercizio più gravosa.

Palo 11

La sezione di verifica risulta essere interamente compressa per la combinazione di carico di esercizio più gravosa.

Palo 12

La sezione di verifica risulta essere interamente compressa per la combinazione di carico di esercizio più gravosa.

	ITINERARIO NAPOLI – BARI RADDOPPIO TRATTA CANCELLO – BENEVENTO I° LOTTO FUNZIONALE CANCELLO - FRASSO TELESINO E VARIANTE ALLA LINEA ROMA-NAPOLI VIA CASSINO NEL COMUNE DI MADDALONI – PROGETTO ESECUTIVO												
<i>Viadotto Rio Secco</i> <i>VI05A- Opera di approccio al Viadotto Rio Secco:</i> <i>Relazione di calcolo</i>	<table border="1"> <thead> <tr> <th>COMMESSA</th> <th>LOTTO</th> <th>CODIFICA</th> <th>DOCUMENTO</th> <th>REV.</th> <th>FOGLIO</th> </tr> </thead> <tbody> <tr> <td>IF1N</td> <td>01</td> <td>E ZZ CL</td> <td>VI 05 20 001</td> <td>B</td> <td>124 di 132</td> </tr> </tbody> </table>	COMMESSA	LOTTO	CODIFICA	DOCUMENTO	REV.	FOGLIO	IF1N	01	E ZZ CL	VI 05 20 001	B	124 di 132
COMMESSA	LOTTO	CODIFICA	DOCUMENTO	REV.	FOGLIO								
IF1N	01	E ZZ CL	VI 05 20 001	B	124 di 132								

8.2 VERIFICHE DI DEFORMABILITÀ DELL'IMPALCATO

Per la valutazione delle deformazioni della struttura si è fatto riferimento al modello costruito per le verifiche strutturali. Di seguito si riporta lo stato di deformazione del modello sotto l'effetto del carico LM71 su entrambi i binari.

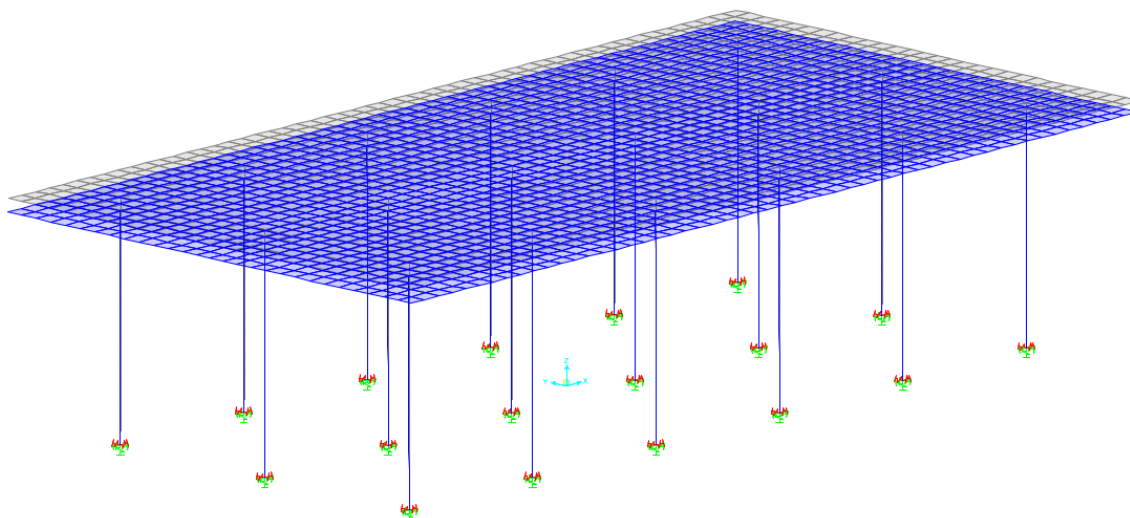


Figura 51 - deformazioni modello di LM-71 combinando Q1,3 e Q1,4

Eccessive deformazioni e/o vibrazioni del ponte possono indurre inaccettabili variazioni di geometria al binario. Queste possono avere ripercussioni sui convogli ferroviari e ridurre il comfort ai passeggeri. La valutazione dei parametri di deformazione degli impalcati, da eseguire utilizzando la combinazione caratteristica (rara) degli SLE, è richiesta per i motivi e con modalità riportati nei seguenti punti A e B:

A. Per questioni di sicurezza del traffico ferroviario (per garantire la stabilità e la continuità del binario ed assicurare il mantenimento del contatto ruota-rotaia), occorre verificare che non siano superati i limiti sulle seguenti grandezze:

- Accelerazione verticale dell'impalcato;
- Torsione dell'impalcato (sghembo del binario);
- Inflessione dell'impalcato nel piano orizzontale;
- Inflessione dell'impalcato nel piano verticale

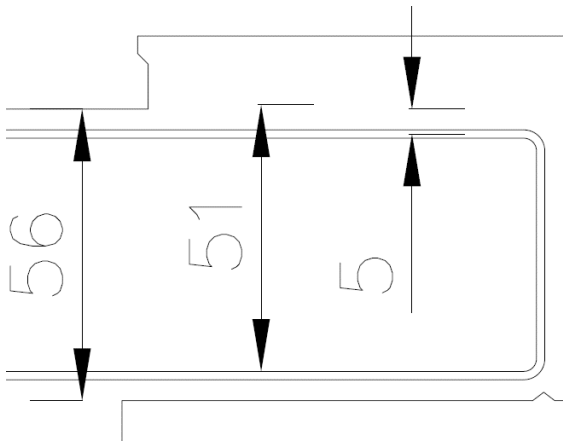
B. Per il comfort del passeggero, si dovrà verificare che non siano superati i limiti di freccia verticale dell'impalcato.

I valori riportati in Figura 51 consentono di ritenere soddisfatte le verifiche di sghembo e di inflessione nel piano verticale.

	ITINERARIO NAPOLI – BARI RADDOPPIO TRATTA CANCELLO – BENEVENTO I° LOTTO FUNZIONALE CANCELLO - FRASSO TELESINO E VARIANTE ALLA LINEA ROMA-NAPOLI VIA CASSINO NEL COMUNE DI MADDALONI – PROGETTO ESECUTIVO												
<i>Viadotto Rio Secco</i> <i>VI05A- Opera di approccio al Viadotto Rio Secco:</i> <i>Relazione di calcolo</i>	<table border="1"> <thead> <tr> <th>COMMESSA</th> <th>LOTTO</th> <th>CODIFICA</th> <th>DOCUMENTO</th> <th>REV.</th> <th>FOGLIO</th> </tr> </thead> <tbody> <tr> <td>IF1N</td> <td>01</td> <td>E ZZ CL</td> <td>VI 05 20 001</td> <td>B</td> <td>125 di 132</td> </tr> </tbody> </table>	COMMESSA	LOTTO	CODIFICA	DOCUMENTO	REV.	FOGLIO	IF1N	01	E ZZ CL	VI 05 20 001	B	125 di 132
COMMESSA	LOTTO	CODIFICA	DOCUMENTO	REV.	FOGLIO								
IF1N	01	E ZZ CL	VI 05 20 001	B	125 di 132								

9 VERIFICHE LOCALI

9.1.1 MENSOLA LATERALE



Geometria sezione

h	56 cm
c	4 cm
φ	20 mm
d	51 cm

Carichi-Valori caratteristici

Peso proprio

γ_c	25 kN/m ³
h	56 cm
l	85 cm
A	0.476 m ²
$g_{c,k}$	11.9 kN/m

B.A.

$q_{b,unit}$	4 kN/m ²
h	5 m
$q_{b,k}$	20 kN/m

Vento su B.A.

q_v	2.5 kN/m ²
h	5 m
b	3 m
$Q_{v,k}$	37.5 kN

Verifica SLU

Coefficiente parziale

Peso proprio	1.35 carico permanente
	carico permanente non
B.A.	1.5 strutturale
Vento	1.5 carico variabile

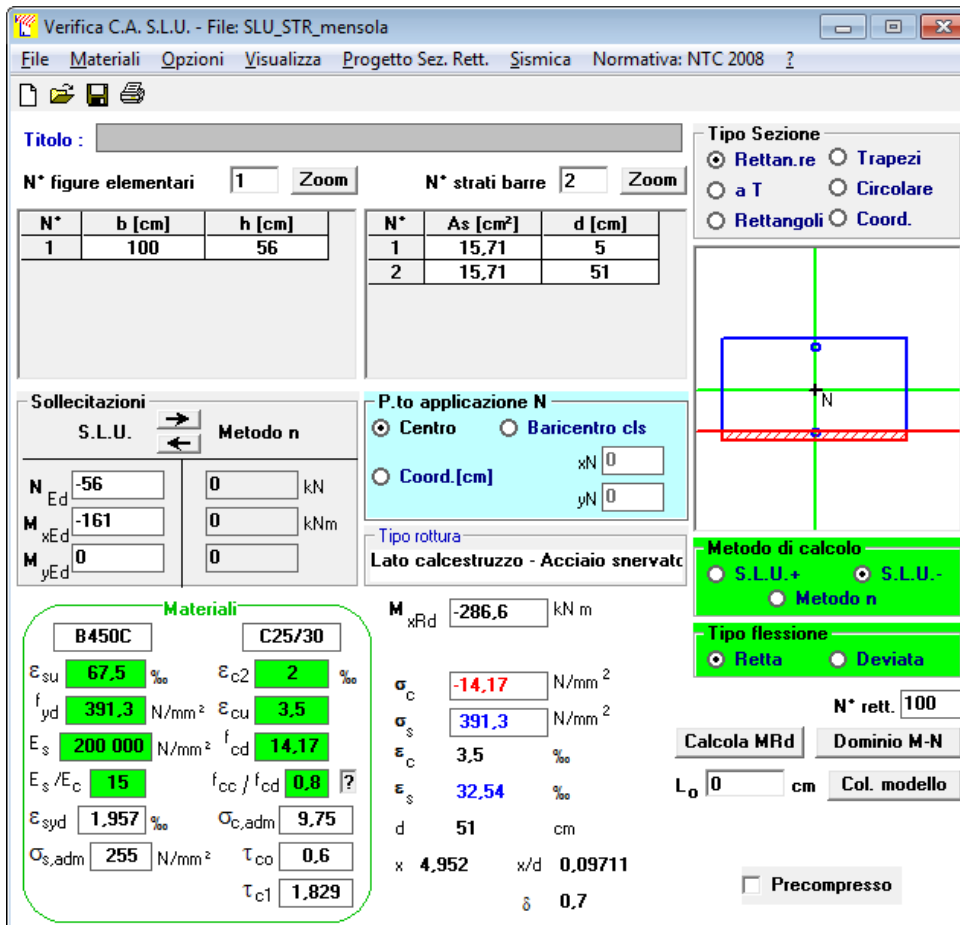
Le analisi svolte portano a considerare le seguenti sollecitazioni:

  	ITINERARIO NAPOLI – BARI RADDOPPIO TRATTA CANCELLO – BENEVENTO I° LOTTO FUNZIONALE CANCELLO - FRASSO TELESINO E VARIANTE ALLA LINEA ROMA-NAPOLI VIA CASSINO NEL COMUNE DI MADDALONI – PROGETTO ESECUTIVO												
<i>Viadotto Rio Secco</i> <i>VI05A- Opera di approccio al Viadotto Rio Secco:</i> <i>Relazione di calcolo</i>	<table border="1"> <tr> <td>COMMESSA</td> <td>LOTTO</td> <td>CODIFICA</td> <td>DOCUMENTO</td> <td>REV.</td> <td>FOGLIO</td> </tr> <tr> <td>IF1N</td> <td>01</td> <td>E ZZ CL</td> <td>VI 05 20 001</td> <td>B</td> <td>126 di 132</td> </tr> </table>	COMMESSA	LOTTO	CODIFICA	DOCUMENTO	REV.	FOGLIO	IF1N	01	E ZZ CL	VI 05 20 001	B	126 di 132
COMMESSA	LOTTO	CODIFICA	DOCUMENTO	REV.	FOGLIO								
IF1N	01	E ZZ CL	VI 05 20 001	B	126 di 132								

VERIFICA A FLESSIONE - DIREZIONE TRASVERSALE
SOLLECITAZIONI AGENTI

N	V	M
kN/m	kN/m	kNm/m
56	46	-161

La sezione è armata con 1 strato di ø20/20cm inferiori e 1 strato di ø20/20cm superiori.



Verifica C.A. S.L.U. - File: SLU_STR_mensola

File Materiali Opzioni Visualizza Progetto Sez. Rett. Sismica Normativa: NTC 2008 ?

Titolo : _____

N° figure elementari: 1 Zoom N° strati barre: 2 Zoom

N°	b [cm]	h [cm]	N°	As [cm²]	d [cm]
1	100	56	1	15,71	5
			2	15,71	51

Sollecitazioni
 S.L.U. Metodo n

N_{Ed} -56 0 kN
 M_{Ed} -161 0 kNm
 M_{xEd} 0 0
 M_{yEd} 0 0

P.to applicazione N
 Centro Baricentro cls
 Coord.[cm] xN 0 yN 0

Materiali
 B450C C25/30
 ε_{su} 67,5 % ε_{c2} 2 %
 f_{yd} 391,3 N/mm² ε_{cu} 3,5 %
 E_s 200 000 N/mm² f_{cd} 14,17
 E_s/E_c 15 f_{cc}/f_{cd} 0,8
 ε_{syd} 1,957 % σ_{c,adm} 9,75
 σ_{s,adm} 255 N/mm² τ_{co} 0,6
 τ_{c1} 1,829

Metodo di calcolo
 S.L.U.+ S.L.U.-
 Metodo n

Tipo flessione
 Retta Deviata

Calcoli:
 M_{xRd} -286,6 kN m
 σ_c -14,17 N/mm²
 σ_s 391,3 N/mm²
 ε_c 3,5 %
 ε_s 32,54 %
 d 51 cm
 x 4,952 x/d 0,09711
 δ 0,7

Controlli:
 N° rett. 100
 Calcola MRd Dominio M-N
 L₀ 0 cm Col. modello
 Precompresso

$M_{rd}/M_{ed} = 287/161 = 1.78 > 1$

La verifica risulta soddisfatta

  	ITINERARIO NAPOLI – BARI RADDOPPIO TRATTA CANCELLO – BENEVENTO I° LOTTO FUNZIONALE CANCELLO - FRASSO TELESINO E VARIANTE ALLA LINEA ROMA-NAPOLI VIA CASSINO NEL COMUNE DI MADDALONI – PROGETTO ESECUTIVO												
Viadotto Rio Secco VI05A- Opera di approccio al Viadotto Rio Secco: Relazione di calcolo	<table border="1"> <tr> <td>COMMESSA</td> <td>LOTTO</td> <td>CODIFICA</td> <td>DOCUMENTO</td> <td>REV.</td> <td>FOGLIO</td> </tr> <tr> <td>IF1N</td> <td>01</td> <td>E ZZ CL</td> <td>VI 05 20 001</td> <td>B</td> <td>127 di 132</td> </tr> </table>	COMMESSA	LOTTO	CODIFICA	DOCUMENTO	REV.	FOGLIO	IF1N	01	E ZZ CL	VI 05 20 001	B	127 di 132
COMMESSA	LOTTO	CODIFICA	DOCUMENTO	REV.	FOGLIO								
IF1N	01	E ZZ CL	VI 05 20 001	B	127 di 132								

9.1.1.1 VERIFICHE A TAGLIO

Verifica a taglio per sezioni rettangolari non armate a taglio (D.M. 14/01/2008)			
classe cls	R_{ck}	40	N/mm ²
resist. Caratteristica cilindrica	f_{ck}	33	N/mm ²
	f_{cd}	19	
coeff. parziale	γ_c	1.5	
larghezza membratura resistene a V	b_w	1000	mm
altezza membratura resistene a V	H	560	mm
altezza utile	d	504	mm
area della sezione	A_{TOT}	504000	mm ²
diametro ferro longitudinale	$\varnothing l$	20	mm
area armatura	A_{sl}	314.2	mm ²
	strato	1	
	passo	200	mm
	n_l/strato	5	
area armatura totale	$A_{f\ tot}$	1571	mm ²
percentuale di armatura	ρ_l	0.0031	
sforzo assiale dovuto ai carichi o precompressione	N	0	N
ok	σ_{cp}	0.00	N/mm ²
	k	1.63	
	v_{min}	0.42	
taglio resistente	V_{Rd1}	215	kN
	V_{Rd2}	212	kN
taglio sollecitante	V_{Ed}	46	kN
fattore di sicurezza per GR (par. 7.9.5.2.2)	γ_{Rd}	1	
	V_{Rd}	215	kN
	V_{Ed}	<	V_{Rd}
verifica			

   	ITINERARIO NAPOLI – BARI RADDOPPIO TRATTA CANCELLO – BENEVENTO I° LOTTO FUNZIONALE CANCELLO - FRASSO TELESINO E VARIANTE ALLA LINEA ROMA-NAPOLI VIA CASSINO NEL COMUNE DI MADDALONI – PROGETTO ESECUTIVO												
Viadotto Rio Secco VI05A- Opera di approccio al Viadotto Rio Secco: Relazione di calcolo	<table border="1"> <tr> <td>COMMESSA</td> <td>LOTTO</td> <td>CODIFICA</td> <td>DOCUMENTO</td> <td>REV.</td> <td>FOGLIO</td> </tr> <tr> <td>IF1N</td> <td>01</td> <td>E ZZ CL</td> <td>VI 05 20 001</td> <td>B</td> <td>128 di 132</td> </tr> </table>	COMMESSA	LOTTO	CODIFICA	DOCUMENTO	REV.	FOGLIO	IF1N	01	E ZZ CL	VI 05 20 001	B	128 di 132
COMMESSA	LOTTO	CODIFICA	DOCUMENTO	REV.	FOGLIO								
IF1N	01	E ZZ CL	VI 05 20 001	B	128 di 132								

9.1.1.2 VERIFICA A FESSURAZIONE

Verifica SLE

Coefficiente parziale

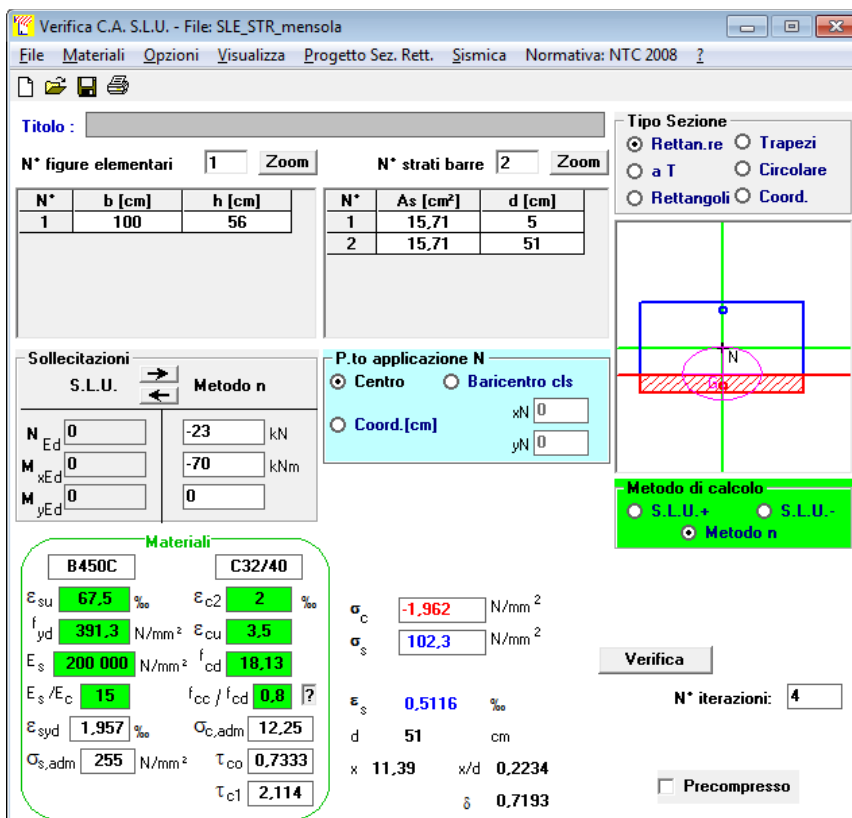
Peso proprio	1	carico permanente
		carico permanente non
B.A.	1	strutturale
Vento	0.6	carico variabile

Le analisi svolte portano a considerare le seguenti sollecitazioni:

VERIFICA A FESSURAZIONE - DIREZIONE TRASVERSALE SOLLECITAZIONI AGENTI

N	V	M
kN/m	kN/m	kNm/m
23	32	-70

La sezione è armata con 1 strato di $\varnothing 20/20\text{cm}$ inferiori e 1 strato di $\varnothing 20/20\text{cm}$ superiori.



Titolo: _____

N° figure elementari: 1 Zoom N° strati barre: 2 Zoom

N°	b [cm]	h [cm]	N°	As [cm²]	d [cm]
1	100	56	1	15.71	5
			2	15.71	51

Sollecitazioni
S.L.U. Metodo n

N _{Ed}	-23	kN
M _{xEd}	-70	kNm
M _{yEd}	0	

Materiali

B450C	C32/40
ϵ_{su} 67.5 ‰	ϵ_{c2} 2 ‰
f_{yd} 391.3 N/mm²	ϵ_{cu} 3.5 ‰
E_s 200 000 N/mm²	f_{cd} 18.13
E_s/E_c 15	f_{cc}/f_{cd} 0.8
ϵ_{syd} 1.957 ‰	$\sigma_{c,adm}$ 12.25
$\sigma_{s,adm}$ 255 N/mm²	τ_{co} 0.7333
	τ_{c1} 2.114

P.to applicazione N
 Centro Baricentro cls
 Coord.[cm] xN 0 yN 0

Metodo di calcolo
 S.L.U.+ S.L.U.-
 Metodo n

Verifica
 N° iterazioni: 4
 Precompresso

Results:
 σ_c -1.962 N/mm²
 σ_s 102.3 N/mm²
 ϵ_s 0.5116 ‰
 d 51 cm
 x 11.39 x/d 0.2234
 δ 0.7193

Viadotto Rio Secco
VI05A- Opera di approccio al Viadotto Rio Secco:
Relazione di calcolo

COMMESSA	LOTTO	CODIFICA	DOCUMENTO	REV.	FOGLIO
IF1N	01	E ZZ CL	VI 05 20 001	B	129 di 132

INPUT		
R_{ck}	40	Mpa
dimensione h	560	mm
pos. baric. 1° strato c_1	50	mm
diametro barre 1° strato \varnothing_1	20	mm
numero barre 1° strato n_1	5.000	
pos. baric. 2° strato c_2		mm
diametro barre 2° strato \varnothing_2		mm
numero barre 2° strato n_2		
distanza lembo compresso-lembo teso della sezione d	510	mm
posizione asse neutro da lembo compresso b_{eff}	200	mm
Tensione massima barre 1° strato x	114	mm
Tensione massima barre 2° strato σ_{s_max1}	102	Mpa
altezza efficace σ_{s_max2}		Mpa
area efficace relativamente ad una singola barre $h_{c,eff}$	125	mm
percentuale di armatura relativa a $A_{c,eff}$ (0.6 carichi brevi; 0.4 lunga durata) (0.8 barre ad. migliorata; 1.6 liscie) (0.5 per flessione; 1 trazione) $A_{c,eff}$	25000	mm ²
$\rho_{p,eff}$	0.013	
k_t	0.6	
k_1	0.8	
k_2	0.5	
k_3	3.4	
k_4	0.425	

OUTPUT	
diff. def. armature-cls $\epsilon_{sm} - \epsilon_{cm}$	2.97E-04 -
distanza max fessure $S_{r,max}$	407 mm
ampiezza fessure: w_k	0.121 mm
w_{lim}	0.200 mm
La verifica è soddisfatta.	

  	ITINERARIO NAPOLI – BARI RADDOPPIO TRATTA CANCELLO – BENEVENTO I° LOTTO FUNZIONALE CANCELLO - FRASSO TELESINO E VARIANTE ALLA LINEA ROMA-NAPOLI VIA CASSINO NEL COMUNE DI MADDALONI – PROGETTO ESECUTIVO												
<i>Viadotto Rio Secco</i> <i>VI05A- Opera di approccio al Viadotto Rio Secco:</i> <i>Relazione di calcolo</i>	<table border="1"> <thead> <tr> <th>COMMESSA</th> <th>LOTTO</th> <th>CODIFICA</th> <th>DOCUMENTO</th> <th>REV.</th> <th>FOGLIO</th> </tr> </thead> <tbody> <tr> <td>IF1N</td> <td>01</td> <td>E ZZ CL</td> <td>VI 05 20 001</td> <td>B</td> <td>130 di 132</td> </tr> </tbody> </table>	COMMESSA	LOTTO	CODIFICA	DOCUMENTO	REV.	FOGLIO	IF1N	01	E ZZ CL	VI 05 20 001	B	130 di 132
COMMESSA	LOTTO	CODIFICA	DOCUMENTO	REV.	FOGLIO								
IF1N	01	E ZZ CL	VI 05 20 001	B	130 di 132								

10 VERIFICHE GEO

Le verifiche geotecniche sono state riportate nella relazione specifica - IF1N 01 E ZZ CL VI03 00 002 A- Relazione geotecnica di calcolo delle fondazioni - alla quale si rimanda.

  	ITINERARIO NAPOLI – BARI RADDOPPIO TRATTA CANCELLO – BENEVENTO I° LOTTO FUNZIONALE CANCELLO - FRASSO TELESINO E VARIANTE ALLA LINEA ROMA-NAPOLI VIA CASSINO NEL COMUNE DI MADDALONI – PROGETTO ESECUTIVO												
<i>Viadotto Rio Secco</i> <i>VI05A- Opera di approccio al Viadotto Rio Secco:</i> <i>Relazione di calcolo</i>	<table border="1"> <thead> <tr> <th>COMMESSA</th> <th>LOTTO</th> <th>CODIFICA</th> <th>DOCUMENTO</th> <th>REV.</th> <th>FOGLIO</th> </tr> </thead> <tbody> <tr> <td>IF1N</td> <td>01</td> <td>E ZZ CL</td> <td>VI 05 20 001</td> <td>B</td> <td>131 di 132</td> </tr> </tbody> </table>	COMMESSA	LOTTO	CODIFICA	DOCUMENTO	REV.	FOGLIO	IF1N	01	E ZZ CL	VI 05 20 001	B	131 di 132
COMMESSA	LOTTO	CODIFICA	DOCUMENTO	REV.	FOGLIO								
IF1N	01	E ZZ CL	VI 05 20 001	B	131 di 132								

11 INCIDENZA ARMATURA

I valori delle incidenze di armatura lenta sono indicati nella seguente tabella:

Soletta	80 kg/mc
Pali - Elevazione	170 kg/mc
Pali - Fondazione	110 kg/mc

Nel calcolo è stata considerato un incremento del 10% per tener conto della presenza di legature.

  	ITINERARIO NAPOLI – BARI RADDOPPIO TRATTA CANCELLO – BENEVENTO I° LOTTO FUNZIONALE CANCELLO - FRASSO TELESINO E VARIANTE ALLA LINEA ROMA-NAPOLI VIA CASSINO NEL COMUNE DI MADDALONI – PROGETTO ESECUTIVO												
<i>Viadotto Rio Secco</i> <i>VI05A- Opera di approccio al Viadotto Rio Secco:</i> <i>Relazione di calcolo</i>	<table border="1"> <thead> <tr> <th>COMMESSA</th> <th>LOTTO</th> <th>CODIFICA</th> <th>DOCUMENTO</th> <th>REV.</th> <th>FOGLIO</th> </tr> </thead> <tbody> <tr> <td>IF1N</td> <td>01</td> <td>E ZZ CL</td> <td>VI 05 20 001</td> <td>B</td> <td>132 di 132</td> </tr> </tbody> </table>	COMMESSA	LOTTO	CODIFICA	DOCUMENTO	REV.	FOGLIO	IF1N	01	E ZZ CL	VI 05 20 001	B	132 di 132
COMMESSA	LOTTO	CODIFICA	DOCUMENTO	REV.	FOGLIO								
IF1N	01	E ZZ CL	VI 05 20 001	B	132 di 132								

12 ALLEGATO

Sono riportati in allegato:

- I risultati dettagliati delle analisi strutturali
- Le combinazioni di carico analizzate.

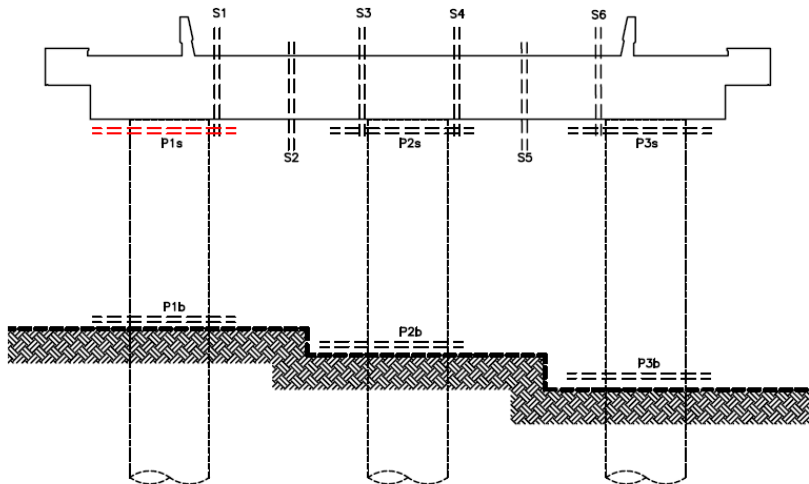
ALLEGATO

1	RISULTATI DEGLI ANALISI STRUTTURALI	2
2	COMBINAZIONI DI CARICO	26

1 Risultati degli analisi strutturali

Sollecitazioni maggiori sui Pali per le diverse famigli di combinazione

Palo P1- sommità



SLU-STR	max	Combo.	F1	F2	F3	M1	M2	ecc
			kN	kN	kN	kNm	kNm	m
max	F1	SLU_STR_095	196	-83	-1778	-351	-1144	0.67
max	F2	SLU_STR_045	-60	287	-2478	1569	261	0.64
max	F3	SLU_STR_028	-58	-113	-1101	-506	508	0.65
max	M1	SLU_STR_045	-60	287	-2478	1569	261	0.64
max	M2	SLU_STR_057	-178	-67	-1283	-259	1148	0.92
max	ecc	SLU_STR_061	-154	248	-1712	1322	1012	0.97

SLU-STR	min	Combo.	F1	F2	F3	M1	M2	ecc
			kN	kN	kN	kNm	kNm	m
min	F1	SLU_STR_057	-178	-67	-1283	-259	1148	0.92
min	F2	SLU_STR_097	43	-140	-1129	-696	-82	0.62
min	F3	SLU_STR_077	25	229	-2499	1217	-245	0.50
min	M1	SLU_STR_097	43	-140	-1129	-696	-82	0.62
min	M2	SLU_STR_095	196	-83	-1778	-351	-1144	0.67
min	ecc	SLU_STR_103	5	1	-1235	14	-19	0.02

SLV-SIS	max	Combo.	F1	F2	F3	M1	M2	ecc
			kN	kN	kN	kNm	kNm	m
max	F1	SLV_SIS_003	592	176	-588	995	-3678	6.49
max	F2	SLV_SIS_014	137	654	-1900	3725	-868	2.01
max	F3	SLV_SIS_039	-146	-620	-95	-3510	933	38.27
max	M1	SLV_SIS_014	137	654	-1900	3725	-868	2.01
max	M2	SLV_SIS_032	-595	-142	-1392	-781	3713	2.73

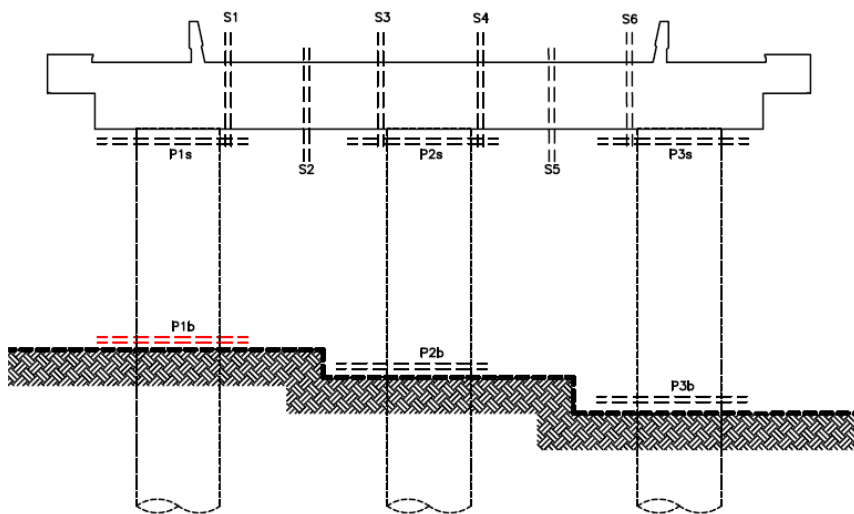
<i>max</i>	<i>ecc</i>	SLV_SIS_039	-146	-620	-95	-3510	933	38
------------	------------	-------------	------	------	-----	-------	-----	----

SLV-SIS	min	Combo.	F1	F2	F3	M1	M2	ecc
			kN	kN	kN	kNm	kNm	m
<i>min</i>	F1	SLV_SIS_032	-595	-142	-1392	-781	3713	2.73
<i>min</i>	F2	SLV_SIS_039	-146	-620	-95	-3510	933	38.27
<i>min</i>	F3	SLV_SIS_016	126	652	-1986	3714	-778	1.91
<i>min</i>	M1	SLV_SIS_039	-146	-620	-95	-3510	933	38.27
<i>min</i>	M2	SLV_SIS_003	592	176	-588	995	-3678	6.49
<i>min</i>	<i>ecc</i>	SLV_SIS_043	-130	-180	-1125	-1008	818	1.15

SLE-STR	max	Combo.	F1	F2	F3	M1	M2	ecc
			kN	kN	kN	kNm	kNm	m
<i>max</i>	F1	SLE_STR_099	110	45	-1194	248	-632	1
<i>max</i>	F2	SLE_STR_045	-51	102	-1344	585	255	0
<i>max</i>	F3	SLE_STR_037	-20	-10	-801	-29	125	0
<i>max</i>	M1	SLE_STR_045	-51	102	-1344	585	255	0
<i>max</i>	M2	SLE_STR_057	-100	48	-993	288	625	1
<i>max</i>	<i>ecc</i>	SLE_STR_061	-90	85	-1027	482	566	1

SLE-STR	min	Combo.	F1	F2	F3	M1	M2	ecc
			kN	kN	kN	kNm	kNm	m
<i>min</i>	F1	SLE_STR_057	-100	48	-993	288	625	1
<i>min</i>	F2	SLE_STR_105	52	-34	-909	-201	-300	0
<i>min</i>	F3	SLE_STR_077	6	63	-1359	350	-83	0
<i>min</i>	M1	SLE_STR_105	52	-34	-909	-201	-300	0
<i>min</i>	M2	SLE_STR_099	110	45	-1194	248	-632	1
<i>min</i>	<i>ecc</i>	SLE_STR_103	4	-2	-898	-5	-19	0

Palo P1- base



SLU-STR	max	Combo.	F1	F2	F3	M1	M2	ecc
			kN	kN	kN	kNm	kNm	m
<i>max</i>	F1	SLU_STR_095	196	-83	-1778	-351	-1144	0.67
<i>max</i>	F2	SLU_STR_045	-60	287	-2478	1569	261	0.64
<i>max</i>	F3	SLU_STR_028	-58	-113	-1101	-506	508	0.65
<i>max</i>	M1	SLU_STR_045	-60	287	-2478	1569	261	0.64
<i>max</i>	M2	SLU_STR_057	-178	-67	-1283	-259	1148	0.92
<i>max</i>	ecc	SLU_STR_061	-154	248	-1712	1322	1012	0.97

SLU-STR	min	Combo.	F1	F2	F3	M1	M2	ecc
			kN	kN	kN	kNm	kNm	m
<i>min</i>	F1	SLU_STR_057	-178	-67	-1283	-259	1148	0.92
<i>min</i>	F2	SLU_STR_097	43	-140	-1129	-696	-82	0.62
<i>min</i>	F3	SLU_STR_077	25	229	-2499	1217	-245	0.50
<i>min</i>	M1	SLU_STR_097	43	-140	-1129	-696	-82	0.62
<i>min</i>	M2	SLU_STR_095	196	-83	-1778	-351	-1144	0.67
<i>min</i>	ecc	SLU_STR_103	5	1	-1235	14	-19	0.02

SLV-SIS	max	Combo.	F1	F2	F3	M1	M2	ecc
			kN	kN	kN	kNm	kNm	m
<i>max</i>	F1	SLV_SIS_003	592	176	-588	995	-3678	6.49
<i>max</i>	F2	SLV_SIS_014	137	654	-1900	3725	-868	2.01
<i>max</i>	F3	SLV_SIS_039	-146	-620	-95	-3510	933	38.27
<i>max</i>	M1	SLV_SIS_014	137	654	-1900	3725	-868	2.01
<i>max</i>	M2	SLV_SIS_032	-595	-142	-1392	-781	3713	2.73
<i>max</i>	ecc	SLV_SIS_039	-146	-620	-95	-3510	933	38

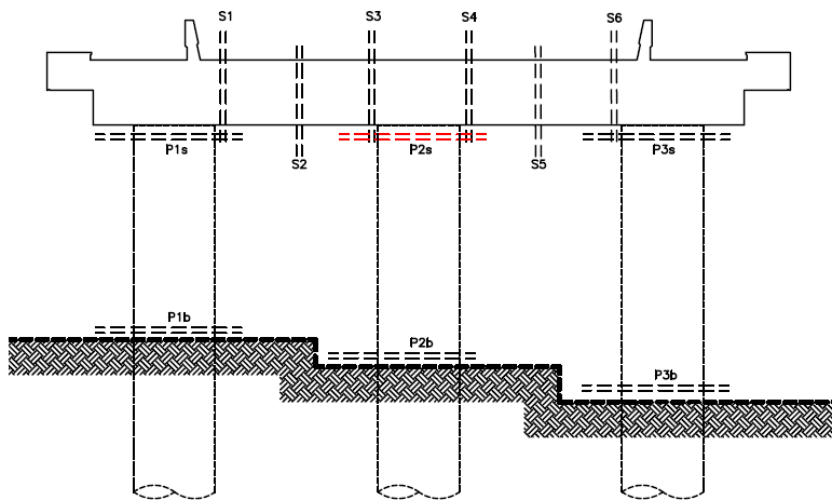
SLV-SIS	min	Combo.	F1	F2	F3	M1	M2	ecc
			kN	kN	kN	kNm	kNm	m
<i>min</i>	F1	SLV_SIS_032	-595	-142	-1392	-781	3713	2.73

<i>min</i>	F2	SLV_SIS_039	-146	-620	-95	-3510	933	38.27
<i>min</i>	F3	SLV_SIS_016	126	652	-1986	3714	-778	1.91
<i>min</i>	M1	SLV_SIS_039	-146	-620	-95	-3510	933	38.27
<i>min</i>	M2	SLV_SIS_003	592	176	-588	995	-3678	6.49
<i>min</i>	ecc	SLV_SIS_043	-130	-180	-1125	-1008	818	1.15

SLE-STR	max	Combo.	F1	F2	F3	M1	M2	ecc
			kN	kN	kN	kNm	kNm	m
<i>max</i>	F1	SLE_STR_099	110	45	-1194	248	-632	1
<i>max</i>	F2	SLE_STR_045	-51	102	-1344	585	255	0
<i>max</i>	F3	SLE_STR_037	-20	-10	-801	-29	125	0
<i>max</i>	M1	SLE_STR_045	-51	102	-1344	585	255	0
<i>max</i>	M2	SLE_STR_057	-100	48	-993	288	625	1
<i>max</i>	ecc	SLE_STR_061	-90	85	-1027	482	566	1

SLE-STR	min	Combo.	F1	F2	F3	M1	M2	ecc
			kN	kN	kN	kNm	kNm	m
<i>min</i>	F1	SLE_STR_057	-100	48	-993	288	625	1
<i>min</i>	F2	SLE_STR_105	52	-34	-909	-201	-300	0
<i>min</i>	F3	SLE_STR_077	6	63	-1359	350	-83	0
<i>min</i>	M1	SLE_STR_105	52	-34	-909	-201	-300	0
<i>min</i>	M2	SLE_STR_099	110	45	-1194	248	-632	1
<i>min</i>	ecc	SLE_STR_103	4	-2	-898	-5	-19	0

Palo P2-sommità



SLU-STR	max	Combo.	F1	F2	F3	M1	M2	ecc
			kN	kN	kN	kNm	kNm	m
<i>max</i>	F1	SLU_STR_095	212	-120	-2007	-599	-1239	0.69
<i>max</i>	F2	SLU_STR_062	-94	226	-1840	1204	575	0.72
<i>max</i>	F3	SLU_STR_034	-63	0	-1191	0	379	0.32
<i>max</i>	M1	SLU_STR_062	-94	226	-1840	1204	575	0.72
<i>max</i>	M2	SLU_STR_061	-168	205	-1500	1050	1095	1.01
<i>max</i>	M3	SLU_STR_061	-168	205	-1500	1050	1095	1.01

SLU-STR	min	Combo.	F1	F2	F3	M1	M2	ecc
			kN	kN	kN	kNm	kNm	m
<i>min</i>	F1	SLU_STR_061	-168	205	-1500	1050	1095	1.01
<i>min</i>	F2	SLU_STR_027	30	-192	-1691	-1022	-92	0.61
<i>min</i>	F3	SLU_STR_077	22	205	-2298	1050	-225	0.47
<i>min</i>	M1	SLU_STR_027	30	-192	-1691	-1022	-92	0.61
<i>min</i>	M2	SLU_STR_095	212	-120	-2007	-599	-1239	0.69
<i>min</i>	M3	SLU_STR_103	9	0	-1245	0	-46	0.04

SLV-SIS	max	Combo.	F1	F2	F3	M1	M2	ecc
			kN	kN	kN	kNm	kNm	m
<i>max</i>	F1	SLV_SIS_003	600	197	-262	1121	-3731	14.89
<i>max</i>	F2	SLV_SIS_009	191	655	-785	3736	-1178	4.99
<i>max</i>	F3	SLV_SIS_008	523	197	-176	1121	-3254	19.58
<i>max</i>	M1	SLV_SIS_009	191	655	-785	3736	-1178	4.99
<i>max</i>	M2	SLV_SIS_032	-603	-197	-1745	-1121	3762	2.25
<i>max</i>	M3	SLV_SIS_007	582	197	-176	1121	-3600	21.40

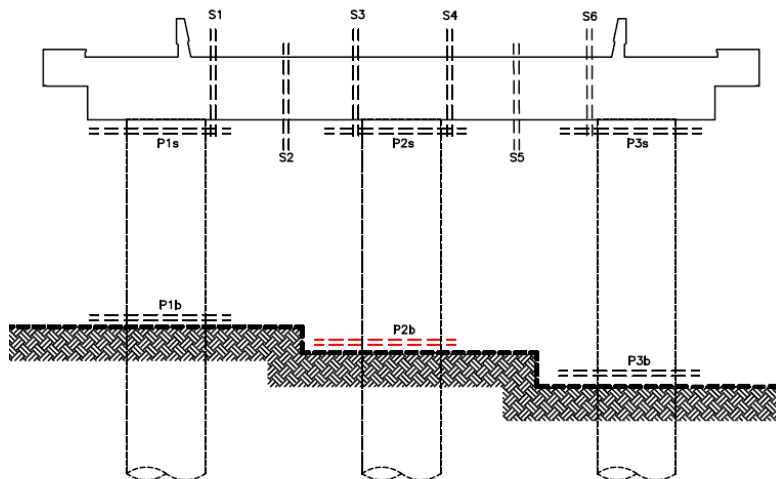
SLV-SIS	min	Combo.	F1	F2	F3	M1	M2	ecc
			kN	kN	kN	kNm	kNm	m
<i>min</i>	F1	SLV_SIS_032	-603	-197	-1745	-1121	3762	2.25

<i>min</i>	F2	SLV_SIS_033	-147	-655	-1256	-3736	926	3.07
<i>min</i>	F3	SLV_SIS_029	-532	-197	-1846	-1121	3316	1.90
<i>min</i>	M1	SLV_SIS_033	-147	-655	-1256	-3736	926	3.07
<i>min</i>	M2	SLV_SIS_003	600	197	-262	1121	-3731	14.89
<i>min</i>	M3	SLV_SIS_043	-131	-197	-1467	-1121	825	0.95

SLE-STR	max	Combo.	F1	F2	F3	M1	M2	ecc
			kN	kN	kN	kNm	kNm	m
<i>max</i>	F1	SLE_STR_095	122	17	-1167	89	-701	0.61
<i>max</i>	F2	SLE_STR_062	-63	66	-1140	363	372	0.46
<i>max</i>	F3	SLE_STR_034	-39	0	-849	0	240	0.28
<i>max</i>	M1	SLE_STR_062	-63	66	-1140	363	372	0.46
<i>max</i>	M2	SLE_STR_024	-93	24	-999	128	588	0.60
<i>max</i>	M3	SLE_STR_061	-93	56	-999	298	588	0.66

SLE-STR	min	Combo.	F1	F2	F3	M1	M2	ecc
			kN	kN	kN	kNm	kNm	m
<i>min</i>	F1	SLE_STR_024	-93	24	-999	128	588	0.60
<i>min</i>	F2	SLE_STR_027	32	-33	-1026	-192	-139	0.23
<i>min</i>	F3	SLE_STR_077	7	56	-1331	298	-90	0.23
<i>min</i>	M1	SLE_STR_027	32	-33	-1026	-192	-139	0.23
<i>min</i>	M2	SLE_STR_095	122	17	-1167	89	-701	0.61
<i>min</i>	M3	SLE_STR_088	-4	9	-1141	28	26	0.03

Palo P2-base



SLU-STR	max	Combo.	F1	F2	F3	M1	M2	ecc
			kN	kN	kN	kNm	kNm	m
<i>max</i>	F1	SLU_STR_061	168	-205	1858	177	-87	0.11
<i>max</i>	F2	SLU_STR_027	-30	192	2049	-128	-88	0.08
<i>max</i>	F3	SLU_STR_077	-22	-205	2656	177	96	0.08
<i>max</i>	M1	SLU_STR_060	94	-163	2198	193	-11	0.09
<i>max</i>	M2	SLU_STR_045	66	-205	2656	177	104	0.08
<i>max</i>	M3	SLU_STR_101	-64	-191	1685	171	-185	0.15

SLU-STR	min	Combo.	F1	F2	F3	M1	M2	ecc
			kN	kN	kN	kNm	kNm	m
<i>min</i>	F1	SLU_STR_095	-212	120	2365	-121	-33	0.05
<i>min</i>	F2	SLU_STR_062	94	-226	2198	154	-11	0.07
<i>min</i>	F3	SLU_STR_034	63	0	1549	0	-3	0.00
<i>min</i>	M1	SLU_STR_029	-30	128	2049	-168	-88	0.09
<i>min</i>	M2	SLU_STR_097	-64	139	1685	-127	-185	0.13
<i>min</i>	M3	SLU_STR_034	63	0	1549	0	-3	0.00

SLV-SIS	max	Combo.	F1	F2	F3	M1	M2	ecc
			kN	kN	kN	kNm	kNm	m
<i>max</i>	F1	SLV_SIS_032	786	251	2033	-223	404	0.23
<i>max</i>	F2	SLV_SIS_033	202	838	1543	-743	121	0.49
<i>max</i>	F3	SLV_SIS_029	714	251	2134	-223	423	0.22
<i>max</i>	M1	SLV_SIS_009	-246	-838	1073	743	-130	0.70
<i>max</i>	M2	SLV_SIS_030	773	251	2133	-223	428	0.23
<i>max</i>	M3	SLV_SIS_007	-764	-251	464	223	-438	1.06

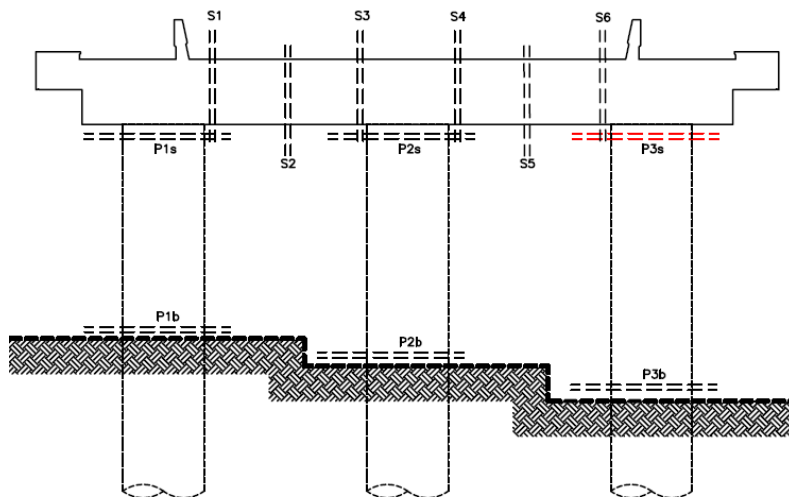
SLV-SIS	min	Combo.	F1	F2	F3	M1	M2	ecc
			kN	kN	kN	kNm	kNm	m
<i>min</i>	F1	SLV_SIS_003	-783	-251	549	223	-419	0.86

<i>min</i>	F2	SLV_SIS_009	-246	-838	1073	743	-130	0.70
<i>min</i>	F3	SLV_SIS_008	-706	-251	464	223	-432	1.05
<i>min</i>	M1	SLV_SIS_033	202	838	1543	-743	121	0.49
<i>min</i>	M2	SLV_SIS_007	-764	-251	464	223	-438	1.06
<i>min</i>	M3	SLV_SIS_043	186	251	1807	-223	125	0.14

SLE-STR	max	Combo.	F1	F2	F3	M1	M2	ecc
			kN	kN	kN	kNm	kNm	m
<i>max</i>	F1	SLE_STR_024	93	-24	1264	15	-28	0.03
<i>max</i>	F2	SLE_STR_027	-32	33	1291	-6	-56	0.04
<i>max</i>	F3	SLE_STR_077	-7	-56	1596	40	46	0.04
<i>max</i>	M1	SLE_STR_060	63	-39	1405	47	4	0.03
<i>max</i>	M2	SLE_STR_008	51	-24	1595	15	51	0.03
<i>max</i>	M3	SLE_STR_101	-60	-48	1150	37	-93	0.09

SLE-STR	min	Combo.	F1	F2	F3	M1	M2	ecc
			kN	kN	kN	kNm	kNm	m
<i>min</i>	F1	SLE_STR_095	-122	-17	1432	12	-30	0.02
<i>min</i>	F2	SLE_STR_062	63	-66	1405	31	4	0.02
<i>min</i>	F3	SLE_STR_034	39	0	1115	0	-3	0.00
<i>min</i>	M1	SLE_STR_037	20	33	1115	-25	-5	0.02
<i>min</i>	M2	SLE_STR_097	-60	-9	1150	10	-93	0.08
<i>min</i>	M3	SLE_STR_034	39	0	1115	0	-3	0.00

Palo P3-sommità



SLU-STR	max	Combo.	F1	F2	F3	M1	M2	ecc
			kN	kN	kN	kNm	kNm	m
<i>max</i>	F1	SLU_STR_099	209	136	-1718	626	-1220	0.80
<i>max</i>	F2	SLU_STR_093	-93	204	-1237	1031	649	0.98
<i>max</i>	F3	SLU_STR_069	-29	135	-1048	621	348	0.68
<i>max</i>	M1	SLU_STR_093	-93	204	-1237	1031	649	0.98
<i>max</i>	M2	SLU_STR_061	-179	146	-1216	679	1155	1.10
<i>max</i>	M3	SLU_STR_061	-179	146	-1216	679	1155	1.10

SLU-STR	min	Combo.	F1	F2	F3	M1	M2	ecc
			kN	kN	kN	kNm	kNm	m
<i>min</i>	F1	SLU_STR_061	-179	146	-1216	679	1155	1.10
<i>min</i>	F2	SLU_STR_012	64	-250	-2298	-1374	-409	0.62
<i>min</i>	F3	SLU_STR_073	24	-150	-2432	-799	-238	0.34
<i>min</i>	M1	SLU_STR_012	64	-250	-2298	-1374	-409	0.62
<i>min</i>	M2	SLU_STR_099	209	136	-1718	626	-1220	0.80
<i>min</i>	M3	SLU_STR_103	5	-1	-1235	-14	-19	0.02

SLV-SIS	max	Combo.	F1	F2	F3	M1	M2	ecc
			kN	kN	kN	kNm	kNm	m
<i>max</i>	F1	SLV_SIS_003	594	195	69	1106	-3690	56
<i>max</i>	F2	SLV_SIS_015	188	626	372	3546	-1149	10
<i>max</i>	F3	SLV_SIS_015	188	626	372	3546	-1149	10
<i>max</i>	M1	SLV_SIS_015	188	626	372	3546	-1149	10
<i>max</i>	M2	SLV_SIS_032	-597	-229	-2049	-1321	3724	2
<i>max</i>	M3	SLV_SIS_005	588	195	55	1106	-3659	70

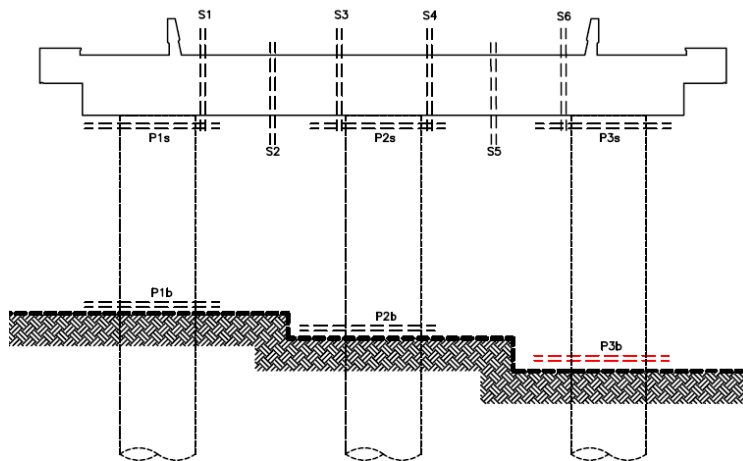
SLV-SIS	min	Combo.	F1	F2	F3	M1	M2	ecc
			kN	kN	kN	kNm	kNm	m
<i>min</i>	F1	SLV_SIS_032	-597	-229	-2049	-1321	3724	2

<i>min</i>	F2	SLV_SIS_038	-197	-660	-2367	-3761	1214	2
<i>min</i>	F3	SLV_SIS_040	-209	-658	-2453	-3750	1304	2
<i>min</i>	M1	SLV_SIS_038	-197	-660	-2367	-3761	1214	2
<i>min</i>	M2	SLV_SIS_003	594	195	69	1106	-3690	56
<i>min</i>	M3	SLV_SIS_043	-132	-191	-1782	-1094	829	1

SLE-STR	max	Combo.	F1	F2	F3	M1	M2	ecc
			kN	kN	kN	kNm	kNm	m
<i>max</i>	F1	SLE_STR_095	121	13	-1133	52	-694	0.61
<i>max</i>	F2	SLE_STR_093	-42	65	-941	341	280	0.47
<i>max</i>	F3	SLE_STR_036	-20	10	-801	29	125	0.16
<i>max</i>	M1	SLE_STR_093	-42	65	-941	341	280	0.47
<i>max</i>	M2	SLE_STR_024	-102	-7	-959	-67	635	0.67
<i>max</i>	M3	SLE_STR_061	-99	26	-927	107	618	0.68

SLE-STR	min	Combo.	F1	F2	F3	M1	M2	ecc
			kN	kN	kN	kNm	kNm	m
<i>min</i>	F1	SLE_STR_024	-102	-7	-959	-67	635	0.67
<i>min</i>	F2	SLE_STR_012	46	-67	-1199	-402	-268	0.40
<i>min</i>	F3	SLE_STR_004	-53	-60	-1310	-364	265	0.34
<i>min</i>	M1	SLE_STR_012	46	-67	-1199	-402	-268	0.40
<i>min</i>	M2	SLE_STR_095	121	13	-1133	52	-694	0.61
<i>min</i>	M3	SLE_STR_103	4	2	-898	5	-19	0.02

Palo P3-base



SLU-STR	max	Combo.	F1	F2	F3	M1	M2	ecc
			kN	kN	kN	kNm	kNm	m
<i>max</i>	F1	SLU_STR_061	179	-146	1574	195	-80	0.13
<i>max</i>	F2	SLU_STR_012	-64	250	2655	-126	22	0.05
<i>max</i>	F3	SLU_STR_073	-24	150	2789	-99	92	0.05
<i>max</i>	M1	SLU_STR_060	125	-104	1848	212	-10	0.11
<i>max</i>	M2	SLU_STR_045	85	-107	2340	208	108	0.10
<i>max</i>	M3	SLU_STR_069	29	-135	1406	189	-173	0.18

SLU-STR	min	Combo.	F1	F2	F3	M1	M2	ecc
			kN	kN	kN	kNm	kNm	m
<i>min</i>	F1	SLU_STR_099	-209	-136	2076	192	-35	0.09
<i>min</i>	F2	SLU_STR_093	93	-204	1595	192	-89	0.13
<i>min</i>	F3	SLU_STR_069	29	-135	1406	189	-173	0.18
<i>min</i>	M1	SLU_STR_029	-57	207	2264	-143	-86	0.07
<i>min</i>	M2	SLU_STR_097	-81	121	1855	-118	-189	0.12
<i>min</i>	M3	SLU_STR_104	67	50	1576	10	-2	0.01

SLV-SIS	max	Combo.	F1	F2	F3	M1	M2	ecc
			kN	kN	kN	kNm	kNm	m
<i>max</i>	F1	SLV_SIS_032	780	284	2337	-217	406	0.2
<i>max</i>	F2	SLV_SIS_038	252	843	2655	-746	135	0.3
<i>max</i>	F3	SLV_SIS_040	263	841	2794	-747	111	0.3
<i>max</i>	M1	SLV_SIS_014	-198	-765	-2	761	-115	347.4
<i>max</i>	M2	SLV_SIS_030	768	289	2433	-216	430	0.2
<i>max</i>	M3	SLV_SIS_014	-198	-765	-2	761	-115	347.4

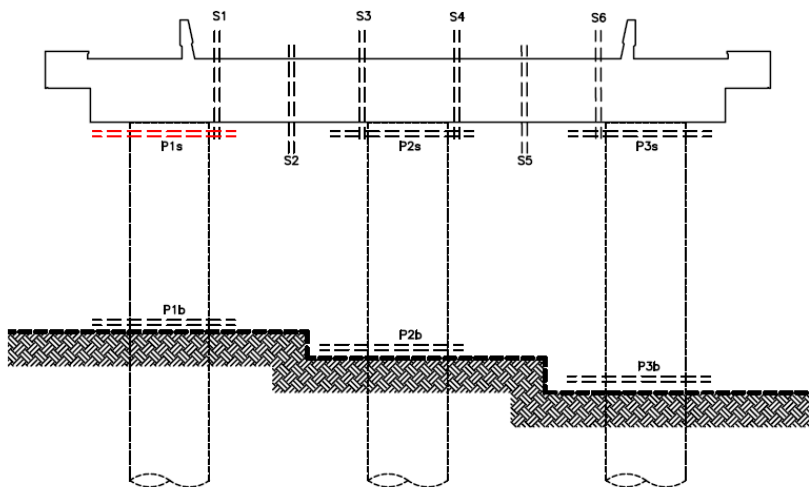
SLV-SIS	min	Combo.	F1	F2	F3	M1	M2	ecc
			kN	kN	kN	kNm	kNm	m
<i>min</i>	F1	SLV_SIS_003	-776	-250	218	229	-421	2.2

<i>min</i>	F2	SLV_SIS_015	-243	-809	-84	758	-145	9.1
<i>min</i>	F3	SLV_SIS_015	-243	-809	-84	758	-145	9.1
<i>min</i>	M1	SLV_SIS_039	207	799	2572	-750	106	0.3
<i>min</i>	M2	SLV_SIS_007	-759	-255	137	227	-439	3.6
<i>min</i>	M3	SLV_SIS_043	186	246	2123	-219	125	0.1

SLE-STR	max	Combo.	F1	F2	F3	M1	M2	ecc
			kN	kN	kN	kNm	kNm	m
<i>max</i>	F1	SLE_STR_024	102	7	1224	26	-24	0.03
<i>max</i>	F2	SLE_STR_012	-46	67	1464	-1	-10	0.01
<i>max</i>	F3	SLE_STR_004	53	60	1575	4	51	0.03
<i>max</i>	M1	SLE_STR_060	76	-9	1306	58	4	0.04
<i>max</i>	M2	SLE_STR_008	63	23	1542	31	54	0.04
<i>max</i>	M3	SLE_STR_101	-57	-58	1095	44	-92	0.09

SLE-STR	min	Combo.	F1	F2	F3	M1	M2	ecc
			kN	kN	kN	kNm	kNm	m
<i>min</i>	F1	SLE_STR_095	-121	-13	1398	25	-31	0.03
<i>min</i>	F2	SLE_STR_093	42	-65	1206	49	-31	0.05
<i>min</i>	F3	SLE_STR_036	20	-10	1066	33	-5	0.03
<i>min</i>	M1	SLE_STR_037	26	56	1130	-17	-3	0.02
<i>min</i>	M2	SLE_STR_097	-68	-21	1129	17	-95	0.09
<i>min</i>	M3	SLE_STR_021	56	42	1413	-3	6	0.01

Palo P10-sommità



SLU-STR	max	Combo.	F1	F2	F3	M1	M2	ecc
			kN	kN	kN	kNm	kNm	m
<i>max</i>	F1	SLU_STR_069	132	258	-2396	1406	-658	0.65
<i>max</i>	F2	SLU_STR_068	99	268	-2255	1466	-500	0.69
<i>max</i>	F3	SLU_STR_037	12	-6	-1170	4	-72	0.06
<i>max</i>	M1	SLU_STR_068	99	268	-2255	1466	-500	0.69
<i>max</i>	M2	SLU_STR_087	-134	-82	-1705	-353	773	0.50
<i>max</i>	M3	SLU_STR_059	-120	256	-2134	1388	692	0.73

SLU-STR	min	Combo.	F1	F2	F3	M1	M2	ecc
			kN	kN	kN	kNm	kNm	m
<i>min</i>	F1	SLU_STR_087	-134	-82	-1705	-353	773	0.50
<i>min</i>	F2	SLU_STR_072	-100	-87	-1700	-390	526	0.39
<i>min</i>	F3	SLU_STR_069	132	258	-2396	1406	-658	0.65
<i>min</i>	M1	SLU_STR_072	-100	-87	-1700	-390	526	0.39
<i>min</i>	M2	SLU_STR_069	132	258	-2396	1406	-658	0.65
<i>min</i>	M3	SLU_STR_103	2	0	-1261	7	-13	0.01

SLV-SIS	max	Combo.	F1	F2	F3	M1	M2	ecc
			kN	kN	kN	kNm	kNm	m
<i>max</i>	F1	SLV_SIS_008	707	228	-1503	1317	-4402	3
<i>max</i>	F2	SLV_SIS_016	219	661	-2367	3769	-1355	2
<i>max</i>	F3	SLV_SIS_037	-212	-625	124	-3539	1318	31
<i>max</i>	M1	SLV_SIS_016	219	661	-2367	3769	-1355	2
<i>max</i>	M2	SLV_SIS_027	-703	-194	-568	-1100	4391	8
<i>max</i>	M3	SLV_SIS_039	-206	-623	83	-3529	1300	45

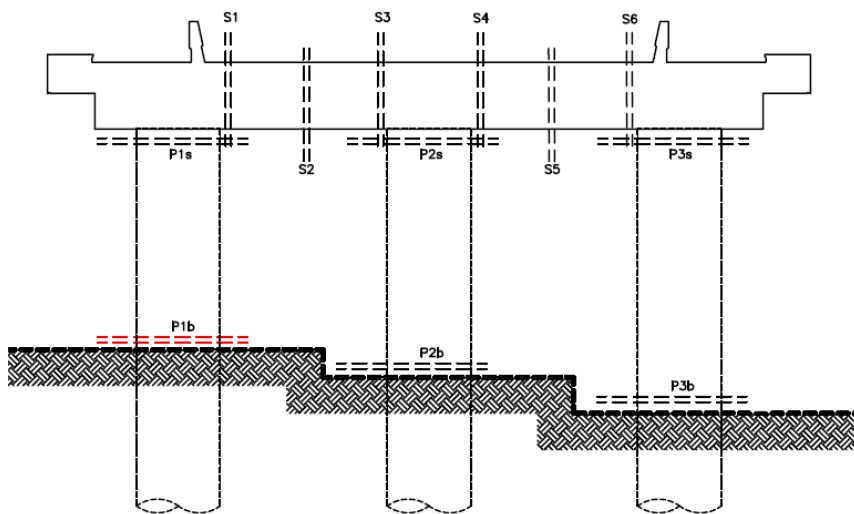
SLV-SIS	min	Combo.	F1	F2	F3	M1	M2	ecc
			kN	kN	kN	kNm	kNm	m
<i>min</i>	F1	SLV_SIS_027	-703	-194	-568	-1100	4391	8

<i>min</i>	F2	SLV_SIS_037	-212	-625	124	-3539	1318	31
<i>min</i>	F3	SLV_SIS_016	219	661	-2367	3769	-1355	2
<i>min</i>	M1	SLV_SIS_037	-212	-625	124	-3539	1318	31
<i>min</i>	M2	SLV_SIS_002	706	227	-1477	1310	-4409	3
<i>min</i>	M3	SLV_SIS_019	202	186	-1567	1059	-1262	1

SLE-STR	max	Combo.	F1	F2	F3	M1	M2	ecc
			kN	kN	kN	kNm	kNm	m
<i>max</i>	F1	SLE_STR_032	78	52	-1271	315	-405	0.40
<i>max</i>	F2	SLE_STR_068	61	98	-1245	565	-316	0.52
<i>max</i>	F3	SLE_STR_037	9	-19	-826	-76	-54	0.11
<i>max</i>	M1	SLE_STR_068	61	98	-1245	565	-316	0.52
<i>max</i>	M2	SLE_STR_087	-79	30	-1155	172	453	0.42
<i>max</i>	M3	SLE_STR_059	-70	92	-1188	528	401	0.56

SLE-STR	min	Combo.	F1	F2	F3	M1	M2	ecc
			kN	kN	kN	kNm	kNm	m
<i>min</i>	F1	SLE_STR_087	-79	30	-1155	172	453	0.42
<i>min</i>	F2	SLE_STR_105	-6	-37	-917	-220	33	0.24
<i>min</i>	F3	SLE_STR_069	74	94	-1304	540	-382	0.51
<i>min</i>	M1	SLE_STR_105	-6	-37	-917	-220	33	0.24
<i>min</i>	M2	SLE_STR_032	78	52	-1271	315	-405	0.40
<i>min</i>	M3	SLE_STR_103	1	-3	-917	-10	-8	0.01

Palo P10- base



SLU-STR	max	Combo.	F1	F2	F3	M1	M2	ecc
			kN	kN	kN	kNm	kNm	m
<i>max</i>	F1	SLU_STR_087	134	82	2063	-138	29	0.07
<i>max</i>	F2	SLU_STR_072	100	87	2057	-131	75	0.07
<i>max</i>	F3	SLU_STR_069	-132	-258	2754	142	-135	0.07
<i>max</i>	M1	SLU_STR_102	-66	-187	2659	155	-91	0.07
<i>max</i>	M2	SLU_STR_073	122	80	1992	-130	94	0.08
<i>max</i>	M3	SLU_STR_004	82	60	1964	-162	79	0.09

SLU-STR	min	Combo.	F1	F2	F3	M1	M2	ecc
			kN	kN	kN	kNm	kNm	m
<i>min</i>	F1	SLU_STR_069	-132	-258	2754	142	-135	0.07
<i>min</i>	F2	SLU_STR_068	-99	-268	2612	140	-95	0.06
<i>min</i>	F3	SLU_STR_037	-12	6	1528	-38	0	0.03
<i>min</i>	M1	SLU_STR_019	54	45	2136	-173	-25	0.08
<i>min</i>	M2	SLU_STR_069	-132	-258	2754	142	-135	0.07
<i>min</i>	M3	SLU_STR_105	9	52	1618	-3	6	0.00

SLV-SIS	max	Combo.	F1	F2	F3	M1	M2	ecc
			kN	kN	kN	kNm	kNm	m
<i>max</i>	F1	SLV_SIS_027	886	249	856	-229	374	0.51
<i>max</i>	F2	SLV_SIS_037	267	808	164	-758	120	4.67
<i>max</i>	F3	SLV_SIS_016	-274	-844	2707	746	-124	0.28
<i>max</i>	M1	SLV_SIS_013	-260	-798	2431	751	-104	0.31
<i>max</i>	M2	SLV_SIS_029	882	250	846	-229	382	0.53
<i>max</i>	M3	SLV_SIS_037	267	808	164	-758	120	4.67

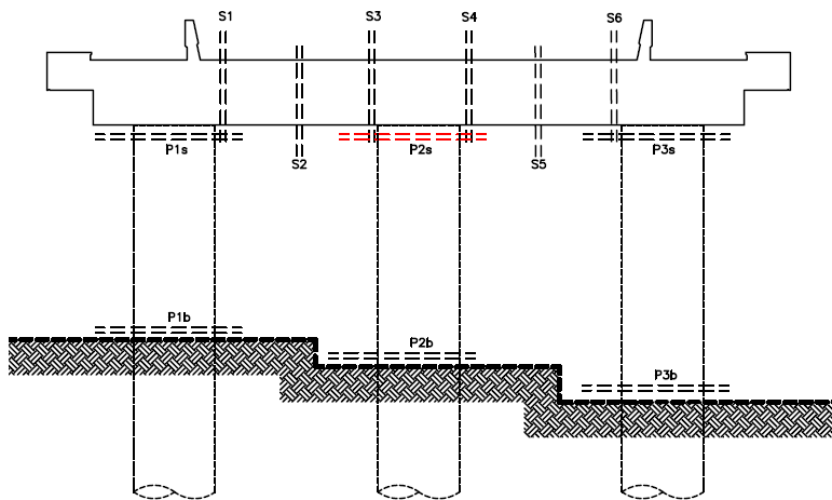
SLV-SIS	min	Combo.	F1	F2	F3	M1	M2	ecc
			kN	kN	kN	kNm	kNm	m
<i>min</i>	F1	SLV_SIS_008	-889	-283	1790	218	-386	0.25

<i>min</i>	F2	SLV_SIS_016	-274	-844	2707	746	-124	0.28
<i>min</i>	F3	SLV_SIS_037	267	808	164	-758	120	4.67
<i>min</i>	M1	SLV_SIS_040	253	762	440	-763	100	1.75
<i>min</i>	M2	SLV_SIS_008	-889	-283	1790	218	-386	0.25
<i>min</i>	M3	SLV_SIS_022	-268	-281	1899	218	-107	0.13

SLE-STR	max	Combo.	F1	F2	F3	M1	M2	ecc
			kN	kN	kN	kNm	kNm	m
<i>max</i>	F1	SLE_STR_087	79	-30	1420	6	24	0.02
<i>max</i>	F2	SLE_STR_105	6	37	1182	-2	4	0.00
<i>max</i>	F3	SLE_STR_069	-74	-94	1569	22	-65	0.04
<i>max</i>	M1	SLE_STR_102	-44	-49	1529	29	-45	0.04
<i>max</i>	M2	SLE_STR_073	75	-30	1390	9	51	0.04
<i>max</i>	M3	SLE_STR_028	-66	-37	1509	-23	-63	0.04

SLE-STR	min	Combo.	F1	F2	F3	M1	M2	ecc
			kN	kN	kN	kNm	kNm	m
<i>min</i>	F1	SLE_STR_032	-78	-52	1536	-5	-66	0.04
<i>min</i>	F2	SLE_STR_068	-61	-98	1510	22	-48	0.03
<i>min</i>	F3	SLE_STR_037	-9	19	1091	-36	0	0.03
<i>min</i>	M1	SLE_STR_037	-9	19	1091	-36	0	0.03
<i>min</i>	M2	SLE_STR_032	-78	-52	1536	-5	-66	0.04
<i>min</i>	M3	SLE_STR_025	53	-46	1479	-2	4	0.00

Palo 11-sommità



SLU-STR	max	Combo.	F1	F2	F3	M1	M2	ecc
			kN	kN	kN	kNm	kNm	m
<i>max</i>	F1	SLU_STR_069	120	180	-2220	912	-587	0.49
<i>max</i>	F2	SLU_STR_068	84	203	-2096	1060	-407	0.54
<i>max</i>	F3	SLU_STR_035	-10	0	-1194	0	55	0.05
<i>max</i>	M1	SLU_STR_068	84	203	-2096	1060	-407	0.54
<i>max</i>	M2	SLU_STR_087	-139	-105	-1919	-512	806	0.50
<i>max</i>	M3	SLU_STR_091	-139	185	-1919	939	806	0.64

SLU-STR	min	Combo.	F1	F2	F3	M1	M2	ecc
			kN	kN	kN	kNm	kNm	m
<i>min</i>	F1	SLU_STR_087	-139	-105	-1919	-512	806	0.50
<i>min</i>	F2	SLU_STR_021	-65	-162	-2072	-837	416	0.45
<i>min</i>	F3	SLU_STR_065	120	-94	-2220	-457	-587	0.33
<i>min</i>	M1	SLU_STR_021	-65	-162	-2072	-837	416	0.45
<i>min</i>	M2	SLU_STR_051	119	187	-2009	953	-683	0.58
<i>min</i>	M3	SLU_STR_103	1	0	-1270	0	-9	0.01

SLV-SIS	max	Combo.	F1	F2	F3	M1	M2	ecc
			kN	kN	kN	kNm	kNm	m
<i>max</i>	F1	SLV_SIS_008	703	196	-1198	1118	-4382	3.77
<i>max</i>	F2	SLV_SIS_009	209	654	-1068	3727	-1309	3.70
<i>max</i>	F3	SLV_SIS_029	-698	-196	-890	-1118	4351	5.05
<i>max</i>	M1	SLV_SIS_009	209	654	-1068	3727	-1309	3.70
<i>max</i>	M2	SLV_SIS_027	-702	-196	-900	-1118	4384	5.03
<i>max</i>	M3	SLV_SIS_029	-698	-196	-890	-1118	4351	5.05

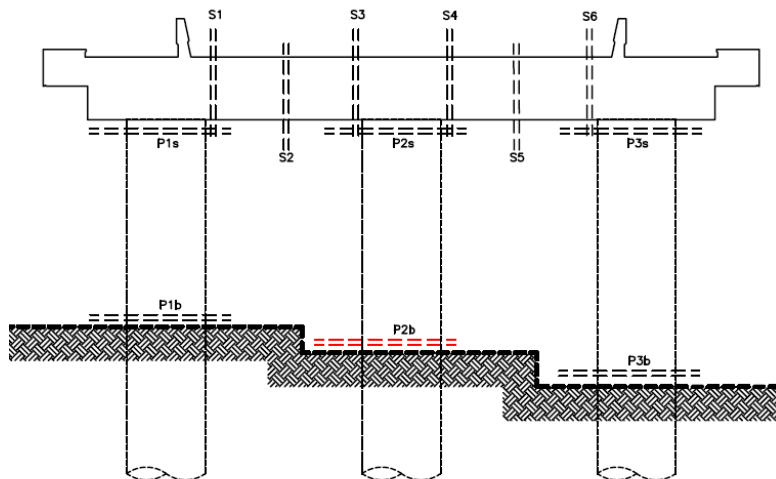
SLV-SIS	min	Combo.	F1	F2	F3	M1	M2	ecc
			kN	kN	kN	kNm	kNm	m

<i>min</i>	F1	SLV_SIS_027	-702	-196	-900	-1118	4384	5.03
<i>min</i>	F2	SLV_SIS_033	-207	-654	-993	-3727	1292	3.97
<i>min</i>	F3	SLV_SIS_016	218	654	-1295	3727	-1345	3.06
<i>min</i>	M1	SLV_SIS_033	-207	-654	-993	-3727	1292	3.97
<i>min</i>	M2	SLV_SIS_002	703	196	-1172	1118	-4394	3.87
<i>min</i>	M3	SLV_SIS_023	209	196	-1278	1118	-1295	1.34

SLE-STR	max	Combo.	F1	F2	F3	M1	M2	ecc
			kN	kN	kN	kNm	kNm	m
<i>max</i>	F1	SLE_STR_032	73	9	-1291	43	-371	0.29
<i>max</i>	F2	SLE_STR_068	58	60	-1239	325	-296	0.35
<i>max</i>	F3	SLE_STR_035	-7	0	-854	0	38	0.04
<i>max</i>	M1	SLE_STR_068	58	60	-1239	325	-296	0.35
<i>max</i>	M2	SLE_STR_087	-81	30	-1153	161	461	0.42
<i>max</i>	M3	SLE_STR_091	-81	52	-1153	271	461	0.46

SLE-STR	min	Combo.	F1	F2	F3	M1	M2	ecc
			kN	kN	kN	kNm	kNm	m
<i>min</i>	F1	SLE_STR_087	-81	30	-1153	161	461	0.42
<i>min</i>	F2	SLE_STR_037	5	-41	-875	-221	-29	0.25
<i>min</i>	F3	SLE_STR_028	73	-7	-1291	-34	-371	0.29
<i>min</i>	M1	SLE_STR_037	5	-41	-875	-221	-29	0.25
<i>min</i>	M2	SLE_STR_014	72	12	-1203	60	-411	0.34
<i>min</i>	M3	SLE_STR_103	0	0	-923	0	-5	0.01

Palo P11- base



SLU-STR	max	Combo.	F1	F2	F3	M1	M2	ecc
			kN	kN	kN	kNm	kNm	m
<i>max</i>	F1	SLU_STR_087	139	105	2277	-116	27	0.05
<i>max</i>	F2	SLU_STR_021	65	162	2430	-132	-27	0.06
<i>max</i>	F3	SLU_STR_065	-120	94	2578	-109	-136	0.07
<i>max</i>	M1	SLU_STR_070	-84	-163	2453	177	-97	0.08
<i>max</i>	M2	SLU_STR_073	106	97	2196	-110	92	0.07
<i>max</i>	M3	SLU_STR_077	106	-177	2196	165	92	0.09

SLU-STR	min	Combo.	F1	F2	F3	M1	M2	ecc
			kN	kN	kN	kNm	kNm	m
<i>min</i>	F1	SLU_STR_069	-120	-180	2578	166	-136	0.08
<i>min</i>	F2	SLU_STR_068	-84	-203	2453	160	-97	0.08
<i>min</i>	F3	SLU_STR_035	10	0	1552	0	5	0.00
<i>min</i>	M1	SLU_STR_019	65	122	2430	-149	-27	0.06
<i>min</i>	M2	SLU_STR_069	-120	-180	2578	166	-136	0.08
<i>min</i>	M3	SLU_STR_034	-12	0	1593	0	0	0.00

SLV-SIS	max	Combo.	F1	F2	F3	M1	M2	ecc
			kN	kN	kN	kNm	kNm	m
<i>max</i>	F1	SLV_SIS_027	884	251	1188	-223	375	0.4
<i>max</i>	F2	SLV_SIS_033	262	836	1280	-743	116	0.6
<i>max</i>	F3	SLV_SIS_016	-272	-836	1635	743	-125	0.5
<i>max</i>	M1	SLV_SIS_009	-264	-836	1356	743	-109	0.6
<i>max</i>	M2	SLV_SIS_029	880	251	1178	-223	383	0.4
<i>max</i>	M3	SLV_SIS_037	267	836	1266	-743	120	0.6

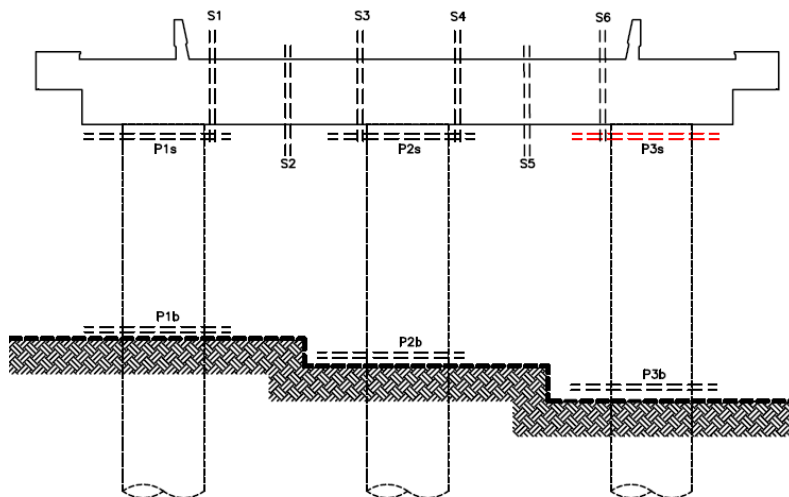
SLV-SIS	min	Combo.	F1	F2	F3	M1	M2	ecc
			kN	kN	kN	kNm	kNm	m

<i>min</i>	F1	SLV_SIS_008	-886	-251	1486	223	-388	0.3
<i>min</i>	F2	SLV_SIS_009	-264	-836	1356	743	-109	0.6
<i>min</i>	F3	SLV_SIS_029	880	251	1178	-223	383	0.4
<i>min</i>	M1	SLV_SIS_033	262	836	1280	-743	116	0.6
<i>min</i>	M2	SLV_SIS_008	-886	-251	1486	223	-388	0.3
<i>min</i>	M3	SLV_SIS_018	-272	-251	1609	223	-112	0.2

SLE-STR	max	Combo.	F1	F2	F3	M1	M2	ecc
			kN	kN	kN	kNm	kNm	m
<i>max</i>	F1	SLE_STR_087	81	-30	1418	17	22	0.02
<i>max</i>	F2	SLE_STR_037	-5	41	1140	-28	1	0.02
<i>max</i>	F3	SLE_STR_028	-73	7	1556	-8	-66	0.04
<i>max</i>	M1	SLE_STR_070	-58	-43	1504	42	-49	0.04
<i>max</i>	M2	SLE_STR_073	67	-33	1384	19	49	0.04
<i>max</i>	M3	SLE_STR_069	-73	-50	1556	37	-66	0.05

SLE-STR	min	Combo.	F1	F2	F3	M1	M2	ecc
			kN	kN	kN	kNm	kNm	m
<i>min</i>	F1	SLE_STR_032	-73	-9	1556	9	-66	0.04
<i>min</i>	F2	SLE_STR_068	-58	-60	1504	35	-49	0.04
<i>min</i>	F3	SLE_STR_035	7	0	1119	0	4	0.00
<i>min</i>	M1	SLE_STR_037	-5	41	1140	-28	1	0.02
<i>min</i>	M2	SLE_STR_032	-73	-9	1556	9	-66	0.04
<i>min</i>	M3	SLE_STR_034	-8	0	1146	0	0	0.00

Palo 12- sommità



SLU-STR	max	Combo.	F1	F2	F3	M1	M2	ecc
			kN	kN	kN	kNm	kNm	m
<i>max</i>	F1	SLU_STR_065	149	-172	-2330	-945	-754	0.52
<i>max</i>	F2	SLU_STR_086	81	170	-1661	832	-480	0.58
<i>max</i>	F3	SLU_STR_036	12	6	-1170	-4	-72	0.06
<i>max</i>	M1	SLU_STR_086	81	170	-1661	832	-480	0.58
<i>max</i>	M2	SLU_STR_091	-134	164	-1641	790	777	0.68
<i>max</i>	M3	SLU_STR_091	-134	164	-1641	790	777	0.68

SLU-STR	min	Combo.	F1	F2	F3	M1	M2	ecc
			kN	kN	kN	kNm	kNm	m
<i>min</i>	F1	SLU_STR_091	-134	164	-1641	790	777	0.68
<i>min</i>	F2	SLU_STR_021	-45	-225	-2199	-1235	296	0.58
<i>min</i>	F3	SLU_STR_028	119	-214	-2359	-1170	-590	0.56
<i>min</i>	M1	SLU_STR_021	-45	-225	-2199	-1235	296	0.58
<i>min</i>	M2	SLU_STR_065	149	-172	-2330	-945	-754	0.52
<i>min</i>	M3	SLU_STR_103	2	0	-1261	-7	-13	0.01

SLV-SIS	max	Combo.	F1	F2	F3	M1	M2	ecc
			kN	kN	kN	kNm	kNm	m
<i>max</i>	F1	SLV_SIS_008	707	143	-845	786	-4403	5.3
<i>max</i>	F2	SLV_SIS_013	205	622	50	3521	-1292	74.8
<i>max</i>	F3	SLV_SIS_013	205	622	50	3521	-1292	74.8
<i>max</i>	M1	SLV_SIS_013	205	622	50	3521	-1292	74.8
<i>max</i>	M2	SLV_SIS_027	-703	-177	-1227	-1004	4392	3.7
<i>max</i>	M3	SLV_SIS_015	211	621	10	3512	-1310	374.7

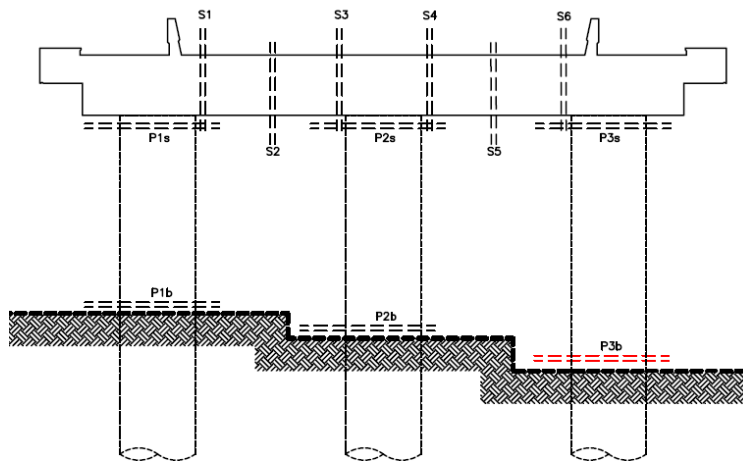
SLV-SIS	min	Combo.	F1	F2	F3	M1	M2	ecc
			kN	kN	kN	kNm	kNm	m
<i>min</i>	F1	SLV_SIS_027	-703	-177	-1227	-1004	4392	3.7

<i>min</i>	F2	SLV_SIS_040	-198	-659	-2293	-3752	1255	1.7
<i>min</i>	F3	SLV_SIS_040	-198	-659	-2293	-3752	1255	1.7
<i>min</i>	M1	SLV_SIS_040	-198	-659	-2293	-3752	1255	1.7
<i>min</i>	M2	SLV_SIS_002	706	144	-819	793	-4409	5.5
<i>min</i>	M3	SLV_SIS_047	-207	-184	-1524	-1046	1303	1.1

SLE-STR	max	Combo.	F1	F2	F3	M1	M2	ecc
			kN	kN	kN	kNm	kNm	m
<i>max</i>	F1	SLE_STR_065	88	-8	-1238	-83	-461	0.38
<i>max</i>	F2	SLE_STR_086	57	56	-1105	288	-329	0.40
<i>max</i>	F3	SLE_STR_036	9	19	-826	76	-54	0.11
<i>max</i>	M1	SLE_STR_086	57	56	-1105	288	-329	0.40
<i>max</i>	M2	SLE_STR_091	-77	53	-1090	268	440	0.47
<i>max</i>	M3	SLE_STR_091	-77	53	-1090	268	440	0.47

SLE-STR	min	Combo.	F1	F2	F3	M1	M2	ecc
			kN	kN	kN	kNm	kNm	m
<i>min</i>	F1	SLE_STR_091	-77	53	-1090	268	440	0.47
<i>min</i>	F2	SLE_STR_037	1	-65	-891	-373	-8	0.42
<i>min</i>	F3	SLE_STR_028	84	-50	-1271	-307	-438	0.42
<i>min</i>	M1	SLE_STR_037	1	-65	-891	-373	-8	0.42
<i>min</i>	M2	SLE_STR_065	88	-8	-1238	-83	-461	0.38
<i>min</i>	M3	SLE_STR_103	1	3	-917	10	-8	0.01

Palo P12- base



SLU-STR	max	Combo.	F1	F2	F3	M1	M2	ecc
			kN	kN	kN	kNm	kNm	m
<i>max</i>	F1	SLU_STR_091	134	-164	1999	192	29	0.10
<i>max</i>	F2	SLU_STR_021	45	225	2556	-113	-27	0.05
<i>max</i>	F3	SLU_STR_028	-119	214	2716	-113	-126	0.06
<i>max</i>	M1	SLU_STR_070	-100	-87	2126	201	-96	0.10
<i>max</i>	M2	SLU_STR_077	123	-162	1927	185	94	0.11
<i>max</i>	M3	SLU_STR_045	110	-100	1929	189	90	0.11

SLU-STR	min	Combo.	F1	F2	F3	M1	M2	ecc
			kN	kN	kN	kNm	kNm	m
<i>min</i>	F1	SLU_STR_065	-149	172	2687	-85	-139	0.06
<i>min</i>	F2	SLU_STR_086	-81	-170	2019	187	-8	0.09
<i>min</i>	F3	SLU_STR_036	-12	-6	1528	38	0	0.03
<i>min</i>	M1	SLU_STR_019	66	206	2604	-123	-26	0.05
<i>min</i>	M2	SLU_STR_065	-149	172	2687	-85	-139	0.06
<i>min</i>	M3	SLU_STR_105	9	-52	1618	3	6	0.00

SLV-SIS	max	Combo.	F1	F2	F3	M1	M2	ecc
			kN	kN	kN	kNm	kNm	m
<i>max</i>	F1	SLV_SIS_027	886	232	1514	-224	374	0.29
<i>max</i>	F2	SLV_SIS_040	253	841	2634	-747	100	0.29
<i>max</i>	F3	SLV_SIS_040	253	841	2634	-747	100	0.29
<i>max</i>	M1	SLV_SIS_016	-274	-759	514	763	-125	1.51
<i>max</i>	M2	SLV_SIS_029	882	231	1505	-224	382	0.29
<i>max</i>	M3	SLV_SIS_013	-260	-805	238	759	-105	3.22

SLV-SIS	min	Combo.	F1	F2	F3	M1	M2	ecc
			kN	kN	kN	kNm	kNm	m
<i>min</i>	F1	SLV_SIS_008	-890	-198	1132	235	-386	0.40

<i>min</i>	F2	SLV_SIS_013	-260	-805	238	759	-105	3.22
<i>min</i>	F3	SLV_SIS_013	-260	-805	238	759	-105	3.22
<i>min</i>	M1	SLV_SIS_037	267	796	2358	-751	120	0.32
<i>min</i>	M2	SLV_SIS_008	-890	-198	1132	235	-386	0.40
<i>min</i>	M3	SLV_SIS_048	253	280	1866	-219	100	0.13

SLE-STR	max	Combo.	F1	F2	F3	M1	M2	ecc
			kN	kN	kN	kNm	kNm	m
<i>max</i>	F1	SLE_STR_091	77	-53	1355	49	23	0.04
<i>max</i>	F2	SLE_STR_037	-1	65	1156	-20	2	0.02
<i>max</i>	F3	SLE_STR_028	-84	50	1536	6	-67	0.04
<i>max</i>	M1	SLE_STR_070	-68	-6	1415	54	-50	0.05
<i>max</i>	M2	SLE_STR_077	72	-52	1325	46	50	0.05
<i>max</i>	M3	SLE_STR_069	-76	-7	1476	52	-65	0.06

SLE-STR	min	Combo.	F1	F2	F3	M1	M2	ecc
			kN	kN	kN	kNm	kNm	m
<i>min</i>	F1	SLE_STR_065	-88	8	1503	34	-68	0.05
<i>min</i>	F2	SLE_STR_086	-57	-56	1370	47	-12	0.04
<i>min</i>	F3	SLE_STR_036	-9	-19	1091	36	0	0.03
<i>min</i>	M1	SLE_STR_037	-1	65	1156	-20	2	0.02
<i>min</i>	M2	SLE_STR_065	-88	8	1503	34	-68	0.05
<i>min</i>	M3	SLE_STR_019	58	48	1480	2	5	0.00

2 Combinazioni di carico

TABLE: Combination Definitions						
ComboName	ComboType	AutoDesign	CaseType	CaseName	ScaleFactor	SteelDesign
Text	Text	Yes/No	Text	Text	Unitless	Text
SLU_STR_001	Linear Add	No	Linear Static	G1	1.35	None
SLU_STR_001			Linear Static	G2,1	1.5	
SLU_STR_001			Linear Static	G2,2	1.5	
SLU_STR_001			Linear Static	G2,3	1.5	
SLU_STR_001			Linear Static	G2,4	1.5	
SLU_STR_001			Linear Static	G2,5	1.5	
SLU_STR_001			Linear Static	Q1,1	0	
SLU_STR_001			Linear Static	Q1,2	0	
SLU_STR_001			Linear Static	Q1,3	0	
SLU_STR_001			Linear Static	Q1,4	0	
SLU_STR_001			Linear Static	Q2,1	0	
SLU_STR_001			Linear Static	Q2,2	0	
SLU_STR_001			Linear Static	Q3,1	0	
SLU_STR_001			Linear Static	Q3,2	0	
SLU_STR_001			Linear Static	Q3,3	0	
SLU_STR_001			Linear Static	Q3,4	0	
SLU_STR_001			Linear Static	Q4,1	0	
SLU_STR_001			Linear Static	Q4,2	0	
SLU_STR_001			Linear Static	Q4,3	0	
SLU_STR_001			Linear Static	Q4,4	0	
SLU_STR_001			Linear Static	Q5u	0.9	
SLU_STR_001			Linear Static	Q5d	0.9	
SLU_STR_001			Linear Static	Q6,1	0	
SLU_STR_001			Linear Static	Q6,2	0	
SLU_STR_001			Linear Static	Q7	1.2	
SLU_STR_001			Linear Static	Q8,1	0	
SLU_STR_001			Linear Static	Q8,2	0	
SLU_STR_001			Linear Static	Ex	0	
SLU_STR_001			Linear Static	Ey	0	
SLU_STR_001			Linear Static	Ez	0	
SLU_STR_002	Linear Add	No	Linear Static	G1	1.35	None
SLU_STR_002			Linear Static	G2,1	1.5	
SLU_STR_002			Linear Static	G2,2	1.5	
SLU_STR_002			Linear Static	G2,3	1.5	
SLU_STR_002			Linear Static	G2,4	1.5	
SLU_STR_002			Linear Static	G2,5	1.5	
SLU_STR_002			Linear Static	Q1,1	1.59	
SLU_STR_002			Linear Static	Q1,2	1.59	
SLU_STR_002			Linear Static	Q1,3	0	
SLU_STR_002			Linear Static	Q1,4	0	
SLU_STR_002			Linear Static	Q2,1	0	
SLU_STR_002			Linear Static	Q2,2	0	
SLU_STR_002			Linear Static	Q3,1	0	
SLU_STR_002			Linear Static	Q3,2	0	

SLU_STR_002			Linear Static	Q3,3	0	
SLU_STR_002			Linear Static	Q3,4	0	
SLU_STR_002			Linear Static	Q4,1	1.59	
SLU_STR_002			Linear Static	Q4,2	1.59	
SLU_STR_002			Linear Static	Q4,3	1.59	
SLU_STR_002			Linear Static	Q4,4	0	
SLU_STR_002			Linear Static	Q5u	0.9	
SLU_STR_002			Linear Static	Q5d	0.9	
SLU_STR_002			Linear Static	Q6,1	0	
SLU_STR_002			Linear Static	Q6,2	0	
SLU_STR_002			Linear Static	Q7	1.2	
SLU_STR_002			Linear Static	Q8,1	0.72	
SLU_STR_002			Linear Static	Q8,2	0	
SLU_STR_002			Linear Static	Ex	0	
SLU_STR_002			Linear Static	Ey	0	
SLU_STR_002			Linear Static	Ez	0	
SLU_STR_003	Linear Add	No	Linear Static	G1	1.35	None
SLU_STR_003			Linear Static	G2,1	1.5	
SLU_STR_003			Linear Static	G2,2	1.5	
SLU_STR_003			Linear Static	G2,3	1.5	
SLU_STR_003			Linear Static	G2,4	1.5	
SLU_STR_003			Linear Static	G2,5	1.5	
SLU_STR_003			Linear Static	Q1,1	1.59	
SLU_STR_003			Linear Static	Q1,2	0	
SLU_STR_003			Linear Static	Q1,3	0	
SLU_STR_003			Linear Static	Q1,4	1.59	
SLU_STR_003			Linear Static	Q2,1	0	
SLU_STR_003			Linear Static	Q2,2	0	
SLU_STR_003			Linear Static	Q3,1	0	
SLU_STR_003			Linear Static	Q3,2	0	
SLU_STR_003			Linear Static	Q3,3	0	
SLU_STR_003			Linear Static	Q3,4	0	
SLU_STR_003			Linear Static	Q4,1	1.59	
SLU_STR_003			Linear Static	Q4,2	1.59	
SLU_STR_003			Linear Static	Q4,3	0.79	
SLU_STR_003			Linear Static	Q4,4	0.79	
SLU_STR_003			Linear Static	Q5u	0.9	
SLU_STR_003			Linear Static	Q5d	0.9	
SLU_STR_003			Linear Static	Q6,1	0	
SLU_STR_003			Linear Static	Q6,2	0	
SLU_STR_003			Linear Static	Q7	1.2	
SLU_STR_003			Linear Static	Q8,1	0.72	
SLU_STR_003			Linear Static	Q8,2	0	
SLU_STR_003			Linear Static	Ex	0	
SLU_STR_003			Linear Static	Ey	0	
SLU_STR_003			Linear Static	Ez	0	
SLU_STR_004	Linear Add	No	Linear Static	G1	1.35	None

SLU_STR_004			Linear Static	G2,1	1.5	
SLU_STR_004			Linear Static	G2,2	1.5	
SLU_STR_004			Linear Static	G2,3	1.5	
SLU_STR_004			Linear Static	G2,4	1.5	
SLU_STR_004			Linear Static	G2,5	1.5	
SLU_STR_004			Linear Static	Q1,1	0	
SLU_STR_004			Linear Static	Q1,2	0	
SLU_STR_004			Linear Static	Q1,3	1.59	
SLU_STR_004			Linear Static	Q1,4	1.59	
SLU_STR_004			Linear Static	Q2,1	0	
SLU_STR_004			Linear Static	Q2,2	0	
SLU_STR_004			Linear Static	Q3,1	0	
SLU_STR_004			Linear Static	Q3,2	0	
SLU_STR_004			Linear Static	Q3,3	0	
SLU_STR_004			Linear Static	Q3,4	0	
SLU_STR_004			Linear Static	Q4,1	1.59	
SLU_STR_004			Linear Static	Q4,2	1.59	
SLU_STR_004			Linear Static	Q4,3	0	
SLU_STR_004			Linear Static	Q4,4	1.59	
SLU_STR_004			Linear Static	Q5u	0.9	
SLU_STR_004			Linear Static	Q5d	0.9	
SLU_STR_004			Linear Static	Q6,1	0	
SLU_STR_004			Linear Static	Q6,2	0	
SLU_STR_004			Linear Static	Q7	1.2	
SLU_STR_004			Linear Static	Q8,1	0.72	
SLU_STR_004			Linear Static	Q8,2	0	
SLU_STR_004			Linear Static	Ex	0	
SLU_STR_004			Linear Static	Ey	0	
SLU_STR_004			Linear Static	Ez	0	
SLU_STR_005	Linear Add	No	Linear Static	G1	1.35	None
SLU_STR_005			Linear Static	G2,1	1.5	
SLU_STR_005			Linear Static	G2,2	1.5	
SLU_STR_005			Linear Static	G2,3	1.5	
SLU_STR_005			Linear Static	G2,4	1.5	
SLU_STR_005			Linear Static	G2,5	1.5	
SLU_STR_005			Linear Static	Q1,1	0	
SLU_STR_005			Linear Static	Q1,2	1.59	
SLU_STR_005			Linear Static	Q1,3	1.59	
SLU_STR_005			Linear Static	Q1,4	0	
SLU_STR_005			Linear Static	Q2,1	0	
SLU_STR_005			Linear Static	Q2,2	0	
SLU_STR_005			Linear Static	Q3,1	0	
SLU_STR_005			Linear Static	Q3,2	0	
SLU_STR_005			Linear Static	Q3,3	0	
SLU_STR_005			Linear Static	Q3,4	0	
SLU_STR_005			Linear Static	Q4,1	1.59	
SLU_STR_005			Linear Static	Q4,2	1.59	

SLU_STR_005			Linear Static	Q4,3	0.79	
SLU_STR_005			Linear Static	Q4,4	0.79	
SLU_STR_005			Linear Static	Q5u	0.9	
SLU_STR_005			Linear Static	Q5d	0.9	
SLU_STR_005			Linear Static	Q6,1	0	
SLU_STR_005			Linear Static	Q6,2	0	
SLU_STR_005			Linear Static	Q7	1.2	
SLU_STR_005			Linear Static	Q8,1	0.72	
SLU_STR_005			Linear Static	Q8,2	0	
SLU_STR_005			Linear Static	Ex	0	
SLU_STR_005			Linear Static	Ey	0	
SLU_STR_005			Linear Static	Ez	0	
SLU_STR_006	Linear Add	No	Linear Static	G1	1.35	None
SLU_STR_006			Linear Static	G2,1	1.5	
SLU_STR_006			Linear Static	G2,2	1.5	
SLU_STR_006			Linear Static	G2,3	1.5	
SLU_STR_006			Linear Static	G2,4	1.5	
SLU_STR_006			Linear Static	G2,5	1.5	
SLU_STR_006			Linear Static	Q1,1	1.59	
SLU_STR_006			Linear Static	Q1,2	1.59	
SLU_STR_006			Linear Static	Q1,3	0	
SLU_STR_006			Linear Static	Q1,4	0	
SLU_STR_006			Linear Static	Q2,1	0	
SLU_STR_006			Linear Static	Q2,2	0	
SLU_STR_006			Linear Static	Q3,1	0	
SLU_STR_006			Linear Static	Q3,2	0	
SLU_STR_006			Linear Static	Q3,3	0	
SLU_STR_006			Linear Static	Q3,4	0	
SLU_STR_006			Linear Static	Q4,1	-1.59	
SLU_STR_006			Linear Static	Q4,2	-1.59	
SLU_STR_006			Linear Static	Q4,3	-1.59	
SLU_STR_006			Linear Static	Q4,4	0	
SLU_STR_006			Linear Static	Q5u	0.9	
SLU_STR_006			Linear Static	Q5d	0.9	
SLU_STR_006			Linear Static	Q6,1	0	
SLU_STR_006			Linear Static	Q6,2	0	
SLU_STR_006			Linear Static	Q7	1.2	
SLU_STR_006			Linear Static	Q8,1	0.72	
SLU_STR_006			Linear Static	Q8,2	0	
SLU_STR_006			Linear Static	Ex	0	
SLU_STR_006			Linear Static	Ey	0	
SLU_STR_006			Linear Static	Ez	0	
SLU_STR_007	Linear Add	No	Linear Static	G1	1.35	None
SLU_STR_007			Linear Static	G2,1	1.5	
SLU_STR_007			Linear Static	G2,2	1.5	
SLU_STR_007			Linear Static	G2,3	1.5	
SLU_STR_007			Linear Static	G2,4	1.5	

SLU_STR_007			Linear Static	G2,5	1.5	
SLU_STR_007			Linear Static	Q1,1	1.59	
SLU_STR_007			Linear Static	Q1,2	0	
SLU_STR_007			Linear Static	Q1,3	0	
SLU_STR_007			Linear Static	Q1,4	1.59	
SLU_STR_007			Linear Static	Q2,1	0	
SLU_STR_007			Linear Static	Q2,2	0	
SLU_STR_007			Linear Static	Q3,1	0	
SLU_STR_007			Linear Static	Q3,2	0	
SLU_STR_007			Linear Static	Q3,3	0	
SLU_STR_007			Linear Static	Q3,4	0	
SLU_STR_007			Linear Static	Q4,1	-1.59	
SLU_STR_007			Linear Static	Q4,2	-1.59	
SLU_STR_007			Linear Static	Q4,3	-0.79	
SLU_STR_007			Linear Static	Q4,4	-0.79	
SLU_STR_007			Linear Static	Q5u	0.9	
SLU_STR_007			Linear Static	Q5d	0.9	
SLU_STR_007			Linear Static	Q6,1	0	
SLU_STR_007			Linear Static	Q6,2	0	
SLU_STR_007			Linear Static	Q7	1.2	
SLU_STR_007			Linear Static	Q8,1	0.72	
SLU_STR_007			Linear Static	Q8,2	0	
SLU_STR_007			Linear Static	Ex	0	
SLU_STR_007			Linear Static	Ey	0	
SLU_STR_007			Linear Static	Ez	0	
SLU_STR_008	Linear Add	No	Linear Static	G1	1.35	None
SLU_STR_008			Linear Static	G2,1	1.5	
SLU_STR_008			Linear Static	G2,2	1.5	
SLU_STR_008			Linear Static	G2,3	1.5	
SLU_STR_008			Linear Static	G2,4	1.5	
SLU_STR_008			Linear Static	G2,5	1.5	
SLU_STR_008			Linear Static	Q1,1	0	
SLU_STR_008			Linear Static	Q1,2	0	
SLU_STR_008			Linear Static	Q1,3	1.59	
SLU_STR_008			Linear Static	Q1,4	1.59	
SLU_STR_008			Linear Static	Q2,1	0	
SLU_STR_008			Linear Static	Q2,2	0	
SLU_STR_008			Linear Static	Q3,1	0	
SLU_STR_008			Linear Static	Q3,2	0	
SLU_STR_008			Linear Static	Q3,3	0	
SLU_STR_008			Linear Static	Q3,4	0	
SLU_STR_008			Linear Static	Q4,1	-1.59	
SLU_STR_008			Linear Static	Q4,2	-1.59	
SLU_STR_008			Linear Static	Q4,3	0	
SLU_STR_008			Linear Static	Q4,4	-1.59	
SLU_STR_008			Linear Static	Q5u	0.9	
SLU_STR_008			Linear Static	Q5d	0.9	

SLU_STR_008			Linear Static	Q6,1	0	
SLU_STR_008			Linear Static	Q6,2	0	
SLU_STR_008			Linear Static	Q7	1.2	
SLU_STR_008			Linear Static	Q8,1	0.72	
SLU_STR_008			Linear Static	Q8,2	0	
SLU_STR_008			Linear Static	Ex	0	
SLU_STR_008			Linear Static	Ey	0	
SLU_STR_008			Linear Static	Ez	0	
SLU_STR_009	Linear Add	No	Linear Static	G1	1.35	None
SLU_STR_009			Linear Static	G2,1	1.5	
SLU_STR_009			Linear Static	G2,2	1.5	
SLU_STR_009			Linear Static	G2,3	1.5	
SLU_STR_009			Linear Static	G2,4	1.5	
SLU_STR_009			Linear Static	G2,5	1.5	
SLU_STR_009			Linear Static	Q1,1	0	
SLU_STR_009			Linear Static	Q1,2	1.59	
SLU_STR_009			Linear Static	Q1,3	1.59	
SLU_STR_009			Linear Static	Q1,4	0	
SLU_STR_009			Linear Static	Q2,1	0	
SLU_STR_009			Linear Static	Q2,2	0	
SLU_STR_009			Linear Static	Q3,1	0	
SLU_STR_009			Linear Static	Q3,2	0	
SLU_STR_009			Linear Static	Q3,3	0	
SLU_STR_009			Linear Static	Q3,4	0	
SLU_STR_009			Linear Static	Q4,1	-1.59	
SLU_STR_009			Linear Static	Q4,2	-1.59	
SLU_STR_009			Linear Static	Q4,3	-0.79	
SLU_STR_009			Linear Static	Q4,4	-0.79	
SLU_STR_009			Linear Static	Q5u	0.9	
SLU_STR_009			Linear Static	Q5d	0.9	
SLU_STR_009			Linear Static	Q6,1	0	
SLU_STR_009			Linear Static	Q6,2	0	
SLU_STR_009			Linear Static	Q7	1.2	
SLU_STR_009			Linear Static	Q8,1	0.72	
SLU_STR_009			Linear Static	Q8,2	0	
SLU_STR_009			Linear Static	Ex	0	
SLU_STR_009			Linear Static	Ey	0	
SLU_STR_009			Linear Static	Ez	0	
SLU_STR_010	Linear Add	No	Linear Static	G1	1.35	None
SLU_STR_010			Linear Static	G2,1	1.5	
SLU_STR_010			Linear Static	G2,2	1.5	
SLU_STR_010			Linear Static	G2,3	1.5	
SLU_STR_010			Linear Static	G2,4	1.5	
SLU_STR_010			Linear Static	G2,5	1.5	
SLU_STR_010			Linear Static	Q1,1	1.59	
SLU_STR_010			Linear Static	Q1,2	1.59	
SLU_STR_010			Linear Static	Q1,3	0	

SLU_STR_010			Linear Static	Q1,4	0	
SLU_STR_010			Linear Static	Q2,1	0	
SLU_STR_010			Linear Static	Q2,2	0	
SLU_STR_010			Linear Static	Q3,1	0	
SLU_STR_010			Linear Static	Q3,2	0	
SLU_STR_010			Linear Static	Q3,3	0	
SLU_STR_010			Linear Static	Q3,4	0	
SLU_STR_010			Linear Static	Q4,1	1.59	
SLU_STR_010			Linear Static	Q4,2	1.59	
SLU_STR_010			Linear Static	Q4,3	1.59	
SLU_STR_010			Linear Static	Q4,4	0	
SLU_STR_010			Linear Static	Q5u	0.9	
SLU_STR_010			Linear Static	Q5d	0.9	
SLU_STR_010			Linear Static	Q6,1	0	
SLU_STR_010			Linear Static	Q6,2	0	
SLU_STR_010			Linear Static	Q7	1.2	
SLU_STR_010			Linear Static	Q8,1	-0.72	
SLU_STR_010			Linear Static	Q8,2	0	
SLU_STR_010			Linear Static	Ex	0	
SLU_STR_010			Linear Static	Ey	0	
SLU_STR_010			Linear Static	Ez	0	
SLU_STR_011	Linear Add	No	Linear Static	G1	1.35	None
SLU_STR_011			Linear Static	G2,1	1.5	
SLU_STR_011			Linear Static	G2,2	1.5	
SLU_STR_011			Linear Static	G2,3	1.5	
SLU_STR_011			Linear Static	G2,4	1.5	
SLU_STR_011			Linear Static	G2,5	1.5	
SLU_STR_011			Linear Static	Q1,1	1.59	
SLU_STR_011			Linear Static	Q1,2	0	
SLU_STR_011			Linear Static	Q1,3	0	
SLU_STR_011			Linear Static	Q1,4	1.59	
SLU_STR_011			Linear Static	Q2,1	0	
SLU_STR_011			Linear Static	Q2,2	0	
SLU_STR_011			Linear Static	Q3,1	0	
SLU_STR_011			Linear Static	Q3,2	0	
SLU_STR_011			Linear Static	Q3,3	0	
SLU_STR_011			Linear Static	Q3,4	0	
SLU_STR_011			Linear Static	Q4,1	1.59	
SLU_STR_011			Linear Static	Q4,2	1.59	
SLU_STR_011			Linear Static	Q4,3	0.79	
SLU_STR_011			Linear Static	Q4,4	0.79	
SLU_STR_011			Linear Static	Q5u	0.9	
SLU_STR_011			Linear Static	Q5d	0.9	
SLU_STR_011			Linear Static	Q6,1	0	
SLU_STR_011			Linear Static	Q6,2	0	
SLU_STR_011			Linear Static	Q7	1.2	
SLU_STR_011			Linear Static	Q8,1	-0.72	

SLU_STR_011			Linear Static	Q8,2	0	
SLU_STR_011			Linear Static	Ex	0	
SLU_STR_011			Linear Static	Ey	0	
SLU_STR_011			Linear Static	Ez	0	
SLU_STR_012	Linear Add	No	Linear Static	G1	1.35	None
SLU_STR_012			Linear Static	G2,1	1.5	
SLU_STR_012			Linear Static	G2,2	1.5	
SLU_STR_012			Linear Static	G2,3	1.5	
SLU_STR_012			Linear Static	G2,4	1.5	
SLU_STR_012			Linear Static	G2,5	1.5	
SLU_STR_012			Linear Static	Q1,1	0	
SLU_STR_012			Linear Static	Q1,2	0	
SLU_STR_012			Linear Static	Q1,3	1.59	
SLU_STR_012			Linear Static	Q1,4	1.59	
SLU_STR_012			Linear Static	Q2,1	0	
SLU_STR_012			Linear Static	Q2,2	0	
SLU_STR_012			Linear Static	Q3,1	0	
SLU_STR_012			Linear Static	Q3,2	0	
SLU_STR_012			Linear Static	Q3,3	0	
SLU_STR_012			Linear Static	Q3,4	0	
SLU_STR_012			Linear Static	Q4,1	1.59	
SLU_STR_012			Linear Static	Q4,2	1.59	
SLU_STR_012			Linear Static	Q4,3	0	
SLU_STR_012			Linear Static	Q4,4	1.59	
SLU_STR_012			Linear Static	Q5u	0.9	
SLU_STR_012			Linear Static	Q5d	0.9	
SLU_STR_012			Linear Static	Q6,1	0	
SLU_STR_012			Linear Static	Q6,2	0	
SLU_STR_012			Linear Static	Q7	1.2	
SLU_STR_012			Linear Static	Q8,1	-0.72	
SLU_STR_012			Linear Static	Q8,2	0	
SLU_STR_012			Linear Static	Ex	0	
SLU_STR_012			Linear Static	Ey	0	
SLU_STR_012			Linear Static	Ez	0	
SLU_STR_013	Linear Add	No	Linear Static	G1	1.35	None
SLU_STR_013			Linear Static	G2,1	1.5	
SLU_STR_013			Linear Static	G2,2	1.5	
SLU_STR_013			Linear Static	G2,3	1.5	
SLU_STR_013			Linear Static	G2,4	1.5	
SLU_STR_013			Linear Static	G2,5	1.5	
SLU_STR_013			Linear Static	Q1,1	0	
SLU_STR_013			Linear Static	Q1,2	1.59	
SLU_STR_013			Linear Static	Q1,3	1.59	
SLU_STR_013			Linear Static	Q1,4	0	
SLU_STR_013			Linear Static	Q2,1	0	
SLU_STR_013			Linear Static	Q2,2	0	
SLU_STR_013			Linear Static	Q3,1	0	

SLU_STR_013			Linear Static	Q3,2	0	
SLU_STR_013			Linear Static	Q3,3	0	
SLU_STR_013			Linear Static	Q3,4	0	
SLU_STR_013			Linear Static	Q4,1	1.59	
SLU_STR_013			Linear Static	Q4,2	1.59	
SLU_STR_013			Linear Static	Q4,3	0.79	
SLU_STR_013			Linear Static	Q4,4	0.79	
SLU_STR_013			Linear Static	Q5u	0.9	
SLU_STR_013			Linear Static	Q5d	0.9	
SLU_STR_013			Linear Static	Q6,1	0	
SLU_STR_013			Linear Static	Q6,2	0	
SLU_STR_013			Linear Static	Q7	1.2	
SLU_STR_013			Linear Static	Q8,1	-0.72	
SLU_STR_013			Linear Static	Q8,2	0	
SLU_STR_013			Linear Static	Ex	0	
SLU_STR_013			Linear Static	Ey	0	
SLU_STR_013			Linear Static	Ez	0	
SLU_STR_014	Linear Add	No	Linear Static	G1	1.35	None
SLU_STR_014			Linear Static	G2,1	1.5	
SLU_STR_014			Linear Static	G2,2	1.5	
SLU_STR_014			Linear Static	G2,3	1.5	
SLU_STR_014			Linear Static	G2,4	1.5	
SLU_STR_014			Linear Static	G2,5	1.5	
SLU_STR_014			Linear Static	Q1,1	1.59	
SLU_STR_014			Linear Static	Q1,2	1.59	
SLU_STR_014			Linear Static	Q1,3	0	
SLU_STR_014			Linear Static	Q1,4	0	
SLU_STR_014			Linear Static	Q2,1	0	
SLU_STR_014			Linear Static	Q2,2	0	
SLU_STR_014			Linear Static	Q3,1	0	
SLU_STR_014			Linear Static	Q3,2	0	
SLU_STR_014			Linear Static	Q3,3	0	
SLU_STR_014			Linear Static	Q3,4	0	
SLU_STR_014			Linear Static	Q4,1	-1.59	
SLU_STR_014			Linear Static	Q4,2	-1.59	
SLU_STR_014			Linear Static	Q4,3	-1.59	
SLU_STR_014			Linear Static	Q4,4	0	
SLU_STR_014			Linear Static	Q5u	0.9	
SLU_STR_014			Linear Static	Q5d	0.9	
SLU_STR_014			Linear Static	Q6,1	0	
SLU_STR_014			Linear Static	Q6,2	0	
SLU_STR_014			Linear Static	Q7	1.2	
SLU_STR_014			Linear Static	Q8,1	-0.72	
SLU_STR_014			Linear Static	Q8,2	0	
SLU_STR_014			Linear Static	Ex	0	
SLU_STR_014			Linear Static	Ey	0	
SLU_STR_014			Linear Static	Ez	0	

SLU_STR_015	Linear Add	No	Linear Static	G1	1.35	None
SLU_STR_015			Linear Static	G2,1	1.5	
SLU_STR_015			Linear Static	G2,2	1.5	
SLU_STR_015			Linear Static	G2,3	1.5	
SLU_STR_015			Linear Static	G2,4	1.5	
SLU_STR_015			Linear Static	G2,5	1.5	
SLU_STR_015			Linear Static	Q1,1	1.59	
SLU_STR_015			Linear Static	Q1,2	0	
SLU_STR_015			Linear Static	Q1,3	0	
SLU_STR_015			Linear Static	Q1,4	1.59	
SLU_STR_015			Linear Static	Q2,1	0	
SLU_STR_015			Linear Static	Q2,2	0	
SLU_STR_015			Linear Static	Q3,1	0	
SLU_STR_015			Linear Static	Q3,2	0	
SLU_STR_015			Linear Static	Q3,3	0	
SLU_STR_015			Linear Static	Q3,4	0	
SLU_STR_015			Linear Static	Q4,1	-1.59	
SLU_STR_015			Linear Static	Q4,2	-1.59	
SLU_STR_015			Linear Static	Q4,3	-0.79	
SLU_STR_015			Linear Static	Q4,4	-0.79	
SLU_STR_015			Linear Static	Q5u	0.9	
SLU_STR_015			Linear Static	Q5d	0.9	
SLU_STR_015			Linear Static	Q6,1	0	
SLU_STR_015			Linear Static	Q6,2	0	
SLU_STR_015			Linear Static	Q7	1.2	
SLU_STR_015			Linear Static	Q8,1	-0.72	
SLU_STR_015			Linear Static	Q8,2	0	
SLU_STR_015			Linear Static	Ex	0	
SLU_STR_015			Linear Static	Ey	0	
SLU_STR_015			Linear Static	Ez	0	
SLU_STR_016	Linear Add	No	Linear Static	G1	1.35	None
SLU_STR_016			Linear Static	G2,1	1.5	
SLU_STR_016			Linear Static	G2,2	1.5	
SLU_STR_016			Linear Static	G2,3	1.5	
SLU_STR_016			Linear Static	G2,4	1.5	
SLU_STR_016			Linear Static	G2,5	1.5	
SLU_STR_016			Linear Static	Q1,1	0	
SLU_STR_016			Linear Static	Q1,2	0	
SLU_STR_016			Linear Static	Q1,3	1.59	
SLU_STR_016			Linear Static	Q1,4	1.59	
SLU_STR_016			Linear Static	Q2,1	0	
SLU_STR_016			Linear Static	Q2,2	0	
SLU_STR_016			Linear Static	Q3,1	0	
SLU_STR_016			Linear Static	Q3,2	0	
SLU_STR_016			Linear Static	Q3,3	0	
SLU_STR_016			Linear Static	Q3,4	0	
SLU_STR_016			Linear Static	Q4,1	-1.59	

SLU_STR_016			Linear Static	Q4,2	-1.59	
SLU_STR_016			Linear Static	Q4,3	0	
SLU_STR_016			Linear Static	Q4,4	-1.59	
SLU_STR_016			Linear Static	Q5u	0.9	
SLU_STR_016			Linear Static	Q5d	0.9	
SLU_STR_016			Linear Static	Q6,1	0	
SLU_STR_016			Linear Static	Q6,2	0	
SLU_STR_016			Linear Static	Q7	1.2	
SLU_STR_016			Linear Static	Q8,1	-0.72	
SLU_STR_016			Linear Static	Q8,2	0	
SLU_STR_016			Linear Static	Ex	0	
SLU_STR_016			Linear Static	Ey	0	
SLU_STR_016			Linear Static	Ez	0	
SLU_STR_017	Linear Add	No	Linear Static	G1	1.35	None
SLU_STR_017			Linear Static	G2,1	1.5	
SLU_STR_017			Linear Static	G2,2	1.5	
SLU_STR_017			Linear Static	G2,3	1.5	
SLU_STR_017			Linear Static	G2,4	1.5	
SLU_STR_017			Linear Static	G2,5	1.5	
SLU_STR_017			Linear Static	Q1,1	0	
SLU_STR_017			Linear Static	Q1,2	1.59	
SLU_STR_017			Linear Static	Q1,3	1.59	
SLU_STR_017			Linear Static	Q1,4	0	
SLU_STR_017			Linear Static	Q2,1	0	
SLU_STR_017			Linear Static	Q2,2	0	
SLU_STR_017			Linear Static	Q3,1	0	
SLU_STR_017			Linear Static	Q3,2	0	
SLU_STR_017			Linear Static	Q3,3	0	
SLU_STR_017			Linear Static	Q3,4	0	
SLU_STR_017			Linear Static	Q4,1	-1.59	
SLU_STR_017			Linear Static	Q4,2	-1.59	
SLU_STR_017			Linear Static	Q4,3	-0.79	
SLU_STR_017			Linear Static	Q4,4	-0.79	
SLU_STR_017			Linear Static	Q5u	0.9	
SLU_STR_017			Linear Static	Q5d	0.9	
SLU_STR_017			Linear Static	Q6,1	0	
SLU_STR_017			Linear Static	Q6,2	0	
SLU_STR_017			Linear Static	Q7	1.2	
SLU_STR_017			Linear Static	Q8,1	-0.72	
SLU_STR_017			Linear Static	Q8,2	0	
SLU_STR_017			Linear Static	Ex	0	
SLU_STR_017			Linear Static	Ey	0	
SLU_STR_017			Linear Static	Ez	0	
SLU_STR_018	Linear Add	No	Linear Static	G1	1.35	None
SLU_STR_018			Linear Static	G2,1	1.5	
SLU_STR_018			Linear Static	G2,2	1.5	
SLU_STR_018			Linear Static	G2,3	1.5	

SLU_STR_018			Linear Static	G2,4	1.5	
SLU_STR_018			Linear Static	G2,5	1.5	
SLU_STR_018			Linear Static	Q1,1	0	
SLU_STR_018			Linear Static	Q1,2	0	
SLU_STR_018			Linear Static	Q1,3	0	
SLU_STR_018			Linear Static	Q1,4	0	
SLU_STR_018			Linear Static	Q2,1	0	
SLU_STR_018			Linear Static	Q2,2	0	
SLU_STR_018			Linear Static	Q3,1	1.59	
SLU_STR_018			Linear Static	Q3,2	1.59	
SLU_STR_018			Linear Static	Q3,3	0	
SLU_STR_018			Linear Static	Q3,4	0	
SLU_STR_018			Linear Static	Q4,1	1.59	
SLU_STR_018			Linear Static	Q4,2	1.59	
SLU_STR_018			Linear Static	Q4,3	1.59	
SLU_STR_018			Linear Static	Q4,4	0	
SLU_STR_018			Linear Static	Q5u	0.9	
SLU_STR_018			Linear Static	Q5d	0.9	
SLU_STR_018			Linear Static	Q6,1	0	
SLU_STR_018			Linear Static	Q6,2	0	
SLU_STR_018			Linear Static	Q7	1.2	
SLU_STR_018			Linear Static	Q8,1	0.72	
SLU_STR_018			Linear Static	Q8,2	0	
SLU_STR_018			Linear Static	Ex	0	
SLU_STR_018			Linear Static	Ey	0	
SLU_STR_018			Linear Static	Ez	0	
SLU_STR_019	Linear Add	No	Linear Static	G1	1.35	None
SLU_STR_019			Linear Static	G2,1	1.5	
SLU_STR_019			Linear Static	G2,2	1.5	
SLU_STR_019			Linear Static	G2,3	1.5	
SLU_STR_019			Linear Static	G2,4	1.5	
SLU_STR_019			Linear Static	G2,5	1.5	
SLU_STR_019			Linear Static	Q1,1	0	
SLU_STR_019			Linear Static	Q1,2	0	
SLU_STR_019			Linear Static	Q1,3	0	
SLU_STR_019			Linear Static	Q1,4	0	
SLU_STR_019			Linear Static	Q2,1	0	
SLU_STR_019			Linear Static	Q2,2	0	
SLU_STR_019			Linear Static	Q3,1	1.59	
SLU_STR_019			Linear Static	Q3,2	0	
SLU_STR_019			Linear Static	Q3,3	0	
SLU_STR_019			Linear Static	Q3,4	1.59	
SLU_STR_019			Linear Static	Q4,1	1.59	
SLU_STR_019			Linear Static	Q4,2	1.59	
SLU_STR_019			Linear Static	Q4,3	0.79	
SLU_STR_019			Linear Static	Q4,4	0.79	
SLU_STR_019			Linear Static	Q5u	0.9	

SLU_STR_019			Linear Static	Q5d	0.9	
SLU_STR_019			Linear Static	Q6,1	0	
SLU_STR_019			Linear Static	Q6,2	0	
SLU_STR_019			Linear Static	Q7	1.2	
SLU_STR_019			Linear Static	Q8,1	0.72	
SLU_STR_019			Linear Static	Q8,2	0	
SLU_STR_019			Linear Static	Ex	0	
SLU_STR_019			Linear Static	Ey	0	
SLU_STR_019			Linear Static	Ez	0	
SLU_STR_020	Linear Add	No	Linear Static	G1	1.35	None
SLU_STR_020			Linear Static	G2,1	1.5	
SLU_STR_020			Linear Static	G2,2	1.5	
SLU_STR_020			Linear Static	G2,3	1.5	
SLU_STR_020			Linear Static	G2,4	1.5	
SLU_STR_020			Linear Static	G2,5	1.5	
SLU_STR_020			Linear Static	Q1,1	0	
SLU_STR_020			Linear Static	Q1,2	0	
SLU_STR_020			Linear Static	Q1,3	0	
SLU_STR_020			Linear Static	Q1,4	0	
SLU_STR_020			Linear Static	Q2,1	0	
SLU_STR_020			Linear Static	Q2,2	0	
SLU_STR_020			Linear Static	Q3,1	0	
SLU_STR_020			Linear Static	Q3,2	0	
SLU_STR_020			Linear Static	Q3,3	1.59	
SLU_STR_020			Linear Static	Q3,4	1.59	
SLU_STR_020			Linear Static	Q4,1	1.59	
SLU_STR_020			Linear Static	Q4,2	1.59	
SLU_STR_020			Linear Static	Q4,3	0	
SLU_STR_020			Linear Static	Q4,4	1.59	
SLU_STR_020			Linear Static	Q5u	0.9	
SLU_STR_020			Linear Static	Q5d	0.9	
SLU_STR_020			Linear Static	Q6,1	0	
SLU_STR_020			Linear Static	Q6,2	0	
SLU_STR_020			Linear Static	Q7	1.2	
SLU_STR_020			Linear Static	Q8,1	0.72	
SLU_STR_020			Linear Static	Q8,2	0	
SLU_STR_020			Linear Static	Ex	0	
SLU_STR_020			Linear Static	Ey	0	
SLU_STR_020			Linear Static	Ez	0	
SLU_STR_021	Linear Add	No	Linear Static	G1	1.35	None
SLU_STR_021			Linear Static	G2,1	1.5	
SLU_STR_021			Linear Static	G2,2	1.5	
SLU_STR_021			Linear Static	G2,3	1.5	
SLU_STR_021			Linear Static	G2,4	1.5	
SLU_STR_021			Linear Static	G2,5	1.5	
SLU_STR_021			Linear Static	Q1,1	0	
SLU_STR_021			Linear Static	Q1,2	0	

SLU_STR_021			Linear Static	Q1,3	0	
SLU_STR_021			Linear Static	Q1,4	0	
SLU_STR_021			Linear Static	Q2,1	0	
SLU_STR_021			Linear Static	Q2,2	0	
SLU_STR_021			Linear Static	Q3,1	0	
SLU_STR_021			Linear Static	Q3,2	1.59	
SLU_STR_021			Linear Static	Q3,3	1.59	
SLU_STR_021			Linear Static	Q3,4	0	
SLU_STR_021			Linear Static	Q4,1	1.59	
SLU_STR_021			Linear Static	Q4,2	1.59	
SLU_STR_021			Linear Static	Q4,3	0.79	
SLU_STR_021			Linear Static	Q4,4	0.79	
SLU_STR_021			Linear Static	Q5u	0.9	
SLU_STR_021			Linear Static	Q5d	0.9	
SLU_STR_021			Linear Static	Q6,1	0	
SLU_STR_021			Linear Static	Q6,2	0	
SLU_STR_021			Linear Static	Q7	1.2	
SLU_STR_021			Linear Static	Q8,1	0.72	
SLU_STR_021			Linear Static	Q8,2	0	
SLU_STR_021			Linear Static	Ex	0	
SLU_STR_021			Linear Static	Ey	0	
SLU_STR_021			Linear Static	Ez	0	
SLU_STR_022	Linear Add	No	Linear Static	G1	1.35	None
SLU_STR_022			Linear Static	G2,1	1.5	
SLU_STR_022			Linear Static	G2,2	1.5	
SLU_STR_022			Linear Static	G2,3	1.5	
SLU_STR_022			Linear Static	G2,4	1.5	
SLU_STR_022			Linear Static	G2,5	1.5	
SLU_STR_022			Linear Static	Q1,1	0	
SLU_STR_022			Linear Static	Q1,2	0	
SLU_STR_022			Linear Static	Q1,3	0	
SLU_STR_022			Linear Static	Q1,4	0	
SLU_STR_022			Linear Static	Q2,1	0	
SLU_STR_022			Linear Static	Q2,2	0	
SLU_STR_022			Linear Static	Q3,1	1.59	
SLU_STR_022			Linear Static	Q3,2	1.59	
SLU_STR_022			Linear Static	Q3,3	0	
SLU_STR_022			Linear Static	Q3,4	0	
SLU_STR_022			Linear Static	Q4,1	-1.59	
SLU_STR_022			Linear Static	Q4,2	-1.59	
SLU_STR_022			Linear Static	Q4,3	-1.59	
SLU_STR_022			Linear Static	Q4,4	0	
SLU_STR_022			Linear Static	Q5u	0.9	
SLU_STR_022			Linear Static	Q5d	0.9	
SLU_STR_022			Linear Static	Q6,1	0	
SLU_STR_022			Linear Static	Q6,2	0	
SLU_STR_022			Linear Static	Q7	1.2	

SLU_STR_022			Linear Static	Q8,1	0.72	
SLU_STR_022			Linear Static	Q8,2	0	
SLU_STR_022			Linear Static	Ex	0	
SLU_STR_022			Linear Static	Ey	0	
SLU_STR_022			Linear Static	Ez	0	
SLU_STR_023	Linear Add	No	Linear Static	G1	1.35	None
SLU_STR_023			Linear Static	G2,1	1.5	
SLU_STR_023			Linear Static	G2,2	1.5	
SLU_STR_023			Linear Static	G2,3	1.5	
SLU_STR_023			Linear Static	G2,4	1.5	
SLU_STR_023			Linear Static	G2,5	1.5	
SLU_STR_023			Linear Static	Q1,1	0	
SLU_STR_023			Linear Static	Q1,2	0	
SLU_STR_023			Linear Static	Q1,3	0	
SLU_STR_023			Linear Static	Q1,4	0	
SLU_STR_023			Linear Static	Q2,1	0	
SLU_STR_023			Linear Static	Q2,2	0	
SLU_STR_023			Linear Static	Q3,1	1.59	
SLU_STR_023			Linear Static	Q3,2	0	
SLU_STR_023			Linear Static	Q3,3	0	
SLU_STR_023			Linear Static	Q3,4	1.59	
SLU_STR_023			Linear Static	Q4,1	-1.59	
SLU_STR_023			Linear Static	Q4,2	-1.59	
SLU_STR_023			Linear Static	Q4,3	-0.79	
SLU_STR_023			Linear Static	Q4,4	-0.79	
SLU_STR_023			Linear Static	Q5u	0.9	
SLU_STR_023			Linear Static	Q5d	0.9	
SLU_STR_023			Linear Static	Q6,1	0	
SLU_STR_023			Linear Static	Q6,2	0	
SLU_STR_023			Linear Static	Q7	1.2	
SLU_STR_023			Linear Static	Q8,1	0.72	
SLU_STR_023			Linear Static	Q8,2	0	
SLU_STR_023			Linear Static	Ex	0	
SLU_STR_023			Linear Static	Ey	0	
SLU_STR_023			Linear Static	Ez	0	
SLU_STR_024	Linear Add	No	Linear Static	G1	1.35	None
SLU_STR_024			Linear Static	G2,1	1.5	
SLU_STR_024			Linear Static	G2,2	1.5	
SLU_STR_024			Linear Static	G2,3	1.5	
SLU_STR_024			Linear Static	G2,4	1.5	
SLU_STR_024			Linear Static	G2,5	1.5	
SLU_STR_024			Linear Static	Q1,1	0	
SLU_STR_024			Linear Static	Q1,2	0	
SLU_STR_024			Linear Static	Q1,3	0	
SLU_STR_024			Linear Static	Q1,4	0	
SLU_STR_024			Linear Static	Q2,1	0	
SLU_STR_024			Linear Static	Q2,2	0	

SLU_STR_024			Linear Static	Q3,1	0	
SLU_STR_024			Linear Static	Q3,2	0	
SLU_STR_024			Linear Static	Q3,3	1.59	
SLU_STR_024			Linear Static	Q3,4	1.59	
SLU_STR_024			Linear Static	Q4,1	-1.59	
SLU_STR_024			Linear Static	Q4,2	-1.59	
SLU_STR_024			Linear Static	Q4,3	0	
SLU_STR_024			Linear Static	Q4,4	-1.59	
SLU_STR_024			Linear Static	Q5u	0.9	
SLU_STR_024			Linear Static	Q5d	0.9	
SLU_STR_024			Linear Static	Q6,1	0	
SLU_STR_024			Linear Static	Q6,2	0	
SLU_STR_024			Linear Static	Q7	1.2	
SLU_STR_024			Linear Static	Q8,1	0.72	
SLU_STR_024			Linear Static	Q8,2	0	
SLU_STR_024			Linear Static	Ex	0	
SLU_STR_024			Linear Static	Ey	0	
SLU_STR_024			Linear Static	Ez	0	
SLU_STR_025	Linear Add	No	Linear Static	G1	1.35	None
SLU_STR_025			Linear Static	G2,1	1.5	
SLU_STR_025			Linear Static	G2,2	1.5	
SLU_STR_025			Linear Static	G2,3	1.5	
SLU_STR_025			Linear Static	G2,4	1.5	
SLU_STR_025			Linear Static	G2,5	1.5	
SLU_STR_025			Linear Static	Q1,1	0	
SLU_STR_025			Linear Static	Q1,2	0	
SLU_STR_025			Linear Static	Q1,3	0	
SLU_STR_025			Linear Static	Q1,4	0	
SLU_STR_025			Linear Static	Q2,1	0	
SLU_STR_025			Linear Static	Q2,2	0	
SLU_STR_025			Linear Static	Q3,1	0	
SLU_STR_025			Linear Static	Q3,2	1.59	
SLU_STR_025			Linear Static	Q3,3	1.59	
SLU_STR_025			Linear Static	Q3,4	0	
SLU_STR_025			Linear Static	Q4,1	-1.59	
SLU_STR_025			Linear Static	Q4,2	-1.59	
SLU_STR_025			Linear Static	Q4,3	-0.79	
SLU_STR_025			Linear Static	Q4,4	-0.79	
SLU_STR_025			Linear Static	Q5u	0.9	
SLU_STR_025			Linear Static	Q5d	0.9	
SLU_STR_025			Linear Static	Q6,1	0	
SLU_STR_025			Linear Static	Q6,2	0	
SLU_STR_025			Linear Static	Q7	1.2	
SLU_STR_025			Linear Static	Q8,1	0.72	
SLU_STR_025			Linear Static	Q8,2	0	
SLU_STR_025			Linear Static	Ex	0	
SLU_STR_025			Linear Static	Ey	0	

SLU_STR_025			Linear Static	Ez	0	
SLU_STR_026	Linear Add	No	Linear Static	G1	1.35	None
SLU_STR_026			Linear Static	G2,1	1.5	
SLU_STR_026			Linear Static	G2,2	1.5	
SLU_STR_026			Linear Static	G2,3	1.5	
SLU_STR_026			Linear Static	G2,4	1.5	
SLU_STR_026			Linear Static	G2,5	1.5	
SLU_STR_026			Linear Static	Q1,1	0	
SLU_STR_026			Linear Static	Q1,2	0	
SLU_STR_026			Linear Static	Q1,3	0	
SLU_STR_026			Linear Static	Q1,4	0	
SLU_STR_026			Linear Static	Q2,1	0	
SLU_STR_026			Linear Static	Q2,2	0	
SLU_STR_026			Linear Static	Q3,1	1.59	
SLU_STR_026			Linear Static	Q3,2	1.59	
SLU_STR_026			Linear Static	Q3,3	0	
SLU_STR_026			Linear Static	Q3,4	0	
SLU_STR_026			Linear Static	Q4,1	1.59	
SLU_STR_026			Linear Static	Q4,2	1.59	
SLU_STR_026			Linear Static	Q4,3	1.59	
SLU_STR_026			Linear Static	Q4,4	0	
SLU_STR_026			Linear Static	Q5u	0.9	
SLU_STR_026			Linear Static	Q5d	0.9	
SLU_STR_026			Linear Static	Q6,1	0	
SLU_STR_026			Linear Static	Q6,2	0	
SLU_STR_026			Linear Static	Q7	1.2	
SLU_STR_026			Linear Static	Q8,1	-0.72	
SLU_STR_026			Linear Static	Q8,2	0	
SLU_STR_026			Linear Static	Ex	0	
SLU_STR_026			Linear Static	Ey	0	
SLU_STR_026			Linear Static	Ez	0	
SLU_STR_027	Linear Add	No	Linear Static	G1	1.35	None
SLU_STR_027			Linear Static	G2,1	1.5	
SLU_STR_027			Linear Static	G2,2	1.5	
SLU_STR_027			Linear Static	G2,3	1.5	
SLU_STR_027			Linear Static	G2,4	1.5	
SLU_STR_027			Linear Static	G2,5	1.5	
SLU_STR_027			Linear Static	Q1,1	0	
SLU_STR_027			Linear Static	Q1,2	0	
SLU_STR_027			Linear Static	Q1,3	0	
SLU_STR_027			Linear Static	Q1,4	0	
SLU_STR_027			Linear Static	Q2,1	0	
SLU_STR_027			Linear Static	Q2,2	0	
SLU_STR_027			Linear Static	Q3,1	1.59	
SLU_STR_027			Linear Static	Q3,2	0	
SLU_STR_027			Linear Static	Q3,3	0	
SLU_STR_027			Linear Static	Q3,4	1.59	

SLU_STR_027			Linear Static	Q4,1	1.59	
SLU_STR_027			Linear Static	Q4,2	1.59	
SLU_STR_027			Linear Static	Q4,3	0.79	
SLU_STR_027			Linear Static	Q4,4	0.79	
SLU_STR_027			Linear Static	Q5u	0.9	
SLU_STR_027			Linear Static	Q5d	0.9	
SLU_STR_027			Linear Static	Q6,1	0	
SLU_STR_027			Linear Static	Q6,2	0	
SLU_STR_027			Linear Static	Q7	1.2	
SLU_STR_027			Linear Static	Q8,1	-0.72	
SLU_STR_027			Linear Static	Q8,2	0	
SLU_STR_027			Linear Static	Ex	0	
SLU_STR_027			Linear Static	Ey	0	
SLU_STR_027			Linear Static	Ez	0	
SLU_STR_028	Linear Add	No	Linear Static	G1	1.35	None
SLU_STR_028			Linear Static	G2,1	1.5	
SLU_STR_028			Linear Static	G2,2	1.5	
SLU_STR_028			Linear Static	G2,3	1.5	
SLU_STR_028			Linear Static	G2,4	1.5	
SLU_STR_028			Linear Static	G2,5	1.5	
SLU_STR_028			Linear Static	Q1,1	0	
SLU_STR_028			Linear Static	Q1,2	0	
SLU_STR_028			Linear Static	Q1,3	0	
SLU_STR_028			Linear Static	Q1,4	0	
SLU_STR_028			Linear Static	Q2,1	0	
SLU_STR_028			Linear Static	Q2,2	0	
SLU_STR_028			Linear Static	Q3,1	0	
SLU_STR_028			Linear Static	Q3,2	0	
SLU_STR_028			Linear Static	Q3,3	1.59	
SLU_STR_028			Linear Static	Q3,4	1.59	
SLU_STR_028			Linear Static	Q4,1	1.59	
SLU_STR_028			Linear Static	Q4,2	1.59	
SLU_STR_028			Linear Static	Q4,3	0	
SLU_STR_028			Linear Static	Q4,4	1.59	
SLU_STR_028			Linear Static	Q5u	0.9	
SLU_STR_028			Linear Static	Q5d	0.9	
SLU_STR_028			Linear Static	Q6,1	0	
SLU_STR_028			Linear Static	Q6,2	0	
SLU_STR_028			Linear Static	Q7	1.2	
SLU_STR_028			Linear Static	Q8,1	-0.72	
SLU_STR_028			Linear Static	Q8,2	0	
SLU_STR_028			Linear Static	Ex	0	
SLU_STR_028			Linear Static	Ey	0	
SLU_STR_028			Linear Static	Ez	0	
SLU_STR_029	Linear Add	No	Linear Static	G1	1.35	None
SLU_STR_029			Linear Static	G2,1	1.5	
SLU_STR_029			Linear Static	G2,2	1.5	

SLU_STR_029			Linear Static	G2,3	1.5	
SLU_STR_029			Linear Static	G2,4	1.5	
SLU_STR_029			Linear Static	G2,5	1.5	
SLU_STR_029			Linear Static	Q1,1	0	
SLU_STR_029			Linear Static	Q1,2	0	
SLU_STR_029			Linear Static	Q1,3	0	
SLU_STR_029			Linear Static	Q1,4	0	
SLU_STR_029			Linear Static	Q2,1	0	
SLU_STR_029			Linear Static	Q2,2	0	
SLU_STR_029			Linear Static	Q3,1	0	
SLU_STR_029			Linear Static	Q3,2	1.59	
SLU_STR_029			Linear Static	Q3,3	1.59	
SLU_STR_029			Linear Static	Q3,4	0	
SLU_STR_029			Linear Static	Q4,1	1.59	
SLU_STR_029			Linear Static	Q4,2	1.59	
SLU_STR_029			Linear Static	Q4,3	0.79	
SLU_STR_029			Linear Static	Q4,4	0.79	
SLU_STR_029			Linear Static	Q5u	0.9	
SLU_STR_029			Linear Static	Q5d	0.9	
SLU_STR_029			Linear Static	Q6,1	0	
SLU_STR_029			Linear Static	Q6,2	0	
SLU_STR_029			Linear Static	Q7	1.2	
SLU_STR_029			Linear Static	Q8,1	-0.72	
SLU_STR_029			Linear Static	Q8,2	0	
SLU_STR_029			Linear Static	Ex	0	
SLU_STR_029			Linear Static	Ey	0	
SLU_STR_029			Linear Static	Ez	0	
SLU_STR_030	Linear Add	No	Linear Static	G1	1.35	None
SLU_STR_030			Linear Static	G2,1	1.5	
SLU_STR_030			Linear Static	G2,2	1.5	
SLU_STR_030			Linear Static	G2,3	1.5	
SLU_STR_030			Linear Static	G2,4	1.5	
SLU_STR_030			Linear Static	G2,5	1.5	
SLU_STR_030			Linear Static	Q1,1	0	
SLU_STR_030			Linear Static	Q1,2	0	
SLU_STR_030			Linear Static	Q1,3	0	
SLU_STR_030			Linear Static	Q1,4	0	
SLU_STR_030			Linear Static	Q2,1	0	
SLU_STR_030			Linear Static	Q2,2	0	
SLU_STR_030			Linear Static	Q3,1	1.59	
SLU_STR_030			Linear Static	Q3,2	1.59	
SLU_STR_030			Linear Static	Q3,3	0	
SLU_STR_030			Linear Static	Q3,4	0	
SLU_STR_030			Linear Static	Q4,1	-1.59	
SLU_STR_030			Linear Static	Q4,2	-1.59	
SLU_STR_030			Linear Static	Q4,3	-1.59	
SLU_STR_030			Linear Static	Q4,4	0	

SLU_STR_030			Linear Static	Q5u	0.9	
SLU_STR_030			Linear Static	Q5d	0.9	
SLU_STR_030			Linear Static	Q6,1	0	
SLU_STR_030			Linear Static	Q6,2	0	
SLU_STR_030			Linear Static	Q7	1.2	
SLU_STR_030			Linear Static	Q8,1	-0.72	
SLU_STR_030			Linear Static	Q8,2	0	
SLU_STR_030			Linear Static	Ex	0	
SLU_STR_030			Linear Static	Ey	0	
SLU_STR_030			Linear Static	Ez	0	
SLU_STR_031	Linear Add	No	Linear Static	G1	1.35	None
SLU_STR_031			Linear Static	G2,1	1.5	
SLU_STR_031			Linear Static	G2,2	1.5	
SLU_STR_031			Linear Static	G2,3	1.5	
SLU_STR_031			Linear Static	G2,4	1.5	
SLU_STR_031			Linear Static	G2,5	1.5	
SLU_STR_031			Linear Static	Q1,1	0	
SLU_STR_031			Linear Static	Q1,2	0	
SLU_STR_031			Linear Static	Q1,3	0	
SLU_STR_031			Linear Static	Q1,4	0	
SLU_STR_031			Linear Static	Q2,1	0	
SLU_STR_031			Linear Static	Q2,2	0	
SLU_STR_031			Linear Static	Q3,1	1.59	
SLU_STR_031			Linear Static	Q3,2	0	
SLU_STR_031			Linear Static	Q3,3	0	
SLU_STR_031			Linear Static	Q3,4	1.59	
SLU_STR_031			Linear Static	Q4,1	-1.59	
SLU_STR_031			Linear Static	Q4,2	-1.59	
SLU_STR_031			Linear Static	Q4,3	-0.79	
SLU_STR_031			Linear Static	Q4,4	-0.79	
SLU_STR_031			Linear Static	Q5u	0.9	
SLU_STR_031			Linear Static	Q5d	0.9	
SLU_STR_031			Linear Static	Q6,1	0	
SLU_STR_031			Linear Static	Q6,2	0	
SLU_STR_031			Linear Static	Q7	1.2	
SLU_STR_031			Linear Static	Q8,1	-0.72	
SLU_STR_031			Linear Static	Q8,2	0	
SLU_STR_031			Linear Static	Ex	0	
SLU_STR_031			Linear Static	Ey	0	
SLU_STR_031			Linear Static	Ez	0	
SLU_STR_032	Linear Add	No	Linear Static	G1	1.35	None
SLU_STR_032			Linear Static	G2,1	1.5	
SLU_STR_032			Linear Static	G2,2	1.5	
SLU_STR_032			Linear Static	G2,3	1.5	
SLU_STR_032			Linear Static	G2,4	1.5	
SLU_STR_032			Linear Static	G2,5	1.5	
SLU_STR_032			Linear Static	Q1,1	0	

SLU_STR_032			Linear Static	Q1,2	0	
SLU_STR_032			Linear Static	Q1,3	0	
SLU_STR_032			Linear Static	Q1,4	0	
SLU_STR_032			Linear Static	Q2,1	0	
SLU_STR_032			Linear Static	Q2,2	0	
SLU_STR_032			Linear Static	Q3,1	0	
SLU_STR_032			Linear Static	Q3,2	0	
SLU_STR_032			Linear Static	Q3,3	1.59	
SLU_STR_032			Linear Static	Q3,4	1.59	
SLU_STR_032			Linear Static	Q4,1	-1.59	
SLU_STR_032			Linear Static	Q4,2	-1.59	
SLU_STR_032			Linear Static	Q4,3	0	
SLU_STR_032			Linear Static	Q4,4	-1.59	
SLU_STR_032			Linear Static	Q5u	0.9	
SLU_STR_032			Linear Static	Q5d	0.9	
SLU_STR_032			Linear Static	Q6,1	0	
SLU_STR_032			Linear Static	Q6,2	0	
SLU_STR_032			Linear Static	Q7	1.2	
SLU_STR_032			Linear Static	Q8,1	-0.72	
SLU_STR_032			Linear Static	Q8,2	0	
SLU_STR_032			Linear Static	Ex	0	
SLU_STR_032			Linear Static	Ey	0	
SLU_STR_032			Linear Static	Ez	0	
SLU_STR_033	Linear Add	No	Linear Static	G1	1.35	None
SLU_STR_033			Linear Static	G2,1	1.5	
SLU_STR_033			Linear Static	G2,2	1.5	
SLU_STR_033			Linear Static	G2,3	1.5	
SLU_STR_033			Linear Static	G2,4	1.5	
SLU_STR_033			Linear Static	G2,5	1.5	
SLU_STR_033			Linear Static	Q1,1	0	
SLU_STR_033			Linear Static	Q1,2	0	
SLU_STR_033			Linear Static	Q1,3	0	
SLU_STR_033			Linear Static	Q1,4	0	
SLU_STR_033			Linear Static	Q2,1	0	
SLU_STR_033			Linear Static	Q2,2	0	
SLU_STR_033			Linear Static	Q3,1	0	
SLU_STR_033			Linear Static	Q3,2	1.59	
SLU_STR_033			Linear Static	Q3,3	1.59	
SLU_STR_033			Linear Static	Q3,4	0	
SLU_STR_033			Linear Static	Q4,1	-1.59	
SLU_STR_033			Linear Static	Q4,2	-1.59	
SLU_STR_033			Linear Static	Q4,3	-0.79	
SLU_STR_033			Linear Static	Q4,4	-0.79	
SLU_STR_033			Linear Static	Q5u	0.9	
SLU_STR_033			Linear Static	Q5d	0.9	
SLU_STR_033			Linear Static	Q6,1	0	
SLU_STR_033			Linear Static	Q6,2	0	

SLU_STR_033			Linear Static	Q7	1.2	
SLU_STR_033			Linear Static	Q8,1	-0.72	
SLU_STR_033			Linear Static	Q8,2	0	
SLU_STR_033			Linear Static	Ex	0	
SLU_STR_033			Linear Static	Ey	0	
SLU_STR_033			Linear Static	Ez	0	
SLU_STR_034	Linear Add	No	Linear Static	G1	1.35	None
SLU_STR_034			Linear Static	G2,1	1.5	
SLU_STR_034			Linear Static	G2,2	1.5	
SLU_STR_034			Linear Static	G2,3	1.5	
SLU_STR_034			Linear Static	G2,4	1.5	
SLU_STR_034			Linear Static	G2,5	1.5	
SLU_STR_034			Linear Static	Q1,1	0	
SLU_STR_034			Linear Static	Q1,2	0	
SLU_STR_034			Linear Static	Q1,3	0	
SLU_STR_034			Linear Static	Q1,4	0	
SLU_STR_034			Linear Static	Q2,1	0	
SLU_STR_034			Linear Static	Q2,2	0	
SLU_STR_034			Linear Static	Q3,1	0	
SLU_STR_034			Linear Static	Q3,2	0	
SLU_STR_034			Linear Static	Q3,3	0	
SLU_STR_034			Linear Static	Q3,4	0	
SLU_STR_034			Linear Static	Q4,1	0	
SLU_STR_034			Linear Static	Q4,2	0	
SLU_STR_034			Linear Static	Q4,3	0	
SLU_STR_034			Linear Static	Q4,4	0	
SLU_STR_034			Linear Static	Q5u	1.5	
SLU_STR_034			Linear Static	Q5d	1.5	
SLU_STR_034			Linear Static	Q6,1	0	
SLU_STR_034			Linear Static	Q6,2	0	
SLU_STR_034			Linear Static	Q7	1.2	
SLU_STR_034			Linear Static	Q8,1	0	
SLU_STR_034			Linear Static	Q8,2	0	
SLU_STR_034			Linear Static	Ex	0	
SLU_STR_034			Linear Static	Ey	0	
SLU_STR_034			Linear Static	Ez	0	
SLU_STR_035	Linear Add	No	Linear Static	G1	1.35	None
SLU_STR_035			Linear Static	G2,1	1.5	
SLU_STR_035			Linear Static	G2,2	1.5	
SLU_STR_035			Linear Static	G2,3	1.5	
SLU_STR_035			Linear Static	G2,4	1.5	
SLU_STR_035			Linear Static	G2,5	1.5	
SLU_STR_035			Linear Static	Q1,1	0	
SLU_STR_035			Linear Static	Q1,2	0	
SLU_STR_035			Linear Static	Q1,3	0	
SLU_STR_035			Linear Static	Q1,4	0	
SLU_STR_035			Linear Static	Q2,1	0	

SLU_STR_035			Linear Static	Q2,2	0	
SLU_STR_035			Linear Static	Q3,1	0	
SLU_STR_035			Linear Static	Q3,2	0	
SLU_STR_035			Linear Static	Q3,3	0	
SLU_STR_035			Linear Static	Q3,4	0	
SLU_STR_035			Linear Static	Q4,1	0	
SLU_STR_035			Linear Static	Q4,2	0	
SLU_STR_035			Linear Static	Q4,3	0	
SLU_STR_035			Linear Static	Q4,4	0	
SLU_STR_035			Linear Static	Q5u	-1.5	
SLU_STR_035			Linear Static	Q5d	-1.5	
SLU_STR_035			Linear Static	Q6,1	0	
SLU_STR_035			Linear Static	Q6,2	0	
SLU_STR_035			Linear Static	Q7	1.2	
SLU_STR_035			Linear Static	Q8,1	0	
SLU_STR_035			Linear Static	Q8,2	0	
SLU_STR_035			Linear Static	Ex	0	
SLU_STR_035			Linear Static	Ey	0	
SLU_STR_035			Linear Static	Ez	0	
SLU_STR_036	Linear Add	No	Linear Static	G1	1.35	None
SLU_STR_036			Linear Static	G2,1	1.5	
SLU_STR_036			Linear Static	G2,2	1.5	
SLU_STR_036			Linear Static	G2,3	1.5	
SLU_STR_036			Linear Static	G2,4	1.5	
SLU_STR_036			Linear Static	G2,5	1.5	
SLU_STR_036			Linear Static	Q1,1	0	
SLU_STR_036			Linear Static	Q1,2	0	
SLU_STR_036			Linear Static	Q1,3	0	
SLU_STR_036			Linear Static	Q1,4	0	
SLU_STR_036			Linear Static	Q2,1	0	
SLU_STR_036			Linear Static	Q2,2	0	
SLU_STR_036			Linear Static	Q3,1	0	
SLU_STR_036			Linear Static	Q3,2	0	
SLU_STR_036			Linear Static	Q3,3	0	
SLU_STR_036			Linear Static	Q3,4	0	
SLU_STR_036			Linear Static	Q4,1	0	
SLU_STR_036			Linear Static	Q4,2	0	
SLU_STR_036			Linear Static	Q4,3	0	
SLU_STR_036			Linear Static	Q4,4	0	
SLU_STR_036			Linear Static	Q5u	0.9	
SLU_STR_036			Linear Static	Q5d	0.9	
SLU_STR_036			Linear Static	Q6,1	1	
SLU_STR_036			Linear Static	Q6,2	0	
SLU_STR_036			Linear Static	Q7	1.2	
SLU_STR_036			Linear Static	Q8,1	0	
SLU_STR_036			Linear Static	Q8,2	0	
SLU_STR_036			Linear Static	Ex	0	

SLU_STR_036			Linear Static	Ey	0	
SLU_STR_036			Linear Static	Ez	0	
SLU_STR_037	Linear Add	No	Linear Static	G1	1.35	None
SLU_STR_037			Linear Static	G2,1	1.5	
SLU_STR_037			Linear Static	G2,2	1.5	
SLU_STR_037			Linear Static	G2,3	1.5	
SLU_STR_037			Linear Static	G2,4	1.5	
SLU_STR_037			Linear Static	G2,5	1.5	
SLU_STR_037			Linear Static	Q1,1	0	
SLU_STR_037			Linear Static	Q1,2	0	
SLU_STR_037			Linear Static	Q1,3	0	
SLU_STR_037			Linear Static	Q1,4	0	
SLU_STR_037			Linear Static	Q2,1	0	
SLU_STR_037			Linear Static	Q2,2	0	
SLU_STR_037			Linear Static	Q3,1	0	
SLU_STR_037			Linear Static	Q3,2	0	
SLU_STR_037			Linear Static	Q3,3	0	
SLU_STR_037			Linear Static	Q3,4	0	
SLU_STR_037			Linear Static	Q4,1	0	
SLU_STR_037			Linear Static	Q4,2	0	
SLU_STR_037			Linear Static	Q4,3	0	
SLU_STR_037			Linear Static	Q4,4	0	
SLU_STR_037			Linear Static	Q5u	0.9	
SLU_STR_037			Linear Static	Q5d	0.9	
SLU_STR_037			Linear Static	Q6,1	0	
SLU_STR_037			Linear Static	Q6,2	1	
SLU_STR_037			Linear Static	Q7	1.2	
SLU_STR_037			Linear Static	Q8,1	0	
SLU_STR_037			Linear Static	Q8,2	0	
SLU_STR_037			Linear Static	Ex	0	
SLU_STR_037			Linear Static	Ey	0	
SLU_STR_037			Linear Static	Ez	0	
SLU_STR_038	Linear Add	No	Linear Static	G1	1.35	None
SLU_STR_038			Linear Static	G2,1	1.5	
SLU_STR_038			Linear Static	G2,2	1.5	
SLU_STR_038			Linear Static	G2,3	1.5	
SLU_STR_038			Linear Static	G2,4	1.5	
SLU_STR_038			Linear Static	G2,5	1.5	
SLU_STR_038			Linear Static	Q1,1	0	
SLU_STR_038			Linear Static	Q1,2	0	
SLU_STR_038			Linear Static	Q1,3	0	
SLU_STR_038			Linear Static	Q1,4	0	
SLU_STR_038			Linear Static	Q2,1	0	
SLU_STR_038			Linear Static	Q2,2	0	
SLU_STR_038			Linear Static	Q3,1	0	
SLU_STR_038			Linear Static	Q3,2	0	
SLU_STR_038			Linear Static	Q3,3	0	

SLU_STR_038			Linear Static	Q3,4	0	
SLU_STR_038			Linear Static	Q4,1	0	
SLU_STR_038			Linear Static	Q4,2	0	
SLU_STR_038			Linear Static	Q4,3	0	
SLU_STR_038			Linear Static	Q4,4	0	
SLU_STR_038			Linear Static	Q5u	0.9	
SLU_STR_038			Linear Static	Q5d	0.9	
SLU_STR_038			Linear Static	Q6,1	0	
SLU_STR_038			Linear Static	Q6,2	0	
SLU_STR_038			Linear Static	Q7	1.2	
SLU_STR_038			Linear Static	Q8,1	0	
SLU_STR_038			Linear Static	Q8,2	0	
SLU_STR_038			Linear Static	Ex	0	
SLU_STR_038			Linear Static	Ey	0	
SLU_STR_038			Linear Static	Ez	0	
SLU_STR_039	Linear Add	No	Linear Static	G1	1.35	None
SLU_STR_039			Linear Static	G2,1	1.5	
SLU_STR_039			Linear Static	G2,2	1.5	
SLU_STR_039			Linear Static	G2,3	1.5	
SLU_STR_039			Linear Static	G2,4	1.5	
SLU_STR_039			Linear Static	G2,5	1.5	
SLU_STR_039			Linear Static	Q1,1	1.59	
SLU_STR_039			Linear Static	Q1,2	1.59	
SLU_STR_039			Linear Static	Q1,3	0	
SLU_STR_039			Linear Static	Q1,4	0	
SLU_STR_039			Linear Static	Q2,1	0	
SLU_STR_039			Linear Static	Q2,2	0	
SLU_STR_039			Linear Static	Q3,1	0	
SLU_STR_039			Linear Static	Q3,2	0	
SLU_STR_039			Linear Static	Q3,3	0	
SLU_STR_039			Linear Static	Q3,4	0	
SLU_STR_039			Linear Static	Q4,1	1.59	
SLU_STR_039			Linear Static	Q4,2	1.59	
SLU_STR_039			Linear Static	Q4,3	1.59	
SLU_STR_039			Linear Static	Q4,4	0	
SLU_STR_039			Linear Static	Q5u	0.9	
SLU_STR_039			Linear Static	Q5d	0.9	
SLU_STR_039			Linear Static	Q6,1	1	
SLU_STR_039			Linear Static	Q6,2	0	
SLU_STR_039			Linear Static	Q7	1.2	
SLU_STR_039			Linear Static	Q8,1	1	
SLU_STR_039			Linear Static	Q8,2	0	
SLU_STR_039			Linear Static	Ex	0	
SLU_STR_039			Linear Static	Ey	0	
SLU_STR_039			Linear Static	Ez	0	
SLU_STR_040	Linear Add	No	Linear Static	G1	1.35	None
SLU_STR_040			Linear Static	G2,1	1.5	

SLU_STR_040			Linear Static	G2,2	1.5	
SLU_STR_040			Linear Static	G2,3	1.5	
SLU_STR_040			Linear Static	G2,4	1.5	
SLU_STR_040			Linear Static	G2,5	1.5	
SLU_STR_040			Linear Static	Q1,1	1.59	
SLU_STR_040			Linear Static	Q1,2	0	
SLU_STR_040			Linear Static	Q1,3	0	
SLU_STR_040			Linear Static	Q1,4	1.59	
SLU_STR_040			Linear Static	Q2,1	0	
SLU_STR_040			Linear Static	Q2,2	0	
SLU_STR_040			Linear Static	Q3,1	0	
SLU_STR_040			Linear Static	Q3,2	0	
SLU_STR_040			Linear Static	Q3,3	0	
SLU_STR_040			Linear Static	Q3,4	0	
SLU_STR_040			Linear Static	Q4,1	1.59	
SLU_STR_040			Linear Static	Q4,2	1.59	
SLU_STR_040			Linear Static	Q4,3	0.79	
SLU_STR_040			Linear Static	Q4,4	0.79	
SLU_STR_040			Linear Static	Q5u	0.9	
SLU_STR_040			Linear Static	Q5d	0.9	
SLU_STR_040			Linear Static	Q6,1	1	
SLU_STR_040			Linear Static	Q6,2	0	
SLU_STR_040			Linear Static	Q7	1.2	
SLU_STR_040			Linear Static	Q8,1	1	
SLU_STR_040			Linear Static	Q8,2	0	
SLU_STR_040			Linear Static	Ex	0	
SLU_STR_040			Linear Static	Ey	0	
SLU_STR_040			Linear Static	Ez	0	
SLU_STR_041	Linear Add	No	Linear Static	G1	1.35	None
SLU_STR_041			Linear Static	G2,1	1.5	
SLU_STR_041			Linear Static	G2,2	1.5	
SLU_STR_041			Linear Static	G2,3	1.5	
SLU_STR_041			Linear Static	G2,4	1.5	
SLU_STR_041			Linear Static	G2,5	1.5	
SLU_STR_041			Linear Static	Q1,1	0	
SLU_STR_041			Linear Static	Q1,2	0	
SLU_STR_041			Linear Static	Q1,3	1.59	
SLU_STR_041			Linear Static	Q1,4	1.59	
SLU_STR_041			Linear Static	Q2,1	0	
SLU_STR_041			Linear Static	Q2,2	0	
SLU_STR_041			Linear Static	Q3,1	0	
SLU_STR_041			Linear Static	Q3,2	0	
SLU_STR_041			Linear Static	Q3,3	0	
SLU_STR_041			Linear Static	Q3,4	0	
SLU_STR_041			Linear Static	Q4,1	1.59	
SLU_STR_041			Linear Static	Q4,2	1.59	
SLU_STR_041			Linear Static	Q4,3	0	

SLU_STR_041			Linear Static	Q4,4	1.59	
SLU_STR_041			Linear Static	Q5u	0.9	
SLU_STR_041			Linear Static	Q5d	0.9	
SLU_STR_041			Linear Static	Q6,1	1	
SLU_STR_041			Linear Static	Q6,2	0	
SLU_STR_041			Linear Static	Q7	1.2	
SLU_STR_041			Linear Static	Q8,1	1	
SLU_STR_041			Linear Static	Q8,2	0	
SLU_STR_041			Linear Static	Ex	0	
SLU_STR_041			Linear Static	Ey	0	
SLU_STR_041			Linear Static	Ez	0	
SLU_STR_042	Linear Add	No	Linear Static	G1	1.35	None
SLU_STR_042			Linear Static	G2,1	1.5	
SLU_STR_042			Linear Static	G2,2	1.5	
SLU_STR_042			Linear Static	G2,3	1.5	
SLU_STR_042			Linear Static	G2,4	1.5	
SLU_STR_042			Linear Static	G2,5	1.5	
SLU_STR_042			Linear Static	Q1,1	0	
SLU_STR_042			Linear Static	Q1,2	1.59	
SLU_STR_042			Linear Static	Q1,3	1.59	
SLU_STR_042			Linear Static	Q1,4	0	
SLU_STR_042			Linear Static	Q2,1	0	
SLU_STR_042			Linear Static	Q2,2	0	
SLU_STR_042			Linear Static	Q3,1	0	
SLU_STR_042			Linear Static	Q3,2	0	
SLU_STR_042			Linear Static	Q3,3	0	
SLU_STR_042			Linear Static	Q3,4	0	
SLU_STR_042			Linear Static	Q4,1	1.59	
SLU_STR_042			Linear Static	Q4,2	1.59	
SLU_STR_042			Linear Static	Q4,3	0.79	
SLU_STR_042			Linear Static	Q4,4	0.79	
SLU_STR_042			Linear Static	Q5u	0.9	
SLU_STR_042			Linear Static	Q5d	0.9	
SLU_STR_042			Linear Static	Q6,1	1	
SLU_STR_042			Linear Static	Q6,2	0	
SLU_STR_042			Linear Static	Q7	1.2	
SLU_STR_042			Linear Static	Q8,1	1	
SLU_STR_042			Linear Static	Q8,2	0	
SLU_STR_042			Linear Static	Ex	0	
SLU_STR_042			Linear Static	Ey	0	
SLU_STR_042			Linear Static	Ez	0	
SLU_STR_043	Linear Add	No	Linear Static	G1	1.35	None
SLU_STR_043			Linear Static	G2,1	1.5	
SLU_STR_043			Linear Static	G2,2	1.5	
SLU_STR_043			Linear Static	G2,3	1.5	
SLU_STR_043			Linear Static	G2,4	1.5	
SLU_STR_043			Linear Static	G2,5	1.5	

SLU_STR_043			Linear Static	Q1,1	1.59	
SLU_STR_043			Linear Static	Q1,2	1.59	
SLU_STR_043			Linear Static	Q1,3	0	
SLU_STR_043			Linear Static	Q1,4	0	
SLU_STR_043			Linear Static	Q2,1	0	
SLU_STR_043			Linear Static	Q2,2	0	
SLU_STR_043			Linear Static	Q3,1	0	
SLU_STR_043			Linear Static	Q3,2	0	
SLU_STR_043			Linear Static	Q3,3	0	
SLU_STR_043			Linear Static	Q3,4	0	
SLU_STR_043			Linear Static	Q4,1	-1.59	
SLU_STR_043			Linear Static	Q4,2	-1.59	
SLU_STR_043			Linear Static	Q4,3	-1.59	
SLU_STR_043			Linear Static	Q4,4	0	
SLU_STR_043			Linear Static	Q5u	0.9	
SLU_STR_043			Linear Static	Q5d	0.9	
SLU_STR_043			Linear Static	Q6,1	1	
SLU_STR_043			Linear Static	Q6,2	0	
SLU_STR_043			Linear Static	Q7	1.2	
SLU_STR_043			Linear Static	Q8,1	1	
SLU_STR_043			Linear Static	Q8,2	0	
SLU_STR_043			Linear Static	Ex	0	
SLU_STR_043			Linear Static	Ey	0	
SLU_STR_043			Linear Static	Ez	0	
SLU_STR_044	Linear Add	No	Linear Static	G1	1.35	None
SLU_STR_044			Linear Static	G2,1	1.5	
SLU_STR_044			Linear Static	G2,2	1.5	
SLU_STR_044			Linear Static	G2,3	1.5	
SLU_STR_044			Linear Static	G2,4	1.5	
SLU_STR_044			Linear Static	G2,5	1.5	
SLU_STR_044			Linear Static	Q1,1	1.59	
SLU_STR_044			Linear Static	Q1,2	0	
SLU_STR_044			Linear Static	Q1,3	0	
SLU_STR_044			Linear Static	Q1,4	1.59	
SLU_STR_044			Linear Static	Q2,1	0	
SLU_STR_044			Linear Static	Q2,2	0	
SLU_STR_044			Linear Static	Q3,1	0	
SLU_STR_044			Linear Static	Q3,2	0	
SLU_STR_044			Linear Static	Q3,3	0	
SLU_STR_044			Linear Static	Q3,4	0	
SLU_STR_044			Linear Static	Q4,1	-1.59	
SLU_STR_044			Linear Static	Q4,2	-1.59	
SLU_STR_044			Linear Static	Q4,3	-0.79	
SLU_STR_044			Linear Static	Q4,4	-0.79	
SLU_STR_044			Linear Static	Q5u	0.9	
SLU_STR_044			Linear Static	Q5d	0.9	
SLU_STR_044			Linear Static	Q6,1	1	

SLU_STR_044			Linear Static	Q6,2	0	
SLU_STR_044			Linear Static	Q7	1.2	
SLU_STR_044			Linear Static	Q8,1	1	
SLU_STR_044			Linear Static	Q8,2	0	
SLU_STR_044			Linear Static	Ex	0	
SLU_STR_044			Linear Static	Ey	0	
SLU_STR_044			Linear Static	Ez	0	
SLU_STR_045	Linear Add	No	Linear Static	G1	1.35	None
SLU_STR_045			Linear Static	G2,1	1.5	
SLU_STR_045			Linear Static	G2,2	1.5	
SLU_STR_045			Linear Static	G2,3	1.5	
SLU_STR_045			Linear Static	G2,4	1.5	
SLU_STR_045			Linear Static	G2,5	1.5	
SLU_STR_045			Linear Static	Q1,1	0	
SLU_STR_045			Linear Static	Q1,2	0	
SLU_STR_045			Linear Static	Q1,3	1.59	
SLU_STR_045			Linear Static	Q1,4	1.59	
SLU_STR_045			Linear Static	Q2,1	0	
SLU_STR_045			Linear Static	Q2,2	0	
SLU_STR_045			Linear Static	Q3,1	0	
SLU_STR_045			Linear Static	Q3,2	0	
SLU_STR_045			Linear Static	Q3,3	0	
SLU_STR_045			Linear Static	Q3,4	0	
SLU_STR_045			Linear Static	Q4,1	-1.59	
SLU_STR_045			Linear Static	Q4,2	-1.59	
SLU_STR_045			Linear Static	Q4,3	0	
SLU_STR_045			Linear Static	Q4,4	-1.59	
SLU_STR_045			Linear Static	Q5u	0.9	
SLU_STR_045			Linear Static	Q5d	0.9	
SLU_STR_045			Linear Static	Q6,1	1	
SLU_STR_045			Linear Static	Q6,2	0	
SLU_STR_045			Linear Static	Q7	1.2	
SLU_STR_045			Linear Static	Q8,1	1	
SLU_STR_045			Linear Static	Q8,2	0	
SLU_STR_045			Linear Static	Ex	0	
SLU_STR_045			Linear Static	Ey	0	
SLU_STR_045			Linear Static	Ez	0	
SLU_STR_046	Linear Add	No	Linear Static	G1	1.35	None
SLU_STR_046			Linear Static	G2,1	1.5	
SLU_STR_046			Linear Static	G2,2	1.5	
SLU_STR_046			Linear Static	G2,3	1.5	
SLU_STR_046			Linear Static	G2,4	1.5	
SLU_STR_046			Linear Static	G2,5	1.5	
SLU_STR_046			Linear Static	Q1,1	0	
SLU_STR_046			Linear Static	Q1,2	1.59	
SLU_STR_046			Linear Static	Q1,3	1.59	
SLU_STR_046			Linear Static	Q1,4	0	

SLU_STR_046			Linear Static	Q2,1	0	
SLU_STR_046			Linear Static	Q2,2	0	
SLU_STR_046			Linear Static	Q3,1	0	
SLU_STR_046			Linear Static	Q3,2	0	
SLU_STR_046			Linear Static	Q3,3	0	
SLU_STR_046			Linear Static	Q3,4	0	
SLU_STR_046			Linear Static	Q4,1	-1.59	
SLU_STR_046			Linear Static	Q4,2	-1.59	
SLU_STR_046			Linear Static	Q4,3	-0.79	
SLU_STR_046			Linear Static	Q4,4	-0.79	
SLU_STR_046			Linear Static	Q5u	0.9	
SLU_STR_046			Linear Static	Q5d	0.9	
SLU_STR_046			Linear Static	Q6,1	1	
SLU_STR_046			Linear Static	Q6,2	0	
SLU_STR_046			Linear Static	Q7	1.2	
SLU_STR_046			Linear Static	Q8,1	1	
SLU_STR_046			Linear Static	Q8,2	0	
SLU_STR_046			Linear Static	Ex	0	
SLU_STR_046			Linear Static	Ey	0	
SLU_STR_046			Linear Static	Ez	0	
SLU_STR_047	Linear Add	No	Linear Static	G1	1.35	None
SLU_STR_047			Linear Static	G2,1	1.5	
SLU_STR_047			Linear Static	G2,2	1.5	
SLU_STR_047			Linear Static	G2,3	1.5	
SLU_STR_047			Linear Static	G2,4	1.5	
SLU_STR_047			Linear Static	G2,5	1.5	
SLU_STR_047			Linear Static	Q1,1	1.59	
SLU_STR_047			Linear Static	Q1,2	1.59	
SLU_STR_047			Linear Static	Q1,3	0	
SLU_STR_047			Linear Static	Q1,4	0	
SLU_STR_047			Linear Static	Q2,1	0	
SLU_STR_047			Linear Static	Q2,2	0	
SLU_STR_047			Linear Static	Q3,1	0	
SLU_STR_047			Linear Static	Q3,2	0	
SLU_STR_047			Linear Static	Q3,3	0	
SLU_STR_047			Linear Static	Q3,4	0	
SLU_STR_047			Linear Static	Q4,1	1.59	
SLU_STR_047			Linear Static	Q4,2	1.59	
SLU_STR_047			Linear Static	Q4,3	1.59	
SLU_STR_047			Linear Static	Q4,4	0	
SLU_STR_047			Linear Static	Q5u	0.9	
SLU_STR_047			Linear Static	Q5d	0.9	
SLU_STR_047			Linear Static	Q6,1	1	
SLU_STR_047			Linear Static	Q6,2	0	
SLU_STR_047			Linear Static	Q7	1.2	
SLU_STR_047			Linear Static	Q8,1	-1	
SLU_STR_047			Linear Static	Q8,2	0	

SLU_STR_047			Linear Static	Ex	0	
SLU_STR_047			Linear Static	Ey	0	
SLU_STR_047			Linear Static	Ez	0	
SLU_STR_048	Linear Add	No	Linear Static	G1	1.35	None
SLU_STR_048			Linear Static	G2,1	1.5	
SLU_STR_048			Linear Static	G2,2	1.5	
SLU_STR_048			Linear Static	G2,3	1.5	
SLU_STR_048			Linear Static	G2,4	1.5	
SLU_STR_048			Linear Static	G2,5	1.5	
SLU_STR_048			Linear Static	Q1,1	1.59	
SLU_STR_048			Linear Static	Q1,2	0	
SLU_STR_048			Linear Static	Q1,3	0	
SLU_STR_048			Linear Static	Q1,4	1.59	
SLU_STR_048			Linear Static	Q2,1	0	
SLU_STR_048			Linear Static	Q2,2	0	
SLU_STR_048			Linear Static	Q3,1	0	
SLU_STR_048			Linear Static	Q3,2	0	
SLU_STR_048			Linear Static	Q3,3	0	
SLU_STR_048			Linear Static	Q3,4	0	
SLU_STR_048			Linear Static	Q4,1	1.59	
SLU_STR_048			Linear Static	Q4,2	1.59	
SLU_STR_048			Linear Static	Q4,3	0.79	
SLU_STR_048			Linear Static	Q4,4	0.79	
SLU_STR_048			Linear Static	Q5u	0.9	
SLU_STR_048			Linear Static	Q5d	0.9	
SLU_STR_048			Linear Static	Q6,1	1	
SLU_STR_048			Linear Static	Q6,2	0	
SLU_STR_048			Linear Static	Q7	1.2	
SLU_STR_048			Linear Static	Q8,1	-1	
SLU_STR_048			Linear Static	Q8,2	0	
SLU_STR_048			Linear Static	Ex	0	
SLU_STR_048			Linear Static	Ey	0	
SLU_STR_048			Linear Static	Ez	0	
SLU_STR_049	Linear Add	No	Linear Static	G1	1.35	None
SLU_STR_049			Linear Static	G2,1	1.5	
SLU_STR_049			Linear Static	G2,2	1.5	
SLU_STR_049			Linear Static	G2,3	1.5	
SLU_STR_049			Linear Static	G2,4	1.5	
SLU_STR_049			Linear Static	G2,5	1.5	
SLU_STR_049			Linear Static	Q1,1	0	
SLU_STR_049			Linear Static	Q1,2	0	
SLU_STR_049			Linear Static	Q1,3	1.59	
SLU_STR_049			Linear Static	Q1,4	1.59	
SLU_STR_049			Linear Static	Q2,1	0	
SLU_STR_049			Linear Static	Q2,2	0	
SLU_STR_049			Linear Static	Q3,1	0	
SLU_STR_049			Linear Static	Q3,2	0	

SLU_STR_049			Linear Static	Q3,3	0	
SLU_STR_049			Linear Static	Q3,4	0	
SLU_STR_049			Linear Static	Q4,1	1.59	
SLU_STR_049			Linear Static	Q4,2	1.59	
SLU_STR_049			Linear Static	Q4,3	0	
SLU_STR_049			Linear Static	Q4,4	1.59	
SLU_STR_049			Linear Static	Q5u	0.9	
SLU_STR_049			Linear Static	Q5d	0.9	
SLU_STR_049			Linear Static	Q6,1	1	
SLU_STR_049			Linear Static	Q6,2	0	
SLU_STR_049			Linear Static	Q7	1.2	
SLU_STR_049			Linear Static	Q8,1	-1	
SLU_STR_049			Linear Static	Q8,2	0	
SLU_STR_049			Linear Static	Ex	0	
SLU_STR_049			Linear Static	Ey	0	
SLU_STR_049			Linear Static	Ez	0	
SLU_STR_050	Linear Add	No	Linear Static	G1	1.35	None
SLU_STR_050			Linear Static	G2,1	1.5	
SLU_STR_050			Linear Static	G2,2	1.5	
SLU_STR_050			Linear Static	G2,3	1.5	
SLU_STR_050			Linear Static	G2,4	1.5	
SLU_STR_050			Linear Static	G2,5	1.5	
SLU_STR_050			Linear Static	Q1,1	0	
SLU_STR_050			Linear Static	Q1,2	1.59	
SLU_STR_050			Linear Static	Q1,3	1.59	
SLU_STR_050			Linear Static	Q1,4	0	
SLU_STR_050			Linear Static	Q2,1	0	
SLU_STR_050			Linear Static	Q2,2	0	
SLU_STR_050			Linear Static	Q3,1	0	
SLU_STR_050			Linear Static	Q3,2	0	
SLU_STR_050			Linear Static	Q3,3	0	
SLU_STR_050			Linear Static	Q3,4	0	
SLU_STR_050			Linear Static	Q4,1	1.59	
SLU_STR_050			Linear Static	Q4,2	1.59	
SLU_STR_050			Linear Static	Q4,3	0.79	
SLU_STR_050			Linear Static	Q4,4	0.79	
SLU_STR_050			Linear Static	Q5u	0.9	
SLU_STR_050			Linear Static	Q5d	0.9	
SLU_STR_050			Linear Static	Q6,1	1	
SLU_STR_050			Linear Static	Q6,2	0	
SLU_STR_050			Linear Static	Q7	1.2	
SLU_STR_050			Linear Static	Q8,1	-1	
SLU_STR_050			Linear Static	Q8,2	0	
SLU_STR_050			Linear Static	Ex	0	
SLU_STR_050			Linear Static	Ey	0	
SLU_STR_050			Linear Static	Ez	0	
SLU_STR_051	Linear Add	No	Linear Static	G1	1.35	None

SLU_STR_051			Linear Static	G2,1	1.5	
SLU_STR_051			Linear Static	G2,2	1.5	
SLU_STR_051			Linear Static	G2,3	1.5	
SLU_STR_051			Linear Static	G2,4	1.5	
SLU_STR_051			Linear Static	G2,5	1.5	
SLU_STR_051			Linear Static	Q1,1	1.59	
SLU_STR_051			Linear Static	Q1,2	1.59	
SLU_STR_051			Linear Static	Q1,3	0	
SLU_STR_051			Linear Static	Q1,4	0	
SLU_STR_051			Linear Static	Q2,1	0	
SLU_STR_051			Linear Static	Q2,2	0	
SLU_STR_051			Linear Static	Q3,1	0	
SLU_STR_051			Linear Static	Q3,2	0	
SLU_STR_051			Linear Static	Q3,3	0	
SLU_STR_051			Linear Static	Q3,4	0	
SLU_STR_051			Linear Static	Q4,1	-1.59	
SLU_STR_051			Linear Static	Q4,2	-1.59	
SLU_STR_051			Linear Static	Q4,3	-1.59	
SLU_STR_051			Linear Static	Q4,4	0	
SLU_STR_051			Linear Static	Q5u	0.9	
SLU_STR_051			Linear Static	Q5d	0.9	
SLU_STR_051			Linear Static	Q6,1	1	
SLU_STR_051			Linear Static	Q6,2	0	
SLU_STR_051			Linear Static	Q7	1.2	
SLU_STR_051			Linear Static	Q8,1	-1	
SLU_STR_051			Linear Static	Q8,2	0	
SLU_STR_051			Linear Static	Ex	0	
SLU_STR_051			Linear Static	Ey	0	
SLU_STR_051			Linear Static	Ez	0	
SLU_STR_052	Linear Add	No	Linear Static	G1	1.35	None
SLU_STR_052			Linear Static	G2,1	1.5	
SLU_STR_052			Linear Static	G2,2	1.5	
SLU_STR_052			Linear Static	G2,3	1.5	
SLU_STR_052			Linear Static	G2,4	1.5	
SLU_STR_052			Linear Static	G2,5	1.5	
SLU_STR_052			Linear Static	Q1,1	1.59	
SLU_STR_052			Linear Static	Q1,2	0	
SLU_STR_052			Linear Static	Q1,3	0	
SLU_STR_052			Linear Static	Q1,4	1.59	
SLU_STR_052			Linear Static	Q2,1	0	
SLU_STR_052			Linear Static	Q2,2	0	
SLU_STR_052			Linear Static	Q3,1	0	
SLU_STR_052			Linear Static	Q3,2	0	
SLU_STR_052			Linear Static	Q3,3	0	
SLU_STR_052			Linear Static	Q3,4	0	
SLU_STR_052			Linear Static	Q4,1	-1.59	
SLU_STR_052			Linear Static	Q4,2	-1.59	

SLU_STR_052			Linear Static	Q4,3	-0.79	
SLU_STR_052			Linear Static	Q4,4	-0.79	
SLU_STR_052			Linear Static	Q5u	0.9	
SLU_STR_052			Linear Static	Q5d	0.9	
SLU_STR_052			Linear Static	Q6,1	1	
SLU_STR_052			Linear Static	Q6,2	0	
SLU_STR_052			Linear Static	Q7	1.2	
SLU_STR_052			Linear Static	Q8,1	-1	
SLU_STR_052			Linear Static	Q8,2	0	
SLU_STR_052			Linear Static	Ex	0	
SLU_STR_052			Linear Static	Ey	0	
SLU_STR_052			Linear Static	Ez	0	
SLU_STR_053	Linear Add	No	Linear Static	G1	1.35	None
SLU_STR_053			Linear Static	G2,1	1.5	
SLU_STR_053			Linear Static	G2,2	1.5	
SLU_STR_053			Linear Static	G2,3	1.5	
SLU_STR_053			Linear Static	G2,4	1.5	
SLU_STR_053			Linear Static	G2,5	1.5	
SLU_STR_053			Linear Static	Q1,1	0	
SLU_STR_053			Linear Static	Q1,2	0	
SLU_STR_053			Linear Static	Q1,3	1.59	
SLU_STR_053			Linear Static	Q1,4	1.59	
SLU_STR_053			Linear Static	Q2,1	0	
SLU_STR_053			Linear Static	Q2,2	0	
SLU_STR_053			Linear Static	Q3,1	0	
SLU_STR_053			Linear Static	Q3,2	0	
SLU_STR_053			Linear Static	Q3,3	0	
SLU_STR_053			Linear Static	Q3,4	0	
SLU_STR_053			Linear Static	Q4,1	-1.59	
SLU_STR_053			Linear Static	Q4,2	-1.59	
SLU_STR_053			Linear Static	Q4,3	0	
SLU_STR_053			Linear Static	Q4,4	-1.59	
SLU_STR_053			Linear Static	Q5u	0.9	
SLU_STR_053			Linear Static	Q5d	0.9	
SLU_STR_053			Linear Static	Q6,1	1	
SLU_STR_053			Linear Static	Q6,2	0	
SLU_STR_053			Linear Static	Q7	1.2	
SLU_STR_053			Linear Static	Q8,1	-1	
SLU_STR_053			Linear Static	Q8,2	0	
SLU_STR_053			Linear Static	Ex	0	
SLU_STR_053			Linear Static	Ey	0	
SLU_STR_053			Linear Static	Ez	0	
SLU_STR_054	Linear Add	No	Linear Static	G1	1.35	None
SLU_STR_054			Linear Static	G2,1	1.5	
SLU_STR_054			Linear Static	G2,2	1.5	
SLU_STR_054			Linear Static	G2,3	1.5	
SLU_STR_054			Linear Static	G2,4	1.5	

SLU_STR_054			Linear Static	G2,5	1.5	
SLU_STR_054			Linear Static	Q1,1	0	
SLU_STR_054			Linear Static	Q1,2	1.59	
SLU_STR_054			Linear Static	Q1,3	1.59	
SLU_STR_054			Linear Static	Q1,4	0	
SLU_STR_054			Linear Static	Q2,1	0	
SLU_STR_054			Linear Static	Q2,2	0	
SLU_STR_054			Linear Static	Q3,1	0	
SLU_STR_054			Linear Static	Q3,2	0	
SLU_STR_054			Linear Static	Q3,3	0	
SLU_STR_054			Linear Static	Q3,4	0	
SLU_STR_054			Linear Static	Q4,1	-1.59	
SLU_STR_054			Linear Static	Q4,2	-1.59	
SLU_STR_054			Linear Static	Q4,3	-0.79	
SLU_STR_054			Linear Static	Q4,4	-0.79	
SLU_STR_054			Linear Static	Q5u	0.9	
SLU_STR_054			Linear Static	Q5d	0.9	
SLU_STR_054			Linear Static	Q6,1	1	
SLU_STR_054			Linear Static	Q6,2	0	
SLU_STR_054			Linear Static	Q7	1.2	
SLU_STR_054			Linear Static	Q8,1	-1	
SLU_STR_054			Linear Static	Q8,2	0	
SLU_STR_054			Linear Static	Ex	0	
SLU_STR_054			Linear Static	Ey	0	
SLU_STR_054			Linear Static	Ez	0	
SLU_STR_055	Linear Add	No	Linear Static	G1	1.35	None
SLU_STR_055			Linear Static	G2,1	1.5	
SLU_STR_055			Linear Static	G2,2	1.5	
SLU_STR_055			Linear Static	G2,3	1.5	
SLU_STR_055			Linear Static	G2,4	1.5	
SLU_STR_055			Linear Static	G2,5	1.5	
SLU_STR_055			Linear Static	Q1,1	0	
SLU_STR_055			Linear Static	Q1,2	0	
SLU_STR_055			Linear Static	Q1,3	0	
SLU_STR_055			Linear Static	Q1,4	0	
SLU_STR_055			Linear Static	Q2,1	0	
SLU_STR_055			Linear Static	Q2,2	0	
SLU_STR_055			Linear Static	Q3,1	1.59	
SLU_STR_055			Linear Static	Q3,2	1.59	
SLU_STR_055			Linear Static	Q3,3	0	
SLU_STR_055			Linear Static	Q3,4	0	
SLU_STR_055			Linear Static	Q4,1	1.59	
SLU_STR_055			Linear Static	Q4,2	1.59	
SLU_STR_055			Linear Static	Q4,3	1.59	
SLU_STR_055			Linear Static	Q4,4	0	
SLU_STR_055			Linear Static	Q5u	0.9	
SLU_STR_055			Linear Static	Q5d	0.9	

SLU_STR_055			Linear Static	Q6,1	1	
SLU_STR_055			Linear Static	Q6,2	0	
SLU_STR_055			Linear Static	Q7	1.2	
SLU_STR_055			Linear Static	Q8,1	1	
SLU_STR_055			Linear Static	Q8,2	0	
SLU_STR_055			Linear Static	Ex	0	
SLU_STR_055			Linear Static	Ey	0	
SLU_STR_055			Linear Static	Ez	0	
SLU_STR_056	Linear Add	No	Linear Static	G1	1.35	None
SLU_STR_056			Linear Static	G2,1	1.5	
SLU_STR_056			Linear Static	G2,2	1.5	
SLU_STR_056			Linear Static	G2,3	1.5	
SLU_STR_056			Linear Static	G2,4	1.5	
SLU_STR_056			Linear Static	G2,5	1.5	
SLU_STR_056			Linear Static	Q1,1	0	
SLU_STR_056			Linear Static	Q1,2	0	
SLU_STR_056			Linear Static	Q1,3	0	
SLU_STR_056			Linear Static	Q1,4	0	
SLU_STR_056			Linear Static	Q2,1	0	
SLU_STR_056			Linear Static	Q2,2	0	
SLU_STR_056			Linear Static	Q3,1	1.59	
SLU_STR_056			Linear Static	Q3,2	0	
SLU_STR_056			Linear Static	Q3,3	0	
SLU_STR_056			Linear Static	Q3,4	1.59	
SLU_STR_056			Linear Static	Q4,1	1.59	
SLU_STR_056			Linear Static	Q4,2	1.59	
SLU_STR_056			Linear Static	Q4,3	0.79	
SLU_STR_056			Linear Static	Q4,4	0.79	
SLU_STR_056			Linear Static	Q5u	0.9	
SLU_STR_056			Linear Static	Q5d	0.9	
SLU_STR_056			Linear Static	Q6,1	1	
SLU_STR_056			Linear Static	Q6,2	0	
SLU_STR_056			Linear Static	Q7	1.2	
SLU_STR_056			Linear Static	Q8,1	1	
SLU_STR_056			Linear Static	Q8,2	0	
SLU_STR_056			Linear Static	Ex	0	
SLU_STR_056			Linear Static	Ey	0	
SLU_STR_056			Linear Static	Ez	0	
SLU_STR_057	Linear Add	No	Linear Static	G1	1.35	None
SLU_STR_057			Linear Static	G2,1	1.5	
SLU_STR_057			Linear Static	G2,2	1.5	
SLU_STR_057			Linear Static	G2,3	1.5	
SLU_STR_057			Linear Static	G2,4	1.5	
SLU_STR_057			Linear Static	G2,5	1.5	
SLU_STR_057			Linear Static	Q1,1	0	
SLU_STR_057			Linear Static	Q1,2	0	
SLU_STR_057			Linear Static	Q1,3	0	

SLU_STR_057			Linear Static	Q1,4	0	
SLU_STR_057			Linear Static	Q2,1	0	
SLU_STR_057			Linear Static	Q2,2	0	
SLU_STR_057			Linear Static	Q3,1	0	
SLU_STR_057			Linear Static	Q3,2	0	
SLU_STR_057			Linear Static	Q3,3	1.59	
SLU_STR_057			Linear Static	Q3,4	1.59	
SLU_STR_057			Linear Static	Q4,1	1.59	
SLU_STR_057			Linear Static	Q4,2	1.59	
SLU_STR_057			Linear Static	Q4,3	0	
SLU_STR_057			Linear Static	Q4,4	1.59	
SLU_STR_057			Linear Static	Q5u	0.9	
SLU_STR_057			Linear Static	Q5d	0.9	
SLU_STR_057			Linear Static	Q6,1	1	
SLU_STR_057			Linear Static	Q6,2	0	
SLU_STR_057			Linear Static	Q7	1.2	
SLU_STR_057			Linear Static	Q8,1	1	
SLU_STR_057			Linear Static	Q8,2	0	
SLU_STR_057			Linear Static	Ex	0	
SLU_STR_057			Linear Static	Ey	0	
SLU_STR_057			Linear Static	Ez	0	
SLU_STR_058	Linear Add	No	Linear Static	G1	1.35	None
SLU_STR_058			Linear Static	G2,1	1.5	
SLU_STR_058			Linear Static	G2,2	1.5	
SLU_STR_058			Linear Static	G2,3	1.5	
SLU_STR_058			Linear Static	G2,4	1.5	
SLU_STR_058			Linear Static	G2,5	1.5	
SLU_STR_058			Linear Static	Q1,1	0	
SLU_STR_058			Linear Static	Q1,2	0	
SLU_STR_058			Linear Static	Q1,3	0	
SLU_STR_058			Linear Static	Q1,4	0	
SLU_STR_058			Linear Static	Q2,1	0	
SLU_STR_058			Linear Static	Q2,2	0	
SLU_STR_058			Linear Static	Q3,1	0	
SLU_STR_058			Linear Static	Q3,2	1.59	
SLU_STR_058			Linear Static	Q3,3	1.59	
SLU_STR_058			Linear Static	Q3,4	0	
SLU_STR_058			Linear Static	Q4,1	1.59	
SLU_STR_058			Linear Static	Q4,2	1.59	
SLU_STR_058			Linear Static	Q4,3	0.79	
SLU_STR_058			Linear Static	Q4,4	0.79	
SLU_STR_058			Linear Static	Q5u	0.9	
SLU_STR_058			Linear Static	Q5d	0.9	
SLU_STR_058			Linear Static	Q6,1	1	
SLU_STR_058			Linear Static	Q6,2	0	
SLU_STR_058			Linear Static	Q7	1.2	
SLU_STR_058			Linear Static	Q8,1	1	

SLU_STR_058			Linear Static	Q8,2	0	
SLU_STR_058			Linear Static	Ex	0	
SLU_STR_058			Linear Static	Ey	0	
SLU_STR_058			Linear Static	Ez	0	
SLU_STR_059	Linear Add	No	Linear Static	G1	1.35	None
SLU_STR_059			Linear Static	G2,1	1.5	
SLU_STR_059			Linear Static	G2,2	1.5	
SLU_STR_059			Linear Static	G2,3	1.5	
SLU_STR_059			Linear Static	G2,4	1.5	
SLU_STR_059			Linear Static	G2,5	1.5	
SLU_STR_059			Linear Static	Q1,1	0	
SLU_STR_059			Linear Static	Q1,2	0	
SLU_STR_059			Linear Static	Q1,3	0	
SLU_STR_059			Linear Static	Q1,4	0	
SLU_STR_059			Linear Static	Q2,1	0	
SLU_STR_059			Linear Static	Q2,2	0	
SLU_STR_059			Linear Static	Q3,1	1.59	
SLU_STR_059			Linear Static	Q3,2	1.59	
SLU_STR_059			Linear Static	Q3,3	0	
SLU_STR_059			Linear Static	Q3,4	0	
SLU_STR_059			Linear Static	Q4,1	-1.59	
SLU_STR_059			Linear Static	Q4,2	-1.59	
SLU_STR_059			Linear Static	Q4,3	-1.59	
SLU_STR_059			Linear Static	Q4,4	0	
SLU_STR_059			Linear Static	Q5u	0.9	
SLU_STR_059			Linear Static	Q5d	0.9	
SLU_STR_059			Linear Static	Q6,1	1	
SLU_STR_059			Linear Static	Q6,2	0	
SLU_STR_059			Linear Static	Q7	1.2	
SLU_STR_059			Linear Static	Q8,1	1	
SLU_STR_059			Linear Static	Q8,2	0	
SLU_STR_059			Linear Static	Ex	0	
SLU_STR_059			Linear Static	Ey	0	
SLU_STR_059			Linear Static	Ez	0	
SLU_STR_060	Linear Add	No	Linear Static	G1	1.35	None
SLU_STR_060			Linear Static	G2,1	1.5	
SLU_STR_060			Linear Static	G2,2	1.5	
SLU_STR_060			Linear Static	G2,3	1.5	
SLU_STR_060			Linear Static	G2,4	1.5	
SLU_STR_060			Linear Static	G2,5	1.5	
SLU_STR_060			Linear Static	Q1,1	0	
SLU_STR_060			Linear Static	Q1,2	0	
SLU_STR_060			Linear Static	Q1,3	0	
SLU_STR_060			Linear Static	Q1,4	0	
SLU_STR_060			Linear Static	Q2,1	0	
SLU_STR_060			Linear Static	Q2,2	0	
SLU_STR_060			Linear Static	Q3,1	1.59	

SLU_STR_060			Linear Static	Q3,2	0	
SLU_STR_060			Linear Static	Q3,3	0	
SLU_STR_060			Linear Static	Q3,4	1.59	
SLU_STR_060			Linear Static	Q4,1	-1.59	
SLU_STR_060			Linear Static	Q4,2	-1.59	
SLU_STR_060			Linear Static	Q4,3	-0.79	
SLU_STR_060			Linear Static	Q4,4	-0.79	
SLU_STR_060			Linear Static	Q5u	0.9	
SLU_STR_060			Linear Static	Q5d	0.9	
SLU_STR_060			Linear Static	Q6,1	1	
SLU_STR_060			Linear Static	Q6,2	0	
SLU_STR_060			Linear Static	Q7	1.2	
SLU_STR_060			Linear Static	Q8,1	1	
SLU_STR_060			Linear Static	Q8,2	0	
SLU_STR_060			Linear Static	Ex	0	
SLU_STR_060			Linear Static	Ey	0	
SLU_STR_060			Linear Static	Ez	0	
SLU_STR_061	Linear Add	No	Linear Static	G1	1.35	None
SLU_STR_061			Linear Static	G2,1	1.5	
SLU_STR_061			Linear Static	G2,2	1.5	
SLU_STR_061			Linear Static	G2,3	1.5	
SLU_STR_061			Linear Static	G2,4	1.5	
SLU_STR_061			Linear Static	G2,5	1.5	
SLU_STR_061			Linear Static	Q1,1	0	
SLU_STR_061			Linear Static	Q1,2	0	
SLU_STR_061			Linear Static	Q1,3	0	
SLU_STR_061			Linear Static	Q1,4	0	
SLU_STR_061			Linear Static	Q2,1	0	
SLU_STR_061			Linear Static	Q2,2	0	
SLU_STR_061			Linear Static	Q3,1	0	
SLU_STR_061			Linear Static	Q3,2	0	
SLU_STR_061			Linear Static	Q3,3	1.59	
SLU_STR_061			Linear Static	Q3,4	1.59	
SLU_STR_061			Linear Static	Q4,1	-1.59	
SLU_STR_061			Linear Static	Q4,2	-1.59	
SLU_STR_061			Linear Static	Q4,3	0	
SLU_STR_061			Linear Static	Q4,4	-1.59	
SLU_STR_061			Linear Static	Q5u	0.9	
SLU_STR_061			Linear Static	Q5d	0.9	
SLU_STR_061			Linear Static	Q6,1	1	
SLU_STR_061			Linear Static	Q6,2	0	
SLU_STR_061			Linear Static	Q7	1.2	
SLU_STR_061			Linear Static	Q8,1	1	
SLU_STR_061			Linear Static	Q8,2	0	
SLU_STR_061			Linear Static	Ex	0	
SLU_STR_061			Linear Static	Ey	0	
SLU_STR_061			Linear Static	Ez	0	

SLU_STR_062	Linear Add	No	Linear Static	G1	1.35	None
SLU_STR_062			Linear Static	G2,1	1.5	
SLU_STR_062			Linear Static	G2,2	1.5	
SLU_STR_062			Linear Static	G2,3	1.5	
SLU_STR_062			Linear Static	G2,4	1.5	
SLU_STR_062			Linear Static	G2,5	1.5	
SLU_STR_062			Linear Static	Q1,1	0	
SLU_STR_062			Linear Static	Q1,2	0	
SLU_STR_062			Linear Static	Q1,3	0	
SLU_STR_062			Linear Static	Q1,4	0	
SLU_STR_062			Linear Static	Q2,1	0	
SLU_STR_062			Linear Static	Q2,2	0	
SLU_STR_062			Linear Static	Q3,1	0	
SLU_STR_062			Linear Static	Q3,2	1.59	
SLU_STR_062			Linear Static	Q3,3	1.59	
SLU_STR_062			Linear Static	Q3,4	0	
SLU_STR_062			Linear Static	Q4,1	-1.59	
SLU_STR_062			Linear Static	Q4,2	-1.59	
SLU_STR_062			Linear Static	Q4,3	-0.79	
SLU_STR_062			Linear Static	Q4,4	-0.79	
SLU_STR_062			Linear Static	Q5u	0.9	
SLU_STR_062			Linear Static	Q5d	0.9	
SLU_STR_062			Linear Static	Q6,1	1	
SLU_STR_062			Linear Static	Q6,2	0	
SLU_STR_062			Linear Static	Q7	1.2	
SLU_STR_062			Linear Static	Q8,1	1	
SLU_STR_062			Linear Static	Q8,2	0	
SLU_STR_062			Linear Static	Ex	0	
SLU_STR_062			Linear Static	Ey	0	
SLU_STR_062			Linear Static	Ez	0	
SLU_STR_063	Linear Add	No	Linear Static	G1	1.35	None
SLU_STR_063			Linear Static	G2,1	1.5	
SLU_STR_063			Linear Static	G2,2	1.5	
SLU_STR_063			Linear Static	G2,3	1.5	
SLU_STR_063			Linear Static	G2,4	1.5	
SLU_STR_063			Linear Static	G2,5	1.5	
SLU_STR_063			Linear Static	Q1,1	0	
SLU_STR_063			Linear Static	Q1,2	0	
SLU_STR_063			Linear Static	Q1,3	0	
SLU_STR_063			Linear Static	Q1,4	0	
SLU_STR_063			Linear Static	Q2,1	0	
SLU_STR_063			Linear Static	Q2,2	0	
SLU_STR_063			Linear Static	Q3,1	1.59	
SLU_STR_063			Linear Static	Q3,2	1.59	
SLU_STR_063			Linear Static	Q3,3	0	
SLU_STR_063			Linear Static	Q3,4	0	
SLU_STR_063			Linear Static	Q4,1	1.59	

SLU_STR_063			Linear Static	Q4,2	1.59	
SLU_STR_063			Linear Static	Q4,3	1.59	
SLU_STR_063			Linear Static	Q4,4	0	
SLU_STR_063			Linear Static	Q5u	0.9	
SLU_STR_063			Linear Static	Q5d	0.9	
SLU_STR_063			Linear Static	Q6,1	1	
SLU_STR_063			Linear Static	Q6,2	0	
SLU_STR_063			Linear Static	Q7	1.2	
SLU_STR_063			Linear Static	Q8,1	-1	
SLU_STR_063			Linear Static	Q8,2	0	
SLU_STR_063			Linear Static	Ex	0	
SLU_STR_063			Linear Static	Ey	0	
SLU_STR_063			Linear Static	Ez	0	
SLU_STR_064	Linear Add	No	Linear Static	G1	1.35	None
SLU_STR_064			Linear Static	G2,1	1.5	
SLU_STR_064			Linear Static	G2,2	1.5	
SLU_STR_064			Linear Static	G2,3	1.5	
SLU_STR_064			Linear Static	G2,4	1.5	
SLU_STR_064			Linear Static	G2,5	1.5	
SLU_STR_064			Linear Static	Q1,1	0	
SLU_STR_064			Linear Static	Q1,2	0	
SLU_STR_064			Linear Static	Q1,3	0	
SLU_STR_064			Linear Static	Q1,4	0	
SLU_STR_064			Linear Static	Q2,1	0	
SLU_STR_064			Linear Static	Q2,2	0	
SLU_STR_064			Linear Static	Q3,1	1.59	
SLU_STR_064			Linear Static	Q3,2	0	
SLU_STR_064			Linear Static	Q3,3	0	
SLU_STR_064			Linear Static	Q3,4	1.59	
SLU_STR_064			Linear Static	Q4,1	1.59	
SLU_STR_064			Linear Static	Q4,2	1.59	
SLU_STR_064			Linear Static	Q4,3	0.79	
SLU_STR_064			Linear Static	Q4,4	0.79	
SLU_STR_064			Linear Static	Q5u	0.9	
SLU_STR_064			Linear Static	Q5d	0.9	
SLU_STR_064			Linear Static	Q6,1	1	
SLU_STR_064			Linear Static	Q6,2	0	
SLU_STR_064			Linear Static	Q7	1.2	
SLU_STR_064			Linear Static	Q8,1	-1	
SLU_STR_064			Linear Static	Q8,2	0	
SLU_STR_064			Linear Static	Ex	0	
SLU_STR_064			Linear Static	Ey	0	
SLU_STR_064			Linear Static	Ez	0	
SLU_STR_065	Linear Add	No	Linear Static	G1	1.35	None
SLU_STR_065			Linear Static	G2,1	1.5	
SLU_STR_065			Linear Static	G2,2	1.5	
SLU_STR_065			Linear Static	G2,3	1.5	

SLU_STR_065			Linear Static	G2,4	1.5	
SLU_STR_065			Linear Static	G2,5	1.5	
SLU_STR_065			Linear Static	Q1,1	0	
SLU_STR_065			Linear Static	Q1,2	0	
SLU_STR_065			Linear Static	Q1,3	0	
SLU_STR_065			Linear Static	Q1,4	0	
SLU_STR_065			Linear Static	Q2,1	0	
SLU_STR_065			Linear Static	Q2,2	0	
SLU_STR_065			Linear Static	Q3,1	0	
SLU_STR_065			Linear Static	Q3,2	0	
SLU_STR_065			Linear Static	Q3,3	1.59	
SLU_STR_065			Linear Static	Q3,4	1.59	
SLU_STR_065			Linear Static	Q4,1	1.59	
SLU_STR_065			Linear Static	Q4,2	1.59	
SLU_STR_065			Linear Static	Q4,3	0	
SLU_STR_065			Linear Static	Q4,4	1.59	
SLU_STR_065			Linear Static	Q5u	0.9	
SLU_STR_065			Linear Static	Q5d	0.9	
SLU_STR_065			Linear Static	Q6,1	1	
SLU_STR_065			Linear Static	Q6,2	0	
SLU_STR_065			Linear Static	Q7	1.2	
SLU_STR_065			Linear Static	Q8,1	-1	
SLU_STR_065			Linear Static	Q8,2	0	
SLU_STR_065			Linear Static	Ex	0	
SLU_STR_065			Linear Static	Ey	0	
SLU_STR_065			Linear Static	Ez	0	
SLU_STR_066	Linear Add	No	Linear Static	G1	1.35	None
SLU_STR_066			Linear Static	G2,1	1.5	
SLU_STR_066			Linear Static	G2,2	1.5	
SLU_STR_066			Linear Static	G2,3	1.5	
SLU_STR_066			Linear Static	G2,4	1.5	
SLU_STR_066			Linear Static	G2,5	1.5	
SLU_STR_066			Linear Static	Q1,1	0	
SLU_STR_066			Linear Static	Q1,2	0	
SLU_STR_066			Linear Static	Q1,3	0	
SLU_STR_066			Linear Static	Q1,4	0	
SLU_STR_066			Linear Static	Q2,1	0	
SLU_STR_066			Linear Static	Q2,2	0	
SLU_STR_066			Linear Static	Q3,1	0	
SLU_STR_066			Linear Static	Q3,2	1.59	
SLU_STR_066			Linear Static	Q3,3	1.59	
SLU_STR_066			Linear Static	Q3,4	0	
SLU_STR_066			Linear Static	Q4,1	1.59	
SLU_STR_066			Linear Static	Q4,2	1.59	
SLU_STR_066			Linear Static	Q4,3	0.79	
SLU_STR_066			Linear Static	Q4,4	0.79	
SLU_STR_066			Linear Static	Q5u	0.9	

SLU_STR_066			Linear Static	Q5d	0.9	
SLU_STR_066			Linear Static	Q6,1	1	
SLU_STR_066			Linear Static	Q6,2	0	
SLU_STR_066			Linear Static	Q7	1.2	
SLU_STR_066			Linear Static	Q8,1	-1	
SLU_STR_066			Linear Static	Q8,2	0	
SLU_STR_066			Linear Static	Ex	0	
SLU_STR_066			Linear Static	Ey	0	
SLU_STR_066			Linear Static	Ez	0	
SLU_STR_067	Linear Add	No	Linear Static	G1	1.35	None
SLU_STR_067			Linear Static	G2,1	1.5	
SLU_STR_067			Linear Static	G2,2	1.5	
SLU_STR_067			Linear Static	G2,3	1.5	
SLU_STR_067			Linear Static	G2,4	1.5	
SLU_STR_067			Linear Static	G2,5	1.5	
SLU_STR_067			Linear Static	Q1,1	0	
SLU_STR_067			Linear Static	Q1,2	0	
SLU_STR_067			Linear Static	Q1,3	0	
SLU_STR_067			Linear Static	Q1,4	0	
SLU_STR_067			Linear Static	Q2,1	0	
SLU_STR_067			Linear Static	Q2,2	0	
SLU_STR_067			Linear Static	Q3,1	1.59	
SLU_STR_067			Linear Static	Q3,2	1.59	
SLU_STR_067			Linear Static	Q3,3	0	
SLU_STR_067			Linear Static	Q3,4	0	
SLU_STR_067			Linear Static	Q4,1	-1.59	
SLU_STR_067			Linear Static	Q4,2	-1.59	
SLU_STR_067			Linear Static	Q4,3	-1.59	
SLU_STR_067			Linear Static	Q4,4	0	
SLU_STR_067			Linear Static	Q5u	0.9	
SLU_STR_067			Linear Static	Q5d	0.9	
SLU_STR_067			Linear Static	Q6,1	1	
SLU_STR_067			Linear Static	Q6,2	0	
SLU_STR_067			Linear Static	Q7	1.2	
SLU_STR_067			Linear Static	Q8,1	-1	
SLU_STR_067			Linear Static	Q8,2	0	
SLU_STR_067			Linear Static	Ex	0	
SLU_STR_067			Linear Static	Ey	0	
SLU_STR_067			Linear Static	Ez	0	
SLU_STR_068	Linear Add	No	Linear Static	G1	1.35	None
SLU_STR_068			Linear Static	G2,1	1.5	
SLU_STR_068			Linear Static	G2,2	1.5	
SLU_STR_068			Linear Static	G2,3	1.5	
SLU_STR_068			Linear Static	G2,4	1.5	
SLU_STR_068			Linear Static	G2,5	1.5	
SLU_STR_068			Linear Static	Q1,1	0	
SLU_STR_068			Linear Static	Q1,2	0	

SLU_STR_068			Linear Static	Q1,3	0	
SLU_STR_068			Linear Static	Q1,4	0	
SLU_STR_068			Linear Static	Q2,1	0	
SLU_STR_068			Linear Static	Q2,2	0	
SLU_STR_068			Linear Static	Q3,1	1.59	
SLU_STR_068			Linear Static	Q3,2	0	
SLU_STR_068			Linear Static	Q3,3	0	
SLU_STR_068			Linear Static	Q3,4	1.59	
SLU_STR_068			Linear Static	Q4,1	-1.59	
SLU_STR_068			Linear Static	Q4,2	-1.59	
SLU_STR_068			Linear Static	Q4,3	-0.79	
SLU_STR_068			Linear Static	Q4,4	-0.79	
SLU_STR_068			Linear Static	Q5u	0.9	
SLU_STR_068			Linear Static	Q5d	0.9	
SLU_STR_068			Linear Static	Q6,1	1	
SLU_STR_068			Linear Static	Q6,2	0	
SLU_STR_068			Linear Static	Q7	1.2	
SLU_STR_068			Linear Static	Q8,1	-1	
SLU_STR_068			Linear Static	Q8,2	0	
SLU_STR_068			Linear Static	Ex	0	
SLU_STR_068			Linear Static	Ey	0	
SLU_STR_068			Linear Static	Ez	0	
SLU_STR_069	Linear Add	No	Linear Static	G1	1.35	None
SLU_STR_069			Linear Static	G2,1	1.5	
SLU_STR_069			Linear Static	G2,2	1.5	
SLU_STR_069			Linear Static	G2,3	1.5	
SLU_STR_069			Linear Static	G2,4	1.5	
SLU_STR_069			Linear Static	G2,5	1.5	
SLU_STR_069			Linear Static	Q1,1	0	
SLU_STR_069			Linear Static	Q1,2	0	
SLU_STR_069			Linear Static	Q1,3	0	
SLU_STR_069			Linear Static	Q1,4	0	
SLU_STR_069			Linear Static	Q2,1	0	
SLU_STR_069			Linear Static	Q2,2	0	
SLU_STR_069			Linear Static	Q3,1	0	
SLU_STR_069			Linear Static	Q3,2	0	
SLU_STR_069			Linear Static	Q3,3	1.59	
SLU_STR_069			Linear Static	Q3,4	1.59	
SLU_STR_069			Linear Static	Q4,1	-1.59	
SLU_STR_069			Linear Static	Q4,2	-1.59	
SLU_STR_069			Linear Static	Q4,3	0	
SLU_STR_069			Linear Static	Q4,4	-1.59	
SLU_STR_069			Linear Static	Q5u	0.9	
SLU_STR_069			Linear Static	Q5d	0.9	
SLU_STR_069			Linear Static	Q6,1	1	
SLU_STR_069			Linear Static	Q6,2	0	
SLU_STR_069			Linear Static	Q7	1.2	

SLU_STR_069			Linear Static	Q8,1	-1	
SLU_STR_069			Linear Static	Q8,2	0	
SLU_STR_069			Linear Static	Ex	0	
SLU_STR_069			Linear Static	Ey	0	
SLU_STR_069			Linear Static	Ez	0	
SLU_STR_070	Linear Add	No	Linear Static	G1	1.35	None
SLU_STR_070			Linear Static	G2,1	1.5	
SLU_STR_070			Linear Static	G2,2	1.5	
SLU_STR_070			Linear Static	G2,3	1.5	
SLU_STR_070			Linear Static	G2,4	1.5	
SLU_STR_070			Linear Static	G2,5	1.5	
SLU_STR_070			Linear Static	Q1,1	0	
SLU_STR_070			Linear Static	Q1,2	0	
SLU_STR_070			Linear Static	Q1,3	0	
SLU_STR_070			Linear Static	Q1,4	0	
SLU_STR_070			Linear Static	Q2,1	0	
SLU_STR_070			Linear Static	Q2,2	0	
SLU_STR_070			Linear Static	Q3,1	0	
SLU_STR_070			Linear Static	Q3,2	1.59	
SLU_STR_070			Linear Static	Q3,3	1.59	
SLU_STR_070			Linear Static	Q3,4	0	
SLU_STR_070			Linear Static	Q4,1	-1.59	
SLU_STR_070			Linear Static	Q4,2	-1.59	
SLU_STR_070			Linear Static	Q4,3	-0.79	
SLU_STR_070			Linear Static	Q4,4	-0.79	
SLU_STR_070			Linear Static	Q5u	0.9	
SLU_STR_070			Linear Static	Q5d	0.9	
SLU_STR_070			Linear Static	Q6,1	1	
SLU_STR_070			Linear Static	Q6,2	0	
SLU_STR_070			Linear Static	Q7	1.2	
SLU_STR_070			Linear Static	Q8,1	-1	
SLU_STR_070			Linear Static	Q8,2	0	
SLU_STR_070			Linear Static	Ex	0	
SLU_STR_070			Linear Static	Ey	0	
SLU_STR_070			Linear Static	Ez	0	
SLU_STR_071	Linear Add	No	Linear Static	G1	1.35	None
SLU_STR_071			Linear Static	G2,1	1.5	
SLU_STR_071			Linear Static	G2,2	1.5	
SLU_STR_071			Linear Static	G2,3	1.5	
SLU_STR_071			Linear Static	G2,4	1.5	
SLU_STR_071			Linear Static	G2,5	1.5	
SLU_STR_071			Linear Static	Q1,1	1.59	
SLU_STR_071			Linear Static	Q1,2	1.59	
SLU_STR_071			Linear Static	Q1,3	0	
SLU_STR_071			Linear Static	Q1,4	0	
SLU_STR_071			Linear Static	Q2,1	0	
SLU_STR_071			Linear Static	Q2,2	0	

SLU_STR_071			Linear Static	Q3,1	0	
SLU_STR_071			Linear Static	Q3,2	0	
SLU_STR_071			Linear Static	Q3,3	0	
SLU_STR_071			Linear Static	Q3,4	0	
SLU_STR_071			Linear Static	Q4,1	1.59	
SLU_STR_071			Linear Static	Q4,2	1.59	
SLU_STR_071			Linear Static	Q4,3	1.59	
SLU_STR_071			Linear Static	Q4,4	0	
SLU_STR_071			Linear Static	Q5u	-0.9	
SLU_STR_071			Linear Static	Q5d	-0.9	
SLU_STR_071			Linear Static	Q6,1	1	
SLU_STR_071			Linear Static	Q6,2	0	
SLU_STR_071			Linear Static	Q7	1.2	
SLU_STR_071			Linear Static	Q8,1	1	
SLU_STR_071			Linear Static	Q8,2	0	
SLU_STR_071			Linear Static	Ex	0	
SLU_STR_071			Linear Static	Ey	0	
SLU_STR_071			Linear Static	Ez	0	
SLU_STR_072	Linear Add	No	Linear Static	G1	1.35	None
SLU_STR_072			Linear Static	G2,1	1.5	
SLU_STR_072			Linear Static	G2,2	1.5	
SLU_STR_072			Linear Static	G2,3	1.5	
SLU_STR_072			Linear Static	G2,4	1.5	
SLU_STR_072			Linear Static	G2,5	1.5	
SLU_STR_072			Linear Static	Q1,1	1.59	
SLU_STR_072			Linear Static	Q1,2	0	
SLU_STR_072			Linear Static	Q1,3	0	
SLU_STR_072			Linear Static	Q1,4	1.59	
SLU_STR_072			Linear Static	Q2,1	0	
SLU_STR_072			Linear Static	Q2,2	0	
SLU_STR_072			Linear Static	Q3,1	0	
SLU_STR_072			Linear Static	Q3,2	0	
SLU_STR_072			Linear Static	Q3,3	0	
SLU_STR_072			Linear Static	Q3,4	0	
SLU_STR_072			Linear Static	Q4,1	1.59	
SLU_STR_072			Linear Static	Q4,2	1.59	
SLU_STR_072			Linear Static	Q4,3	0.79	
SLU_STR_072			Linear Static	Q4,4	0.79	
SLU_STR_072			Linear Static	Q5u	-0.9	
SLU_STR_072			Linear Static	Q5d	-0.9	
SLU_STR_072			Linear Static	Q6,1	1	
SLU_STR_072			Linear Static	Q6,2	0	
SLU_STR_072			Linear Static	Q7	1.2	
SLU_STR_072			Linear Static	Q8,1	1	
SLU_STR_072			Linear Static	Q8,2	0	
SLU_STR_072			Linear Static	Ex	0	
SLU_STR_072			Linear Static	Ey	0	

SLU_STR_072			Linear Static	Ez	0	
SLU_STR_073	Linear Add	No	Linear Static	G1	1.35	None
SLU_STR_073			Linear Static	G2,1	1.5	
SLU_STR_073			Linear Static	G2,2	1.5	
SLU_STR_073			Linear Static	G2,3	1.5	
SLU_STR_073			Linear Static	G2,4	1.5	
SLU_STR_073			Linear Static	G2,5	1.5	
SLU_STR_073			Linear Static	Q1,1	0	
SLU_STR_073			Linear Static	Q1,2	0	
SLU_STR_073			Linear Static	Q1,3	1.59	
SLU_STR_073			Linear Static	Q1,4	1.59	
SLU_STR_073			Linear Static	Q2,1	0	
SLU_STR_073			Linear Static	Q2,2	0	
SLU_STR_073			Linear Static	Q3,1	0	
SLU_STR_073			Linear Static	Q3,2	0	
SLU_STR_073			Linear Static	Q3,3	0	
SLU_STR_073			Linear Static	Q3,4	0	
SLU_STR_073			Linear Static	Q4,1	1.59	
SLU_STR_073			Linear Static	Q4,2	1.59	
SLU_STR_073			Linear Static	Q4,3	0	
SLU_STR_073			Linear Static	Q4,4	1.59	
SLU_STR_073			Linear Static	Q5u	-0.9	
SLU_STR_073			Linear Static	Q5d	-0.9	
SLU_STR_073			Linear Static	Q6,1	1	
SLU_STR_073			Linear Static	Q6,2	0	
SLU_STR_073			Linear Static	Q7	1.2	
SLU_STR_073			Linear Static	Q8,1	1	
SLU_STR_073			Linear Static	Q8,2	0	
SLU_STR_073			Linear Static	Ex	0	
SLU_STR_073			Linear Static	Ey	0	
SLU_STR_073			Linear Static	Ez	0	
SLU_STR_074	Linear Add	No	Linear Static	G1	1.35	None
SLU_STR_074			Linear Static	G2,1	1.5	
SLU_STR_074			Linear Static	G2,2	1.5	
SLU_STR_074			Linear Static	G2,3	1.5	
SLU_STR_074			Linear Static	G2,4	1.5	
SLU_STR_074			Linear Static	G2,5	1.5	
SLU_STR_074			Linear Static	Q1,1	0	
SLU_STR_074			Linear Static	Q1,2	1.59	
SLU_STR_074			Linear Static	Q1,3	1.59	
SLU_STR_074			Linear Static	Q1,4	0	
SLU_STR_074			Linear Static	Q2,1	0	
SLU_STR_074			Linear Static	Q2,2	0	
SLU_STR_074			Linear Static	Q3,1	0	
SLU_STR_074			Linear Static	Q3,2	0	
SLU_STR_074			Linear Static	Q3,3	0	
SLU_STR_074			Linear Static	Q3,4	0	

SLU_STR_074			Linear Static	Q4,1	1.59	
SLU_STR_074			Linear Static	Q4,2	1.59	
SLU_STR_074			Linear Static	Q4,3	0.79	
SLU_STR_074			Linear Static	Q4,4	0.79	
SLU_STR_074			Linear Static	Q5u	-0.9	
SLU_STR_074			Linear Static	Q5d	-0.9	
SLU_STR_074			Linear Static	Q6,1	1	
SLU_STR_074			Linear Static	Q6,2	0	
SLU_STR_074			Linear Static	Q7	1.2	
SLU_STR_074			Linear Static	Q8,1	1	
SLU_STR_074			Linear Static	Q8,2	0	
SLU_STR_074			Linear Static	Ex	0	
SLU_STR_074			Linear Static	Ey	0	
SLU_STR_074			Linear Static	Ez	0	
SLU_STR_075	Linear Add	No	Linear Static	G1	1.35	None
SLU_STR_075			Linear Static	G2,1	1.5	
SLU_STR_075			Linear Static	G2,2	1.5	
SLU_STR_075			Linear Static	G2,3	1.5	
SLU_STR_075			Linear Static	G2,4	1.5	
SLU_STR_075			Linear Static	G2,5	1.5	
SLU_STR_075			Linear Static	Q1,1	1.59	
SLU_STR_075			Linear Static	Q1,2	1.59	
SLU_STR_075			Linear Static	Q1,3	0	
SLU_STR_075			Linear Static	Q1,4	0	
SLU_STR_075			Linear Static	Q2,1	0	
SLU_STR_075			Linear Static	Q2,2	0	
SLU_STR_075			Linear Static	Q3,1	0	
SLU_STR_075			Linear Static	Q3,2	0	
SLU_STR_075			Linear Static	Q3,3	0	
SLU_STR_075			Linear Static	Q3,4	0	
SLU_STR_075			Linear Static	Q4,1	-1.59	
SLU_STR_075			Linear Static	Q4,2	-1.59	
SLU_STR_075			Linear Static	Q4,3	-1.59	
SLU_STR_075			Linear Static	Q4,4	0	
SLU_STR_075			Linear Static	Q5u	-0.9	
SLU_STR_075			Linear Static	Q5d	-0.9	
SLU_STR_075			Linear Static	Q6,1	1	
SLU_STR_075			Linear Static	Q6,2	0	
SLU_STR_075			Linear Static	Q7	1.2	
SLU_STR_075			Linear Static	Q8,1	1	
SLU_STR_075			Linear Static	Q8,2	0	
SLU_STR_075			Linear Static	Ex	0	
SLU_STR_075			Linear Static	Ey	0	
SLU_STR_075			Linear Static	Ez	0	
SLU_STR_076	Linear Add	No	Linear Static	G1	1.35	None
SLU_STR_076			Linear Static	G2,1	1.5	
SLU_STR_076			Linear Static	G2,2	1.5	

SLU_STR_076			Linear Static	G2,3	1.5	
SLU_STR_076			Linear Static	G2,4	1.5	
SLU_STR_076			Linear Static	G2,5	1.5	
SLU_STR_076			Linear Static	Q1,1	1.59	
SLU_STR_076			Linear Static	Q1,2	0	
SLU_STR_076			Linear Static	Q1,3	0	
SLU_STR_076			Linear Static	Q1,4	1.59	
SLU_STR_076			Linear Static	Q2,1	0	
SLU_STR_076			Linear Static	Q2,2	0	
SLU_STR_076			Linear Static	Q3,1	0	
SLU_STR_076			Linear Static	Q3,2	0	
SLU_STR_076			Linear Static	Q3,3	0	
SLU_STR_076			Linear Static	Q3,4	0	
SLU_STR_076			Linear Static	Q4,1	-1.59	
SLU_STR_076			Linear Static	Q4,2	-1.59	
SLU_STR_076			Linear Static	Q4,3	-0.79	
SLU_STR_076			Linear Static	Q4,4	-0.79	
SLU_STR_076			Linear Static	Q5u	-0.9	
SLU_STR_076			Linear Static	Q5d	-0.9	
SLU_STR_076			Linear Static	Q6,1	1	
SLU_STR_076			Linear Static	Q6,2	0	
SLU_STR_076			Linear Static	Q7	1.2	
SLU_STR_076			Linear Static	Q8,1	1	
SLU_STR_076			Linear Static	Q8,2	0	
SLU_STR_076			Linear Static	Ex	0	
SLU_STR_076			Linear Static	Ey	0	
SLU_STR_076			Linear Static	Ez	0	
SLU_STR_077	Linear Add	No	Linear Static	G1	1.35	None
SLU_STR_077			Linear Static	G2,1	1.5	
SLU_STR_077			Linear Static	G2,2	1.5	
SLU_STR_077			Linear Static	G2,3	1.5	
SLU_STR_077			Linear Static	G2,4	1.5	
SLU_STR_077			Linear Static	G2,5	1.5	
SLU_STR_077			Linear Static	Q1,1	0	
SLU_STR_077			Linear Static	Q1,2	0	
SLU_STR_077			Linear Static	Q1,3	1.59	
SLU_STR_077			Linear Static	Q1,4	1.59	
SLU_STR_077			Linear Static	Q2,1	0	
SLU_STR_077			Linear Static	Q2,2	0	
SLU_STR_077			Linear Static	Q3,1	0	
SLU_STR_077			Linear Static	Q3,2	0	
SLU_STR_077			Linear Static	Q3,3	0	
SLU_STR_077			Linear Static	Q3,4	0	
SLU_STR_077			Linear Static	Q4,1	-1.59	
SLU_STR_077			Linear Static	Q4,2	-1.59	
SLU_STR_077			Linear Static	Q4,3	0	
SLU_STR_077			Linear Static	Q4,4	-1.59	

SLU_STR_077			Linear Static	Q5u	-0.9	
SLU_STR_077			Linear Static	Q5d	-0.9	
SLU_STR_077			Linear Static	Q6,1	1	
SLU_STR_077			Linear Static	Q6,2	0	
SLU_STR_077			Linear Static	Q7	1.2	
SLU_STR_077			Linear Static	Q8,1	1	
SLU_STR_077			Linear Static	Q8,2	0	
SLU_STR_077			Linear Static	Ex	0	
SLU_STR_077			Linear Static	Ey	0	
SLU_STR_077			Linear Static	Ez	0	
SLU_STR_078	Linear Add	No	Linear Static	G1	1.35	None
SLU_STR_078			Linear Static	G2,1	1.5	
SLU_STR_078			Linear Static	G2,2	1.5	
SLU_STR_078			Linear Static	G2,3	1.5	
SLU_STR_078			Linear Static	G2,4	1.5	
SLU_STR_078			Linear Static	G2,5	1.5	
SLU_STR_078			Linear Static	Q1,1	0	
SLU_STR_078			Linear Static	Q1,2	1.59	
SLU_STR_078			Linear Static	Q1,3	1.59	
SLU_STR_078			Linear Static	Q1,4	0	
SLU_STR_078			Linear Static	Q2,1	0	
SLU_STR_078			Linear Static	Q2,2	0	
SLU_STR_078			Linear Static	Q3,1	0	
SLU_STR_078			Linear Static	Q3,2	0	
SLU_STR_078			Linear Static	Q3,3	0	
SLU_STR_078			Linear Static	Q3,4	0	
SLU_STR_078			Linear Static	Q4,1	-1.59	
SLU_STR_078			Linear Static	Q4,2	-1.59	
SLU_STR_078			Linear Static	Q4,3	-0.79	
SLU_STR_078			Linear Static	Q4,4	-0.79	
SLU_STR_078			Linear Static	Q5u	-0.9	
SLU_STR_078			Linear Static	Q5d	-0.9	
SLU_STR_078			Linear Static	Q6,1	1	
SLU_STR_078			Linear Static	Q6,2	0	
SLU_STR_078			Linear Static	Q7	1.2	
SLU_STR_078			Linear Static	Q8,1	1	
SLU_STR_078			Linear Static	Q8,2	0	
SLU_STR_078			Linear Static	Ex	0	
SLU_STR_078			Linear Static	Ey	0	
SLU_STR_078			Linear Static	Ez	0	
SLU_STR_079	Linear Add	No	Linear Static	G1	1.35	None
SLU_STR_079			Linear Static	G2,1	1.5	
SLU_STR_079			Linear Static	G2,2	1.5	
SLU_STR_079			Linear Static	G2,3	1.5	
SLU_STR_079			Linear Static	G2,4	1.5	
SLU_STR_079			Linear Static	G2,5	1.5	
SLU_STR_079			Linear Static	Q1,1	1.59	

SLU_STR_079			Linear Static	Q1,2	1.59	
SLU_STR_079			Linear Static	Q1,3	0	
SLU_STR_079			Linear Static	Q1,4	0	
SLU_STR_079			Linear Static	Q2,1	0	
SLU_STR_079			Linear Static	Q2,2	0	
SLU_STR_079			Linear Static	Q3,1	0	
SLU_STR_079			Linear Static	Q3,2	0	
SLU_STR_079			Linear Static	Q3,3	0	
SLU_STR_079			Linear Static	Q3,4	0	
SLU_STR_079			Linear Static	Q4,1	1.59	
SLU_STR_079			Linear Static	Q4,2	1.59	
SLU_STR_079			Linear Static	Q4,3	1.59	
SLU_STR_079			Linear Static	Q4,4	0	
SLU_STR_079			Linear Static	Q5u	-0.9	
SLU_STR_079			Linear Static	Q5d	-0.9	
SLU_STR_079			Linear Static	Q6,1	1	
SLU_STR_079			Linear Static	Q6,2	0	
SLU_STR_079			Linear Static	Q7	1.2	
SLU_STR_079			Linear Static	Q8,1	-1	
SLU_STR_079			Linear Static	Q8,2	0	
SLU_STR_079			Linear Static	Ex	0	
SLU_STR_079			Linear Static	Ey	0	
SLU_STR_079			Linear Static	Ez	0	
SLU_STR_080	Linear Add	No	Linear Static	G1	1.35	None
SLU_STR_080			Linear Static	G2,1	1.5	
SLU_STR_080			Linear Static	G2,2	1.5	
SLU_STR_080			Linear Static	G2,3	1.5	
SLU_STR_080			Linear Static	G2,4	1.5	
SLU_STR_080			Linear Static	G2,5	1.5	
SLU_STR_080			Linear Static	Q1,1	1.59	
SLU_STR_080			Linear Static	Q1,2	0	
SLU_STR_080			Linear Static	Q1,3	0	
SLU_STR_080			Linear Static	Q1,4	1.59	
SLU_STR_080			Linear Static	Q2,1	0	
SLU_STR_080			Linear Static	Q2,2	0	
SLU_STR_080			Linear Static	Q3,1	0	
SLU_STR_080			Linear Static	Q3,2	0	
SLU_STR_080			Linear Static	Q3,3	0	
SLU_STR_080			Linear Static	Q3,4	0	
SLU_STR_080			Linear Static	Q4,1	1.59	
SLU_STR_080			Linear Static	Q4,2	1.59	
SLU_STR_080			Linear Static	Q4,3	0.79	
SLU_STR_080			Linear Static	Q4,4	0.79	
SLU_STR_080			Linear Static	Q5u	-0.9	
SLU_STR_080			Linear Static	Q5d	-0.9	
SLU_STR_080			Linear Static	Q6,1	1	
SLU_STR_080			Linear Static	Q6,2	0	

SLU_STR_080			Linear Static	Q7	1.2	
SLU_STR_080			Linear Static	Q8,1	-1	
SLU_STR_080			Linear Static	Q8,2	0	
SLU_STR_080			Linear Static	Ex	0	
SLU_STR_080			Linear Static	Ey	0	
SLU_STR_080			Linear Static	Ez	0	
SLU_STR_081	Linear Add	No	Linear Static	G1	1.35	None
SLU_STR_081			Linear Static	G2,1	1.5	
SLU_STR_081			Linear Static	G2,2	1.5	
SLU_STR_081			Linear Static	G2,3	1.5	
SLU_STR_081			Linear Static	G2,4	1.5	
SLU_STR_081			Linear Static	G2,5	1.5	
SLU_STR_081			Linear Static	Q1,1	0	
SLU_STR_081			Linear Static	Q1,2	0	
SLU_STR_081			Linear Static	Q1,3	1.59	
SLU_STR_081			Linear Static	Q1,4	1.59	
SLU_STR_081			Linear Static	Q2,1	0	
SLU_STR_081			Linear Static	Q2,2	0	
SLU_STR_081			Linear Static	Q3,1	0	
SLU_STR_081			Linear Static	Q3,2	0	
SLU_STR_081			Linear Static	Q3,3	0	
SLU_STR_081			Linear Static	Q3,4	0	
SLU_STR_081			Linear Static	Q4,1	1.59	
SLU_STR_081			Linear Static	Q4,2	1.59	
SLU_STR_081			Linear Static	Q4,3	0	
SLU_STR_081			Linear Static	Q4,4	1.59	
SLU_STR_081			Linear Static	Q5u	-0.9	
SLU_STR_081			Linear Static	Q5d	-0.9	
SLU_STR_081			Linear Static	Q6,1	1	
SLU_STR_081			Linear Static	Q6,2	0	
SLU_STR_081			Linear Static	Q7	1.2	
SLU_STR_081			Linear Static	Q8,1	-1	
SLU_STR_081			Linear Static	Q8,2	0	
SLU_STR_081			Linear Static	Ex	0	
SLU_STR_081			Linear Static	Ey	0	
SLU_STR_081			Linear Static	Ez	0	
SLU_STR_082	Linear Add	No	Linear Static	G1	1.35	None
SLU_STR_082			Linear Static	G2,1	1.5	
SLU_STR_082			Linear Static	G2,2	1.5	
SLU_STR_082			Linear Static	G2,3	1.5	
SLU_STR_082			Linear Static	G2,4	1.5	
SLU_STR_082			Linear Static	G2,5	1.5	
SLU_STR_082			Linear Static	Q1,1	0	
SLU_STR_082			Linear Static	Q1,2	1.59	
SLU_STR_082			Linear Static	Q1,3	1.59	
SLU_STR_082			Linear Static	Q1,4	0	
SLU_STR_082			Linear Static	Q2,1	0	

SLU_STR_082			Linear Static	Q2,2	0	
SLU_STR_082			Linear Static	Q3,1	0	
SLU_STR_082			Linear Static	Q3,2	0	
SLU_STR_082			Linear Static	Q3,3	0	
SLU_STR_082			Linear Static	Q3,4	0	
SLU_STR_082			Linear Static	Q4,1	1.59	
SLU_STR_082			Linear Static	Q4,2	1.59	
SLU_STR_082			Linear Static	Q4,3	0.79	
SLU_STR_082			Linear Static	Q4,4	0.79	
SLU_STR_082			Linear Static	Q5u	-0.9	
SLU_STR_082			Linear Static	Q5d	-0.9	
SLU_STR_082			Linear Static	Q6,1	1	
SLU_STR_082			Linear Static	Q6,2	0	
SLU_STR_082			Linear Static	Q7	1.2	
SLU_STR_082			Linear Static	Q8,1	-1	
SLU_STR_082			Linear Static	Q8,2	0	
SLU_STR_082			Linear Static	Ex	0	
SLU_STR_082			Linear Static	Ey	0	
SLU_STR_082			Linear Static	Ez	0	
SLU_STR_083	Linear Add	No	Linear Static	G1	1.35	None
SLU_STR_083			Linear Static	G2,1	1.5	
SLU_STR_083			Linear Static	G2,2	1.5	
SLU_STR_083			Linear Static	G2,3	1.5	
SLU_STR_083			Linear Static	G2,4	1.5	
SLU_STR_083			Linear Static	G2,5	1.5	
SLU_STR_083			Linear Static	Q1,1	1.59	
SLU_STR_083			Linear Static	Q1,2	1.59	
SLU_STR_083			Linear Static	Q1,3	0	
SLU_STR_083			Linear Static	Q1,4	0	
SLU_STR_083			Linear Static	Q2,1	0	
SLU_STR_083			Linear Static	Q2,2	0	
SLU_STR_083			Linear Static	Q3,1	0	
SLU_STR_083			Linear Static	Q3,2	0	
SLU_STR_083			Linear Static	Q3,3	0	
SLU_STR_083			Linear Static	Q3,4	0	
SLU_STR_083			Linear Static	Q4,1	-1.59	
SLU_STR_083			Linear Static	Q4,2	-1.59	
SLU_STR_083			Linear Static	Q4,3	-1.59	
SLU_STR_083			Linear Static	Q4,4	0	
SLU_STR_083			Linear Static	Q5u	-0.9	
SLU_STR_083			Linear Static	Q5d	-0.9	
SLU_STR_083			Linear Static	Q6,1	1	
SLU_STR_083			Linear Static	Q6,2	0	
SLU_STR_083			Linear Static	Q7	1.2	
SLU_STR_083			Linear Static	Q8,1	-1	
SLU_STR_083			Linear Static	Q8,2	0	
SLU_STR_083			Linear Static	Ex	0	

SLU_STR_083			Linear Static	Ey	0	
SLU_STR_083			Linear Static	Ez	0	
SLU_STR_084	Linear Add	No	Linear Static	G1	1.35	None
SLU_STR_084			Linear Static	G2,1	1.5	
SLU_STR_084			Linear Static	G2,2	1.5	
SLU_STR_084			Linear Static	G2,3	1.5	
SLU_STR_084			Linear Static	G2,4	1.5	
SLU_STR_084			Linear Static	G2,5	1.5	
SLU_STR_084			Linear Static	Q1,1	1.59	
SLU_STR_084			Linear Static	Q1,2	0	
SLU_STR_084			Linear Static	Q1,3	0	
SLU_STR_084			Linear Static	Q1,4	1.59	
SLU_STR_084			Linear Static	Q2,1	0	
SLU_STR_084			Linear Static	Q2,2	0	
SLU_STR_084			Linear Static	Q3,1	0	
SLU_STR_084			Linear Static	Q3,2	0	
SLU_STR_084			Linear Static	Q3,3	0	
SLU_STR_084			Linear Static	Q3,4	0	
SLU_STR_084			Linear Static	Q4,1	-1.59	
SLU_STR_084			Linear Static	Q4,2	-1.59	
SLU_STR_084			Linear Static	Q4,3	-0.79	
SLU_STR_084			Linear Static	Q4,4	-0.79	
SLU_STR_084			Linear Static	Q5u	-0.9	
SLU_STR_084			Linear Static	Q5d	-0.9	
SLU_STR_084			Linear Static	Q6,1	1	
SLU_STR_084			Linear Static	Q6,2	0	
SLU_STR_084			Linear Static	Q7	1.2	
SLU_STR_084			Linear Static	Q8,1	-1	
SLU_STR_084			Linear Static	Q8,2	0	
SLU_STR_084			Linear Static	Ex	0	
SLU_STR_084			Linear Static	Ey	0	
SLU_STR_084			Linear Static	Ez	0	
SLU_STR_085	Linear Add	No	Linear Static	G1	1.35	None
SLU_STR_085			Linear Static	G2,1	1.5	
SLU_STR_085			Linear Static	G2,2	1.5	
SLU_STR_085			Linear Static	G2,3	1.5	
SLU_STR_085			Linear Static	G2,4	1.5	
SLU_STR_085			Linear Static	G2,5	1.5	
SLU_STR_085			Linear Static	Q1,1	0	
SLU_STR_085			Linear Static	Q1,2	0	
SLU_STR_085			Linear Static	Q1,3	1.59	
SLU_STR_085			Linear Static	Q1,4	1.59	
SLU_STR_085			Linear Static	Q2,1	0	
SLU_STR_085			Linear Static	Q2,2	0	
SLU_STR_085			Linear Static	Q3,1	0	
SLU_STR_085			Linear Static	Q3,2	0	
SLU_STR_085			Linear Static	Q3,3	0	

SLU_STR_085			Linear Static	Q3,4	0	
SLU_STR_085			Linear Static	Q4,1	-1.59	
SLU_STR_085			Linear Static	Q4,2	-1.59	
SLU_STR_085			Linear Static	Q4,3	0	
SLU_STR_085			Linear Static	Q4,4	-1.59	
SLU_STR_085			Linear Static	Q5u	-0.9	
SLU_STR_085			Linear Static	Q5d	-0.9	
SLU_STR_085			Linear Static	Q6,1	1	
SLU_STR_085			Linear Static	Q6,2	0	
SLU_STR_085			Linear Static	Q7	1.2	
SLU_STR_085			Linear Static	Q8,1	-1	
SLU_STR_085			Linear Static	Q8,2	0	
SLU_STR_085			Linear Static	Ex	0	
SLU_STR_085			Linear Static	Ey	0	
SLU_STR_085			Linear Static	Ez	0	
SLU_STR_086	Linear Add	No	Linear Static	G1	1.35	None
SLU_STR_086			Linear Static	G2,1	1.5	
SLU_STR_086			Linear Static	G2,2	1.5	
SLU_STR_086			Linear Static	G2,3	1.5	
SLU_STR_086			Linear Static	G2,4	1.5	
SLU_STR_086			Linear Static	G2,5	1.5	
SLU_STR_086			Linear Static	Q1,1	0	
SLU_STR_086			Linear Static	Q1,2	1.59	
SLU_STR_086			Linear Static	Q1,3	1.59	
SLU_STR_086			Linear Static	Q1,4	0	
SLU_STR_086			Linear Static	Q2,1	0	
SLU_STR_086			Linear Static	Q2,2	0	
SLU_STR_086			Linear Static	Q3,1	0	
SLU_STR_086			Linear Static	Q3,2	0	
SLU_STR_086			Linear Static	Q3,3	0	
SLU_STR_086			Linear Static	Q3,4	0	
SLU_STR_086			Linear Static	Q4,1	-1.59	
SLU_STR_086			Linear Static	Q4,2	-1.59	
SLU_STR_086			Linear Static	Q4,3	-0.79	
SLU_STR_086			Linear Static	Q4,4	-0.79	
SLU_STR_086			Linear Static	Q5u	-0.9	
SLU_STR_086			Linear Static	Q5d	-0.9	
SLU_STR_086			Linear Static	Q6,1	1	
SLU_STR_086			Linear Static	Q6,2	0	
SLU_STR_086			Linear Static	Q7	1.2	
SLU_STR_086			Linear Static	Q8,1	-1	
SLU_STR_086			Linear Static	Q8,2	0	
SLU_STR_086			Linear Static	Ex	0	
SLU_STR_086			Linear Static	Ey	0	
SLU_STR_086			Linear Static	Ez	0	
SLU_STR_087	Linear Add	No	Linear Static	G1	1.35	None
SLU_STR_087			Linear Static	G2,1	1.5	

SLU_STR_087			Linear Static	G2,2	1.5	
SLU_STR_087			Linear Static	G2,3	1.5	
SLU_STR_087			Linear Static	G2,4	1.5	
SLU_STR_087			Linear Static	G2,5	1.5	
SLU_STR_087			Linear Static	Q1,1	0	
SLU_STR_087			Linear Static	Q1,2	0	
SLU_STR_087			Linear Static	Q1,3	0	
SLU_STR_087			Linear Static	Q1,4	0	
SLU_STR_087			Linear Static	Q2,1	0	
SLU_STR_087			Linear Static	Q2,2	0	
SLU_STR_087			Linear Static	Q3,1	1.59	
SLU_STR_087			Linear Static	Q3,2	1.59	
SLU_STR_087			Linear Static	Q3,3	0	
SLU_STR_087			Linear Static	Q3,4	0	
SLU_STR_087			Linear Static	Q4,1	1.59	
SLU_STR_087			Linear Static	Q4,2	1.59	
SLU_STR_087			Linear Static	Q4,3	1.59	
SLU_STR_087			Linear Static	Q4,4	0	
SLU_STR_087			Linear Static	Q5u	-0.9	
SLU_STR_087			Linear Static	Q5d	-0.9	
SLU_STR_087			Linear Static	Q6,1	1	
SLU_STR_087			Linear Static	Q6,2	0	
SLU_STR_087			Linear Static	Q7	1.2	
SLU_STR_087			Linear Static	Q8,1	1	
SLU_STR_087			Linear Static	Q8,2	0	
SLU_STR_087			Linear Static	Ex	0	
SLU_STR_087			Linear Static	Ey	0	
SLU_STR_087			Linear Static	Ez	0	
SLU_STR_088	Linear Add	No	Linear Static	G1	1.35	None
SLU_STR_088			Linear Static	G2,1	1.5	
SLU_STR_088			Linear Static	G2,2	1.5	
SLU_STR_088			Linear Static	G2,3	1.5	
SLU_STR_088			Linear Static	G2,4	1.5	
SLU_STR_088			Linear Static	G2,5	1.5	
SLU_STR_088			Linear Static	Q1,1	0	
SLU_STR_088			Linear Static	Q1,2	0	
SLU_STR_088			Linear Static	Q1,3	0	
SLU_STR_088			Linear Static	Q1,4	0	
SLU_STR_088			Linear Static	Q2,1	0	
SLU_STR_088			Linear Static	Q2,2	0	
SLU_STR_088			Linear Static	Q3,1	1.59	
SLU_STR_088			Linear Static	Q3,2	0	
SLU_STR_088			Linear Static	Q3,3	0	
SLU_STR_088			Linear Static	Q3,4	1.59	
SLU_STR_088			Linear Static	Q4,1	1.59	
SLU_STR_088			Linear Static	Q4,2	1.59	
SLU_STR_088			Linear Static	Q4,3	0.79	

SLU_STR_088			Linear Static	Q4,4	0.79	
SLU_STR_088			Linear Static	Q5u	-0.9	
SLU_STR_088			Linear Static	Q5d	-0.9	
SLU_STR_088			Linear Static	Q6,1	1	
SLU_STR_088			Linear Static	Q6,2	0	
SLU_STR_088			Linear Static	Q7	1.2	
SLU_STR_088			Linear Static	Q8,1	1	
SLU_STR_088			Linear Static	Q8,2	0	
SLU_STR_088			Linear Static	Ex	0	
SLU_STR_088			Linear Static	Ey	0	
SLU_STR_088			Linear Static	Ez	0	
SLU_STR_089	Linear Add	No	Linear Static	G1	1.35	None
SLU_STR_089			Linear Static	G2,1	1.5	
SLU_STR_089			Linear Static	G2,2	1.5	
SLU_STR_089			Linear Static	G2,3	1.5	
SLU_STR_089			Linear Static	G2,4	1.5	
SLU_STR_089			Linear Static	G2,5	1.5	
SLU_STR_089			Linear Static	Q1,1	0	
SLU_STR_089			Linear Static	Q1,2	0	
SLU_STR_089			Linear Static	Q1,3	0	
SLU_STR_089			Linear Static	Q1,4	0	
SLU_STR_089			Linear Static	Q2,1	0	
SLU_STR_089			Linear Static	Q2,2	0	
SLU_STR_089			Linear Static	Q3,1	0	
SLU_STR_089			Linear Static	Q3,2	0	
SLU_STR_089			Linear Static	Q3,3	1.59	
SLU_STR_089			Linear Static	Q3,4	1.59	
SLU_STR_089			Linear Static	Q4,1	1.59	
SLU_STR_089			Linear Static	Q4,2	1.59	
SLU_STR_089			Linear Static	Q4,3	0	
SLU_STR_089			Linear Static	Q4,4	1.59	
SLU_STR_089			Linear Static	Q5u	-0.9	
SLU_STR_089			Linear Static	Q5d	-0.9	
SLU_STR_089			Linear Static	Q6,1	1	
SLU_STR_089			Linear Static	Q6,2	0	
SLU_STR_089			Linear Static	Q7	1.2	
SLU_STR_089			Linear Static	Q8,1	1	
SLU_STR_089			Linear Static	Q8,2	0	
SLU_STR_089			Linear Static	Ex	0	
SLU_STR_089			Linear Static	Ey	0	
SLU_STR_089			Linear Static	Ez	0	
SLU_STR_090	Linear Add	No	Linear Static	G1	1.35	None
SLU_STR_090			Linear Static	G2,1	1.5	
SLU_STR_090			Linear Static	G2,2	1.5	
SLU_STR_090			Linear Static	G2,3	1.5	
SLU_STR_090			Linear Static	G2,4	1.5	
SLU_STR_090			Linear Static	G2,5	1.5	

SLU_STR_090			Linear Static	Q1,1	0	
SLU_STR_090			Linear Static	Q1,2	0	
SLU_STR_090			Linear Static	Q1,3	0	
SLU_STR_090			Linear Static	Q1,4	0	
SLU_STR_090			Linear Static	Q2,1	0	
SLU_STR_090			Linear Static	Q2,2	0	
SLU_STR_090			Linear Static	Q3,1	0	
SLU_STR_090			Linear Static	Q3,2	1.59	
SLU_STR_090			Linear Static	Q3,3	1.59	
SLU_STR_090			Linear Static	Q3,4	0	
SLU_STR_090			Linear Static	Q4,1	1.59	
SLU_STR_090			Linear Static	Q4,2	1.59	
SLU_STR_090			Linear Static	Q4,3	0.79	
SLU_STR_090			Linear Static	Q4,4	0.79	
SLU_STR_090			Linear Static	Q5u	-0.9	
SLU_STR_090			Linear Static	Q5d	-0.9	
SLU_STR_090			Linear Static	Q6,1	1	
SLU_STR_090			Linear Static	Q6,2	0	
SLU_STR_090			Linear Static	Q7	1.2	
SLU_STR_090			Linear Static	Q8,1	1	
SLU_STR_090			Linear Static	Q8,2	0	
SLU_STR_090			Linear Static	Ex	0	
SLU_STR_090			Linear Static	Ey	0	
SLU_STR_090			Linear Static	Ez	0	
SLU_STR_091	Linear Add	No	Linear Static	G1	1.35	None
SLU_STR_091			Linear Static	G2,1	1.5	
SLU_STR_091			Linear Static	G2,2	1.5	
SLU_STR_091			Linear Static	G2,3	1.5	
SLU_STR_091			Linear Static	G2,4	1.5	
SLU_STR_091			Linear Static	G2,5	1.5	
SLU_STR_091			Linear Static	Q1,1	0	
SLU_STR_091			Linear Static	Q1,2	0	
SLU_STR_091			Linear Static	Q1,3	0	
SLU_STR_091			Linear Static	Q1,4	0	
SLU_STR_091			Linear Static	Q2,1	0	
SLU_STR_091			Linear Static	Q2,2	0	
SLU_STR_091			Linear Static	Q3,1	1.59	
SLU_STR_091			Linear Static	Q3,2	1.59	
SLU_STR_091			Linear Static	Q3,3	0	
SLU_STR_091			Linear Static	Q3,4	0	
SLU_STR_091			Linear Static	Q4,1	-1.59	
SLU_STR_091			Linear Static	Q4,2	-1.59	
SLU_STR_091			Linear Static	Q4,3	-1.59	
SLU_STR_091			Linear Static	Q4,4	0	
SLU_STR_091			Linear Static	Q5u	-0.9	
SLU_STR_091			Linear Static	Q5d	-0.9	
SLU_STR_091			Linear Static	Q6,1	1	

SLU_STR_091			Linear Static	Q6,2	0	
SLU_STR_091			Linear Static	Q7	1.2	
SLU_STR_091			Linear Static	Q8,1	1	
SLU_STR_091			Linear Static	Q8,2	0	
SLU_STR_091			Linear Static	Ex	0	
SLU_STR_091			Linear Static	Ey	0	
SLU_STR_091			Linear Static	Ez	0	
SLU_STR_092	Linear Add	No	Linear Static	G1	1.35	None
SLU_STR_092			Linear Static	G2,1	1.5	
SLU_STR_092			Linear Static	G2,2	1.5	
SLU_STR_092			Linear Static	G2,3	1.5	
SLU_STR_092			Linear Static	G2,4	1.5	
SLU_STR_092			Linear Static	G2,5	1.5	
SLU_STR_092			Linear Static	Q1,1	0	
SLU_STR_092			Linear Static	Q1,2	0	
SLU_STR_092			Linear Static	Q1,3	0	
SLU_STR_092			Linear Static	Q1,4	0	
SLU_STR_092			Linear Static	Q2,1	0	
SLU_STR_092			Linear Static	Q2,2	0	
SLU_STR_092			Linear Static	Q3,1	1.59	
SLU_STR_092			Linear Static	Q3,2	0	
SLU_STR_092			Linear Static	Q3,3	0	
SLU_STR_092			Linear Static	Q3,4	1.59	
SLU_STR_092			Linear Static	Q4,1	-1.59	
SLU_STR_092			Linear Static	Q4,2	-1.59	
SLU_STR_092			Linear Static	Q4,3	-0.79	
SLU_STR_092			Linear Static	Q4,4	-0.79	
SLU_STR_092			Linear Static	Q5u	-0.9	
SLU_STR_092			Linear Static	Q5d	-0.9	
SLU_STR_092			Linear Static	Q6,1	1	
SLU_STR_092			Linear Static	Q6,2	0	
SLU_STR_092			Linear Static	Q7	1.2	
SLU_STR_092			Linear Static	Q8,1	1	
SLU_STR_092			Linear Static	Q8,2	0	
SLU_STR_092			Linear Static	Ex	0	
SLU_STR_092			Linear Static	Ey	0	
SLU_STR_092			Linear Static	Ez	0	
SLU_STR_093	Linear Add	No	Linear Static	G1	1.35	None
SLU_STR_093			Linear Static	G2,1	1.5	
SLU_STR_093			Linear Static	G2,2	1.5	
SLU_STR_093			Linear Static	G2,3	1.5	
SLU_STR_093			Linear Static	G2,4	1.5	
SLU_STR_093			Linear Static	G2,5	1.5	
SLU_STR_093			Linear Static	Q1,1	0	
SLU_STR_093			Linear Static	Q1,2	0	
SLU_STR_093			Linear Static	Q1,3	0	
SLU_STR_093			Linear Static	Q1,4	0	

SLU_STR_093			Linear Static	Q2,1	0	
SLU_STR_093			Linear Static	Q2,2	0	
SLU_STR_093			Linear Static	Q3,1	0	
SLU_STR_093			Linear Static	Q3,2	0	
SLU_STR_093			Linear Static	Q3,3	1.59	
SLU_STR_093			Linear Static	Q3,4	1.59	
SLU_STR_093			Linear Static	Q4,1	-1.59	
SLU_STR_093			Linear Static	Q4,2	-1.59	
SLU_STR_093			Linear Static	Q4,3	0	
SLU_STR_093			Linear Static	Q4,4	-1.59	
SLU_STR_093			Linear Static	Q5u	-0.9	
SLU_STR_093			Linear Static	Q5d	-0.9	
SLU_STR_093			Linear Static	Q6,1	1	
SLU_STR_093			Linear Static	Q6,2	0	
SLU_STR_093			Linear Static	Q7	1.2	
SLU_STR_093			Linear Static	Q8,1	1	
SLU_STR_093			Linear Static	Q8,2	0	
SLU_STR_093			Linear Static	Ex	0	
SLU_STR_093			Linear Static	Ey	0	
SLU_STR_093			Linear Static	Ez	0	
SLU_STR_094	Linear Add	No	Linear Static	G1	1.35	None
SLU_STR_094			Linear Static	G2,1	1.5	
SLU_STR_094			Linear Static	G2,2	1.5	
SLU_STR_094			Linear Static	G2,3	1.5	
SLU_STR_094			Linear Static	G2,4	1.5	
SLU_STR_094			Linear Static	G2,5	1.5	
SLU_STR_094			Linear Static	Q1,1	0	
SLU_STR_094			Linear Static	Q1,2	0	
SLU_STR_094			Linear Static	Q1,3	0	
SLU_STR_094			Linear Static	Q1,4	0	
SLU_STR_094			Linear Static	Q2,1	0	
SLU_STR_094			Linear Static	Q2,2	0	
SLU_STR_094			Linear Static	Q3,1	0	
SLU_STR_094			Linear Static	Q3,2	1.59	
SLU_STR_094			Linear Static	Q3,3	1.59	
SLU_STR_094			Linear Static	Q3,4	0	
SLU_STR_094			Linear Static	Q4,1	-1.59	
SLU_STR_094			Linear Static	Q4,2	-1.59	
SLU_STR_094			Linear Static	Q4,3	-0.79	
SLU_STR_094			Linear Static	Q4,4	-0.79	
SLU_STR_094			Linear Static	Q5u	-0.9	
SLU_STR_094			Linear Static	Q5d	-0.9	
SLU_STR_094			Linear Static	Q6,1	1	
SLU_STR_094			Linear Static	Q6,2	0	
SLU_STR_094			Linear Static	Q7	1.2	
SLU_STR_094			Linear Static	Q8,1	1	
SLU_STR_094			Linear Static	Q8,2	0	

SLU_STR_094			Linear Static	Ex	0	
SLU_STR_094			Linear Static	Ey	0	
SLU_STR_094			Linear Static	Ez	0	
SLU_STR_095	Linear Add	No	Linear Static	G1	1.35	None
SLU_STR_095			Linear Static	G2,1	1.5	
SLU_STR_095			Linear Static	G2,2	1.5	
SLU_STR_095			Linear Static	G2,3	1.5	
SLU_STR_095			Linear Static	G2,4	1.5	
SLU_STR_095			Linear Static	G2,5	1.5	
SLU_STR_095			Linear Static	Q1,1	0	
SLU_STR_095			Linear Static	Q1,2	0	
SLU_STR_095			Linear Static	Q1,3	0	
SLU_STR_095			Linear Static	Q1,4	0	
SLU_STR_095			Linear Static	Q2,1	0	
SLU_STR_095			Linear Static	Q2,2	0	
SLU_STR_095			Linear Static	Q3,1	1.59	
SLU_STR_095			Linear Static	Q3,2	1.59	
SLU_STR_095			Linear Static	Q3,3	0	
SLU_STR_095			Linear Static	Q3,4	0	
SLU_STR_095			Linear Static	Q4,1	1.59	
SLU_STR_095			Linear Static	Q4,2	1.59	
SLU_STR_095			Linear Static	Q4,3	1.59	
SLU_STR_095			Linear Static	Q4,4	0	
SLU_STR_095			Linear Static	Q5u	-0.9	
SLU_STR_095			Linear Static	Q5d	-0.9	
SLU_STR_095			Linear Static	Q6,1	1	
SLU_STR_095			Linear Static	Q6,2	0	
SLU_STR_095			Linear Static	Q7	1.2	
SLU_STR_095			Linear Static	Q8,1	-1	
SLU_STR_095			Linear Static	Q8,2	0	
SLU_STR_095			Linear Static	Ex	0	
SLU_STR_095			Linear Static	Ey	0	
SLU_STR_095			Linear Static	Ez	0	
SLU_STR_096	Linear Add	No	Linear Static	G1	1.35	None
SLU_STR_096			Linear Static	G2,1	1.5	
SLU_STR_096			Linear Static	G2,2	1.5	
SLU_STR_096			Linear Static	G2,3	1.5	
SLU_STR_096			Linear Static	G2,4	1.5	
SLU_STR_096			Linear Static	G2,5	1.5	
SLU_STR_096			Linear Static	Q1,1	0	
SLU_STR_096			Linear Static	Q1,2	0	
SLU_STR_096			Linear Static	Q1,3	0	
SLU_STR_096			Linear Static	Q1,4	0	
SLU_STR_096			Linear Static	Q2,1	0	
SLU_STR_096			Linear Static	Q2,2	0	
SLU_STR_096			Linear Static	Q3,1	1.59	
SLU_STR_096			Linear Static	Q3,2	0	

SLU_STR_096			Linear Static	Q3,3	0	
SLU_STR_096			Linear Static	Q3,4	1.59	
SLU_STR_096			Linear Static	Q4,1	1.59	
SLU_STR_096			Linear Static	Q4,2	1.59	
SLU_STR_096			Linear Static	Q4,3	0.79	
SLU_STR_096			Linear Static	Q4,4	0.79	
SLU_STR_096			Linear Static	Q5u	-0.9	
SLU_STR_096			Linear Static	Q5d	-0.9	
SLU_STR_096			Linear Static	Q6,1	1	
SLU_STR_096			Linear Static	Q6,2	0	
SLU_STR_096			Linear Static	Q7	1.2	
SLU_STR_096			Linear Static	Q8,1	-1	
SLU_STR_096			Linear Static	Q8,2	0	
SLU_STR_096			Linear Static	Ex	0	
SLU_STR_096			Linear Static	Ey	0	
SLU_STR_096			Linear Static	Ez	0	
SLU_STR_097	Linear Add	No	Linear Static	G1	1.35	None
SLU_STR_097			Linear Static	G2,1	1.5	
SLU_STR_097			Linear Static	G2,2	1.5	
SLU_STR_097			Linear Static	G2,3	1.5	
SLU_STR_097			Linear Static	G2,4	1.5	
SLU_STR_097			Linear Static	G2,5	1.5	
SLU_STR_097			Linear Static	Q1,1	0	
SLU_STR_097			Linear Static	Q1,2	0	
SLU_STR_097			Linear Static	Q1,3	0	
SLU_STR_097			Linear Static	Q1,4	0	
SLU_STR_097			Linear Static	Q2,1	0	
SLU_STR_097			Linear Static	Q2,2	0	
SLU_STR_097			Linear Static	Q3,1	0	
SLU_STR_097			Linear Static	Q3,2	0	
SLU_STR_097			Linear Static	Q3,3	1.59	
SLU_STR_097			Linear Static	Q3,4	1.59	
SLU_STR_097			Linear Static	Q4,1	1.59	
SLU_STR_097			Linear Static	Q4,2	1.59	
SLU_STR_097			Linear Static	Q4,3	0	
SLU_STR_097			Linear Static	Q4,4	1.59	
SLU_STR_097			Linear Static	Q5u	-0.9	
SLU_STR_097			Linear Static	Q5d	-0.9	
SLU_STR_097			Linear Static	Q6,1	1	
SLU_STR_097			Linear Static	Q6,2	0	
SLU_STR_097			Linear Static	Q7	1.2	
SLU_STR_097			Linear Static	Q8,1	-1	
SLU_STR_097			Linear Static	Q8,2	0	
SLU_STR_097			Linear Static	Ex	0	
SLU_STR_097			Linear Static	Ey	0	
SLU_STR_097			Linear Static	Ez	0	
SLU_STR_098	Linear Add	No	Linear Static	G1	1.35	None

SLU_STR_098			Linear Static	G2,1	1.5	
SLU_STR_098			Linear Static	G2,2	1.5	
SLU_STR_098			Linear Static	G2,3	1.5	
SLU_STR_098			Linear Static	G2,4	1.5	
SLU_STR_098			Linear Static	G2,5	1.5	
SLU_STR_098			Linear Static	Q1,1	0	
SLU_STR_098			Linear Static	Q1,2	0	
SLU_STR_098			Linear Static	Q1,3	0	
SLU_STR_098			Linear Static	Q1,4	0	
SLU_STR_098			Linear Static	Q2,1	0	
SLU_STR_098			Linear Static	Q2,2	0	
SLU_STR_098			Linear Static	Q3,1	0	
SLU_STR_098			Linear Static	Q3,2	1.59	
SLU_STR_098			Linear Static	Q3,3	1.59	
SLU_STR_098			Linear Static	Q3,4	0	
SLU_STR_098			Linear Static	Q4,1	1.59	
SLU_STR_098			Linear Static	Q4,2	1.59	
SLU_STR_098			Linear Static	Q4,3	0.79	
SLU_STR_098			Linear Static	Q4,4	0.79	
SLU_STR_098			Linear Static	Q5u	-0.9	
SLU_STR_098			Linear Static	Q5d	-0.9	
SLU_STR_098			Linear Static	Q6,1	1	
SLU_STR_098			Linear Static	Q6,2	0	
SLU_STR_098			Linear Static	Q7	1.2	
SLU_STR_098			Linear Static	Q8,1	-1	
SLU_STR_098			Linear Static	Q8,2	0	
SLU_STR_098			Linear Static	Ex	0	
SLU_STR_098			Linear Static	Ey	0	
SLU_STR_098			Linear Static	Ez	0	
SLU_STR_099	Linear Add	No	Linear Static	G1	1.35	None
SLU_STR_099			Linear Static	G2,1	1.5	
SLU_STR_099			Linear Static	G2,2	1.5	
SLU_STR_099			Linear Static	G2,3	1.5	
SLU_STR_099			Linear Static	G2,4	1.5	
SLU_STR_099			Linear Static	G2,5	1.5	
SLU_STR_099			Linear Static	Q1,1	0	
SLU_STR_099			Linear Static	Q1,2	0	
SLU_STR_099			Linear Static	Q1,3	0	
SLU_STR_099			Linear Static	Q1,4	0	
SLU_STR_099			Linear Static	Q2,1	0	
SLU_STR_099			Linear Static	Q2,2	0	
SLU_STR_099			Linear Static	Q3,1	1.59	
SLU_STR_099			Linear Static	Q3,2	1.59	
SLU_STR_099			Linear Static	Q3,3	0	
SLU_STR_099			Linear Static	Q3,4	0	
SLU_STR_099			Linear Static	Q4,1	-1.59	
SLU_STR_099			Linear Static	Q4,2	-1.59	

SLU_STR_099			Linear Static	Q4,3	-1.59	
SLU_STR_099			Linear Static	Q4,4	0	
SLU_STR_099			Linear Static	Q5u	-0.9	
SLU_STR_099			Linear Static	Q5d	-0.9	
SLU_STR_099			Linear Static	Q6,1	1	
SLU_STR_099			Linear Static	Q6,2	0	
SLU_STR_099			Linear Static	Q7	1.2	
SLU_STR_099			Linear Static	Q8,1	-1	
SLU_STR_099			Linear Static	Q8,2	0	
SLU_STR_099			Linear Static	Ex	0	
SLU_STR_099			Linear Static	Ey	0	
SLU_STR_099			Linear Static	Ez	0	
SLU_STR_100	Linear Add	No	Linear Static	G1	1.35	None
SLU_STR_100			Linear Static	G2,1	1.5	
SLU_STR_100			Linear Static	G2,2	1.5	
SLU_STR_100			Linear Static	G2,3	1.5	
SLU_STR_100			Linear Static	G2,4	1.5	
SLU_STR_100			Linear Static	G2,5	1.5	
SLU_STR_100			Linear Static	Q1,1	0	
SLU_STR_100			Linear Static	Q1,2	0	
SLU_STR_100			Linear Static	Q1,3	0	
SLU_STR_100			Linear Static	Q1,4	0	
SLU_STR_100			Linear Static	Q2,1	0	
SLU_STR_100			Linear Static	Q2,2	0	
SLU_STR_100			Linear Static	Q3,1	1.59	
SLU_STR_100			Linear Static	Q3,2	0	
SLU_STR_100			Linear Static	Q3,3	0	
SLU_STR_100			Linear Static	Q3,4	1.59	
SLU_STR_100			Linear Static	Q4,1	-1.59	
SLU_STR_100			Linear Static	Q4,2	-1.59	
SLU_STR_100			Linear Static	Q4,3	-0.79	
SLU_STR_100			Linear Static	Q4,4	-0.79	
SLU_STR_100			Linear Static	Q5u	-0.9	
SLU_STR_100			Linear Static	Q5d	-0.9	
SLU_STR_100			Linear Static	Q6,1	1	
SLU_STR_100			Linear Static	Q6,2	0	
SLU_STR_100			Linear Static	Q7	1.2	
SLU_STR_100			Linear Static	Q8,1	-1	
SLU_STR_100			Linear Static	Q8,2	0	
SLU_STR_100			Linear Static	Ex	0	
SLU_STR_100			Linear Static	Ey	0	
SLU_STR_100			Linear Static	Ez	0	
SLU_STR_101	Linear Add	No	Linear Static	G1	1.35	None
SLU_STR_101			Linear Static	G2,1	1.5	
SLU_STR_101			Linear Static	G2,2	1.5	
SLU_STR_101			Linear Static	G2,3	1.5	
SLU_STR_101			Linear Static	G2,4	1.5	

SLU_STR_101			Linear Static	G2,5	1.5	
SLU_STR_101			Linear Static	Q1,1	0	
SLU_STR_101			Linear Static	Q1,2	0	
SLU_STR_101			Linear Static	Q1,3	0	
SLU_STR_101			Linear Static	Q1,4	0	
SLU_STR_101			Linear Static	Q2,1	0	
SLU_STR_101			Linear Static	Q2,2	0	
SLU_STR_101			Linear Static	Q3,1	0	
SLU_STR_101			Linear Static	Q3,2	0	
SLU_STR_101			Linear Static	Q3,3	1.59	
SLU_STR_101			Linear Static	Q3,4	1.59	
SLU_STR_101			Linear Static	Q4,1	-1.59	
SLU_STR_101			Linear Static	Q4,2	-1.59	
SLU_STR_101			Linear Static	Q4,3	0	
SLU_STR_101			Linear Static	Q4,4	-1.59	
SLU_STR_101			Linear Static	Q5u	-0.9	
SLU_STR_101			Linear Static	Q5d	-0.9	
SLU_STR_101			Linear Static	Q6,1	1	
SLU_STR_101			Linear Static	Q6,2	0	
SLU_STR_101			Linear Static	Q7	1.2	
SLU_STR_101			Linear Static	Q8,1	-1	
SLU_STR_101			Linear Static	Q8,2	0	
SLU_STR_101			Linear Static	Ex	0	
SLU_STR_101			Linear Static	Ey	0	
SLU_STR_101			Linear Static	Ez	0	
SLU_STR_102	Linear Add	No	Linear Static	G1	1.35	None
SLU_STR_102			Linear Static	G2,1	1.5	
SLU_STR_102			Linear Static	G2,2	1.5	
SLU_STR_102			Linear Static	G2,3	1.5	
SLU_STR_102			Linear Static	G2,4	1.5	
SLU_STR_102			Linear Static	G2,5	1.5	
SLU_STR_102			Linear Static	Q1,1	0	
SLU_STR_102			Linear Static	Q1,2	0	
SLU_STR_102			Linear Static	Q1,3	0	
SLU_STR_102			Linear Static	Q1,4	0	
SLU_STR_102			Linear Static	Q2,1	0	
SLU_STR_102			Linear Static	Q2,2	0	
SLU_STR_102			Linear Static	Q3,1	0	
SLU_STR_102			Linear Static	Q3,2	1.59	
SLU_STR_102			Linear Static	Q3,3	1.59	
SLU_STR_102			Linear Static	Q3,4	0	
SLU_STR_102			Linear Static	Q4,1	-1.59	
SLU_STR_102			Linear Static	Q4,2	-1.59	
SLU_STR_102			Linear Static	Q4,3	-0.79	
SLU_STR_102			Linear Static	Q4,4	-0.79	
SLU_STR_102			Linear Static	Q5u	-0.9	
SLU_STR_102			Linear Static	Q5d	-0.9	

SLU_STR_102			Linear Static	Q6,1	1	
SLU_STR_102			Linear Static	Q6,2	0	
SLU_STR_102			Linear Static	Q7	1.2	
SLU_STR_102			Linear Static	Q8,1	-1	
SLU_STR_102			Linear Static	Q8,2	0	
SLU_STR_102			Linear Static	Ex	0	
SLU_STR_102			Linear Static	Ey	0	
SLU_STR_102			Linear Static	Ez	0	
SLU_STR_103	Linear Add	No	Linear Static	G1	1.35	None
SLU_STR_103			Linear Static	G2,1	1.5	
SLU_STR_103			Linear Static	G2,2	1.5	
SLU_STR_103			Linear Static	G2,3	1.5	
SLU_STR_103			Linear Static	G2,4	1.5	
SLU_STR_103			Linear Static	G2,5	1.5	
SLU_STR_103			Linear Static	Q1,1	0	
SLU_STR_103			Linear Static	Q1,2	0	
SLU_STR_103			Linear Static	Q1,3	0	
SLU_STR_103			Linear Static	Q1,4	0	
SLU_STR_103			Linear Static	Q2,1	1	
SLU_STR_103			Linear Static	Q2,2	1	
SLU_STR_103			Linear Static	Q3,1	0	
SLU_STR_103			Linear Static	Q3,2	0	
SLU_STR_103			Linear Static	Q3,3	0	
SLU_STR_103			Linear Static	Q3,4	0	
SLU_STR_103			Linear Static	Q4,1	0	
SLU_STR_103			Linear Static	Q4,2	0	
SLU_STR_103			Linear Static	Q4,3	0	
SLU_STR_103			Linear Static	Q4,4	0	
SLU_STR_103			Linear Static	Q5u	0	
SLU_STR_103			Linear Static	Q5d	0	
SLU_STR_103			Linear Static	Q6,1	0	
SLU_STR_103			Linear Static	Q6,2	0	
SLU_STR_103			Linear Static	Q7	1.2	
SLU_STR_103			Linear Static	Q8,1	0	
SLU_STR_103			Linear Static	Q8,2	0	
SLU_STR_103			Linear Static	Ex	0	
SLU_STR_103			Linear Static	Ey	0	
SLU_STR_103			Linear Static	Ez	0	
SLU_STR_104	Linear Add	No	Linear Static	G1	1.35	None
SLU_STR_104			Linear Static	G2,1	1.5	
SLU_STR_104			Linear Static	G2,2	1.5	
SLU_STR_104			Linear Static	G2,3	1.5	
SLU_STR_104			Linear Static	G2,4	1.5	
SLU_STR_104			Linear Static	G2,5	1.5	
SLU_STR_104			Linear Static	Q1,1	0	
SLU_STR_104			Linear Static	Q1,2	0	
SLU_STR_104			Linear Static	Q1,3	0	

SLU_STR_104			Linear Static	Q1,4	0	
SLU_STR_104			Linear Static	Q2,1	1	
SLU_STR_104			Linear Static	Q2,2	1	
SLU_STR_104			Linear Static	Q3,1	0	
SLU_STR_104			Linear Static	Q3,2	0	
SLU_STR_104			Linear Static	Q3,3	0	
SLU_STR_104			Linear Static	Q3,4	0	
SLU_STR_104			Linear Static	Q4,1	0	
SLU_STR_104			Linear Static	Q4,2	0	
SLU_STR_104			Linear Static	Q4,3	0	
SLU_STR_104			Linear Static	Q4,4	0	
SLU_STR_104			Linear Static	Q5u	1.5	
SLU_STR_104			Linear Static	Q5d	1.5	
SLU_STR_104			Linear Static	Q6,1	0	
SLU_STR_104			Linear Static	Q6,2	0	
SLU_STR_104			Linear Static	Q7	1.2	
SLU_STR_104			Linear Static	Q8,1	0	
SLU_STR_104			Linear Static	Q8,2	0	
SLU_STR_104			Linear Static	Ex	0	
SLU_STR_104			Linear Static	Ey	0	
SLU_STR_104			Linear Static	Ez	0	
SLU_STR_105	Linear Add	No	Linear Static	G1	1.35	None
SLU_STR_105			Linear Static	G2,1	1.5	
SLU_STR_105			Linear Static	G2,2	1.5	
SLU_STR_105			Linear Static	G2,3	1.5	
SLU_STR_105			Linear Static	G2,4	1.5	
SLU_STR_105			Linear Static	G2,5	1.5	
SLU_STR_105			Linear Static	Q1,1	0	
SLU_STR_105			Linear Static	Q1,2	0	
SLU_STR_105			Linear Static	Q1,3	0	
SLU_STR_105			Linear Static	Q1,4	0	
SLU_STR_105			Linear Static	Q2,1	1	
SLU_STR_105			Linear Static	Q2,2	1	
SLU_STR_105			Linear Static	Q3,1	0	
SLU_STR_105			Linear Static	Q3,2	0	
SLU_STR_105			Linear Static	Q3,3	0	
SLU_STR_105			Linear Static	Q3,4	0	
SLU_STR_105			Linear Static	Q4,1	0	
SLU_STR_105			Linear Static	Q4,2	0	
SLU_STR_105			Linear Static	Q4,3	0	
SLU_STR_105			Linear Static	Q4,4	0	
SLU_STR_105			Linear Static	Q5u	-1.5	
SLU_STR_105			Linear Static	Q5d	-1.5	
SLU_STR_105			Linear Static	Q6,1	0	
SLU_STR_105			Linear Static	Q6,2	0	
SLU_STR_105			Linear Static	Q7	1.2	
SLU_STR_105			Linear Static	Q8,1	0	

SLU_STR_105			Linear Static	Q8,2	0	
SLU_STR_105			Linear Static	Ex	0	
SLU_STR_105			Linear Static	Ey	0	
SLU_STR_105			Linear Static	Ez	0	
SLV_SIS_001	Linear Add	No	Linear Static	G1	1	None
SLV_SIS_001			Linear Static	G2,1	1	
SLV_SIS_001			Linear Static	G2,2	1	
SLV_SIS_001			Linear Static	G2,3	1	
SLV_SIS_001			Linear Static	G2,4	1	
SLV_SIS_001			Linear Static	G2,5	1	
SLV_SIS_001			Linear Static	Q1,1	0.2	
SLV_SIS_001			Linear Static	Q1,2	0.2	
SLV_SIS_001			Linear Static	Q1,3	0	
SLV_SIS_001			Linear Static	Q1,4	0	
SLV_SIS_001			Linear Static	Q2,1	0	
SLV_SIS_001			Linear Static	Q2,2	0	
SLV_SIS_001			Linear Static	Q3,1	0	
SLV_SIS_001			Linear Static	Q3,2	0	
SLV_SIS_001			Linear Static	Q3,3	0	
SLV_SIS_001			Linear Static	Q3,4	0	
SLV_SIS_001			Linear Static	Q4,1	0	
SLV_SIS_001			Linear Static	Q4,2	0	
SLV_SIS_001			Linear Static	Q4,3	0	
SLV_SIS_001			Linear Static	Q4,4	0	
SLV_SIS_001			Linear Static	Q5u	-0.6	
SLV_SIS_001			Linear Static	Q5d	-0.6	
SLV_SIS_001			Linear Static	Q6,1	0	
SLV_SIS_001			Linear Static	Q6,2	0	
SLV_SIS_001			Linear Static	Q7	0	
SLV_SIS_001			Linear Static	Q8,1	0	
SLV_SIS_001			Linear Static	Q8,2	0	
SLV_SIS_001			Linear Static	Ex	1	
SLV_SIS_001			Linear Static	Ey	0.3	
SLV_SIS_001			Linear Static	Ez	0.3	
SLV_SIS_002	Linear Add	No	Linear Static	G1	1	None
SLV_SIS_002			Linear Static	G2,1	1	
SLV_SIS_002			Linear Static	G2,2	1	
SLV_SIS_002			Linear Static	G2,3	1	
SLV_SIS_002			Linear Static	G2,4	1	
SLV_SIS_002			Linear Static	G2,5	1	
SLV_SIS_002			Linear Static	Q1,1	0.2	
SLV_SIS_002			Linear Static	Q1,2	0.2	
SLV_SIS_002			Linear Static	Q1,3	0	
SLV_SIS_002			Linear Static	Q1,4	0	
SLV_SIS_002			Linear Static	Q2,1	0	
SLV_SIS_002			Linear Static	Q2,2	0	
SLV_SIS_002			Linear Static	Q3,1	0	

SLV_SIS_002			Linear Static	Q3,2	0	
SLV_SIS_002			Linear Static	Q3,3	0	
SLV_SIS_002			Linear Static	Q3,4	0	
SLV_SIS_002			Linear Static	Q4,1	0	
SLV_SIS_002			Linear Static	Q4,2	0	
SLV_SIS_002			Linear Static	Q4,3	0	
SLV_SIS_002			Linear Static	Q4,4	0	
SLV_SIS_002			Linear Static	Q5u	0.6	
SLV_SIS_002			Linear Static	Q5d	0.6	
SLV_SIS_002			Linear Static	Q6,1	0	
SLV_SIS_002			Linear Static	Q6,2	0	
SLV_SIS_002			Linear Static	Q7	0	
SLV_SIS_002			Linear Static	Q8,1	0	
SLV_SIS_002			Linear Static	Q8,2	0	
SLV_SIS_002			Linear Static	Ex	1	
SLV_SIS_002			Linear Static	Ey	0.3	
SLV_SIS_002			Linear Static	Ez	0.3	
SLV_SIS_003	Linear Add	No	Linear Static	G1	1	None
SLV_SIS_003			Linear Static	G2,1	1	
SLV_SIS_003			Linear Static	G2,2	1	
SLV_SIS_003			Linear Static	G2,3	1	
SLV_SIS_003			Linear Static	G2,4	1	
SLV_SIS_003			Linear Static	G2,5	1	
SLV_SIS_003			Linear Static	Q1,1	0	
SLV_SIS_003			Linear Static	Q1,2	0	
SLV_SIS_003			Linear Static	Q1,3	0	
SLV_SIS_003			Linear Static	Q1,4	0	
SLV_SIS_003			Linear Static	Q2,1	0	
SLV_SIS_003			Linear Static	Q2,2	0	
SLV_SIS_003			Linear Static	Q3,1	0.2	
SLV_SIS_003			Linear Static	Q3,2	0.2	
SLV_SIS_003			Linear Static	Q3,3	0	
SLV_SIS_003			Linear Static	Q3,4	0	
SLV_SIS_003			Linear Static	Q4,1	0	
SLV_SIS_003			Linear Static	Q4,2	0	
SLV_SIS_003			Linear Static	Q4,3	0	
SLV_SIS_003			Linear Static	Q4,4	0	
SLV_SIS_003			Linear Static	Q5u	-0.6	
SLV_SIS_003			Linear Static	Q5d	-0.6	
SLV_SIS_003			Linear Static	Q6,1	0	
SLV_SIS_003			Linear Static	Q6,2	0	
SLV_SIS_003			Linear Static	Q7	0	
SLV_SIS_003			Linear Static	Q8,1	0	
SLV_SIS_003			Linear Static	Q8,2	0	
SLV_SIS_003			Linear Static	Ex	1	
SLV_SIS_003			Linear Static	Ey	0.3	
SLV_SIS_003			Linear Static	Ez	0.3	

SLV_SIS_004	Linear Add	No	Linear Static	G1	1	None
SLV_SIS_004			Linear Static	G2,1	1	
SLV_SIS_004			Linear Static	G2,2	1	
SLV_SIS_004			Linear Static	G2,3	1	
SLV_SIS_004			Linear Static	G2,4	1	
SLV_SIS_004			Linear Static	G2,5	1	
SLV_SIS_004			Linear Static	Q1,1	0	
SLV_SIS_004			Linear Static	Q1,2	0	
SLV_SIS_004			Linear Static	Q1,3	0	
SLV_SIS_004			Linear Static	Q1,4	0	
SLV_SIS_004			Linear Static	Q2,1	0	
SLV_SIS_004			Linear Static	Q2,2	0	
SLV_SIS_004			Linear Static	Q3,1	0.2	
SLV_SIS_004			Linear Static	Q3,2	0.2	
SLV_SIS_004			Linear Static	Q3,3	0	
SLV_SIS_004			Linear Static	Q3,4	0	
SLV_SIS_004			Linear Static	Q4,1	0	
SLV_SIS_004			Linear Static	Q4,2	0	
SLV_SIS_004			Linear Static	Q4,3	0	
SLV_SIS_004			Linear Static	Q4,4	0	
SLV_SIS_004			Linear Static	Q5u	0.6	
SLV_SIS_004			Linear Static	Q5d	0.6	
SLV_SIS_004			Linear Static	Q6,1	0	
SLV_SIS_004			Linear Static	Q6,2	0	
SLV_SIS_004			Linear Static	Q7	0	
SLV_SIS_004			Linear Static	Q8,1	0	
SLV_SIS_004			Linear Static	Q8,2	0	
SLV_SIS_004			Linear Static	Ex	1	
SLV_SIS_004			Linear Static	Ey	0.3	
SLV_SIS_004			Linear Static	Ez	0.3	
SLV_SIS_005	Linear Add	No	Linear Static	G1	1	None
SLV_SIS_005			Linear Static	G2,1	1	
SLV_SIS_005			Linear Static	G2,2	1	
SLV_SIS_005			Linear Static	G2,3	1	
SLV_SIS_005			Linear Static	G2,4	1	
SLV_SIS_005			Linear Static	G2,5	1	
SLV_SIS_005			Linear Static	Q1,1	0	
SLV_SIS_005			Linear Static	Q1,2	0	
SLV_SIS_005			Linear Static	Q1,3	0.2	
SLV_SIS_005			Linear Static	Q1,4	0.2	
SLV_SIS_005			Linear Static	Q2,1	0	
SLV_SIS_005			Linear Static	Q2,2	0	
SLV_SIS_005			Linear Static	Q3,1	0	
SLV_SIS_005			Linear Static	Q3,2	0	
SLV_SIS_005			Linear Static	Q3,3	0	
SLV_SIS_005			Linear Static	Q3,4	0	
SLV_SIS_005			Linear Static	Q4,1	0	

SLV_SIS_005			Linear Static	Q4,2	0	
SLV_SIS_005			Linear Static	Q4,3	0	
SLV_SIS_005			Linear Static	Q4,4	0	
SLV_SIS_005			Linear Static	Q5u	-0.6	
SLV_SIS_005			Linear Static	Q5d	-0.6	
SLV_SIS_005			Linear Static	Q6,1	0	
SLV_SIS_005			Linear Static	Q6,2	0	
SLV_SIS_005			Linear Static	Q7	0	
SLV_SIS_005			Linear Static	Q8,1	0	
SLV_SIS_005			Linear Static	Q8,2	0	
SLV_SIS_005			Linear Static	Ex	1	
SLV_SIS_005			Linear Static	Ey	0.3	
SLV_SIS_005			Linear Static	Ez	0.3	
SLV_SIS_006	Linear Add	No	Linear Static	G1	1	None
SLV_SIS_006			Linear Static	G2,1	1	
SLV_SIS_006			Linear Static	G2,2	1	
SLV_SIS_006			Linear Static	G2,3	1	
SLV_SIS_006			Linear Static	G2,4	1	
SLV_SIS_006			Linear Static	G2,5	1	
SLV_SIS_006			Linear Static	Q1,1	0	
SLV_SIS_006			Linear Static	Q1,2	0	
SLV_SIS_006			Linear Static	Q1,3	0.2	
SLV_SIS_006			Linear Static	Q1,4	0.2	
SLV_SIS_006			Linear Static	Q2,1	0	
SLV_SIS_006			Linear Static	Q2,2	0	
SLV_SIS_006			Linear Static	Q3,1	0	
SLV_SIS_006			Linear Static	Q3,2	0	
SLV_SIS_006			Linear Static	Q3,3	0	
SLV_SIS_006			Linear Static	Q3,4	0	
SLV_SIS_006			Linear Static	Q4,1	0	
SLV_SIS_006			Linear Static	Q4,2	0	
SLV_SIS_006			Linear Static	Q4,3	0	
SLV_SIS_006			Linear Static	Q4,4	0	
SLV_SIS_006			Linear Static	Q5u	0.6	
SLV_SIS_006			Linear Static	Q5d	0.6	
SLV_SIS_006			Linear Static	Q6,1	0	
SLV_SIS_006			Linear Static	Q6,2	0	
SLV_SIS_006			Linear Static	Q7	0	
SLV_SIS_006			Linear Static	Q8,1	0	
SLV_SIS_006			Linear Static	Q8,2	0	
SLV_SIS_006			Linear Static	Ex	1	
SLV_SIS_006			Linear Static	Ey	0.3	
SLV_SIS_006			Linear Static	Ez	0.3	
SLV_SIS_007	Linear Add	No	Linear Static	G1	1	None
SLV_SIS_007			Linear Static	G2,1	1	
SLV_SIS_007			Linear Static	G2,2	1	
SLV_SIS_007			Linear Static	G2,3	1	

SLV_SIS_007			Linear Static	G2,4	1	
SLV_SIS_007			Linear Static	G2,5	1	
SLV_SIS_007			Linear Static	Q1,1	0	
SLV_SIS_007			Linear Static	Q1,2	0	
SLV_SIS_007			Linear Static	Q1,3	0	
SLV_SIS_007			Linear Static	Q1,4	0	
SLV_SIS_007			Linear Static	Q2,1	0	
SLV_SIS_007			Linear Static	Q2,2	0	
SLV_SIS_007			Linear Static	Q3,1	0	
SLV_SIS_007			Linear Static	Q3,2	0	
SLV_SIS_007			Linear Static	Q3,3	0.2	
SLV_SIS_007			Linear Static	Q3,4	0.2	
SLV_SIS_007			Linear Static	Q4,1	0	
SLV_SIS_007			Linear Static	Q4,2	0	
SLV_SIS_007			Linear Static	Q4,3	0	
SLV_SIS_007			Linear Static	Q4,4	0	
SLV_SIS_007			Linear Static	Q5u	-0.6	
SLV_SIS_007			Linear Static	Q5d	-0.6	
SLV_SIS_007			Linear Static	Q6,1	0	
SLV_SIS_007			Linear Static	Q6,2	0	
SLV_SIS_007			Linear Static	Q7	0	
SLV_SIS_007			Linear Static	Q8,1	0	
SLV_SIS_007			Linear Static	Q8,2	0	
SLV_SIS_007			Linear Static	Ex	1	
SLV_SIS_007			Linear Static	Ey	0.3	
SLV_SIS_007			Linear Static	Ez	0.3	
SLV_SIS_008	Linear Add	No	Linear Static	G1	1	None
SLV_SIS_008			Linear Static	G2,1	1	
SLV_SIS_008			Linear Static	G2,2	1	
SLV_SIS_008			Linear Static	G2,3	1	
SLV_SIS_008			Linear Static	G2,4	1	
SLV_SIS_008			Linear Static	G2,5	1	
SLV_SIS_008			Linear Static	Q1,1	0	
SLV_SIS_008			Linear Static	Q1,2	0	
SLV_SIS_008			Linear Static	Q1,3	0	
SLV_SIS_008			Linear Static	Q1,4	0	
SLV_SIS_008			Linear Static	Q2,1	0	
SLV_SIS_008			Linear Static	Q2,2	0	
SLV_SIS_008			Linear Static	Q3,1	0	
SLV_SIS_008			Linear Static	Q3,2	0	
SLV_SIS_008			Linear Static	Q3,3	0.2	
SLV_SIS_008			Linear Static	Q3,4	0.2	
SLV_SIS_008			Linear Static	Q4,1	0	
SLV_SIS_008			Linear Static	Q4,2	0	
SLV_SIS_008			Linear Static	Q4,3	0	
SLV_SIS_008			Linear Static	Q4,4	0	
SLV_SIS_008			Linear Static	Q5u	0.6	

SLV_SIS_008			Linear Static	Q5d	0.6	
SLV_SIS_008			Linear Static	Q6,1	0	
SLV_SIS_008			Linear Static	Q6,2	0	
SLV_SIS_008			Linear Static	Q7	0	
SLV_SIS_008			Linear Static	Q8,1	0	
SLV_SIS_008			Linear Static	Q8,2	0	
SLV_SIS_008			Linear Static	Ex	1	
SLV_SIS_008			Linear Static	Ey	0.3	
SLV_SIS_008			Linear Static	Ez	0.3	
SLV_SIS_009	Linear Add	No	Linear Static	G1	1	None
SLV_SIS_009			Linear Static	G2,1	1	
SLV_SIS_009			Linear Static	G2,2	1	
SLV_SIS_009			Linear Static	G2,3	1	
SLV_SIS_009			Linear Static	G2,4	1	
SLV_SIS_009			Linear Static	G2,5	1	
SLV_SIS_009			Linear Static	Q1,1	0.2	
SLV_SIS_009			Linear Static	Q1,2	0.2	
SLV_SIS_009			Linear Static	Q1,3	0	
SLV_SIS_009			Linear Static	Q1,4	0	
SLV_SIS_009			Linear Static	Q2,1	0	
SLV_SIS_009			Linear Static	Q2,2	0	
SLV_SIS_009			Linear Static	Q3,1	0	
SLV_SIS_009			Linear Static	Q3,2	0	
SLV_SIS_009			Linear Static	Q3,3	0	
SLV_SIS_009			Linear Static	Q3,4	0	
SLV_SIS_009			Linear Static	Q4,1	0	
SLV_SIS_009			Linear Static	Q4,2	0	
SLV_SIS_009			Linear Static	Q4,3	0	
SLV_SIS_009			Linear Static	Q4,4	0	
SLV_SIS_009			Linear Static	Q5u	-0.6	
SLV_SIS_009			Linear Static	Q5d	-0.6	
SLV_SIS_009			Linear Static	Q6,1	0	
SLV_SIS_009			Linear Static	Q6,2	0	
SLV_SIS_009			Linear Static	Q7	0	
SLV_SIS_009			Linear Static	Q8,1	0	
SLV_SIS_009			Linear Static	Q8,2	0	
SLV_SIS_009			Linear Static	Ex	0.3	
SLV_SIS_009			Linear Static	Ey	1	
SLV_SIS_009			Linear Static	Ez	0.3	
SLV_SIS_010	Linear Add	No	Linear Static	G1	1	None
SLV_SIS_010			Linear Static	G2,1	1	
SLV_SIS_010			Linear Static	G2,2	1	
SLV_SIS_010			Linear Static	G2,3	1	
SLV_SIS_010			Linear Static	G2,4	1	
SLV_SIS_010			Linear Static	G2,5	1	
SLV_SIS_010			Linear Static	Q1,1	0.2	
SLV_SIS_010			Linear Static	Q1,2	0.2	

SLV_SIS_010			Linear Static	Q1,3	0	
SLV_SIS_010			Linear Static	Q1,4	0	
SLV_SIS_010			Linear Static	Q2,1	0	
SLV_SIS_010			Linear Static	Q2,2	0	
SLV_SIS_010			Linear Static	Q3,1	0	
SLV_SIS_010			Linear Static	Q3,2	0	
SLV_SIS_010			Linear Static	Q3,3	0	
SLV_SIS_010			Linear Static	Q3,4	0	
SLV_SIS_010			Linear Static	Q4,1	0	
SLV_SIS_010			Linear Static	Q4,2	0	
SLV_SIS_010			Linear Static	Q4,3	0	
SLV_SIS_010			Linear Static	Q4,4	0	
SLV_SIS_010			Linear Static	Q5u	0.6	
SLV_SIS_010			Linear Static	Q5d	0.6	
SLV_SIS_010			Linear Static	Q6,1	0	
SLV_SIS_010			Linear Static	Q6,2	0	
SLV_SIS_010			Linear Static	Q7	0	
SLV_SIS_010			Linear Static	Q8,1	0	
SLV_SIS_010			Linear Static	Q8,2	0	
SLV_SIS_010			Linear Static	Ex	0.3	
SLV_SIS_010			Linear Static	Ey	1	
SLV_SIS_010			Linear Static	Ez	0.3	
SLV_SIS_011	Linear Add	No	Linear Static	G1	1	None
SLV_SIS_011			Linear Static	G2,1	1	
SLV_SIS_011			Linear Static	G2,2	1	
SLV_SIS_011			Linear Static	G2,3	1	
SLV_SIS_011			Linear Static	G2,4	1	
SLV_SIS_011			Linear Static	G2,5	1	
SLV_SIS_011			Linear Static	Q1,1	0	
SLV_SIS_011			Linear Static	Q1,2	0	
SLV_SIS_011			Linear Static	Q1,3	0	
SLV_SIS_011			Linear Static	Q1,4	0	
SLV_SIS_011			Linear Static	Q2,1	0	
SLV_SIS_011			Linear Static	Q2,2	0	
SLV_SIS_011			Linear Static	Q3,1	0.2	
SLV_SIS_011			Linear Static	Q3,2	0.2	
SLV_SIS_011			Linear Static	Q3,3	0	
SLV_SIS_011			Linear Static	Q3,4	0	
SLV_SIS_011			Linear Static	Q4,1	0	
SLV_SIS_011			Linear Static	Q4,2	0	
SLV_SIS_011			Linear Static	Q4,3	0	
SLV_SIS_011			Linear Static	Q4,4	0	
SLV_SIS_011			Linear Static	Q5u	-0.6	
SLV_SIS_011			Linear Static	Q5d	-0.6	
SLV_SIS_011			Linear Static	Q6,1	0	
SLV_SIS_011			Linear Static	Q6,2	0	
SLV_SIS_011			Linear Static	Q7	0	

SLV_SIS_011			Linear Static	Q8,1	0	
SLV_SIS_011			Linear Static	Q8,2	0	
SLV_SIS_011			Linear Static	Ex	0.3	
SLV_SIS_011			Linear Static	Ey	1	
SLV_SIS_011			Linear Static	Ez	0.3	
SLV_SIS_012	Linear Add	No	Linear Static	G1	1	None
SLV_SIS_012			Linear Static	G2,1	1	
SLV_SIS_012			Linear Static	G2,2	1	
SLV_SIS_012			Linear Static	G2,3	1	
SLV_SIS_012			Linear Static	G2,4	1	
SLV_SIS_012			Linear Static	G2,5	1	
SLV_SIS_012			Linear Static	Q1,1	0	
SLV_SIS_012			Linear Static	Q1,2	0	
SLV_SIS_012			Linear Static	Q1,3	0	
SLV_SIS_012			Linear Static	Q1,4	0	
SLV_SIS_012			Linear Static	Q2,1	0	
SLV_SIS_012			Linear Static	Q2,2	0	
SLV_SIS_012			Linear Static	Q3,1	0.2	
SLV_SIS_012			Linear Static	Q3,2	0.2	
SLV_SIS_012			Linear Static	Q3,3	0	
SLV_SIS_012			Linear Static	Q3,4	0	
SLV_SIS_012			Linear Static	Q4,1	0	
SLV_SIS_012			Linear Static	Q4,2	0	
SLV_SIS_012			Linear Static	Q4,3	0	
SLV_SIS_012			Linear Static	Q4,4	0	
SLV_SIS_012			Linear Static	Q5u	0.6	
SLV_SIS_012			Linear Static	Q5d	0.6	
SLV_SIS_012			Linear Static	Q6,1	0	
SLV_SIS_012			Linear Static	Q6,2	0	
SLV_SIS_012			Linear Static	Q7	0	
SLV_SIS_012			Linear Static	Q8,1	0	
SLV_SIS_012			Linear Static	Q8,2	0	
SLV_SIS_012			Linear Static	Ex	0.3	
SLV_SIS_012			Linear Static	Ey	1	
SLV_SIS_012			Linear Static	Ez	0.3	
SLV_SIS_013	Linear Add	No	Linear Static	G1	1	None
SLV_SIS_013			Linear Static	G2,1	1	
SLV_SIS_013			Linear Static	G2,2	1	
SLV_SIS_013			Linear Static	G2,3	1	
SLV_SIS_013			Linear Static	G2,4	1	
SLV_SIS_013			Linear Static	G2,5	1	
SLV_SIS_013			Linear Static	Q1,1	0	
SLV_SIS_013			Linear Static	Q1,2	0	
SLV_SIS_013			Linear Static	Q1,3	0.2	
SLV_SIS_013			Linear Static	Q1,4	0.2	
SLV_SIS_013			Linear Static	Q2,1	0	
SLV_SIS_013			Linear Static	Q2,2	0	

SLV_SIS_013			Linear Static	Q3,1	0	
SLV_SIS_013			Linear Static	Q3,2	0	
SLV_SIS_013			Linear Static	Q3,3	0	
SLV_SIS_013			Linear Static	Q3,4	0	
SLV_SIS_013			Linear Static	Q4,1	0	
SLV_SIS_013			Linear Static	Q4,2	0	
SLV_SIS_013			Linear Static	Q4,3	0	
SLV_SIS_013			Linear Static	Q4,4	0	
SLV_SIS_013			Linear Static	Q5u	-0.6	
SLV_SIS_013			Linear Static	Q5d	-0.6	
SLV_SIS_013			Linear Static	Q6,1	0	
SLV_SIS_013			Linear Static	Q6,2	0	
SLV_SIS_013			Linear Static	Q7	0	
SLV_SIS_013			Linear Static	Q8,1	0	
SLV_SIS_013			Linear Static	Q8,2	0	
SLV_SIS_013			Linear Static	Ex	0.3	
SLV_SIS_013			Linear Static	Ey	1	
SLV_SIS_013			Linear Static	Ez	0.3	
SLV_SIS_014	Linear Add	No	Linear Static	G1	1	None
SLV_SIS_014			Linear Static	G2,1	1	
SLV_SIS_014			Linear Static	G2,2	1	
SLV_SIS_014			Linear Static	G2,3	1	
SLV_SIS_014			Linear Static	G2,4	1	
SLV_SIS_014			Linear Static	G2,5	1	
SLV_SIS_014			Linear Static	Q1,1	0	
SLV_SIS_014			Linear Static	Q1,2	0	
SLV_SIS_014			Linear Static	Q1,3	0.2	
SLV_SIS_014			Linear Static	Q1,4	0.2	
SLV_SIS_014			Linear Static	Q2,1	0	
SLV_SIS_014			Linear Static	Q2,2	0	
SLV_SIS_014			Linear Static	Q3,1	0	
SLV_SIS_014			Linear Static	Q3,2	0	
SLV_SIS_014			Linear Static	Q3,3	0	
SLV_SIS_014			Linear Static	Q3,4	0	
SLV_SIS_014			Linear Static	Q4,1	0	
SLV_SIS_014			Linear Static	Q4,2	0	
SLV_SIS_014			Linear Static	Q4,3	0	
SLV_SIS_014			Linear Static	Q4,4	0	
SLV_SIS_014			Linear Static	Q5u	0.6	
SLV_SIS_014			Linear Static	Q5d	0.6	
SLV_SIS_014			Linear Static	Q6,1	0	
SLV_SIS_014			Linear Static	Q6,2	0	
SLV_SIS_014			Linear Static	Q7	0	
SLV_SIS_014			Linear Static	Q8,1	0	
SLV_SIS_014			Linear Static	Q8,2	0	
SLV_SIS_014			Linear Static	Ex	0.3	
SLV_SIS_014			Linear Static	Ey	1	

SLV_SIS_014			Linear Static	Ez	0.3	
SLV_SIS_015	Linear Add	No	Linear Static	G1	1	None
SLV_SIS_015			Linear Static	G2,1	1	
SLV_SIS_015			Linear Static	G2,2	1	
SLV_SIS_015			Linear Static	G2,3	1	
SLV_SIS_015			Linear Static	G2,4	1	
SLV_SIS_015			Linear Static	G2,5	1	
SLV_SIS_015			Linear Static	Q1,1	0	
SLV_SIS_015			Linear Static	Q1,2	0	
SLV_SIS_015			Linear Static	Q1,3	0	
SLV_SIS_015			Linear Static	Q1,4	0	
SLV_SIS_015			Linear Static	Q2,1	0	
SLV_SIS_015			Linear Static	Q2,2	0	
SLV_SIS_015			Linear Static	Q3,1	0	
SLV_SIS_015			Linear Static	Q3,2	0	
SLV_SIS_015			Linear Static	Q3,3	0.2	
SLV_SIS_015			Linear Static	Q3,4	0.2	
SLV_SIS_015			Linear Static	Q4,1	0	
SLV_SIS_015			Linear Static	Q4,2	0	
SLV_SIS_015			Linear Static	Q4,3	0	
SLV_SIS_015			Linear Static	Q4,4	0	
SLV_SIS_015			Linear Static	Q5u	-0.6	
SLV_SIS_015			Linear Static	Q5d	-0.6	
SLV_SIS_015			Linear Static	Q6,1	0	
SLV_SIS_015			Linear Static	Q6,2	0	
SLV_SIS_015			Linear Static	Q7	0	
SLV_SIS_015			Linear Static	Q8,1	0	
SLV_SIS_015			Linear Static	Q8,2	0	
SLV_SIS_015			Linear Static	Ex	0.3	
SLV_SIS_015			Linear Static	Ey	1	
SLV_SIS_015			Linear Static	Ez	0.3	
SLV_SIS_016	Linear Add	No	Linear Static	G1	1	None
SLV_SIS_016			Linear Static	G2,1	1	
SLV_SIS_016			Linear Static	G2,2	1	
SLV_SIS_016			Linear Static	G2,3	1	
SLV_SIS_016			Linear Static	G2,4	1	
SLV_SIS_016			Linear Static	G2,5	1	
SLV_SIS_016			Linear Static	Q1,1	0	
SLV_SIS_016			Linear Static	Q1,2	0	
SLV_SIS_016			Linear Static	Q1,3	0	
SLV_SIS_016			Linear Static	Q1,4	0	
SLV_SIS_016			Linear Static	Q2,1	0	
SLV_SIS_016			Linear Static	Q2,2	0	
SLV_SIS_016			Linear Static	Q3,1	0	
SLV_SIS_016			Linear Static	Q3,2	0	
SLV_SIS_016			Linear Static	Q3,3	0.2	
SLV_SIS_016			Linear Static	Q3,4	0.2	

SLV_SIS_016			Linear Static	Q4,1	0	
SLV_SIS_016			Linear Static	Q4,2	0	
SLV_SIS_016			Linear Static	Q4,3	0	
SLV_SIS_016			Linear Static	Q4,4	0	
SLV_SIS_016			Linear Static	Q5u	0.6	
SLV_SIS_016			Linear Static	Q5d	0.6	
SLV_SIS_016			Linear Static	Q6,1	0	
SLV_SIS_016			Linear Static	Q6,2	0	
SLV_SIS_016			Linear Static	Q7	0	
SLV_SIS_016			Linear Static	Q8,1	0	
SLV_SIS_016			Linear Static	Q8,2	0	
SLV_SIS_016			Linear Static	Ex	0.3	
SLV_SIS_016			Linear Static	Ey	1	
SLV_SIS_016			Linear Static	Ez	1	
SLV_SIS_017	Linear Add	No	Linear Static	G1	1	None
SLV_SIS_017			Linear Static	G2,1	1	
SLV_SIS_017			Linear Static	G2,2	1	
SLV_SIS_017			Linear Static	G2,3	1	
SLV_SIS_017			Linear Static	G2,4	1	
SLV_SIS_017			Linear Static	G2,5	1	
SLV_SIS_017			Linear Static	Q1,1	0.2	
SLV_SIS_017			Linear Static	Q1,2	0.2	
SLV_SIS_017			Linear Static	Q1,3	0	
SLV_SIS_017			Linear Static	Q1,4	0	
SLV_SIS_017			Linear Static	Q2,1	0	
SLV_SIS_017			Linear Static	Q2,2	0	
SLV_SIS_017			Linear Static	Q3,1	0	
SLV_SIS_017			Linear Static	Q3,2	0	
SLV_SIS_017			Linear Static	Q3,3	0	
SLV_SIS_017			Linear Static	Q3,4	0	
SLV_SIS_017			Linear Static	Q4,1	0	
SLV_SIS_017			Linear Static	Q4,2	0	
SLV_SIS_017			Linear Static	Q4,3	0	
SLV_SIS_017			Linear Static	Q4,4	0	
SLV_SIS_017			Linear Static	Q5u	-0.6	
SLV_SIS_017			Linear Static	Q5d	-0.6	
SLV_SIS_017			Linear Static	Q6,1	0	
SLV_SIS_017			Linear Static	Q6,2	0	
SLV_SIS_017			Linear Static	Q7	0	
SLV_SIS_017			Linear Static	Q8,1	0	
SLV_SIS_017			Linear Static	Q8,2	0	
SLV_SIS_017			Linear Static	Ex	0.3	
SLV_SIS_017			Linear Static	Ey	0.3	
SLV_SIS_017			Linear Static	Ez	1	
SLV_SIS_018	Linear Add	No	Linear Static	G1	1	None
SLV_SIS_018			Linear Static	G2,1	1	
SLV_SIS_018			Linear Static	G2,2	1	

SLV_SIS_018			Linear Static	G2,3	1	
SLV_SIS_018			Linear Static	G2,4	1	
SLV_SIS_018			Linear Static	G2,5	1	
SLV_SIS_018			Linear Static	Q1,1	0.2	
SLV_SIS_018			Linear Static	Q1,2	0.2	
SLV_SIS_018			Linear Static	Q1,3	0	
SLV_SIS_018			Linear Static	Q1,4	0	
SLV_SIS_018			Linear Static	Q2,1	0	
SLV_SIS_018			Linear Static	Q2,2	0	
SLV_SIS_018			Linear Static	Q3,1	0	
SLV_SIS_018			Linear Static	Q3,2	0	
SLV_SIS_018			Linear Static	Q3,3	0	
SLV_SIS_018			Linear Static	Q3,4	0	
SLV_SIS_018			Linear Static	Q4,1	0	
SLV_SIS_018			Linear Static	Q4,2	0	
SLV_SIS_018			Linear Static	Q4,3	0	
SLV_SIS_018			Linear Static	Q4,4	0	
SLV_SIS_018			Linear Static	Q5u	0.6	
SLV_SIS_018			Linear Static	Q5d	0.6	
SLV_SIS_018			Linear Static	Q6,1	0	
SLV_SIS_018			Linear Static	Q6,2	0	
SLV_SIS_018			Linear Static	Q7	0	
SLV_SIS_018			Linear Static	Q8,1	0	
SLV_SIS_018			Linear Static	Q8,2	0	
SLV_SIS_018			Linear Static	Ex	0.3	
SLV_SIS_018			Linear Static	Ey	0.3	
SLV_SIS_018			Linear Static	Ez	1	
SLV_SIS_019	Linear Add	No	Linear Static	G1	1	None
SLV_SIS_019			Linear Static	G2,1	1	
SLV_SIS_019			Linear Static	G2,2	1	
SLV_SIS_019			Linear Static	G2,3	1	
SLV_SIS_019			Linear Static	G2,4	1	
SLV_SIS_019			Linear Static	G2,5	1	
SLV_SIS_019			Linear Static	Q1,1	0	
SLV_SIS_019			Linear Static	Q1,2	0	
SLV_SIS_019			Linear Static	Q1,3	0	
SLV_SIS_019			Linear Static	Q1,4	0	
SLV_SIS_019			Linear Static	Q2,1	0	
SLV_SIS_019			Linear Static	Q2,2	0	
SLV_SIS_019			Linear Static	Q3,1	0.2	
SLV_SIS_019			Linear Static	Q3,2	0.2	
SLV_SIS_019			Linear Static	Q3,3	0	
SLV_SIS_019			Linear Static	Q3,4	0	
SLV_SIS_019			Linear Static	Q4,1	0	
SLV_SIS_019			Linear Static	Q4,2	0	
SLV_SIS_019			Linear Static	Q4,3	0	
SLV_SIS_019			Linear Static	Q4,4	0	

SLV_SIS_019			Linear Static	Q5u	-0.6	
SLV_SIS_019			Linear Static	Q5d	-0.6	
SLV_SIS_019			Linear Static	Q6,1	0	
SLV_SIS_019			Linear Static	Q6,2	0	
SLV_SIS_019			Linear Static	Q7	0	
SLV_SIS_019			Linear Static	Q8,1	0	
SLV_SIS_019			Linear Static	Q8,2	0	
SLV_SIS_019			Linear Static	Ex	0.3	
SLV_SIS_019			Linear Static	Ey	0.3	
SLV_SIS_019			Linear Static	Ez	1	
SLV_SIS_020	Linear Add	No	Linear Static	G1	1	None
SLV_SIS_020			Linear Static	G2,1	1	
SLV_SIS_020			Linear Static	G2,2	1	
SLV_SIS_020			Linear Static	G2,3	1	
SLV_SIS_020			Linear Static	G2,4	1	
SLV_SIS_020			Linear Static	G2,5	1	
SLV_SIS_020			Linear Static	Q1,1	0	
SLV_SIS_020			Linear Static	Q1,2	0	
SLV_SIS_020			Linear Static	Q1,3	0	
SLV_SIS_020			Linear Static	Q1,4	0	
SLV_SIS_020			Linear Static	Q2,1	0	
SLV_SIS_020			Linear Static	Q2,2	0	
SLV_SIS_020			Linear Static	Q3,1	0.2	
SLV_SIS_020			Linear Static	Q3,2	0.2	
SLV_SIS_020			Linear Static	Q3,3	0	
SLV_SIS_020			Linear Static	Q3,4	0	
SLV_SIS_020			Linear Static	Q4,1	0	
SLV_SIS_020			Linear Static	Q4,2	0	
SLV_SIS_020			Linear Static	Q4,3	0	
SLV_SIS_020			Linear Static	Q4,4	0	
SLV_SIS_020			Linear Static	Q5u	0.6	
SLV_SIS_020			Linear Static	Q5d	0.6	
SLV_SIS_020			Linear Static	Q6,1	0	
SLV_SIS_020			Linear Static	Q6,2	0	
SLV_SIS_020			Linear Static	Q7	0	
SLV_SIS_020			Linear Static	Q8,1	0	
SLV_SIS_020			Linear Static	Q8,2	0	
SLV_SIS_020			Linear Static	Ex	0.3	
SLV_SIS_020			Linear Static	Ey	0.3	
SLV_SIS_020			Linear Static	Ez	1	
SLV_SIS_021	Linear Add	No	Linear Static	G1	1	None
SLV_SIS_021			Linear Static	G2,1	1	
SLV_SIS_021			Linear Static	G2,2	1	
SLV_SIS_021			Linear Static	G2,3	1	
SLV_SIS_021			Linear Static	G2,4	1	
SLV_SIS_021			Linear Static	G2,5	1	
SLV_SIS_021			Linear Static	Q1,1	0	

SLV_SIS_021			Linear Static	Q1,2	0	
SLV_SIS_021			Linear Static	Q1,3	0.2	
SLV_SIS_021			Linear Static	Q1,4	0.2	
SLV_SIS_021			Linear Static	Q2,1	0	
SLV_SIS_021			Linear Static	Q2,2	0	
SLV_SIS_021			Linear Static	Q3,1	0	
SLV_SIS_021			Linear Static	Q3,2	0	
SLV_SIS_021			Linear Static	Q3,3	0	
SLV_SIS_021			Linear Static	Q3,4	0	
SLV_SIS_021			Linear Static	Q4,1	0	
SLV_SIS_021			Linear Static	Q4,2	0	
SLV_SIS_021			Linear Static	Q4,3	0	
SLV_SIS_021			Linear Static	Q4,4	0	
SLV_SIS_021			Linear Static	Q5u	-0.6	
SLV_SIS_021			Linear Static	Q5d	-0.6	
SLV_SIS_021			Linear Static	Q6,1	0	
SLV_SIS_021			Linear Static	Q6,2	0	
SLV_SIS_021			Linear Static	Q7	0	
SLV_SIS_021			Linear Static	Q8,1	0	
SLV_SIS_021			Linear Static	Q8,2	0	
SLV_SIS_021			Linear Static	Ex	0.3	
SLV_SIS_021			Linear Static	Ey	0.3	
SLV_SIS_021			Linear Static	Ez	1	
SLV_SIS_022	Linear Add	No	Linear Static	G1	1	None
SLV_SIS_022			Linear Static	G2,1	1	
SLV_SIS_022			Linear Static	G2,2	1	
SLV_SIS_022			Linear Static	G2,3	1	
SLV_SIS_022			Linear Static	G2,4	1	
SLV_SIS_022			Linear Static	G2,5	1	
SLV_SIS_022			Linear Static	Q1,1	0	
SLV_SIS_022			Linear Static	Q1,2	0	
SLV_SIS_022			Linear Static	Q1,3	0.2	
SLV_SIS_022			Linear Static	Q1,4	0.2	
SLV_SIS_022			Linear Static	Q2,1	0	
SLV_SIS_022			Linear Static	Q2,2	0	
SLV_SIS_022			Linear Static	Q3,1	0	
SLV_SIS_022			Linear Static	Q3,2	0	
SLV_SIS_022			Linear Static	Q3,3	0	
SLV_SIS_022			Linear Static	Q3,4	0	
SLV_SIS_022			Linear Static	Q4,1	0	
SLV_SIS_022			Linear Static	Q4,2	0	
SLV_SIS_022			Linear Static	Q4,3	0	
SLV_SIS_022			Linear Static	Q4,4	0	
SLV_SIS_022			Linear Static	Q5u	0.6	
SLV_SIS_022			Linear Static	Q5d	0.6	
SLV_SIS_022			Linear Static	Q6,1	0	
SLV_SIS_022			Linear Static	Q6,2	0	

SLV_SIS_022			Linear Static	Q7	0	
SLV_SIS_022			Linear Static	Q8,1	0	
SLV_SIS_022			Linear Static	Q8,2	0	
SLV_SIS_022			Linear Static	Ex	0.3	
SLV_SIS_022			Linear Static	Ey	0.3	
SLV_SIS_022			Linear Static	Ez	1	
SLV_SIS_023	Linear Add	No	Linear Static	G1	1	None
SLV_SIS_023			Linear Static	G2,1	1	
SLV_SIS_023			Linear Static	G2,2	1	
SLV_SIS_023			Linear Static	G2,3	1	
SLV_SIS_023			Linear Static	G2,4	1	
SLV_SIS_023			Linear Static	G2,5	1	
SLV_SIS_023			Linear Static	Q1,1	0	
SLV_SIS_023			Linear Static	Q1,2	0	
SLV_SIS_023			Linear Static	Q1,3	0	
SLV_SIS_023			Linear Static	Q1,4	0	
SLV_SIS_023			Linear Static	Q2,1	0	
SLV_SIS_023			Linear Static	Q2,2	0	
SLV_SIS_023			Linear Static	Q3,1	0	
SLV_SIS_023			Linear Static	Q3,2	0	
SLV_SIS_023			Linear Static	Q3,3	0.2	
SLV_SIS_023			Linear Static	Q3,4	0.2	
SLV_SIS_023			Linear Static	Q4,1	0	
SLV_SIS_023			Linear Static	Q4,2	0	
SLV_SIS_023			Linear Static	Q4,3	0	
SLV_SIS_023			Linear Static	Q4,4	0	
SLV_SIS_023			Linear Static	Q5u	-0.6	
SLV_SIS_023			Linear Static	Q5d	-0.6	
SLV_SIS_023			Linear Static	Q6,1	0	
SLV_SIS_023			Linear Static	Q6,2	0	
SLV_SIS_023			Linear Static	Q7	0	
SLV_SIS_023			Linear Static	Q8,1	0	
SLV_SIS_023			Linear Static	Q8,2	0	
SLV_SIS_023			Linear Static	Ex	0.3	
SLV_SIS_023			Linear Static	Ey	0.3	
SLV_SIS_023			Linear Static	Ez	1	
SLV_SIS_024	Linear Add	No	Linear Static	G1	1	None
SLV_SIS_024			Linear Static	G2,1	1	
SLV_SIS_024			Linear Static	G2,2	1	
SLV_SIS_024			Linear Static	G2,3	1	
SLV_SIS_024			Linear Static	G2,4	1	
SLV_SIS_024			Linear Static	G2,5	1	
SLV_SIS_024			Linear Static	Q1,1	0	
SLV_SIS_024			Linear Static	Q1,2	0	
SLV_SIS_024			Linear Static	Q1,3	0	
SLV_SIS_024			Linear Static	Q1,4	0	
SLV_SIS_024			Linear Static	Q2,1	0	

SLV_SIS_024			Linear Static	Q2,2	0	
SLV_SIS_024			Linear Static	Q3,1	0	
SLV_SIS_024			Linear Static	Q3,2	0	
SLV_SIS_024			Linear Static	Q3,3	0.2	
SLV_SIS_024			Linear Static	Q3,4	0.2	
SLV_SIS_024			Linear Static	Q4,1	0	
SLV_SIS_024			Linear Static	Q4,2	0	
SLV_SIS_024			Linear Static	Q4,3	0	
SLV_SIS_024			Linear Static	Q4,4	0	
SLV_SIS_024			Linear Static	Q5u	0.6	
SLV_SIS_024			Linear Static	Q5d	0.6	
SLV_SIS_024			Linear Static	Q6,1	0	
SLV_SIS_024			Linear Static	Q6,2	0	
SLV_SIS_024			Linear Static	Q7	0	
SLV_SIS_024			Linear Static	Q8,1	0	
SLV_SIS_024			Linear Static	Q8,2	0	
SLV_SIS_024			Linear Static	Ex	0.3	
SLV_SIS_024			Linear Static	Ey	0.3	
SLV_SIS_024			Linear Static	Ez	1	
SLV_SIS_025	Linear Add	No	Linear Static	G1	1	None
SLV_SIS_025			Linear Static	G2,1	1	
SLV_SIS_025			Linear Static	G2,2	1	
SLV_SIS_025			Linear Static	G2,3	1	
SLV_SIS_025			Linear Static	G2,4	1	
SLV_SIS_025			Linear Static	G2,5	1	
SLV_SIS_025			Linear Static	Q1,1	0.2	
SLV_SIS_025			Linear Static	Q1,2	0.2	
SLV_SIS_025			Linear Static	Q1,3	0	
SLV_SIS_025			Linear Static	Q1,4	0	
SLV_SIS_025			Linear Static	Q2,1	0	
SLV_SIS_025			Linear Static	Q2,2	0	
SLV_SIS_025			Linear Static	Q3,1	0	
SLV_SIS_025			Linear Static	Q3,2	0	
SLV_SIS_025			Linear Static	Q3,3	0	
SLV_SIS_025			Linear Static	Q3,4	0	
SLV_SIS_025			Linear Static	Q4,1	0	
SLV_SIS_025			Linear Static	Q4,2	0	
SLV_SIS_025			Linear Static	Q4,3	0	
SLV_SIS_025			Linear Static	Q4,4	0	
SLV_SIS_025			Linear Static	Q5u	-0.6	
SLV_SIS_025			Linear Static	Q5d	-0.6	
SLV_SIS_025			Linear Static	Q6,1	0	
SLV_SIS_025			Linear Static	Q6,2	0	
SLV_SIS_025			Linear Static	Q7	0	
SLV_SIS_025			Linear Static	Q8,1	0	
SLV_SIS_025			Linear Static	Q8,2	0	
SLV_SIS_025			Linear Static	Ex	-1	

SLV_SIS_025			Linear Static	Ey	-0.3	
SLV_SIS_025			Linear Static	Ez	0.3	
SLV_SIS_026	Linear Add	No	Linear Static	G1	1	None
SLV_SIS_026			Linear Static	G2,1	1	
SLV_SIS_026			Linear Static	G2,2	1	
SLV_SIS_026			Linear Static	G2,3	1	
SLV_SIS_026			Linear Static	G2,4	1	
SLV_SIS_026			Linear Static	G2,5	1	
SLV_SIS_026			Linear Static	Q1,1	0.2	
SLV_SIS_026			Linear Static	Q1,2	0.2	
SLV_SIS_026			Linear Static	Q1,3	0	
SLV_SIS_026			Linear Static	Q1,4	0	
SLV_SIS_026			Linear Static	Q2,1	0	
SLV_SIS_026			Linear Static	Q2,2	0	
SLV_SIS_026			Linear Static	Q3,1	0	
SLV_SIS_026			Linear Static	Q3,2	0	
SLV_SIS_026			Linear Static	Q3,3	0	
SLV_SIS_026			Linear Static	Q3,4	0	
SLV_SIS_026			Linear Static	Q4,1	0	
SLV_SIS_026			Linear Static	Q4,2	0	
SLV_SIS_026			Linear Static	Q4,3	0	
SLV_SIS_026			Linear Static	Q4,4	0	
SLV_SIS_026			Linear Static	Q5u	0.6	
SLV_SIS_026			Linear Static	Q5d	0.6	
SLV_SIS_026			Linear Static	Q6,1	0	
SLV_SIS_026			Linear Static	Q6,2	0	
SLV_SIS_026			Linear Static	Q7	0	
SLV_SIS_026			Linear Static	Q8,1	0	
SLV_SIS_026			Linear Static	Q8,2	0	
SLV_SIS_026			Linear Static	Ex	-1	
SLV_SIS_026			Linear Static	Ey	-0.3	
SLV_SIS_026			Linear Static	Ez	0.3	
SLV_SIS_027	Linear Add	No	Linear Static	G1	1	None
SLV_SIS_027			Linear Static	G2,1	1	
SLV_SIS_027			Linear Static	G2,2	1	
SLV_SIS_027			Linear Static	G2,3	1	
SLV_SIS_027			Linear Static	G2,4	1	
SLV_SIS_027			Linear Static	G2,5	1	
SLV_SIS_027			Linear Static	Q1,1	0	
SLV_SIS_027			Linear Static	Q1,2	0	
SLV_SIS_027			Linear Static	Q1,3	0	
SLV_SIS_027			Linear Static	Q1,4	0	
SLV_SIS_027			Linear Static	Q2,1	0	
SLV_SIS_027			Linear Static	Q2,2	0	
SLV_SIS_027			Linear Static	Q3,1	0.2	
SLV_SIS_027			Linear Static	Q3,2	0.2	
SLV_SIS_027			Linear Static	Q3,3	0	

SLV_SIS_027			Linear Static	Q3,4	0	
SLV_SIS_027			Linear Static	Q4,1	0	
SLV_SIS_027			Linear Static	Q4,2	0	
SLV_SIS_027			Linear Static	Q4,3	0	
SLV_SIS_027			Linear Static	Q4,4	0	
SLV_SIS_027			Linear Static	Q5u	-0.6	
SLV_SIS_027			Linear Static	Q5d	-0.6	
SLV_SIS_027			Linear Static	Q6,1	0	
SLV_SIS_027			Linear Static	Q6,2	0	
SLV_SIS_027			Linear Static	Q7	0	
SLV_SIS_027			Linear Static	Q8,1	0	
SLV_SIS_027			Linear Static	Q8,2	0	
SLV_SIS_027			Linear Static	Ex	-1	
SLV_SIS_027			Linear Static	Ey	-0.3	
SLV_SIS_027			Linear Static	Ez	0.3	
SLV_SIS_028	Linear Add	No	Linear Static	G1	1	None
SLV_SIS_028			Linear Static	G2,1	1	
SLV_SIS_028			Linear Static	G2,2	1	
SLV_SIS_028			Linear Static	G2,3	1	
SLV_SIS_028			Linear Static	G2,4	1	
SLV_SIS_028			Linear Static	G2,5	1	
SLV_SIS_028			Linear Static	Q1,1	0	
SLV_SIS_028			Linear Static	Q1,2	0	
SLV_SIS_028			Linear Static	Q1,3	0	
SLV_SIS_028			Linear Static	Q1,4	0	
SLV_SIS_028			Linear Static	Q2,1	0	
SLV_SIS_028			Linear Static	Q2,2	0	
SLV_SIS_028			Linear Static	Q3,1	0.2	
SLV_SIS_028			Linear Static	Q3,2	0.2	
SLV_SIS_028			Linear Static	Q3,3	0	
SLV_SIS_028			Linear Static	Q3,4	0	
SLV_SIS_028			Linear Static	Q4,1	0	
SLV_SIS_028			Linear Static	Q4,2	0	
SLV_SIS_028			Linear Static	Q4,3	0	
SLV_SIS_028			Linear Static	Q4,4	0	
SLV_SIS_028			Linear Static	Q5u	0.6	
SLV_SIS_028			Linear Static	Q5d	0.6	
SLV_SIS_028			Linear Static	Q6,1	0	
SLV_SIS_028			Linear Static	Q6,2	0	
SLV_SIS_028			Linear Static	Q7	0	
SLV_SIS_028			Linear Static	Q8,1	0	
SLV_SIS_028			Linear Static	Q8,2	0	
SLV_SIS_028			Linear Static	Ex	-1	
SLV_SIS_028			Linear Static	Ey	-0.3	
SLV_SIS_028			Linear Static	Ez	0.3	
SLV_SIS_029	Linear Add	No	Linear Static	G1	1	None
SLV_SIS_029			Linear Static	G2,1	1	

SLV_SIS_029			Linear Static	G2,2	1	
SLV_SIS_029			Linear Static	G2,3	1	
SLV_SIS_029			Linear Static	G2,4	1	
SLV_SIS_029			Linear Static	G2,5	1	
SLV_SIS_029			Linear Static	Q1,1	0	
SLV_SIS_029			Linear Static	Q1,2	0	
SLV_SIS_029			Linear Static	Q1,3	0.2	
SLV_SIS_029			Linear Static	Q1,4	0.2	
SLV_SIS_029			Linear Static	Q2,1	0	
SLV_SIS_029			Linear Static	Q2,2	0	
SLV_SIS_029			Linear Static	Q3,1	0	
SLV_SIS_029			Linear Static	Q3,2	0	
SLV_SIS_029			Linear Static	Q3,3	0	
SLV_SIS_029			Linear Static	Q3,4	0	
SLV_SIS_029			Linear Static	Q4,1	0	
SLV_SIS_029			Linear Static	Q4,2	0	
SLV_SIS_029			Linear Static	Q4,3	0	
SLV_SIS_029			Linear Static	Q4,4	0	
SLV_SIS_029			Linear Static	Q5u	-0.6	
SLV_SIS_029			Linear Static	Q5d	-0.6	
SLV_SIS_029			Linear Static	Q6,1	0	
SLV_SIS_029			Linear Static	Q6,2	0	
SLV_SIS_029			Linear Static	Q7	0	
SLV_SIS_029			Linear Static	Q8,1	0	
SLV_SIS_029			Linear Static	Q8,2	0	
SLV_SIS_029			Linear Static	Ex	-1	
SLV_SIS_029			Linear Static	Ey	-0.3	
SLV_SIS_029			Linear Static	Ez	0.3	
SLV_SIS_030	Linear Add	No	Linear Static	G1	1	None
SLV_SIS_030			Linear Static	G2,1	1	
SLV_SIS_030			Linear Static	G2,2	1	
SLV_SIS_030			Linear Static	G2,3	1	
SLV_SIS_030			Linear Static	G2,4	1	
SLV_SIS_030			Linear Static	G2,5	1	
SLV_SIS_030			Linear Static	Q1,1	0	
SLV_SIS_030			Linear Static	Q1,2	0	
SLV_SIS_030			Linear Static	Q1,3	0.2	
SLV_SIS_030			Linear Static	Q1,4	0.2	
SLV_SIS_030			Linear Static	Q2,1	0	
SLV_SIS_030			Linear Static	Q2,2	0	
SLV_SIS_030			Linear Static	Q3,1	0	
SLV_SIS_030			Linear Static	Q3,2	0	
SLV_SIS_030			Linear Static	Q3,3	0	
SLV_SIS_030			Linear Static	Q3,4	0	
SLV_SIS_030			Linear Static	Q4,1	0	
SLV_SIS_030			Linear Static	Q4,2	0	
SLV_SIS_030			Linear Static	Q4,3	0	

SLV_SIS_030			Linear Static	Q4,4	0	
SLV_SIS_030			Linear Static	Q5u	0.6	
SLV_SIS_030			Linear Static	Q5d	0.6	
SLV_SIS_030			Linear Static	Q6,1	0	
SLV_SIS_030			Linear Static	Q6,2	0	
SLV_SIS_030			Linear Static	Q7	0	
SLV_SIS_030			Linear Static	Q8,1	0	
SLV_SIS_030			Linear Static	Q8,2	0	
SLV_SIS_030			Linear Static	Ex	-1	
SLV_SIS_030			Linear Static	Ey	-0.3	
SLV_SIS_030			Linear Static	Ez	0.3	
SLV_SIS_031	Linear Add	No	Linear Static	G1	1	None
SLV_SIS_031			Linear Static	G2,1	1	
SLV_SIS_031			Linear Static	G2,2	1	
SLV_SIS_031			Linear Static	G2,3	1	
SLV_SIS_031			Linear Static	G2,4	1	
SLV_SIS_031			Linear Static	G2,5	1	
SLV_SIS_031			Linear Static	Q1,1	0	
SLV_SIS_031			Linear Static	Q1,2	0	
SLV_SIS_031			Linear Static	Q1,3	0	
SLV_SIS_031			Linear Static	Q1,4	0	
SLV_SIS_031			Linear Static	Q2,1	0	
SLV_SIS_031			Linear Static	Q2,2	0	
SLV_SIS_031			Linear Static	Q3,1	0	
SLV_SIS_031			Linear Static	Q3,2	0	
SLV_SIS_031			Linear Static	Q3,3	0.2	
SLV_SIS_031			Linear Static	Q3,4	0.2	
SLV_SIS_031			Linear Static	Q4,1	0	
SLV_SIS_031			Linear Static	Q4,2	0	
SLV_SIS_031			Linear Static	Q4,3	0	
SLV_SIS_031			Linear Static	Q4,4	0	
SLV_SIS_031			Linear Static	Q5u	-0.6	
SLV_SIS_031			Linear Static	Q5d	-0.6	
SLV_SIS_031			Linear Static	Q6,1	0	
SLV_SIS_031			Linear Static	Q6,2	0	
SLV_SIS_031			Linear Static	Q7	0	
SLV_SIS_031			Linear Static	Q8,1	0	
SLV_SIS_031			Linear Static	Q8,2	0	
SLV_SIS_031			Linear Static	Ex	-1	
SLV_SIS_031			Linear Static	Ey	-0.3	
SLV_SIS_031			Linear Static	Ez	0.3	
SLV_SIS_032	Linear Add	No	Linear Static	G1	1	None
SLV_SIS_032			Linear Static	G2,1	1	
SLV_SIS_032			Linear Static	G2,2	1	
SLV_SIS_032			Linear Static	G2,3	1	
SLV_SIS_032			Linear Static	G2,4	1	
SLV_SIS_032			Linear Static	G2,5	1	

SLV_SIS_032			Linear Static	Q1,1	0	
SLV_SIS_032			Linear Static	Q1,2	0	
SLV_SIS_032			Linear Static	Q1,3	0	
SLV_SIS_032			Linear Static	Q1,4	0	
SLV_SIS_032			Linear Static	Q2,1	0	
SLV_SIS_032			Linear Static	Q2,2	0	
SLV_SIS_032			Linear Static	Q3,1	0	
SLV_SIS_032			Linear Static	Q3,2	0	
SLV_SIS_032			Linear Static	Q3,3	0.2	
SLV_SIS_032			Linear Static	Q3,4	0.2	
SLV_SIS_032			Linear Static	Q4,1	0	
SLV_SIS_032			Linear Static	Q4,2	0	
SLV_SIS_032			Linear Static	Q4,3	0	
SLV_SIS_032			Linear Static	Q4,4	0	
SLV_SIS_032			Linear Static	Q5u	0.6	
SLV_SIS_032			Linear Static	Q5d	0.6	
SLV_SIS_032			Linear Static	Q6,1	0	
SLV_SIS_032			Linear Static	Q6,2	0	
SLV_SIS_032			Linear Static	Q7	0	
SLV_SIS_032			Linear Static	Q8,1	0	
SLV_SIS_032			Linear Static	Q8,2	0	
SLV_SIS_032			Linear Static	Ex	-1	
SLV_SIS_032			Linear Static	Ey	-0.3	
SLV_SIS_032			Linear Static	Ez	0.3	
SLV_SIS_033	Linear Add	No	Linear Static	G1	1	None
SLV_SIS_033			Linear Static	G2,1	1	
SLV_SIS_033			Linear Static	G2,2	1	
SLV_SIS_033			Linear Static	G2,3	1	
SLV_SIS_033			Linear Static	G2,4	1	
SLV_SIS_033			Linear Static	G2,5	1	
SLV_SIS_033			Linear Static	Q1,1	0.2	
SLV_SIS_033			Linear Static	Q1,2	0.2	
SLV_SIS_033			Linear Static	Q1,3	0	
SLV_SIS_033			Linear Static	Q1,4	0	
SLV_SIS_033			Linear Static	Q2,1	0	
SLV_SIS_033			Linear Static	Q2,2	0	
SLV_SIS_033			Linear Static	Q3,1	0	
SLV_SIS_033			Linear Static	Q3,2	0	
SLV_SIS_033			Linear Static	Q3,3	0	
SLV_SIS_033			Linear Static	Q3,4	0	
SLV_SIS_033			Linear Static	Q4,1	0	
SLV_SIS_033			Linear Static	Q4,2	0	
SLV_SIS_033			Linear Static	Q4,3	0	
SLV_SIS_033			Linear Static	Q4,4	0	
SLV_SIS_033			Linear Static	Q5u	-0.6	
SLV_SIS_033			Linear Static	Q5d	-0.6	
SLV_SIS_033			Linear Static	Q6,1	0	

SLV_SIS_033			Linear Static	Q6,2	0	
SLV_SIS_033			Linear Static	Q7	0	
SLV_SIS_033			Linear Static	Q8,1	0	
SLV_SIS_033			Linear Static	Q8,2	0	
SLV_SIS_033			Linear Static	Ex	-0.3	
SLV_SIS_033			Linear Static	Ey	-1	
SLV_SIS_033			Linear Static	Ez	0.3	
SLV_SIS_034	Linear Add	No	Linear Static	G1	1	None
SLV_SIS_034			Linear Static	G2,1	1	
SLV_SIS_034			Linear Static	G2,2	1	
SLV_SIS_034			Linear Static	G2,3	1	
SLV_SIS_034			Linear Static	G2,4	1	
SLV_SIS_034			Linear Static	G2,5	1	
SLV_SIS_034			Linear Static	Q1,1	0.2	
SLV_SIS_034			Linear Static	Q1,2	0.2	
SLV_SIS_034			Linear Static	Q1,3	0	
SLV_SIS_034			Linear Static	Q1,4	0	
SLV_SIS_034			Linear Static	Q2,1	0	
SLV_SIS_034			Linear Static	Q2,2	0	
SLV_SIS_034			Linear Static	Q3,1	0	
SLV_SIS_034			Linear Static	Q3,2	0	
SLV_SIS_034			Linear Static	Q3,3	0	
SLV_SIS_034			Linear Static	Q3,4	0	
SLV_SIS_034			Linear Static	Q4,1	0	
SLV_SIS_034			Linear Static	Q4,2	0	
SLV_SIS_034			Linear Static	Q4,3	0	
SLV_SIS_034			Linear Static	Q4,4	0	
SLV_SIS_034			Linear Static	Q5u	0.6	
SLV_SIS_034			Linear Static	Q5d	0.6	
SLV_SIS_034			Linear Static	Q6,1	0	
SLV_SIS_034			Linear Static	Q6,2	0	
SLV_SIS_034			Linear Static	Q7	0	
SLV_SIS_034			Linear Static	Q8,1	0	
SLV_SIS_034			Linear Static	Q8,2	0	
SLV_SIS_034			Linear Static	Ex	-0.3	
SLV_SIS_034			Linear Static	Ey	-1	
SLV_SIS_034			Linear Static	Ez	0.3	
SLV_SIS_035	Linear Add	No	Linear Static	G1	1	None
SLV_SIS_035			Linear Static	G2,1	1	
SLV_SIS_035			Linear Static	G2,2	1	
SLV_SIS_035			Linear Static	G2,3	1	
SLV_SIS_035			Linear Static	G2,4	1	
SLV_SIS_035			Linear Static	G2,5	1	
SLV_SIS_035			Linear Static	Q1,1	0	
SLV_SIS_035			Linear Static	Q1,2	0	
SLV_SIS_035			Linear Static	Q1,3	0	
SLV_SIS_035			Linear Static	Q1,4	0	

SLV_SIS_035			Linear Static	Q2,1	0	
SLV_SIS_035			Linear Static	Q2,2	0	
SLV_SIS_035			Linear Static	Q3,1	0.2	
SLV_SIS_035			Linear Static	Q3,2	0.2	
SLV_SIS_035			Linear Static	Q3,3	0	
SLV_SIS_035			Linear Static	Q3,4	0	
SLV_SIS_035			Linear Static	Q4,1	0	
SLV_SIS_035			Linear Static	Q4,2	0	
SLV_SIS_035			Linear Static	Q4,3	0	
SLV_SIS_035			Linear Static	Q4,4	0	
SLV_SIS_035			Linear Static	Q5u	-0.6	
SLV_SIS_035			Linear Static	Q5d	-0.6	
SLV_SIS_035			Linear Static	Q6,1	0	
SLV_SIS_035			Linear Static	Q6,2	0	
SLV_SIS_035			Linear Static	Q7	0	
SLV_SIS_035			Linear Static	Q8,1	0	
SLV_SIS_035			Linear Static	Q8,2	0	
SLV_SIS_035			Linear Static	Ex	-0.3	
SLV_SIS_035			Linear Static	Ey	-1	
SLV_SIS_035			Linear Static	Ez	0.3	
SLV_SIS_036	Linear Add	No	Linear Static	G1	1	None
SLV_SIS_036			Linear Static	G2,1	1	
SLV_SIS_036			Linear Static	G2,2	1	
SLV_SIS_036			Linear Static	G2,3	1	
SLV_SIS_036			Linear Static	G2,4	1	
SLV_SIS_036			Linear Static	G2,5	1	
SLV_SIS_036			Linear Static	Q1,1	0	
SLV_SIS_036			Linear Static	Q1,2	0	
SLV_SIS_036			Linear Static	Q1,3	0	
SLV_SIS_036			Linear Static	Q1,4	0	
SLV_SIS_036			Linear Static	Q2,1	0	
SLV_SIS_036			Linear Static	Q2,2	0	
SLV_SIS_036			Linear Static	Q3,1	0.2	
SLV_SIS_036			Linear Static	Q3,2	0.2	
SLV_SIS_036			Linear Static	Q3,3	0	
SLV_SIS_036			Linear Static	Q3,4	0	
SLV_SIS_036			Linear Static	Q4,1	0	
SLV_SIS_036			Linear Static	Q4,2	0	
SLV_SIS_036			Linear Static	Q4,3	0	
SLV_SIS_036			Linear Static	Q4,4	0	
SLV_SIS_036			Linear Static	Q5u	0.6	
SLV_SIS_036			Linear Static	Q5d	0.6	
SLV_SIS_036			Linear Static	Q6,1	0	
SLV_SIS_036			Linear Static	Q6,2	0	
SLV_SIS_036			Linear Static	Q7	0	
SLV_SIS_036			Linear Static	Q8,1	0	
SLV_SIS_036			Linear Static	Q8,2	0	

SLV_SIS_036			Linear Static	Ex	-0.3	
SLV_SIS_036			Linear Static	Ey	-1	
SLV_SIS_036			Linear Static	Ez	0.3	
SLV_SIS_037	Linear Add	No	Linear Static	G1	1	None
SLV_SIS_037			Linear Static	G2,1	1	
SLV_SIS_037			Linear Static	G2,2	1	
SLV_SIS_037			Linear Static	G2,3	1	
SLV_SIS_037			Linear Static	G2,4	1	
SLV_SIS_037			Linear Static	G2,5	1	
SLV_SIS_037			Linear Static	Q1,1	0	
SLV_SIS_037			Linear Static	Q1,2	0	
SLV_SIS_037			Linear Static	Q1,3	0.2	
SLV_SIS_037			Linear Static	Q1,4	0.2	
SLV_SIS_037			Linear Static	Q2,1	0	
SLV_SIS_037			Linear Static	Q2,2	0	
SLV_SIS_037			Linear Static	Q3,1	0	
SLV_SIS_037			Linear Static	Q3,2	0	
SLV_SIS_037			Linear Static	Q3,3	0	
SLV_SIS_037			Linear Static	Q3,4	0	
SLV_SIS_037			Linear Static	Q4,1	0	
SLV_SIS_037			Linear Static	Q4,2	0	
SLV_SIS_037			Linear Static	Q4,3	0	
SLV_SIS_037			Linear Static	Q4,4	0	
SLV_SIS_037			Linear Static	Q5u	-0.6	
SLV_SIS_037			Linear Static	Q5d	-0.6	
SLV_SIS_037			Linear Static	Q6,1	0	
SLV_SIS_037			Linear Static	Q6,2	0	
SLV_SIS_037			Linear Static	Q7	0	
SLV_SIS_037			Linear Static	Q8,1	0	
SLV_SIS_037			Linear Static	Q8,2	0	
SLV_SIS_037			Linear Static	Ex	-0.3	
SLV_SIS_037			Linear Static	Ey	-1	
SLV_SIS_037			Linear Static	Ez	0.3	
SLV_SIS_038	Linear Add	No	Linear Static	G1	1	None
SLV_SIS_038			Linear Static	G2,1	1	
SLV_SIS_038			Linear Static	G2,2	1	
SLV_SIS_038			Linear Static	G2,3	1	
SLV_SIS_038			Linear Static	G2,4	1	
SLV_SIS_038			Linear Static	G2,5	1	
SLV_SIS_038			Linear Static	Q1,1	0	
SLV_SIS_038			Linear Static	Q1,2	0	
SLV_SIS_038			Linear Static	Q1,3	0.2	
SLV_SIS_038			Linear Static	Q1,4	0.2	
SLV_SIS_038			Linear Static	Q2,1	0	
SLV_SIS_038			Linear Static	Q2,2	0	
SLV_SIS_038			Linear Static	Q3,1	0	
SLV_SIS_038			Linear Static	Q3,2	0	

SLV_SIS_038			Linear Static	Q3,3	0	
SLV_SIS_038			Linear Static	Q3,4	0	
SLV_SIS_038			Linear Static	Q4,1	0	
SLV_SIS_038			Linear Static	Q4,2	0	
SLV_SIS_038			Linear Static	Q4,3	0	
SLV_SIS_038			Linear Static	Q4,4	0	
SLV_SIS_038			Linear Static	Q5u	0.6	
SLV_SIS_038			Linear Static	Q5d	0.6	
SLV_SIS_038			Linear Static	Q6,1	0	
SLV_SIS_038			Linear Static	Q6,2	0	
SLV_SIS_038			Linear Static	Q7	0	
SLV_SIS_038			Linear Static	Q8,1	0	
SLV_SIS_038			Linear Static	Q8,2	0	
SLV_SIS_038			Linear Static	Ex	-0.3	
SLV_SIS_038			Linear Static	Ey	-1	
SLV_SIS_038			Linear Static	Ez	0.3	
SLV_SIS_039	Linear Add	No	Linear Static	G1	1	None
SLV_SIS_039			Linear Static	G2,1	1	
SLV_SIS_039			Linear Static	G2,2	1	
SLV_SIS_039			Linear Static	G2,3	1	
SLV_SIS_039			Linear Static	G2,4	1	
SLV_SIS_039			Linear Static	G2,5	1	
SLV_SIS_039			Linear Static	Q1,1	0	
SLV_SIS_039			Linear Static	Q1,2	0	
SLV_SIS_039			Linear Static	Q1,3	0	
SLV_SIS_039			Linear Static	Q1,4	0	
SLV_SIS_039			Linear Static	Q2,1	0	
SLV_SIS_039			Linear Static	Q2,2	0	
SLV_SIS_039			Linear Static	Q3,1	0	
SLV_SIS_039			Linear Static	Q3,2	0	
SLV_SIS_039			Linear Static	Q3,3	0.2	
SLV_SIS_039			Linear Static	Q3,4	0.2	
SLV_SIS_039			Linear Static	Q4,1	0	
SLV_SIS_039			Linear Static	Q4,2	0	
SLV_SIS_039			Linear Static	Q4,3	0	
SLV_SIS_039			Linear Static	Q4,4	0	
SLV_SIS_039			Linear Static	Q5u	-0.6	
SLV_SIS_039			Linear Static	Q5d	-0.6	
SLV_SIS_039			Linear Static	Q6,1	0	
SLV_SIS_039			Linear Static	Q6,2	0	
SLV_SIS_039			Linear Static	Q7	0	
SLV_SIS_039			Linear Static	Q8,1	0	
SLV_SIS_039			Linear Static	Q8,2	0	
SLV_SIS_039			Linear Static	Ex	-0.3	
SLV_SIS_039			Linear Static	Ey	-1	
SLV_SIS_039			Linear Static	Ez	0.3	
SLV_SIS_040	Linear Add	No	Linear Static	G1	1	None

SLV_SIS_040			Linear Static	G2,1	1	
SLV_SIS_040			Linear Static	G2,2	1	
SLV_SIS_040			Linear Static	G2,3	1	
SLV_SIS_040			Linear Static	G2,4	1	
SLV_SIS_040			Linear Static	G2,5	1	
SLV_SIS_040			Linear Static	Q1,1	0	
SLV_SIS_040			Linear Static	Q1,2	0	
SLV_SIS_040			Linear Static	Q1,3	0	
SLV_SIS_040			Linear Static	Q1,4	0	
SLV_SIS_040			Linear Static	Q2,1	0	
SLV_SIS_040			Linear Static	Q2,2	0	
SLV_SIS_040			Linear Static	Q3,1	0	
SLV_SIS_040			Linear Static	Q3,2	0	
SLV_SIS_040			Linear Static	Q3,3	0.2	
SLV_SIS_040			Linear Static	Q3,4	0.2	
SLV_SIS_040			Linear Static	Q4,1	0	
SLV_SIS_040			Linear Static	Q4,2	0	
SLV_SIS_040			Linear Static	Q4,3	0	
SLV_SIS_040			Linear Static	Q4,4	0	
SLV_SIS_040			Linear Static	Q5u	0.6	
SLV_SIS_040			Linear Static	Q5d	0.6	
SLV_SIS_040			Linear Static	Q6,1	0	
SLV_SIS_040			Linear Static	Q6,2	0	
SLV_SIS_040			Linear Static	Q7	0	
SLV_SIS_040			Linear Static	Q8,1	0	
SLV_SIS_040			Linear Static	Q8,2	0	
SLV_SIS_040			Linear Static	Ex	-0.3	
SLV_SIS_040			Linear Static	Ey	-1	
SLV_SIS_040			Linear Static	Ez	1	
SLV_SIS_041	Linear Add	No	Linear Static	G1	1	None
SLV_SIS_041			Linear Static	G2,1	1	
SLV_SIS_041			Linear Static	G2,2	1	
SLV_SIS_041			Linear Static	G2,3	1	
SLV_SIS_041			Linear Static	G2,4	1	
SLV_SIS_041			Linear Static	G2,5	1	
SLV_SIS_041			Linear Static	Q1,1	0.2	
SLV_SIS_041			Linear Static	Q1,2	0.2	
SLV_SIS_041			Linear Static	Q1,3	0	
SLV_SIS_041			Linear Static	Q1,4	0	
SLV_SIS_041			Linear Static	Q2,1	0	
SLV_SIS_041			Linear Static	Q2,2	0	
SLV_SIS_041			Linear Static	Q3,1	0	
SLV_SIS_041			Linear Static	Q3,2	0	
SLV_SIS_041			Linear Static	Q3,3	0	
SLV_SIS_041			Linear Static	Q3,4	0	
SLV_SIS_041			Linear Static	Q4,1	0	
SLV_SIS_041			Linear Static	Q4,2	0	

SLV_SIS_041			Linear Static	Q4,3	0	
SLV_SIS_041			Linear Static	Q4,4	0	
SLV_SIS_041			Linear Static	Q5u	-0.6	
SLV_SIS_041			Linear Static	Q5d	-0.6	
SLV_SIS_041			Linear Static	Q6,1	0	
SLV_SIS_041			Linear Static	Q6,2	0	
SLV_SIS_041			Linear Static	Q7	0	
SLV_SIS_041			Linear Static	Q8,1	0	
SLV_SIS_041			Linear Static	Q8,2	0	
SLV_SIS_041			Linear Static	Ex	-0.3	
SLV_SIS_041			Linear Static	Ey	-0.3	
SLV_SIS_041			Linear Static	Ez	1	
SLV_SIS_042	Linear Add	No	Linear Static	G1	1	None
SLV_SIS_042			Linear Static	G2,1	1	
SLV_SIS_042			Linear Static	G2,2	1	
SLV_SIS_042			Linear Static	G2,3	1	
SLV_SIS_042			Linear Static	G2,4	1	
SLV_SIS_042			Linear Static	G2,5	1	
SLV_SIS_042			Linear Static	Q1,1	0.2	
SLV_SIS_042			Linear Static	Q1,2	0.2	
SLV_SIS_042			Linear Static	Q1,3	0	
SLV_SIS_042			Linear Static	Q1,4	0	
SLV_SIS_042			Linear Static	Q2,1	0	
SLV_SIS_042			Linear Static	Q2,2	0	
SLV_SIS_042			Linear Static	Q3,1	0	
SLV_SIS_042			Linear Static	Q3,2	0	
SLV_SIS_042			Linear Static	Q3,3	0	
SLV_SIS_042			Linear Static	Q3,4	0	
SLV_SIS_042			Linear Static	Q4,1	0	
SLV_SIS_042			Linear Static	Q4,2	0	
SLV_SIS_042			Linear Static	Q4,3	0	
SLV_SIS_042			Linear Static	Q4,4	0	
SLV_SIS_042			Linear Static	Q5u	0.6	
SLV_SIS_042			Linear Static	Q5d	0.6	
SLV_SIS_042			Linear Static	Q6,1	0	
SLV_SIS_042			Linear Static	Q6,2	0	
SLV_SIS_042			Linear Static	Q7	0	
SLV_SIS_042			Linear Static	Q8,1	0	
SLV_SIS_042			Linear Static	Q8,2	0	
SLV_SIS_042			Linear Static	Ex	-0.3	
SLV_SIS_042			Linear Static	Ey	-0.3	
SLV_SIS_042			Linear Static	Ez	1	
SLV_SIS_043	Linear Add	No	Linear Static	G1	1	None
SLV_SIS_043			Linear Static	G2,1	1	
SLV_SIS_043			Linear Static	G2,2	1	
SLV_SIS_043			Linear Static	G2,3	1	
SLV_SIS_043			Linear Static	G2,4	1	

SLV_SIS_043			Linear Static	G2,5	1	
SLV_SIS_043			Linear Static	Q1,1	0	
SLV_SIS_043			Linear Static	Q1,2	0	
SLV_SIS_043			Linear Static	Q1,3	0	
SLV_SIS_043			Linear Static	Q1,4	0	
SLV_SIS_043			Linear Static	Q2,1	0	
SLV_SIS_043			Linear Static	Q2,2	0	
SLV_SIS_043			Linear Static	Q3,1	0.2	
SLV_SIS_043			Linear Static	Q3,2	0.2	
SLV_SIS_043			Linear Static	Q3,3	0	
SLV_SIS_043			Linear Static	Q3,4	0	
SLV_SIS_043			Linear Static	Q4,1	0	
SLV_SIS_043			Linear Static	Q4,2	0	
SLV_SIS_043			Linear Static	Q4,3	0	
SLV_SIS_043			Linear Static	Q4,4	0	
SLV_SIS_043			Linear Static	Q5u	-0.6	
SLV_SIS_043			Linear Static	Q5d	-0.6	
SLV_SIS_043			Linear Static	Q6,1	0	
SLV_SIS_043			Linear Static	Q6,2	0	
SLV_SIS_043			Linear Static	Q7	0	
SLV_SIS_043			Linear Static	Q8,1	0	
SLV_SIS_043			Linear Static	Q8,2	0	
SLV_SIS_043			Linear Static	Ex	-0.3	
SLV_SIS_043			Linear Static	Ey	-0.3	
SLV_SIS_043			Linear Static	Ez	1	
SLV_SIS_044	Linear Add	No	Linear Static	G1	1	None
SLV_SIS_044			Linear Static	G2,1	1	
SLV_SIS_044			Linear Static	G2,2	1	
SLV_SIS_044			Linear Static	G2,3	1	
SLV_SIS_044			Linear Static	G2,4	1	
SLV_SIS_044			Linear Static	G2,5	1	
SLV_SIS_044			Linear Static	Q1,1	0	
SLV_SIS_044			Linear Static	Q1,2	0	
SLV_SIS_044			Linear Static	Q1,3	0	
SLV_SIS_044			Linear Static	Q1,4	0	
SLV_SIS_044			Linear Static	Q2,1	0	
SLV_SIS_044			Linear Static	Q2,2	0	
SLV_SIS_044			Linear Static	Q3,1	0.2	
SLV_SIS_044			Linear Static	Q3,2	0.2	
SLV_SIS_044			Linear Static	Q3,3	0	
SLV_SIS_044			Linear Static	Q3,4	0	
SLV_SIS_044			Linear Static	Q4,1	0	
SLV_SIS_044			Linear Static	Q4,2	0	
SLV_SIS_044			Linear Static	Q4,3	0	
SLV_SIS_044			Linear Static	Q4,4	0	
SLV_SIS_044			Linear Static	Q5u	0.6	
SLV_SIS_044			Linear Static	Q5d	0.6	

SLV_SIS_044			Linear Static	Q6,1	0	
SLV_SIS_044			Linear Static	Q6,2	0	
SLV_SIS_044			Linear Static	Q7	0	
SLV_SIS_044			Linear Static	Q8,1	0	
SLV_SIS_044			Linear Static	Q8,2	0	
SLV_SIS_044			Linear Static	Ex	-0.3	
SLV_SIS_044			Linear Static	Ey	-0.3	
SLV_SIS_044			Linear Static	Ez	1	
SLV_SIS_045	Linear Add	No	Linear Static	G1	1	None
SLV_SIS_045			Linear Static	G2,1	1	
SLV_SIS_045			Linear Static	G2,2	1	
SLV_SIS_045			Linear Static	G2,3	1	
SLV_SIS_045			Linear Static	G2,4	1	
SLV_SIS_045			Linear Static	G2,5	1	
SLV_SIS_045			Linear Static	Q1,1	0	
SLV_SIS_045			Linear Static	Q1,2	0	
SLV_SIS_045			Linear Static	Q1,3	0.2	
SLV_SIS_045			Linear Static	Q1,4	0.2	
SLV_SIS_045			Linear Static	Q2,1	0	
SLV_SIS_045			Linear Static	Q2,2	0	
SLV_SIS_045			Linear Static	Q3,1	0	
SLV_SIS_045			Linear Static	Q3,2	0	
SLV_SIS_045			Linear Static	Q3,3	0	
SLV_SIS_045			Linear Static	Q3,4	0	
SLV_SIS_045			Linear Static	Q4,1	0	
SLV_SIS_045			Linear Static	Q4,2	0	
SLV_SIS_045			Linear Static	Q4,3	0	
SLV_SIS_045			Linear Static	Q4,4	0	
SLV_SIS_045			Linear Static	Q5u	-0.6	
SLV_SIS_045			Linear Static	Q5d	-0.6	
SLV_SIS_045			Linear Static	Q6,1	0	
SLV_SIS_045			Linear Static	Q6,2	0	
SLV_SIS_045			Linear Static	Q7	0	
SLV_SIS_045			Linear Static	Q8,1	0	
SLV_SIS_045			Linear Static	Q8,2	0	
SLV_SIS_045			Linear Static	Ex	-0.3	
SLV_SIS_045			Linear Static	Ey	-0.3	
SLV_SIS_045			Linear Static	Ez	1	
SLV_SIS_046	Linear Add	No	Linear Static	G1	1	None
SLV_SIS_046			Linear Static	G2,1	1	
SLV_SIS_046			Linear Static	G2,2	1	
SLV_SIS_046			Linear Static	G2,3	1	
SLV_SIS_046			Linear Static	G2,4	1	
SLV_SIS_046			Linear Static	G2,5	1	
SLV_SIS_046			Linear Static	Q1,1	0	
SLV_SIS_046			Linear Static	Q1,2	0	
SLV_SIS_046			Linear Static	Q1,3	0.2	

SLV_SIS_046			Linear Static	Q1,4	0.2	
SLV_SIS_046			Linear Static	Q2,1	0	
SLV_SIS_046			Linear Static	Q2,2	0	
SLV_SIS_046			Linear Static	Q3,1	0	
SLV_SIS_046			Linear Static	Q3,2	0	
SLV_SIS_046			Linear Static	Q3,3	0	
SLV_SIS_046			Linear Static	Q3,4	0	
SLV_SIS_046			Linear Static	Q4,1	0	
SLV_SIS_046			Linear Static	Q4,2	0	
SLV_SIS_046			Linear Static	Q4,3	0	
SLV_SIS_046			Linear Static	Q4,4	0	
SLV_SIS_046			Linear Static	Q5u	0.6	
SLV_SIS_046			Linear Static	Q5d	0.6	
SLV_SIS_046			Linear Static	Q6,1	0	
SLV_SIS_046			Linear Static	Q6,2	0	
SLV_SIS_046			Linear Static	Q7	0	
SLV_SIS_046			Linear Static	Q8,1	0	
SLV_SIS_046			Linear Static	Q8,2	0	
SLV_SIS_046			Linear Static	Ex	-0.3	
SLV_SIS_046			Linear Static	Ey	-0.3	
SLV_SIS_046			Linear Static	Ez	1	
SLV_SIS_047	Linear Add	No	Linear Static	G1	1	None
SLV_SIS_047			Linear Static	G2,1	1	
SLV_SIS_047			Linear Static	G2,2	1	
SLV_SIS_047			Linear Static	G2,3	1	
SLV_SIS_047			Linear Static	G2,4	1	
SLV_SIS_047			Linear Static	G2,5	1	
SLV_SIS_047			Linear Static	Q1,1	0	
SLV_SIS_047			Linear Static	Q1,2	0	
SLV_SIS_047			Linear Static	Q1,3	0	
SLV_SIS_047			Linear Static	Q1,4	0	
SLV_SIS_047			Linear Static	Q2,1	0	
SLV_SIS_047			Linear Static	Q2,2	0	
SLV_SIS_047			Linear Static	Q3,1	0	
SLV_SIS_047			Linear Static	Q3,2	0	
SLV_SIS_047			Linear Static	Q3,3	0.2	
SLV_SIS_047			Linear Static	Q3,4	0.2	
SLV_SIS_047			Linear Static	Q4,1	0	
SLV_SIS_047			Linear Static	Q4,2	0	
SLV_SIS_047			Linear Static	Q4,3	0	
SLV_SIS_047			Linear Static	Q4,4	0	
SLV_SIS_047			Linear Static	Q5u	-0.6	
SLV_SIS_047			Linear Static	Q5d	-0.6	
SLV_SIS_047			Linear Static	Q6,1	0	
SLV_SIS_047			Linear Static	Q6,2	0	
SLV_SIS_047			Linear Static	Q7	0	
SLV_SIS_047			Linear Static	Q8,1	0	

SLV_SIS_047			Linear Static	Q8,2	0	
SLV_SIS_047			Linear Static	Ex	-0.3	
SLV_SIS_047			Linear Static	Ey	-0.3	
SLV_SIS_047			Linear Static	Ez	1	
SLV_SIS_048	Linear Add	No	Linear Static	G1	1	None
SLV_SIS_048			Linear Static	G2,1	1	
SLV_SIS_048			Linear Static	G2,2	1	
SLV_SIS_048			Linear Static	G2,3	1	
SLV_SIS_048			Linear Static	G2,4	1	
SLV_SIS_048			Linear Static	G2,5	1	
SLV_SIS_048			Linear Static	Q1,1	0	
SLV_SIS_048			Linear Static	Q1,2	0	
SLV_SIS_048			Linear Static	Q1,3	0	
SLV_SIS_048			Linear Static	Q1,4	0	
SLV_SIS_048			Linear Static	Q2,1	0	
SLV_SIS_048			Linear Static	Q2,2	0	
SLV_SIS_048			Linear Static	Q3,1	0	
SLV_SIS_048			Linear Static	Q3,2	0	
SLV_SIS_048			Linear Static	Q3,3	0.2	
SLV_SIS_048			Linear Static	Q3,4	0.2	
SLV_SIS_048			Linear Static	Q4,1	0	
SLV_SIS_048			Linear Static	Q4,2	0	
SLV_SIS_048			Linear Static	Q4,3	0	
SLV_SIS_048			Linear Static	Q4,4	0	
SLV_SIS_048			Linear Static	Q5u	0.6	
SLV_SIS_048			Linear Static	Q5d	0.6	
SLV_SIS_048			Linear Static	Q6,1	0	
SLV_SIS_048			Linear Static	Q6,2	0	
SLV_SIS_048			Linear Static	Q7	0	
SLV_SIS_048			Linear Static	Q8,1	0	
SLV_SIS_048			Linear Static	Q8,2	0	
SLV_SIS_048			Linear Static	Ex	-0.3	
SLV_SIS_048			Linear Static	Ey	-0.3	
SLV_SIS_048			Linear Static	Ez	1	
ENV_SLU	Envelope	No	Response Combo	SLU_STR_001	1	None
ENV_SLU			Response Combo	SLU_STR_002	1	
ENV_SLU			Response Combo	SLU_STR_003	1	
ENV_SLU			Response Combo	SLU_STR_004	1	
ENV_SLU			Response Combo	SLU_STR_005	1	
ENV_SLU			Response Combo	SLU_STR_006	1	
ENV_SLU			Response Combo	SLU_STR_007	1	
ENV_SLU			Response Combo	SLU_STR_008	1	
ENV_SLU			Response Combo	SLU_STR_009	1	
ENV_SLU			Response Combo	SLU_STR_010	1	
ENV_SLU			Response Combo	SLU_STR_011	1	
ENV_SLU			Response Combo	SLU_STR_012	1	
ENV_SLU			Response Combo	SLU_STR_013	1	

ENV_SLU	Response Combo	SLU_STR_014	1
ENV_SLU	Response Combo	SLU_STR_015	1
ENV_SLU	Response Combo	SLU_STR_016	1
ENV_SLU	Response Combo	SLU_STR_017	1
ENV_SLU	Response Combo	SLU_STR_018	1
ENV_SLU	Response Combo	SLU_STR_019	1
ENV_SLU	Response Combo	SLU_STR_020	1
ENV_SLU	Response Combo	SLU_STR_021	1
ENV_SLU	Response Combo	SLU_STR_022	1
ENV_SLU	Response Combo	SLU_STR_023	1
ENV_SLU	Response Combo	SLU_STR_024	1
ENV_SLU	Response Combo	SLU_STR_025	1
ENV_SLU	Response Combo	SLU_STR_026	1
ENV_SLU	Response Combo	SLU_STR_027	1
ENV_SLU	Response Combo	SLU_STR_028	1
ENV_SLU	Response Combo	SLU_STR_029	1
ENV_SLU	Response Combo	SLU_STR_030	1
ENV_SLU	Response Combo	SLU_STR_031	1
ENV_SLU	Response Combo	SLU_STR_032	1
ENV_SLU	Response Combo	SLU_STR_033	1
ENV_SLU	Response Combo	SLU_STR_034	1
ENV_SLU	Response Combo	SLU_STR_035	1
ENV_SLU	Response Combo	SLU_STR_036	1
ENV_SLU	Response Combo	SLU_STR_037	1
ENV_SLU	Response Combo	SLU_STR_038	1
ENV_SLU	Response Combo	SLU_STR_039	1
ENV_SLU	Response Combo	SLU_STR_040	1
ENV_SLU	Response Combo	SLU_STR_041	1
ENV_SLU	Response Combo	SLU_STR_042	1
ENV_SLU	Response Combo	SLU_STR_043	1
ENV_SLU	Response Combo	SLU_STR_044	1
ENV_SLU	Response Combo	SLU_STR_045	1
ENV_SLU	Response Combo	SLU_STR_046	1
ENV_SLU	Response Combo	SLU_STR_047	1
ENV_SLU	Response Combo	SLU_STR_048	1
ENV_SLU	Response Combo	SLU_STR_049	1
ENV_SLU	Response Combo	SLU_STR_050	1
ENV_SLU	Response Combo	SLU_STR_051	1
ENV_SLU	Response Combo	SLU_STR_052	1
ENV_SLU	Response Combo	SLU_STR_053	1
ENV_SLU	Response Combo	SLU_STR_054	1
ENV_SLU	Response Combo	SLU_STR_055	1
ENV_SLU	Response Combo	SLU_STR_056	1
ENV_SLU	Response Combo	SLU_STR_057	1
ENV_SLU	Response Combo	SLU_STR_058	1
ENV_SLU	Response Combo	SLU_STR_059	1
ENV_SLU	Response Combo	SLU_STR_060	1

ENV_SLU			Response Combo	SLU_STR_061	1	
ENV_SLU			Response Combo	SLU_STR_062	1	
ENV_SLU			Response Combo	SLU_STR_063	1	
ENV_SLU			Response Combo	SLU_STR_064	1	
ENV_SLU			Response Combo	SLU_STR_065	1	
ENV_SLU			Response Combo	SLU_STR_066	1	
ENV_SLU			Response Combo	SLU_STR_067	1	
ENV_SLU			Response Combo	SLU_STR_068	1	
ENV_SLU			Response Combo	SLU_STR_069	1	
ENV_SLU			Response Combo	SLU_STR_070	1	
ENV_SLU			Response Combo	SLU_STR_071	1	
ENV_SLU			Response Combo	SLU_STR_072	1	
ENV_SLU			Response Combo	SLU_STR_073	1	
ENV_SLU			Response Combo	SLU_STR_074	1	
ENV_SLU			Response Combo	SLU_STR_075	1	
ENV_SLU			Response Combo	SLU_STR_076	1	
ENV_SLU			Response Combo	SLU_STR_077	1	
ENV_SLU			Response Combo	SLU_STR_078	1	
ENV_SLU			Response Combo	SLU_STR_079	1	
ENV_SLU			Response Combo	SLU_STR_080	1	
ENV_SLU			Response Combo	SLU_STR_081	1	
ENV_SLU			Response Combo	SLU_STR_082	1	
ENV_SLU			Response Combo	SLU_STR_083	1	
ENV_SLU			Response Combo	SLU_STR_084	1	
ENV_SLU			Response Combo	SLU_STR_085	1	
ENV_SLU			Response Combo	SLU_STR_086	1	
ENV_SLU			Response Combo	SLU_STR_087	1	
ENV_SLU			Response Combo	SLU_STR_088	1	
ENV_SLU			Response Combo	SLU_STR_089	1	
ENV_SLU			Response Combo	SLU_STR_090	1	
ENV_SLU			Response Combo	SLU_STR_091	1	
ENV_SLU			Response Combo	SLU_STR_092	1	
ENV_SLU			Response Combo	SLU_STR_093	1	
ENV_SLU			Response Combo	SLU_STR_094	1	
ENV_SLU			Response Combo	SLU_STR_095	1	
ENV_SLU			Response Combo	SLU_STR_096	1	
ENV_SLU			Response Combo	SLU_STR_097	1	
ENV_SLU			Response Combo	SLU_STR_098	1	
ENV_SLU			Response Combo	SLU_STR_099	1	
ENV_SLU			Response Combo	SLU_STR_100	1	
ENV_SLU			Response Combo	SLU_STR_101	1	
ENV_SLU			Response Combo	SLU_STR_102	1	
ENV_SLU			Response Combo	SLU_STR_103	1	
ENV_SLU			Response Combo	SLU_STR_104	1	
ENV_SLU			Response Combo	SLU_STR_105	1	
ENV_SLV	Envelope	No	Response Combo	SLV_SIS_001	1	None
ENV_SLV			Response Combo	SLV_SIS_002	1	

ENV_SLV			Response Combo	SLV_SIS_003	1	
ENV_SLV			Response Combo	SLV_SIS_004	1	
ENV_SLV			Response Combo	SLV_SIS_005	1	
ENV_SLV			Response Combo	SLV_SIS_006	1	
ENV_SLV			Response Combo	SLV_SIS_007	1	
ENV_SLV			Response Combo	SLV_SIS_008	1	
ENV_SLV			Response Combo	SLV_SIS_009	1	
ENV_SLV			Response Combo	SLV_SIS_010	1	
ENV_SLV			Response Combo	SLV_SIS_011	1	
ENV_SLV			Response Combo	SLV_SIS_012	1	
ENV_SLV			Response Combo	SLV_SIS_013	1	
ENV_SLV			Response Combo	SLV_SIS_014	1	
ENV_SLV			Response Combo	SLV_SIS_015	1	
ENV_SLV			Response Combo	SLV_SIS_016	1	
ENV_SLV			Response Combo	SLV_SIS_017	1	
ENV_SLV			Response Combo	SLV_SIS_018	1	
ENV_SLV			Response Combo	SLV_SIS_019	1	
ENV_SLV			Response Combo	SLV_SIS_020	1	
ENV_SLV			Response Combo	SLV_SIS_021	1	
ENV_SLV			Response Combo	SLV_SIS_022	1	
ENV_SLV			Response Combo	SLV_SIS_023	1	
ENV_SLV			Response Combo	SLV_SIS_024	1	
ENV_SLV			Response Combo	SLV_SIS_025	1	
ENV_SLV			Response Combo	SLV_SIS_026	1	
ENV_SLV			Response Combo	SLV_SIS_027	1	
ENV_SLV			Response Combo	SLV_SIS_028	1	
ENV_SLV			Response Combo	SLV_SIS_029	1	
ENV_SLV			Response Combo	SLV_SIS_030	1	
ENV_SLV			Response Combo	SLV_SIS_031	1	
ENV_SLV			Response Combo	SLV_SIS_032	1	
ENV_SLV			Response Combo	SLV_SIS_033	1	
ENV_SLV			Response Combo	SLV_SIS_034	1	
ENV_SLV			Response Combo	SLV_SIS_035	1	
ENV_SLV			Response Combo	SLV_SIS_036	1	
ENV_SLV			Response Combo	SLV_SIS_037	1	
ENV_SLV			Response Combo	SLV_SIS_038	1	
ENV_SLV			Response Combo	SLV_SIS_039	1	
ENV_SLV			Response Combo	SLV_SIS_040	1	
ENV_SLV			Response Combo	SLV_SIS_041	1	
ENV_SLV			Response Combo	SLV_SIS_042	1	
ENV_SLV			Response Combo	SLV_SIS_043	1	
ENV_SLV			Response Combo	SLV_SIS_044	1	
ENV_SLV			Response Combo	SLV_SIS_045	1	
ENV_SLV			Response Combo	SLV_SIS_046	1	
ENV_SLV			Response Combo	SLV_SIS_047	1	
ENV_SLV			Response Combo	SLV_SIS_048	1	
SLE_STR_001	Linear Add	No	Linear Static	G1	1	None

SLE_STR_001			Linear Static	G2,1	1	
SLE_STR_001			Linear Static	G2,2	1	
SLE_STR_001			Linear Static	G2,3	1	
SLE_STR_001			Linear Static	G2,4	1	
SLE_STR_001			Linear Static	G2,5	1	
SLE_STR_001			Linear Static	Q1,1	0	
SLE_STR_001			Linear Static	Q1,2	0	
SLE_STR_001			Linear Static	Q1,3	0	
SLE_STR_001			Linear Static	Q1,4	0	
SLE_STR_001			Linear Static	Q2,1	0	
SLE_STR_001			Linear Static	Q2,2	0	
SLE_STR_001			Linear Static	Q3,1	0	
SLE_STR_001			Linear Static	Q3,2	0	
SLE_STR_001			Linear Static	Q3,3	0	
SLE_STR_001			Linear Static	Q3,4	0	
SLE_STR_001			Linear Static	Q4,1	0	
SLE_STR_001			Linear Static	Q4,2	0	
SLE_STR_001			Linear Static	Q4,3	0	
SLE_STR_001			Linear Static	Q4,4	0	
SLE_STR_001			Linear Static	Q5u	0.6	
SLE_STR_001			Linear Static	Q5d	0.6	
SLE_STR_001			Linear Static	Q6,1	0	
SLE_STR_001			Linear Static	Q6,2	0	
SLE_STR_001			Linear Static	Q7	1	
SLE_STR_001			Linear Static	Q8,1	0	
SLE_STR_001			Linear Static	Q8,2	0	
SLE_STR_001			Linear Static	Ex	0	
SLE_STR_001			Linear Static	Ey	0	
SLE_STR_001			Linear Static	Ez	0	
SLE_STR_002	Linear Add	No	Linear Static	G1	1	None
SLE_STR_002			Linear Static	G2,1	1	
SLE_STR_002			Linear Static	G2,2	1	
SLE_STR_002			Linear Static	G2,3	1	
SLE_STR_002			Linear Static	G2,4	1	
SLE_STR_002			Linear Static	G2,5	1	
SLE_STR_002			Linear Static	Q1,1	0.66	
SLE_STR_002			Linear Static	Q1,2	0.66	
SLE_STR_002			Linear Static	Q1,3	0	
SLE_STR_002			Linear Static	Q1,4	0	
SLE_STR_002			Linear Static	Q2,1	0	
SLE_STR_002			Linear Static	Q2,2	0	
SLE_STR_002			Linear Static	Q3,1	0	
SLE_STR_002			Linear Static	Q3,2	0	
SLE_STR_002			Linear Static	Q3,3	0	
SLE_STR_002			Linear Static	Q3,4	0	
SLE_STR_002			Linear Static	Q4,1	0	
SLE_STR_002			Linear Static	Q4,2	0	

SLE_STR_002			Linear Static	Q4,3	0.66	
SLE_STR_002			Linear Static	Q4,4	0	
SLE_STR_002			Linear Static	Q5u	0.6	
SLE_STR_002			Linear Static	Q5d	0.6	
SLE_STR_002			Linear Static	Q6,1	0	
SLE_STR_002			Linear Static	Q6,2	0	
SLE_STR_002			Linear Static	Q7	1	
SLE_STR_002			Linear Static	Q8,1	0.66	
SLE_STR_002			Linear Static	Q8,2	0	
SLE_STR_002			Linear Static	Ex	0	
SLE_STR_002			Linear Static	Ey	0	
SLE_STR_002			Linear Static	Ez	0	
SLE_STR_003	Linear Add	No	Linear Static	G1	1	None
SLE_STR_003			Linear Static	G2,1	1	
SLE_STR_003			Linear Static	G2,2	1	
SLE_STR_003			Linear Static	G2,3	1	
SLE_STR_003			Linear Static	G2,4	1	
SLE_STR_003			Linear Static	G2,5	1	
SLE_STR_003			Linear Static	Q1,1	0.66	
SLE_STR_003			Linear Static	Q1,2	0	
SLE_STR_003			Linear Static	Q1,3	0	
SLE_STR_003			Linear Static	Q1,4	0.66	
SLE_STR_003			Linear Static	Q2,1	0	
SLE_STR_003			Linear Static	Q2,2	0	
SLE_STR_003			Linear Static	Q3,1	0	
SLE_STR_003			Linear Static	Q3,2	0	
SLE_STR_003			Linear Static	Q3,3	0	
SLE_STR_003			Linear Static	Q3,4	0	
SLE_STR_003			Linear Static	Q4,1	0	
SLE_STR_003			Linear Static	Q4,2	0	
SLE_STR_003			Linear Static	Q4,3	0.33	
SLE_STR_003			Linear Static	Q4,4	0.33	
SLE_STR_003			Linear Static	Q5u	0.6	
SLE_STR_003			Linear Static	Q5d	0.6	
SLE_STR_003			Linear Static	Q6,1	0	
SLE_STR_003			Linear Static	Q6,2	0	
SLE_STR_003			Linear Static	Q7	1	
SLE_STR_003			Linear Static	Q8,1	0.66	
SLE_STR_003			Linear Static	Q8,2	0	
SLE_STR_003			Linear Static	Ex	0	
SLE_STR_003			Linear Static	Ey	0	
SLE_STR_003			Linear Static	Ez	0	
SLE_STR_004	Linear Add	No	Linear Static	G1	1	None
SLE_STR_004			Linear Static	G2,1	1	
SLE_STR_004			Linear Static	G2,2	1	
SLE_STR_004			Linear Static	G2,3	1	
SLE_STR_004			Linear Static	G2,4	1	

SLE_STR_004			Linear Static	G2,5	1	
SLE_STR_004			Linear Static	Q1,1	0	
SLE_STR_004			Linear Static	Q1,2	0	
SLE_STR_004			Linear Static	Q1,3	0.66	
SLE_STR_004			Linear Static	Q1,4	0.66	
SLE_STR_004			Linear Static	Q2,1	0	
SLE_STR_004			Linear Static	Q2,2	0	
SLE_STR_004			Linear Static	Q3,1	0	
SLE_STR_004			Linear Static	Q3,2	0	
SLE_STR_004			Linear Static	Q3,3	0	
SLE_STR_004			Linear Static	Q3,4	0	
SLE_STR_004			Linear Static	Q4,1	0	
SLE_STR_004			Linear Static	Q4,2	0	
SLE_STR_004			Linear Static	Q4,3	0	
SLE_STR_004			Linear Static	Q4,4	0.66	
SLE_STR_004			Linear Static	Q5u	0.6	
SLE_STR_004			Linear Static	Q5d	0.6	
SLE_STR_004			Linear Static	Q6,1	0	
SLE_STR_004			Linear Static	Q6,2	0	
SLE_STR_004			Linear Static	Q7	1	
SLE_STR_004			Linear Static	Q8,1	0.66	
SLE_STR_004			Linear Static	Q8,2	0	
SLE_STR_004			Linear Static	Ex	0	
SLE_STR_004			Linear Static	Ey	0	
SLE_STR_004			Linear Static	Ez	0	
SLE_STR_005	Linear Add	No	Linear Static	G1	1	None
SLE_STR_005			Linear Static	G2,1	1	
SLE_STR_005			Linear Static	G2,2	1	
SLE_STR_005			Linear Static	G2,3	1	
SLE_STR_005			Linear Static	G2,4	1	
SLE_STR_005			Linear Static	G2,5	1	
SLE_STR_005			Linear Static	Q1,1	0	
SLE_STR_005			Linear Static	Q1,2	0.66	
SLE_STR_005			Linear Static	Q1,3	0.66	
SLE_STR_005			Linear Static	Q1,4	0	
SLE_STR_005			Linear Static	Q2,1	0	
SLE_STR_005			Linear Static	Q2,2	0	
SLE_STR_005			Linear Static	Q3,1	0	
SLE_STR_005			Linear Static	Q3,2	0	
SLE_STR_005			Linear Static	Q3,3	0	
SLE_STR_005			Linear Static	Q3,4	0	
SLE_STR_005			Linear Static	Q4,1	0	
SLE_STR_005			Linear Static	Q4,2	0	
SLE_STR_005			Linear Static	Q4,3	0.33	
SLE_STR_005			Linear Static	Q4,4	0.33	
SLE_STR_005			Linear Static	Q5u	0.6	
SLE_STR_005			Linear Static	Q5d	0.6	

SLE_STR_005			Linear Static	Q6,1	0	
SLE_STR_005			Linear Static	Q6,2	0	
SLE_STR_005			Linear Static	Q7	1	
SLE_STR_005			Linear Static	Q8,1	0.66	
SLE_STR_005			Linear Static	Q8,2	0	
SLE_STR_005			Linear Static	Ex	0	
SLE_STR_005			Linear Static	Ey	0	
SLE_STR_005			Linear Static	Ez	0	
SLE_STR_006	Linear Add	No	Linear Static	G1	1	None
SLE_STR_006			Linear Static	G2,1	1	
SLE_STR_006			Linear Static	G2,2	1	
SLE_STR_006			Linear Static	G2,3	1	
SLE_STR_006			Linear Static	G2,4	1	
SLE_STR_006			Linear Static	G2,5	1	
SLE_STR_006			Linear Static	Q1,1	0.66	
SLE_STR_006			Linear Static	Q1,2	0.66	
SLE_STR_006			Linear Static	Q1,3	0	
SLE_STR_006			Linear Static	Q1,4	0	
SLE_STR_006			Linear Static	Q2,1	0	
SLE_STR_006			Linear Static	Q2,2	0	
SLE_STR_006			Linear Static	Q3,1	0	
SLE_STR_006			Linear Static	Q3,2	0	
SLE_STR_006			Linear Static	Q3,3	0	
SLE_STR_006			Linear Static	Q3,4	0	
SLE_STR_006			Linear Static	Q4,1	0	
SLE_STR_006			Linear Static	Q4,2	0	
SLE_STR_006			Linear Static	Q4,3	-0.66	
SLE_STR_006			Linear Static	Q4,4	0	
SLE_STR_006			Linear Static	Q5u	0.6	
SLE_STR_006			Linear Static	Q5d	0.6	
SLE_STR_006			Linear Static	Q6,1	0	
SLE_STR_006			Linear Static	Q6,2	0	
SLE_STR_006			Linear Static	Q7	1	
SLE_STR_006			Linear Static	Q8,1	0.66	
SLE_STR_006			Linear Static	Q8,2	0	
SLE_STR_006			Linear Static	Ex	0	
SLE_STR_006			Linear Static	Ey	0	
SLE_STR_006			Linear Static	Ez	0	
SLE_STR_007	Linear Add	No	Linear Static	G1	1	None
SLE_STR_007			Linear Static	G2,1	1	
SLE_STR_007			Linear Static	G2,2	1	
SLE_STR_007			Linear Static	G2,3	1	
SLE_STR_007			Linear Static	G2,4	1	
SLE_STR_007			Linear Static	G2,5	1	
SLE_STR_007			Linear Static	Q1,1	0.66	
SLE_STR_007			Linear Static	Q1,2	0	
SLE_STR_007			Linear Static	Q1,3	0	

SLE_STR_007			Linear Static	Q1,4	0.66	
SLE_STR_007			Linear Static	Q2,1	0	
SLE_STR_007			Linear Static	Q2,2	0	
SLE_STR_007			Linear Static	Q3,1	0	
SLE_STR_007			Linear Static	Q3,2	0	
SLE_STR_007			Linear Static	Q3,3	0	
SLE_STR_007			Linear Static	Q3,4	0	
SLE_STR_007			Linear Static	Q4,1	0	
SLE_STR_007			Linear Static	Q4,2	0	
SLE_STR_007			Linear Static	Q4,3	-0.33	
SLE_STR_007			Linear Static	Q4,4	-0.33	
SLE_STR_007			Linear Static	Q5u	0.6	
SLE_STR_007			Linear Static	Q5d	0.6	
SLE_STR_007			Linear Static	Q6,1	0	
SLE_STR_007			Linear Static	Q6,2	0	
SLE_STR_007			Linear Static	Q7	1	
SLE_STR_007			Linear Static	Q8,1	0.66	
SLE_STR_007			Linear Static	Q8,2	0	
SLE_STR_007			Linear Static	Ex	0	
SLE_STR_007			Linear Static	Ey	0	
SLE_STR_007			Linear Static	Ez	0	
SLE_STR_008	Linear Add	No	Linear Static	G1	1	None
SLE_STR_008			Linear Static	G2,1	1	
SLE_STR_008			Linear Static	G2,2	1	
SLE_STR_008			Linear Static	G2,3	1	
SLE_STR_008			Linear Static	G2,4	1	
SLE_STR_008			Linear Static	G2,5	1	
SLE_STR_008			Linear Static	Q1,1	0	
SLE_STR_008			Linear Static	Q1,2	0	
SLE_STR_008			Linear Static	Q1,3	0.66	
SLE_STR_008			Linear Static	Q1,4	0.66	
SLE_STR_008			Linear Static	Q2,1	0	
SLE_STR_008			Linear Static	Q2,2	0	
SLE_STR_008			Linear Static	Q3,1	0	
SLE_STR_008			Linear Static	Q3,2	0	
SLE_STR_008			Linear Static	Q3,3	0	
SLE_STR_008			Linear Static	Q3,4	0	
SLE_STR_008			Linear Static	Q4,1	0	
SLE_STR_008			Linear Static	Q4,2	0	
SLE_STR_008			Linear Static	Q4,3	0	
SLE_STR_008			Linear Static	Q4,4	-0.66	
SLE_STR_008			Linear Static	Q5u	0.6	
SLE_STR_008			Linear Static	Q5d	0.6	
SLE_STR_008			Linear Static	Q6,1	0	
SLE_STR_008			Linear Static	Q6,2	0	
SLE_STR_008			Linear Static	Q7	1	
SLE_STR_008			Linear Static	Q8,1	0.66	

SLE_STR_008			Linear Static	Q8,2	0	
SLE_STR_008			Linear Static	Ex	0	
SLE_STR_008			Linear Static	Ey	0	
SLE_STR_008			Linear Static	Ez	0	
SLE_STR_009	Linear Add	No	Linear Static	G1	1	None
SLE_STR_009			Linear Static	G2,1	1	
SLE_STR_009			Linear Static	G2,2	1	
SLE_STR_009			Linear Static	G2,3	1	
SLE_STR_009			Linear Static	G2,4	1	
SLE_STR_009			Linear Static	G2,5	1	
SLE_STR_009			Linear Static	Q1,1	0	
SLE_STR_009			Linear Static	Q1,2	0.66	
SLE_STR_009			Linear Static	Q1,3	0.66	
SLE_STR_009			Linear Static	Q1,4	0	
SLE_STR_009			Linear Static	Q2,1	0	
SLE_STR_009			Linear Static	Q2,2	0	
SLE_STR_009			Linear Static	Q3,1	0	
SLE_STR_009			Linear Static	Q3,2	0	
SLE_STR_009			Linear Static	Q3,3	0	
SLE_STR_009			Linear Static	Q3,4	0	
SLE_STR_009			Linear Static	Q4,1	0	
SLE_STR_009			Linear Static	Q4,2	0	
SLE_STR_009			Linear Static	Q4,3	-0.33	
SLE_STR_009			Linear Static	Q4,4	-0.33	
SLE_STR_009			Linear Static	Q5u	0.6	
SLE_STR_009			Linear Static	Q5d	0.6	
SLE_STR_009			Linear Static	Q6,1	0	
SLE_STR_009			Linear Static	Q6,2	0	
SLE_STR_009			Linear Static	Q7	1	
SLE_STR_009			Linear Static	Q8,1	0.66	
SLE_STR_009			Linear Static	Q8,2	0	
SLE_STR_009			Linear Static	Ex	0	
SLE_STR_009			Linear Static	Ey	0	
SLE_STR_009			Linear Static	Ez	0	
SLE_STR_010	Linear Add	No	Linear Static	G1	1	None
SLE_STR_010			Linear Static	G2,1	1	
SLE_STR_010			Linear Static	G2,2	1	
SLE_STR_010			Linear Static	G2,3	1	
SLE_STR_010			Linear Static	G2,4	1	
SLE_STR_010			Linear Static	G2,5	1	
SLE_STR_010			Linear Static	Q1,1	0.66	
SLE_STR_010			Linear Static	Q1,2	0.66	
SLE_STR_010			Linear Static	Q1,3	0	
SLE_STR_010			Linear Static	Q1,4	0	
SLE_STR_010			Linear Static	Q2,1	0	
SLE_STR_010			Linear Static	Q2,2	0	
SLE_STR_010			Linear Static	Q3,1	0	

SLE_STR_010			Linear Static	Q3,2	0	
SLE_STR_010			Linear Static	Q3,3	0	
SLE_STR_010			Linear Static	Q3,4	0	
SLE_STR_010			Linear Static	Q4,1	0	
SLE_STR_010			Linear Static	Q4,2	0	
SLE_STR_010			Linear Static	Q4,3	0.66	
SLE_STR_010			Linear Static	Q4,4	0	
SLE_STR_010			Linear Static	Q5u	0.6	
SLE_STR_010			Linear Static	Q5d	0.6	
SLE_STR_010			Linear Static	Q6,1	0	
SLE_STR_010			Linear Static	Q6,2	0	
SLE_STR_010			Linear Static	Q7	1	
SLE_STR_010			Linear Static	Q8,1	-0.66	
SLE_STR_010			Linear Static	Q8,2	0	
SLE_STR_010			Linear Static	Ex	0	
SLE_STR_010			Linear Static	Ey	0	
SLE_STR_010			Linear Static	Ez	0	
SLE_STR_011	Linear Add	No	Linear Static	G1	1	None
SLE_STR_011			Linear Static	G2,1	1	
SLE_STR_011			Linear Static	G2,2	1	
SLE_STR_011			Linear Static	G2,3	1	
SLE_STR_011			Linear Static	G2,4	1	
SLE_STR_011			Linear Static	G2,5	1	
SLE_STR_011			Linear Static	Q1,1	0.66	
SLE_STR_011			Linear Static	Q1,2	0	
SLE_STR_011			Linear Static	Q1,3	0	
SLE_STR_011			Linear Static	Q1,4	0.66	
SLE_STR_011			Linear Static	Q2,1	0	
SLE_STR_011			Linear Static	Q2,2	0	
SLE_STR_011			Linear Static	Q3,1	0	
SLE_STR_011			Linear Static	Q3,2	0	
SLE_STR_011			Linear Static	Q3,3	0	
SLE_STR_011			Linear Static	Q3,4	0	
SLE_STR_011			Linear Static	Q4,1	0	
SLE_STR_011			Linear Static	Q4,2	0	
SLE_STR_011			Linear Static	Q4,3	0.33	
SLE_STR_011			Linear Static	Q4,4	0.33	
SLE_STR_011			Linear Static	Q5u	0.6	
SLE_STR_011			Linear Static	Q5d	0.6	
SLE_STR_011			Linear Static	Q6,1	0	
SLE_STR_011			Linear Static	Q6,2	0	
SLE_STR_011			Linear Static	Q7	1	
SLE_STR_011			Linear Static	Q8,1	-0.66	
SLE_STR_011			Linear Static	Q8,2	0	
SLE_STR_011			Linear Static	Ex	0	
SLE_STR_011			Linear Static	Ey	0	
SLE_STR_011			Linear Static	Ez	0	

SLE_STR_012	Linear Add	No	Linear Static	G1	1	None
SLE_STR_012			Linear Static	G2,1	1	
SLE_STR_012			Linear Static	G2,2	1	
SLE_STR_012			Linear Static	G2,3	1	
SLE_STR_012			Linear Static	G2,4	1	
SLE_STR_012			Linear Static	G2,5	1	
SLE_STR_012			Linear Static	Q1,1	0	
SLE_STR_012			Linear Static	Q1,2	0	
SLE_STR_012			Linear Static	Q1,3	0.66	
SLE_STR_012			Linear Static	Q1,4	0.66	
SLE_STR_012			Linear Static	Q2,1	0	
SLE_STR_012			Linear Static	Q2,2	0	
SLE_STR_012			Linear Static	Q3,1	0	
SLE_STR_012			Linear Static	Q3,2	0	
SLE_STR_012			Linear Static	Q3,3	0	
SLE_STR_012			Linear Static	Q3,4	0	
SLE_STR_012			Linear Static	Q4,1	0	
SLE_STR_012			Linear Static	Q4,2	0	
SLE_STR_012			Linear Static	Q4,3	0	
SLE_STR_012			Linear Static	Q4,4	0.66	
SLE_STR_012			Linear Static	Q5u	0.6	
SLE_STR_012			Linear Static	Q5d	0.6	
SLE_STR_012			Linear Static	Q6,1	0	
SLE_STR_012			Linear Static	Q6,2	0	
SLE_STR_012			Linear Static	Q7	1	
SLE_STR_012			Linear Static	Q8,1	-0.66	
SLE_STR_012			Linear Static	Q8,2	0	
SLE_STR_012			Linear Static	Ex	0	
SLE_STR_012			Linear Static	Ey	0	
SLE_STR_012			Linear Static	Ez	0	
SLE_STR_013	Linear Add	No	Linear Static	G1	1	None
SLE_STR_013			Linear Static	G2,1	1	
SLE_STR_013			Linear Static	G2,2	1	
SLE_STR_013			Linear Static	G2,3	1	
SLE_STR_013			Linear Static	G2,4	1	
SLE_STR_013			Linear Static	G2,5	1	
SLE_STR_013			Linear Static	Q1,1	0	
SLE_STR_013			Linear Static	Q1,2	0.66	
SLE_STR_013			Linear Static	Q1,3	0.66	
SLE_STR_013			Linear Static	Q1,4	0	
SLE_STR_013			Linear Static	Q2,1	0	
SLE_STR_013			Linear Static	Q2,2	0	
SLE_STR_013			Linear Static	Q3,1	0	
SLE_STR_013			Linear Static	Q3,2	0	
SLE_STR_013			Linear Static	Q3,3	0	
SLE_STR_013			Linear Static	Q3,4	0	
SLE_STR_013			Linear Static	Q4,1	0	

SLE_STR_013			Linear Static	Q4,2	0	
SLE_STR_013			Linear Static	Q4,3	0.33	
SLE_STR_013			Linear Static	Q4,4	0.33	
SLE_STR_013			Linear Static	Q5u	0.6	
SLE_STR_013			Linear Static	Q5d	0.6	
SLE_STR_013			Linear Static	Q6,1	0	
SLE_STR_013			Linear Static	Q6,2	0	
SLE_STR_013			Linear Static	Q7	1	
SLE_STR_013			Linear Static	Q8,1	-0.66	
SLE_STR_013			Linear Static	Q8,2	0	
SLE_STR_013			Linear Static	Ex	0	
SLE_STR_013			Linear Static	Ey	0	
SLE_STR_013			Linear Static	Ez	0	
SLE_STR_014	Linear Add	No	Linear Static	G1	1	None
SLE_STR_014			Linear Static	G2,1	1	
SLE_STR_014			Linear Static	G2,2	1	
SLE_STR_014			Linear Static	G2,3	1	
SLE_STR_014			Linear Static	G2,4	1	
SLE_STR_014			Linear Static	G2,5	1	
SLE_STR_014			Linear Static	Q1,1	0.66	
SLE_STR_014			Linear Static	Q1,2	0.66	
SLE_STR_014			Linear Static	Q1,3	0	
SLE_STR_014			Linear Static	Q1,4	0	
SLE_STR_014			Linear Static	Q2,1	0	
SLE_STR_014			Linear Static	Q2,2	0	
SLE_STR_014			Linear Static	Q3,1	0	
SLE_STR_014			Linear Static	Q3,2	0	
SLE_STR_014			Linear Static	Q3,3	0	
SLE_STR_014			Linear Static	Q3,4	0	
SLE_STR_014			Linear Static	Q4,1	0	
SLE_STR_014			Linear Static	Q4,2	0	
SLE_STR_014			Linear Static	Q4,3	-0.66	
SLE_STR_014			Linear Static	Q4,4	0	
SLE_STR_014			Linear Static	Q5u	0.6	
SLE_STR_014			Linear Static	Q5d	0.6	
SLE_STR_014			Linear Static	Q6,1	0	
SLE_STR_014			Linear Static	Q6,2	0	
SLE_STR_014			Linear Static	Q7	1	
SLE_STR_014			Linear Static	Q8,1	-0.66	
SLE_STR_014			Linear Static	Q8,2	0	
SLE_STR_014			Linear Static	Ex	0	
SLE_STR_014			Linear Static	Ey	0	
SLE_STR_014			Linear Static	Ez	0	
SLE_STR_015	Linear Add	No	Linear Static	G1	1	None
SLE_STR_015			Linear Static	G2,1	1	
SLE_STR_015			Linear Static	G2,2	1	
SLE_STR_015			Linear Static	G2,3	1	

SLE_STR_015			Linear Static	G2,4	1	
SLE_STR_015			Linear Static	G2,5	1	
SLE_STR_015			Linear Static	Q1,1	0.66	
SLE_STR_015			Linear Static	Q1,2	0	
SLE_STR_015			Linear Static	Q1,3	0	
SLE_STR_015			Linear Static	Q1,4	0.66	
SLE_STR_015			Linear Static	Q2,1	0	
SLE_STR_015			Linear Static	Q2,2	0	
SLE_STR_015			Linear Static	Q3,1	0	
SLE_STR_015			Linear Static	Q3,2	0	
SLE_STR_015			Linear Static	Q3,3	0	
SLE_STR_015			Linear Static	Q3,4	0	
SLE_STR_015			Linear Static	Q4,1	0	
SLE_STR_015			Linear Static	Q4,2	0	
SLE_STR_015			Linear Static	Q4,3	-0.33	
SLE_STR_015			Linear Static	Q4,4	-0.33	
SLE_STR_015			Linear Static	Q5u	0.6	
SLE_STR_015			Linear Static	Q5d	0.6	
SLE_STR_015			Linear Static	Q6,1	0	
SLE_STR_015			Linear Static	Q6,2	0	
SLE_STR_015			Linear Static	Q7	1	
SLE_STR_015			Linear Static	Q8,1	-0.66	
SLE_STR_015			Linear Static	Q8,2	0	
SLE_STR_015			Linear Static	Ex	0	
SLE_STR_015			Linear Static	Ey	0	
SLE_STR_015			Linear Static	Ez	0	
SLE_STR_016	Linear Add	No	Linear Static	G1	1	None
SLE_STR_016			Linear Static	G2,1	1	
SLE_STR_016			Linear Static	G2,2	1	
SLE_STR_016			Linear Static	G2,3	1	
SLE_STR_016			Linear Static	G2,4	1	
SLE_STR_016			Linear Static	G2,5	1	
SLE_STR_016			Linear Static	Q1,1	0	
SLE_STR_016			Linear Static	Q1,2	0	
SLE_STR_016			Linear Static	Q1,3	0.66	
SLE_STR_016			Linear Static	Q1,4	0.66	
SLE_STR_016			Linear Static	Q2,1	0	
SLE_STR_016			Linear Static	Q2,2	0	
SLE_STR_016			Linear Static	Q3,1	0	
SLE_STR_016			Linear Static	Q3,2	0	
SLE_STR_016			Linear Static	Q3,3	0	
SLE_STR_016			Linear Static	Q3,4	0	
SLE_STR_016			Linear Static	Q4,1	0	
SLE_STR_016			Linear Static	Q4,2	0	
SLE_STR_016			Linear Static	Q4,3	0	
SLE_STR_016			Linear Static	Q4,4	-0.66	
SLE_STR_016			Linear Static	Q5u	0.6	

SLE_STR_016			Linear Static	Q5d	0.6	
SLE_STR_016			Linear Static	Q6,1	0	
SLE_STR_016			Linear Static	Q6,2	0	
SLE_STR_016			Linear Static	Q7	1	
SLE_STR_016			Linear Static	Q8,1	-0.66	
SLE_STR_016			Linear Static	Q8,2	0	
SLE_STR_016			Linear Static	Ex	0	
SLE_STR_016			Linear Static	Ey	0	
SLE_STR_016			Linear Static	Ez	0	
SLE_STR_017	Linear Add	No	Linear Static	G1	1	None
SLE_STR_017			Linear Static	G2,1	1	
SLE_STR_017			Linear Static	G2,2	1	
SLE_STR_017			Linear Static	G2,3	1	
SLE_STR_017			Linear Static	G2,4	1	
SLE_STR_017			Linear Static	G2,5	1	
SLE_STR_017			Linear Static	Q1,1	0	
SLE_STR_017			Linear Static	Q1,2	0.66	
SLE_STR_017			Linear Static	Q1,3	0.66	
SLE_STR_017			Linear Static	Q1,4	0	
SLE_STR_017			Linear Static	Q2,1	0	
SLE_STR_017			Linear Static	Q2,2	0	
SLE_STR_017			Linear Static	Q3,1	0	
SLE_STR_017			Linear Static	Q3,2	0	
SLE_STR_017			Linear Static	Q3,3	0	
SLE_STR_017			Linear Static	Q3,4	0	
SLE_STR_017			Linear Static	Q4,1	0	
SLE_STR_017			Linear Static	Q4,2	0	
SLE_STR_017			Linear Static	Q4,3	-0.33	
SLE_STR_017			Linear Static	Q4,4	-0.33	
SLE_STR_017			Linear Static	Q5u	0.6	
SLE_STR_017			Linear Static	Q5d	0.6	
SLE_STR_017			Linear Static	Q6,1	0	
SLE_STR_017			Linear Static	Q6,2	0	
SLE_STR_017			Linear Static	Q7	1	
SLE_STR_017			Linear Static	Q8,1	-0.66	
SLE_STR_017			Linear Static	Q8,2	0	
SLE_STR_017			Linear Static	Ex	0	
SLE_STR_017			Linear Static	Ey	0	
SLE_STR_017			Linear Static	Ez	0	
SLE_STR_018	Linear Add	No	Linear Static	G1	1	None
SLE_STR_018			Linear Static	G2,1	1	
SLE_STR_018			Linear Static	G2,2	1	
SLE_STR_018			Linear Static	G2,3	1	
SLE_STR_018			Linear Static	G2,4	1	
SLE_STR_018			Linear Static	G2,5	1	
SLE_STR_018			Linear Static	Q1,1	0	
SLE_STR_018			Linear Static	Q1,2	0	

SLE_STR_018			Linear Static	Q1,3	0	
SLE_STR_018			Linear Static	Q1,4	0	
SLE_STR_018			Linear Static	Q2,1	0	
SLE_STR_018			Linear Static	Q2,2	0	
SLE_STR_018			Linear Static	Q3,1	0.66	
SLE_STR_018			Linear Static	Q3,2	0.66	
SLE_STR_018			Linear Static	Q3,3	0	
SLE_STR_018			Linear Static	Q3,4	0	
SLE_STR_018			Linear Static	Q4,1	0	
SLE_STR_018			Linear Static	Q4,2	0	
SLE_STR_018			Linear Static	Q4,3	0.66	
SLE_STR_018			Linear Static	Q4,4	0	
SLE_STR_018			Linear Static	Q5u	0.6	
SLE_STR_018			Linear Static	Q5d	0.6	
SLE_STR_018			Linear Static	Q6,1	0	
SLE_STR_018			Linear Static	Q6,2	0	
SLE_STR_018			Linear Static	Q7	1	
SLE_STR_018			Linear Static	Q8,1	0.66	
SLE_STR_018			Linear Static	Q8,2	0	
SLE_STR_018			Linear Static	Ex	0	
SLE_STR_018			Linear Static	Ey	0	
SLE_STR_018			Linear Static	Ez	0	
SLE_STR_019	Linear Add	No	Linear Static	G1	1	None
SLE_STR_019			Linear Static	G2,1	1	
SLE_STR_019			Linear Static	G2,2	1	
SLE_STR_019			Linear Static	G2,3	1	
SLE_STR_019			Linear Static	G2,4	1	
SLE_STR_019			Linear Static	G2,5	1	
SLE_STR_019			Linear Static	Q1,1	0	
SLE_STR_019			Linear Static	Q1,2	0	
SLE_STR_019			Linear Static	Q1,3	0	
SLE_STR_019			Linear Static	Q1,4	0	
SLE_STR_019			Linear Static	Q2,1	0	
SLE_STR_019			Linear Static	Q2,2	0	
SLE_STR_019			Linear Static	Q3,1	0.66	
SLE_STR_019			Linear Static	Q3,2	0	
SLE_STR_019			Linear Static	Q3,3	0	
SLE_STR_019			Linear Static	Q3,4	0.66	
SLE_STR_019			Linear Static	Q4,1	0	
SLE_STR_019			Linear Static	Q4,2	0	
SLE_STR_019			Linear Static	Q4,3	0.33	
SLE_STR_019			Linear Static	Q4,4	0.33	
SLE_STR_019			Linear Static	Q5u	0.6	
SLE_STR_019			Linear Static	Q5d	0.6	
SLE_STR_019			Linear Static	Q6,1	0	
SLE_STR_019			Linear Static	Q6,2	0	
SLE_STR_019			Linear Static	Q7	1	

SLE_STR_019			Linear Static	Q8,1	0.66	
SLE_STR_019			Linear Static	Q8,2	0	
SLE_STR_019			Linear Static	Ex	0	
SLE_STR_019			Linear Static	Ey	0	
SLE_STR_019			Linear Static	Ez	0	
SLE_STR_020	Linear Add	No	Linear Static	G1	1	None
SLE_STR_020			Linear Static	G2,1	1	
SLE_STR_020			Linear Static	G2,2	1	
SLE_STR_020			Linear Static	G2,3	1	
SLE_STR_020			Linear Static	G2,4	1	
SLE_STR_020			Linear Static	G2,5	1	
SLE_STR_020			Linear Static	Q1,1	0	
SLE_STR_020			Linear Static	Q1,2	0	
SLE_STR_020			Linear Static	Q1,3	0	
SLE_STR_020			Linear Static	Q1,4	0	
SLE_STR_020			Linear Static	Q2,1	0	
SLE_STR_020			Linear Static	Q2,2	0	
SLE_STR_020			Linear Static	Q3,1	0	
SLE_STR_020			Linear Static	Q3,2	0	
SLE_STR_020			Linear Static	Q3,3	0.66	
SLE_STR_020			Linear Static	Q3,4	0.66	
SLE_STR_020			Linear Static	Q4,1	0	
SLE_STR_020			Linear Static	Q4,2	0	
SLE_STR_020			Linear Static	Q4,3	0	
SLE_STR_020			Linear Static	Q4,4	0.66	
SLE_STR_020			Linear Static	Q5u	0.6	
SLE_STR_020			Linear Static	Q5d	0.6	
SLE_STR_020			Linear Static	Q6,1	0	
SLE_STR_020			Linear Static	Q6,2	0	
SLE_STR_020			Linear Static	Q7	1	
SLE_STR_020			Linear Static	Q8,1	0.66	
SLE_STR_020			Linear Static	Q8,2	0	
SLE_STR_020			Linear Static	Ex	0	
SLE_STR_020			Linear Static	Ey	0	
SLE_STR_020			Linear Static	Ez	0	
SLE_STR_021	Linear Add	No	Linear Static	G1	1	None
SLE_STR_021			Linear Static	G2,1	1	
SLE_STR_021			Linear Static	G2,2	1	
SLE_STR_021			Linear Static	G2,3	1	
SLE_STR_021			Linear Static	G2,4	1	
SLE_STR_021			Linear Static	G2,5	1	
SLE_STR_021			Linear Static	Q1,1	0	
SLE_STR_021			Linear Static	Q1,2	0	
SLE_STR_021			Linear Static	Q1,3	0	
SLE_STR_021			Linear Static	Q1,4	0	
SLE_STR_021			Linear Static	Q2,1	0	
SLE_STR_021			Linear Static	Q2,2	0	

SLE_STR_021			Linear Static	Q3,1	0	
SLE_STR_021			Linear Static	Q3,2	0.66	
SLE_STR_021			Linear Static	Q3,3	0.66	
SLE_STR_021			Linear Static	Q3,4	0	
SLE_STR_021			Linear Static	Q4,1	0	
SLE_STR_021			Linear Static	Q4,2	0	
SLE_STR_021			Linear Static	Q4,3	0.33	
SLE_STR_021			Linear Static	Q4,4	0.33	
SLE_STR_021			Linear Static	Q5u	0.6	
SLE_STR_021			Linear Static	Q5d	0.6	
SLE_STR_021			Linear Static	Q6,1	0	
SLE_STR_021			Linear Static	Q6,2	0	
SLE_STR_021			Linear Static	Q7	1	
SLE_STR_021			Linear Static	Q8,1	0.66	
SLE_STR_021			Linear Static	Q8,2	0	
SLE_STR_021			Linear Static	Ex	0	
SLE_STR_021			Linear Static	Ey	0	
SLE_STR_021			Linear Static	Ez	0	
SLE_STR_022	Linear Add	No	Linear Static	G1	1	None
SLE_STR_022			Linear Static	G2,1	1	
SLE_STR_022			Linear Static	G2,2	1	
SLE_STR_022			Linear Static	G2,3	1	
SLE_STR_022			Linear Static	G2,4	1	
SLE_STR_022			Linear Static	G2,5	1	
SLE_STR_022			Linear Static	Q1,1	0	
SLE_STR_022			Linear Static	Q1,2	0	
SLE_STR_022			Linear Static	Q1,3	0	
SLE_STR_022			Linear Static	Q1,4	0	
SLE_STR_022			Linear Static	Q2,1	0	
SLE_STR_022			Linear Static	Q2,2	0	
SLE_STR_022			Linear Static	Q3,1	0.66	
SLE_STR_022			Linear Static	Q3,2	0.66	
SLE_STR_022			Linear Static	Q3,3	0	
SLE_STR_022			Linear Static	Q3,4	0	
SLE_STR_022			Linear Static	Q4,1	0	
SLE_STR_022			Linear Static	Q4,2	0	
SLE_STR_022			Linear Static	Q4,3	-0.66	
SLE_STR_022			Linear Static	Q4,4	0	
SLE_STR_022			Linear Static	Q5u	0.6	
SLE_STR_022			Linear Static	Q5d	0.6	
SLE_STR_022			Linear Static	Q6,1	0	
SLE_STR_022			Linear Static	Q6,2	0	
SLE_STR_022			Linear Static	Q7	1	
SLE_STR_022			Linear Static	Q8,1	0.66	
SLE_STR_022			Linear Static	Q8,2	0	
SLE_STR_022			Linear Static	Ex	0	
SLE_STR_022			Linear Static	Ey	0	

SLE_STR_022			Linear Static	Ez	0	
SLE_STR_023	Linear Add	No	Linear Static	G1	1	None
SLE_STR_023			Linear Static	G2,1	1	
SLE_STR_023			Linear Static	G2,2	1	
SLE_STR_023			Linear Static	G2,3	1	
SLE_STR_023			Linear Static	G2,4	1	
SLE_STR_023			Linear Static	G2,5	1	
SLE_STR_023			Linear Static	Q1,1	0	
SLE_STR_023			Linear Static	Q1,2	0	
SLE_STR_023			Linear Static	Q1,3	0	
SLE_STR_023			Linear Static	Q1,4	0	
SLE_STR_023			Linear Static	Q2,1	0	
SLE_STR_023			Linear Static	Q2,2	0	
SLE_STR_023			Linear Static	Q3,1	0.66	
SLE_STR_023			Linear Static	Q3,2	0	
SLE_STR_023			Linear Static	Q3,3	0	
SLE_STR_023			Linear Static	Q3,4	0.66	
SLE_STR_023			Linear Static	Q4,1	0	
SLE_STR_023			Linear Static	Q4,2	0	
SLE_STR_023			Linear Static	Q4,3	-0.33	
SLE_STR_023			Linear Static	Q4,4	-0.33	
SLE_STR_023			Linear Static	Q5u	0.6	
SLE_STR_023			Linear Static	Q5d	0.6	
SLE_STR_023			Linear Static	Q6,1	0	
SLE_STR_023			Linear Static	Q6,2	0	
SLE_STR_023			Linear Static	Q7	1	
SLE_STR_023			Linear Static	Q8,1	0.66	
SLE_STR_023			Linear Static	Q8,2	0	
SLE_STR_023			Linear Static	Ex	0	
SLE_STR_023			Linear Static	Ey	0	
SLE_STR_023			Linear Static	Ez	0	
SLE_STR_024	Linear Add	No	Linear Static	G1	1	None
SLE_STR_024			Linear Static	G2,1	1	
SLE_STR_024			Linear Static	G2,2	1	
SLE_STR_024			Linear Static	G2,3	1	
SLE_STR_024			Linear Static	G2,4	1	
SLE_STR_024			Linear Static	G2,5	1	
SLE_STR_024			Linear Static	Q1,1	0	
SLE_STR_024			Linear Static	Q1,2	0	
SLE_STR_024			Linear Static	Q1,3	0	
SLE_STR_024			Linear Static	Q1,4	0	
SLE_STR_024			Linear Static	Q2,1	0	
SLE_STR_024			Linear Static	Q2,2	0	
SLE_STR_024			Linear Static	Q3,1	0	
SLE_STR_024			Linear Static	Q3,2	0	
SLE_STR_024			Linear Static	Q3,3	0.66	
SLE_STR_024			Linear Static	Q3,4	0.66	

SLE_STR_024			Linear Static	Q4,1	0	
SLE_STR_024			Linear Static	Q4,2	0	
SLE_STR_024			Linear Static	Q4,3	0	
SLE_STR_024			Linear Static	Q4,4	-0.66	
SLE_STR_024			Linear Static	Q5u	0.6	
SLE_STR_024			Linear Static	Q5d	0.6	
SLE_STR_024			Linear Static	Q6,1	0	
SLE_STR_024			Linear Static	Q6,2	0	
SLE_STR_024			Linear Static	Q7	1	
SLE_STR_024			Linear Static	Q8,1	0.66	
SLE_STR_024			Linear Static	Q8,2	0	
SLE_STR_024			Linear Static	Ex	0	
SLE_STR_024			Linear Static	Ey	0	
SLE_STR_024			Linear Static	Ez	0	
SLE_STR_025	Linear Add	No	Linear Static	G1	1	None
SLE_STR_025			Linear Static	G2,1	1	
SLE_STR_025			Linear Static	G2,2	1	
SLE_STR_025			Linear Static	G2,3	1	
SLE_STR_025			Linear Static	G2,4	1	
SLE_STR_025			Linear Static	G2,5	1	
SLE_STR_025			Linear Static	Q1,1	0	
SLE_STR_025			Linear Static	Q1,2	0	
SLE_STR_025			Linear Static	Q1,3	0	
SLE_STR_025			Linear Static	Q1,4	0	
SLE_STR_025			Linear Static	Q2,1	0	
SLE_STR_025			Linear Static	Q2,2	0	
SLE_STR_025			Linear Static	Q3,1	0	
SLE_STR_025			Linear Static	Q3,2	0.66	
SLE_STR_025			Linear Static	Q3,3	0.66	
SLE_STR_025			Linear Static	Q3,4	0	
SLE_STR_025			Linear Static	Q4,1	0	
SLE_STR_025			Linear Static	Q4,2	0	
SLE_STR_025			Linear Static	Q4,3	-0.33	
SLE_STR_025			Linear Static	Q4,4	-0.33	
SLE_STR_025			Linear Static	Q5u	0.6	
SLE_STR_025			Linear Static	Q5d	0.6	
SLE_STR_025			Linear Static	Q6,1	0	
SLE_STR_025			Linear Static	Q6,2	0	
SLE_STR_025			Linear Static	Q7	1	
SLE_STR_025			Linear Static	Q8,1	0.66	
SLE_STR_025			Linear Static	Q8,2	0	
SLE_STR_025			Linear Static	Ex	0	
SLE_STR_025			Linear Static	Ey	0	
SLE_STR_025			Linear Static	Ez	0	
SLE_STR_026	Linear Add	No	Linear Static	G1	1	None
SLE_STR_026			Linear Static	G2,1	1	
SLE_STR_026			Linear Static	G2,2	1	

SLE_STR_026			Linear Static	G2,3	1	
SLE_STR_026			Linear Static	G2,4	1	
SLE_STR_026			Linear Static	G2,5	1	
SLE_STR_026			Linear Static	Q1,1	0	
SLE_STR_026			Linear Static	Q1,2	0	
SLE_STR_026			Linear Static	Q1,3	0	
SLE_STR_026			Linear Static	Q1,4	0	
SLE_STR_026			Linear Static	Q2,1	0	
SLE_STR_026			Linear Static	Q2,2	0	
SLE_STR_026			Linear Static	Q3,1	0.66	
SLE_STR_026			Linear Static	Q3,2	0.66	
SLE_STR_026			Linear Static	Q3,3	0	
SLE_STR_026			Linear Static	Q3,4	0	
SLE_STR_026			Linear Static	Q4,1	0	
SLE_STR_026			Linear Static	Q4,2	0	
SLE_STR_026			Linear Static	Q4,3	0.66	
SLE_STR_026			Linear Static	Q4,4	0	
SLE_STR_026			Linear Static	Q5u	0.6	
SLE_STR_026			Linear Static	Q5d	0.6	
SLE_STR_026			Linear Static	Q6,1	0	
SLE_STR_026			Linear Static	Q6,2	0	
SLE_STR_026			Linear Static	Q7	1	
SLE_STR_026			Linear Static	Q8,1	-0.66	
SLE_STR_026			Linear Static	Q8,2	0	
SLE_STR_026			Linear Static	Ex	0	
SLE_STR_026			Linear Static	Ey	0	
SLE_STR_026			Linear Static	Ez	0	
SLE_STR_027	Linear Add	No	Linear Static	G1	1	None
SLE_STR_027			Linear Static	G2,1	1	
SLE_STR_027			Linear Static	G2,2	1	
SLE_STR_027			Linear Static	G2,3	1	
SLE_STR_027			Linear Static	G2,4	1	
SLE_STR_027			Linear Static	G2,5	1	
SLE_STR_027			Linear Static	Q1,1	0	
SLE_STR_027			Linear Static	Q1,2	0	
SLE_STR_027			Linear Static	Q1,3	0	
SLE_STR_027			Linear Static	Q1,4	0	
SLE_STR_027			Linear Static	Q2,1	0	
SLE_STR_027			Linear Static	Q2,2	0	
SLE_STR_027			Linear Static	Q3,1	0.66	
SLE_STR_027			Linear Static	Q3,2	0	
SLE_STR_027			Linear Static	Q3,3	0	
SLE_STR_027			Linear Static	Q3,4	0.66	
SLE_STR_027			Linear Static	Q4,1	0	
SLE_STR_027			Linear Static	Q4,2	0	
SLE_STR_027			Linear Static	Q4,3	0.33	
SLE_STR_027			Linear Static	Q4,4	0.33	

SLE_STR_027			Linear Static	Q5u	0.6	
SLE_STR_027			Linear Static	Q5d	0.6	
SLE_STR_027			Linear Static	Q6,1	0	
SLE_STR_027			Linear Static	Q6,2	0	
SLE_STR_027			Linear Static	Q7	1	
SLE_STR_027			Linear Static	Q8,1	-0.66	
SLE_STR_027			Linear Static	Q8,2	0	
SLE_STR_027			Linear Static	Ex	0	
SLE_STR_027			Linear Static	Ey	0	
SLE_STR_027			Linear Static	Ez	0	
SLE_STR_028	Linear Add	No	Linear Static	G1	1	None
SLE_STR_028			Linear Static	G2,1	1	
SLE_STR_028			Linear Static	G2,2	1	
SLE_STR_028			Linear Static	G2,3	1	
SLE_STR_028			Linear Static	G2,4	1	
SLE_STR_028			Linear Static	G2,5	1	
SLE_STR_028			Linear Static	Q1,1	0	
SLE_STR_028			Linear Static	Q1,2	0	
SLE_STR_028			Linear Static	Q1,3	0	
SLE_STR_028			Linear Static	Q1,4	0	
SLE_STR_028			Linear Static	Q2,1	0	
SLE_STR_028			Linear Static	Q2,2	0	
SLE_STR_028			Linear Static	Q3,1	0	
SLE_STR_028			Linear Static	Q3,2	0	
SLE_STR_028			Linear Static	Q3,3	0.66	
SLE_STR_028			Linear Static	Q3,4	0.66	
SLE_STR_028			Linear Static	Q4,1	0	
SLE_STR_028			Linear Static	Q4,2	0	
SLE_STR_028			Linear Static	Q4,3	0	
SLE_STR_028			Linear Static	Q4,4	0.66	
SLE_STR_028			Linear Static	Q5u	0.6	
SLE_STR_028			Linear Static	Q5d	0.6	
SLE_STR_028			Linear Static	Q6,1	0	
SLE_STR_028			Linear Static	Q6,2	0	
SLE_STR_028			Linear Static	Q7	1	
SLE_STR_028			Linear Static	Q8,1	-0.66	
SLE_STR_028			Linear Static	Q8,2	0	
SLE_STR_028			Linear Static	Ex	0	
SLE_STR_028			Linear Static	Ey	0	
SLE_STR_028			Linear Static	Ez	0	
SLE_STR_029	Linear Add	No	Linear Static	G1	1	None
SLE_STR_029			Linear Static	G2,1	1	
SLE_STR_029			Linear Static	G2,2	1	
SLE_STR_029			Linear Static	G2,3	1	
SLE_STR_029			Linear Static	G2,4	1	
SLE_STR_029			Linear Static	G2,5	1	
SLE_STR_029			Linear Static	Q1,1	0	

SLE_STR_029			Linear Static	Q1,2	0	
SLE_STR_029			Linear Static	Q1,3	0	
SLE_STR_029			Linear Static	Q1,4	0	
SLE_STR_029			Linear Static	Q2,1	0	
SLE_STR_029			Linear Static	Q2,2	0	
SLE_STR_029			Linear Static	Q3,1	0	
SLE_STR_029			Linear Static	Q3,2	0.66	
SLE_STR_029			Linear Static	Q3,3	0.66	
SLE_STR_029			Linear Static	Q3,4	0	
SLE_STR_029			Linear Static	Q4,1	0	
SLE_STR_029			Linear Static	Q4,2	0	
SLE_STR_029			Linear Static	Q4,3	0.33	
SLE_STR_029			Linear Static	Q4,4	0.33	
SLE_STR_029			Linear Static	Q5u	0.6	
SLE_STR_029			Linear Static	Q5d	0.6	
SLE_STR_029			Linear Static	Q6,1	0	
SLE_STR_029			Linear Static	Q6,2	0	
SLE_STR_029			Linear Static	Q7	1	
SLE_STR_029			Linear Static	Q8,1	-0.66	
SLE_STR_029			Linear Static	Q8,2	0	
SLE_STR_029			Linear Static	Ex	0	
SLE_STR_029			Linear Static	Ey	0	
SLE_STR_029			Linear Static	Ez	0	
SLE_STR_030	Linear Add	No	Linear Static	G1	1	None
SLE_STR_030			Linear Static	G2,1	1	
SLE_STR_030			Linear Static	G2,2	1	
SLE_STR_030			Linear Static	G2,3	1	
SLE_STR_030			Linear Static	G2,4	1	
SLE_STR_030			Linear Static	G2,5	1	
SLE_STR_030			Linear Static	Q1,1	0	
SLE_STR_030			Linear Static	Q1,2	0	
SLE_STR_030			Linear Static	Q1,3	0	
SLE_STR_030			Linear Static	Q1,4	0	
SLE_STR_030			Linear Static	Q2,1	0	
SLE_STR_030			Linear Static	Q2,2	0	
SLE_STR_030			Linear Static	Q3,1	0.66	
SLE_STR_030			Linear Static	Q3,2	0.66	
SLE_STR_030			Linear Static	Q3,3	0	
SLE_STR_030			Linear Static	Q3,4	0	
SLE_STR_030			Linear Static	Q4,1	0	
SLE_STR_030			Linear Static	Q4,2	0	
SLE_STR_030			Linear Static	Q4,3	-0.66	
SLE_STR_030			Linear Static	Q4,4	0	
SLE_STR_030			Linear Static	Q5u	0.6	
SLE_STR_030			Linear Static	Q5d	0.6	
SLE_STR_030			Linear Static	Q6,1	0	
SLE_STR_030			Linear Static	Q6,2	0	

SLE_STR_030			Linear Static	Q7	1	
SLE_STR_030			Linear Static	Q8,1	-0.66	
SLE_STR_030			Linear Static	Q8,2	0	
SLE_STR_030			Linear Static	Ex	0	
SLE_STR_030			Linear Static	Ey	0	
SLE_STR_030			Linear Static	Ez	0	
SLE_STR_031	Linear Add	No	Linear Static	G1	1	None
SLE_STR_031			Linear Static	G2,1	1	
SLE_STR_031			Linear Static	G2,2	1	
SLE_STR_031			Linear Static	G2,3	1	
SLE_STR_031			Linear Static	G2,4	1	
SLE_STR_031			Linear Static	G2,5	1	
SLE_STR_031			Linear Static	Q1,1	0	
SLE_STR_031			Linear Static	Q1,2	0	
SLE_STR_031			Linear Static	Q1,3	0	
SLE_STR_031			Linear Static	Q1,4	0	
SLE_STR_031			Linear Static	Q2,1	0	
SLE_STR_031			Linear Static	Q2,2	0	
SLE_STR_031			Linear Static	Q3,1	0.66	
SLE_STR_031			Linear Static	Q3,2	0	
SLE_STR_031			Linear Static	Q3,3	0	
SLE_STR_031			Linear Static	Q3,4	0.66	
SLE_STR_031			Linear Static	Q4,1	0	
SLE_STR_031			Linear Static	Q4,2	0	
SLE_STR_031			Linear Static	Q4,3	-0.33	
SLE_STR_031			Linear Static	Q4,4	-0.33	
SLE_STR_031			Linear Static	Q5u	0.6	
SLE_STR_031			Linear Static	Q5d	0.6	
SLE_STR_031			Linear Static	Q6,1	0	
SLE_STR_031			Linear Static	Q6,2	0	
SLE_STR_031			Linear Static	Q7	1	
SLE_STR_031			Linear Static	Q8,1	-0.66	
SLE_STR_031			Linear Static	Q8,2	0	
SLE_STR_031			Linear Static	Ex	0	
SLE_STR_031			Linear Static	Ey	0	
SLE_STR_031			Linear Static	Ez	0	
SLE_STR_032	Linear Add	No	Linear Static	G1	1	None
SLE_STR_032			Linear Static	G2,1	1	
SLE_STR_032			Linear Static	G2,2	1	
SLE_STR_032			Linear Static	G2,3	1	
SLE_STR_032			Linear Static	G2,4	1	
SLE_STR_032			Linear Static	G2,5	1	
SLE_STR_032			Linear Static	Q1,1	0	
SLE_STR_032			Linear Static	Q1,2	0	
SLE_STR_032			Linear Static	Q1,3	0	
SLE_STR_032			Linear Static	Q1,4	0	
SLE_STR_032			Linear Static	Q2,1	0	

SLE_STR_032			Linear Static	Q2,2	0	
SLE_STR_032			Linear Static	Q3,1	0	
SLE_STR_032			Linear Static	Q3,2	0	
SLE_STR_032			Linear Static	Q3,3	0.66	
SLE_STR_032			Linear Static	Q3,4	0.66	
SLE_STR_032			Linear Static	Q4,1	0	
SLE_STR_032			Linear Static	Q4,2	0	
SLE_STR_032			Linear Static	Q4,3	0	
SLE_STR_032			Linear Static	Q4,4	-0.66	
SLE_STR_032			Linear Static	Q5u	0.6	
SLE_STR_032			Linear Static	Q5d	0.6	
SLE_STR_032			Linear Static	Q6,1	0	
SLE_STR_032			Linear Static	Q6,2	0	
SLE_STR_032			Linear Static	Q7	1	
SLE_STR_032			Linear Static	Q8,1	-0.66	
SLE_STR_032			Linear Static	Q8,2	0	
SLE_STR_032			Linear Static	Ex	0	
SLE_STR_032			Linear Static	Ey	0	
SLE_STR_032			Linear Static	Ez	0	
SLE_STR_033	Linear Add	No	Linear Static	G1	1	None
SLE_STR_033			Linear Static	G2,1	1	
SLE_STR_033			Linear Static	G2,2	1	
SLE_STR_033			Linear Static	G2,3	1	
SLE_STR_033			Linear Static	G2,4	1	
SLE_STR_033			Linear Static	G2,5	1	
SLE_STR_033			Linear Static	Q1,1	0	
SLE_STR_033			Linear Static	Q1,2	0	
SLE_STR_033			Linear Static	Q1,3	0	
SLE_STR_033			Linear Static	Q1,4	0	
SLE_STR_033			Linear Static	Q2,1	0	
SLE_STR_033			Linear Static	Q2,2	0	
SLE_STR_033			Linear Static	Q3,1	0	
SLE_STR_033			Linear Static	Q3,2	0.66	
SLE_STR_033			Linear Static	Q3,3	0.66	
SLE_STR_033			Linear Static	Q3,4	0	
SLE_STR_033			Linear Static	Q4,1	0	
SLE_STR_033			Linear Static	Q4,2	0	
SLE_STR_033			Linear Static	Q4,3	-0.33	
SLE_STR_033			Linear Static	Q4,4	-0.33	
SLE_STR_033			Linear Static	Q5u	0.6	
SLE_STR_033			Linear Static	Q5d	0.6	
SLE_STR_033			Linear Static	Q6,1	0	
SLE_STR_033			Linear Static	Q6,2	0	
SLE_STR_033			Linear Static	Q7	1	
SLE_STR_033			Linear Static	Q8,1	-0.66	
SLE_STR_033			Linear Static	Q8,2	0	
SLE_STR_033			Linear Static	Ex	0	

SLE_STR_033			Linear Static	Ey	0	
SLE_STR_033			Linear Static	Ez	0	
SLE_STR_034	Linear Add	No	Linear Static	G1	1	None
SLE_STR_034			Linear Static	G2,1	1	
SLE_STR_034			Linear Static	G2,2	1	
SLE_STR_034			Linear Static	G2,3	1	
SLE_STR_034			Linear Static	G2,4	1	
SLE_STR_034			Linear Static	G2,5	1	
SLE_STR_034			Linear Static	Q1,1	0	
SLE_STR_034			Linear Static	Q1,2	0	
SLE_STR_034			Linear Static	Q1,3	0	
SLE_STR_034			Linear Static	Q1,4	0	
SLE_STR_034			Linear Static	Q2,1	0	
SLE_STR_034			Linear Static	Q2,2	0	
SLE_STR_034			Linear Static	Q3,1	0	
SLE_STR_034			Linear Static	Q3,2	0	
SLE_STR_034			Linear Static	Q3,3	0	
SLE_STR_034			Linear Static	Q3,4	0	
SLE_STR_034			Linear Static	Q4,1	0	
SLE_STR_034			Linear Static	Q4,2	0	
SLE_STR_034			Linear Static	Q4,3	0	
SLE_STR_034			Linear Static	Q4,4	0	
SLE_STR_034			Linear Static	Q5u	1	
SLE_STR_034			Linear Static	Q5d	1	
SLE_STR_034			Linear Static	Q6,1	0	
SLE_STR_034			Linear Static	Q6,2	0	
SLE_STR_034			Linear Static	Q7	1	
SLE_STR_034			Linear Static	Q8,1	0	
SLE_STR_034			Linear Static	Q8,2	0	
SLE_STR_034			Linear Static	Ex	0	
SLE_STR_034			Linear Static	Ey	0	
SLE_STR_034			Linear Static	Ez	0	
SLE_STR_035	Linear Add	No	Linear Static	G1	1	None
SLE_STR_035			Linear Static	G2,1	1	
SLE_STR_035			Linear Static	G2,2	1	
SLE_STR_035			Linear Static	G2,3	1	
SLE_STR_035			Linear Static	G2,4	1	
SLE_STR_035			Linear Static	G2,5	1	
SLE_STR_035			Linear Static	Q1,1	0	
SLE_STR_035			Linear Static	Q1,2	0	
SLE_STR_035			Linear Static	Q1,3	0	
SLE_STR_035			Linear Static	Q1,4	0	
SLE_STR_035			Linear Static	Q2,1	0	
SLE_STR_035			Linear Static	Q2,2	0	
SLE_STR_035			Linear Static	Q3,1	0	
SLE_STR_035			Linear Static	Q3,2	0	
SLE_STR_035			Linear Static	Q3,3	0	

SLE_STR_035			Linear Static	Q3,4	0	
SLE_STR_035			Linear Static	Q4,1	0	
SLE_STR_035			Linear Static	Q4,2	0	
SLE_STR_035			Linear Static	Q4,3	0	
SLE_STR_035			Linear Static	Q4,4	0	
SLE_STR_035			Linear Static	Q5u	-1	
SLE_STR_035			Linear Static	Q5d	-1	
SLE_STR_035			Linear Static	Q6,1	0	
SLE_STR_035			Linear Static	Q6,2	0	
SLE_STR_035			Linear Static	Q7	1	
SLE_STR_035			Linear Static	Q8,1	0	
SLE_STR_035			Linear Static	Q8,2	0	
SLE_STR_035			Linear Static	Ex	0	
SLE_STR_035			Linear Static	Ey	0	
SLE_STR_035			Linear Static	Ez	0	
SLE_STR_036	Linear Add	No	Linear Static	G1	1	None
SLE_STR_036			Linear Static	G2,1	1	
SLE_STR_036			Linear Static	G2,2	1	
SLE_STR_036			Linear Static	G2,3	1	
SLE_STR_036			Linear Static	G2,4	1	
SLE_STR_036			Linear Static	G2,5	1	
SLE_STR_036			Linear Static	Q1,1	0	
SLE_STR_036			Linear Static	Q1,2	0	
SLE_STR_036			Linear Static	Q1,3	0	
SLE_STR_036			Linear Static	Q1,4	0	
SLE_STR_036			Linear Static	Q2,1	0	
SLE_STR_036			Linear Static	Q2,2	0	
SLE_STR_036			Linear Static	Q3,1	0	
SLE_STR_036			Linear Static	Q3,2	0	
SLE_STR_036			Linear Static	Q3,3	0	
SLE_STR_036			Linear Static	Q3,4	0	
SLE_STR_036			Linear Static	Q4,1	0	
SLE_STR_036			Linear Static	Q4,2	0	
SLE_STR_036			Linear Static	Q4,3	0	
SLE_STR_036			Linear Static	Q4,4	0	
SLE_STR_036			Linear Static	Q5u	0.6	
SLE_STR_036			Linear Static	Q5d	0.6	
SLE_STR_036			Linear Static	Q6,1	1	
SLE_STR_036			Linear Static	Q6,2	0	
SLE_STR_036			Linear Static	Q7	1	
SLE_STR_036			Linear Static	Q8,1	0	
SLE_STR_036			Linear Static	Q8,2	0	
SLE_STR_036			Linear Static	Ex	0	
SLE_STR_036			Linear Static	Ey	0	
SLE_STR_036			Linear Static	Ez	0	
SLE_STR_037	Linear Add	No	Linear Static	G1	1	None
SLE_STR_037			Linear Static	G2,1	1	

SLE_STR_037			Linear Static	G2,2	1	
SLE_STR_037			Linear Static	G2,3	1	
SLE_STR_037			Linear Static	G2,4	1	
SLE_STR_037			Linear Static	G2,5	1	
SLE_STR_037			Linear Static	Q1,1	0	
SLE_STR_037			Linear Static	Q1,2	0	
SLE_STR_037			Linear Static	Q1,3	0	
SLE_STR_037			Linear Static	Q1,4	0	
SLE_STR_037			Linear Static	Q2,1	0	
SLE_STR_037			Linear Static	Q2,2	0	
SLE_STR_037			Linear Static	Q3,1	0	
SLE_STR_037			Linear Static	Q3,2	0	
SLE_STR_037			Linear Static	Q3,3	0	
SLE_STR_037			Linear Static	Q3,4	0	
SLE_STR_037			Linear Static	Q4,1	0	
SLE_STR_037			Linear Static	Q4,2	0	
SLE_STR_037			Linear Static	Q4,3	0	
SLE_STR_037			Linear Static	Q4,4	0	
SLE_STR_037			Linear Static	Q5u	0.6	
SLE_STR_037			Linear Static	Q5d	0.6	
SLE_STR_037			Linear Static	Q6,1	0	
SLE_STR_037			Linear Static	Q6,2	1	
SLE_STR_037			Linear Static	Q7	1	
SLE_STR_037			Linear Static	Q8,1	0	
SLE_STR_037			Linear Static	Q8,2	0	
SLE_STR_037			Linear Static	Ex	0	
SLE_STR_037			Linear Static	Ey	0	
SLE_STR_037			Linear Static	Ez	0	
SLE_STR_038	Linear Add	No	Linear Static	G1	1	None
SLE_STR_038			Linear Static	G2,1	1	
SLE_STR_038			Linear Static	G2,2	1	
SLE_STR_038			Linear Static	G2,3	1	
SLE_STR_038			Linear Static	G2,4	1	
SLE_STR_038			Linear Static	G2,5	1	
SLE_STR_038			Linear Static	Q1,1	0	
SLE_STR_038			Linear Static	Q1,2	0	
SLE_STR_038			Linear Static	Q1,3	0	
SLE_STR_038			Linear Static	Q1,4	0	
SLE_STR_038			Linear Static	Q2,1	0	
SLE_STR_038			Linear Static	Q2,2	0	
SLE_STR_038			Linear Static	Q3,1	0	
SLE_STR_038			Linear Static	Q3,2	0	
SLE_STR_038			Linear Static	Q3,3	0	
SLE_STR_038			Linear Static	Q3,4	0	
SLE_STR_038			Linear Static	Q4,1	0	
SLE_STR_038			Linear Static	Q4,2	0	
SLE_STR_038			Linear Static	Q4,3	0	

SLE_STR_038			Linear Static	Q4,4	0	
SLE_STR_038			Linear Static	Q5u	0.6	
SLE_STR_038			Linear Static	Q5d	0.6	
SLE_STR_038			Linear Static	Q6,1	0	
SLE_STR_038			Linear Static	Q6,2	0	
SLE_STR_038			Linear Static	Q7	1	
SLE_STR_038			Linear Static	Q8,1	0	
SLE_STR_038			Linear Static	Q8,2	0	
SLE_STR_038			Linear Static	Ex	0	
SLE_STR_038			Linear Static	Ey	0	
SLE_STR_038			Linear Static	Ez	0	
SLE_STR_039	Linear Add	No	Linear Static	G1	1	None
SLE_STR_039			Linear Static	G2,1	1	
SLE_STR_039			Linear Static	G2,2	1	
SLE_STR_039			Linear Static	G2,3	1	
SLE_STR_039			Linear Static	G2,4	1	
SLE_STR_039			Linear Static	G2,5	1	
SLE_STR_039			Linear Static	Q1,1	0.66	
SLE_STR_039			Linear Static	Q1,2	0.66	
SLE_STR_039			Linear Static	Q1,3	0	
SLE_STR_039			Linear Static	Q1,4	0	
SLE_STR_039			Linear Static	Q2,1	0	
SLE_STR_039			Linear Static	Q2,2	0	
SLE_STR_039			Linear Static	Q3,1	0	
SLE_STR_039			Linear Static	Q3,2	0	
SLE_STR_039			Linear Static	Q3,3	0	
SLE_STR_039			Linear Static	Q3,4	0	
SLE_STR_039			Linear Static	Q4,1	0	
SLE_STR_039			Linear Static	Q4,2	0	
SLE_STR_039			Linear Static	Q4,3	0.66	
SLE_STR_039			Linear Static	Q4,4	0	
SLE_STR_039			Linear Static	Q5u	0.6	
SLE_STR_039			Linear Static	Q5d	0.6	
SLE_STR_039			Linear Static	Q6,1	1	
SLE_STR_039			Linear Static	Q6,2	0	
SLE_STR_039			Linear Static	Q7	1	
SLE_STR_039			Linear Static	Q8,1	0.66	
SLE_STR_039			Linear Static	Q8,2	0	
SLE_STR_039			Linear Static	Ex	0	
SLE_STR_039			Linear Static	Ey	0	
SLE_STR_039			Linear Static	Ez	0	
SLE_STR_040	Linear Add	No	Linear Static	G1	1	None
SLE_STR_040			Linear Static	G2,1	1	
SLE_STR_040			Linear Static	G2,2	1	
SLE_STR_040			Linear Static	G2,3	1	
SLE_STR_040			Linear Static	G2,4	1	
SLE_STR_040			Linear Static	G2,5	1	

SLE_STR_040			Linear Static	Q1,1	0.66	
SLE_STR_040			Linear Static	Q1,2	0	
SLE_STR_040			Linear Static	Q1,3	0	
SLE_STR_040			Linear Static	Q1,4	0.66	
SLE_STR_040			Linear Static	Q2,1	0	
SLE_STR_040			Linear Static	Q2,2	0	
SLE_STR_040			Linear Static	Q3,1	0	
SLE_STR_040			Linear Static	Q3,2	0	
SLE_STR_040			Linear Static	Q3,3	0	
SLE_STR_040			Linear Static	Q3,4	0	
SLE_STR_040			Linear Static	Q4,1	0	
SLE_STR_040			Linear Static	Q4,2	0	
SLE_STR_040			Linear Static	Q4,3	0.33	
SLE_STR_040			Linear Static	Q4,4	0.33	
SLE_STR_040			Linear Static	Q5u	0.6	
SLE_STR_040			Linear Static	Q5d	0.6	
SLE_STR_040			Linear Static	Q6,1	1	
SLE_STR_040			Linear Static	Q6,2	0	
SLE_STR_040			Linear Static	Q7	1	
SLE_STR_040			Linear Static	Q8,1	0.66	
SLE_STR_040			Linear Static	Q8,2	0	
SLE_STR_040			Linear Static	Ex	0	
SLE_STR_040			Linear Static	Ey	0	
SLE_STR_040			Linear Static	Ez	0	
SLE_STR_041	Linear Add	No	Linear Static	G1	1	None
SLE_STR_041			Linear Static	G2,1	1	
SLE_STR_041			Linear Static	G2,2	1	
SLE_STR_041			Linear Static	G2,3	1	
SLE_STR_041			Linear Static	G2,4	1	
SLE_STR_041			Linear Static	G2,5	1	
SLE_STR_041			Linear Static	Q1,1	0	
SLE_STR_041			Linear Static	Q1,2	0	
SLE_STR_041			Linear Static	Q1,3	0.66	
SLE_STR_041			Linear Static	Q1,4	0.66	
SLE_STR_041			Linear Static	Q2,1	0	
SLE_STR_041			Linear Static	Q2,2	0	
SLE_STR_041			Linear Static	Q3,1	0	
SLE_STR_041			Linear Static	Q3,2	0	
SLE_STR_041			Linear Static	Q3,3	0	
SLE_STR_041			Linear Static	Q3,4	0	
SLE_STR_041			Linear Static	Q4,1	0	
SLE_STR_041			Linear Static	Q4,2	0	
SLE_STR_041			Linear Static	Q4,3	0	
SLE_STR_041			Linear Static	Q4,4	0.66	
SLE_STR_041			Linear Static	Q5u	0.6	
SLE_STR_041			Linear Static	Q5d	0.6	
SLE_STR_041			Linear Static	Q6,1	1	

SLE_STR_041			Linear Static	Q6,2	0	
SLE_STR_041			Linear Static	Q7	1	
SLE_STR_041			Linear Static	Q8,1	0.66	
SLE_STR_041			Linear Static	Q8,2	0	
SLE_STR_041			Linear Static	Ex	0	
SLE_STR_041			Linear Static	Ey	0	
SLE_STR_041			Linear Static	Ez	0	
SLE_STR_042	Linear Add	No	Linear Static	G1	1	None
SLE_STR_042			Linear Static	G2,1	1	
SLE_STR_042			Linear Static	G2,2	1	
SLE_STR_042			Linear Static	G2,3	1	
SLE_STR_042			Linear Static	G2,4	1	
SLE_STR_042			Linear Static	G2,5	1	
SLE_STR_042			Linear Static	Q1,1	0	
SLE_STR_042			Linear Static	Q1,2	0.66	
SLE_STR_042			Linear Static	Q1,3	0.66	
SLE_STR_042			Linear Static	Q1,4	0	
SLE_STR_042			Linear Static	Q2,1	0	
SLE_STR_042			Linear Static	Q2,2	0	
SLE_STR_042			Linear Static	Q3,1	0	
SLE_STR_042			Linear Static	Q3,2	0	
SLE_STR_042			Linear Static	Q3,3	0	
SLE_STR_042			Linear Static	Q3,4	0	
SLE_STR_042			Linear Static	Q4,1	0	
SLE_STR_042			Linear Static	Q4,2	0	
SLE_STR_042			Linear Static	Q4,3	0.33	
SLE_STR_042			Linear Static	Q4,4	0.33	
SLE_STR_042			Linear Static	Q5u	0.6	
SLE_STR_042			Linear Static	Q5d	0.6	
SLE_STR_042			Linear Static	Q6,1	1	
SLE_STR_042			Linear Static	Q6,2	0	
SLE_STR_042			Linear Static	Q7	1	
SLE_STR_042			Linear Static	Q8,1	0.66	
SLE_STR_042			Linear Static	Q8,2	0	
SLE_STR_042			Linear Static	Ex	0	
SLE_STR_042			Linear Static	Ey	0	
SLE_STR_042			Linear Static	Ez	0	
SLE_STR_043	Linear Add	No	Linear Static	G1	1	None
SLE_STR_043			Linear Static	G2,1	1	
SLE_STR_043			Linear Static	G2,2	1	
SLE_STR_043			Linear Static	G2,3	1	
SLE_STR_043			Linear Static	G2,4	1	
SLE_STR_043			Linear Static	G2,5	1	
SLE_STR_043			Linear Static	Q1,1	0.66	
SLE_STR_043			Linear Static	Q1,2	0.66	
SLE_STR_043			Linear Static	Q1,3	0	
SLE_STR_043			Linear Static	Q1,4	0	

SLE_STR_043			Linear Static	Q2,1	0	
SLE_STR_043			Linear Static	Q2,2	0	
SLE_STR_043			Linear Static	Q3,1	0	
SLE_STR_043			Linear Static	Q3,2	0	
SLE_STR_043			Linear Static	Q3,3	0	
SLE_STR_043			Linear Static	Q3,4	0	
SLE_STR_043			Linear Static	Q4,1	0	
SLE_STR_043			Linear Static	Q4,2	0	
SLE_STR_043			Linear Static	Q4,3	-0.66	
SLE_STR_043			Linear Static	Q4,4	0	
SLE_STR_043			Linear Static	Q5u	0.6	
SLE_STR_043			Linear Static	Q5d	0.6	
SLE_STR_043			Linear Static	Q6,1	1	
SLE_STR_043			Linear Static	Q6,2	0	
SLE_STR_043			Linear Static	Q7	1	
SLE_STR_043			Linear Static	Q8,1	0.66	
SLE_STR_043			Linear Static	Q8,2	0	
SLE_STR_043			Linear Static	Ex	0	
SLE_STR_043			Linear Static	Ey	0	
SLE_STR_043			Linear Static	Ez	0	
SLE_STR_044	Linear Add	No	Linear Static	G1	1	None
SLE_STR_044			Linear Static	G2,1	1	
SLE_STR_044			Linear Static	G2,2	1	
SLE_STR_044			Linear Static	G2,3	1	
SLE_STR_044			Linear Static	G2,4	1	
SLE_STR_044			Linear Static	G2,5	1	
SLE_STR_044			Linear Static	Q1,1	0.66	
SLE_STR_044			Linear Static	Q1,2	0	
SLE_STR_044			Linear Static	Q1,3	0	
SLE_STR_044			Linear Static	Q1,4	0.66	
SLE_STR_044			Linear Static	Q2,1	0	
SLE_STR_044			Linear Static	Q2,2	0	
SLE_STR_044			Linear Static	Q3,1	0	
SLE_STR_044			Linear Static	Q3,2	0	
SLE_STR_044			Linear Static	Q3,3	0	
SLE_STR_044			Linear Static	Q3,4	0	
SLE_STR_044			Linear Static	Q4,1	0	
SLE_STR_044			Linear Static	Q4,2	0	
SLE_STR_044			Linear Static	Q4,3	-0.33	
SLE_STR_044			Linear Static	Q4,4	-0.33	
SLE_STR_044			Linear Static	Q5u	0.6	
SLE_STR_044			Linear Static	Q5d	0.6	
SLE_STR_044			Linear Static	Q6,1	1	
SLE_STR_044			Linear Static	Q6,2	0	
SLE_STR_044			Linear Static	Q7	1	
SLE_STR_044			Linear Static	Q8,1	0.66	
SLE_STR_044			Linear Static	Q8,2	0	

SLE_STR_044			Linear Static	Ex	0	
SLE_STR_044			Linear Static	Ey	0	
SLE_STR_044			Linear Static	Ez	0	
SLE_STR_045	Linear Add	No	Linear Static	G1	1	None
SLE_STR_045			Linear Static	G2,1	1	
SLE_STR_045			Linear Static	G2,2	1	
SLE_STR_045			Linear Static	G2,3	1	
SLE_STR_045			Linear Static	G2,4	1	
SLE_STR_045			Linear Static	G2,5	1	
SLE_STR_045			Linear Static	Q1,1	0	
SLE_STR_045			Linear Static	Q1,2	0	
SLE_STR_045			Linear Static	Q1,3	0.66	
SLE_STR_045			Linear Static	Q1,4	0.66	
SLE_STR_045			Linear Static	Q2,1	0	
SLE_STR_045			Linear Static	Q2,2	0	
SLE_STR_045			Linear Static	Q3,1	0	
SLE_STR_045			Linear Static	Q3,2	0	
SLE_STR_045			Linear Static	Q3,3	0	
SLE_STR_045			Linear Static	Q3,4	0	
SLE_STR_045			Linear Static	Q4,1	0	
SLE_STR_045			Linear Static	Q4,2	0	
SLE_STR_045			Linear Static	Q4,3	0	
SLE_STR_045			Linear Static	Q4,4	-0.66	
SLE_STR_045			Linear Static	Q5u	0.6	
SLE_STR_045			Linear Static	Q5d	0.6	
SLE_STR_045			Linear Static	Q6,1	1	
SLE_STR_045			Linear Static	Q6,2	0	
SLE_STR_045			Linear Static	Q7	1	
SLE_STR_045			Linear Static	Q8,1	0.66	
SLE_STR_045			Linear Static	Q8,2	0	
SLE_STR_045			Linear Static	Ex	0	
SLE_STR_045			Linear Static	Ey	0	
SLE_STR_045			Linear Static	Ez	0	
SLE_STR_046	Linear Add	No	Linear Static	G1	1	None
SLE_STR_046			Linear Static	G2,1	1	
SLE_STR_046			Linear Static	G2,2	1	
SLE_STR_046			Linear Static	G2,3	1	
SLE_STR_046			Linear Static	G2,4	1	
SLE_STR_046			Linear Static	G2,5	1	
SLE_STR_046			Linear Static	Q1,1	0	
SLE_STR_046			Linear Static	Q1,2	0.66	
SLE_STR_046			Linear Static	Q1,3	0.66	
SLE_STR_046			Linear Static	Q1,4	0	
SLE_STR_046			Linear Static	Q2,1	0	
SLE_STR_046			Linear Static	Q2,2	0	
SLE_STR_046			Linear Static	Q3,1	0	
SLE_STR_046			Linear Static	Q3,2	0	

SLE_STR_046			Linear Static	Q3,3	0	
SLE_STR_046			Linear Static	Q3,4	0	
SLE_STR_046			Linear Static	Q4,1	0	
SLE_STR_046			Linear Static	Q4,2	0	
SLE_STR_046			Linear Static	Q4,3	-0.33	
SLE_STR_046			Linear Static	Q4,4	-0.33	
SLE_STR_046			Linear Static	Q5u	0.6	
SLE_STR_046			Linear Static	Q5d	0.6	
SLE_STR_046			Linear Static	Q6,1	1	
SLE_STR_046			Linear Static	Q6,2	0	
SLE_STR_046			Linear Static	Q7	1	
SLE_STR_046			Linear Static	Q8,1	0.66	
SLE_STR_046			Linear Static	Q8,2	0	
SLE_STR_046			Linear Static	Ex	0	
SLE_STR_046			Linear Static	Ey	0	
SLE_STR_046			Linear Static	Ez	0	
SLE_STR_047	Linear Add	No	Linear Static	G1	1	None
SLE_STR_047			Linear Static	G2,1	1	
SLE_STR_047			Linear Static	G2,2	1	
SLE_STR_047			Linear Static	G2,3	1	
SLE_STR_047			Linear Static	G2,4	1	
SLE_STR_047			Linear Static	G2,5	1	
SLE_STR_047			Linear Static	Q1,1	0.66	
SLE_STR_047			Linear Static	Q1,2	0.66	
SLE_STR_047			Linear Static	Q1,3	0	
SLE_STR_047			Linear Static	Q1,4	0	
SLE_STR_047			Linear Static	Q2,1	0	
SLE_STR_047			Linear Static	Q2,2	0	
SLE_STR_047			Linear Static	Q3,1	0	
SLE_STR_047			Linear Static	Q3,2	0	
SLE_STR_047			Linear Static	Q3,3	0	
SLE_STR_047			Linear Static	Q3,4	0	
SLE_STR_047			Linear Static	Q4,1	0	
SLE_STR_047			Linear Static	Q4,2	0	
SLE_STR_047			Linear Static	Q4,3	0.66	
SLE_STR_047			Linear Static	Q4,4	0	
SLE_STR_047			Linear Static	Q5u	0.6	
SLE_STR_047			Linear Static	Q5d	0.6	
SLE_STR_047			Linear Static	Q6,1	1	
SLE_STR_047			Linear Static	Q6,2	0	
SLE_STR_047			Linear Static	Q7	1	
SLE_STR_047			Linear Static	Q8,1	-0.66	
SLE_STR_047			Linear Static	Q8,2	0	
SLE_STR_047			Linear Static	Ex	0	
SLE_STR_047			Linear Static	Ey	0	
SLE_STR_047			Linear Static	Ez	0	
SLE_STR_048	Linear Add	No	Linear Static	G1	1	None

SLE_STR_048			Linear Static	G2,1	1	
SLE_STR_048			Linear Static	G2,2	1	
SLE_STR_048			Linear Static	G2,3	1	
SLE_STR_048			Linear Static	G2,4	1	
SLE_STR_048			Linear Static	G2,5	1	
SLE_STR_048			Linear Static	Q1,1	0.66	
SLE_STR_048			Linear Static	Q1,2	0	
SLE_STR_048			Linear Static	Q1,3	0	
SLE_STR_048			Linear Static	Q1,4	0.66	
SLE_STR_048			Linear Static	Q2,1	0	
SLE_STR_048			Linear Static	Q2,2	0	
SLE_STR_048			Linear Static	Q3,1	0	
SLE_STR_048			Linear Static	Q3,2	0	
SLE_STR_048			Linear Static	Q3,3	0	
SLE_STR_048			Linear Static	Q3,4	0	
SLE_STR_048			Linear Static	Q4,1	0	
SLE_STR_048			Linear Static	Q4,2	0	
SLE_STR_048			Linear Static	Q4,3	0.33	
SLE_STR_048			Linear Static	Q4,4	0.33	
SLE_STR_048			Linear Static	Q5u	0.6	
SLE_STR_048			Linear Static	Q5d	0.6	
SLE_STR_048			Linear Static	Q6,1	1	
SLE_STR_048			Linear Static	Q6,2	0	
SLE_STR_048			Linear Static	Q7	1	
SLE_STR_048			Linear Static	Q8,1	-0.66	
SLE_STR_048			Linear Static	Q8,2	0	
SLE_STR_048			Linear Static	Ex	0	
SLE_STR_048			Linear Static	Ey	0	
SLE_STR_048			Linear Static	Ez	0	
SLE_STR_049	Linear Add	No	Linear Static	G1	1	None
SLE_STR_049			Linear Static	G2,1	1	
SLE_STR_049			Linear Static	G2,2	1	
SLE_STR_049			Linear Static	G2,3	1	
SLE_STR_049			Linear Static	G2,4	1	
SLE_STR_049			Linear Static	G2,5	1	
SLE_STR_049			Linear Static	Q1,1	0	
SLE_STR_049			Linear Static	Q1,2	0	
SLE_STR_049			Linear Static	Q1,3	0.66	
SLE_STR_049			Linear Static	Q1,4	0.66	
SLE_STR_049			Linear Static	Q2,1	0	
SLE_STR_049			Linear Static	Q2,2	0	
SLE_STR_049			Linear Static	Q3,1	0	
SLE_STR_049			Linear Static	Q3,2	0	
SLE_STR_049			Linear Static	Q3,3	0	
SLE_STR_049			Linear Static	Q3,4	0	
SLE_STR_049			Linear Static	Q4,1	0	
SLE_STR_049			Linear Static	Q4,2	0	

SLE_STR_049			Linear Static	Q4,3	0	
SLE_STR_049			Linear Static	Q4,4	0.66	
SLE_STR_049			Linear Static	Q5u	0.6	
SLE_STR_049			Linear Static	Q5d	0.6	
SLE_STR_049			Linear Static	Q6,1	1	
SLE_STR_049			Linear Static	Q6,2	0	
SLE_STR_049			Linear Static	Q7	1	
SLE_STR_049			Linear Static	Q8,1	-0.66	
SLE_STR_049			Linear Static	Q8,2	0	
SLE_STR_049			Linear Static	Ex	0	
SLE_STR_049			Linear Static	Ey	0	
SLE_STR_049			Linear Static	Ez	0	
SLE_STR_050	Linear Add	No	Linear Static	G1	1	None
SLE_STR_050			Linear Static	G2,1	1	
SLE_STR_050			Linear Static	G2,2	1	
SLE_STR_050			Linear Static	G2,3	1	
SLE_STR_050			Linear Static	G2,4	1	
SLE_STR_050			Linear Static	G2,5	1	
SLE_STR_050			Linear Static	Q1,1	0	
SLE_STR_050			Linear Static	Q1,2	0.66	
SLE_STR_050			Linear Static	Q1,3	0.66	
SLE_STR_050			Linear Static	Q1,4	0	
SLE_STR_050			Linear Static	Q2,1	0	
SLE_STR_050			Linear Static	Q2,2	0	
SLE_STR_050			Linear Static	Q3,1	0	
SLE_STR_050			Linear Static	Q3,2	0	
SLE_STR_050			Linear Static	Q3,3	0	
SLE_STR_050			Linear Static	Q3,4	0	
SLE_STR_050			Linear Static	Q4,1	0	
SLE_STR_050			Linear Static	Q4,2	0	
SLE_STR_050			Linear Static	Q4,3	0.33	
SLE_STR_050			Linear Static	Q4,4	0.33	
SLE_STR_050			Linear Static	Q5u	0.6	
SLE_STR_050			Linear Static	Q5d	0.6	
SLE_STR_050			Linear Static	Q6,1	1	
SLE_STR_050			Linear Static	Q6,2	0	
SLE_STR_050			Linear Static	Q7	1	
SLE_STR_050			Linear Static	Q8,1	-0.66	
SLE_STR_050			Linear Static	Q8,2	0	
SLE_STR_050			Linear Static	Ex	0	
SLE_STR_050			Linear Static	Ey	0	
SLE_STR_050			Linear Static	Ez	0	
SLE_STR_051	Linear Add	No	Linear Static	G1	1	None
SLE_STR_051			Linear Static	G2,1	1	
SLE_STR_051			Linear Static	G2,2	1	
SLE_STR_051			Linear Static	G2,3	1	
SLE_STR_051			Linear Static	G2,4	1	

SLE_STR_051			Linear Static	G2,5	1	
SLE_STR_051			Linear Static	Q1,1	0.66	
SLE_STR_051			Linear Static	Q1,2	0.66	
SLE_STR_051			Linear Static	Q1,3	0	
SLE_STR_051			Linear Static	Q1,4	0	
SLE_STR_051			Linear Static	Q2,1	0	
SLE_STR_051			Linear Static	Q2,2	0	
SLE_STR_051			Linear Static	Q3,1	0	
SLE_STR_051			Linear Static	Q3,2	0	
SLE_STR_051			Linear Static	Q3,3	0	
SLE_STR_051			Linear Static	Q3,4	0	
SLE_STR_051			Linear Static	Q4,1	0	
SLE_STR_051			Linear Static	Q4,2	0	
SLE_STR_051			Linear Static	Q4,3	-0.66	
SLE_STR_051			Linear Static	Q4,4	0	
SLE_STR_051			Linear Static	Q5u	0.6	
SLE_STR_051			Linear Static	Q5d	0.6	
SLE_STR_051			Linear Static	Q6,1	1	
SLE_STR_051			Linear Static	Q6,2	0	
SLE_STR_051			Linear Static	Q7	1	
SLE_STR_051			Linear Static	Q8,1	-0.66	
SLE_STR_051			Linear Static	Q8,2	0	
SLE_STR_051			Linear Static	Ex	0	
SLE_STR_051			Linear Static	Ey	0	
SLE_STR_051			Linear Static	Ez	0	
SLE_STR_052	Linear Add	No	Linear Static	G1	1	None
SLE_STR_052			Linear Static	G2,1	1	
SLE_STR_052			Linear Static	G2,2	1	
SLE_STR_052			Linear Static	G2,3	1	
SLE_STR_052			Linear Static	G2,4	1	
SLE_STR_052			Linear Static	G2,5	1	
SLE_STR_052			Linear Static	Q1,1	0.66	
SLE_STR_052			Linear Static	Q1,2	0	
SLE_STR_052			Linear Static	Q1,3	0	
SLE_STR_052			Linear Static	Q1,4	0.66	
SLE_STR_052			Linear Static	Q2,1	0	
SLE_STR_052			Linear Static	Q2,2	0	
SLE_STR_052			Linear Static	Q3,1	0	
SLE_STR_052			Linear Static	Q3,2	0	
SLE_STR_052			Linear Static	Q3,3	0	
SLE_STR_052			Linear Static	Q3,4	0	
SLE_STR_052			Linear Static	Q4,1	0	
SLE_STR_052			Linear Static	Q4,2	0	
SLE_STR_052			Linear Static	Q4,3	-0.33	
SLE_STR_052			Linear Static	Q4,4	-0.33	
SLE_STR_052			Linear Static	Q5u	0.6	
SLE_STR_052			Linear Static	Q5d	0.6	

SLE_STR_052			Linear Static	Q6,1	1	
SLE_STR_052			Linear Static	Q6,2	0	
SLE_STR_052			Linear Static	Q7	1	
SLE_STR_052			Linear Static	Q8,1	-0.66	
SLE_STR_052			Linear Static	Q8,2	0	
SLE_STR_052			Linear Static	Ex	0	
SLE_STR_052			Linear Static	Ey	0	
SLE_STR_052			Linear Static	Ez	0	
SLE_STR_053	Linear Add	No	Linear Static	G1	1	None
SLE_STR_053			Linear Static	G2,1	1	
SLE_STR_053			Linear Static	G2,2	1	
SLE_STR_053			Linear Static	G2,3	1	
SLE_STR_053			Linear Static	G2,4	1	
SLE_STR_053			Linear Static	G2,5	1	
SLE_STR_053			Linear Static	Q1,1	0	
SLE_STR_053			Linear Static	Q1,2	0	
SLE_STR_053			Linear Static	Q1,3	0.66	
SLE_STR_053			Linear Static	Q1,4	0.66	
SLE_STR_053			Linear Static	Q2,1	0	
SLE_STR_053			Linear Static	Q2,2	0	
SLE_STR_053			Linear Static	Q3,1	0	
SLE_STR_053			Linear Static	Q3,2	0	
SLE_STR_053			Linear Static	Q3,3	0	
SLE_STR_053			Linear Static	Q3,4	0	
SLE_STR_053			Linear Static	Q4,1	0	
SLE_STR_053			Linear Static	Q4,2	0	
SLE_STR_053			Linear Static	Q4,3	0	
SLE_STR_053			Linear Static	Q4,4	-0.66	
SLE_STR_053			Linear Static	Q5u	0.6	
SLE_STR_053			Linear Static	Q5d	0.6	
SLE_STR_053			Linear Static	Q6,1	1	
SLE_STR_053			Linear Static	Q6,2	0	
SLE_STR_053			Linear Static	Q7	1	
SLE_STR_053			Linear Static	Q8,1	-0.66	
SLE_STR_053			Linear Static	Q8,2	0	
SLE_STR_053			Linear Static	Ex	0	
SLE_STR_053			Linear Static	Ey	0	
SLE_STR_053			Linear Static	Ez	0	
SLE_STR_054	Linear Add	No	Linear Static	G1	1	None
SLE_STR_054			Linear Static	G2,1	1	
SLE_STR_054			Linear Static	G2,2	1	
SLE_STR_054			Linear Static	G2,3	1	
SLE_STR_054			Linear Static	G2,4	1	
SLE_STR_054			Linear Static	G2,5	1	
SLE_STR_054			Linear Static	Q1,1	0	
SLE_STR_054			Linear Static	Q1,2	0.66	
SLE_STR_054			Linear Static	Q1,3	0.66	

SLE_STR_054			Linear Static	Q1,4	0	
SLE_STR_054			Linear Static	Q2,1	0	
SLE_STR_054			Linear Static	Q2,2	0	
SLE_STR_054			Linear Static	Q3,1	0	
SLE_STR_054			Linear Static	Q3,2	0	
SLE_STR_054			Linear Static	Q3,3	0	
SLE_STR_054			Linear Static	Q3,4	0	
SLE_STR_054			Linear Static	Q4,1	0	
SLE_STR_054			Linear Static	Q4,2	0	
SLE_STR_054			Linear Static	Q4,3	-0.33	
SLE_STR_054			Linear Static	Q4,4	-0.33	
SLE_STR_054			Linear Static	Q5u	0.6	
SLE_STR_054			Linear Static	Q5d	0.6	
SLE_STR_054			Linear Static	Q6,1	1	
SLE_STR_054			Linear Static	Q6,2	0	
SLE_STR_054			Linear Static	Q7	1	
SLE_STR_054			Linear Static	Q8,1	-0.66	
SLE_STR_054			Linear Static	Q8,2	0	
SLE_STR_054			Linear Static	Ex	0	
SLE_STR_054			Linear Static	Ey	0	
SLE_STR_054			Linear Static	Ez	0	
SLE_STR_055	Linear Add	No	Linear Static	G1	1	None
SLE_STR_055			Linear Static	G2,1	1	
SLE_STR_055			Linear Static	G2,2	1	
SLE_STR_055			Linear Static	G2,3	1	
SLE_STR_055			Linear Static	G2,4	1	
SLE_STR_055			Linear Static	G2,5	1	
SLE_STR_055			Linear Static	Q1,1	0	
SLE_STR_055			Linear Static	Q1,2	0	
SLE_STR_055			Linear Static	Q1,3	0	
SLE_STR_055			Linear Static	Q1,4	0	
SLE_STR_055			Linear Static	Q2,1	0	
SLE_STR_055			Linear Static	Q2,2	0	
SLE_STR_055			Linear Static	Q3,1	0.66	
SLE_STR_055			Linear Static	Q3,2	0.66	
SLE_STR_055			Linear Static	Q3,3	0	
SLE_STR_055			Linear Static	Q3,4	0	
SLE_STR_055			Linear Static	Q4,1	0	
SLE_STR_055			Linear Static	Q4,2	0	
SLE_STR_055			Linear Static	Q4,3	0.66	
SLE_STR_055			Linear Static	Q4,4	0	
SLE_STR_055			Linear Static	Q5u	0.6	
SLE_STR_055			Linear Static	Q5d	0.6	
SLE_STR_055			Linear Static	Q6,1	1	
SLE_STR_055			Linear Static	Q6,2	0	
SLE_STR_055			Linear Static	Q7	1	
SLE_STR_055			Linear Static	Q8,1	0.66	

SLE_STR_055			Linear Static	Q8,2	0	
SLE_STR_055			Linear Static	Ex	0	
SLE_STR_055			Linear Static	Ey	0	
SLE_STR_055			Linear Static	Ez	0	
SLE_STR_056	Linear Add	No	Linear Static	G1	1	None
SLE_STR_056			Linear Static	G2,1	1	
SLE_STR_056			Linear Static	G2,2	1	
SLE_STR_056			Linear Static	G2,3	1	
SLE_STR_056			Linear Static	G2,4	1	
SLE_STR_056			Linear Static	G2,5	1	
SLE_STR_056			Linear Static	Q1,1	0	
SLE_STR_056			Linear Static	Q1,2	0	
SLE_STR_056			Linear Static	Q1,3	0	
SLE_STR_056			Linear Static	Q1,4	0	
SLE_STR_056			Linear Static	Q2,1	0	
SLE_STR_056			Linear Static	Q2,2	0	
SLE_STR_056			Linear Static	Q3,1	0.66	
SLE_STR_056			Linear Static	Q3,2	0	
SLE_STR_056			Linear Static	Q3,3	0	
SLE_STR_056			Linear Static	Q3,4	0.66	
SLE_STR_056			Linear Static	Q4,1	0	
SLE_STR_056			Linear Static	Q4,2	0	
SLE_STR_056			Linear Static	Q4,3	0.33	
SLE_STR_056			Linear Static	Q4,4	0.33	
SLE_STR_056			Linear Static	Q5u	0.6	
SLE_STR_056			Linear Static	Q5d	0.6	
SLE_STR_056			Linear Static	Q6,1	1	
SLE_STR_056			Linear Static	Q6,2	0	
SLE_STR_056			Linear Static	Q7	1	
SLE_STR_056			Linear Static	Q8,1	0.66	
SLE_STR_056			Linear Static	Q8,2	0	
SLE_STR_056			Linear Static	Ex	0	
SLE_STR_056			Linear Static	Ey	0	
SLE_STR_056			Linear Static	Ez	0	
SLE_STR_057	Linear Add	No	Linear Static	G1	1	None
SLE_STR_057			Linear Static	G2,1	1	
SLE_STR_057			Linear Static	G2,2	1	
SLE_STR_057			Linear Static	G2,3	1	
SLE_STR_057			Linear Static	G2,4	1	
SLE_STR_057			Linear Static	G2,5	1	
SLE_STR_057			Linear Static	Q1,1	0	
SLE_STR_057			Linear Static	Q1,2	0	
SLE_STR_057			Linear Static	Q1,3	0	
SLE_STR_057			Linear Static	Q1,4	0	
SLE_STR_057			Linear Static	Q2,1	0	
SLE_STR_057			Linear Static	Q2,2	0	
SLE_STR_057			Linear Static	Q3,1	0	

SLE_STR_057			Linear Static	Q3,2	0	
SLE_STR_057			Linear Static	Q3,3	0.66	
SLE_STR_057			Linear Static	Q3,4	0.66	
SLE_STR_057			Linear Static	Q4,1	0	
SLE_STR_057			Linear Static	Q4,2	0	
SLE_STR_057			Linear Static	Q4,3	0	
SLE_STR_057			Linear Static	Q4,4	0.66	
SLE_STR_057			Linear Static	Q5u	0.6	
SLE_STR_057			Linear Static	Q5d	0.6	
SLE_STR_057			Linear Static	Q6,1	1	
SLE_STR_057			Linear Static	Q6,2	0	
SLE_STR_057			Linear Static	Q7	1	
SLE_STR_057			Linear Static	Q8,1	0.66	
SLE_STR_057			Linear Static	Q8,2	0	
SLE_STR_057			Linear Static	Ex	0	
SLE_STR_057			Linear Static	Ey	0	
SLE_STR_057			Linear Static	Ez	0	
SLE_STR_058	Linear Add	No	Linear Static	G1	1	None
SLE_STR_058			Linear Static	G2,1	1	
SLE_STR_058			Linear Static	G2,2	1	
SLE_STR_058			Linear Static	G2,3	1	
SLE_STR_058			Linear Static	G2,4	1	
SLE_STR_058			Linear Static	G2,5	1	
SLE_STR_058			Linear Static	Q1,1	0	
SLE_STR_058			Linear Static	Q1,2	0	
SLE_STR_058			Linear Static	Q1,3	0	
SLE_STR_058			Linear Static	Q1,4	0	
SLE_STR_058			Linear Static	Q2,1	0	
SLE_STR_058			Linear Static	Q2,2	0	
SLE_STR_058			Linear Static	Q3,1	0	
SLE_STR_058			Linear Static	Q3,2	0.66	
SLE_STR_058			Linear Static	Q3,3	0.66	
SLE_STR_058			Linear Static	Q3,4	0	
SLE_STR_058			Linear Static	Q4,1	0	
SLE_STR_058			Linear Static	Q4,2	0	
SLE_STR_058			Linear Static	Q4,3	0.33	
SLE_STR_058			Linear Static	Q4,4	0.33	
SLE_STR_058			Linear Static	Q5u	0.6	
SLE_STR_058			Linear Static	Q5d	0.6	
SLE_STR_058			Linear Static	Q6,1	1	
SLE_STR_058			Linear Static	Q6,2	0	
SLE_STR_058			Linear Static	Q7	1	
SLE_STR_058			Linear Static	Q8,1	0.66	
SLE_STR_058			Linear Static	Q8,2	0	
SLE_STR_058			Linear Static	Ex	0	
SLE_STR_058			Linear Static	Ey	0	
SLE_STR_058			Linear Static	Ez	0	

SLE_STR_059	Linear Add	No	Linear Static	G1	1	None
SLE_STR_059			Linear Static	G2,1	1	
SLE_STR_059			Linear Static	G2,2	1	
SLE_STR_059			Linear Static	G2,3	1	
SLE_STR_059			Linear Static	G2,4	1	
SLE_STR_059			Linear Static	G2,5	1	
SLE_STR_059			Linear Static	Q1,1	0	
SLE_STR_059			Linear Static	Q1,2	0	
SLE_STR_059			Linear Static	Q1,3	0	
SLE_STR_059			Linear Static	Q1,4	0	
SLE_STR_059			Linear Static	Q2,1	0	
SLE_STR_059			Linear Static	Q2,2	0	
SLE_STR_059			Linear Static	Q3,1	0.66	
SLE_STR_059			Linear Static	Q3,2	0.66	
SLE_STR_059			Linear Static	Q3,3	0	
SLE_STR_059			Linear Static	Q3,4	0	
SLE_STR_059			Linear Static	Q4,1	0	
SLE_STR_059			Linear Static	Q4,2	0	
SLE_STR_059			Linear Static	Q4,3	-0.66	
SLE_STR_059			Linear Static	Q4,4	0	
SLE_STR_059			Linear Static	Q5u	0.6	
SLE_STR_059			Linear Static	Q5d	0.6	
SLE_STR_059			Linear Static	Q6,1	1	
SLE_STR_059			Linear Static	Q6,2	0	
SLE_STR_059			Linear Static	Q7	1	
SLE_STR_059			Linear Static	Q8,1	0.66	
SLE_STR_059			Linear Static	Q8,2	0	
SLE_STR_059			Linear Static	Ex	0	
SLE_STR_059			Linear Static	Ey	0	
SLE_STR_059			Linear Static	Ez	0	
SLE_STR_060	Linear Add	No	Linear Static	G1	1	None
SLE_STR_060			Linear Static	G2,1	1	
SLE_STR_060			Linear Static	G2,2	1	
SLE_STR_060			Linear Static	G2,3	1	
SLE_STR_060			Linear Static	G2,4	1	
SLE_STR_060			Linear Static	G2,5	1	
SLE_STR_060			Linear Static	Q1,1	0	
SLE_STR_060			Linear Static	Q1,2	0	
SLE_STR_060			Linear Static	Q1,3	0	
SLE_STR_060			Linear Static	Q1,4	0	
SLE_STR_060			Linear Static	Q2,1	0	
SLE_STR_060			Linear Static	Q2,2	0	
SLE_STR_060			Linear Static	Q3,1	0.66	
SLE_STR_060			Linear Static	Q3,2	0	
SLE_STR_060			Linear Static	Q3,3	0	
SLE_STR_060			Linear Static	Q3,4	0.66	
SLE_STR_060			Linear Static	Q4,1	0	

SLE_STR_060			Linear Static	Q4,2	0	
SLE_STR_060			Linear Static	Q4,3	-0.33	
SLE_STR_060			Linear Static	Q4,4	-0.33	
SLE_STR_060			Linear Static	Q5u	0.6	
SLE_STR_060			Linear Static	Q5d	0.6	
SLE_STR_060			Linear Static	Q6,1	1	
SLE_STR_060			Linear Static	Q6,2	0	
SLE_STR_060			Linear Static	Q7	1	
SLE_STR_060			Linear Static	Q8,1	0.66	
SLE_STR_060			Linear Static	Q8,2	0	
SLE_STR_060			Linear Static	Ex	0	
SLE_STR_060			Linear Static	Ey	0	
SLE_STR_060			Linear Static	Ez	0	
SLE_STR_061	Linear Add	No	Linear Static	G1	1	None
SLE_STR_061			Linear Static	G2,1	1	
SLE_STR_061			Linear Static	G2,2	1	
SLE_STR_061			Linear Static	G2,3	1	
SLE_STR_061			Linear Static	G2,4	1	
SLE_STR_061			Linear Static	G2,5	1	
SLE_STR_061			Linear Static	Q1,1	0	
SLE_STR_061			Linear Static	Q1,2	0	
SLE_STR_061			Linear Static	Q1,3	0	
SLE_STR_061			Linear Static	Q1,4	0	
SLE_STR_061			Linear Static	Q2,1	0	
SLE_STR_061			Linear Static	Q2,2	0	
SLE_STR_061			Linear Static	Q3,1	0	
SLE_STR_061			Linear Static	Q3,2	0	
SLE_STR_061			Linear Static	Q3,3	0.66	
SLE_STR_061			Linear Static	Q3,4	0.66	
SLE_STR_061			Linear Static	Q4,1	0	
SLE_STR_061			Linear Static	Q4,2	0	
SLE_STR_061			Linear Static	Q4,3	0	
SLE_STR_061			Linear Static	Q4,4	-0.66	
SLE_STR_061			Linear Static	Q5u	0.6	
SLE_STR_061			Linear Static	Q5d	0.6	
SLE_STR_061			Linear Static	Q6,1	1	
SLE_STR_061			Linear Static	Q6,2	0	
SLE_STR_061			Linear Static	Q7	1	
SLE_STR_061			Linear Static	Q8,1	0.66	
SLE_STR_061			Linear Static	Q8,2	0	
SLE_STR_061			Linear Static	Ex	0	
SLE_STR_061			Linear Static	Ey	0	
SLE_STR_061			Linear Static	Ez	0	
SLE_STR_062	Linear Add	No	Linear Static	G1	1	None
SLE_STR_062			Linear Static	G2,1	1	
SLE_STR_062			Linear Static	G2,2	1	
SLE_STR_062			Linear Static	G2,3	1	

SLE_STR_062			Linear Static	G2,4	1	
SLE_STR_062			Linear Static	G2,5	1	
SLE_STR_062			Linear Static	Q1,1	0	
SLE_STR_062			Linear Static	Q1,2	0	
SLE_STR_062			Linear Static	Q1,3	0	
SLE_STR_062			Linear Static	Q1,4	0	
SLE_STR_062			Linear Static	Q2,1	0	
SLE_STR_062			Linear Static	Q2,2	0	
SLE_STR_062			Linear Static	Q3,1	0	
SLE_STR_062			Linear Static	Q3,2	0.66	
SLE_STR_062			Linear Static	Q3,3	0.66	
SLE_STR_062			Linear Static	Q3,4	0	
SLE_STR_062			Linear Static	Q4,1	0	
SLE_STR_062			Linear Static	Q4,2	0	
SLE_STR_062			Linear Static	Q4,3	-0.33	
SLE_STR_062			Linear Static	Q4,4	-0.33	
SLE_STR_062			Linear Static	Q5u	0.6	
SLE_STR_062			Linear Static	Q5d	0.6	
SLE_STR_062			Linear Static	Q6,1	1	
SLE_STR_062			Linear Static	Q6,2	0	
SLE_STR_062			Linear Static	Q7	1	
SLE_STR_062			Linear Static	Q8,1	0.66	
SLE_STR_062			Linear Static	Q8,2	0	
SLE_STR_062			Linear Static	Ex	0	
SLE_STR_062			Linear Static	Ey	0	
SLE_STR_062			Linear Static	Ez	0	
SLE_STR_063	Linear Add	No	Linear Static	G1	1	None
SLE_STR_063			Linear Static	G2,1	1	
SLE_STR_063			Linear Static	G2,2	1	
SLE_STR_063			Linear Static	G2,3	1	
SLE_STR_063			Linear Static	G2,4	1	
SLE_STR_063			Linear Static	G2,5	1	
SLE_STR_063			Linear Static	Q1,1	0	
SLE_STR_063			Linear Static	Q1,2	0	
SLE_STR_063			Linear Static	Q1,3	0	
SLE_STR_063			Linear Static	Q1,4	0	
SLE_STR_063			Linear Static	Q2,1	0	
SLE_STR_063			Linear Static	Q2,2	0	
SLE_STR_063			Linear Static	Q3,1	0.66	
SLE_STR_063			Linear Static	Q3,2	0.66	
SLE_STR_063			Linear Static	Q3,3	0	
SLE_STR_063			Linear Static	Q3,4	0	
SLE_STR_063			Linear Static	Q4,1	0	
SLE_STR_063			Linear Static	Q4,2	0	
SLE_STR_063			Linear Static	Q4,3	0.66	
SLE_STR_063			Linear Static	Q4,4	0	
SLE_STR_063			Linear Static	Q5u	0.6	

SLE_STR_063			Linear Static	Q5d	0.6	
SLE_STR_063			Linear Static	Q6,1	1	
SLE_STR_063			Linear Static	Q6,2	0	
SLE_STR_063			Linear Static	Q7	1	
SLE_STR_063			Linear Static	Q8,1	-0.66	
SLE_STR_063			Linear Static	Q8,2	0	
SLE_STR_063			Linear Static	Ex	0	
SLE_STR_063			Linear Static	Ey	0	
SLE_STR_063			Linear Static	Ez	0	
SLE_STR_064	Linear Add	No	Linear Static	G1	1	None
SLE_STR_064			Linear Static	G2,1	1	
SLE_STR_064			Linear Static	G2,2	1	
SLE_STR_064			Linear Static	G2,3	1	
SLE_STR_064			Linear Static	G2,4	1	
SLE_STR_064			Linear Static	G2,5	1	
SLE_STR_064			Linear Static	Q1,1	0	
SLE_STR_064			Linear Static	Q1,2	0	
SLE_STR_064			Linear Static	Q1,3	0	
SLE_STR_064			Linear Static	Q1,4	0	
SLE_STR_064			Linear Static	Q2,1	0	
SLE_STR_064			Linear Static	Q2,2	0	
SLE_STR_064			Linear Static	Q3,1	0.66	
SLE_STR_064			Linear Static	Q3,2	0	
SLE_STR_064			Linear Static	Q3,3	0	
SLE_STR_064			Linear Static	Q3,4	0.66	
SLE_STR_064			Linear Static	Q4,1	0	
SLE_STR_064			Linear Static	Q4,2	0	
SLE_STR_064			Linear Static	Q4,3	0.33	
SLE_STR_064			Linear Static	Q4,4	0.33	
SLE_STR_064			Linear Static	Q5u	0.6	
SLE_STR_064			Linear Static	Q5d	0.6	
SLE_STR_064			Linear Static	Q6,1	1	
SLE_STR_064			Linear Static	Q6,2	0	
SLE_STR_064			Linear Static	Q7	1	
SLE_STR_064			Linear Static	Q8,1	-0.66	
SLE_STR_064			Linear Static	Q8,2	0	
SLE_STR_064			Linear Static	Ex	0	
SLE_STR_064			Linear Static	Ey	0	
SLE_STR_064			Linear Static	Ez	0	
SLE_STR_065	Linear Add	No	Linear Static	G1	1	None
SLE_STR_065			Linear Static	G2,1	1	
SLE_STR_065			Linear Static	G2,2	1	
SLE_STR_065			Linear Static	G2,3	1	
SLE_STR_065			Linear Static	G2,4	1	
SLE_STR_065			Linear Static	G2,5	1	
SLE_STR_065			Linear Static	Q1,1	0	
SLE_STR_065			Linear Static	Q1,2	0	

SLE_STR_065			Linear Static	Q1,3	0	
SLE_STR_065			Linear Static	Q1,4	0	
SLE_STR_065			Linear Static	Q2,1	0	
SLE_STR_065			Linear Static	Q2,2	0	
SLE_STR_065			Linear Static	Q3,1	0	
SLE_STR_065			Linear Static	Q3,2	0	
SLE_STR_065			Linear Static	Q3,3	0.66	
SLE_STR_065			Linear Static	Q3,4	0.66	
SLE_STR_065			Linear Static	Q4,1	0	
SLE_STR_065			Linear Static	Q4,2	0	
SLE_STR_065			Linear Static	Q4,3	0	
SLE_STR_065			Linear Static	Q4,4	0.66	
SLE_STR_065			Linear Static	Q5u	0.6	
SLE_STR_065			Linear Static	Q5d	0.6	
SLE_STR_065			Linear Static	Q6,1	1	
SLE_STR_065			Linear Static	Q6,2	0	
SLE_STR_065			Linear Static	Q7	1	
SLE_STR_065			Linear Static	Q8,1	-0.66	
SLE_STR_065			Linear Static	Q8,2	0	
SLE_STR_065			Linear Static	Ex	0	
SLE_STR_065			Linear Static	Ey	0	
SLE_STR_065			Linear Static	Ez	0	
SLE_STR_066	Linear Add	No	Linear Static	G1	1	None
SLE_STR_066			Linear Static	G2,1	1	
SLE_STR_066			Linear Static	G2,2	1	
SLE_STR_066			Linear Static	G2,3	1	
SLE_STR_066			Linear Static	G2,4	1	
SLE_STR_066			Linear Static	G2,5	1	
SLE_STR_066			Linear Static	Q1,1	0	
SLE_STR_066			Linear Static	Q1,2	0	
SLE_STR_066			Linear Static	Q1,3	0	
SLE_STR_066			Linear Static	Q1,4	0	
SLE_STR_066			Linear Static	Q2,1	0	
SLE_STR_066			Linear Static	Q2,2	0	
SLE_STR_066			Linear Static	Q3,1	0	
SLE_STR_066			Linear Static	Q3,2	0.66	
SLE_STR_066			Linear Static	Q3,3	0.66	
SLE_STR_066			Linear Static	Q3,4	0	
SLE_STR_066			Linear Static	Q4,1	0	
SLE_STR_066			Linear Static	Q4,2	0	
SLE_STR_066			Linear Static	Q4,3	0.33	
SLE_STR_066			Linear Static	Q4,4	0.33	
SLE_STR_066			Linear Static	Q5u	0.6	
SLE_STR_066			Linear Static	Q5d	0.6	
SLE_STR_066			Linear Static	Q6,1	1	
SLE_STR_066			Linear Static	Q6,2	0	
SLE_STR_066			Linear Static	Q7	1	

SLE_STR_066			Linear Static	Q8,1	-0.66	
SLE_STR_066			Linear Static	Q8,2	0	
SLE_STR_066			Linear Static	Ex	0	
SLE_STR_066			Linear Static	Ey	0	
SLE_STR_066			Linear Static	Ez	0	
SLE_STR_067	Linear Add	No	Linear Static	G1	1	None
SLE_STR_067			Linear Static	G2,1	1	
SLE_STR_067			Linear Static	G2,2	1	
SLE_STR_067			Linear Static	G2,3	1	
SLE_STR_067			Linear Static	G2,4	1	
SLE_STR_067			Linear Static	G2,5	1	
SLE_STR_067			Linear Static	Q1,1	0	
SLE_STR_067			Linear Static	Q1,2	0	
SLE_STR_067			Linear Static	Q1,3	0	
SLE_STR_067			Linear Static	Q1,4	0	
SLE_STR_067			Linear Static	Q2,1	0	
SLE_STR_067			Linear Static	Q2,2	0	
SLE_STR_067			Linear Static	Q3,1	0.66	
SLE_STR_067			Linear Static	Q3,2	0.66	
SLE_STR_067			Linear Static	Q3,3	0	
SLE_STR_067			Linear Static	Q3,4	0	
SLE_STR_067			Linear Static	Q4,1	0	
SLE_STR_067			Linear Static	Q4,2	0	
SLE_STR_067			Linear Static	Q4,3	-0.66	
SLE_STR_067			Linear Static	Q4,4	0	
SLE_STR_067			Linear Static	Q5u	0.6	
SLE_STR_067			Linear Static	Q5d	0.6	
SLE_STR_067			Linear Static	Q6,1	1	
SLE_STR_067			Linear Static	Q6,2	0	
SLE_STR_067			Linear Static	Q7	1	
SLE_STR_067			Linear Static	Q8,1	-0.66	
SLE_STR_067			Linear Static	Q8,2	0	
SLE_STR_067			Linear Static	Ex	0	
SLE_STR_067			Linear Static	Ey	0	
SLE_STR_067			Linear Static	Ez	0	
SLE_STR_068	Linear Add	No	Linear Static	G1	1	None
SLE_STR_068			Linear Static	G2,1	1	
SLE_STR_068			Linear Static	G2,2	1	
SLE_STR_068			Linear Static	G2,3	1	
SLE_STR_068			Linear Static	G2,4	1	
SLE_STR_068			Linear Static	G2,5	1	
SLE_STR_068			Linear Static	Q1,1	0	
SLE_STR_068			Linear Static	Q1,2	0	
SLE_STR_068			Linear Static	Q1,3	0	
SLE_STR_068			Linear Static	Q1,4	0	
SLE_STR_068			Linear Static	Q2,1	0	
SLE_STR_068			Linear Static	Q2,2	0	

SLE_STR_068			Linear Static	Q3,1	0.66	
SLE_STR_068			Linear Static	Q3,2	0	
SLE_STR_068			Linear Static	Q3,3	0	
SLE_STR_068			Linear Static	Q3,4	0.66	
SLE_STR_068			Linear Static	Q4,1	0	
SLE_STR_068			Linear Static	Q4,2	0	
SLE_STR_068			Linear Static	Q4,3	-0.33	
SLE_STR_068			Linear Static	Q4,4	-0.33	
SLE_STR_068			Linear Static	Q5u	0.6	
SLE_STR_068			Linear Static	Q5d	0.6	
SLE_STR_068			Linear Static	Q6,1	1	
SLE_STR_068			Linear Static	Q6,2	0	
SLE_STR_068			Linear Static	Q7	1	
SLE_STR_068			Linear Static	Q8,1	-0.66	
SLE_STR_068			Linear Static	Q8,2	0	
SLE_STR_068			Linear Static	Ex	0	
SLE_STR_068			Linear Static	Ey	0	
SLE_STR_068			Linear Static	Ez	0	
SLE_STR_069	Linear Add	No	Linear Static	G1	1	None
SLE_STR_069			Linear Static	G2,1	1	
SLE_STR_069			Linear Static	G2,2	1	
SLE_STR_069			Linear Static	G2,3	1	
SLE_STR_069			Linear Static	G2,4	1	
SLE_STR_069			Linear Static	G2,5	1	
SLE_STR_069			Linear Static	Q1,1	0	
SLE_STR_069			Linear Static	Q1,2	0	
SLE_STR_069			Linear Static	Q1,3	0	
SLE_STR_069			Linear Static	Q1,4	0	
SLE_STR_069			Linear Static	Q2,1	0	
SLE_STR_069			Linear Static	Q2,2	0	
SLE_STR_069			Linear Static	Q3,1	0	
SLE_STR_069			Linear Static	Q3,2	0	
SLE_STR_069			Linear Static	Q3,3	0.66	
SLE_STR_069			Linear Static	Q3,4	0.66	
SLE_STR_069			Linear Static	Q4,1	0	
SLE_STR_069			Linear Static	Q4,2	0	
SLE_STR_069			Linear Static	Q4,3	0	
SLE_STR_069			Linear Static	Q4,4	-0.66	
SLE_STR_069			Linear Static	Q5u	0.6	
SLE_STR_069			Linear Static	Q5d	0.6	
SLE_STR_069			Linear Static	Q6,1	1	
SLE_STR_069			Linear Static	Q6,2	0	
SLE_STR_069			Linear Static	Q7	1	
SLE_STR_069			Linear Static	Q8,1	-0.66	
SLE_STR_069			Linear Static	Q8,2	0	
SLE_STR_069			Linear Static	Ex	0	
SLE_STR_069			Linear Static	Ey	0	

SLE_STR_069			Linear Static	Ez	0	
SLE_STR_070	Linear Add	No	Linear Static	G1	1	None
SLE_STR_070			Linear Static	G2,1	1	
SLE_STR_070			Linear Static	G2,2	1	
SLE_STR_070			Linear Static	G2,3	1	
SLE_STR_070			Linear Static	G2,4	1	
SLE_STR_070			Linear Static	G2,5	1	
SLE_STR_070			Linear Static	Q1,1	0	
SLE_STR_070			Linear Static	Q1,2	0	
SLE_STR_070			Linear Static	Q1,3	0	
SLE_STR_070			Linear Static	Q1,4	0	
SLE_STR_070			Linear Static	Q2,1	0	
SLE_STR_070			Linear Static	Q2,2	0	
SLE_STR_070			Linear Static	Q3,1	0	
SLE_STR_070			Linear Static	Q3,2	0.66	
SLE_STR_070			Linear Static	Q3,3	0.66	
SLE_STR_070			Linear Static	Q3,4	0	
SLE_STR_070			Linear Static	Q4,1	0	
SLE_STR_070			Linear Static	Q4,2	0	
SLE_STR_070			Linear Static	Q4,3	-0.33	
SLE_STR_070			Linear Static	Q4,4	-0.33	
SLE_STR_070			Linear Static	Q5u	0.6	
SLE_STR_070			Linear Static	Q5d	0.6	
SLE_STR_070			Linear Static	Q6,1	1	
SLE_STR_070			Linear Static	Q6,2	0	
SLE_STR_070			Linear Static	Q7	1	
SLE_STR_070			Linear Static	Q8,1	-0.66	
SLE_STR_070			Linear Static	Q8,2	0	
SLE_STR_070			Linear Static	Ex	0	
SLE_STR_070			Linear Static	Ey	0	
SLE_STR_070			Linear Static	Ez	0	
SLE_STR_071	Linear Add	No	Linear Static	G1	1	None
SLE_STR_071			Linear Static	G2,1	1	
SLE_STR_071			Linear Static	G2,2	1	
SLE_STR_071			Linear Static	G2,3	1	
SLE_STR_071			Linear Static	G2,4	1	
SLE_STR_071			Linear Static	G2,5	1	
SLE_STR_071			Linear Static	Q1,1	0.66	
SLE_STR_071			Linear Static	Q1,2	0.66	
SLE_STR_071			Linear Static	Q1,3	0	
SLE_STR_071			Linear Static	Q1,4	0	
SLE_STR_071			Linear Static	Q2,1	0	
SLE_STR_071			Linear Static	Q2,2	0	
SLE_STR_071			Linear Static	Q3,1	0	
SLE_STR_071			Linear Static	Q3,2	0	
SLE_STR_071			Linear Static	Q3,3	0	
SLE_STR_071			Linear Static	Q3,4	0	

SLE_STR_071			Linear Static	Q4,1	0	
SLE_STR_071			Linear Static	Q4,2	0	
SLE_STR_071			Linear Static	Q4,3	0.66	
SLE_STR_071			Linear Static	Q4,4	0	
SLE_STR_071			Linear Static	Q5u	-0.6	
SLE_STR_071			Linear Static	Q5d	-0.6	
SLE_STR_071			Linear Static	Q6,1	1	
SLE_STR_071			Linear Static	Q6,2	0	
SLE_STR_071			Linear Static	Q7	1	
SLE_STR_071			Linear Static	Q8,1	0.66	
SLE_STR_071			Linear Static	Q8,2	0	
SLE_STR_071			Linear Static	Ex	0	
SLE_STR_071			Linear Static	Ey	0	
SLE_STR_071			Linear Static	Ez	0	
SLE_STR_072	Linear Add	No	Linear Static	G1	1	None
SLE_STR_072			Linear Static	G2,1	1	
SLE_STR_072			Linear Static	G2,2	1	
SLE_STR_072			Linear Static	G2,3	1	
SLE_STR_072			Linear Static	G2,4	1	
SLE_STR_072			Linear Static	G2,5	1	
SLE_STR_072			Linear Static	Q1,1	0.66	
SLE_STR_072			Linear Static	Q1,2	0	
SLE_STR_072			Linear Static	Q1,3	0	
SLE_STR_072			Linear Static	Q1,4	0.66	
SLE_STR_072			Linear Static	Q2,1	0	
SLE_STR_072			Linear Static	Q2,2	0	
SLE_STR_072			Linear Static	Q3,1	0	
SLE_STR_072			Linear Static	Q3,2	0	
SLE_STR_072			Linear Static	Q3,3	0	
SLE_STR_072			Linear Static	Q3,4	0	
SLE_STR_072			Linear Static	Q4,1	0	
SLE_STR_072			Linear Static	Q4,2	0	
SLE_STR_072			Linear Static	Q4,3	0.33	
SLE_STR_072			Linear Static	Q4,4	0.33	
SLE_STR_072			Linear Static	Q5u	-0.6	
SLE_STR_072			Linear Static	Q5d	-0.6	
SLE_STR_072			Linear Static	Q6,1	1	
SLE_STR_072			Linear Static	Q6,2	0	
SLE_STR_072			Linear Static	Q7	1	
SLE_STR_072			Linear Static	Q8,1	0.66	
SLE_STR_072			Linear Static	Q8,2	0	
SLE_STR_072			Linear Static	Ex	0	
SLE_STR_072			Linear Static	Ey	0	
SLE_STR_072			Linear Static	Ez	0	
SLE_STR_073	Linear Add	No	Linear Static	G1	1	None
SLE_STR_073			Linear Static	G2,1	1	
SLE_STR_073			Linear Static	G2,2	1	

SLE_STR_073			Linear Static	G2,3	1	
SLE_STR_073			Linear Static	G2,4	1	
SLE_STR_073			Linear Static	G2,5	1	
SLE_STR_073			Linear Static	Q1,1	0	
SLE_STR_073			Linear Static	Q1,2	0	
SLE_STR_073			Linear Static	Q1,3	0.66	
SLE_STR_073			Linear Static	Q1,4	0.66	
SLE_STR_073			Linear Static	Q2,1	0	
SLE_STR_073			Linear Static	Q2,2	0	
SLE_STR_073			Linear Static	Q3,1	0	
SLE_STR_073			Linear Static	Q3,2	0	
SLE_STR_073			Linear Static	Q3,3	0	
SLE_STR_073			Linear Static	Q3,4	0	
SLE_STR_073			Linear Static	Q4,1	0	
SLE_STR_073			Linear Static	Q4,2	0	
SLE_STR_073			Linear Static	Q4,3	0	
SLE_STR_073			Linear Static	Q4,4	0.66	
SLE_STR_073			Linear Static	Q5u	-0.6	
SLE_STR_073			Linear Static	Q5d	-0.6	
SLE_STR_073			Linear Static	Q6,1	1	
SLE_STR_073			Linear Static	Q6,2	0	
SLE_STR_073			Linear Static	Q7	1	
SLE_STR_073			Linear Static	Q8,1	0.66	
SLE_STR_073			Linear Static	Q8,2	0	
SLE_STR_073			Linear Static	Ex	0	
SLE_STR_073			Linear Static	Ey	0	
SLE_STR_073			Linear Static	Ez	0	
SLE_STR_074	Linear Add	No	Linear Static	G1	1	None
SLE_STR_074			Linear Static	G2,1	1	
SLE_STR_074			Linear Static	G2,2	1	
SLE_STR_074			Linear Static	G2,3	1	
SLE_STR_074			Linear Static	G2,4	1	
SLE_STR_074			Linear Static	G2,5	1	
SLE_STR_074			Linear Static	Q1,1	0	
SLE_STR_074			Linear Static	Q1,2	0.66	
SLE_STR_074			Linear Static	Q1,3	0.66	
SLE_STR_074			Linear Static	Q1,4	0	
SLE_STR_074			Linear Static	Q2,1	0	
SLE_STR_074			Linear Static	Q2,2	0	
SLE_STR_074			Linear Static	Q3,1	0	
SLE_STR_074			Linear Static	Q3,2	0	
SLE_STR_074			Linear Static	Q3,3	0	
SLE_STR_074			Linear Static	Q3,4	0	
SLE_STR_074			Linear Static	Q4,1	0	
SLE_STR_074			Linear Static	Q4,2	0	
SLE_STR_074			Linear Static	Q4,3	0.33	
SLE_STR_074			Linear Static	Q4,4	0.33	

SLE_STR_074			Linear Static	Q5u	-0.6	
SLE_STR_074			Linear Static	Q5d	-0.6	
SLE_STR_074			Linear Static	Q6,1	1	
SLE_STR_074			Linear Static	Q6,2	0	
SLE_STR_074			Linear Static	Q7	1	
SLE_STR_074			Linear Static	Q8,1	0.66	
SLE_STR_074			Linear Static	Q8,2	0	
SLE_STR_074			Linear Static	Ex	0	
SLE_STR_074			Linear Static	Ey	0	
SLE_STR_074			Linear Static	Ez	0	
SLE_STR_075	Linear Add	No	Linear Static	G1	1	None
SLE_STR_075			Linear Static	G2,1	1	
SLE_STR_075			Linear Static	G2,2	1	
SLE_STR_075			Linear Static	G2,3	1	
SLE_STR_075			Linear Static	G2,4	1	
SLE_STR_075			Linear Static	G2,5	1	
SLE_STR_075			Linear Static	Q1,1	0.66	
SLE_STR_075			Linear Static	Q1,2	0.66	
SLE_STR_075			Linear Static	Q1,3	0	
SLE_STR_075			Linear Static	Q1,4	0	
SLE_STR_075			Linear Static	Q2,1	0	
SLE_STR_075			Linear Static	Q2,2	0	
SLE_STR_075			Linear Static	Q3,1	0	
SLE_STR_075			Linear Static	Q3,2	0	
SLE_STR_075			Linear Static	Q3,3	0	
SLE_STR_075			Linear Static	Q3,4	0	
SLE_STR_075			Linear Static	Q4,1	0	
SLE_STR_075			Linear Static	Q4,2	0	
SLE_STR_075			Linear Static	Q4,3	-0.66	
SLE_STR_075			Linear Static	Q4,4	0	
SLE_STR_075			Linear Static	Q5u	-0.6	
SLE_STR_075			Linear Static	Q5d	-0.6	
SLE_STR_075			Linear Static	Q6,1	1	
SLE_STR_075			Linear Static	Q6,2	0	
SLE_STR_075			Linear Static	Q7	1	
SLE_STR_075			Linear Static	Q8,1	0.66	
SLE_STR_075			Linear Static	Q8,2	0	
SLE_STR_075			Linear Static	Ex	0	
SLE_STR_075			Linear Static	Ey	0	
SLE_STR_075			Linear Static	Ez	0	
SLE_STR_076	Linear Add	No	Linear Static	G1	1	None
SLE_STR_076			Linear Static	G2,1	1	
SLE_STR_076			Linear Static	G2,2	1	
SLE_STR_076			Linear Static	G2,3	1	
SLE_STR_076			Linear Static	G2,4	1	
SLE_STR_076			Linear Static	G2,5	1	
SLE_STR_076			Linear Static	Q1,1	0.66	

SLE_STR_076			Linear Static	Q1,2	0	
SLE_STR_076			Linear Static	Q1,3	0	
SLE_STR_076			Linear Static	Q1,4	0.66	
SLE_STR_076			Linear Static	Q2,1	0	
SLE_STR_076			Linear Static	Q2,2	0	
SLE_STR_076			Linear Static	Q3,1	0	
SLE_STR_076			Linear Static	Q3,2	0	
SLE_STR_076			Linear Static	Q3,3	0	
SLE_STR_076			Linear Static	Q3,4	0	
SLE_STR_076			Linear Static	Q4,1	0	
SLE_STR_076			Linear Static	Q4,2	0	
SLE_STR_076			Linear Static	Q4,3	-0.33	
SLE_STR_076			Linear Static	Q4,4	-0.33	
SLE_STR_076			Linear Static	Q5u	-0.6	
SLE_STR_076			Linear Static	Q5d	-0.6	
SLE_STR_076			Linear Static	Q6,1	1	
SLE_STR_076			Linear Static	Q6,2	0	
SLE_STR_076			Linear Static	Q7	1	
SLE_STR_076			Linear Static	Q8,1	0.66	
SLE_STR_076			Linear Static	Q8,2	0	
SLE_STR_076			Linear Static	Ex	0	
SLE_STR_076			Linear Static	Ey	0	
SLE_STR_076			Linear Static	Ez	0	
SLE_STR_077	Linear Add	No	Linear Static	G1	1	None
SLE_STR_077			Linear Static	G2,1	1	
SLE_STR_077			Linear Static	G2,2	1	
SLE_STR_077			Linear Static	G2,3	1	
SLE_STR_077			Linear Static	G2,4	1	
SLE_STR_077			Linear Static	G2,5	1	
SLE_STR_077			Linear Static	Q1,1	0	
SLE_STR_077			Linear Static	Q1,2	0	
SLE_STR_077			Linear Static	Q1,3	0.66	
SLE_STR_077			Linear Static	Q1,4	0.66	
SLE_STR_077			Linear Static	Q2,1	0	
SLE_STR_077			Linear Static	Q2,2	0	
SLE_STR_077			Linear Static	Q3,1	0	
SLE_STR_077			Linear Static	Q3,2	0	
SLE_STR_077			Linear Static	Q3,3	0	
SLE_STR_077			Linear Static	Q3,4	0	
SLE_STR_077			Linear Static	Q4,1	0	
SLE_STR_077			Linear Static	Q4,2	0	
SLE_STR_077			Linear Static	Q4,3	0	
SLE_STR_077			Linear Static	Q4,4	-0.66	
SLE_STR_077			Linear Static	Q5u	-0.6	
SLE_STR_077			Linear Static	Q5d	-0.6	
SLE_STR_077			Linear Static	Q6,1	1	
SLE_STR_077			Linear Static	Q6,2	0	

SLE_STR_077			Linear Static	Q7	1	
SLE_STR_077			Linear Static	Q8,1	0.66	
SLE_STR_077			Linear Static	Q8,2	0	
SLE_STR_077			Linear Static	Ex	0	
SLE_STR_077			Linear Static	Ey	0	
SLE_STR_077			Linear Static	Ez	0	
SLE_STR_078	Linear Add	No	Linear Static	G1	1	None
SLE_STR_078			Linear Static	G2,1	1	
SLE_STR_078			Linear Static	G2,2	1	
SLE_STR_078			Linear Static	G2,3	1	
SLE_STR_078			Linear Static	G2,4	1	
SLE_STR_078			Linear Static	G2,5	1	
SLE_STR_078			Linear Static	Q1,1	0	
SLE_STR_078			Linear Static	Q1,2	0.66	
SLE_STR_078			Linear Static	Q1,3	0.66	
SLE_STR_078			Linear Static	Q1,4	0	
SLE_STR_078			Linear Static	Q2,1	0	
SLE_STR_078			Linear Static	Q2,2	0	
SLE_STR_078			Linear Static	Q3,1	0	
SLE_STR_078			Linear Static	Q3,2	0	
SLE_STR_078			Linear Static	Q3,3	0	
SLE_STR_078			Linear Static	Q3,4	0	
SLE_STR_078			Linear Static	Q4,1	0	
SLE_STR_078			Linear Static	Q4,2	0	
SLE_STR_078			Linear Static	Q4,3	-0.33	
SLE_STR_078			Linear Static	Q4,4	-0.33	
SLE_STR_078			Linear Static	Q5u	-0.6	
SLE_STR_078			Linear Static	Q5d	-0.6	
SLE_STR_078			Linear Static	Q6,1	1	
SLE_STR_078			Linear Static	Q6,2	0	
SLE_STR_078			Linear Static	Q7	1	
SLE_STR_078			Linear Static	Q8,1	0.66	
SLE_STR_078			Linear Static	Q8,2	0	
SLE_STR_078			Linear Static	Ex	0	
SLE_STR_078			Linear Static	Ey	0	
SLE_STR_078			Linear Static	Ez	0	
SLE_STR_079	Linear Add	No	Linear Static	G1	1	None
SLE_STR_079			Linear Static	G2,1	1	
SLE_STR_079			Linear Static	G2,2	1	
SLE_STR_079			Linear Static	G2,3	1	
SLE_STR_079			Linear Static	G2,4	1	
SLE_STR_079			Linear Static	G2,5	1	
SLE_STR_079			Linear Static	Q1,1	0.66	
SLE_STR_079			Linear Static	Q1,2	0.66	
SLE_STR_079			Linear Static	Q1,3	0	
SLE_STR_079			Linear Static	Q1,4	0	
SLE_STR_079			Linear Static	Q2,1	0	

SLE_STR_079			Linear Static	Q2,2	0	
SLE_STR_079			Linear Static	Q3,1	0	
SLE_STR_079			Linear Static	Q3,2	0	
SLE_STR_079			Linear Static	Q3,3	0	
SLE_STR_079			Linear Static	Q3,4	0	
SLE_STR_079			Linear Static	Q4,1	0	
SLE_STR_079			Linear Static	Q4,2	0	
SLE_STR_079			Linear Static	Q4,3	0.66	
SLE_STR_079			Linear Static	Q4,4	0	
SLE_STR_079			Linear Static	Q5u	-0.6	
SLE_STR_079			Linear Static	Q5d	-0.6	
SLE_STR_079			Linear Static	Q6,1	1	
SLE_STR_079			Linear Static	Q6,2	0	
SLE_STR_079			Linear Static	Q7	1	
SLE_STR_079			Linear Static	Q8,1	-0.66	
SLE_STR_079			Linear Static	Q8,2	0	
SLE_STR_079			Linear Static	Ex	0	
SLE_STR_079			Linear Static	Ey	0	
SLE_STR_079			Linear Static	Ez	0	
SLE_STR_080	Linear Add	No	Linear Static	G1	1	None
SLE_STR_080			Linear Static	G2,1	1	
SLE_STR_080			Linear Static	G2,2	1	
SLE_STR_080			Linear Static	G2,3	1	
SLE_STR_080			Linear Static	G2,4	1	
SLE_STR_080			Linear Static	G2,5	1	
SLE_STR_080			Linear Static	Q1,1	0.66	
SLE_STR_080			Linear Static	Q1,2	0	
SLE_STR_080			Linear Static	Q1,3	0	
SLE_STR_080			Linear Static	Q1,4	0.66	
SLE_STR_080			Linear Static	Q2,1	0	
SLE_STR_080			Linear Static	Q2,2	0	
SLE_STR_080			Linear Static	Q3,1	0	
SLE_STR_080			Linear Static	Q3,2	0	
SLE_STR_080			Linear Static	Q3,3	0	
SLE_STR_080			Linear Static	Q3,4	0	
SLE_STR_080			Linear Static	Q4,1	0	
SLE_STR_080			Linear Static	Q4,2	0	
SLE_STR_080			Linear Static	Q4,3	0.33	
SLE_STR_080			Linear Static	Q4,4	0.33	
SLE_STR_080			Linear Static	Q5u	-0.6	
SLE_STR_080			Linear Static	Q5d	-0.6	
SLE_STR_080			Linear Static	Q6,1	1	
SLE_STR_080			Linear Static	Q6,2	0	
SLE_STR_080			Linear Static	Q7	1	
SLE_STR_080			Linear Static	Q8,1	-0.66	
SLE_STR_080			Linear Static	Q8,2	0	
SLE_STR_080			Linear Static	Ex	0	

SLE_STR_080			Linear Static	Ey	0	
SLE_STR_080			Linear Static	Ez	0	
SLE_STR_081	Linear Add	No	Linear Static	G1	1	None
SLE_STR_081			Linear Static	G2,1	1	
SLE_STR_081			Linear Static	G2,2	1	
SLE_STR_081			Linear Static	G2,3	1	
SLE_STR_081			Linear Static	G2,4	1	
SLE_STR_081			Linear Static	G2,5	1	
SLE_STR_081			Linear Static	Q1,1	0	
SLE_STR_081			Linear Static	Q1,2	0	
SLE_STR_081			Linear Static	Q1,3	0.66	
SLE_STR_081			Linear Static	Q1,4	0.66	
SLE_STR_081			Linear Static	Q2,1	0	
SLE_STR_081			Linear Static	Q2,2	0	
SLE_STR_081			Linear Static	Q3,1	0	
SLE_STR_081			Linear Static	Q3,2	0	
SLE_STR_081			Linear Static	Q3,3	0	
SLE_STR_081			Linear Static	Q3,4	0	
SLE_STR_081			Linear Static	Q4,1	0	
SLE_STR_081			Linear Static	Q4,2	0	
SLE_STR_081			Linear Static	Q4,3	0	
SLE_STR_081			Linear Static	Q4,4	0.66	
SLE_STR_081			Linear Static	Q5u	-0.6	
SLE_STR_081			Linear Static	Q5d	-0.6	
SLE_STR_081			Linear Static	Q6,1	1	
SLE_STR_081			Linear Static	Q6,2	0	
SLE_STR_081			Linear Static	Q7	1	
SLE_STR_081			Linear Static	Q8,1	-0.66	
SLE_STR_081			Linear Static	Q8,2	0	
SLE_STR_081			Linear Static	Ex	0	
SLE_STR_081			Linear Static	Ey	0	
SLE_STR_081			Linear Static	Ez	0	
SLE_STR_082	Linear Add	No	Linear Static	G1	1	None
SLE_STR_082			Linear Static	G2,1	1	
SLE_STR_082			Linear Static	G2,2	1	
SLE_STR_082			Linear Static	G2,3	1	
SLE_STR_082			Linear Static	G2,4	1	
SLE_STR_082			Linear Static	G2,5	1	
SLE_STR_082			Linear Static	Q1,1	0	
SLE_STR_082			Linear Static	Q1,2	0.66	
SLE_STR_082			Linear Static	Q1,3	0.66	
SLE_STR_082			Linear Static	Q1,4	0	
SLE_STR_082			Linear Static	Q2,1	0	
SLE_STR_082			Linear Static	Q2,2	0	
SLE_STR_082			Linear Static	Q3,1	0	
SLE_STR_082			Linear Static	Q3,2	0	
SLE_STR_082			Linear Static	Q3,3	0	

SLE_STR_082			Linear Static	Q3,4	0	
SLE_STR_082			Linear Static	Q4,1	0	
SLE_STR_082			Linear Static	Q4,2	0	
SLE_STR_082			Linear Static	Q4,3	0.33	
SLE_STR_082			Linear Static	Q4,4	0.33	
SLE_STR_082			Linear Static	Q5u	-0.6	
SLE_STR_082			Linear Static	Q5d	-0.6	
SLE_STR_082			Linear Static	Q6,1	1	
SLE_STR_082			Linear Static	Q6,2	0	
SLE_STR_082			Linear Static	Q7	1	
SLE_STR_082			Linear Static	Q8,1	-0.66	
SLE_STR_082			Linear Static	Q8,2	0	
SLE_STR_082			Linear Static	Ex	0	
SLE_STR_082			Linear Static	Ey	0	
SLE_STR_082			Linear Static	Ez	0	
SLE_STR_083	Linear Add	No	Linear Static	G1	1	None
SLE_STR_083			Linear Static	G2,1	1	
SLE_STR_083			Linear Static	G2,2	1	
SLE_STR_083			Linear Static	G2,3	1	
SLE_STR_083			Linear Static	G2,4	1	
SLE_STR_083			Linear Static	G2,5	1	
SLE_STR_083			Linear Static	Q1,1	0.66	
SLE_STR_083			Linear Static	Q1,2	0.66	
SLE_STR_083			Linear Static	Q1,3	0	
SLE_STR_083			Linear Static	Q1,4	0	
SLE_STR_083			Linear Static	Q2,1	0	
SLE_STR_083			Linear Static	Q2,2	0	
SLE_STR_083			Linear Static	Q3,1	0	
SLE_STR_083			Linear Static	Q3,2	0	
SLE_STR_083			Linear Static	Q3,3	0	
SLE_STR_083			Linear Static	Q3,4	0	
SLE_STR_083			Linear Static	Q4,1	0	
SLE_STR_083			Linear Static	Q4,2	0	
SLE_STR_083			Linear Static	Q4,3	-0.66	
SLE_STR_083			Linear Static	Q4,4	0	
SLE_STR_083			Linear Static	Q5u	-0.6	
SLE_STR_083			Linear Static	Q5d	-0.6	
SLE_STR_083			Linear Static	Q6,1	1	
SLE_STR_083			Linear Static	Q6,2	0	
SLE_STR_083			Linear Static	Q7	1	
SLE_STR_083			Linear Static	Q8,1	-0.66	
SLE_STR_083			Linear Static	Q8,2	0	
SLE_STR_083			Linear Static	Ex	0	
SLE_STR_083			Linear Static	Ey	0	
SLE_STR_083			Linear Static	Ez	0	
SLE_STR_084	Linear Add	No	Linear Static	G1	1	None
SLE_STR_084			Linear Static	G2,1	1	

SLE_STR_084			Linear Static	G2,2	1	
SLE_STR_084			Linear Static	G2,3	1	
SLE_STR_084			Linear Static	G2,4	1	
SLE_STR_084			Linear Static	G2,5	1	
SLE_STR_084			Linear Static	Q1,1	0.66	
SLE_STR_084			Linear Static	Q1,2	0	
SLE_STR_084			Linear Static	Q1,3	0	
SLE_STR_084			Linear Static	Q1,4	0.66	
SLE_STR_084			Linear Static	Q2,1	0	
SLE_STR_084			Linear Static	Q2,2	0	
SLE_STR_084			Linear Static	Q3,1	0	
SLE_STR_084			Linear Static	Q3,2	0	
SLE_STR_084			Linear Static	Q3,3	0	
SLE_STR_084			Linear Static	Q3,4	0	
SLE_STR_084			Linear Static	Q4,1	0	
SLE_STR_084			Linear Static	Q4,2	0	
SLE_STR_084			Linear Static	Q4,3	-0.33	
SLE_STR_084			Linear Static	Q4,4	-0.33	
SLE_STR_084			Linear Static	Q5u	-0.6	
SLE_STR_084			Linear Static	Q5d	-0.6	
SLE_STR_084			Linear Static	Q6,1	1	
SLE_STR_084			Linear Static	Q6,2	0	
SLE_STR_084			Linear Static	Q7	1	
SLE_STR_084			Linear Static	Q8,1	-0.66	
SLE_STR_084			Linear Static	Q8,2	0	
SLE_STR_084			Linear Static	Ex	0	
SLE_STR_084			Linear Static	Ey	0	
SLE_STR_084			Linear Static	Ez	0	
SLE_STR_085	Linear Add	No	Linear Static	G1	1	None
SLE_STR_085			Linear Static	G2,1	1	
SLE_STR_085			Linear Static	G2,2	1	
SLE_STR_085			Linear Static	G2,3	1	
SLE_STR_085			Linear Static	G2,4	1	
SLE_STR_085			Linear Static	G2,5	1	
SLE_STR_085			Linear Static	Q1,1	0	
SLE_STR_085			Linear Static	Q1,2	0	
SLE_STR_085			Linear Static	Q1,3	0.66	
SLE_STR_085			Linear Static	Q1,4	0.66	
SLE_STR_085			Linear Static	Q2,1	0	
SLE_STR_085			Linear Static	Q2,2	0	
SLE_STR_085			Linear Static	Q3,1	0	
SLE_STR_085			Linear Static	Q3,2	0	
SLE_STR_085			Linear Static	Q3,3	0	
SLE_STR_085			Linear Static	Q3,4	0	
SLE_STR_085			Linear Static	Q4,1	0	
SLE_STR_085			Linear Static	Q4,2	0	
SLE_STR_085			Linear Static	Q4,3	0	

SLE_STR_085			Linear Static	Q4,4	-0.66	
SLE_STR_085			Linear Static	Q5u	-0.6	
SLE_STR_085			Linear Static	Q5d	-0.6	
SLE_STR_085			Linear Static	Q6,1	1	
SLE_STR_085			Linear Static	Q6,2	0	
SLE_STR_085			Linear Static	Q7	1	
SLE_STR_085			Linear Static	Q8,1	-0.66	
SLE_STR_085			Linear Static	Q8,2	0	
SLE_STR_085			Linear Static	Ex	0	
SLE_STR_085			Linear Static	Ey	0	
SLE_STR_085			Linear Static	Ez	0	
SLE_STR_086	Linear Add	No	Linear Static	G1	1	None
SLE_STR_086			Linear Static	G2,1	1	
SLE_STR_086			Linear Static	G2,2	1	
SLE_STR_086			Linear Static	G2,3	1	
SLE_STR_086			Linear Static	G2,4	1	
SLE_STR_086			Linear Static	G2,5	1	
SLE_STR_086			Linear Static	Q1,1	0	
SLE_STR_086			Linear Static	Q1,2	0.66	
SLE_STR_086			Linear Static	Q1,3	0.66	
SLE_STR_086			Linear Static	Q1,4	0	
SLE_STR_086			Linear Static	Q2,1	0	
SLE_STR_086			Linear Static	Q2,2	0	
SLE_STR_086			Linear Static	Q3,1	0	
SLE_STR_086			Linear Static	Q3,2	0	
SLE_STR_086			Linear Static	Q3,3	0	
SLE_STR_086			Linear Static	Q3,4	0	
SLE_STR_086			Linear Static	Q4,1	0	
SLE_STR_086			Linear Static	Q4,2	0	
SLE_STR_086			Linear Static	Q4,3	-0.33	
SLE_STR_086			Linear Static	Q4,4	-0.33	
SLE_STR_086			Linear Static	Q5u	-0.6	
SLE_STR_086			Linear Static	Q5d	-0.6	
SLE_STR_086			Linear Static	Q6,1	1	
SLE_STR_086			Linear Static	Q6,2	0	
SLE_STR_086			Linear Static	Q7	1	
SLE_STR_086			Linear Static	Q8,1	-0.66	
SLE_STR_086			Linear Static	Q8,2	0	
SLE_STR_086			Linear Static	Ex	0	
SLE_STR_086			Linear Static	Ey	0	
SLE_STR_086			Linear Static	Ez	0	
SLE_STR_087	Linear Add	No	Linear Static	G1	1	None
SLE_STR_087			Linear Static	G2,1	1	
SLE_STR_087			Linear Static	G2,2	1	
SLE_STR_087			Linear Static	G2,3	1	
SLE_STR_087			Linear Static	G2,4	1	
SLE_STR_087			Linear Static	G2,5	1	

SLE_STR_087			Linear Static	Q1,1	0	
SLE_STR_087			Linear Static	Q1,2	0	
SLE_STR_087			Linear Static	Q1,3	0	
SLE_STR_087			Linear Static	Q1,4	0	
SLE_STR_087			Linear Static	Q2,1	0	
SLE_STR_087			Linear Static	Q2,2	0	
SLE_STR_087			Linear Static	Q3,1	0.66	
SLE_STR_087			Linear Static	Q3,2	0.66	
SLE_STR_087			Linear Static	Q3,3	0	
SLE_STR_087			Linear Static	Q3,4	0	
SLE_STR_087			Linear Static	Q4,1	0	
SLE_STR_087			Linear Static	Q4,2	0	
SLE_STR_087			Linear Static	Q4,3	0.66	
SLE_STR_087			Linear Static	Q4,4	0	
SLE_STR_087			Linear Static	Q5u	-0.6	
SLE_STR_087			Linear Static	Q5d	-0.6	
SLE_STR_087			Linear Static	Q6,1	1	
SLE_STR_087			Linear Static	Q6,2	0	
SLE_STR_087			Linear Static	Q7	1	
SLE_STR_087			Linear Static	Q8,1	0.66	
SLE_STR_087			Linear Static	Q8,2	0	
SLE_STR_087			Linear Static	Ex	0	
SLE_STR_087			Linear Static	Ey	0	
SLE_STR_087			Linear Static	Ez	0	
SLE_STR_088	Linear Add	No	Linear Static	G1	1	None
SLE_STR_088			Linear Static	G2,1	1	
SLE_STR_088			Linear Static	G2,2	1	
SLE_STR_088			Linear Static	G2,3	1	
SLE_STR_088			Linear Static	G2,4	1	
SLE_STR_088			Linear Static	G2,5	1	
SLE_STR_088			Linear Static	Q1,1	0	
SLE_STR_088			Linear Static	Q1,2	0	
SLE_STR_088			Linear Static	Q1,3	0	
SLE_STR_088			Linear Static	Q1,4	0	
SLE_STR_088			Linear Static	Q2,1	0	
SLE_STR_088			Linear Static	Q2,2	0	
SLE_STR_088			Linear Static	Q3,1	0.66	
SLE_STR_088			Linear Static	Q3,2	0	
SLE_STR_088			Linear Static	Q3,3	0	
SLE_STR_088			Linear Static	Q3,4	0.66	
SLE_STR_088			Linear Static	Q4,1	0	
SLE_STR_088			Linear Static	Q4,2	0	
SLE_STR_088			Linear Static	Q4,3	0.33	
SLE_STR_088			Linear Static	Q4,4	0.33	
SLE_STR_088			Linear Static	Q5u	-0.6	
SLE_STR_088			Linear Static	Q5d	-0.6	
SLE_STR_088			Linear Static	Q6,1	1	

SLE_STR_088			Linear Static	Q6,2	0	
SLE_STR_088			Linear Static	Q7	1	
SLE_STR_088			Linear Static	Q8,1	0.66	
SLE_STR_088			Linear Static	Q8,2	0	
SLE_STR_088			Linear Static	Ex	0	
SLE_STR_088			Linear Static	Ey	0	
SLE_STR_088			Linear Static	Ez	0	
SLE_STR_089	Linear Add	No	Linear Static	G1	1	None
SLE_STR_089			Linear Static	G2,1	1	
SLE_STR_089			Linear Static	G2,2	1	
SLE_STR_089			Linear Static	G2,3	1	
SLE_STR_089			Linear Static	G2,4	1	
SLE_STR_089			Linear Static	G2,5	1	
SLE_STR_089			Linear Static	Q1,1	0	
SLE_STR_089			Linear Static	Q1,2	0	
SLE_STR_089			Linear Static	Q1,3	0	
SLE_STR_089			Linear Static	Q1,4	0	
SLE_STR_089			Linear Static	Q2,1	0	
SLE_STR_089			Linear Static	Q2,2	0	
SLE_STR_089			Linear Static	Q3,1	0	
SLE_STR_089			Linear Static	Q3,2	0	
SLE_STR_089			Linear Static	Q3,3	0.66	
SLE_STR_089			Linear Static	Q3,4	0.66	
SLE_STR_089			Linear Static	Q4,1	0	
SLE_STR_089			Linear Static	Q4,2	0	
SLE_STR_089			Linear Static	Q4,3	0	
SLE_STR_089			Linear Static	Q4,4	0.66	
SLE_STR_089			Linear Static	Q5u	-0.6	
SLE_STR_089			Linear Static	Q5d	-0.6	
SLE_STR_089			Linear Static	Q6,1	1	
SLE_STR_089			Linear Static	Q6,2	0	
SLE_STR_089			Linear Static	Q7	1	
SLE_STR_089			Linear Static	Q8,1	0.66	
SLE_STR_089			Linear Static	Q8,2	0	
SLE_STR_089			Linear Static	Ex	0	
SLE_STR_089			Linear Static	Ey	0	
SLE_STR_089			Linear Static	Ez	0	
SLE_STR_090	Linear Add	No	Linear Static	G1	1	None
SLE_STR_090			Linear Static	G2,1	1	
SLE_STR_090			Linear Static	G2,2	1	
SLE_STR_090			Linear Static	G2,3	1	
SLE_STR_090			Linear Static	G2,4	1	
SLE_STR_090			Linear Static	G2,5	1	
SLE_STR_090			Linear Static	Q1,1	0	
SLE_STR_090			Linear Static	Q1,2	0	
SLE_STR_090			Linear Static	Q1,3	0	
SLE_STR_090			Linear Static	Q1,4	0	

SLE_STR_090			Linear Static	Q2,1	0	
SLE_STR_090			Linear Static	Q2,2	0	
SLE_STR_090			Linear Static	Q3,1	0	
SLE_STR_090			Linear Static	Q3,2	0.66	
SLE_STR_090			Linear Static	Q3,3	0.66	
SLE_STR_090			Linear Static	Q3,4	0	
SLE_STR_090			Linear Static	Q4,1	0	
SLE_STR_090			Linear Static	Q4,2	0	
SLE_STR_090			Linear Static	Q4,3	0.33	
SLE_STR_090			Linear Static	Q4,4	0.33	
SLE_STR_090			Linear Static	Q5u	-0.6	
SLE_STR_090			Linear Static	Q5d	-0.6	
SLE_STR_090			Linear Static	Q6,1	1	
SLE_STR_090			Linear Static	Q6,2	0	
SLE_STR_090			Linear Static	Q7	1	
SLE_STR_090			Linear Static	Q8,1	0.66	
SLE_STR_090			Linear Static	Q8,2	0	
SLE_STR_090			Linear Static	Ex	0	
SLE_STR_090			Linear Static	Ey	0	
SLE_STR_090			Linear Static	Ez	0	
SLE_STR_091	Linear Add	No	Linear Static	G1	1	None
SLE_STR_091			Linear Static	G2,1	1	
SLE_STR_091			Linear Static	G2,2	1	
SLE_STR_091			Linear Static	G2,3	1	
SLE_STR_091			Linear Static	G2,4	1	
SLE_STR_091			Linear Static	G2,5	1	
SLE_STR_091			Linear Static	Q1,1	0	
SLE_STR_091			Linear Static	Q1,2	0	
SLE_STR_091			Linear Static	Q1,3	0	
SLE_STR_091			Linear Static	Q1,4	0	
SLE_STR_091			Linear Static	Q2,1	0	
SLE_STR_091			Linear Static	Q2,2	0	
SLE_STR_091			Linear Static	Q3,1	0.66	
SLE_STR_091			Linear Static	Q3,2	0.66	
SLE_STR_091			Linear Static	Q3,3	0	
SLE_STR_091			Linear Static	Q3,4	0	
SLE_STR_091			Linear Static	Q4,1	0	
SLE_STR_091			Linear Static	Q4,2	0	
SLE_STR_091			Linear Static	Q4,3	-0.66	
SLE_STR_091			Linear Static	Q4,4	0	
SLE_STR_091			Linear Static	Q5u	-0.6	
SLE_STR_091			Linear Static	Q5d	-0.6	
SLE_STR_091			Linear Static	Q6,1	1	
SLE_STR_091			Linear Static	Q6,2	0	
SLE_STR_091			Linear Static	Q7	1	
SLE_STR_091			Linear Static	Q8,1	0.66	
SLE_STR_091			Linear Static	Q8,2	0	

SLE_STR_091			Linear Static	Ex	0	
SLE_STR_091			Linear Static	Ey	0	
SLE_STR_091			Linear Static	Ez	0	
SLE_STR_092	Linear Add	No	Linear Static	G1	1	None
SLE_STR_092			Linear Static	G2,1	1	
SLE_STR_092			Linear Static	G2,2	1	
SLE_STR_092			Linear Static	G2,3	1	
SLE_STR_092			Linear Static	G2,4	1	
SLE_STR_092			Linear Static	G2,5	1	
SLE_STR_092			Linear Static	Q1,1	0	
SLE_STR_092			Linear Static	Q1,2	0	
SLE_STR_092			Linear Static	Q1,3	0	
SLE_STR_092			Linear Static	Q1,4	0	
SLE_STR_092			Linear Static	Q2,1	0	
SLE_STR_092			Linear Static	Q2,2	0	
SLE_STR_092			Linear Static	Q3,1	0.66	
SLE_STR_092			Linear Static	Q3,2	0	
SLE_STR_092			Linear Static	Q3,3	0	
SLE_STR_092			Linear Static	Q3,4	0.66	
SLE_STR_092			Linear Static	Q4,1	0	
SLE_STR_092			Linear Static	Q4,2	0	
SLE_STR_092			Linear Static	Q4,3	-0.33	
SLE_STR_092			Linear Static	Q4,4	-0.33	
SLE_STR_092			Linear Static	Q5u	-0.6	
SLE_STR_092			Linear Static	Q5d	-0.6	
SLE_STR_092			Linear Static	Q6,1	1	
SLE_STR_092			Linear Static	Q6,2	0	
SLE_STR_092			Linear Static	Q7	1	
SLE_STR_092			Linear Static	Q8,1	0.66	
SLE_STR_092			Linear Static	Q8,2	0	
SLE_STR_092			Linear Static	Ex	0	
SLE_STR_092			Linear Static	Ey	0	
SLE_STR_092			Linear Static	Ez	0	
SLE_STR_093	Linear Add	No	Linear Static	G1	1	None
SLE_STR_093			Linear Static	G2,1	1	
SLE_STR_093			Linear Static	G2,2	1	
SLE_STR_093			Linear Static	G2,3	1	
SLE_STR_093			Linear Static	G2,4	1	
SLE_STR_093			Linear Static	G2,5	1	
SLE_STR_093			Linear Static	Q1,1	0	
SLE_STR_093			Linear Static	Q1,2	0	
SLE_STR_093			Linear Static	Q1,3	0	
SLE_STR_093			Linear Static	Q1,4	0	
SLE_STR_093			Linear Static	Q2,1	0	
SLE_STR_093			Linear Static	Q2,2	0	
SLE_STR_093			Linear Static	Q3,1	0	
SLE_STR_093			Linear Static	Q3,2	0	

SLE_STR_093			Linear Static	Q3,3	0.66	
SLE_STR_093			Linear Static	Q3,4	0.66	
SLE_STR_093			Linear Static	Q4,1	0	
SLE_STR_093			Linear Static	Q4,2	0	
SLE_STR_093			Linear Static	Q4,3	0	
SLE_STR_093			Linear Static	Q4,4	-0.66	
SLE_STR_093			Linear Static	Q5u	-0.6	
SLE_STR_093			Linear Static	Q5d	-0.6	
SLE_STR_093			Linear Static	Q6,1	1	
SLE_STR_093			Linear Static	Q6,2	0	
SLE_STR_093			Linear Static	Q7	1	
SLE_STR_093			Linear Static	Q8,1	0.66	
SLE_STR_093			Linear Static	Q8,2	0	
SLE_STR_093			Linear Static	Ex	0	
SLE_STR_093			Linear Static	Ey	0	
SLE_STR_093			Linear Static	Ez	0	
SLE_STR_094	Linear Add	No	Linear Static	G1	1	None
SLE_STR_094			Linear Static	G2,1	1	
SLE_STR_094			Linear Static	G2,2	1	
SLE_STR_094			Linear Static	G2,3	1	
SLE_STR_094			Linear Static	G2,4	1	
SLE_STR_094			Linear Static	G2,5	1	
SLE_STR_094			Linear Static	Q1,1	0	
SLE_STR_094			Linear Static	Q1,2	0	
SLE_STR_094			Linear Static	Q1,3	0	
SLE_STR_094			Linear Static	Q1,4	0	
SLE_STR_094			Linear Static	Q2,1	0	
SLE_STR_094			Linear Static	Q2,2	0	
SLE_STR_094			Linear Static	Q3,1	0	
SLE_STR_094			Linear Static	Q3,2	0.66	
SLE_STR_094			Linear Static	Q3,3	0.66	
SLE_STR_094			Linear Static	Q3,4	0	
SLE_STR_094			Linear Static	Q4,1	0	
SLE_STR_094			Linear Static	Q4,2	0	
SLE_STR_094			Linear Static	Q4,3	-0.33	
SLE_STR_094			Linear Static	Q4,4	-0.33	
SLE_STR_094			Linear Static	Q5u	-0.6	
SLE_STR_094			Linear Static	Q5d	-0.6	
SLE_STR_094			Linear Static	Q6,1	1	
SLE_STR_094			Linear Static	Q6,2	0	
SLE_STR_094			Linear Static	Q7	1	
SLE_STR_094			Linear Static	Q8,1	0.66	
SLE_STR_094			Linear Static	Q8,2	0	
SLE_STR_094			Linear Static	Ex	0	
SLE_STR_094			Linear Static	Ey	0	
SLE_STR_094			Linear Static	Ez	0	
SLE_STR_095	Linear Add	No	Linear Static	G1	1	None

SLE_STR_095			Linear Static	G2,1	1	
SLE_STR_095			Linear Static	G2,2	1	
SLE_STR_095			Linear Static	G2,3	1	
SLE_STR_095			Linear Static	G2,4	1	
SLE_STR_095			Linear Static	G2,5	1	
SLE_STR_095			Linear Static	Q1,1	0	
SLE_STR_095			Linear Static	Q1,2	0	
SLE_STR_095			Linear Static	Q1,3	0	
SLE_STR_095			Linear Static	Q1,4	0	
SLE_STR_095			Linear Static	Q2,1	0	
SLE_STR_095			Linear Static	Q2,2	0	
SLE_STR_095			Linear Static	Q3,1	0.66	
SLE_STR_095			Linear Static	Q3,2	0.66	
SLE_STR_095			Linear Static	Q3,3	0	
SLE_STR_095			Linear Static	Q3,4	0	
SLE_STR_095			Linear Static	Q4,1	0	
SLE_STR_095			Linear Static	Q4,2	0	
SLE_STR_095			Linear Static	Q4,3	0.66	
SLE_STR_095			Linear Static	Q4,4	0	
SLE_STR_095			Linear Static	Q5u	-0.6	
SLE_STR_095			Linear Static	Q5d	-0.6	
SLE_STR_095			Linear Static	Q6,1	1	
SLE_STR_095			Linear Static	Q6,2	0	
SLE_STR_095			Linear Static	Q7	1	
SLE_STR_095			Linear Static	Q8,1	-0.66	
SLE_STR_095			Linear Static	Q8,2	0	
SLE_STR_095			Linear Static	Ex	0	
SLE_STR_095			Linear Static	Ey	0	
SLE_STR_095			Linear Static	Ez	0	
SLE_STR_096	Linear Add	No	Linear Static	G1	1	None
SLE_STR_096			Linear Static	G2,1	1	
SLE_STR_096			Linear Static	G2,2	1	
SLE_STR_096			Linear Static	G2,3	1	
SLE_STR_096			Linear Static	G2,4	1	
SLE_STR_096			Linear Static	G2,5	1	
SLE_STR_096			Linear Static	Q1,1	0	
SLE_STR_096			Linear Static	Q1,2	0	
SLE_STR_096			Linear Static	Q1,3	0	
SLE_STR_096			Linear Static	Q1,4	0	
SLE_STR_096			Linear Static	Q2,1	0	
SLE_STR_096			Linear Static	Q2,2	0	
SLE_STR_096			Linear Static	Q3,1	0.66	
SLE_STR_096			Linear Static	Q3,2	0	
SLE_STR_096			Linear Static	Q3,3	0	
SLE_STR_096			Linear Static	Q3,4	0.66	
SLE_STR_096			Linear Static	Q4,1	0	
SLE_STR_096			Linear Static	Q4,2	0	

SLE_STR_096			Linear Static	Q4,3	0.33	
SLE_STR_096			Linear Static	Q4,4	0.33	
SLE_STR_096			Linear Static	Q5u	-0.6	
SLE_STR_096			Linear Static	Q5d	-0.6	
SLE_STR_096			Linear Static	Q6,1	1	
SLE_STR_096			Linear Static	Q6,2	0	
SLE_STR_096			Linear Static	Q7	1	
SLE_STR_096			Linear Static	Q8,1	-0.66	
SLE_STR_096			Linear Static	Q8,2	0	
SLE_STR_096			Linear Static	Ex	0	
SLE_STR_096			Linear Static	Ey	0	
SLE_STR_096			Linear Static	Ez	0	
SLE_STR_097	Linear Add	No	Linear Static	G1	1	None
SLE_STR_097			Linear Static	G2,1	1	
SLE_STR_097			Linear Static	G2,2	1	
SLE_STR_097			Linear Static	G2,3	1	
SLE_STR_097			Linear Static	G2,4	1	
SLE_STR_097			Linear Static	G2,5	1	
SLE_STR_097			Linear Static	Q1,1	0	
SLE_STR_097			Linear Static	Q1,2	0	
SLE_STR_097			Linear Static	Q1,3	0	
SLE_STR_097			Linear Static	Q1,4	0	
SLE_STR_097			Linear Static	Q2,1	0	
SLE_STR_097			Linear Static	Q2,2	0	
SLE_STR_097			Linear Static	Q3,1	0	
SLE_STR_097			Linear Static	Q3,2	0	
SLE_STR_097			Linear Static	Q3,3	0.66	
SLE_STR_097			Linear Static	Q3,4	0.66	
SLE_STR_097			Linear Static	Q4,1	0	
SLE_STR_097			Linear Static	Q4,2	0	
SLE_STR_097			Linear Static	Q4,3	0	
SLE_STR_097			Linear Static	Q4,4	0.66	
SLE_STR_097			Linear Static	Q5u	-0.6	
SLE_STR_097			Linear Static	Q5d	-0.6	
SLE_STR_097			Linear Static	Q6,1	1	
SLE_STR_097			Linear Static	Q6,2	0	
SLE_STR_097			Linear Static	Q7	1	
SLE_STR_097			Linear Static	Q8,1	-0.66	
SLE_STR_097			Linear Static	Q8,2	0	
SLE_STR_097			Linear Static	Ex	0	
SLE_STR_097			Linear Static	Ey	0	
SLE_STR_097			Linear Static	Ez	0	
SLE_STR_098	Linear Add	No	Linear Static	G1	1	None
SLE_STR_098			Linear Static	G2,1	1	
SLE_STR_098			Linear Static	G2,2	1	
SLE_STR_098			Linear Static	G2,3	1	
SLE_STR_098			Linear Static	G2,4	1	

SLE_STR_098			Linear Static	G2,5	1	
SLE_STR_098			Linear Static	Q1,1	0	
SLE_STR_098			Linear Static	Q1,2	0	
SLE_STR_098			Linear Static	Q1,3	0	
SLE_STR_098			Linear Static	Q1,4	0	
SLE_STR_098			Linear Static	Q2,1	0	
SLE_STR_098			Linear Static	Q2,2	0	
SLE_STR_098			Linear Static	Q3,1	0	
SLE_STR_098			Linear Static	Q3,2	0.66	
SLE_STR_098			Linear Static	Q3,3	0.66	
SLE_STR_098			Linear Static	Q3,4	0	
SLE_STR_098			Linear Static	Q4,1	0	
SLE_STR_098			Linear Static	Q4,2	0	
SLE_STR_098			Linear Static	Q4,3	0.33	
SLE_STR_098			Linear Static	Q4,4	0.33	
SLE_STR_098			Linear Static	Q5u	-0.6	
SLE_STR_098			Linear Static	Q5d	-0.6	
SLE_STR_098			Linear Static	Q6,1	1	
SLE_STR_098			Linear Static	Q6,2	0	
SLE_STR_098			Linear Static	Q7	1	
SLE_STR_098			Linear Static	Q8,1	-0.66	
SLE_STR_098			Linear Static	Q8,2	0	
SLE_STR_098			Linear Static	Ex	0	
SLE_STR_098			Linear Static	Ey	0	
SLE_STR_098			Linear Static	Ez	0	
SLE_STR_099	Linear Add	No	Linear Static	G1	1	None
SLE_STR_099			Linear Static	G2,1	1	
SLE_STR_099			Linear Static	G2,2	1	
SLE_STR_099			Linear Static	G2,3	1	
SLE_STR_099			Linear Static	G2,4	1	
SLE_STR_099			Linear Static	G2,5	1	
SLE_STR_099			Linear Static	Q1,1	0	
SLE_STR_099			Linear Static	Q1,2	0	
SLE_STR_099			Linear Static	Q1,3	0	
SLE_STR_099			Linear Static	Q1,4	0	
SLE_STR_099			Linear Static	Q2,1	0	
SLE_STR_099			Linear Static	Q2,2	0	
SLE_STR_099			Linear Static	Q3,1	0.66	
SLE_STR_099			Linear Static	Q3,2	0.66	
SLE_STR_099			Linear Static	Q3,3	0	
SLE_STR_099			Linear Static	Q3,4	0	
SLE_STR_099			Linear Static	Q4,1	0	
SLE_STR_099			Linear Static	Q4,2	0	
SLE_STR_099			Linear Static	Q4,3	-0.66	
SLE_STR_099			Linear Static	Q4,4	0	
SLE_STR_099			Linear Static	Q5u	-0.6	
SLE_STR_099			Linear Static	Q5d	-0.6	

SLE_STR_099			Linear Static	Q6,1	1	
SLE_STR_099			Linear Static	Q6,2	0	
SLE_STR_099			Linear Static	Q7	1	
SLE_STR_099			Linear Static	Q8,1	-0.66	
SLE_STR_099			Linear Static	Q8,2	0	
SLE_STR_099			Linear Static	Ex	0	
SLE_STR_099			Linear Static	Ey	0	
SLE_STR_099			Linear Static	Ez	0	
SLE_STR_100	Linear Add	No	Linear Static	G1	1	None
SLE_STR_100			Linear Static	G2,1	1	
SLE_STR_100			Linear Static	G2,2	1	
SLE_STR_100			Linear Static	G2,3	1	
SLE_STR_100			Linear Static	G2,4	1	
SLE_STR_100			Linear Static	G2,5	1	
SLE_STR_100			Linear Static	Q1,1	0	
SLE_STR_100			Linear Static	Q1,2	0	
SLE_STR_100			Linear Static	Q1,3	0	
SLE_STR_100			Linear Static	Q1,4	0	
SLE_STR_100			Linear Static	Q2,1	0	
SLE_STR_100			Linear Static	Q2,2	0	
SLE_STR_100			Linear Static	Q3,1	0.66	
SLE_STR_100			Linear Static	Q3,2	0	
SLE_STR_100			Linear Static	Q3,3	0	
SLE_STR_100			Linear Static	Q3,4	0.66	
SLE_STR_100			Linear Static	Q4,1	0	
SLE_STR_100			Linear Static	Q4,2	0	
SLE_STR_100			Linear Static	Q4,3	-0.33	
SLE_STR_100			Linear Static	Q4,4	-0.33	
SLE_STR_100			Linear Static	Q5u	-0.6	
SLE_STR_100			Linear Static	Q5d	-0.6	
SLE_STR_100			Linear Static	Q6,1	1	
SLE_STR_100			Linear Static	Q6,2	0	
SLE_STR_100			Linear Static	Q7	1	
SLE_STR_100			Linear Static	Q8,1	-0.66	
SLE_STR_100			Linear Static	Q8,2	0	
SLE_STR_100			Linear Static	Ex	0	
SLE_STR_100			Linear Static	Ey	0	
SLE_STR_100			Linear Static	Ez	0	
SLE_STR_101	Linear Add	No	Linear Static	G1	1	None
SLE_STR_101			Linear Static	G2,1	1	
SLE_STR_101			Linear Static	G2,2	1	
SLE_STR_101			Linear Static	G2,3	1	
SLE_STR_101			Linear Static	G2,4	1	
SLE_STR_101			Linear Static	G2,5	1	
SLE_STR_101			Linear Static	Q1,1	0	
SLE_STR_101			Linear Static	Q1,2	0	
SLE_STR_101			Linear Static	Q1,3	0	

SLE_STR_101			Linear Static	Q1,4	0	
SLE_STR_101			Linear Static	Q2,1	0	
SLE_STR_101			Linear Static	Q2,2	0	
SLE_STR_101			Linear Static	Q3,1	0	
SLE_STR_101			Linear Static	Q3,2	0	
SLE_STR_101			Linear Static	Q3,3	0.66	
SLE_STR_101			Linear Static	Q3,4	0.66	
SLE_STR_101			Linear Static	Q4,1	0	
SLE_STR_101			Linear Static	Q4,2	0	
SLE_STR_101			Linear Static	Q4,3	0	
SLE_STR_101			Linear Static	Q4,4	-0.66	
SLE_STR_101			Linear Static	Q5u	-0.6	
SLE_STR_101			Linear Static	Q5d	-0.6	
SLE_STR_101			Linear Static	Q6,1	1	
SLE_STR_101			Linear Static	Q6,2	0	
SLE_STR_101			Linear Static	Q7	1	
SLE_STR_101			Linear Static	Q8,1	-0.66	
SLE_STR_101			Linear Static	Q8,2	0	
SLE_STR_101			Linear Static	Ex	0	
SLE_STR_101			Linear Static	Ey	0	
SLE_STR_101			Linear Static	Ez	0	
SLE_STR_102	Linear Add	No	Linear Static	G1	1	None
SLE_STR_102			Linear Static	G2,1	1	
SLE_STR_102			Linear Static	G2,2	1	
SLE_STR_102			Linear Static	G2,3	1	
SLE_STR_102			Linear Static	G2,4	1	
SLE_STR_102			Linear Static	G2,5	1	
SLE_STR_102			Linear Static	Q1,1	0	
SLE_STR_102			Linear Static	Q1,2	0	
SLE_STR_102			Linear Static	Q1,3	0	
SLE_STR_102			Linear Static	Q1,4	0	
SLE_STR_102			Linear Static	Q2,1	0	
SLE_STR_102			Linear Static	Q2,2	0	
SLE_STR_102			Linear Static	Q3,1	0	
SLE_STR_102			Linear Static	Q3,2	0.66	
SLE_STR_102			Linear Static	Q3,3	0.66	
SLE_STR_102			Linear Static	Q3,4	0	
SLE_STR_102			Linear Static	Q4,1	0	
SLE_STR_102			Linear Static	Q4,2	0	
SLE_STR_102			Linear Static	Q4,3	-0.33	
SLE_STR_102			Linear Static	Q4,4	-0.33	
SLE_STR_102			Linear Static	Q5u	-0.6	
SLE_STR_102			Linear Static	Q5d	-0.6	
SLE_STR_102			Linear Static	Q6,1	1	
SLE_STR_102			Linear Static	Q6,2	0	
SLE_STR_102			Linear Static	Q7	1	
SLE_STR_102			Linear Static	Q8,1	-0.66	

SLE_STR_102			Linear Static	Q8,2	0	
SLE_STR_102			Linear Static	Ex	0	
SLE_STR_102			Linear Static	Ey	0	
SLE_STR_102			Linear Static	Ez	0	
SLE_STR_103	Linear Add	No	Linear Static	G1	1	None
SLE_STR_103			Linear Static	G2,1	1	
SLE_STR_103			Linear Static	G2,2	1	
SLE_STR_103			Linear Static	G2,3	1	
SLE_STR_103			Linear Static	G2,4	1	
SLE_STR_103			Linear Static	G2,5	1	
SLE_STR_103			Linear Static	Q1,1	0	
SLE_STR_103			Linear Static	Q1,2	0	
SLE_STR_103			Linear Static	Q1,3	0	
SLE_STR_103			Linear Static	Q1,4	0	
SLE_STR_103			Linear Static	Q2,1	1	
SLE_STR_103			Linear Static	Q2,2	1	
SLE_STR_103			Linear Static	Q3,1	0	
SLE_STR_103			Linear Static	Q3,2	0	
SLE_STR_103			Linear Static	Q3,3	0	
SLE_STR_103			Linear Static	Q3,4	0	
SLE_STR_103			Linear Static	Q4,1	0	
SLE_STR_103			Linear Static	Q4,2	0	
SLE_STR_103			Linear Static	Q4,3	0	
SLE_STR_103			Linear Static	Q4,4	0	
SLE_STR_103			Linear Static	Q5u	0	
SLE_STR_103			Linear Static	Q5d	0	
SLE_STR_103			Linear Static	Q6,1	0	
SLE_STR_103			Linear Static	Q6,2	0	
SLE_STR_103			Linear Static	Q7	1	
SLE_STR_103			Linear Static	Q8,1	0	
SLE_STR_103			Linear Static	Q8,2	0	
SLE_STR_103			Linear Static	Ex	0	
SLE_STR_103			Linear Static	Ey	0	
SLE_STR_103			Linear Static	Ez	0	
SLE_STR_104	Linear Add	No	Linear Static	G1	1	None
SLE_STR_104			Linear Static	G2,1	1	
SLE_STR_104			Linear Static	G2,2	1	
SLE_STR_104			Linear Static	G2,3	1	
SLE_STR_104			Linear Static	G2,4	1	
SLE_STR_104			Linear Static	G2,5	1	
SLE_STR_104			Linear Static	Q1,1	0	
SLE_STR_104			Linear Static	Q1,2	0	
SLE_STR_104			Linear Static	Q1,3	0	
SLE_STR_104			Linear Static	Q1,4	0	
SLE_STR_104			Linear Static	Q2,1	1	
SLE_STR_104			Linear Static	Q2,2	1	
SLE_STR_104			Linear Static	Q3,1	0	

SLE_STR_104			Linear Static	Q3,2	0	
SLE_STR_104			Linear Static	Q3,3	0	
SLE_STR_104			Linear Static	Q3,4	0	
SLE_STR_104			Linear Static	Q4,1	0	
SLE_STR_104			Linear Static	Q4,2	0	
SLE_STR_104			Linear Static	Q4,3	0	
SLE_STR_104			Linear Static	Q4,4	0	
SLE_STR_104			Linear Static	Q5u	1	
SLE_STR_104			Linear Static	Q5d	1	
SLE_STR_104			Linear Static	Q6,1	0	
SLE_STR_104			Linear Static	Q6,2	0	
SLE_STR_104			Linear Static	Q7	1	
SLE_STR_104			Linear Static	Q8,1	0	
SLE_STR_104			Linear Static	Q8,2	0	
SLE_STR_104			Linear Static	Ex	0	
SLE_STR_104			Linear Static	Ey	0	
SLE_STR_104			Linear Static	Ez	0	
SLE_STR_105	Linear Add	No	Linear Static	G1	1	None
SLE_STR_105			Linear Static	G2,1	1	
SLE_STR_105			Linear Static	G2,2	1	
SLE_STR_105			Linear Static	G2,3	1	
SLE_STR_105			Linear Static	G2,4	1	
SLE_STR_105			Linear Static	G2,5	1	
SLE_STR_105			Linear Static	Q1,1	0	
SLE_STR_105			Linear Static	Q1,2	0	
SLE_STR_105			Linear Static	Q1,3	0	
SLE_STR_105			Linear Static	Q1,4	0	
SLE_STR_105			Linear Static	Q2,1	1	
SLE_STR_105			Linear Static	Q2,2	1	
SLE_STR_105			Linear Static	Q3,1	0	
SLE_STR_105			Linear Static	Q3,2	0	
SLE_STR_105			Linear Static	Q3,3	0	
SLE_STR_105			Linear Static	Q3,4	0	
SLE_STR_105			Linear Static	Q4,1	0	
SLE_STR_105			Linear Static	Q4,2	0	
SLE_STR_105			Linear Static	Q4,3	0	
SLE_STR_105			Linear Static	Q4,4	0	
SLE_STR_105			Linear Static	Q5u	-1	
SLE_STR_105			Linear Static	Q5d	-1	
SLE_STR_105			Linear Static	Q6,1	0	
SLE_STR_105			Linear Static	Q6,2	0	
SLE_STR_105			Linear Static	Q7	1	
SLE_STR_105			Linear Static	Q8,1	0	
SLE_STR_105			Linear Static	Q8,2	0	
SLE_STR_105			Linear Static	Ex	0	
SLE_STR_105			Linear Static	Ey	0	
SLE_STR_105			Linear Static	Ez	0	

ENV_SLE	Envelope	No	Response Combo	SLE_STR_001	1	None
ENV_SLE			Response Combo	SLE_STR_002	1	
ENV_SLE			Response Combo	SLE_STR_003	1	
ENV_SLE			Response Combo	SLE_STR_004	1	
ENV_SLE			Response Combo	SLE_STR_005	1	
ENV_SLE			Response Combo	SLE_STR_006	1	
ENV_SLE			Response Combo	SLE_STR_007	1	
ENV_SLE			Response Combo	SLE_STR_008	1	
ENV_SLE			Response Combo	SLE_STR_009	1	
ENV_SLE			Response Combo	SLE_STR_010	1	
ENV_SLE			Response Combo	SLE_STR_011	1	
ENV_SLE			Response Combo	SLE_STR_012	1	
ENV_SLE			Response Combo	SLE_STR_013	1	
ENV_SLE			Response Combo	SLE_STR_014	1	
ENV_SLE			Response Combo	SLE_STR_015	1	
ENV_SLE			Response Combo	SLE_STR_016	1	
ENV_SLE			Response Combo	SLE_STR_017	1	
ENV_SLE			Response Combo	SLE_STR_018	1	
ENV_SLE			Response Combo	SLE_STR_019	1	
ENV_SLE			Response Combo	SLE_STR_020	1	
ENV_SLE			Response Combo	SLE_STR_021	1	
ENV_SLE			Response Combo	SLE_STR_022	1	
ENV_SLE			Response Combo	SLE_STR_023	1	
ENV_SLE			Response Combo	SLE_STR_024	1	
ENV_SLE			Response Combo	SLE_STR_025	1	
ENV_SLE			Response Combo	SLE_STR_026	1	
ENV_SLE			Response Combo	SLE_STR_027	1	
ENV_SLE			Response Combo	SLE_STR_028	1	
ENV_SLE			Response Combo	SLE_STR_029	1	
ENV_SLE			Response Combo	SLE_STR_030	1	
ENV_SLE			Response Combo	SLE_STR_031	1	
ENV_SLE			Response Combo	SLE_STR_032	1	
ENV_SLE			Response Combo	SLE_STR_033	1	
ENV_SLE			Response Combo	SLE_STR_034	1	
ENV_SLE			Response Combo	SLE_STR_035	1	
ENV_SLE			Response Combo	SLE_STR_036	1	
ENV_SLE			Response Combo	SLE_STR_037	1	
ENV_SLE			Response Combo	SLE_STR_038	1	
ENV_SLE			Response Combo	SLE_STR_039	1	
ENV_SLE			Response Combo	SLE_STR_040	1	
ENV_SLE			Response Combo	SLE_STR_041	1	
ENV_SLE			Response Combo	SLE_STR_042	1	
ENV_SLE			Response Combo	SLE_STR_043	1	
ENV_SLE			Response Combo	SLE_STR_044	1	
ENV_SLE			Response Combo	SLE_STR_045	1	
ENV_SLE			Response Combo	SLE_STR_046	1	
ENV_SLE			Response Combo	SLE_STR_047	1	

ENV_SLE	Response Combo	SLE_STR_048	1
ENV_SLE	Response Combo	SLE_STR_049	1
ENV_SLE	Response Combo	SLE_STR_050	1
ENV_SLE	Response Combo	SLE_STR_051	1
ENV_SLE	Response Combo	SLE_STR_052	1
ENV_SLE	Response Combo	SLE_STR_053	1
ENV_SLE	Response Combo	SLE_STR_054	1
ENV_SLE	Response Combo	SLE_STR_055	1
ENV_SLE	Response Combo	SLE_STR_056	1
ENV_SLE	Response Combo	SLE_STR_057	1
ENV_SLE	Response Combo	SLE_STR_058	1
ENV_SLE	Response Combo	SLE_STR_059	1
ENV_SLE	Response Combo	SLE_STR_060	1
ENV_SLE	Response Combo	SLE_STR_061	1
ENV_SLE	Response Combo	SLE_STR_062	1
ENV_SLE	Response Combo	SLE_STR_063	1
ENV_SLE	Response Combo	SLE_STR_064	1
ENV_SLE	Response Combo	SLE_STR_065	1
ENV_SLE	Response Combo	SLE_STR_066	1
ENV_SLE	Response Combo	SLE_STR_067	1
ENV_SLE	Response Combo	SLE_STR_068	1
ENV_SLE	Response Combo	SLE_STR_069	1
ENV_SLE	Response Combo	SLE_STR_070	1
ENV_SLE	Response Combo	SLE_STR_071	1
ENV_SLE	Response Combo	SLE_STR_072	1
ENV_SLE	Response Combo	SLE_STR_073	1
ENV_SLE	Response Combo	SLE_STR_074	1
ENV_SLE	Response Combo	SLE_STR_075	1
ENV_SLE	Response Combo	SLE_STR_076	1
ENV_SLE	Response Combo	SLE_STR_077	1
ENV_SLE	Response Combo	SLE_STR_078	1
ENV_SLE	Response Combo	SLE_STR_079	1
ENV_SLE	Response Combo	SLE_STR_080	1
ENV_SLE	Response Combo	SLE_STR_081	1
ENV_SLE	Response Combo	SLE_STR_082	1
ENV_SLE	Response Combo	SLE_STR_083	1
ENV_SLE	Response Combo	SLE_STR_084	1
ENV_SLE	Response Combo	SLE_STR_085	1
ENV_SLE	Response Combo	SLE_STR_086	1
ENV_SLE	Response Combo	SLE_STR_087	1
ENV_SLE	Response Combo	SLE_STR_088	1
ENV_SLE	Response Combo	SLE_STR_089	1
ENV_SLE	Response Combo	SLE_STR_090	1
ENV_SLE	Response Combo	SLE_STR_091	1
ENV_SLE	Response Combo	SLE_STR_092	1
ENV_SLE	Response Combo	SLE_STR_093	1
ENV_SLE	Response Combo	SLE_STR_094	1

ENV_SLE	Response Combo	SLE_STR_095	1
ENV_SLE	Response Combo	SLE_STR_096	1
ENV_SLE	Response Combo	SLE_STR_097	1
ENV_SLE	Response Combo	SLE_STR_098	1
ENV_SLE	Response Combo	SLE_STR_099	1
ENV_SLE	Response Combo	SLE_STR_100	1
ENV_SLE	Response Combo	SLE_STR_101	1
ENV_SLE	Response Combo	SLE_STR_102	1
ENV_SLE	Response Combo	SLE_STR_103	1
ENV_SLE	Response Combo	SLE_STR_104	1
ENV_SLE	Response Combo	SLE_STR_105	1